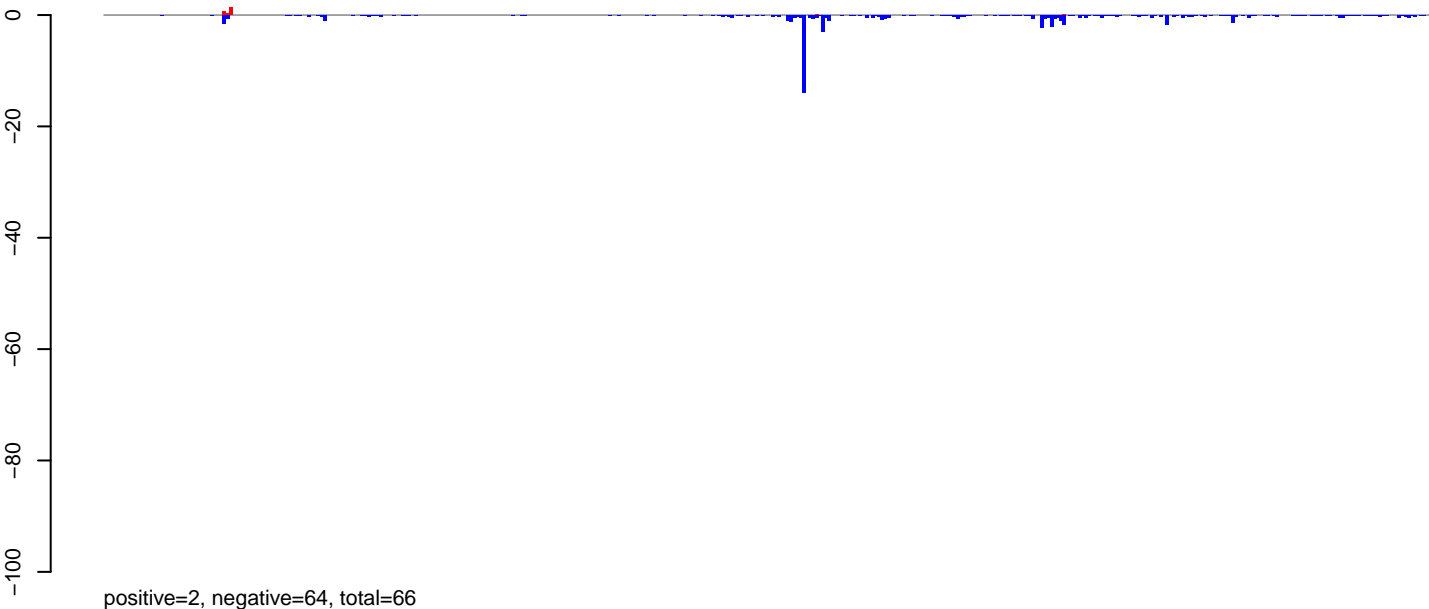
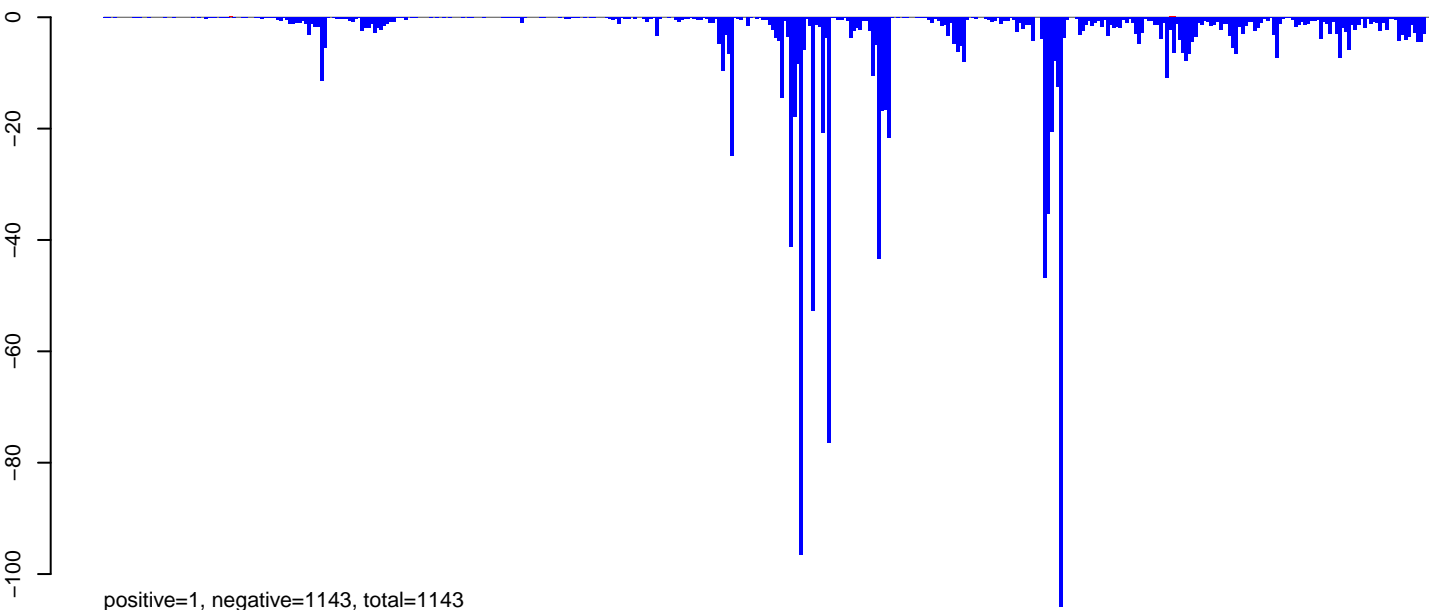


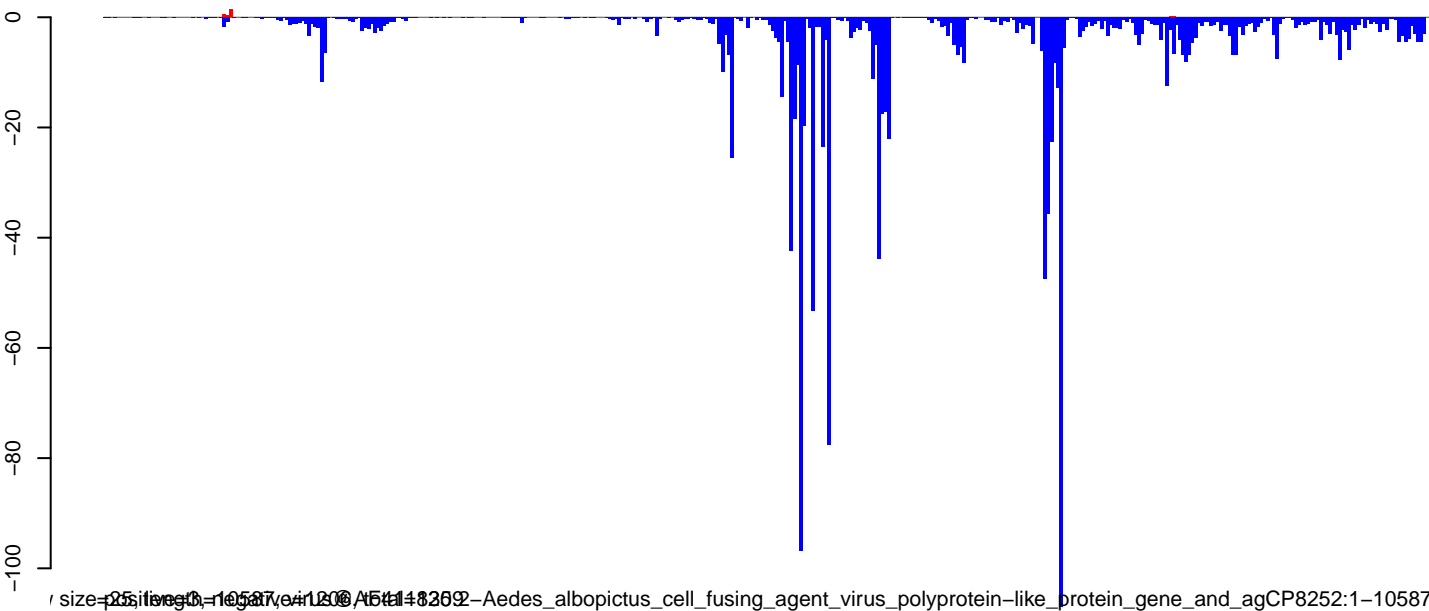
AeAlbo_C636_cells_rep_3.18_23.rep



AeAlbo_C636_cells_rep_3.24_35.rep



AeAlbo_C636_cells_rep_3.rep



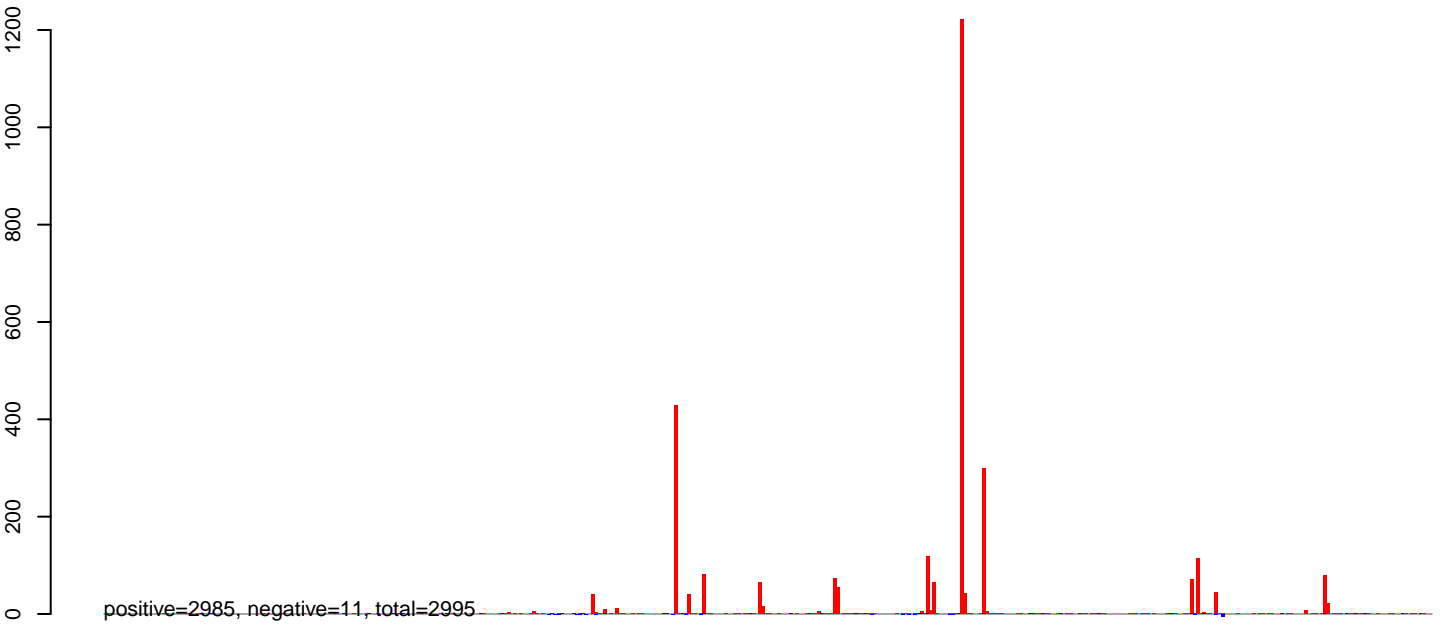
Aedes_albopictus_cell_fusing_agent_virus_polyprotein-like_protein_gene_and_agCP8252:1-10587

0 2000 4000 6000 8000 10000

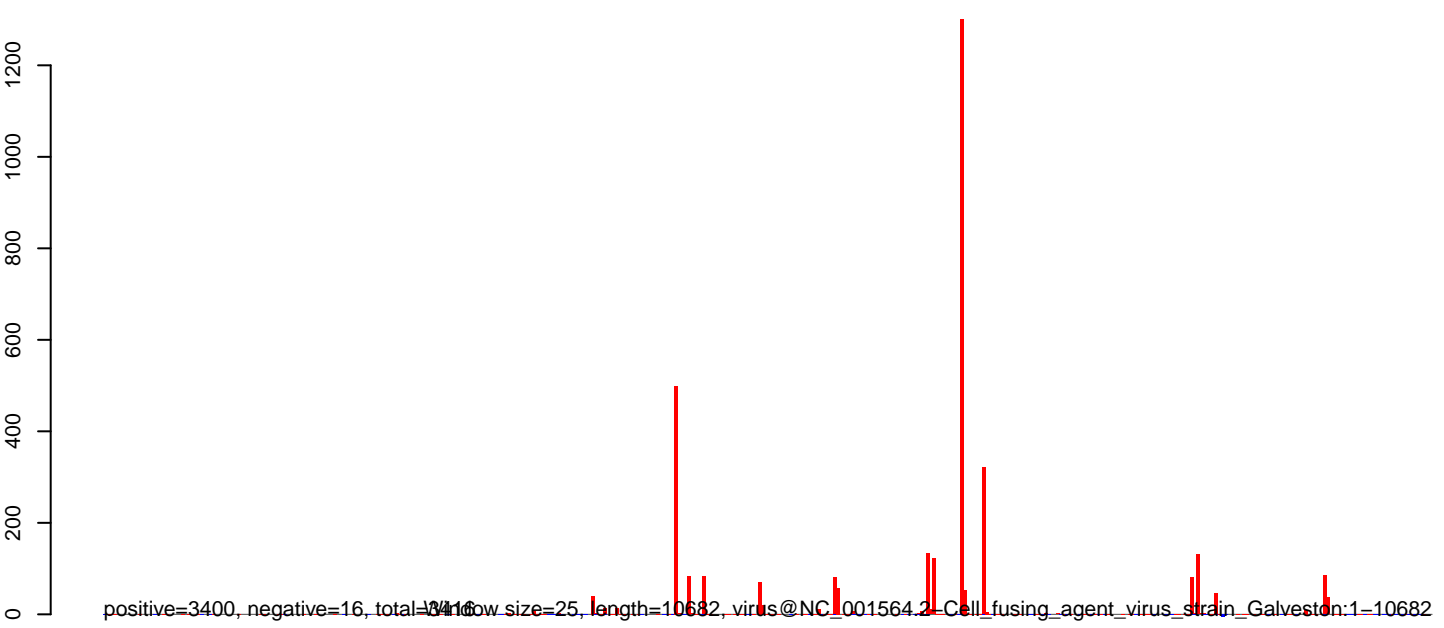
AeAlbo_C636_cells_rep_3.18_23.rep



AeAlbo_C636_cells_rep_3.24_35.rep

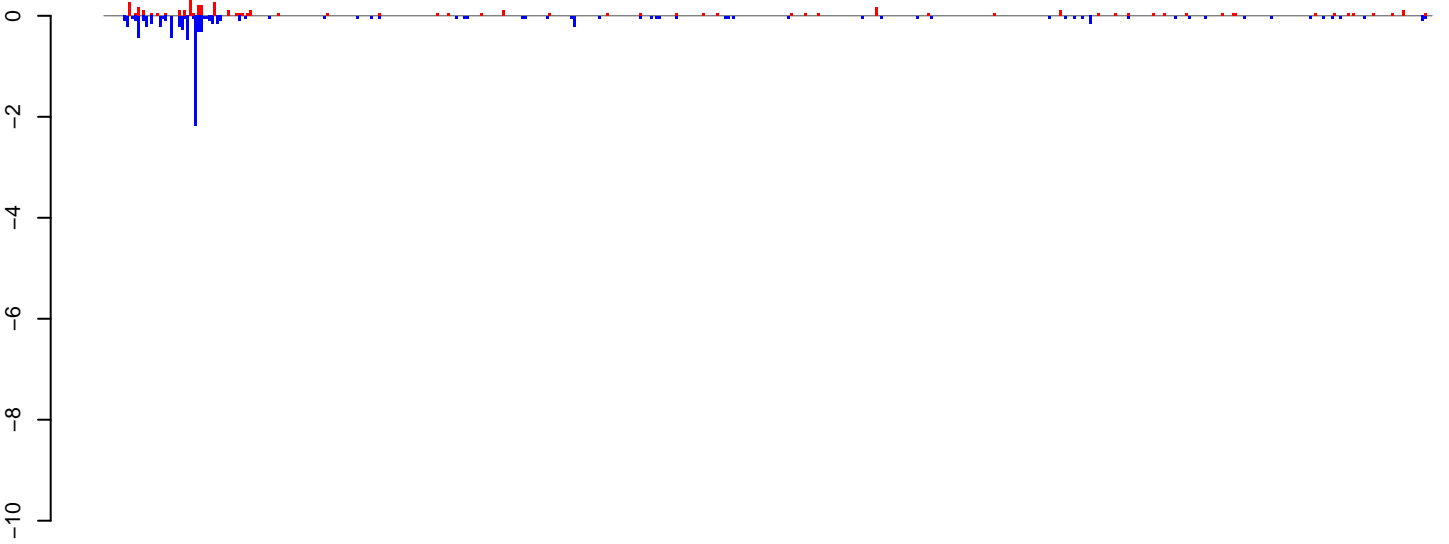


AeAlbo_C636_cells_rep_3.rep



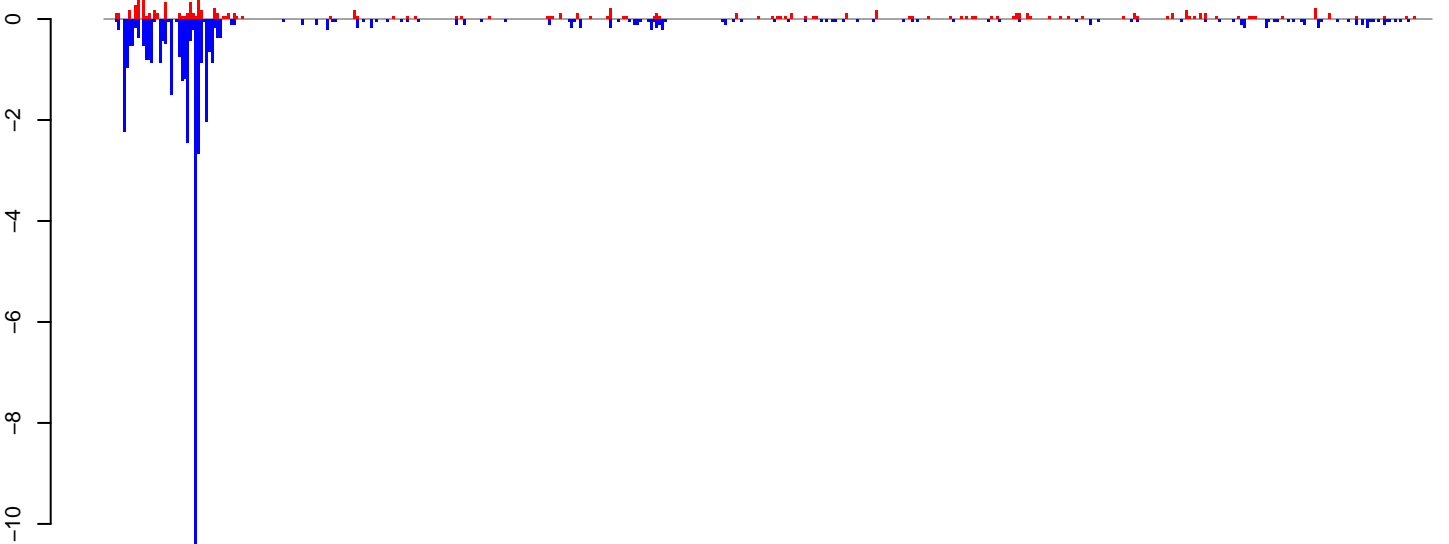
0 2000 4000 6000 8000 10000

AeAlbo_C636_cells_rep_3.18_23.rep



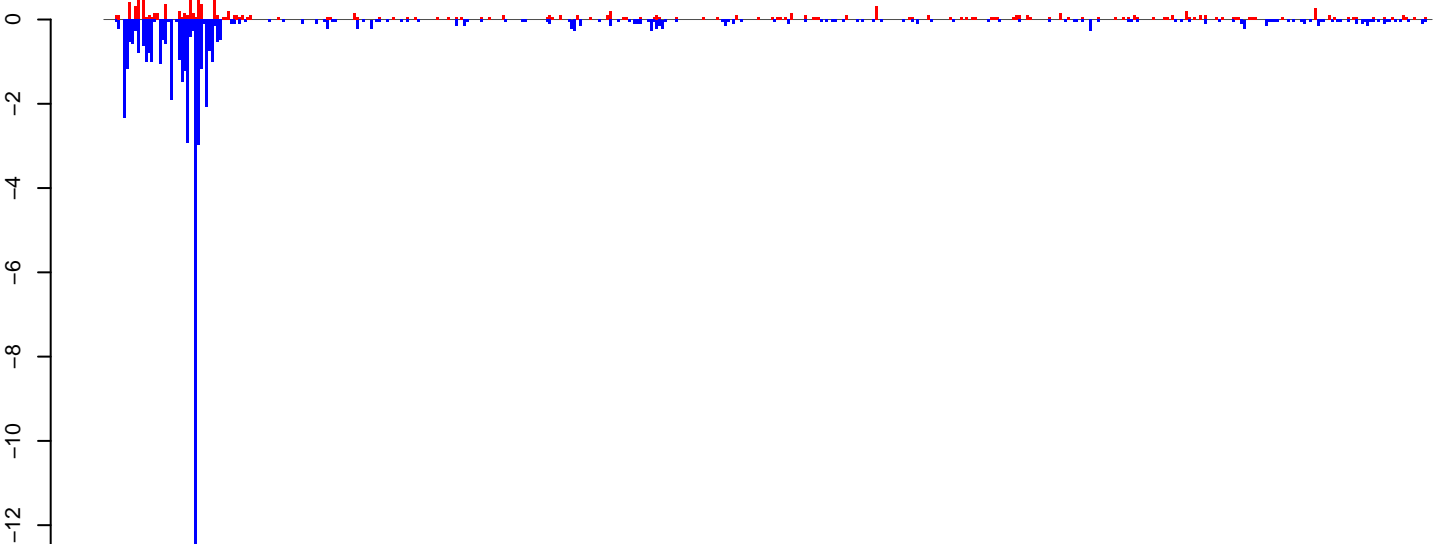
positive=5, negative=10, total=14

AeAlbo_C636_cells_rep_3.24_35.rep



positive=10, negative=44, total=54

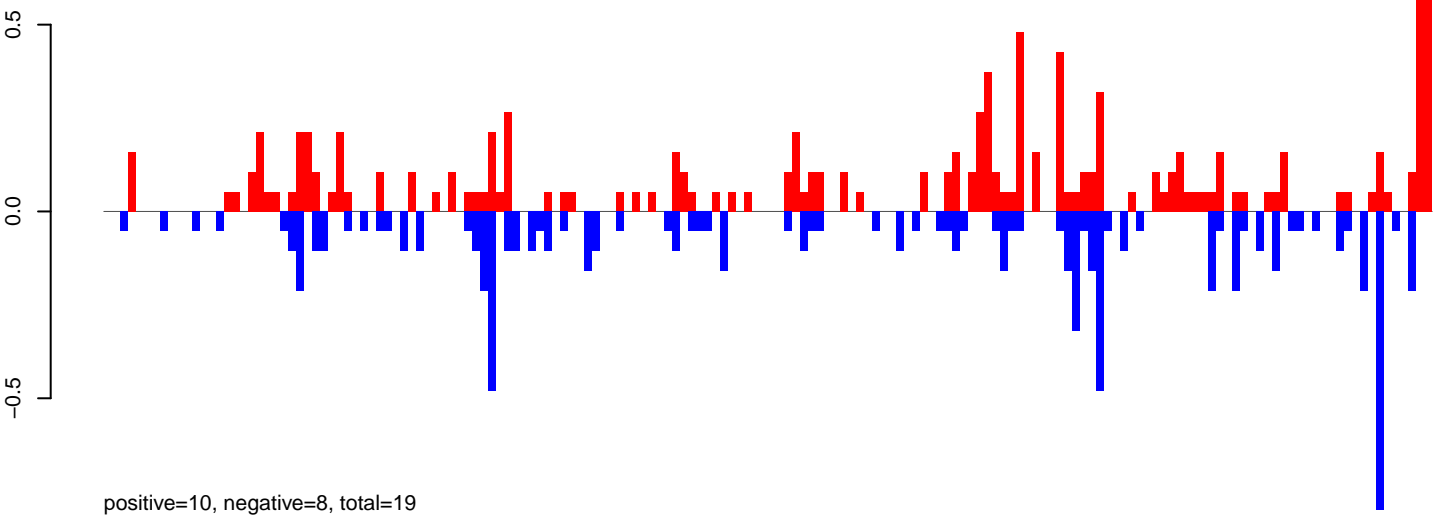
AeAlbo_C636_cells_rep_3.rep



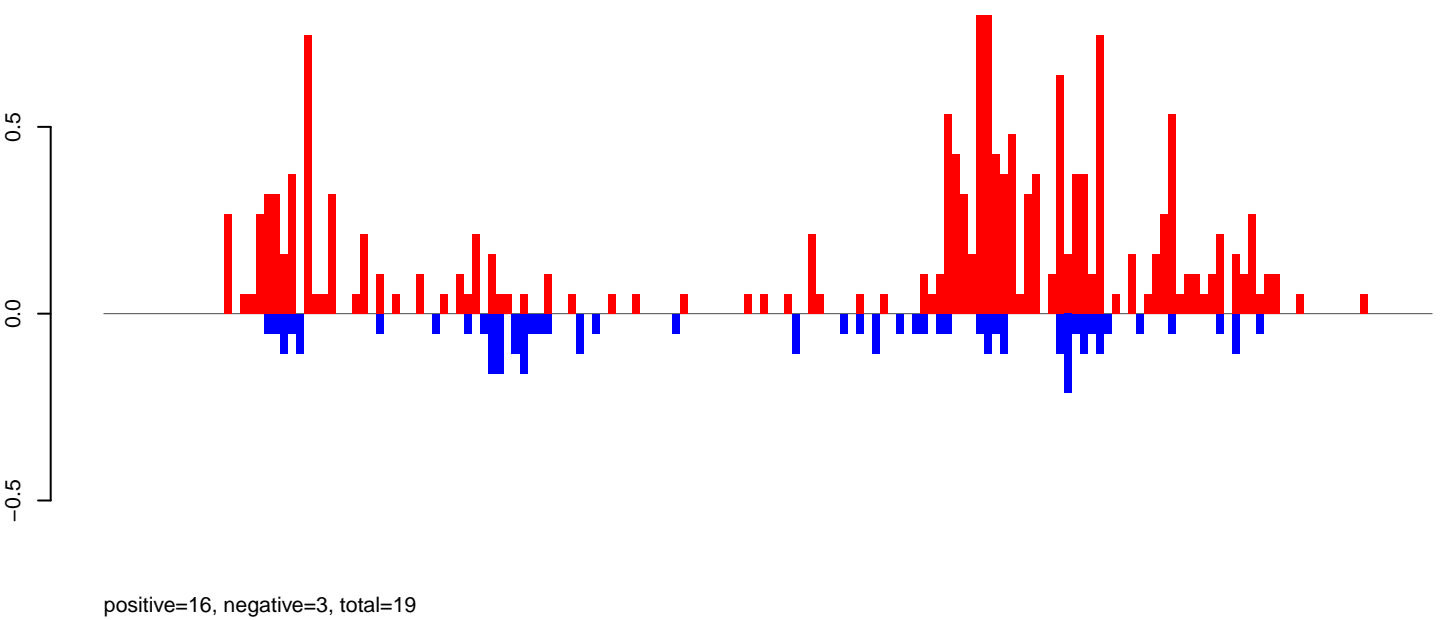
positive=25, negative=1209, total=1234
negative=101, total=111
Phasi Charoen-like_virus_isolate_Rio_segment_S_plus_segment_M_plus_segment_L_Nucle:1-12099

0 2000 4000 6000 8000 10000 12000

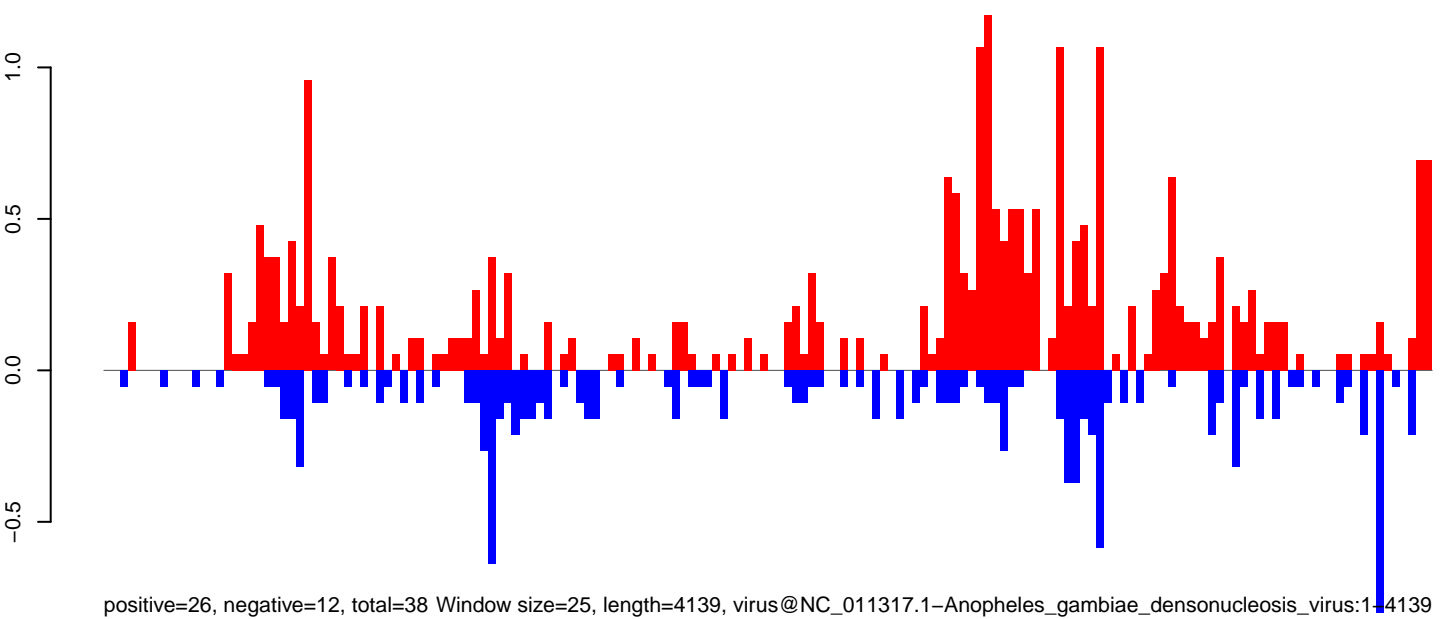
AeAlbo_C636_cells_rep_3.18_23.rep



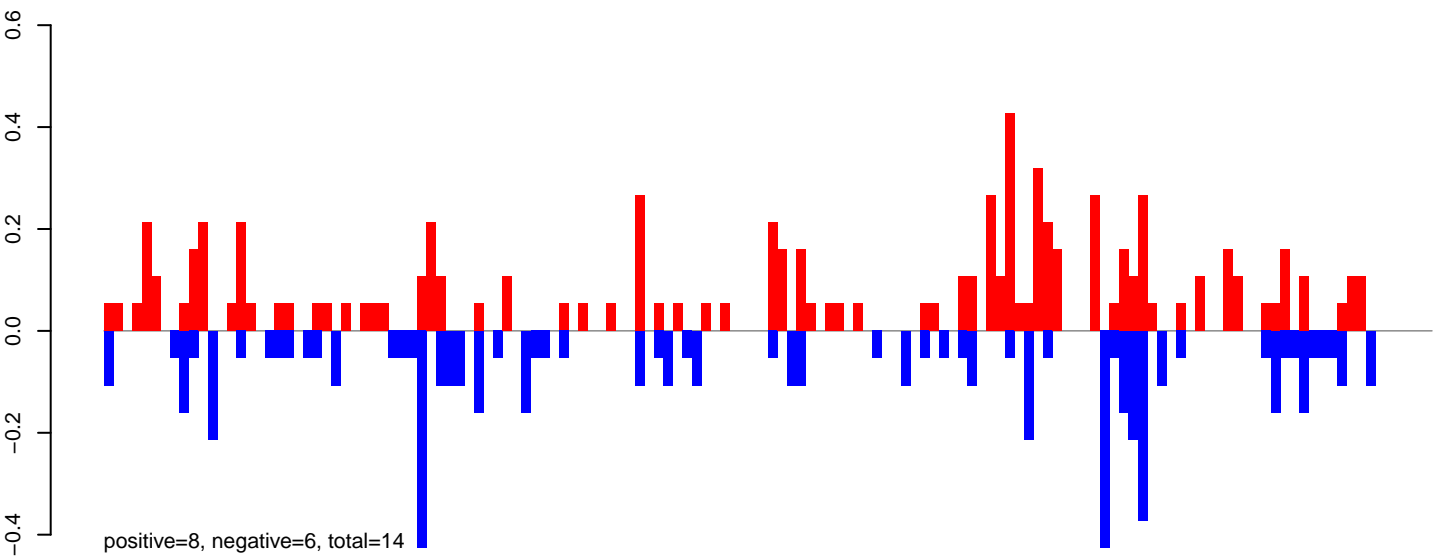
AeAlbo_C636_cells_rep_3.24_35.rep



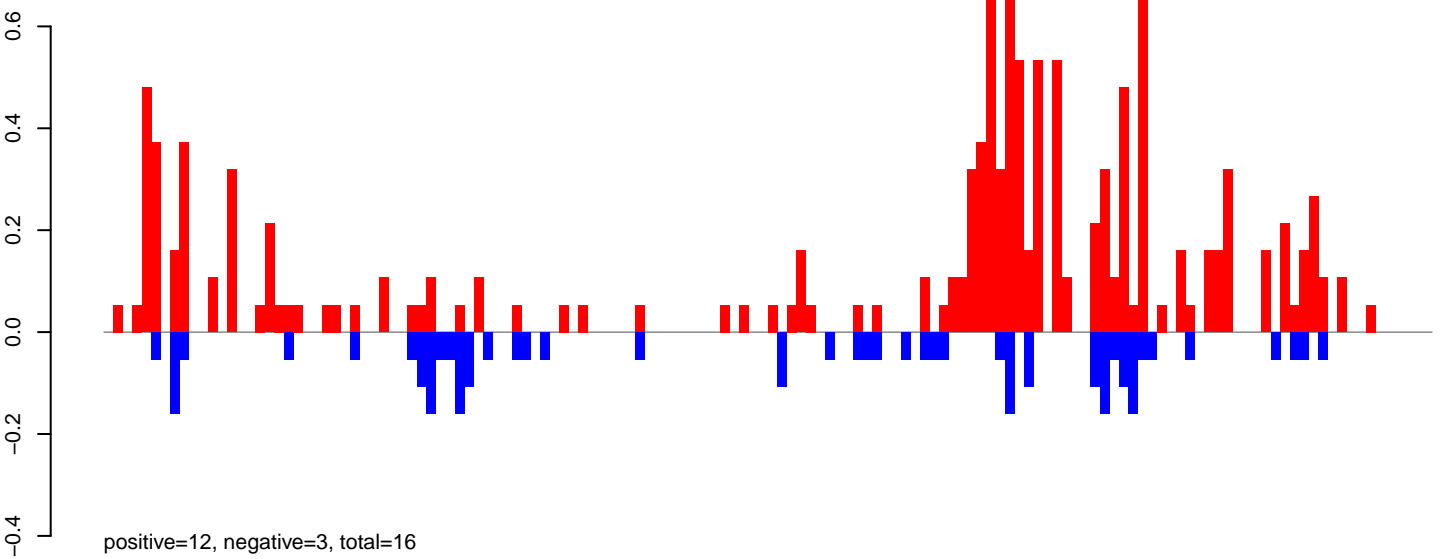
AeAlbo_C636_cells_rep_3.rep



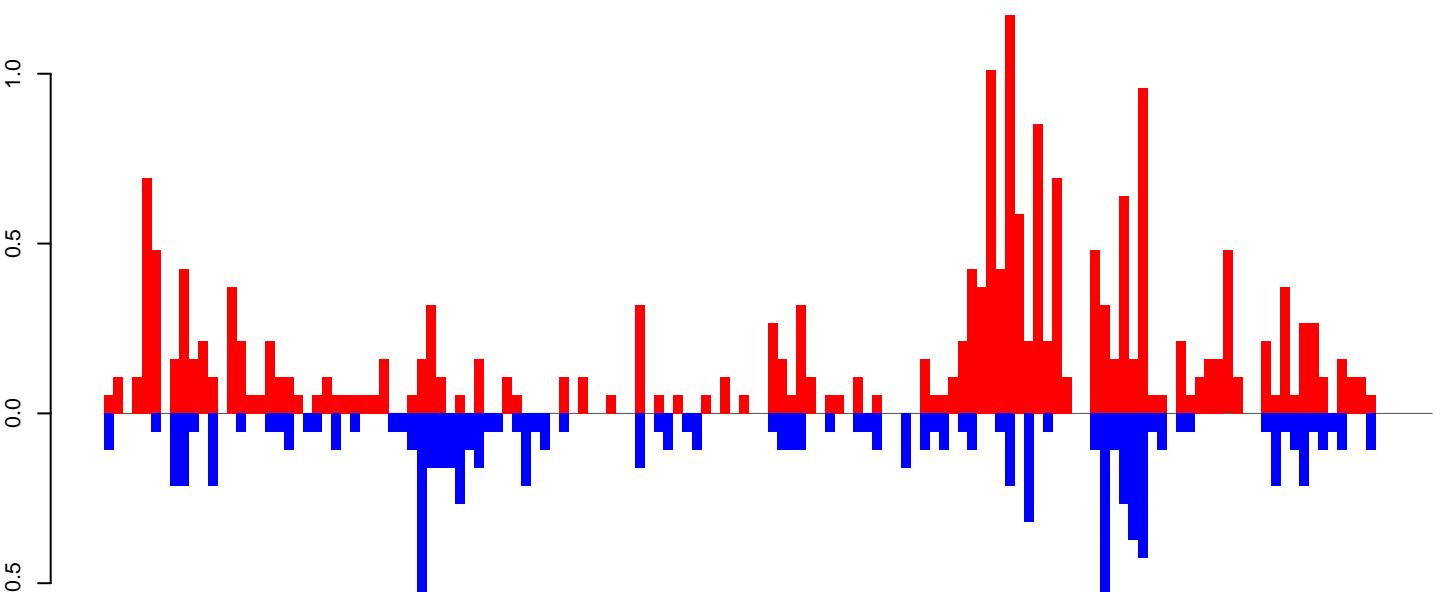
AeAlbo_C636_cells_rep_3.18_23.rep



AeAlbo_C636_cells_rep_3.24_35.rep



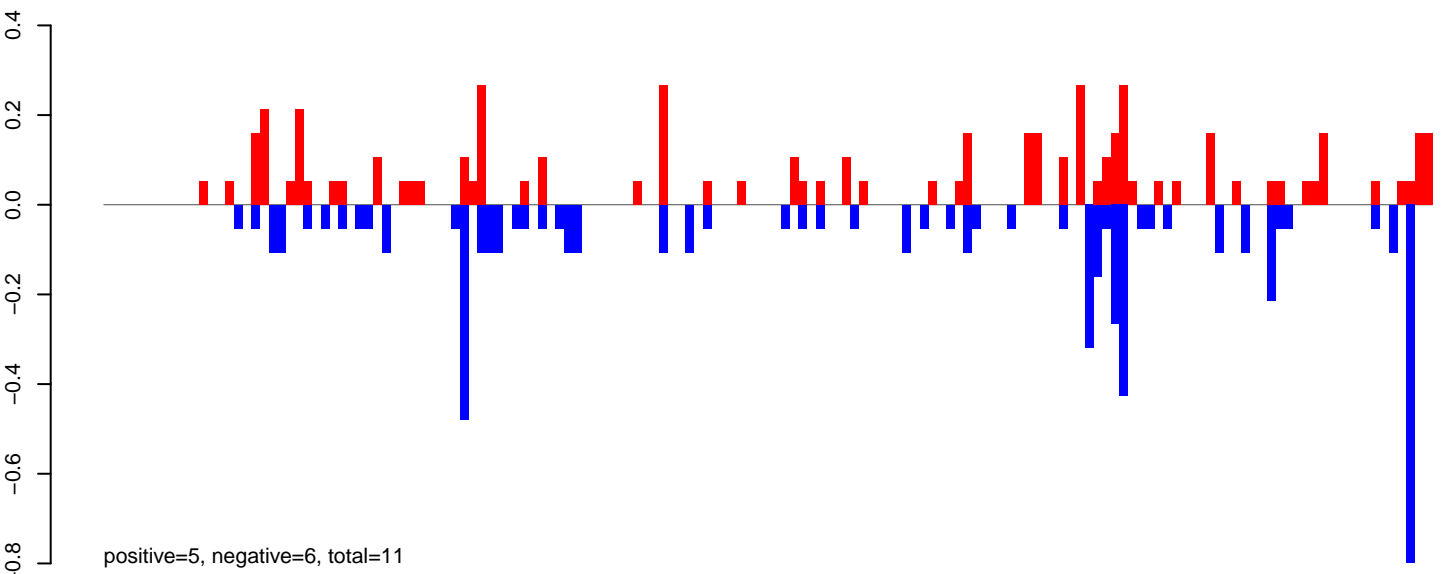
AeAlbo_C636_cells_rep_3.rep



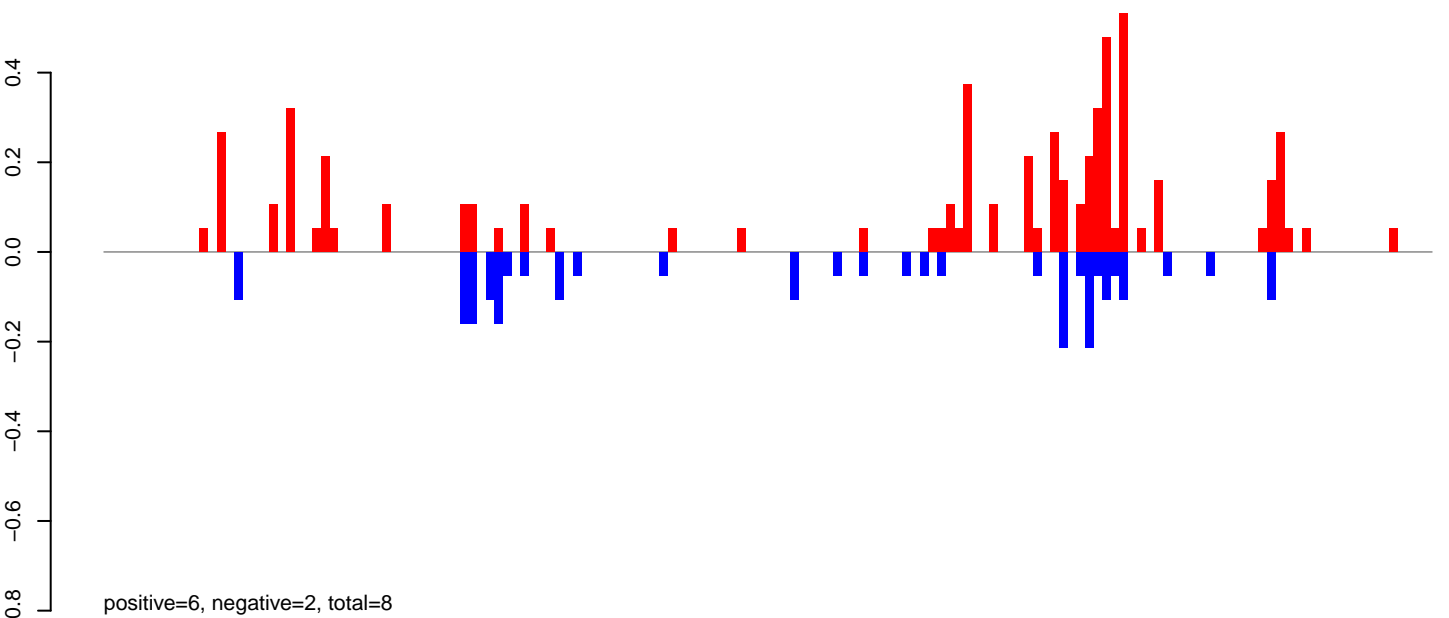
row size=25, col size=45, total=1125
1-3498 Culex pipiens pallens densovirus strain JZ-16 non-structural protein_1_NS1_non-stru:1-3498

0 500 1000 1500 2000 2500 3000 3500

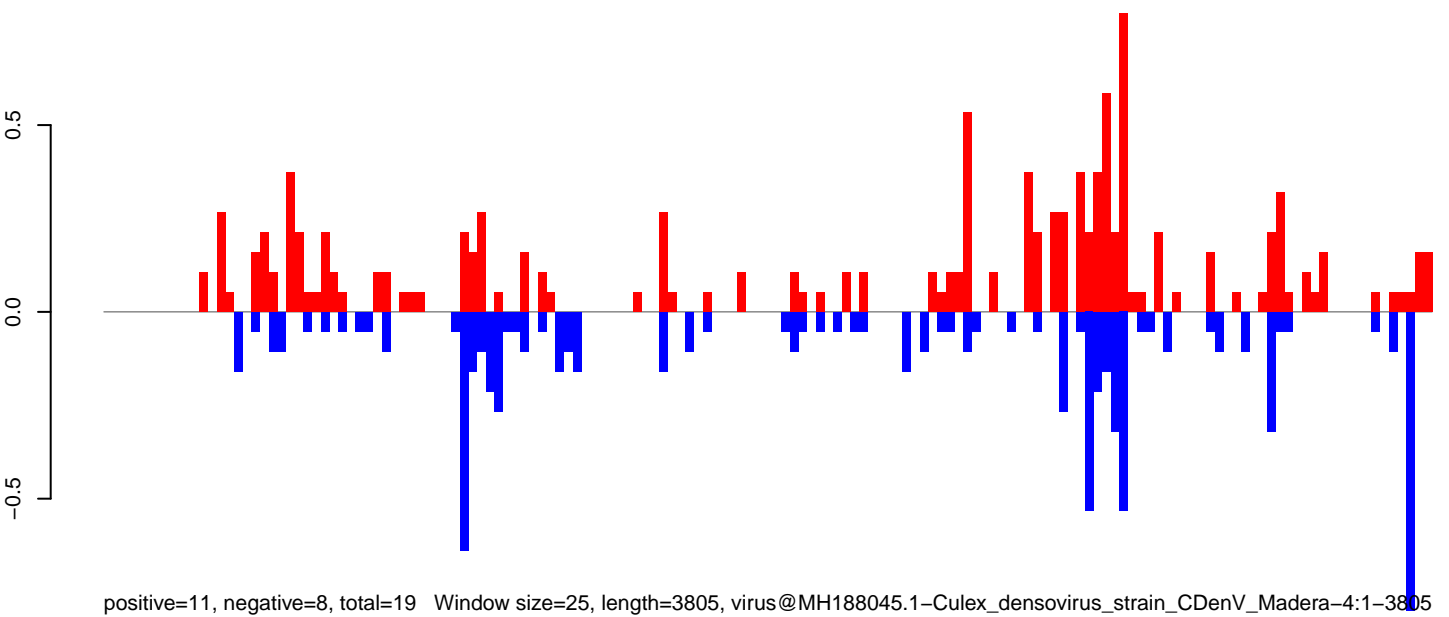
AeAlbo_C636_cells_rep_3.18_23.rep



AeAlbo_C636_cells_rep_3.24_35.rep



AeAlbo_C636_cells_rep_3.rep



AeAlbo_C636_cells_rep_3.18_23.rep

0.4
0.2
0.0
-0.2
-0.4

positive=5, negative=6, total=11

AeAlbo_C636_cells_rep_3.24_35.rep

0.4
0.2
0.0
-0.2
-0.4

positive=6, negative=2, total=8

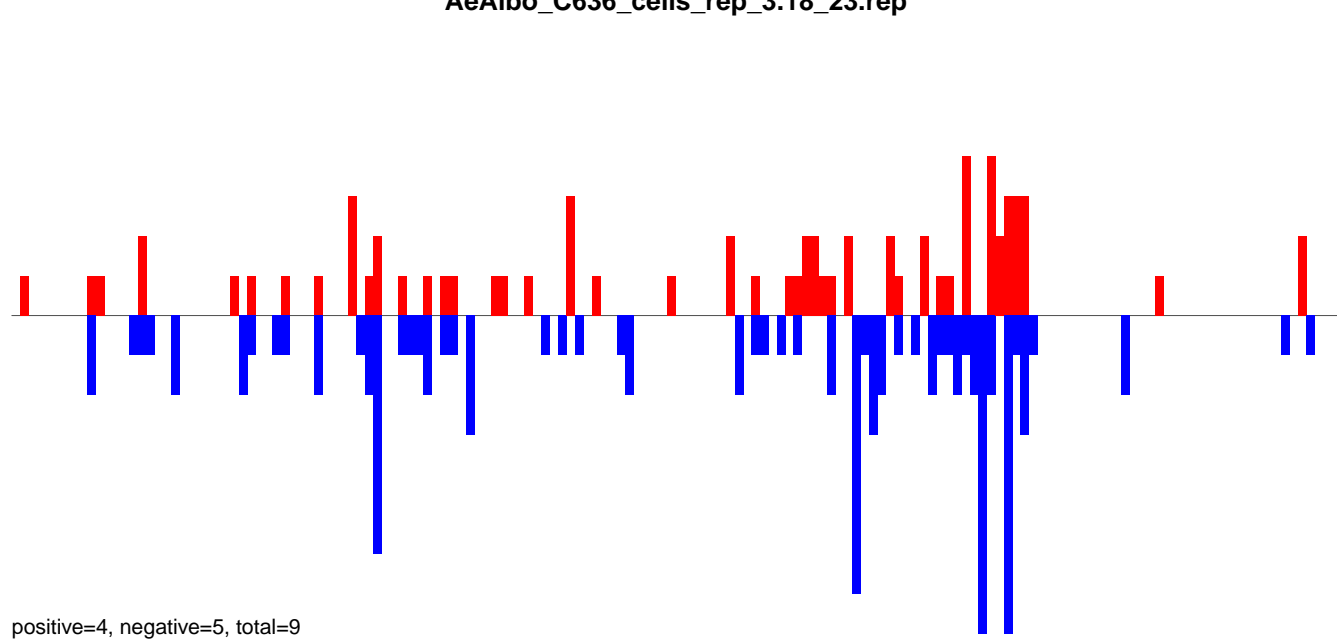
AeAlbo_C636_cells_rep_3.rep

0.6
0.4
0.2
0.0
-0.2
-0.4
-0.6

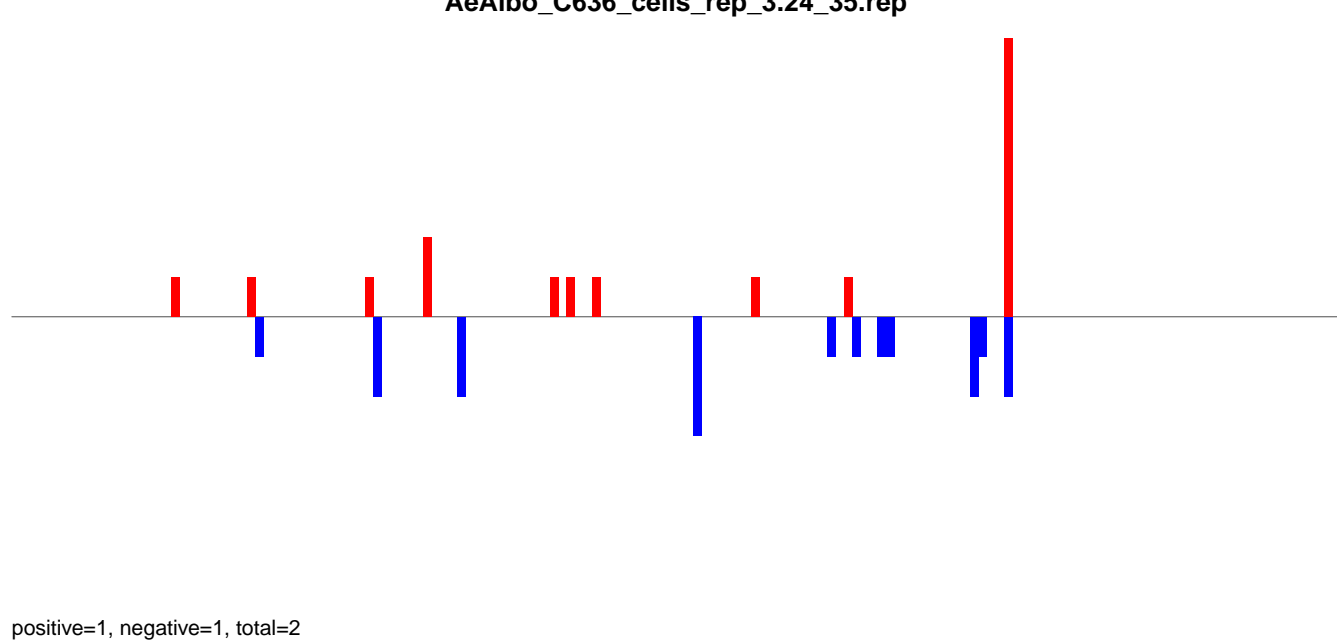
positive=11, negative=9, total=20 Window size=25, length=3991, virus@MH188044.1-Culex_densovirus_strain_CDenV_Madera-3:1-3991

0 1000 2000 3000 4000

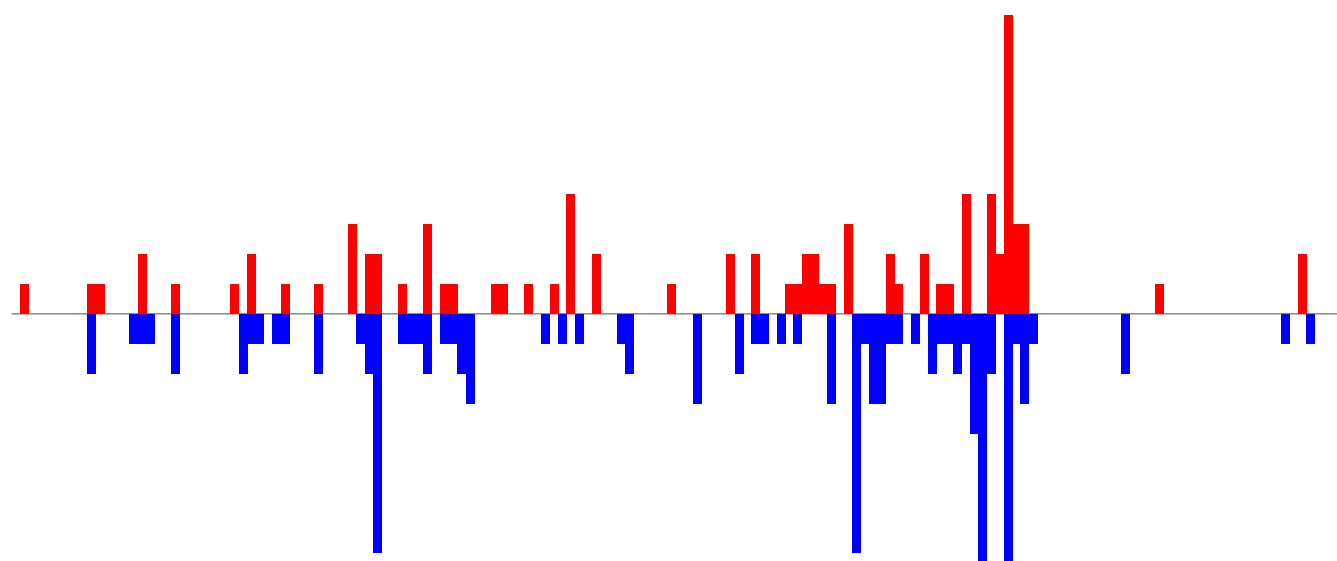
AeAlbo_C636_cells_rep_3.18_23.rep



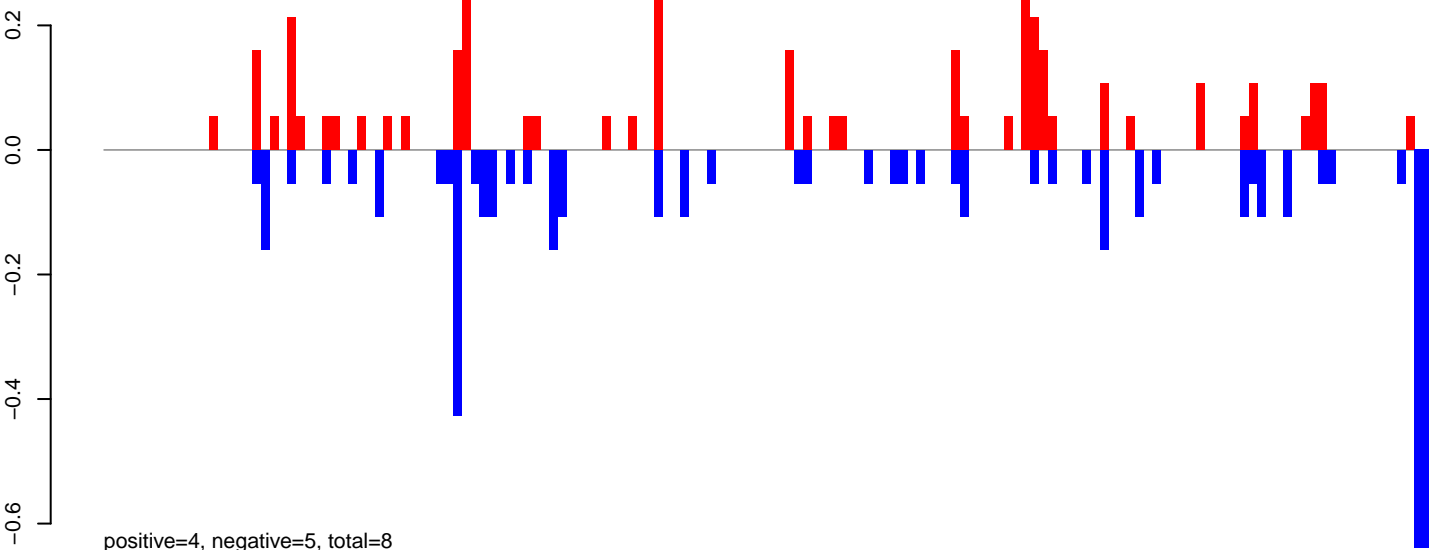
AeAlbo_C636_cells_rep_3.24_35.rep



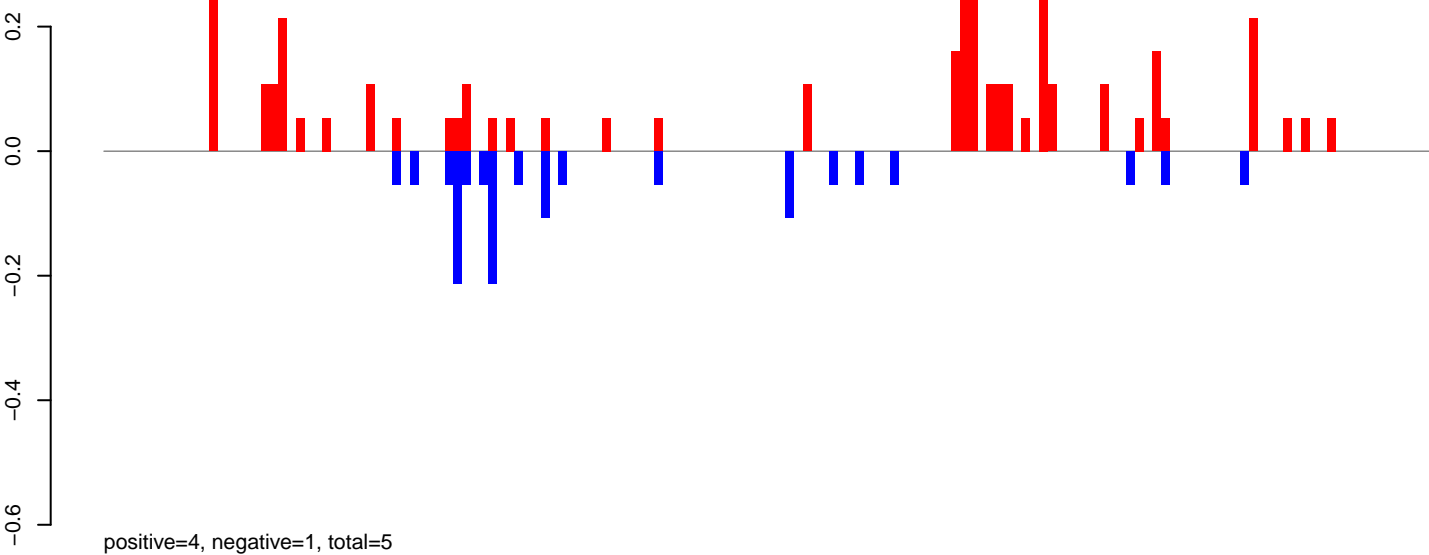
AeAlbo_C636_cells_rep_3.rep



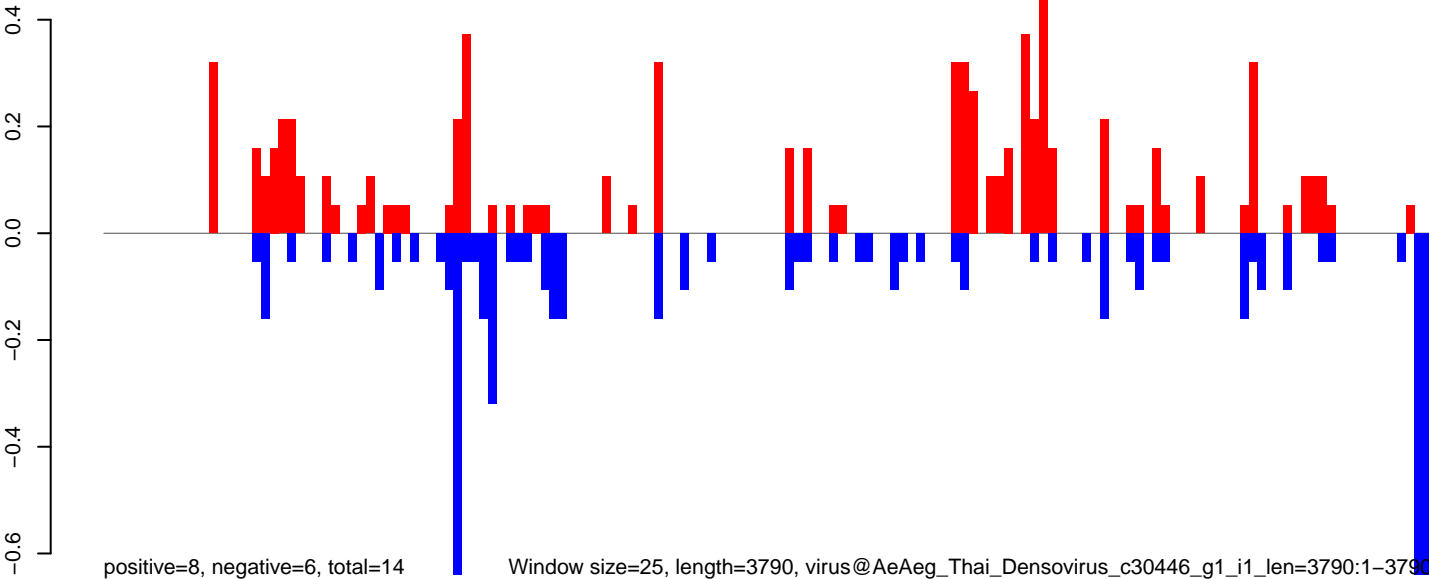
AeAlbo_C636_cells_rep_3.18_23.rep



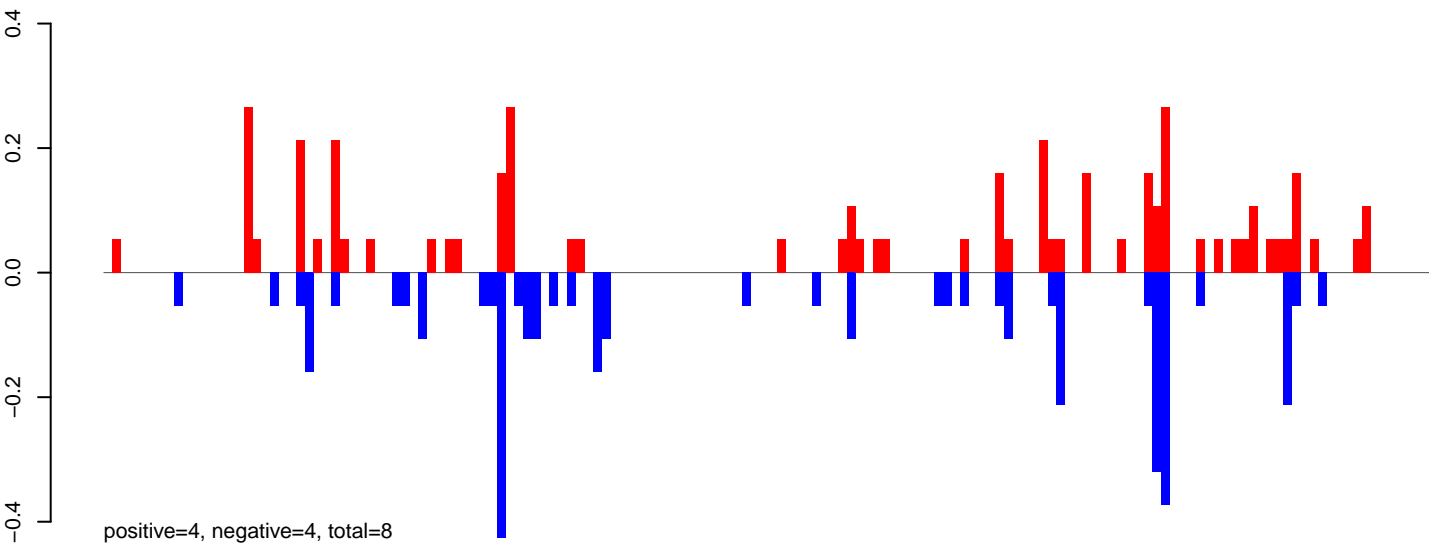
AeAlbo_C636_cells_rep_3.24_35.rep



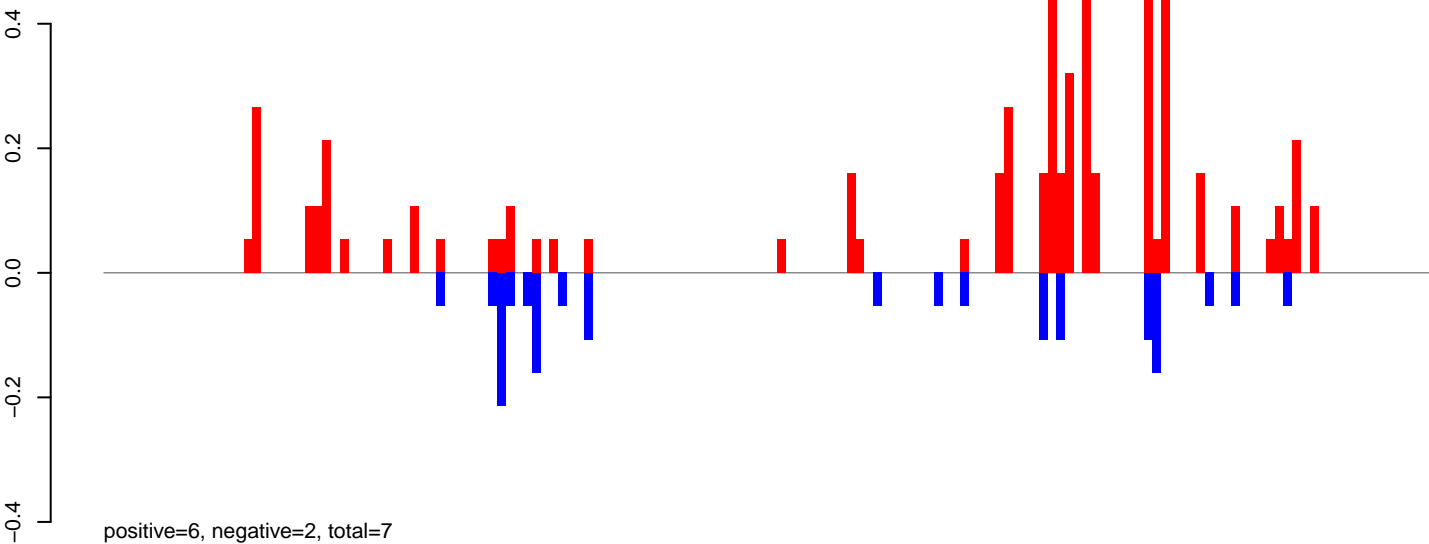
AeAlbo_C636_cells_rep_3.rep



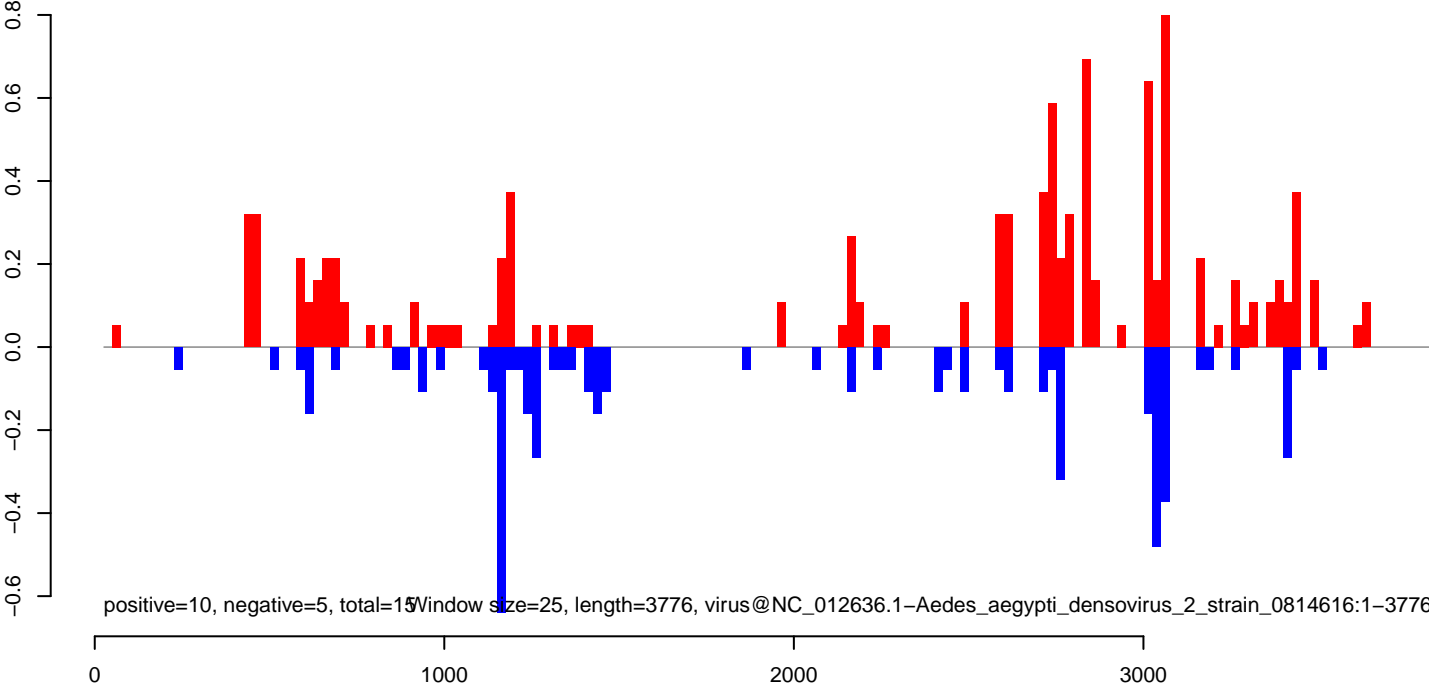
AeAlbo_C636_cells_rep_3.18_23.rep



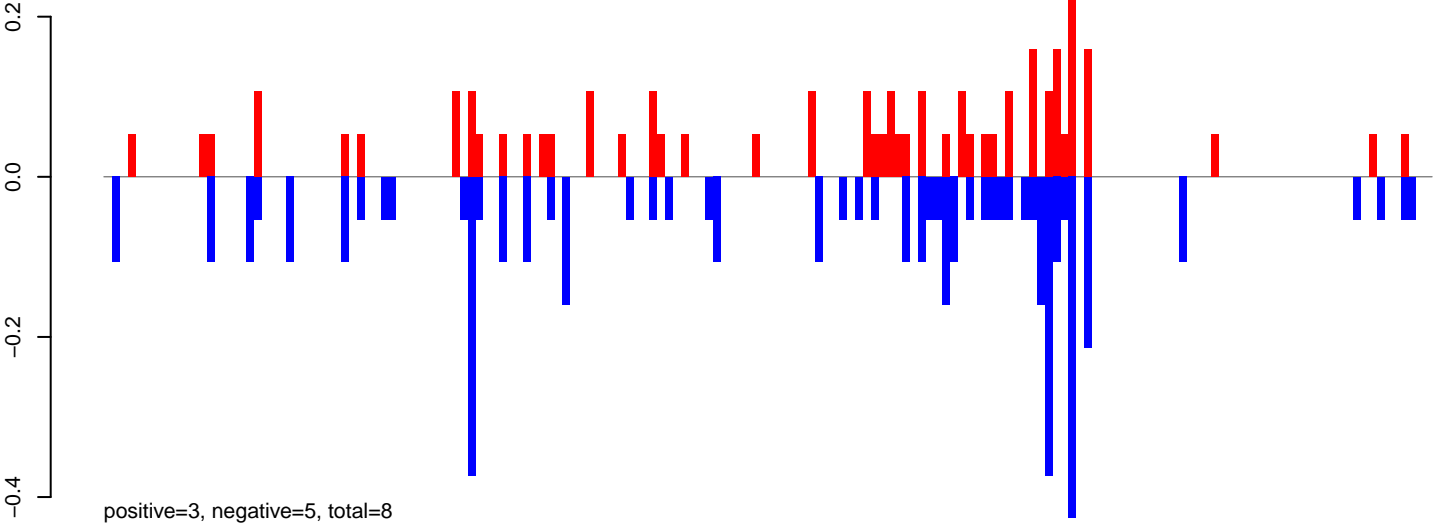
AeAlbo_C636_cells_rep_3.24_35.rep



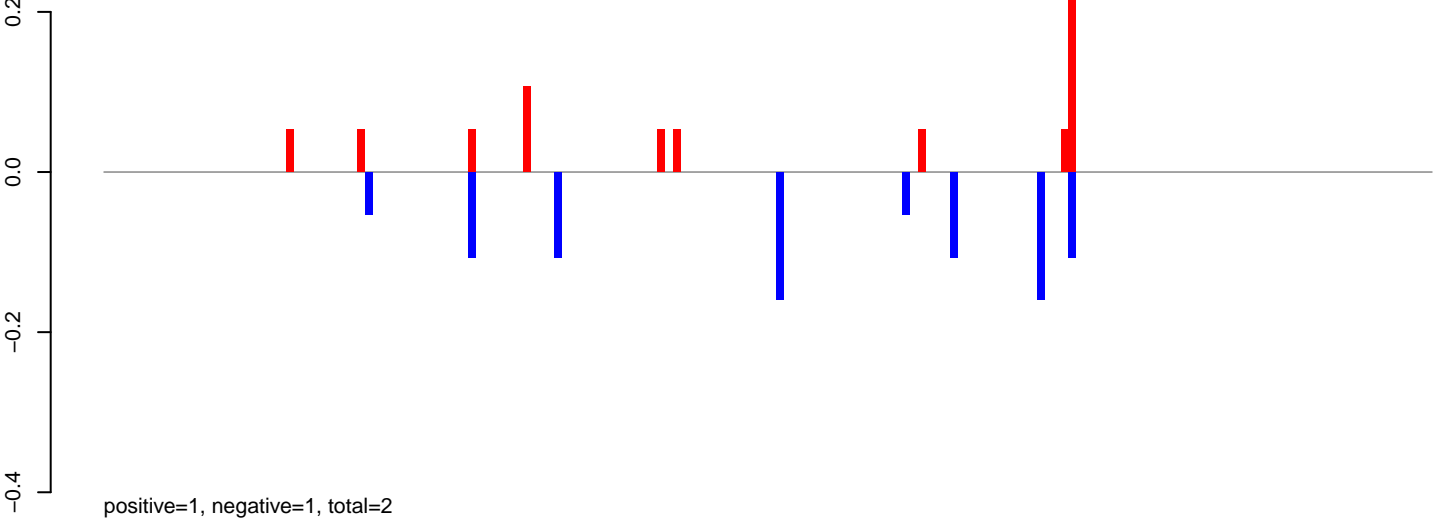
AeAlbo_C636_cells_rep_3.rep



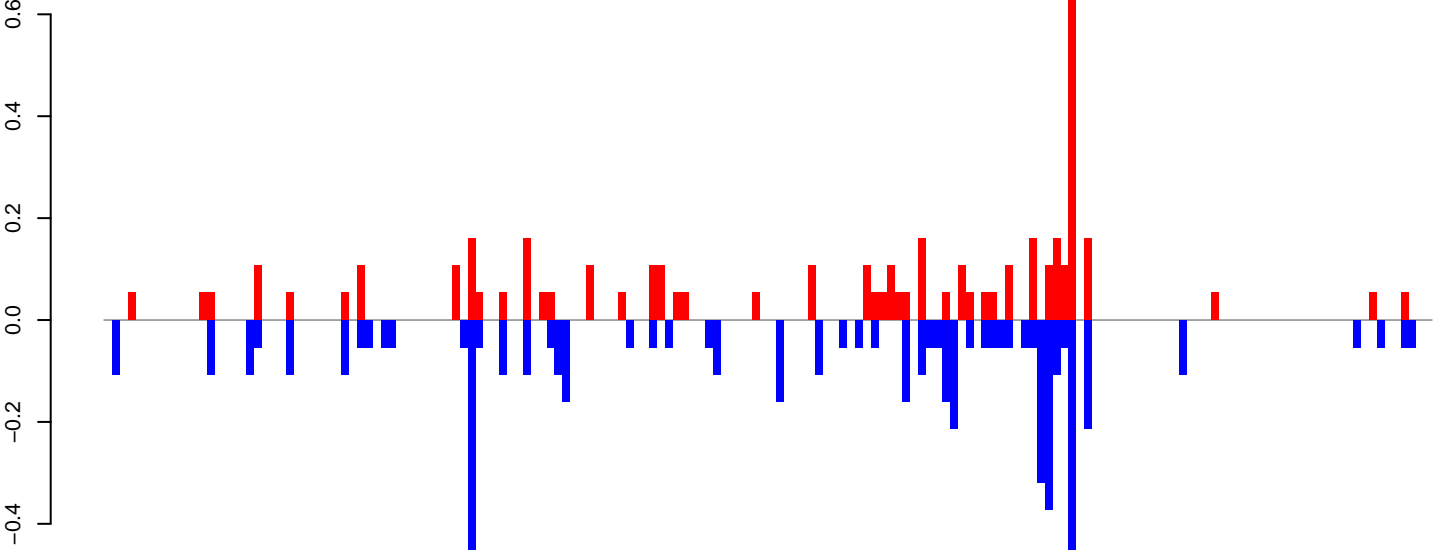
AeAlbo_C636_cells_rep_3.18_23.rep



AeAlbo_C636_cells_rep_3.24_35.rep



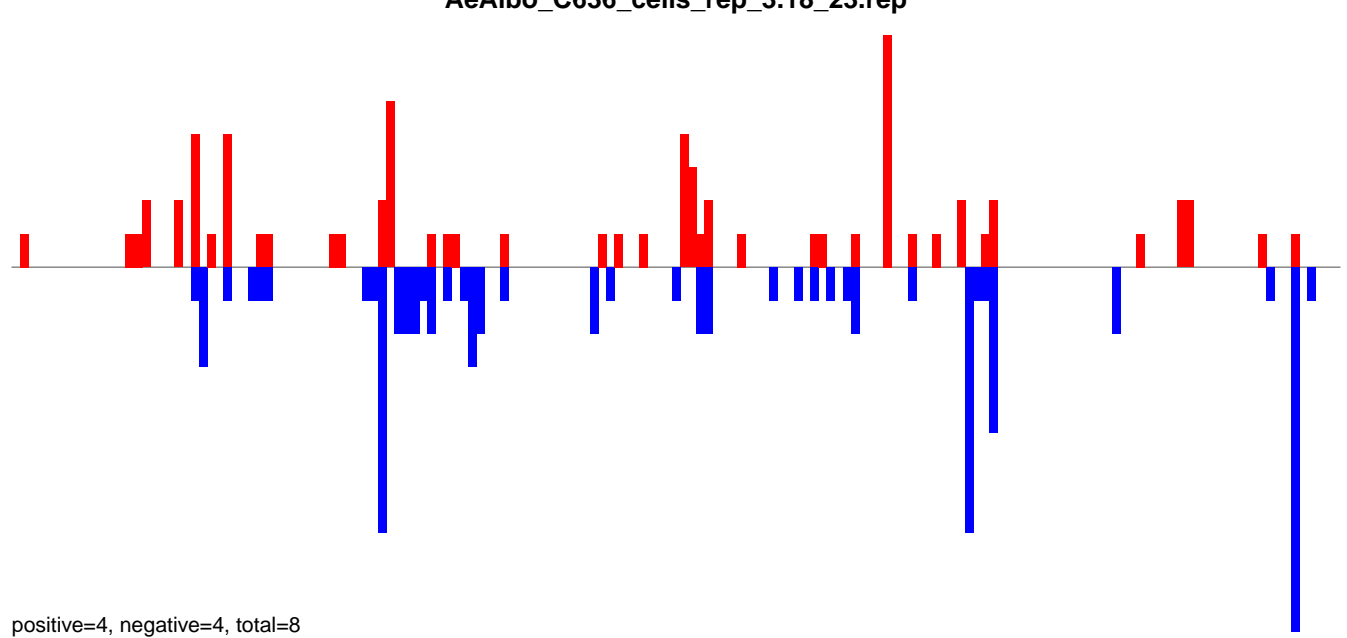
AeAlbo_C636_cells_rep_3.rep



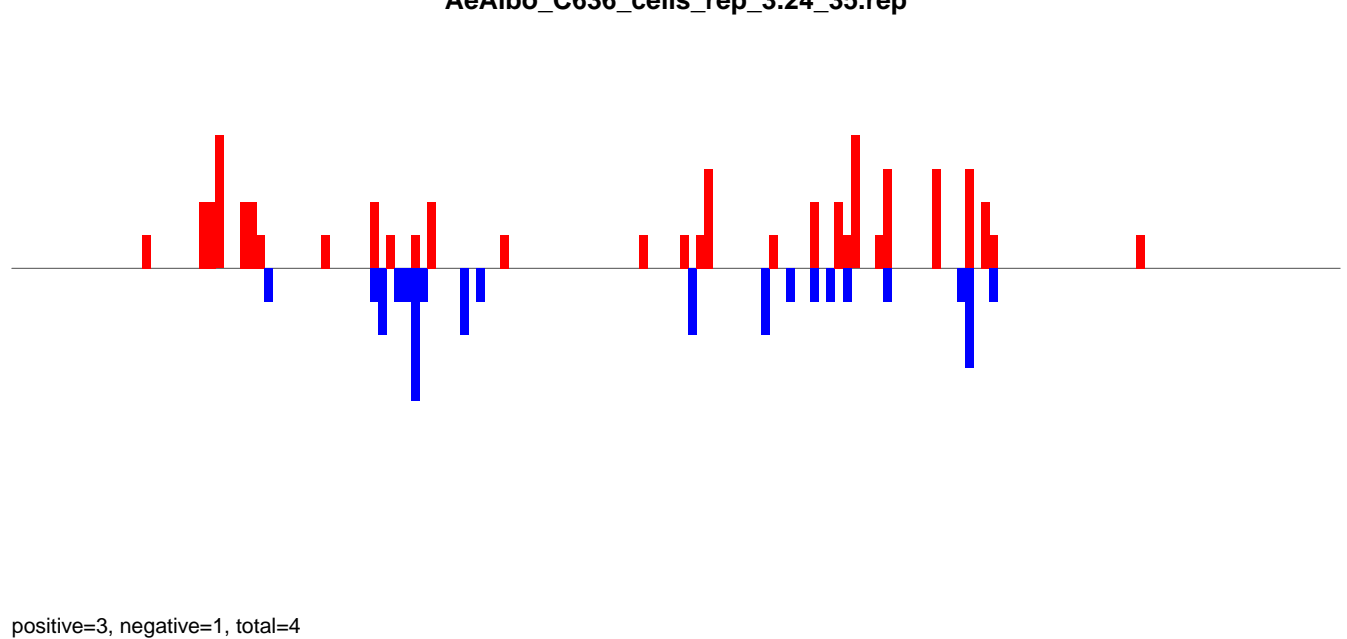
Window size=25, length=4176, virus@X74945.1-Aedes albopictus_densovirus_2_DNA:1-4176

0 1000 2000 3000 4000

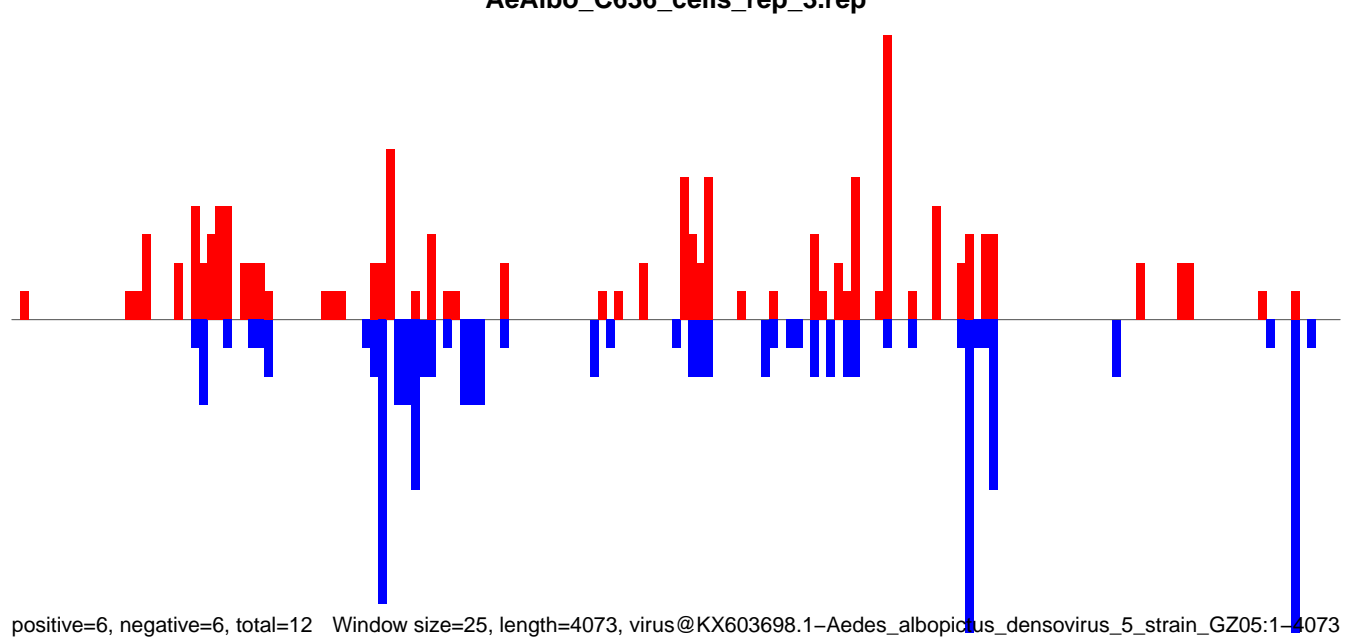
AeAlbo_C636_cells_rep_3.18_23.rep



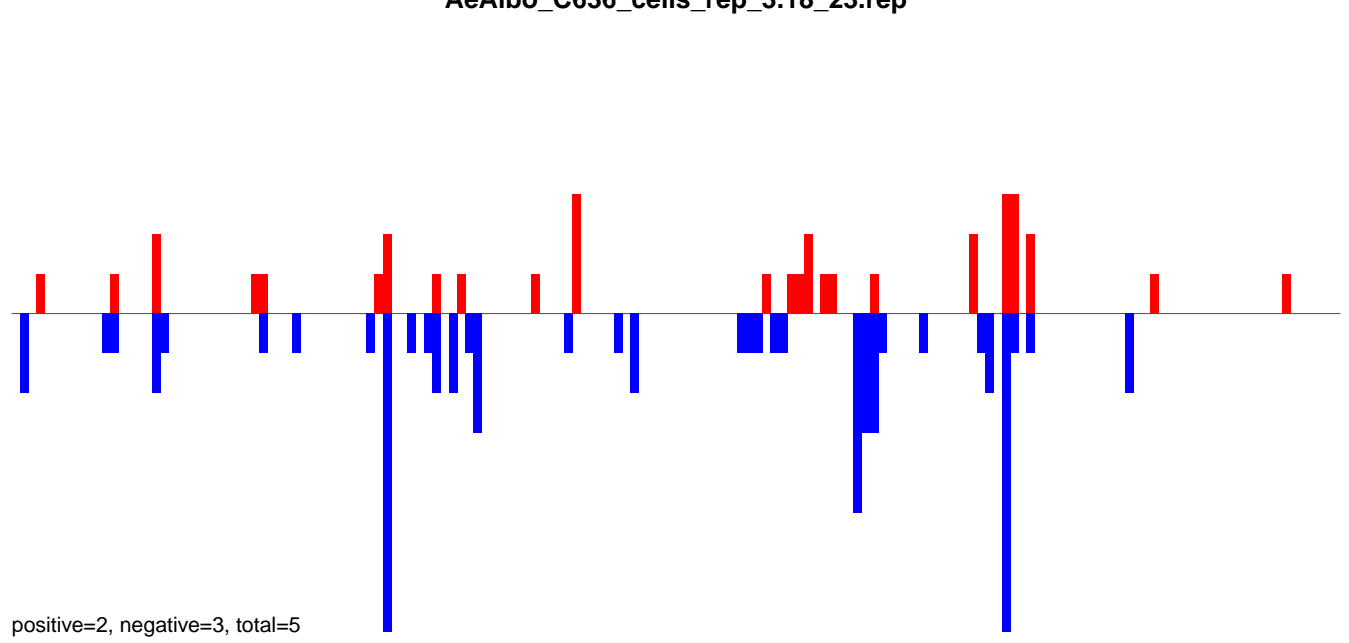
AeAlbo_C636_cells_rep_3.24_35.rep



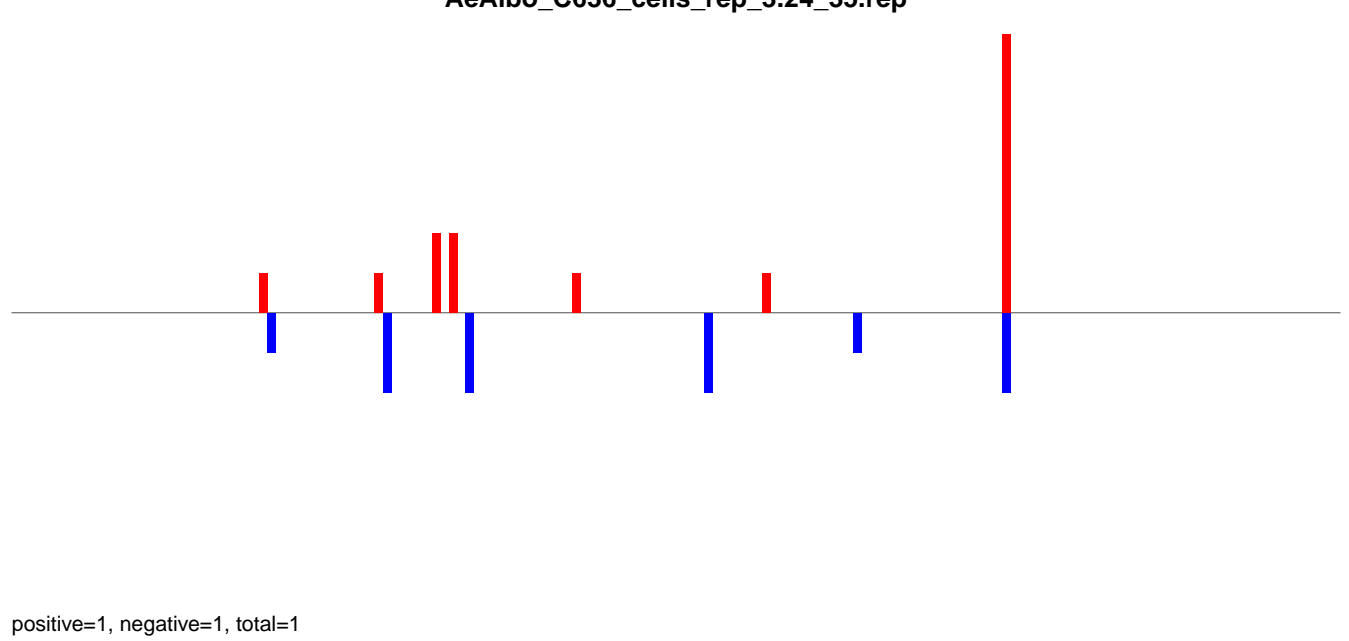
AeAlbo_C636_cells_rep_3.rep



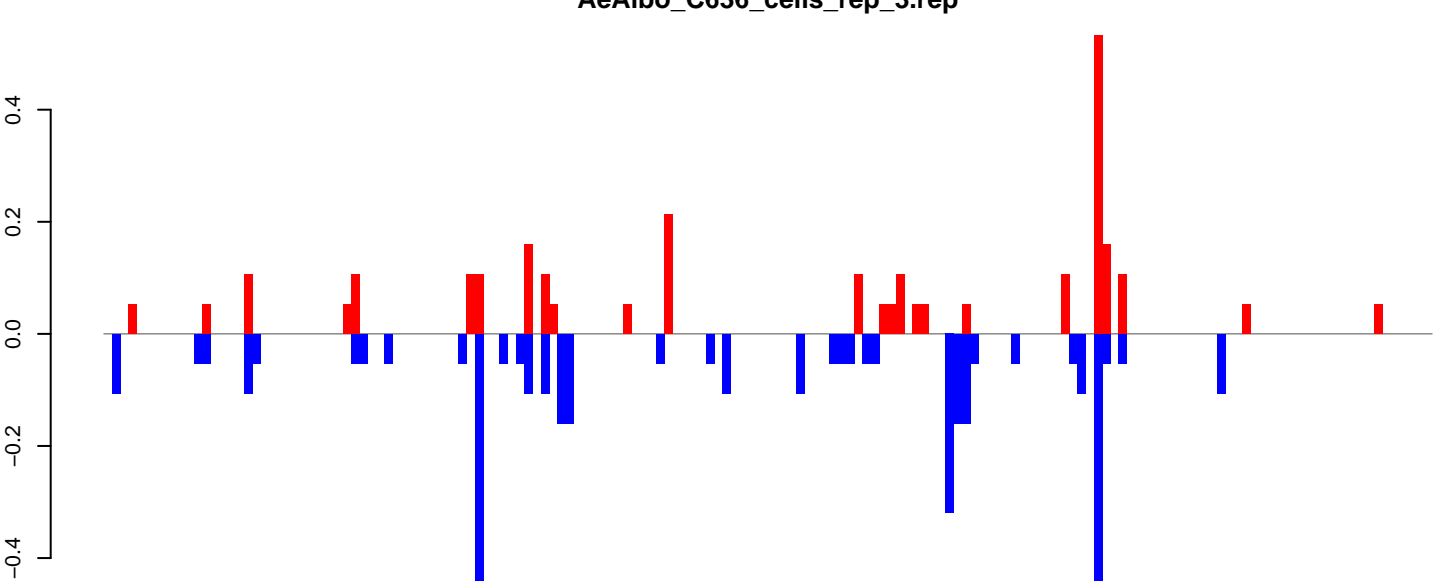
AeAlbo_C636_cells_rep_3.18_23.rep



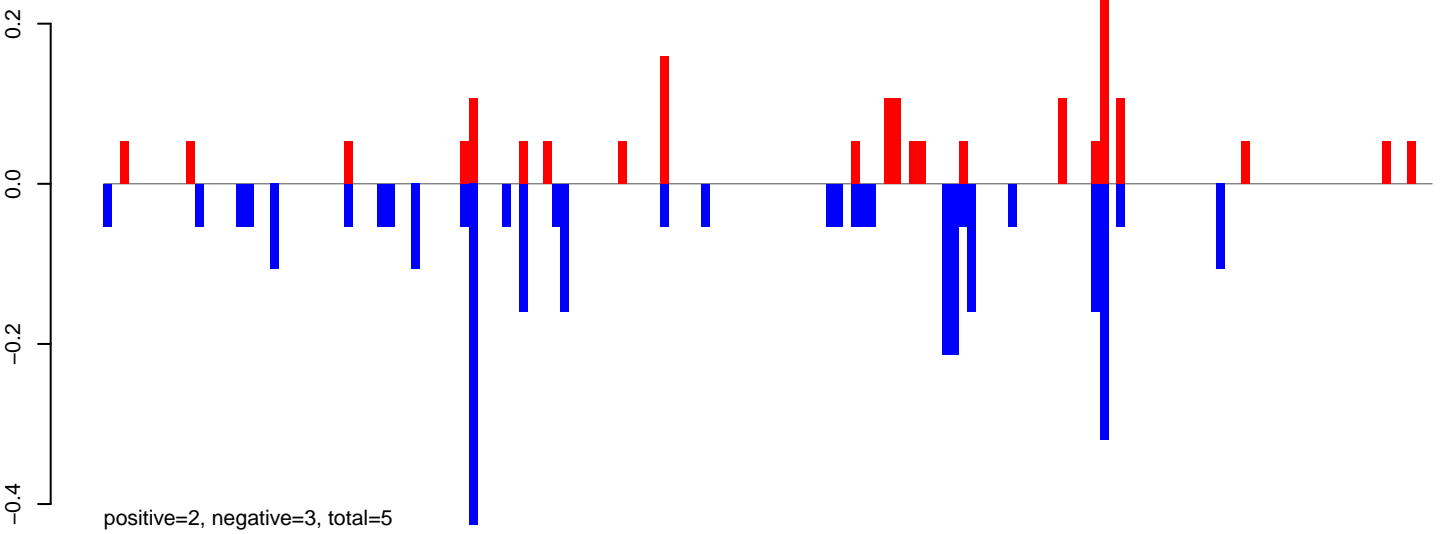
AeAlbo_C636_cells_rep_3.24_35.rep



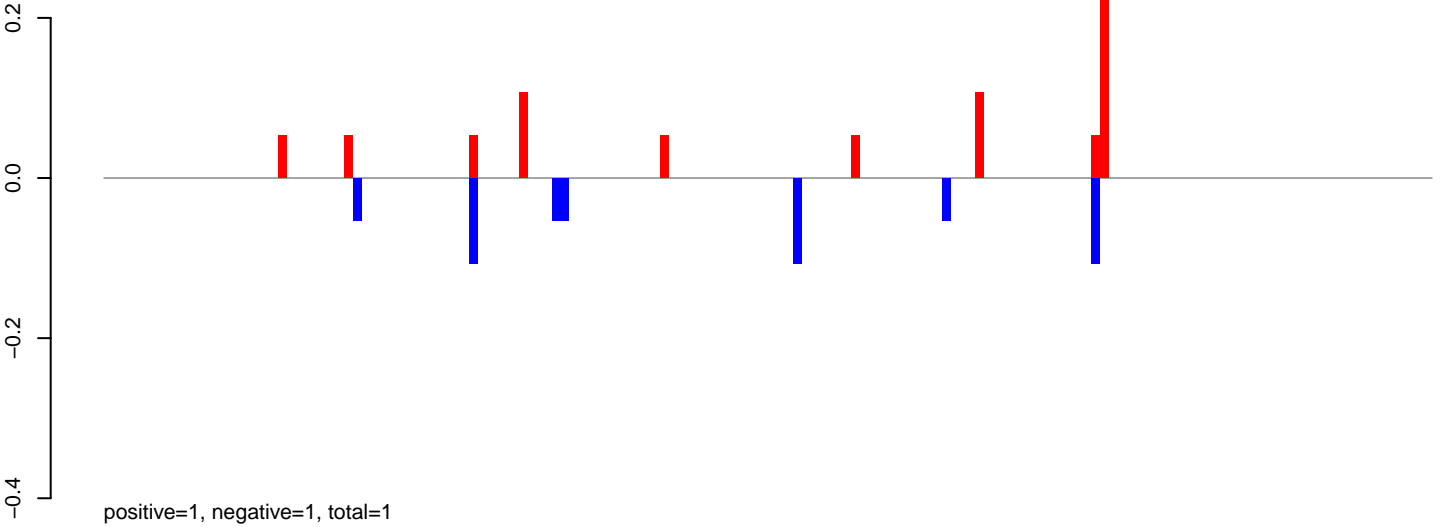
AeAlbo_C636_cells_rep_3.rep



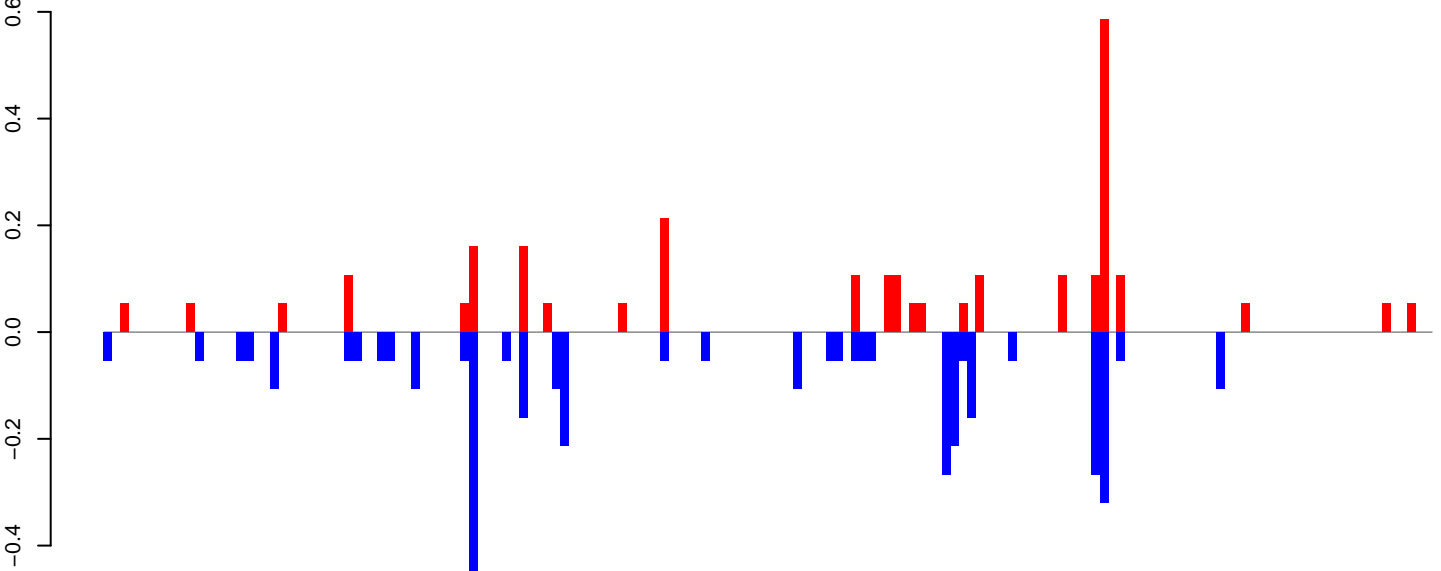
AeAlbo_C636_cells_rep_3.18_23.rep



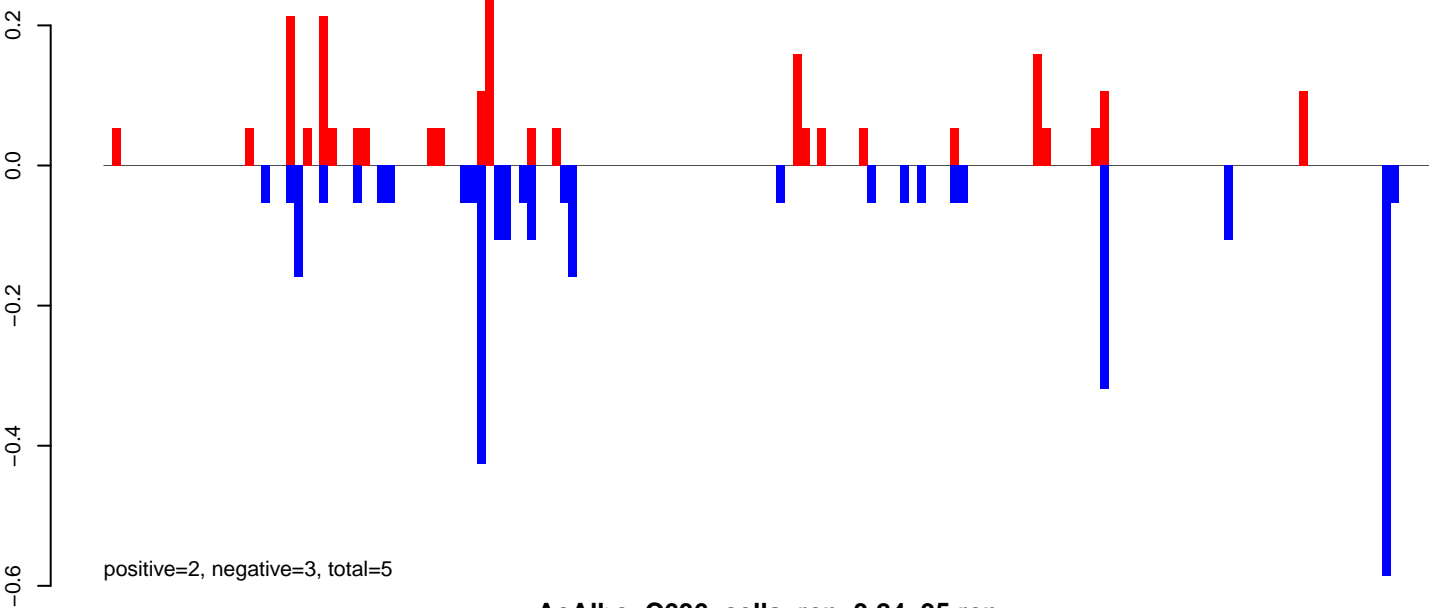
AeAlbo_C636_cells_rep_3.24_35.rep



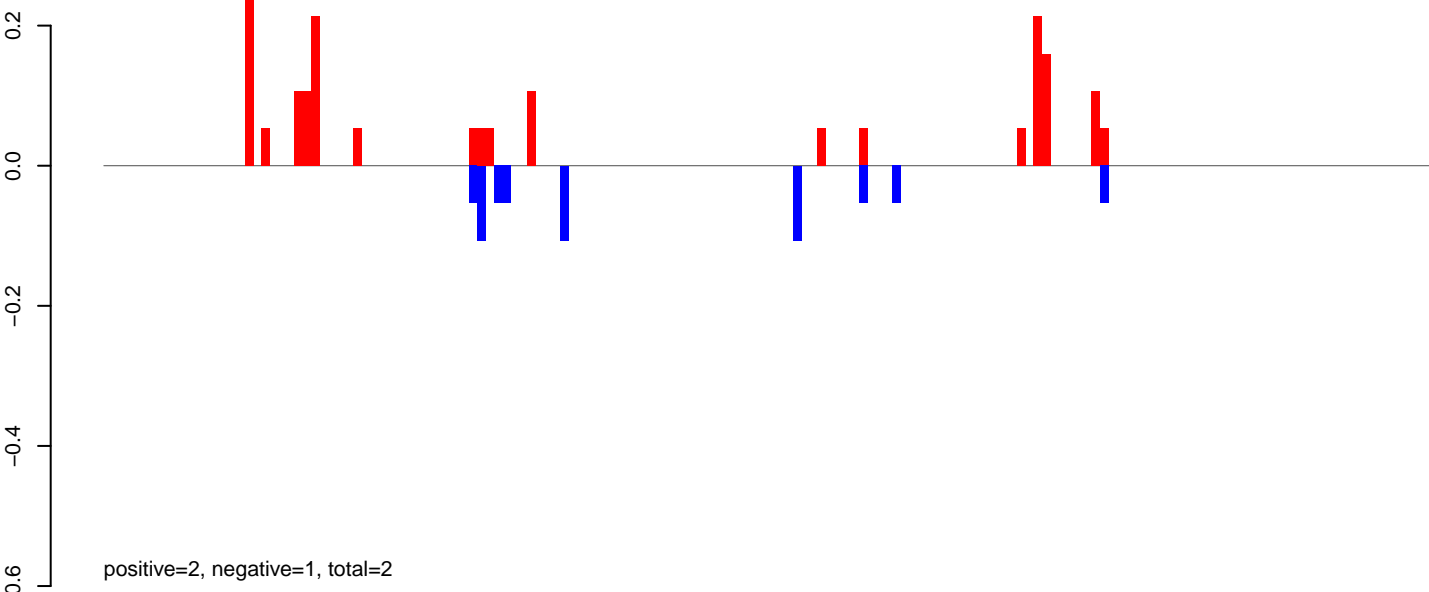
AeAlbo_C636_cells_rep_3.rep



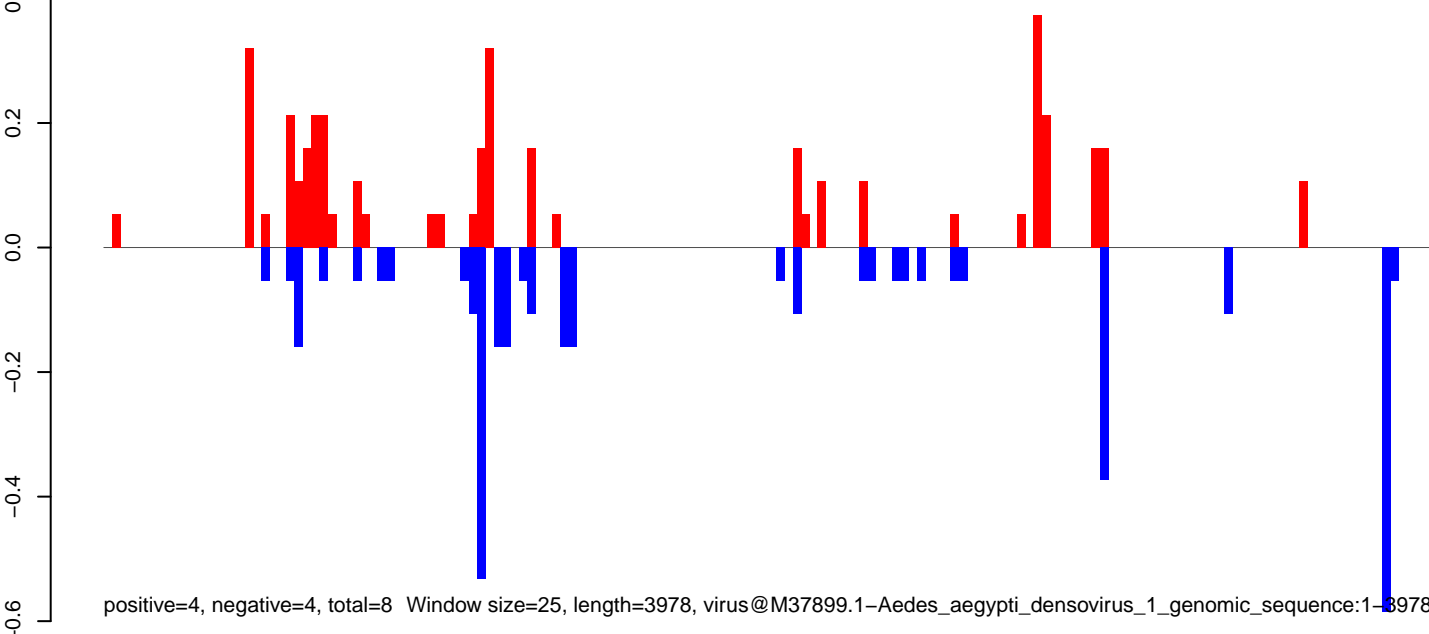
AeAlbo_C636_cells_rep_3.18_23.rep



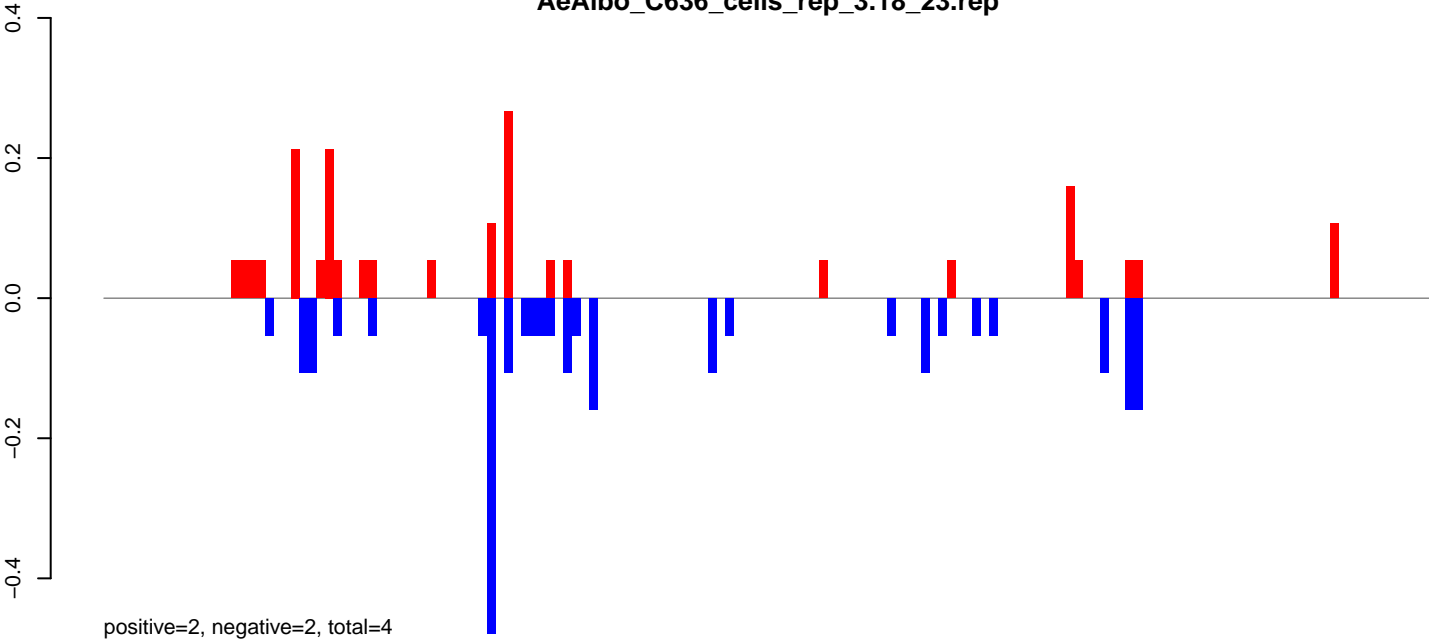
AeAlbo_C636_cells_rep_3.24_35.rep



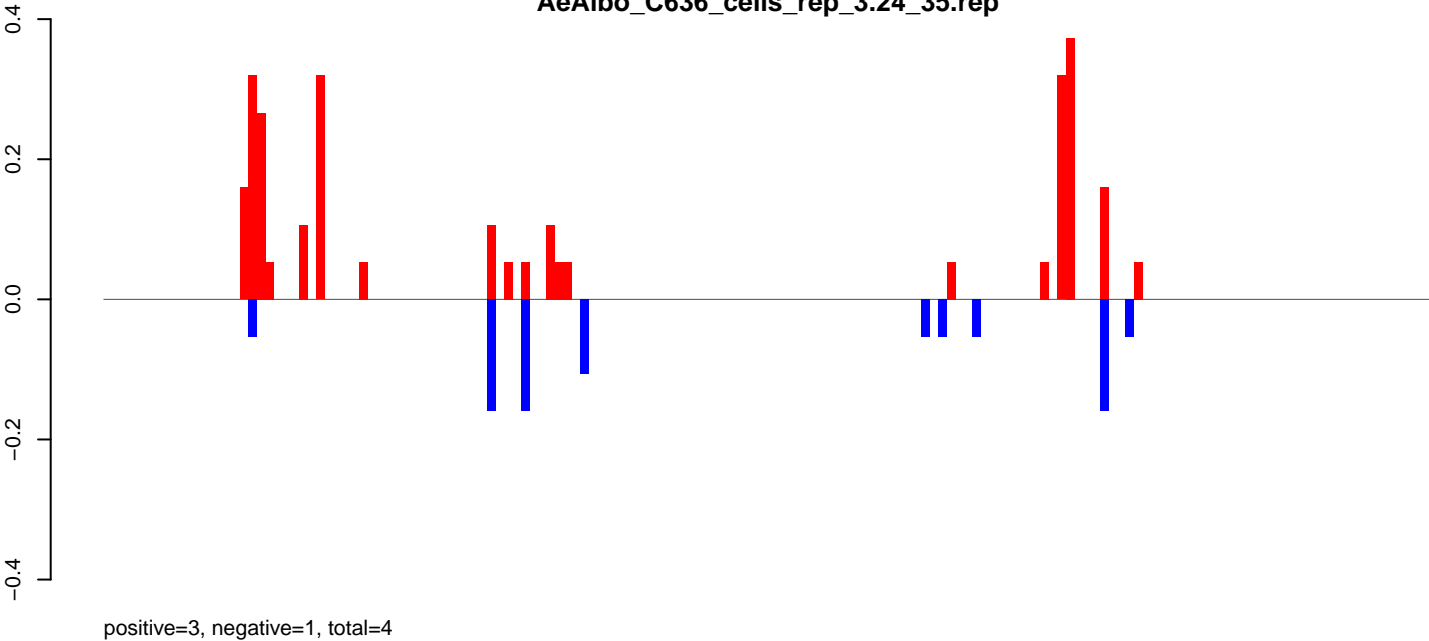
AeAlbo_C636_cells_rep_3.rep



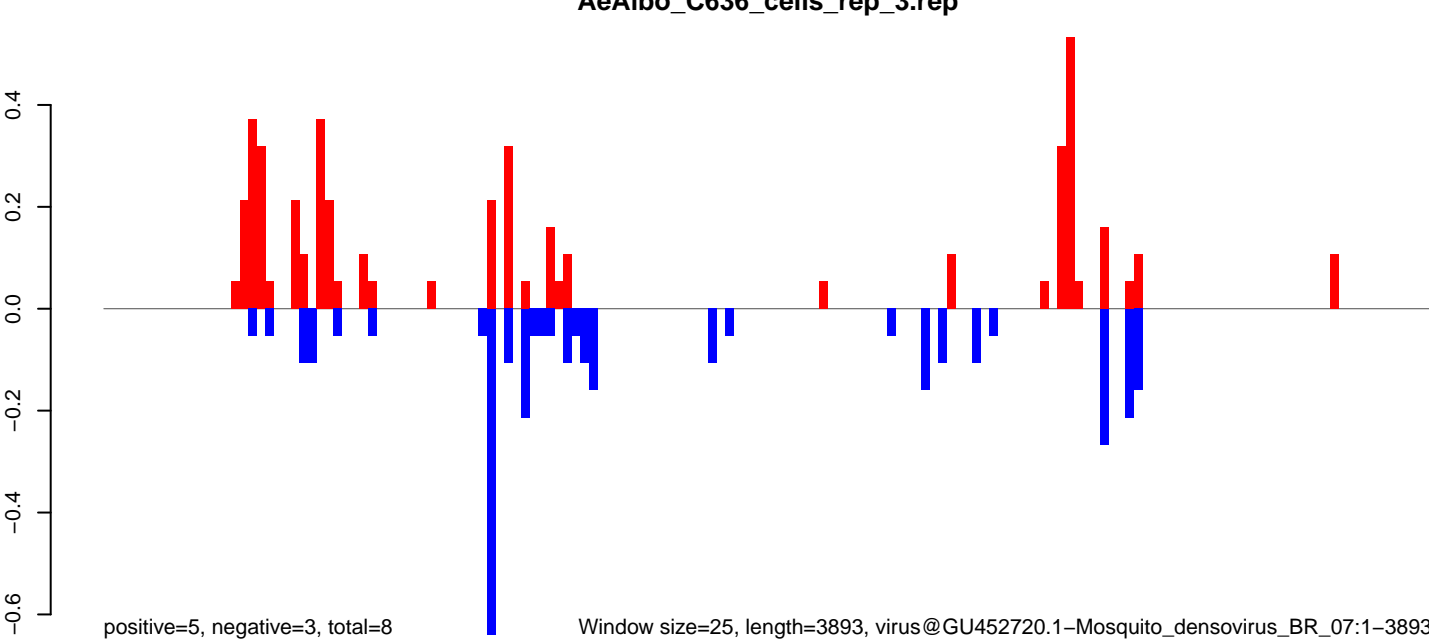
AeAlbo_C636_cells_rep_3.18_23.rep



AeAlbo_C636_cells_rep_3.24_35.rep



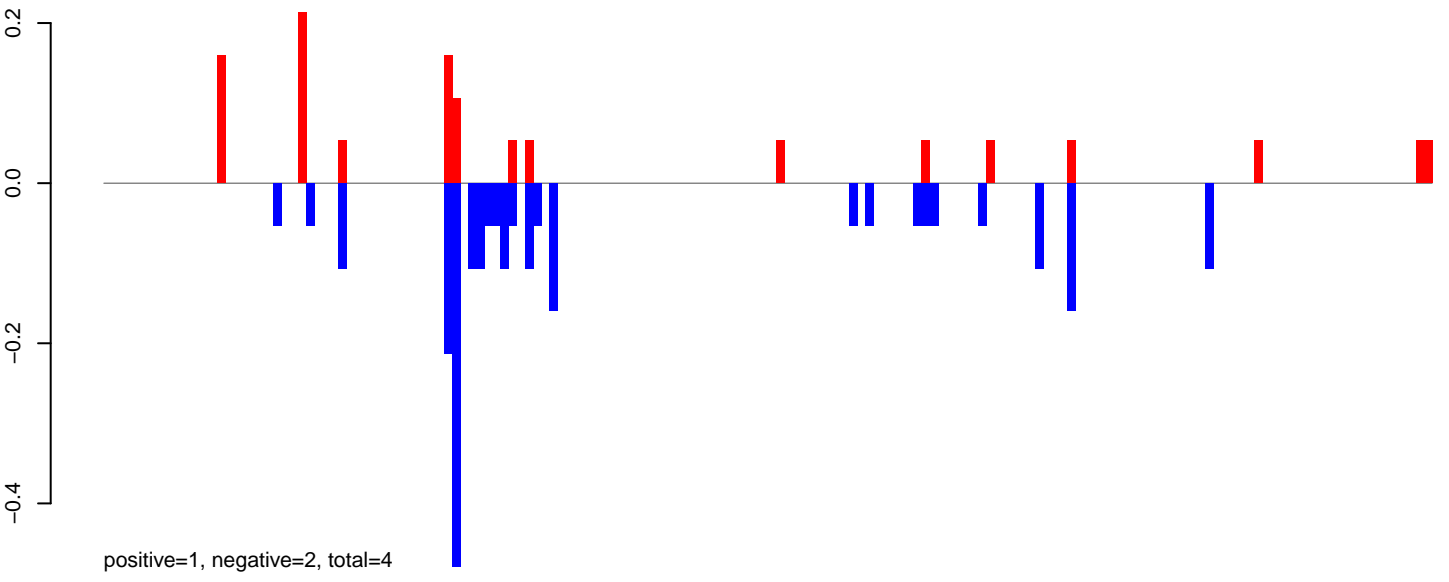
AeAlbo_C636_cells_rep_3.rep



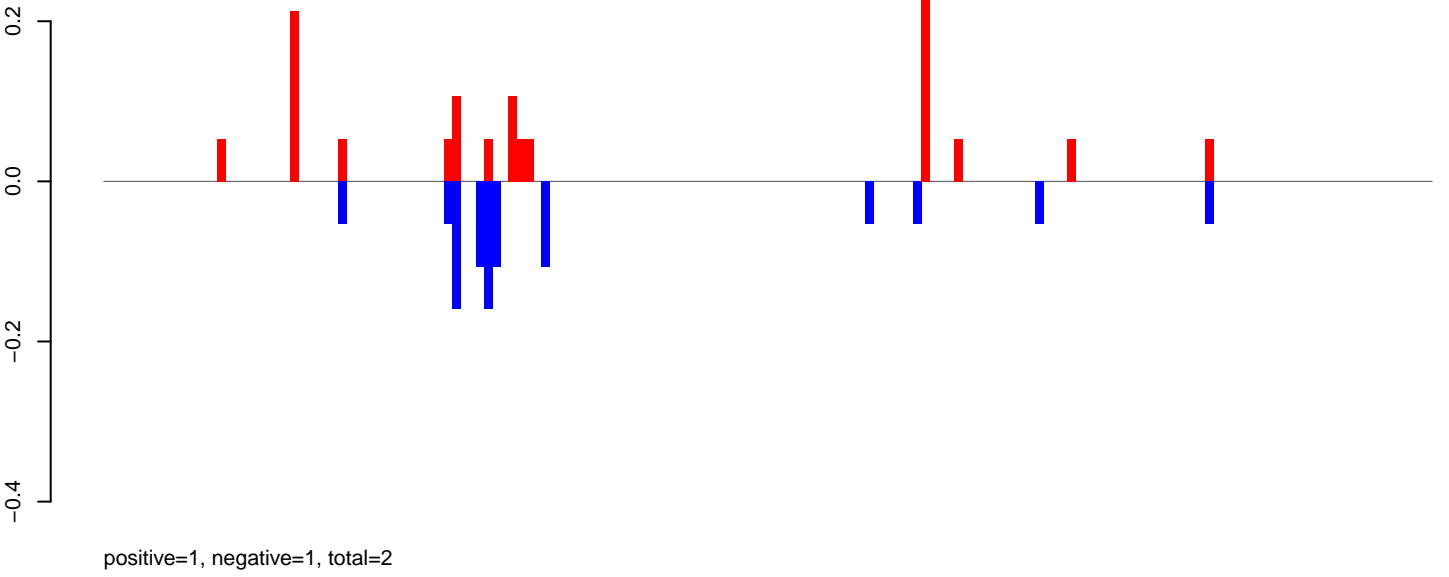
Window size=25, length=3893, virus@GU452720.1-Mosquito_densovirus_BR_07:1-3893

0 1000 2000 3000 4000

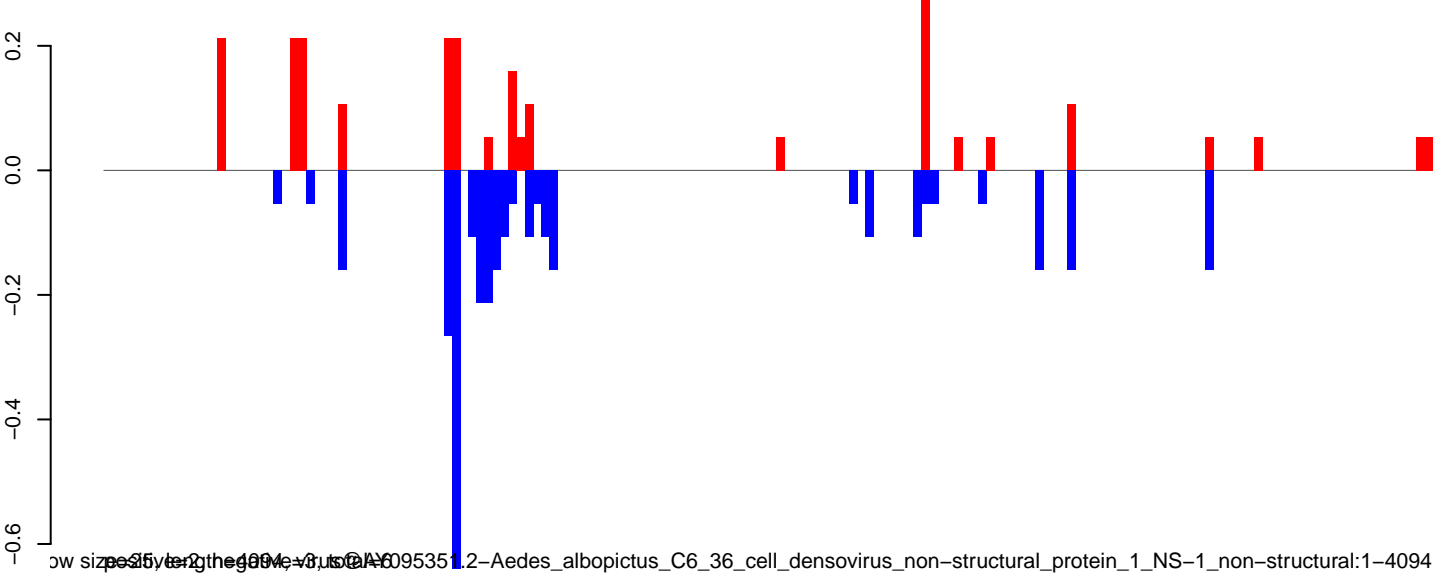
AeAlbo_C636_cells_rep_3.18_23.rep



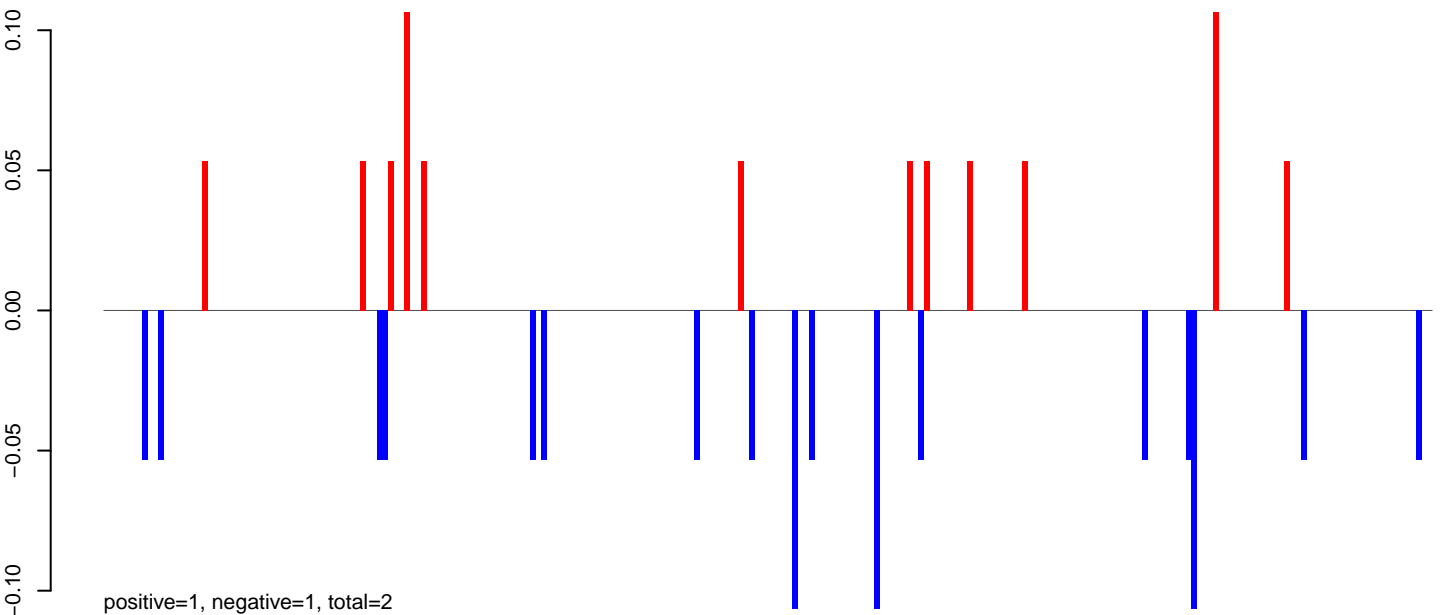
AeAlbo_C636_cells_rep_3.24_35.rep



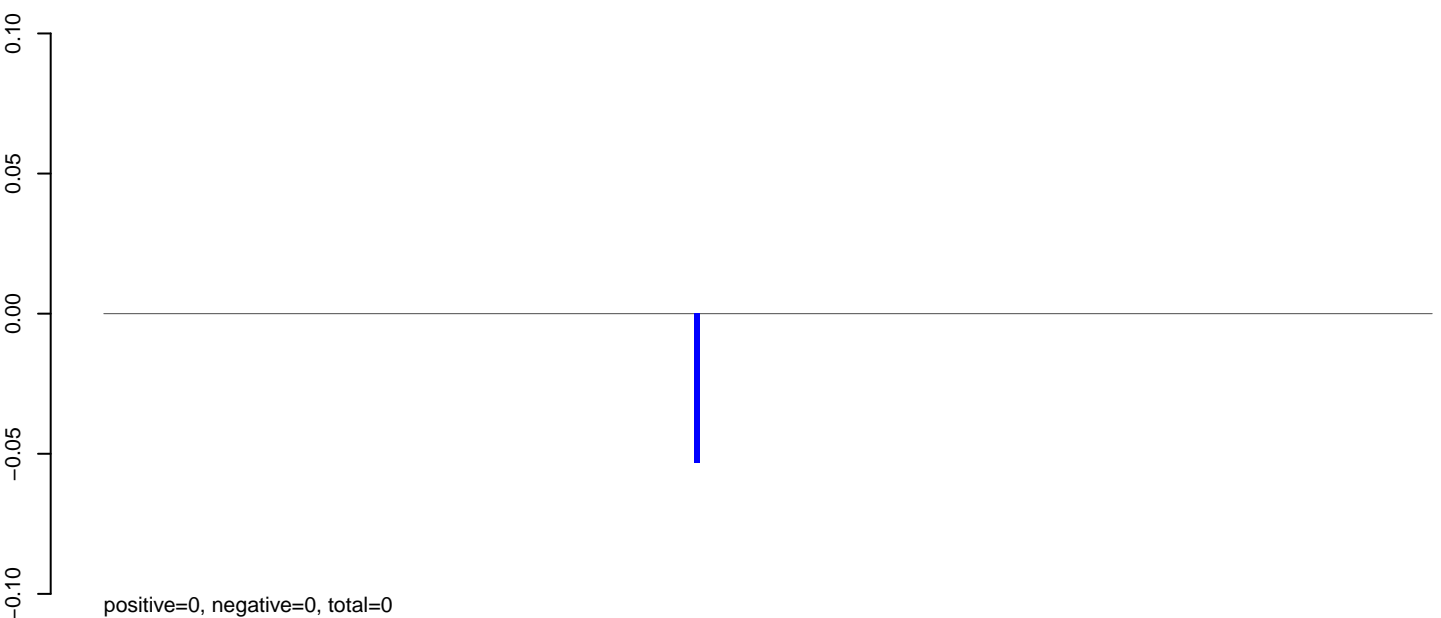
AeAlbo_C636_cells_rep_3.rep



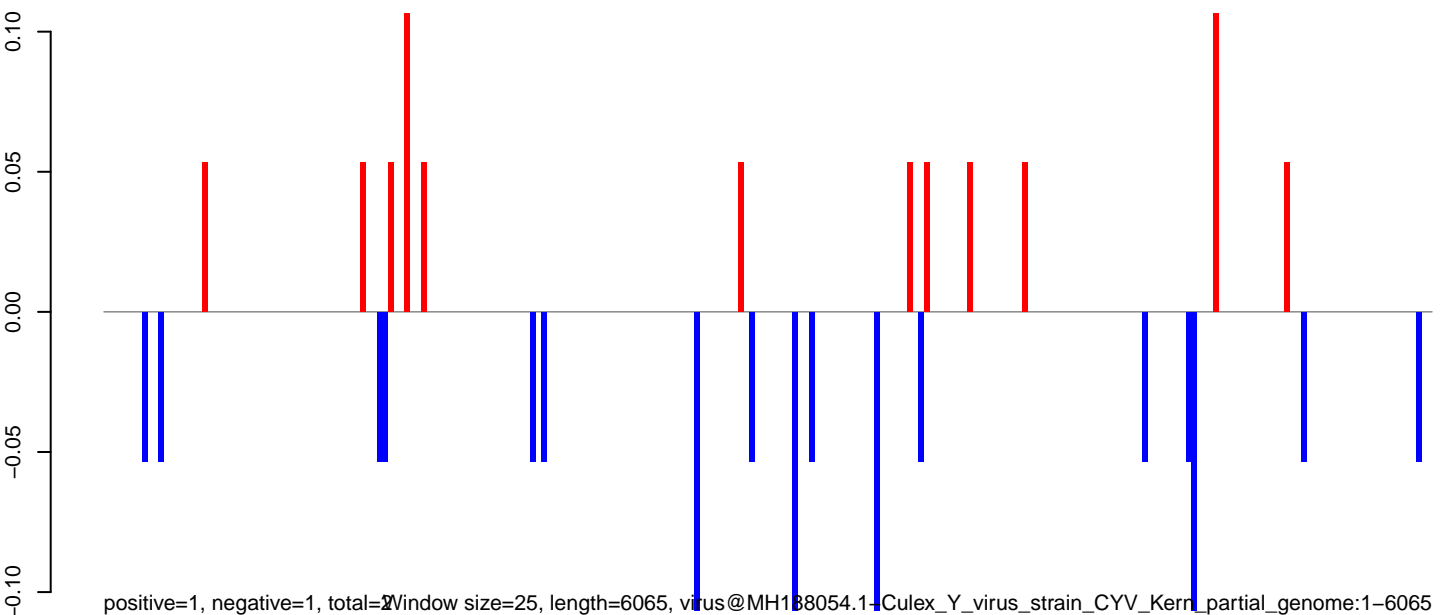
AeAlbo_C636_cells_rep_3.18_23.rep



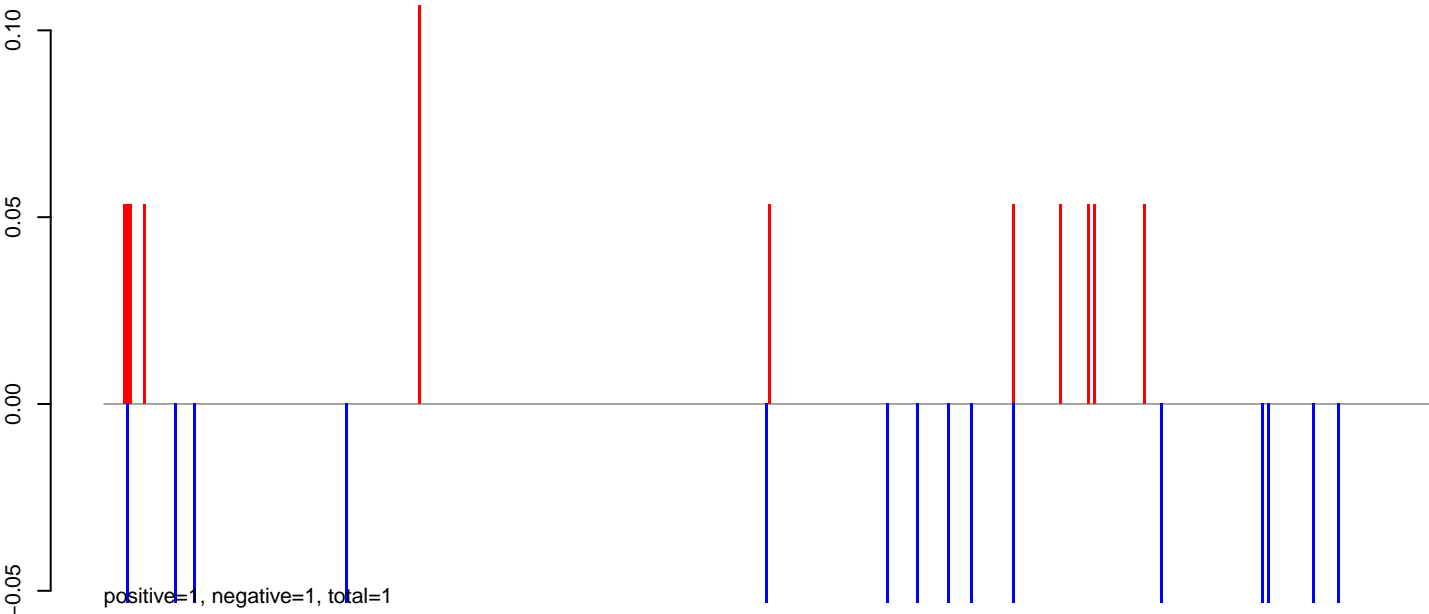
AeAlbo_C636_cells_rep_3.24_35.rep



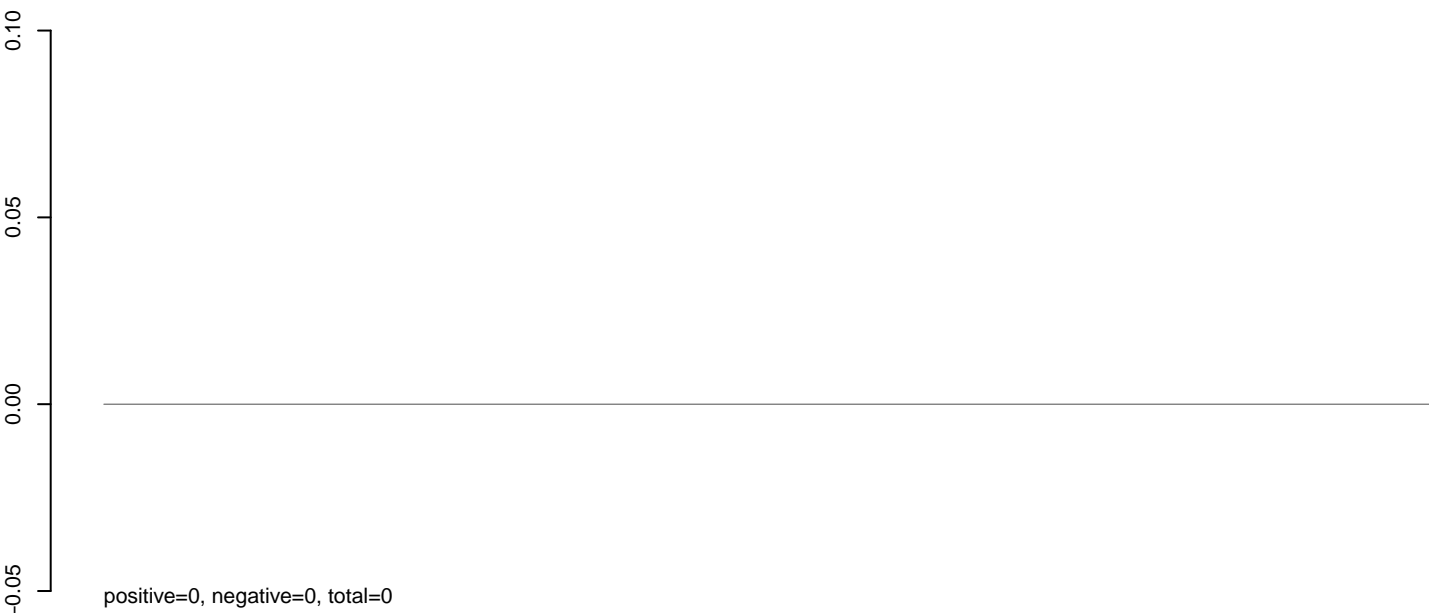
AeAlbo_C636_cells_rep_3.rep



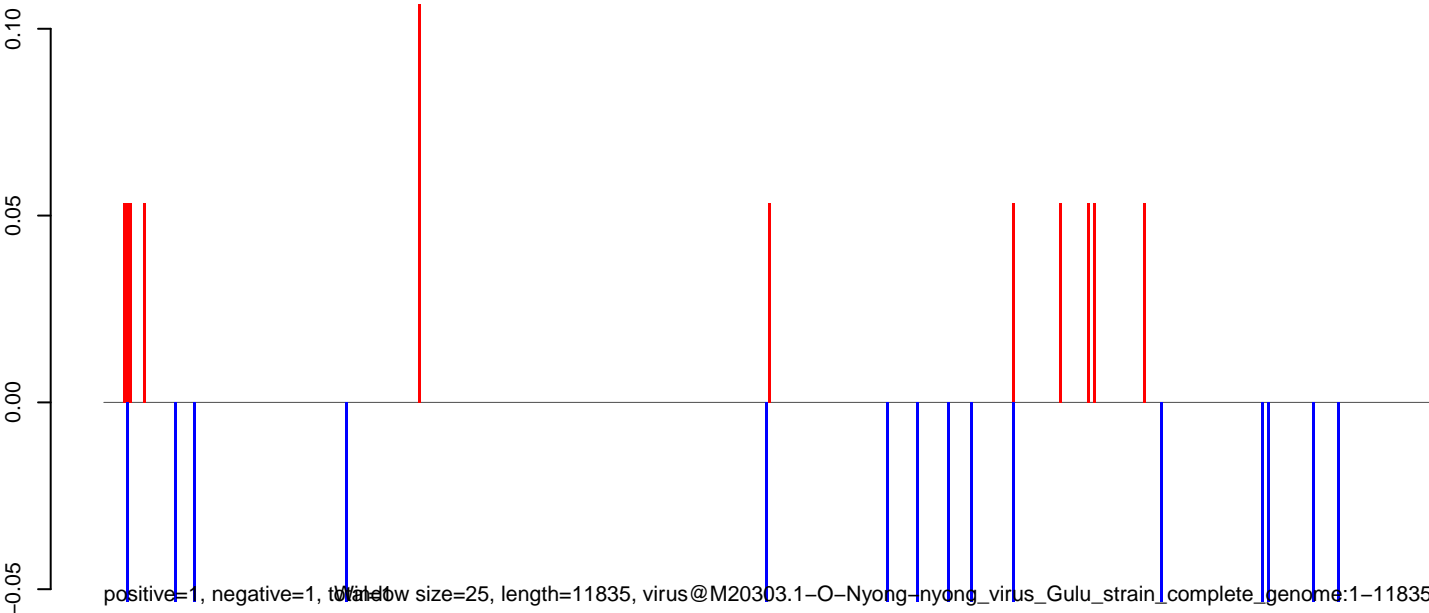
AeAlbo_C636_cells_rep_3.18_23.rep



AeAlbo_C636_cells_rep_3.24_35.rep

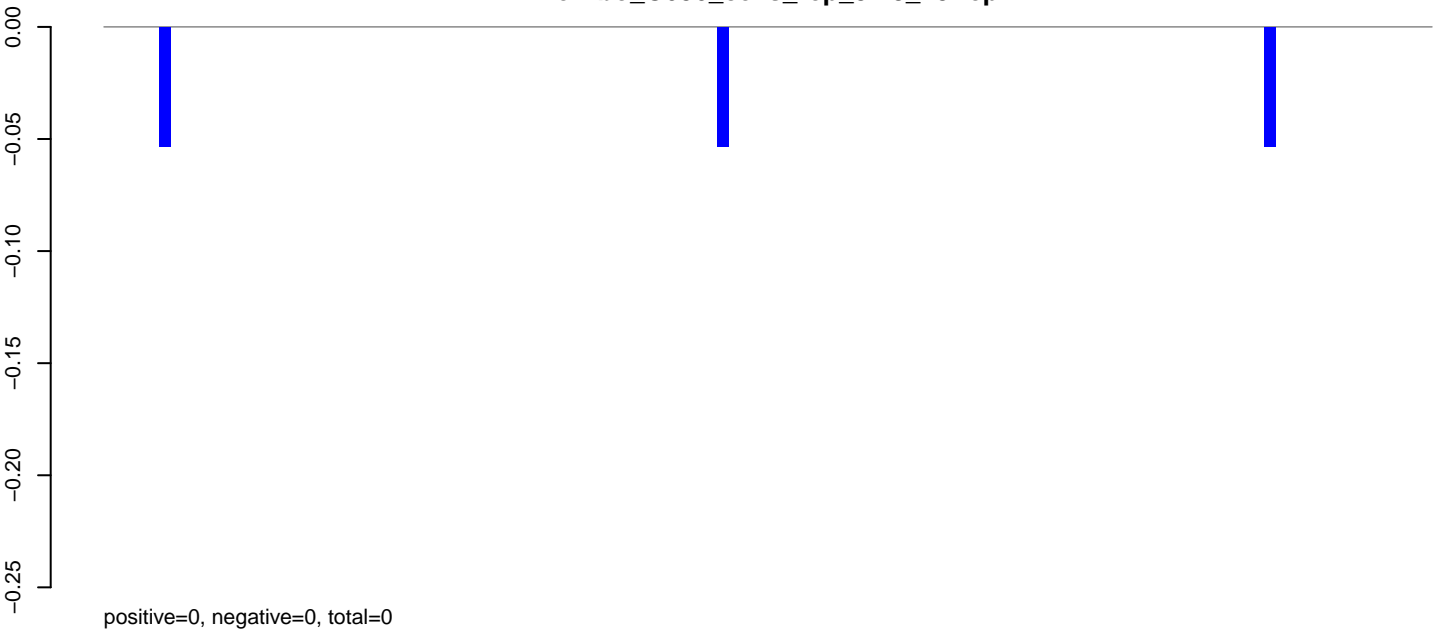


AeAlbo_C636_cells_rep_3.rep

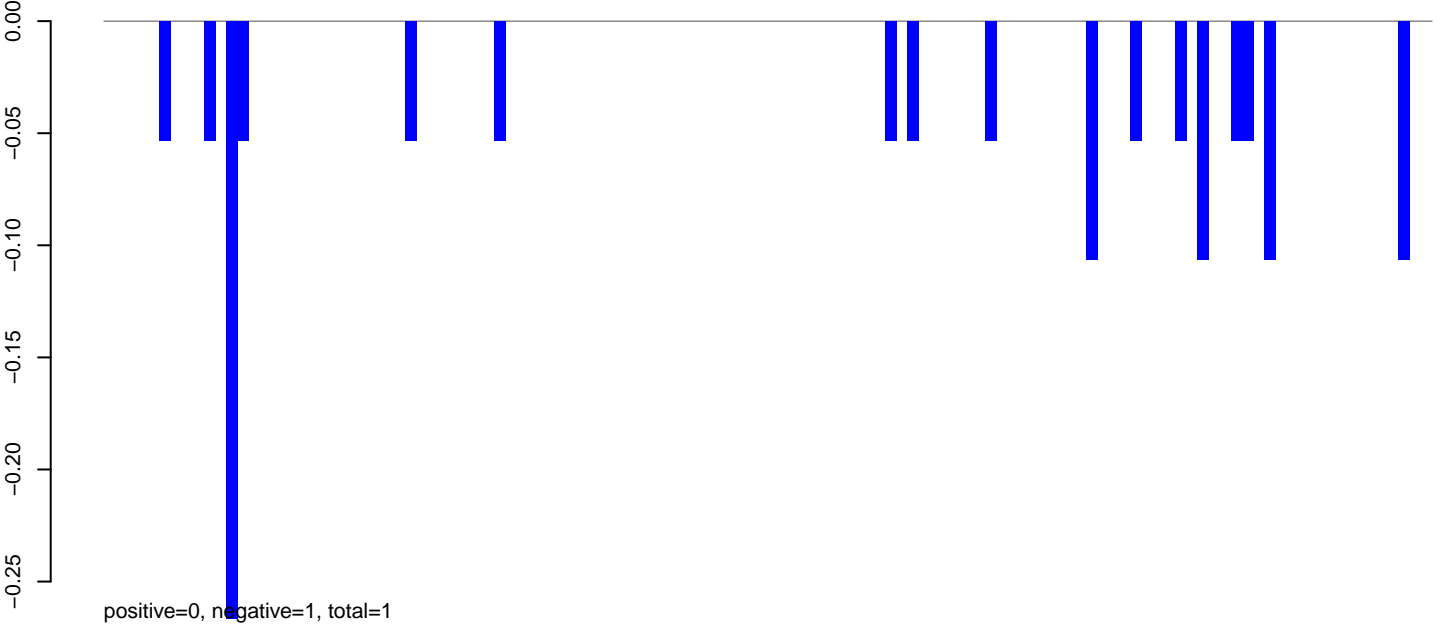


Window size=25, length=11835, virus@M20303.1-O-Nyong-nyong_virus_Gulu_strain_complete_genome:1-11835

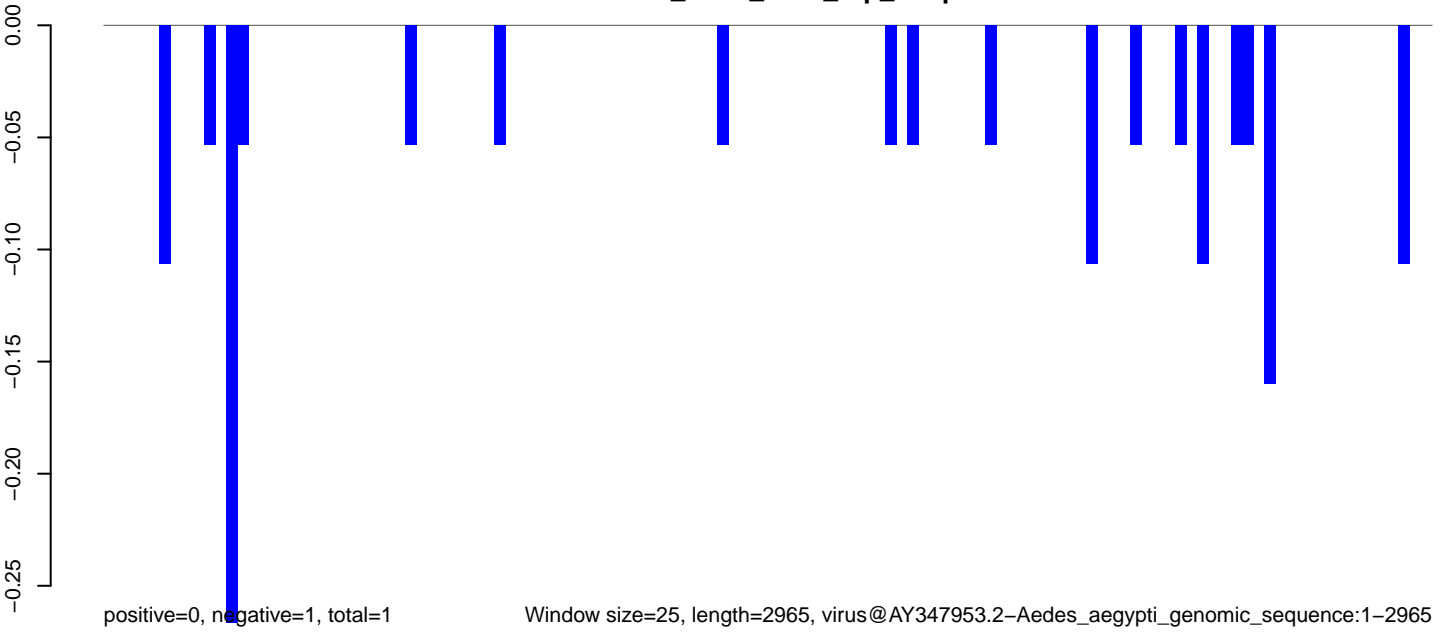
AeAlbo_C636_cells_rep_3.18_23.rep



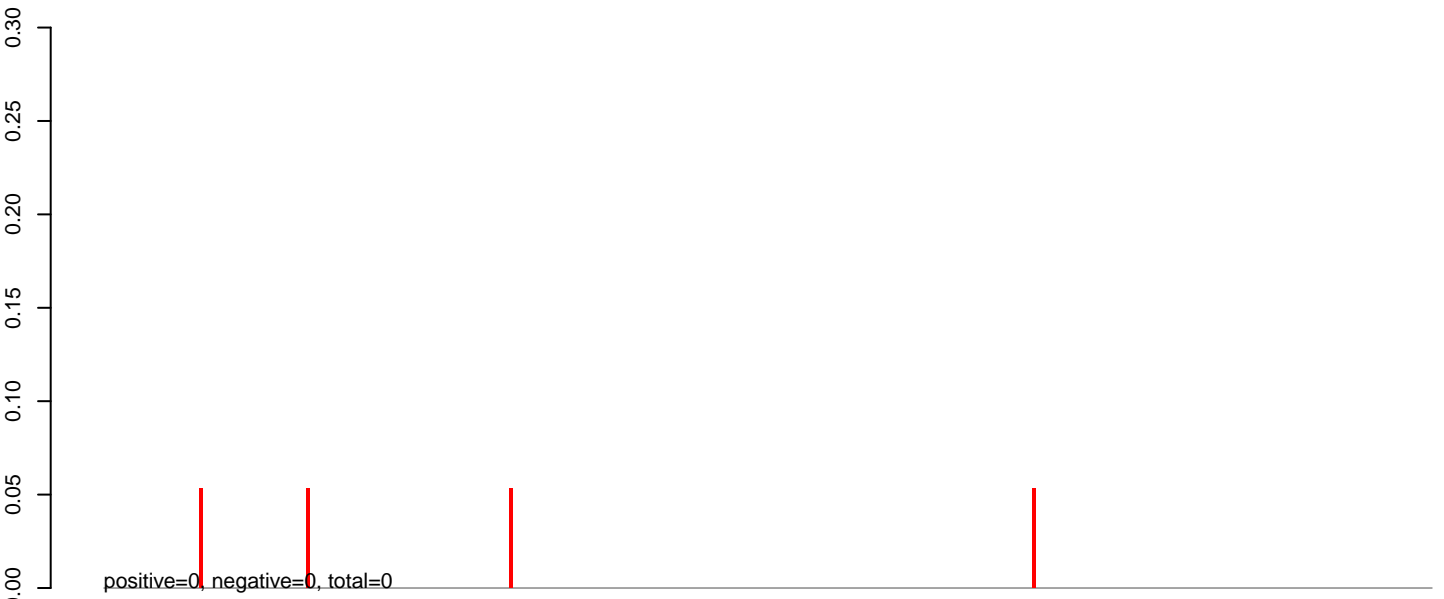
AeAlbo_C636_cells_rep_3.24_35.rep



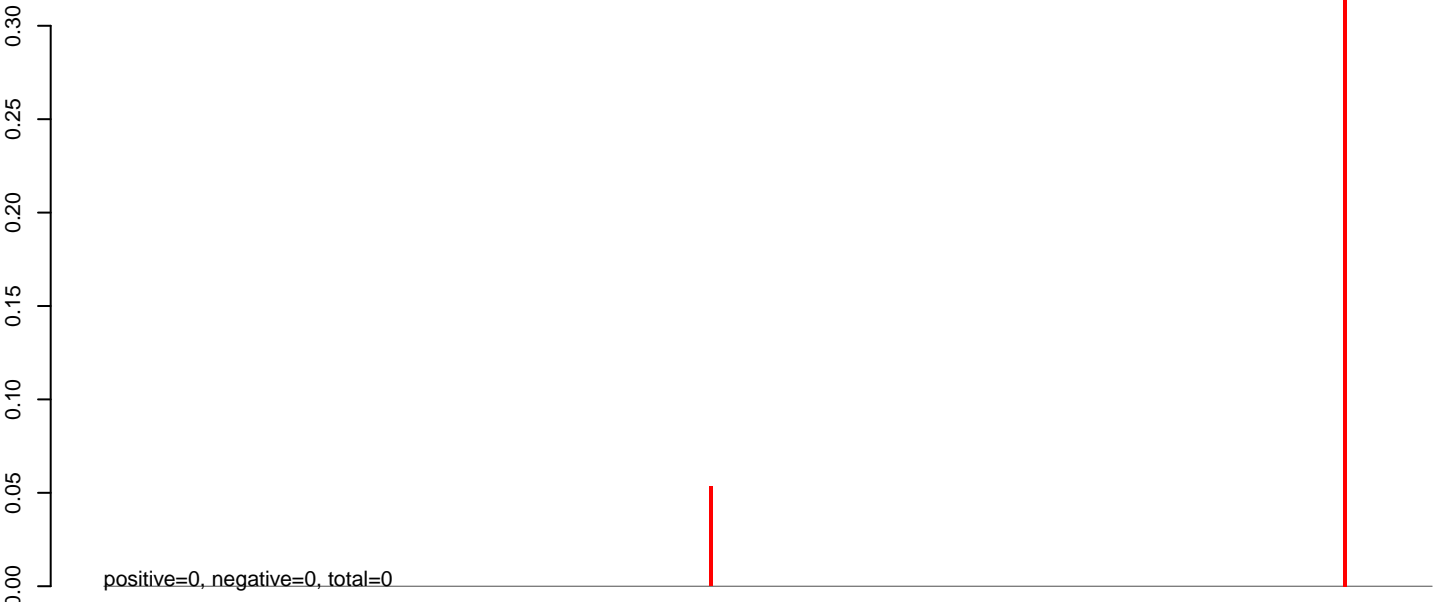
AeAlbo_C636_cells_rep_3.rep



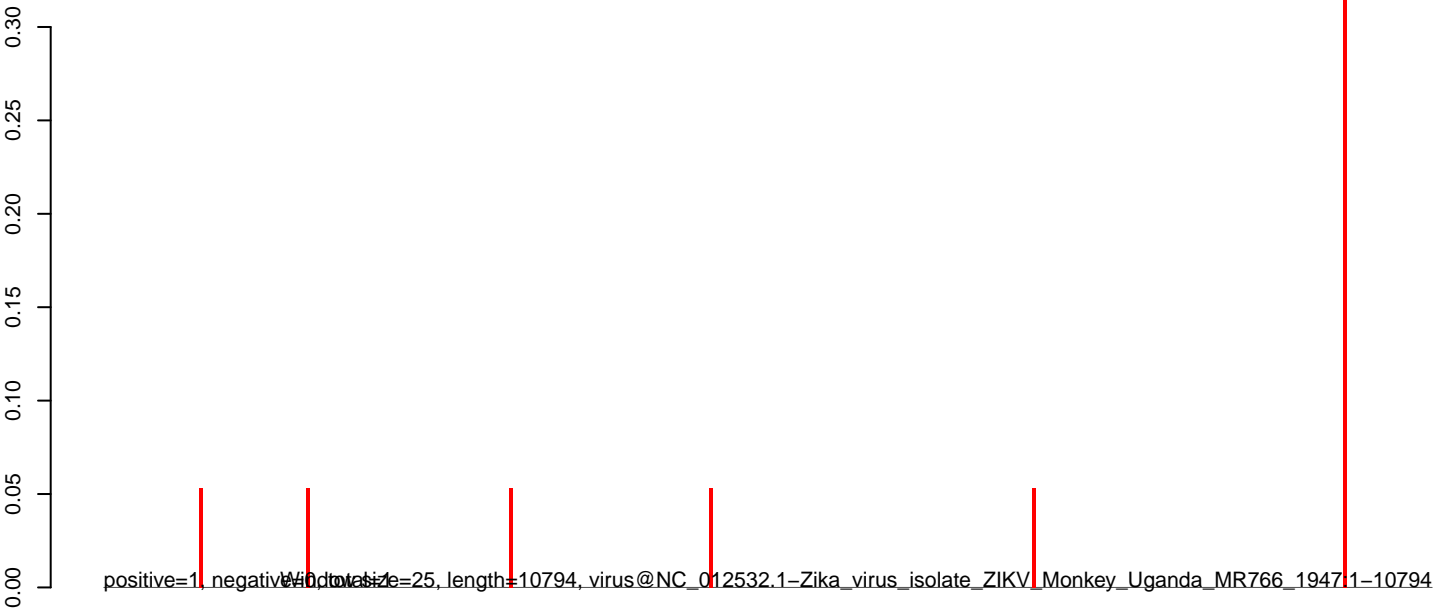
AeAlbo_C636_cells_rep_3.18_23.rep



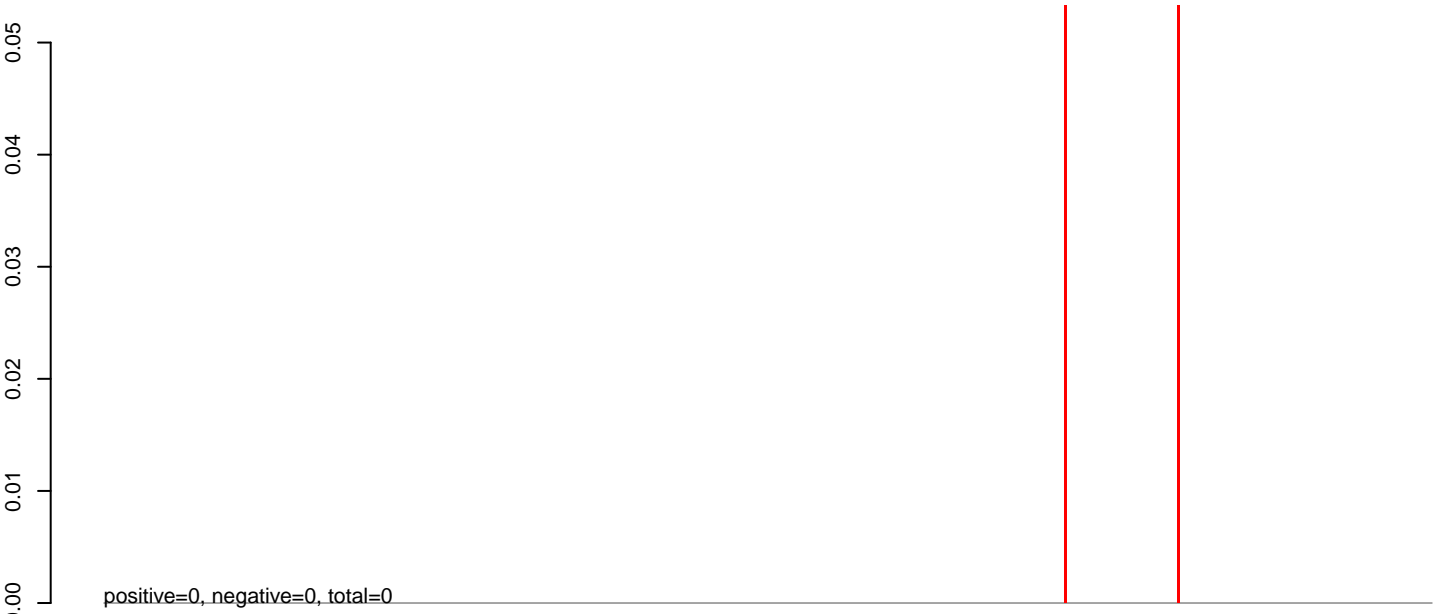
AeAlbo_C636_cells_rep_3.24_35.rep



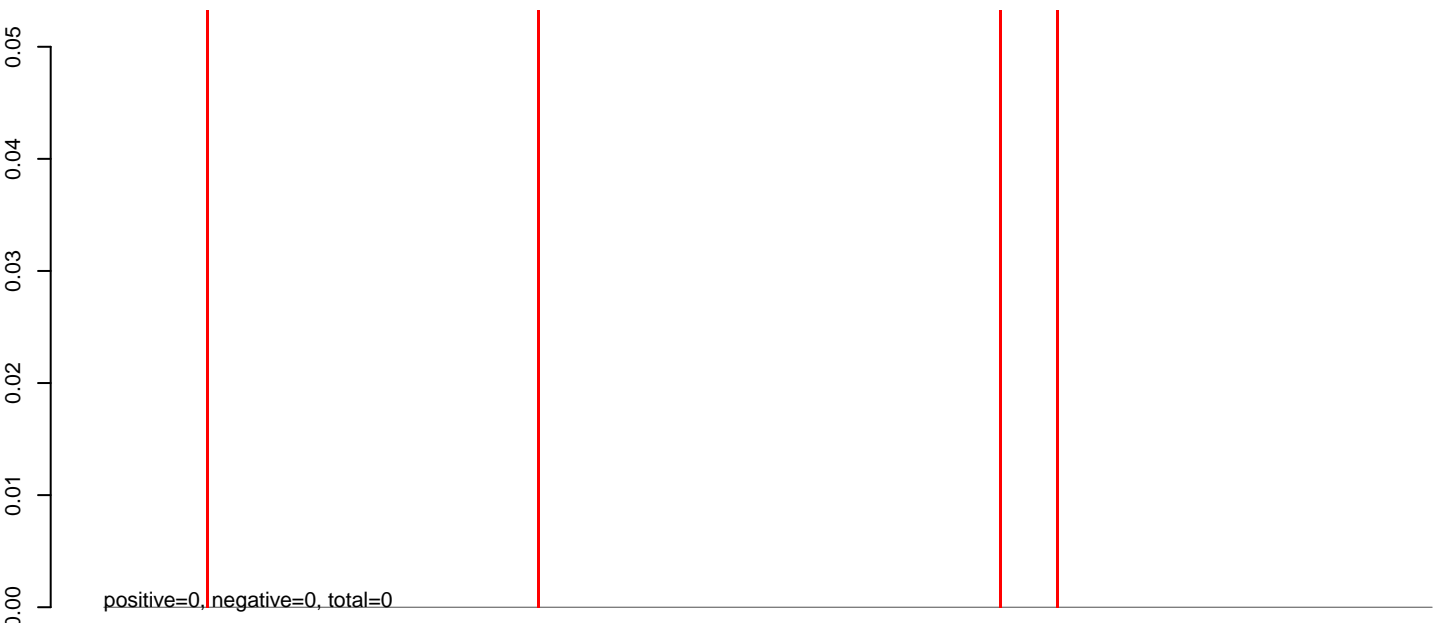
AeAlbo_C636_cells_rep_3.rep



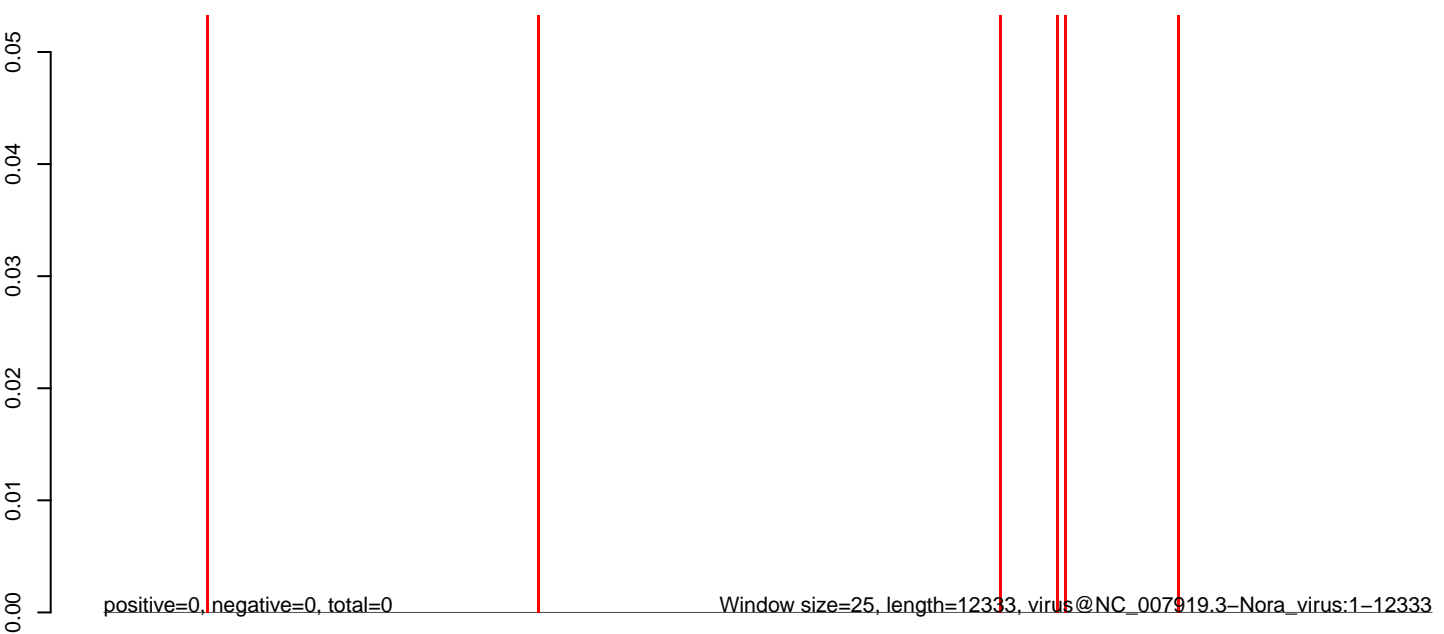
AeAlbo_C636_cells_rep_3.18_23.rep



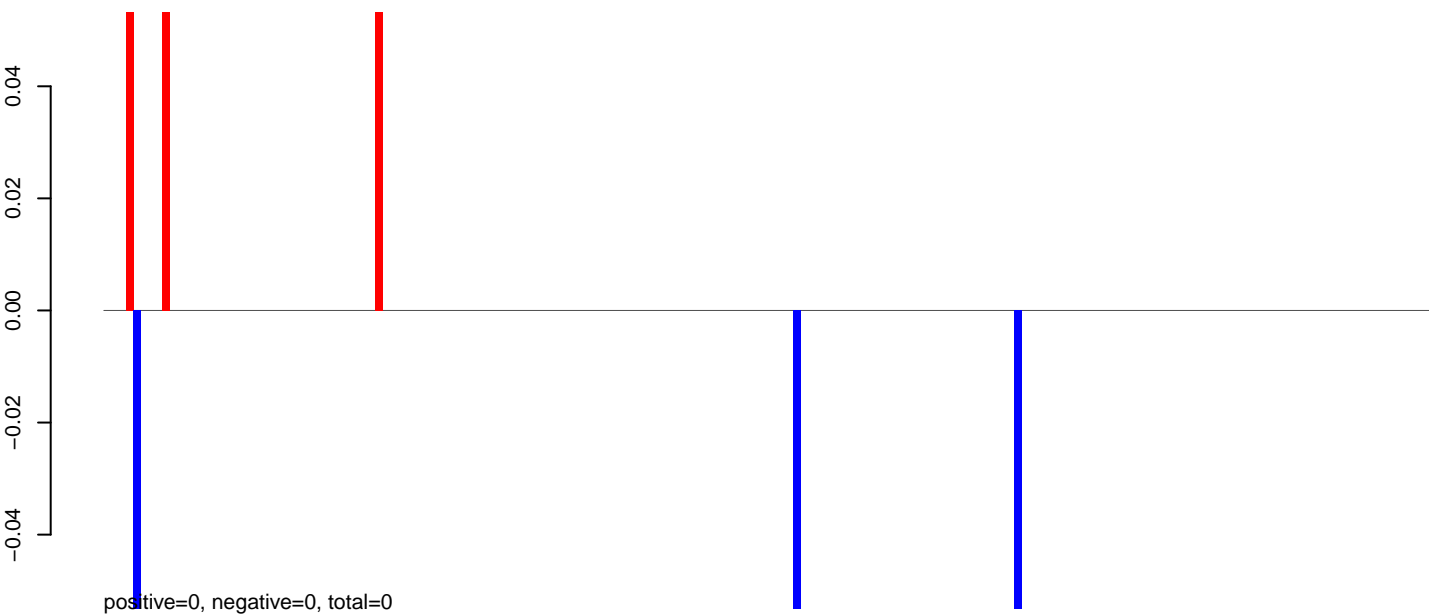
AeAlbo_C636_cells_rep_3.24_35.rep



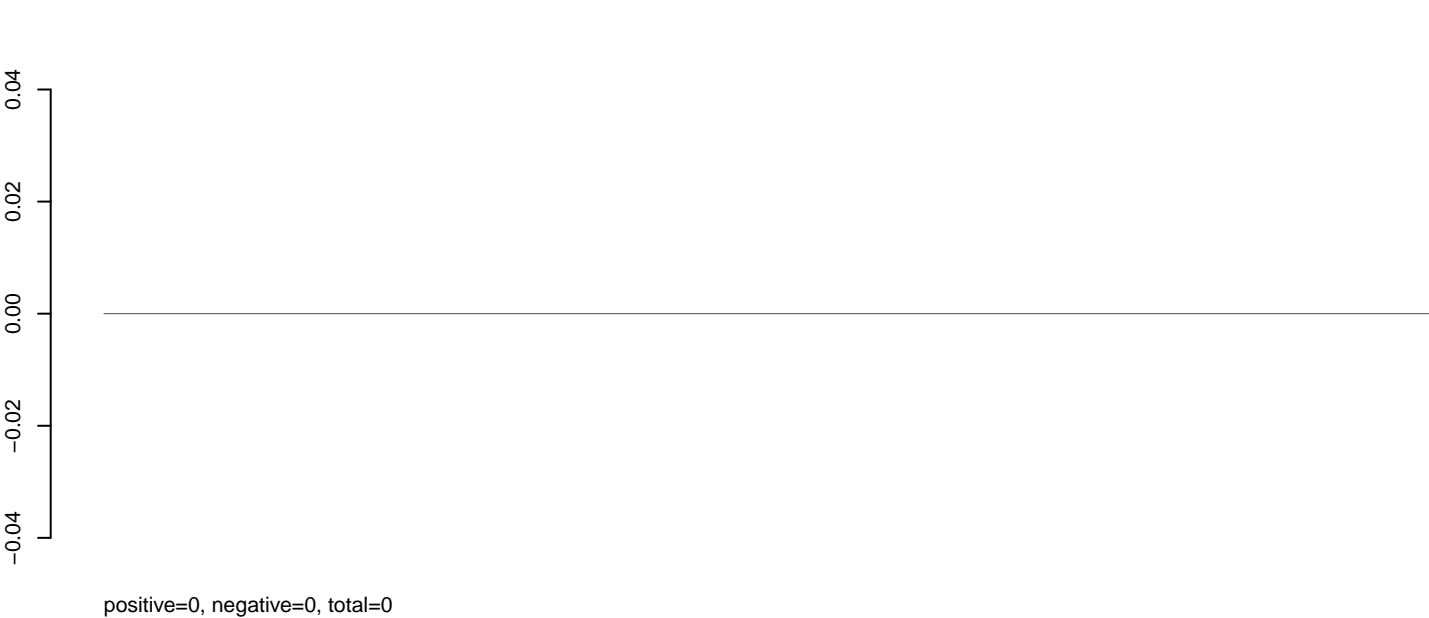
AeAlbo_C636_cells_rep_3.rep



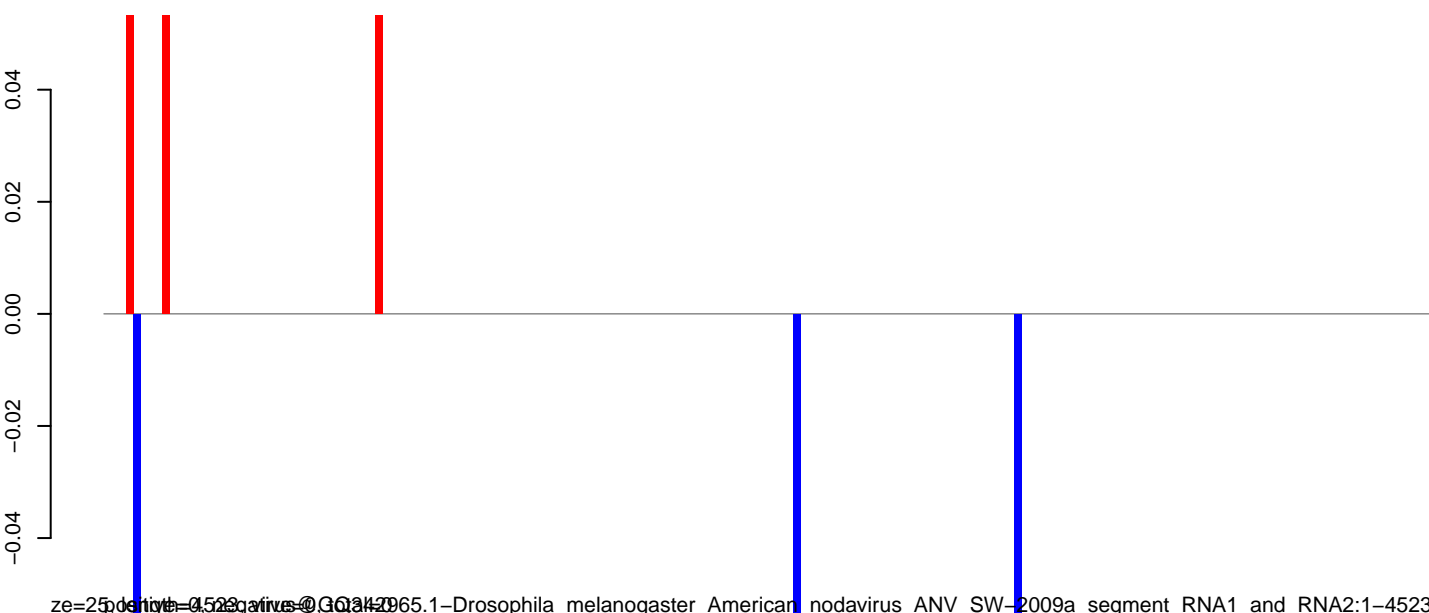
AeAlbo_C636_cells_rep_3.18_23.rep



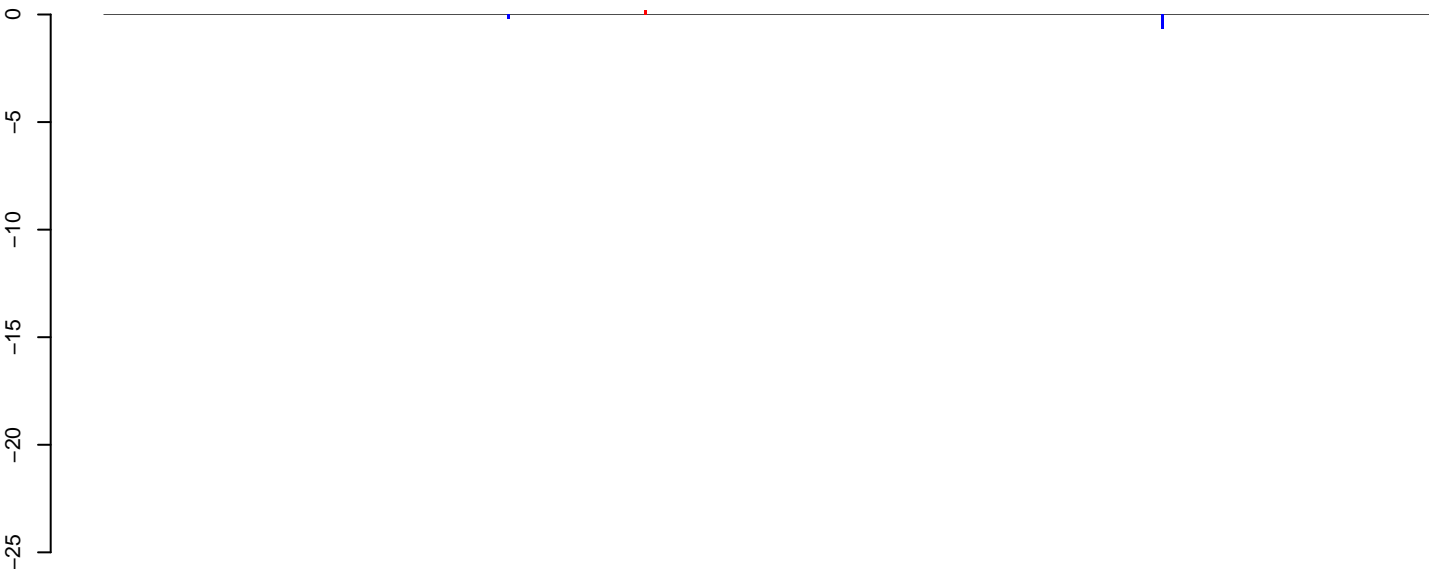
AeAlbo_C636_cells_rep_3.24_35.rep



AeAlbo_C636_cells_rep_3.rep

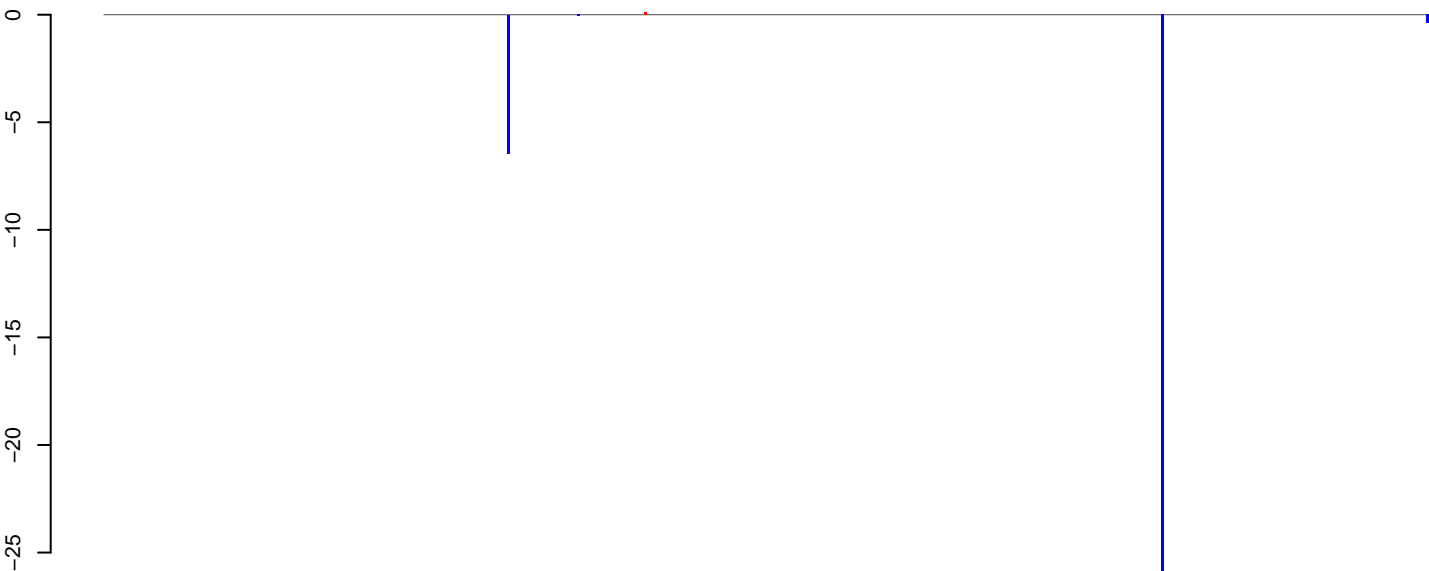


AeAlbo_C636_cells_rep_3.18_23.rep



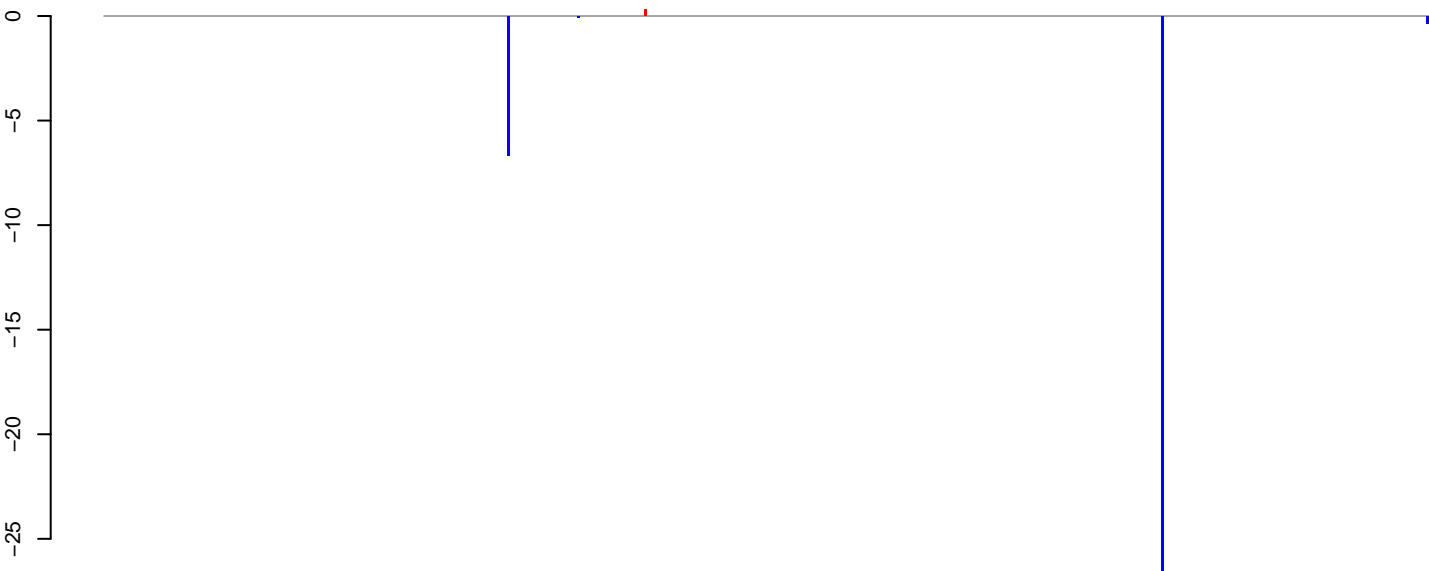
positive=0, negative=1, total=1

AeAlbo_C636_cells_rep_3.24_35.rep



positive=0, negative=35, total=35

AeAlbo_C636_cells_rep_3.rep

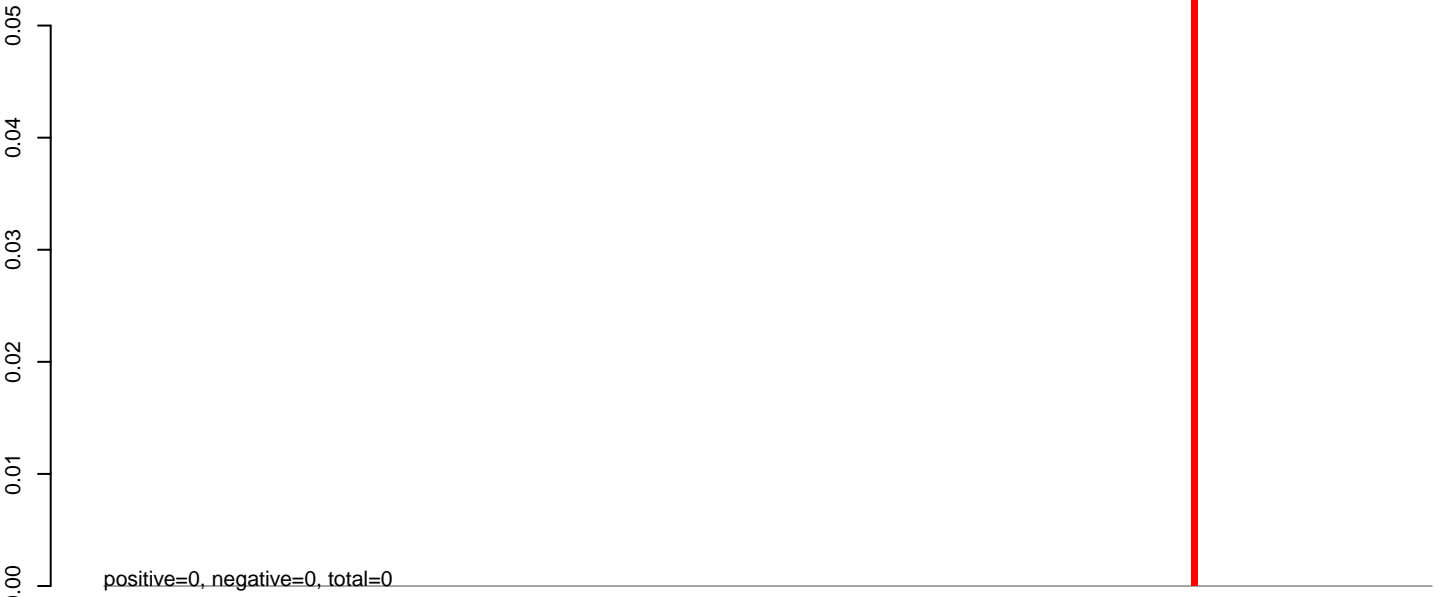


positive=0, negative=36, total=36

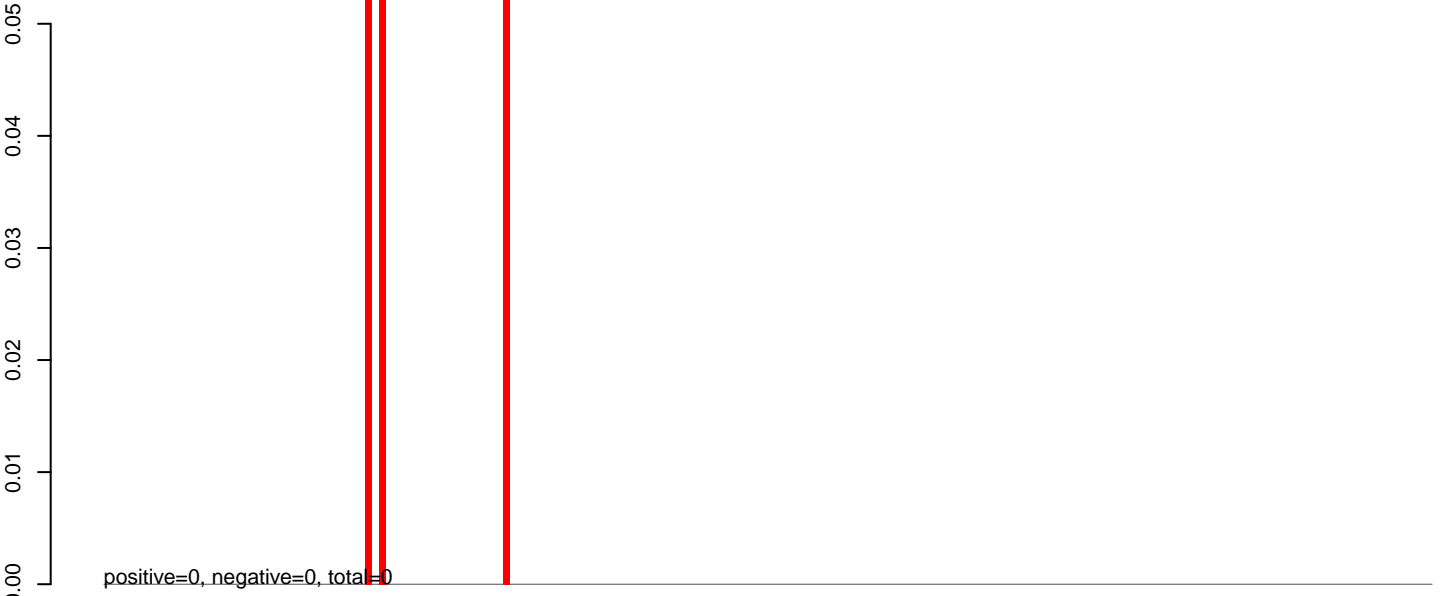
Window size=25, length=11375, virus@NC_005064.1-Kamiti_River_virus:1-11375



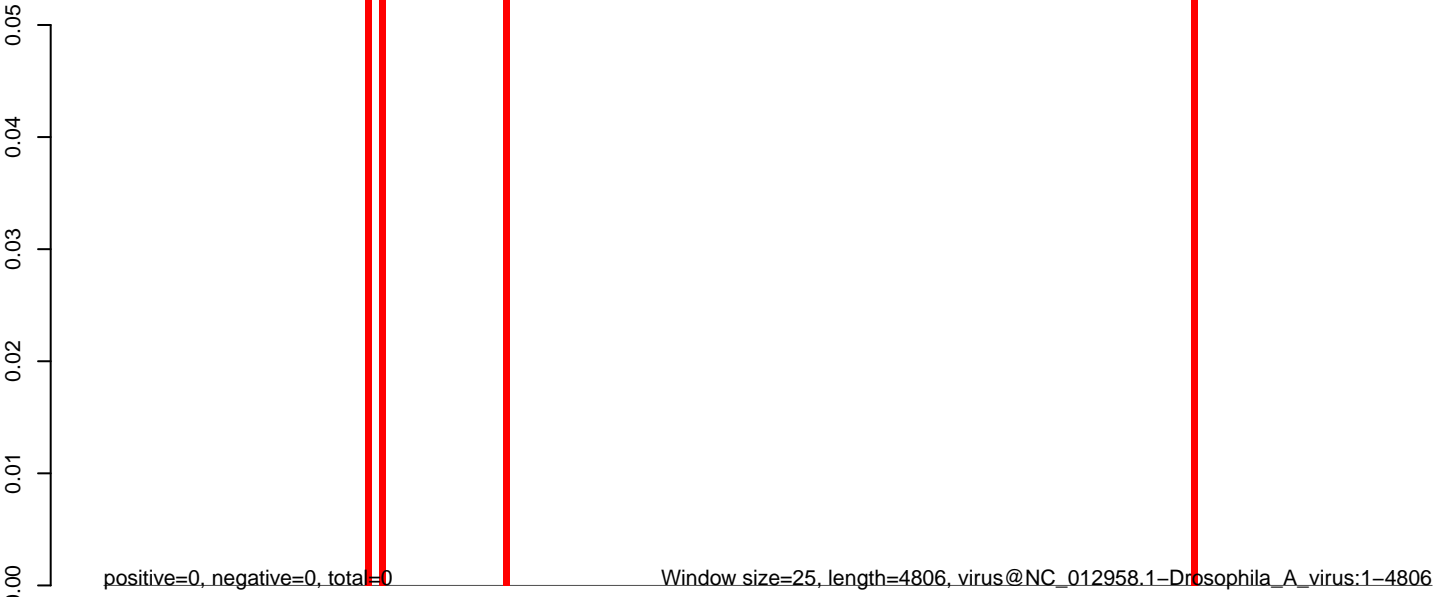
AeAlbo_C636_cells_rep_3.18_23.rep



AeAlbo_C636_cells_rep_3.24_35.rep



AeAlbo_C636_cells_rep_3.rep

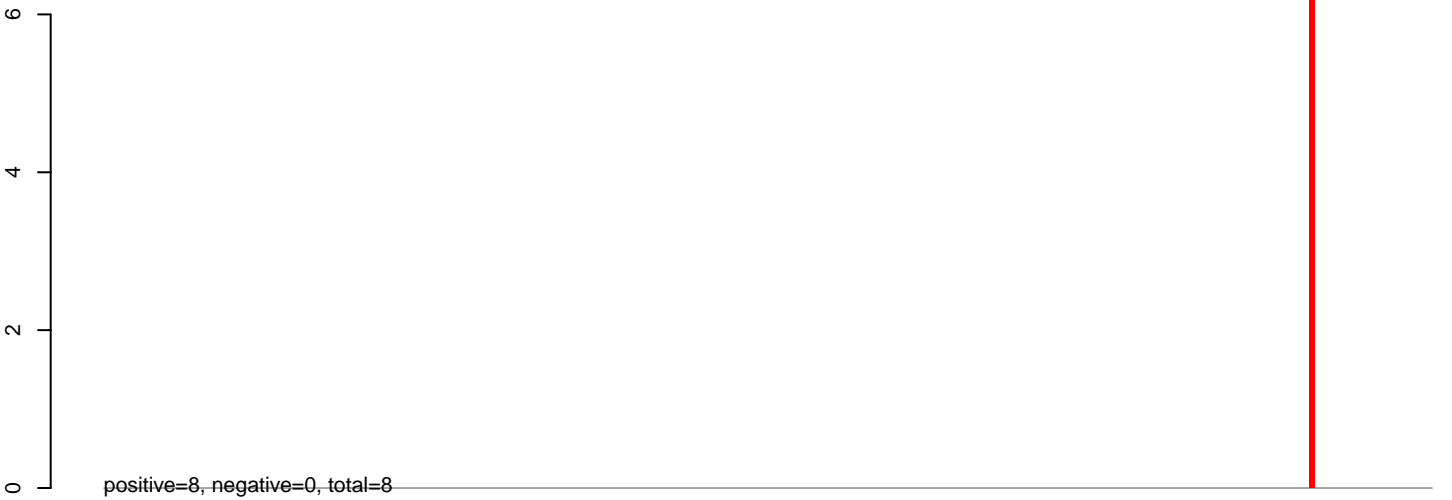


0 1000 2000 3000 4000 5000

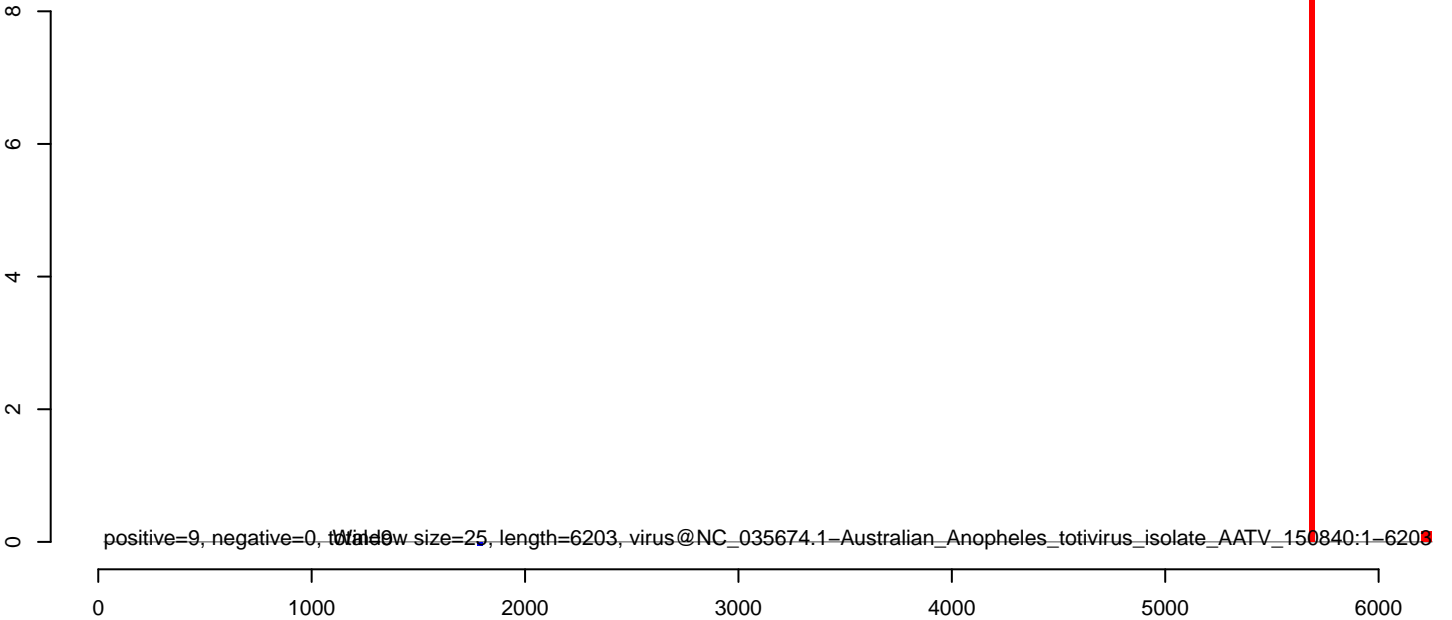
AeAlbo_C636_cells_rep_3.18_23.rep



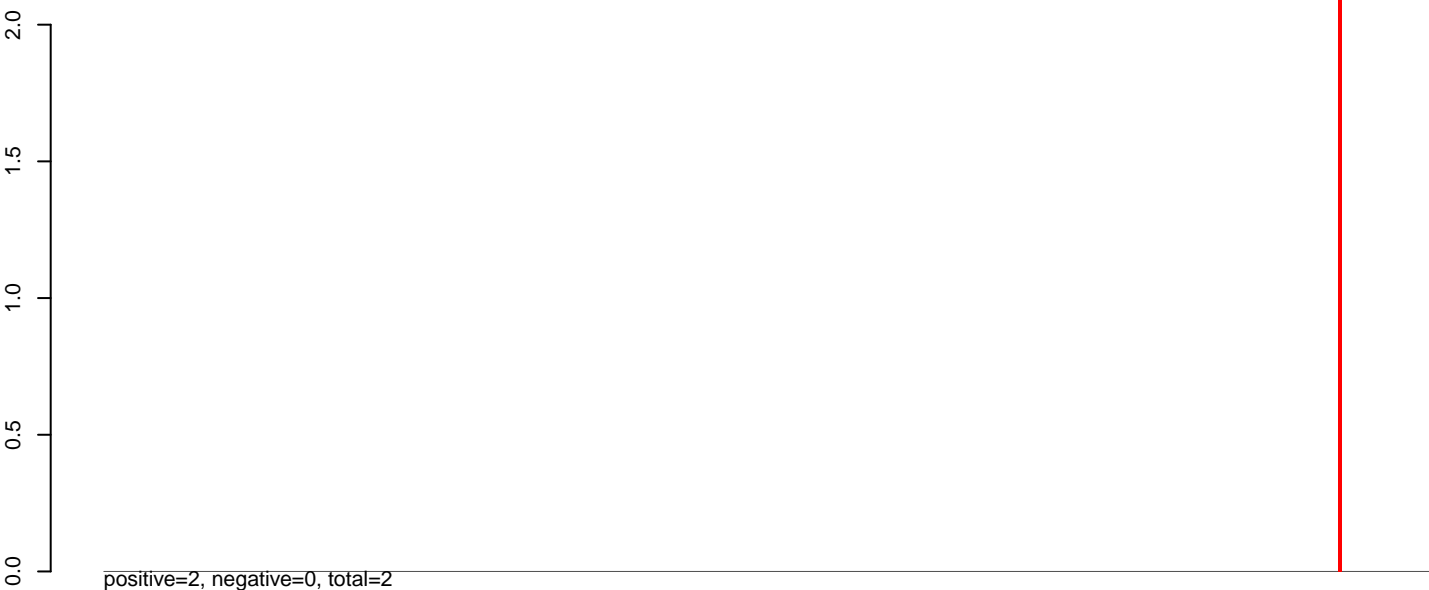
AeAlbo_C636_cells_rep_3.24_35.rep



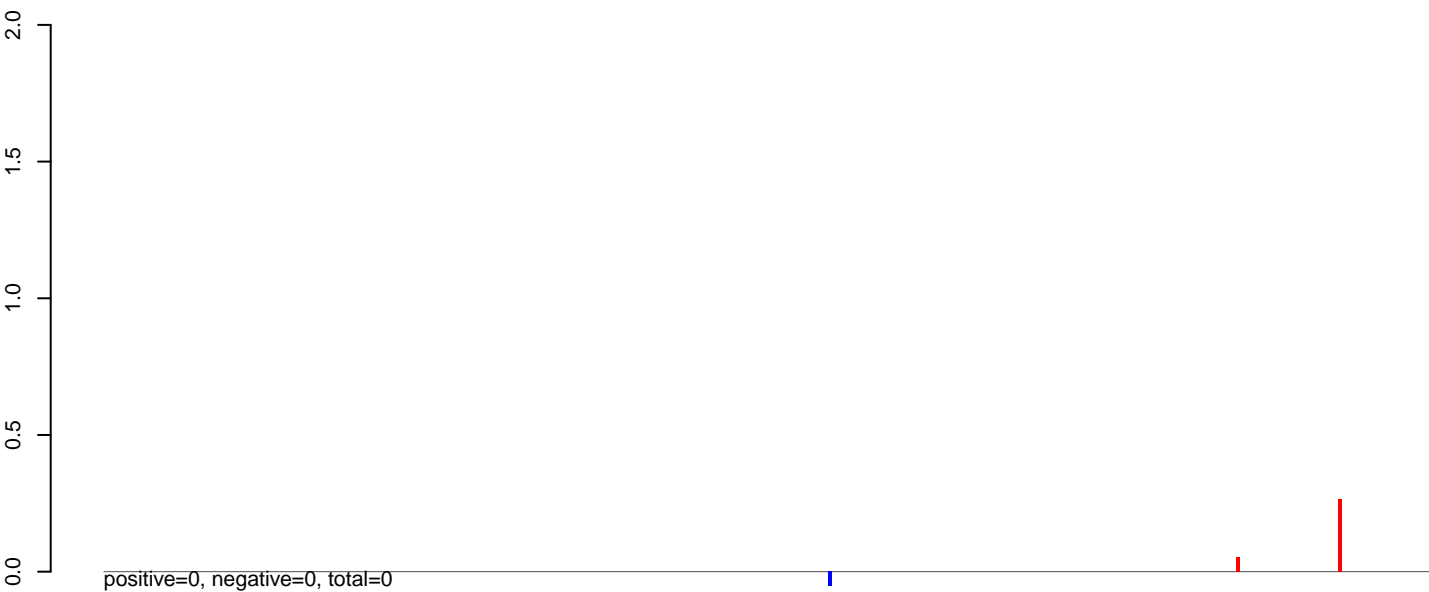
AeAlbo_C636_cells_rep_3.rep



AeAlbo_C636_cells_rep_3.18_23.rep



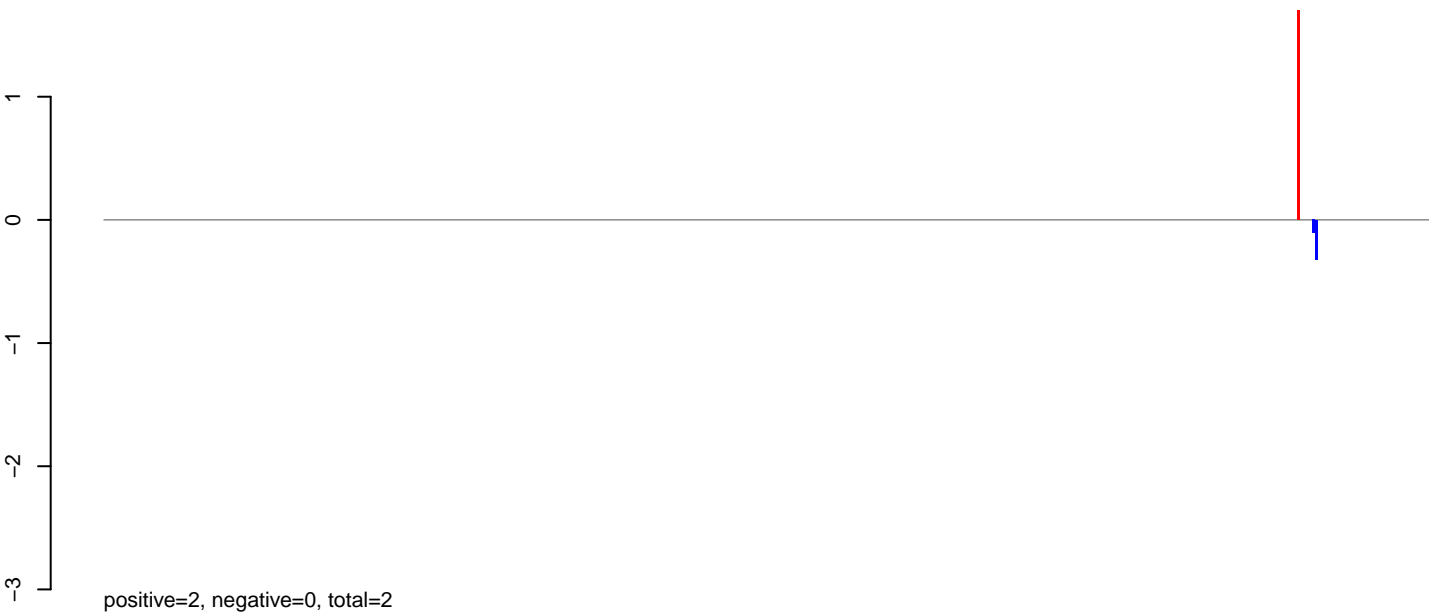
AeAlbo_C636_cells_rep_3.24_35.rep



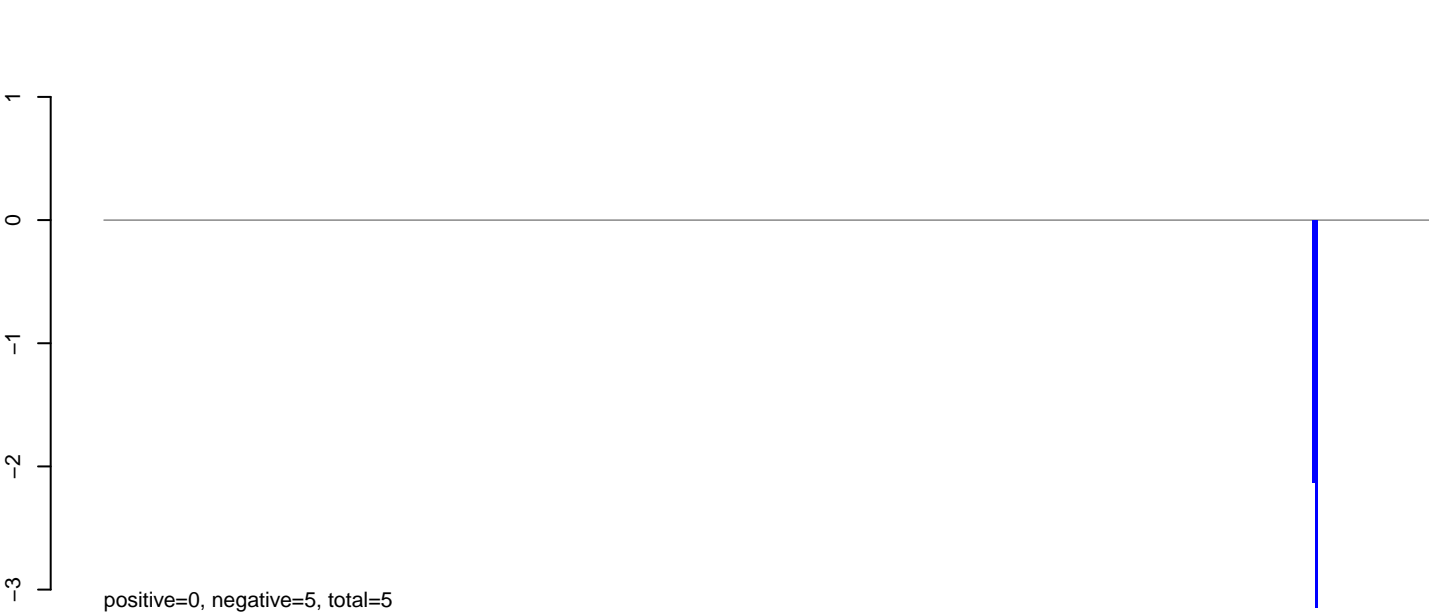
AeAlbo_C636_cells_rep_3.rep



AeAlbo_C636_cells_rep_3.18_23.rep



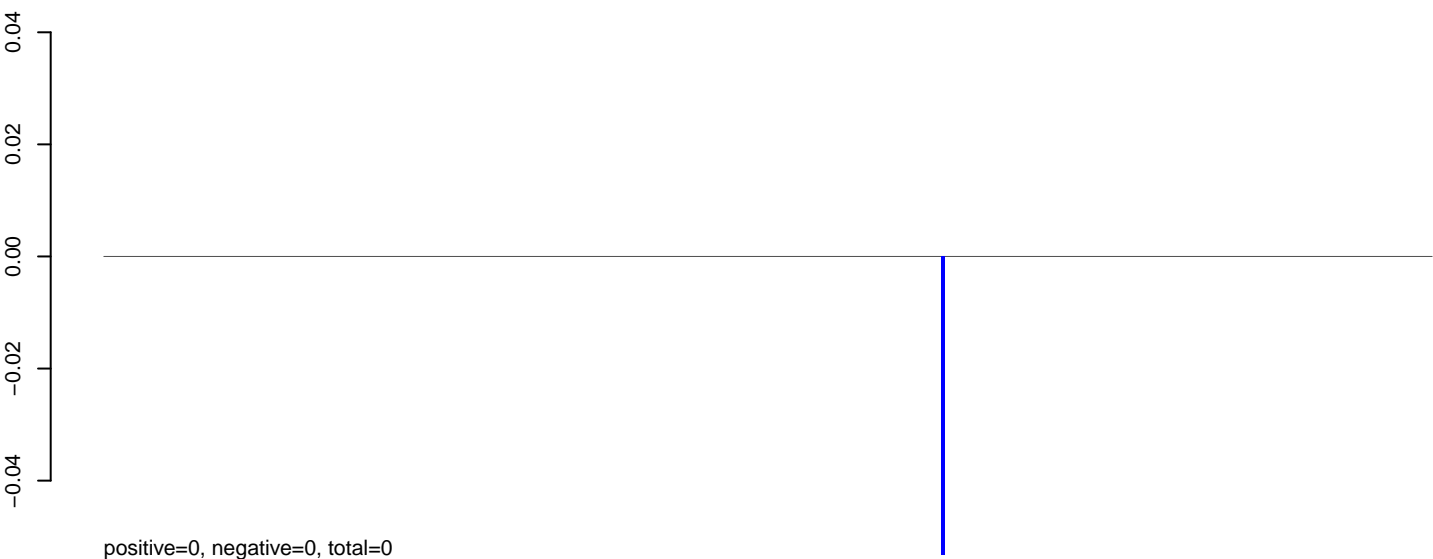
AeAlbo_C636_cells_rep_3.24_35.rep



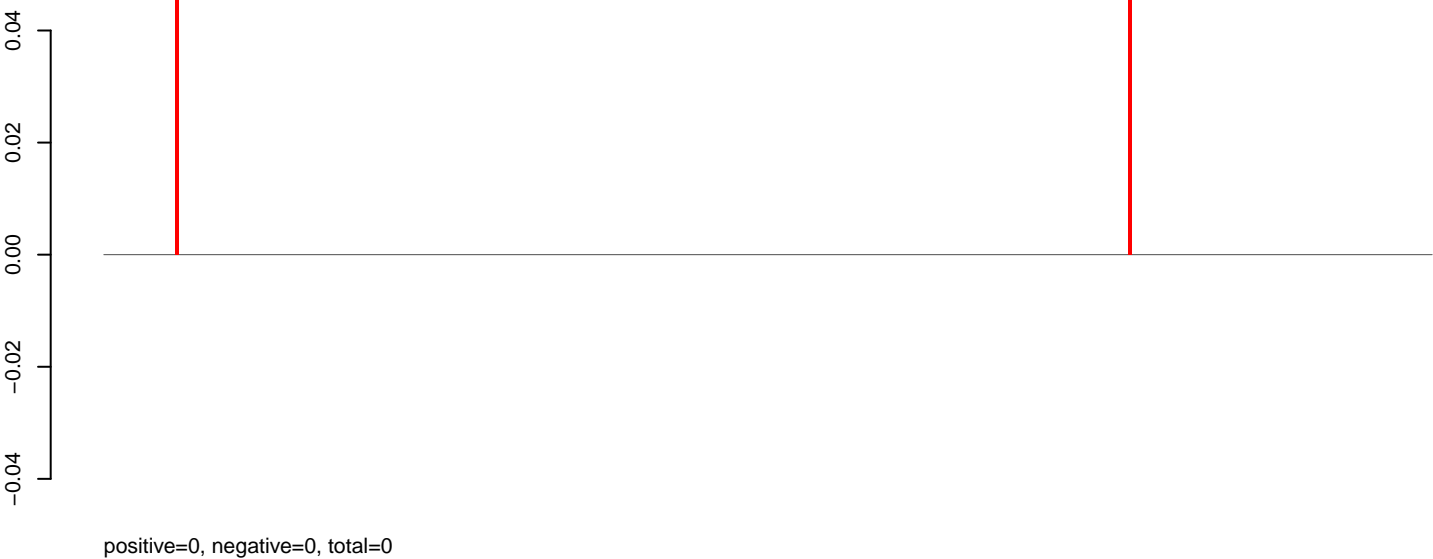
AeAlbo_C636_cells_rep_3.rep



AeAlbo_C636_cells_rep_3.18_23.rep



AeAlbo_C636_cells_rep_3.24_35.rep



AeAlbo_C636_cells_rep_3.rep

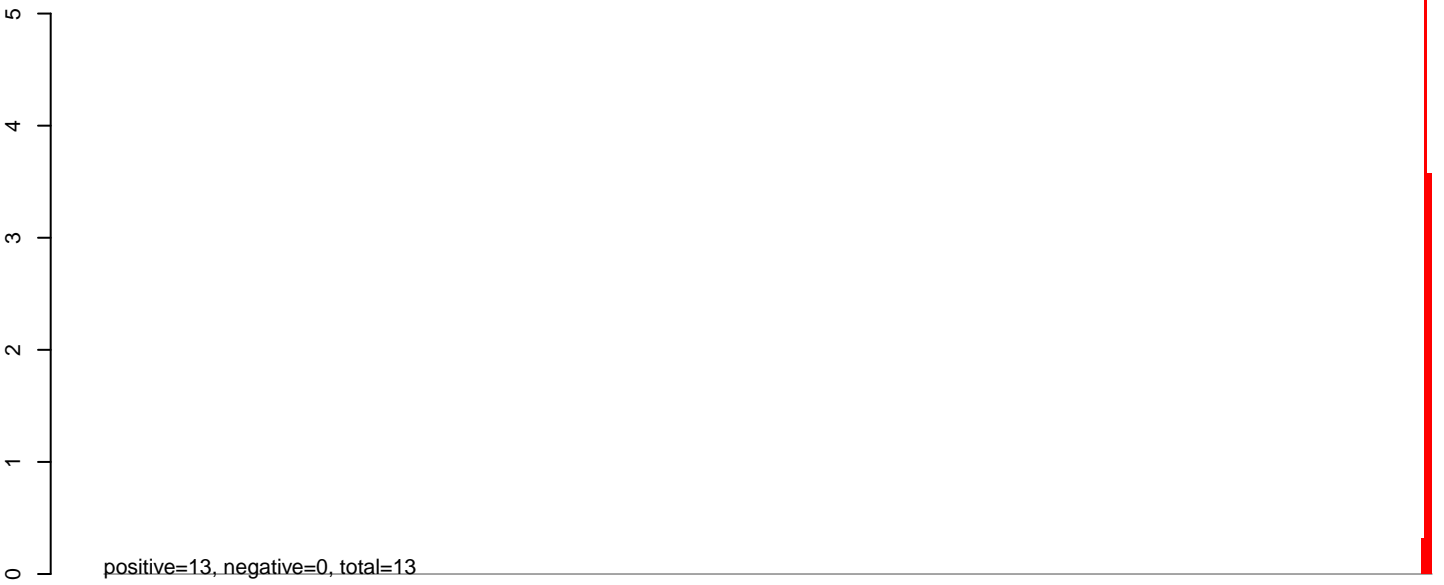


positive=0, negative=0, total=0

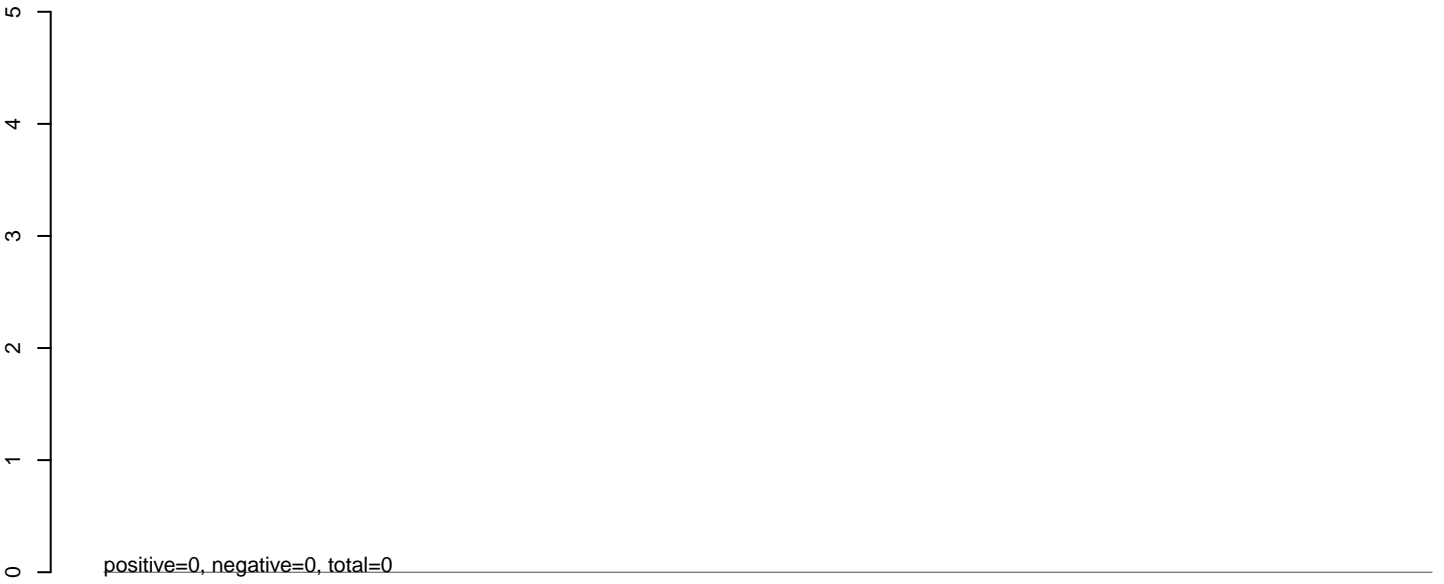
Window size=25, length=9264, virus@NC_001834.1-Drosophila_C_virus_strain_EB:1-9264

0 2000 4000 6000 8000

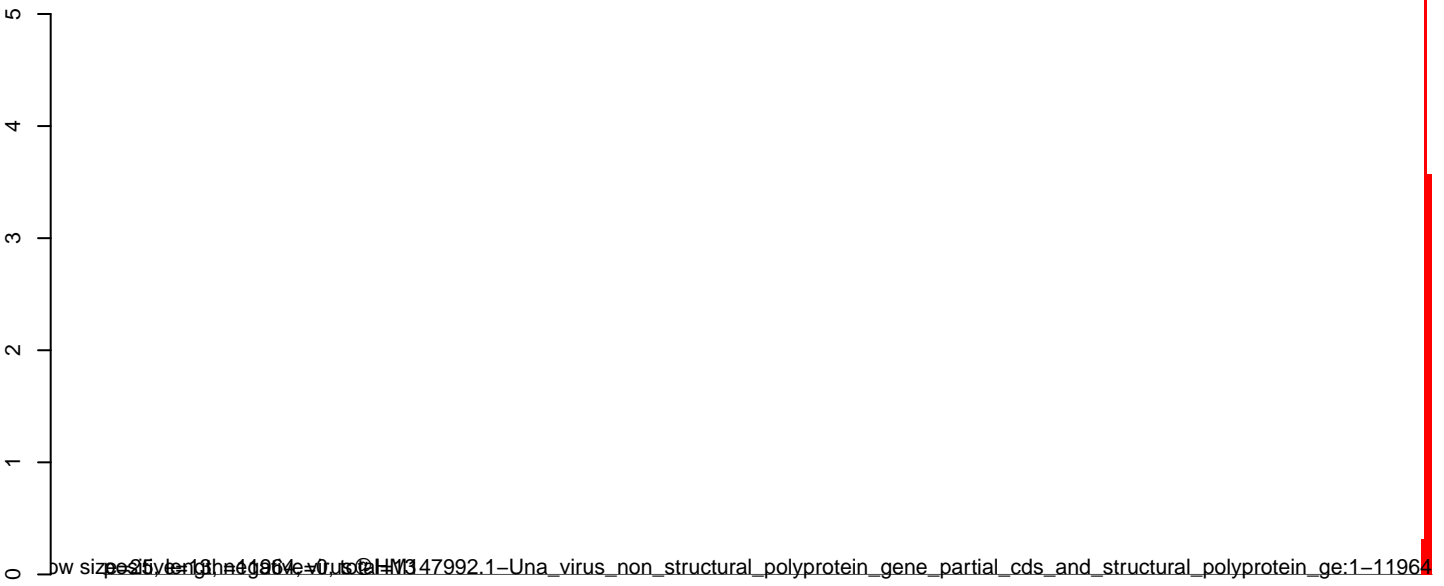
AeAlbo_C636_cells_rep_3.18_23.rep



AeAlbo_C636_cells_rep_3.24_35.rep

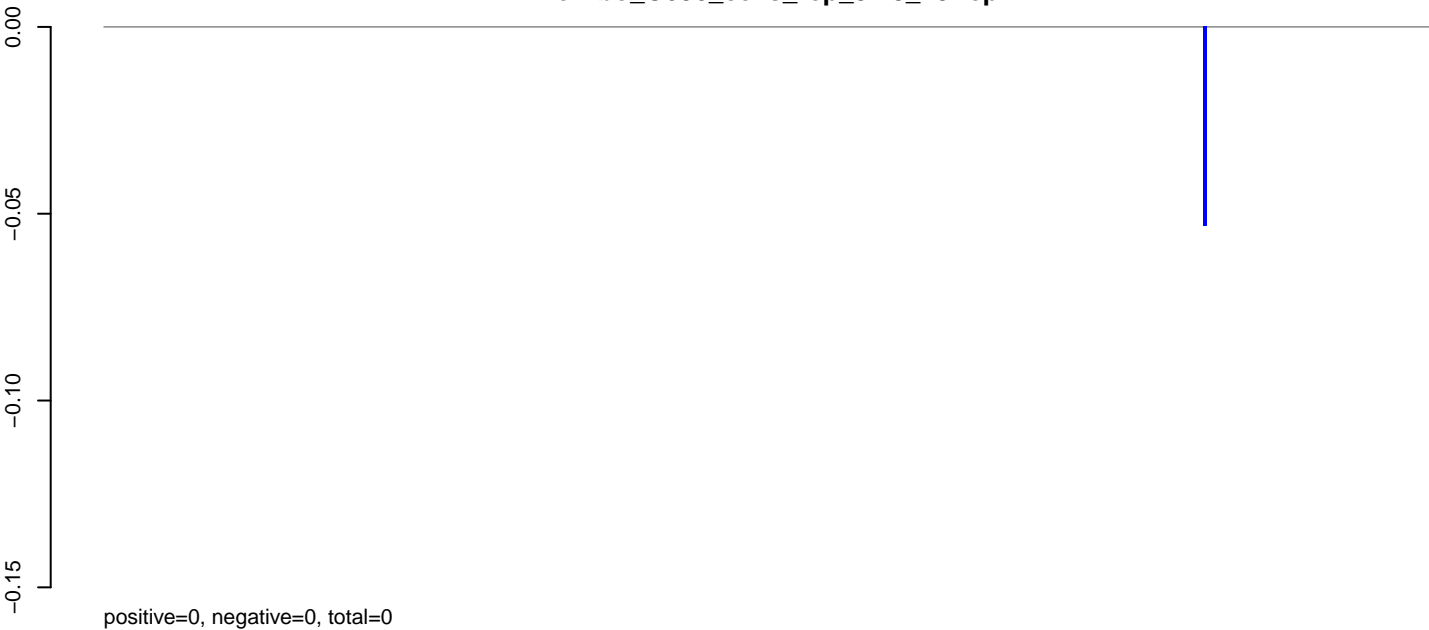


AeAlbo_C636_cells_rep_3.rep

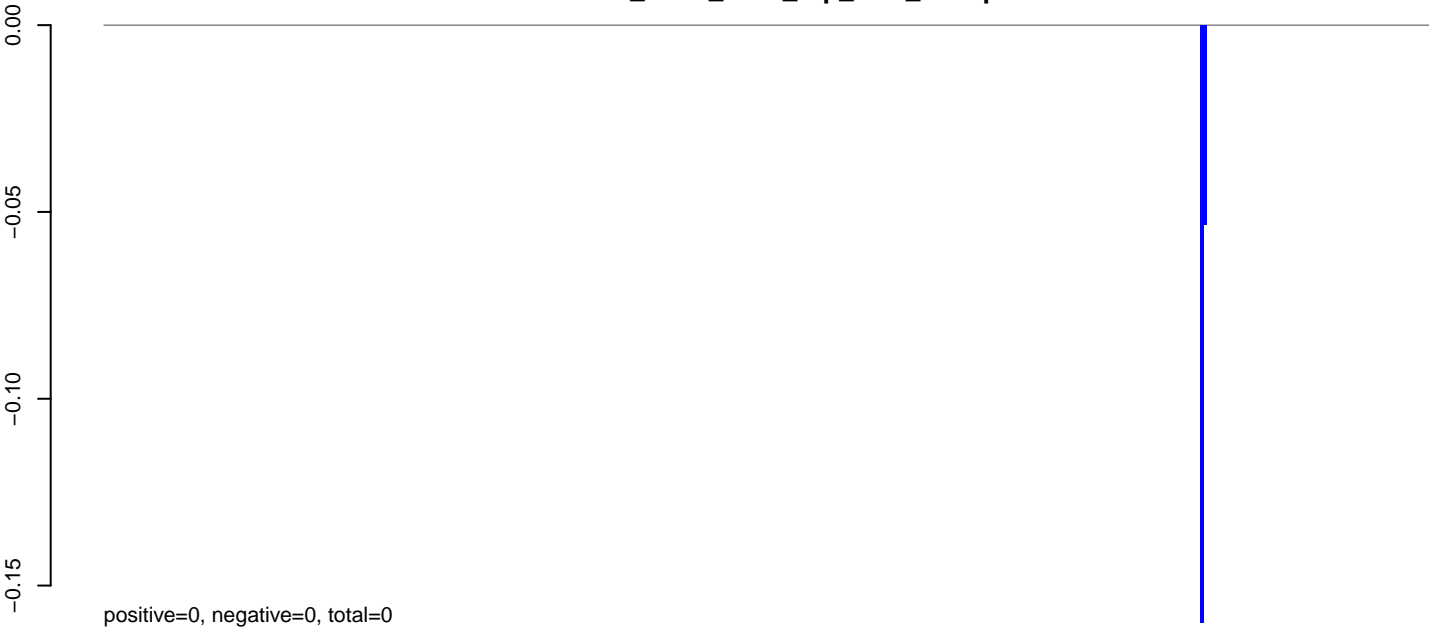


bow size 11964, length 11964, total=11964

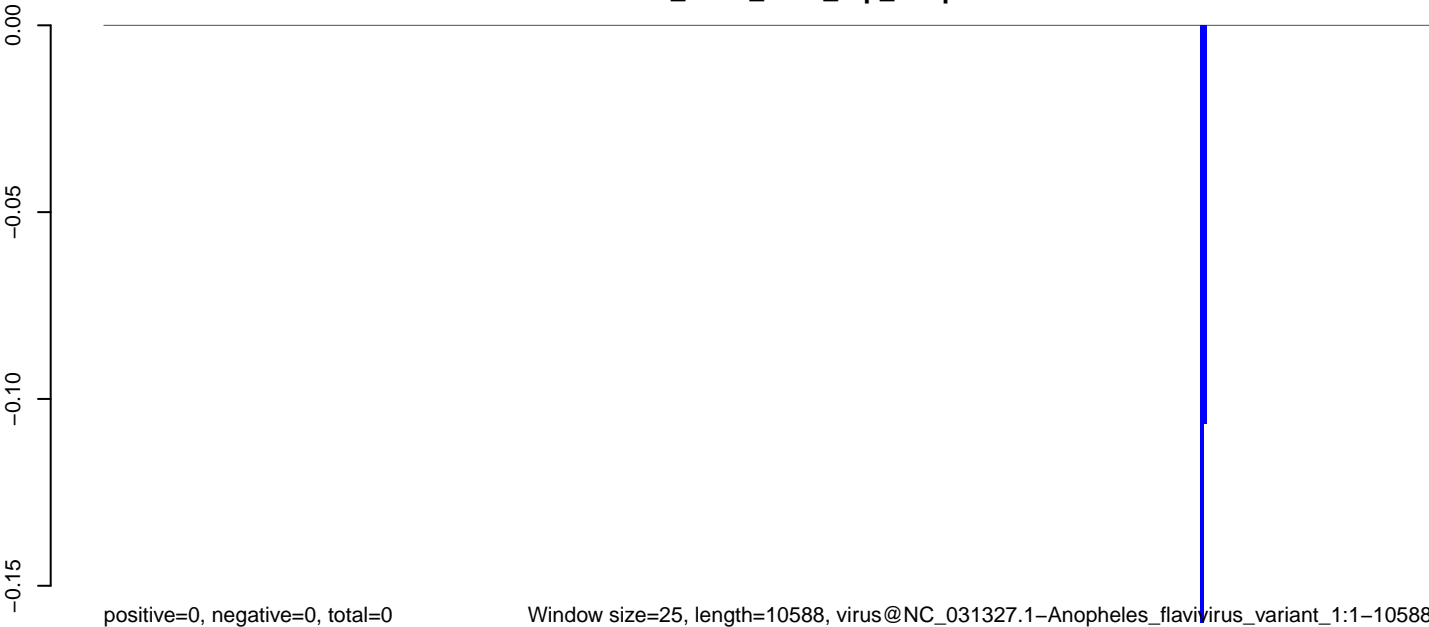
AeAlbo_C636_cells_rep_3.18_23.rep



AeAlbo_C636_cells_rep_3.24_35.rep



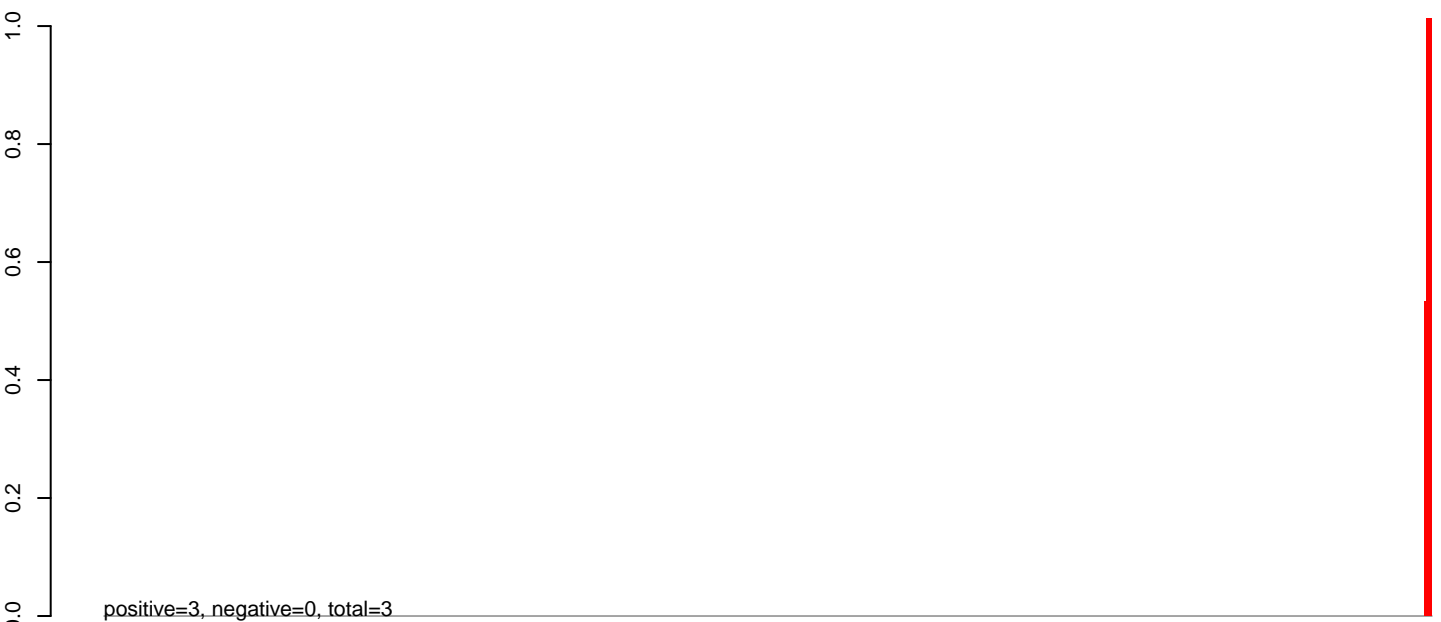
AeAlbo_C636_cells_rep_3.rep



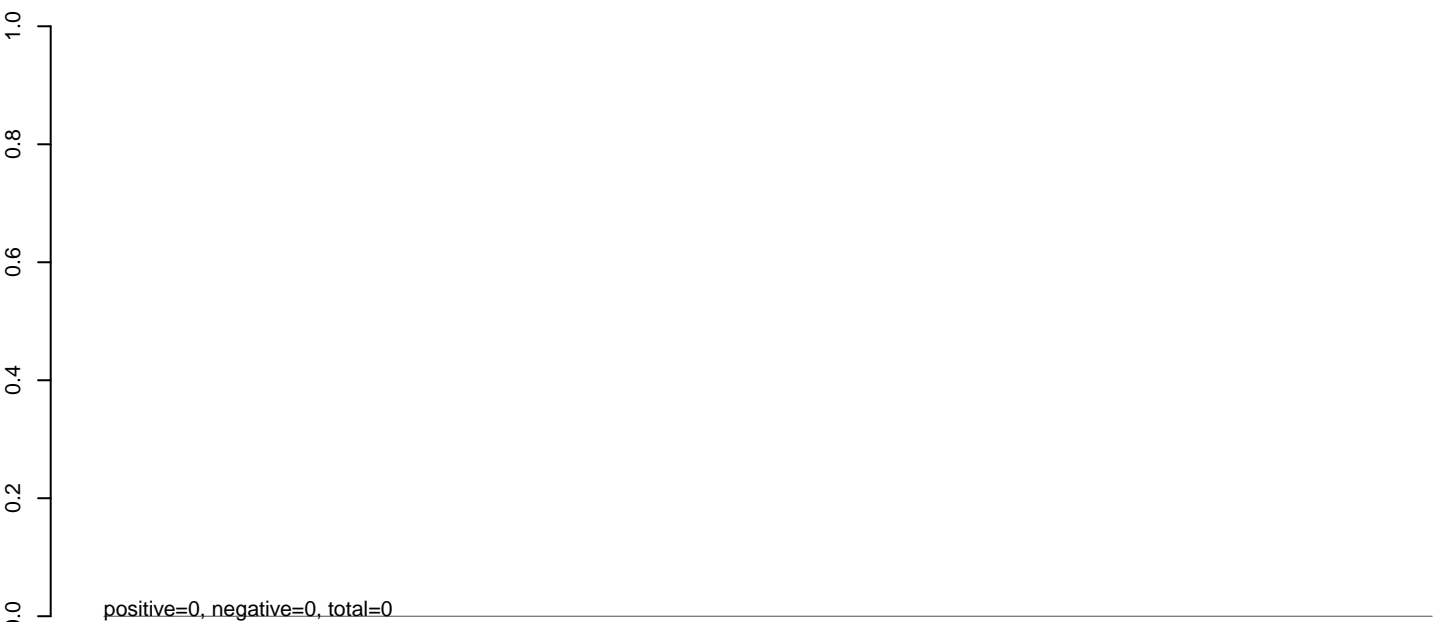
Window size=25, length=10588, virus@NC_031327.1-Anopheles_flavivirus_variant_1:1-10588

0 2000 4000 6000 8000 10000

AeAlbo_C636_cells_rep_3.18_23.rep



AeAlbo_C636_cells_rep_3.24_35.rep



AeAlbo_C636_cells_rep_3.rep

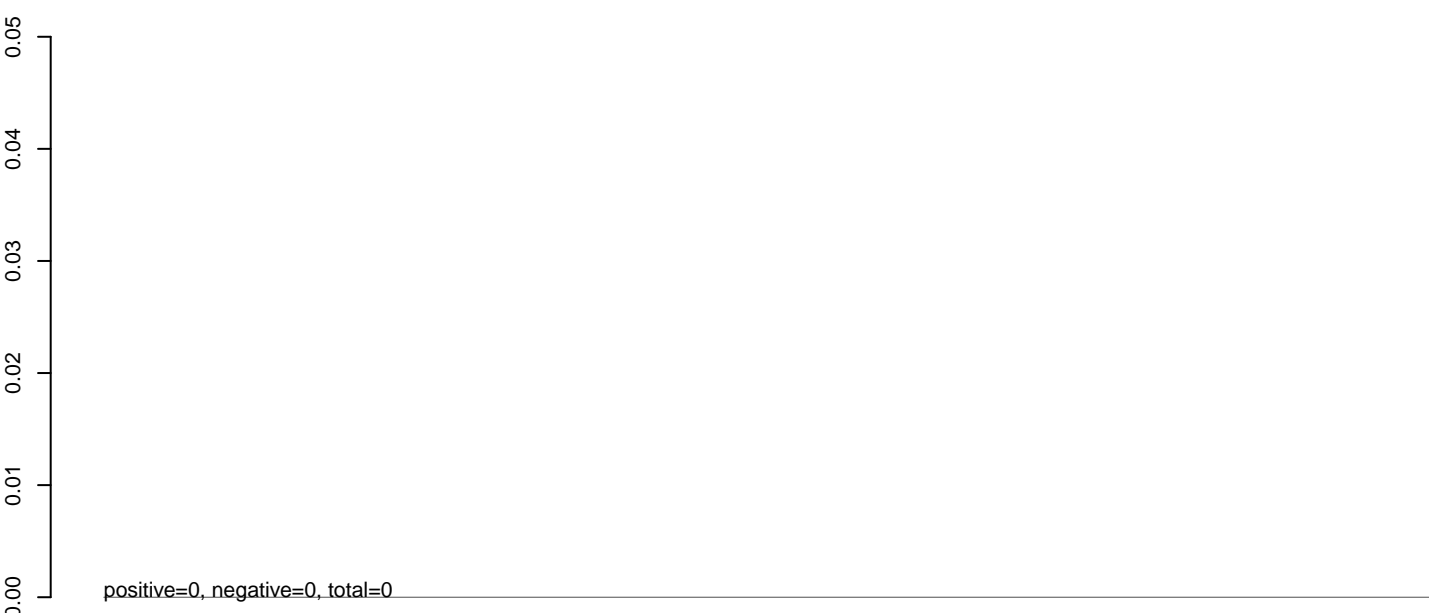


0 2000 4000 6000 8000 10000 12000

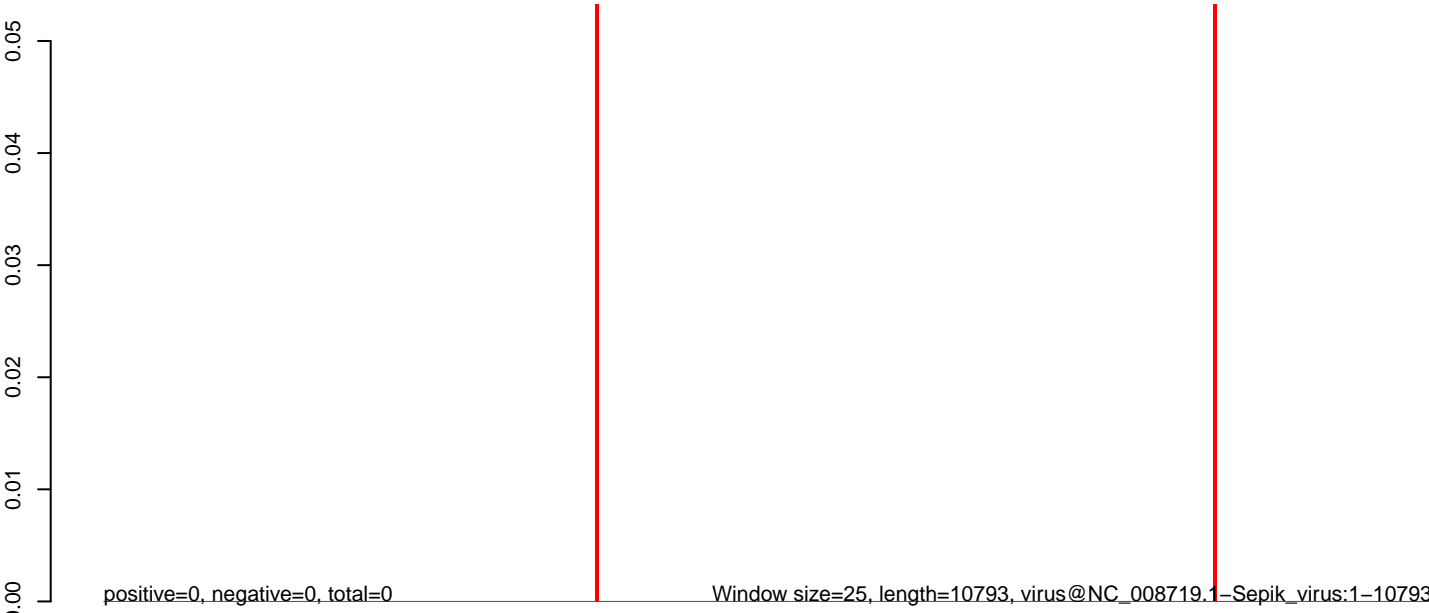
AeAlbo_C636_cells_rep_3.18_23.rep



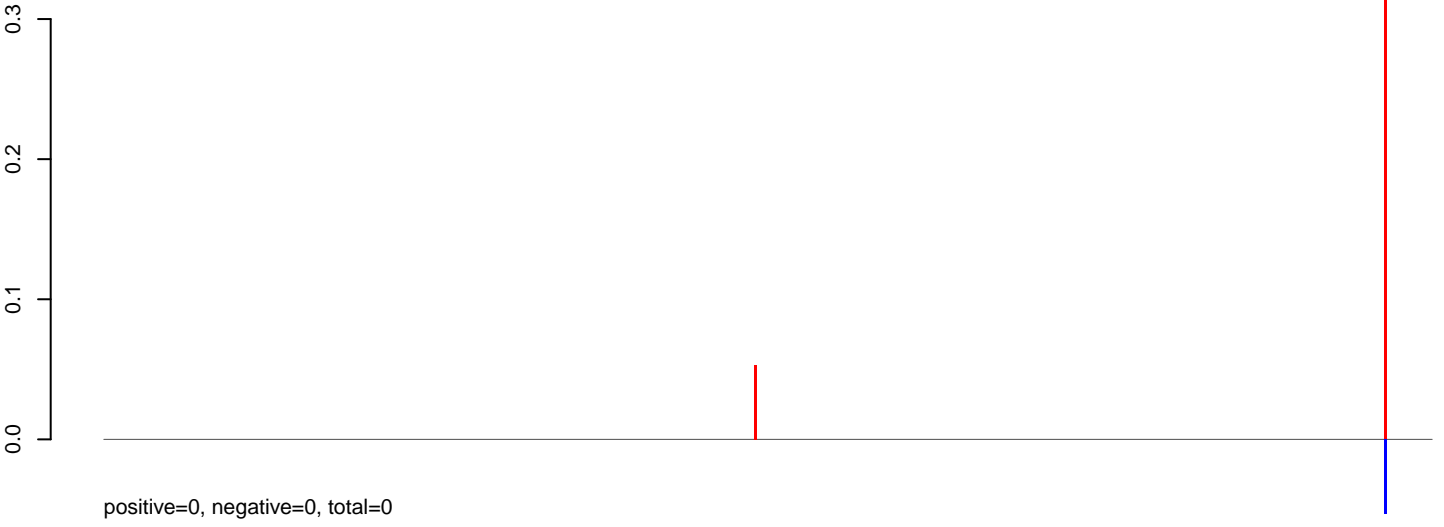
AeAlbo_C636_cells_rep_3.24_35.rep



AeAlbo_C636_cells_rep_3.rep



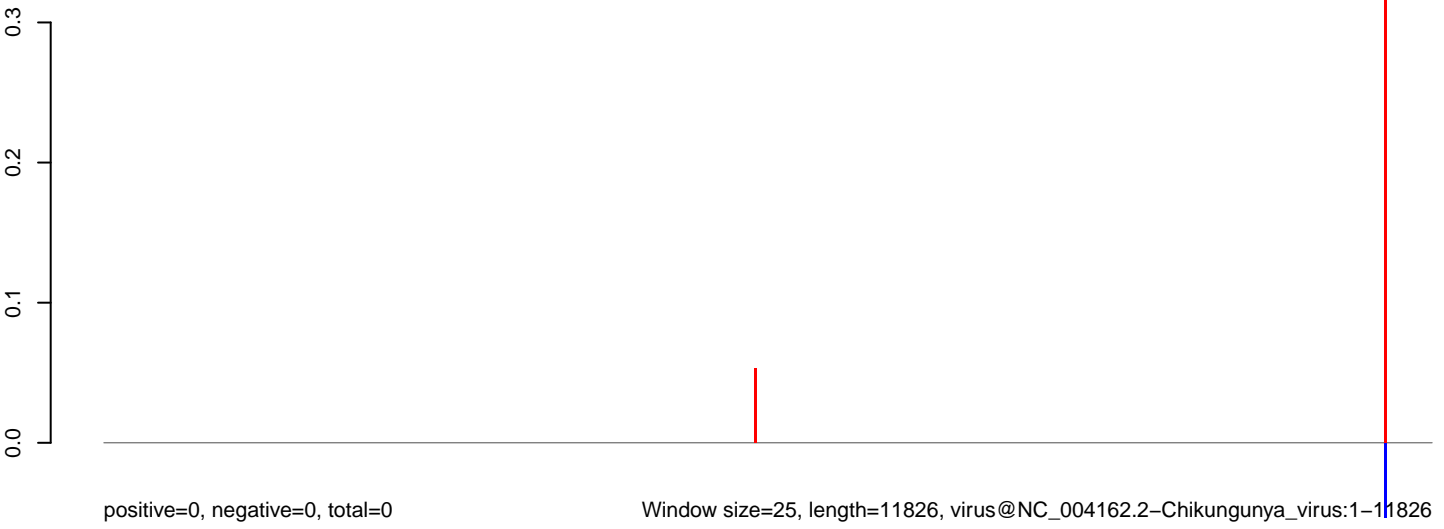
AeAlbo_C636_cells_rep_3.18_23.rep



AeAlbo_C636_cells_rep_3.24_35.rep



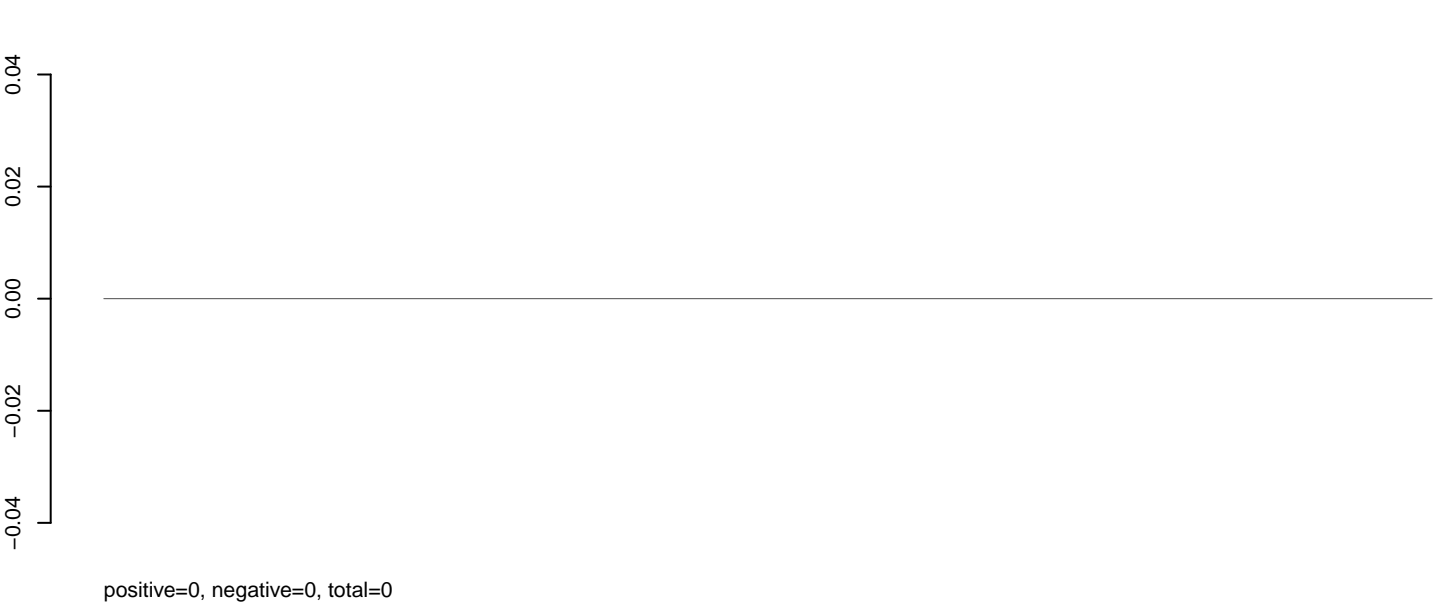
AeAlbo_C636_cells_rep_3.rep



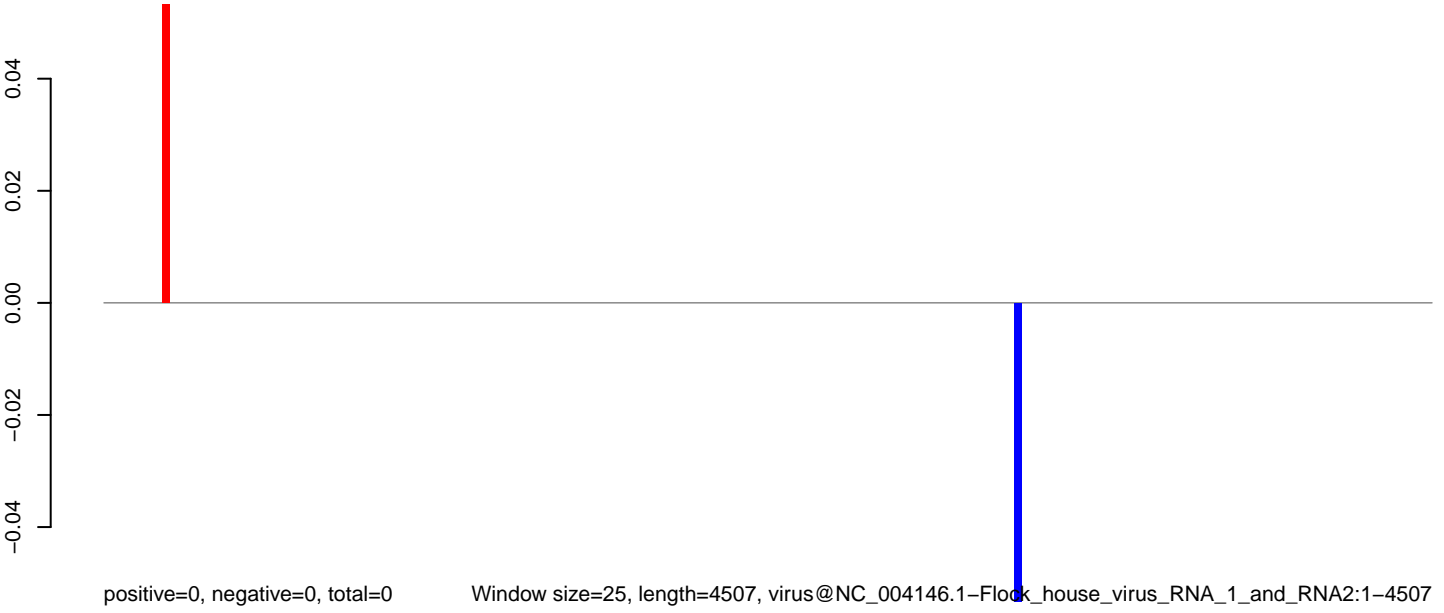
AeAlbo_C636_cells_rep_3.18_23.rep



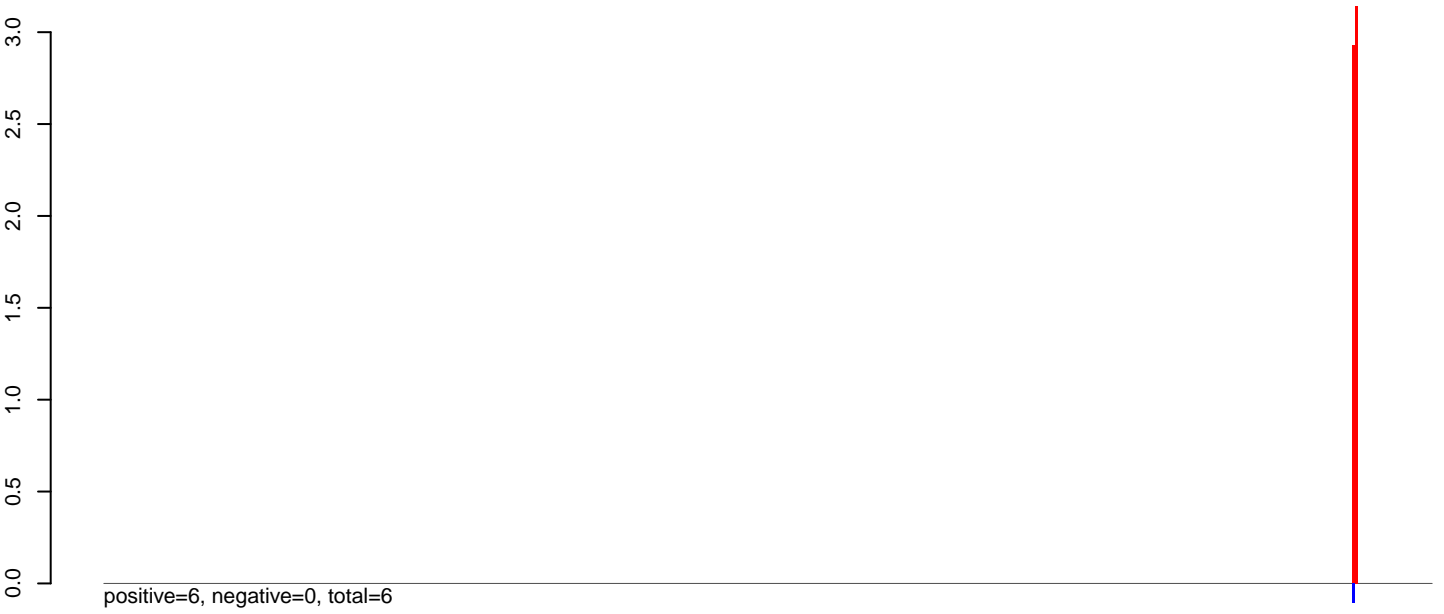
AeAlbo_C636_cells_rep_3.24_35.rep



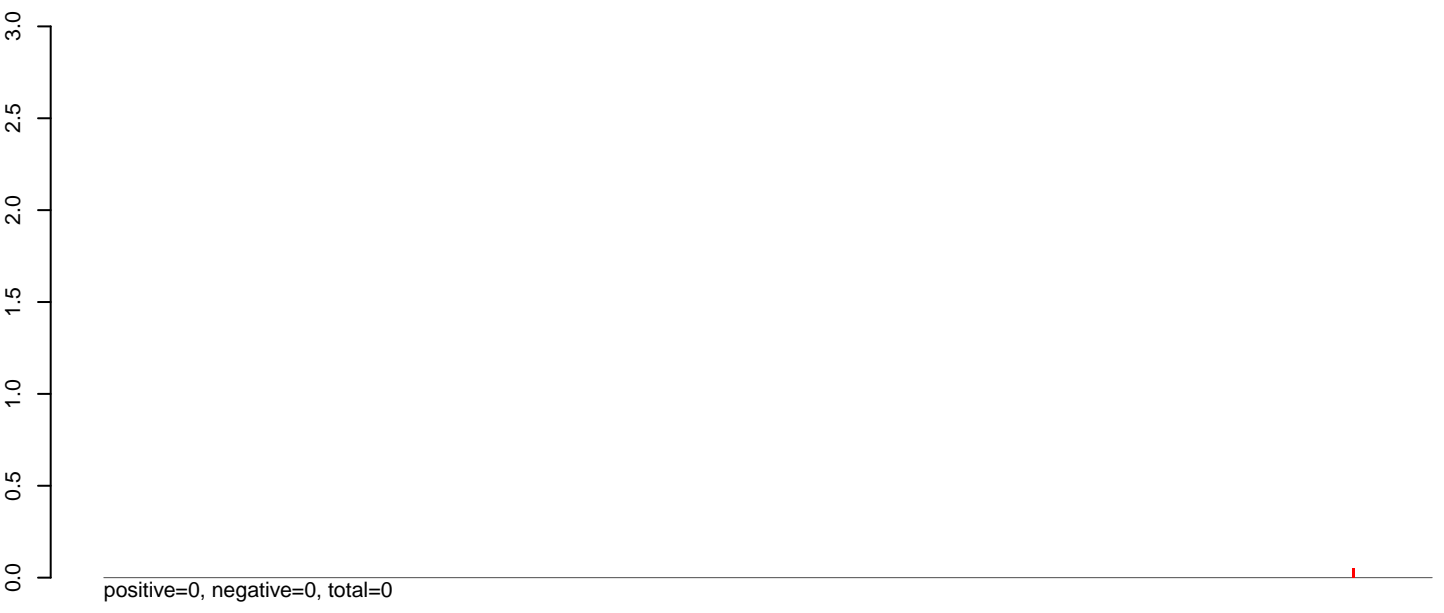
AeAlbo_C636_cells_rep_3.rep



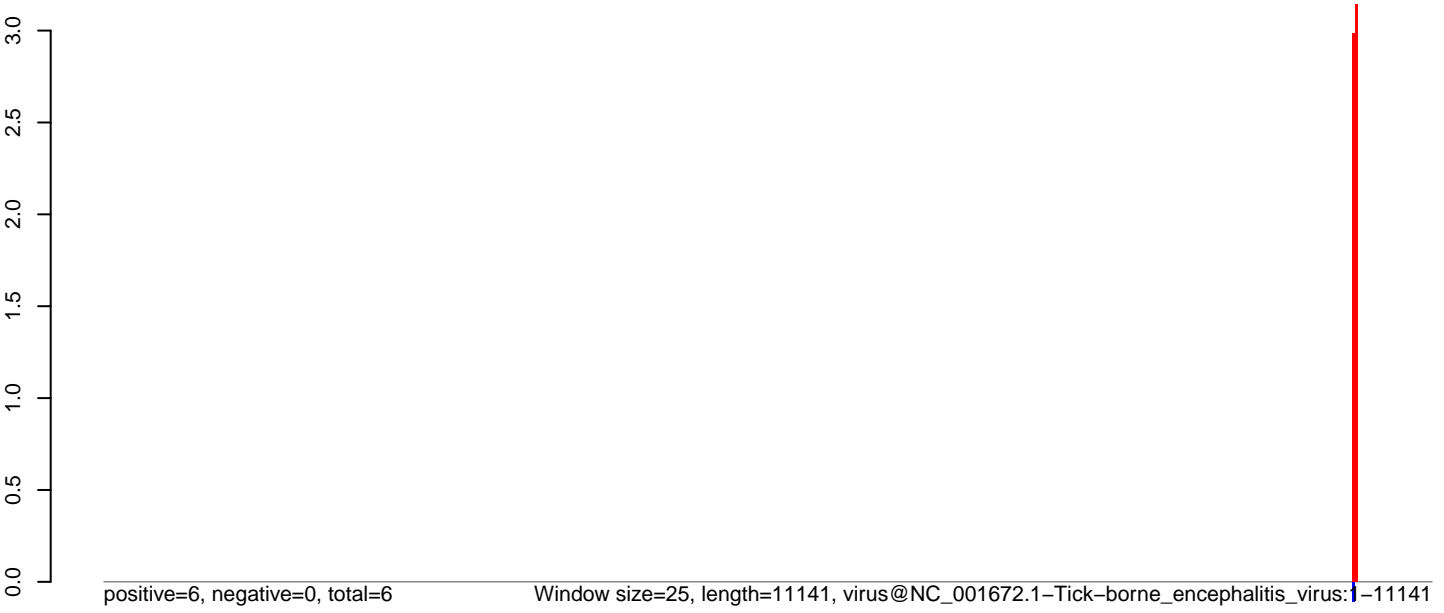
AeAlbo_C636_cells_rep_3.18_23.rep



AeAlbo_C636_cells_rep_3.24_35.rep

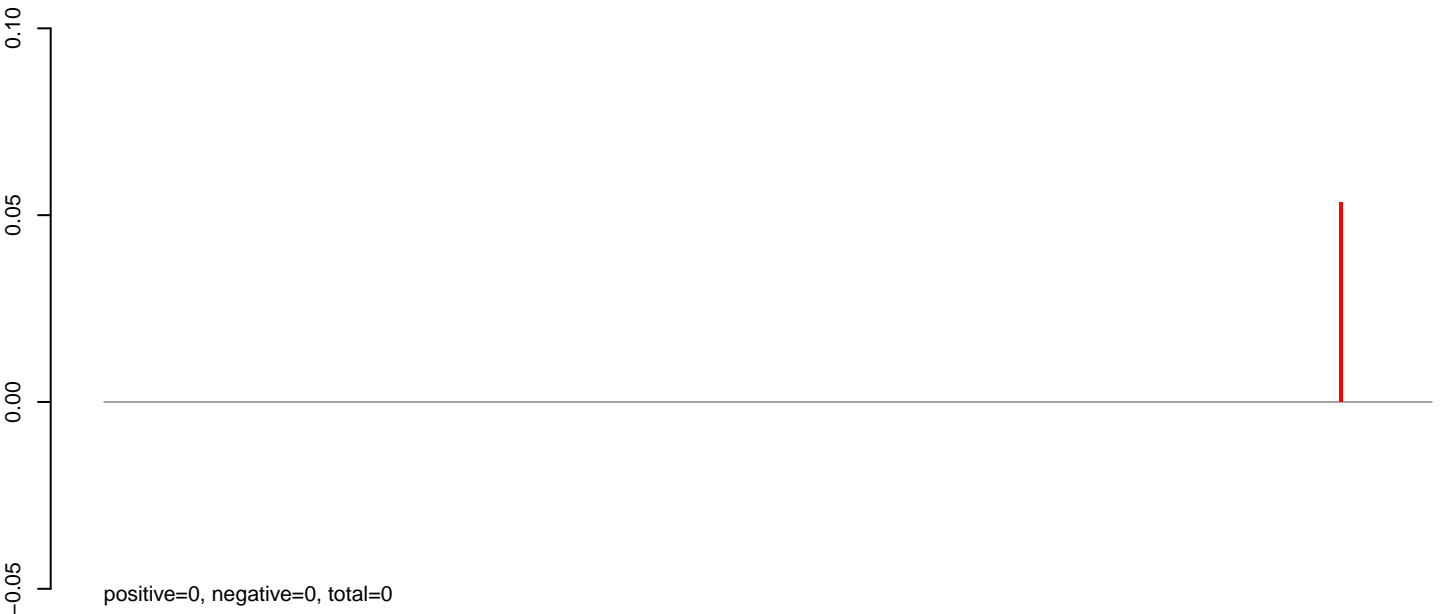


AeAlbo_C636_cells_rep_3.rep

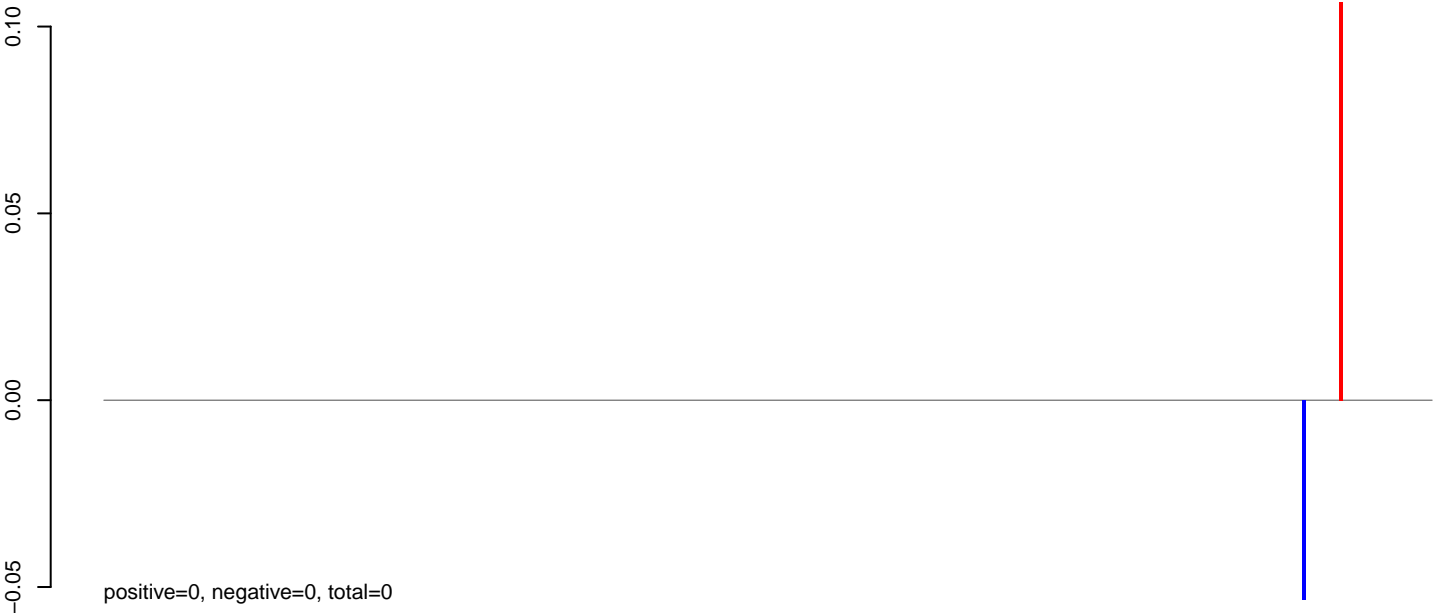


0 2000 4000 6000 8000 10000

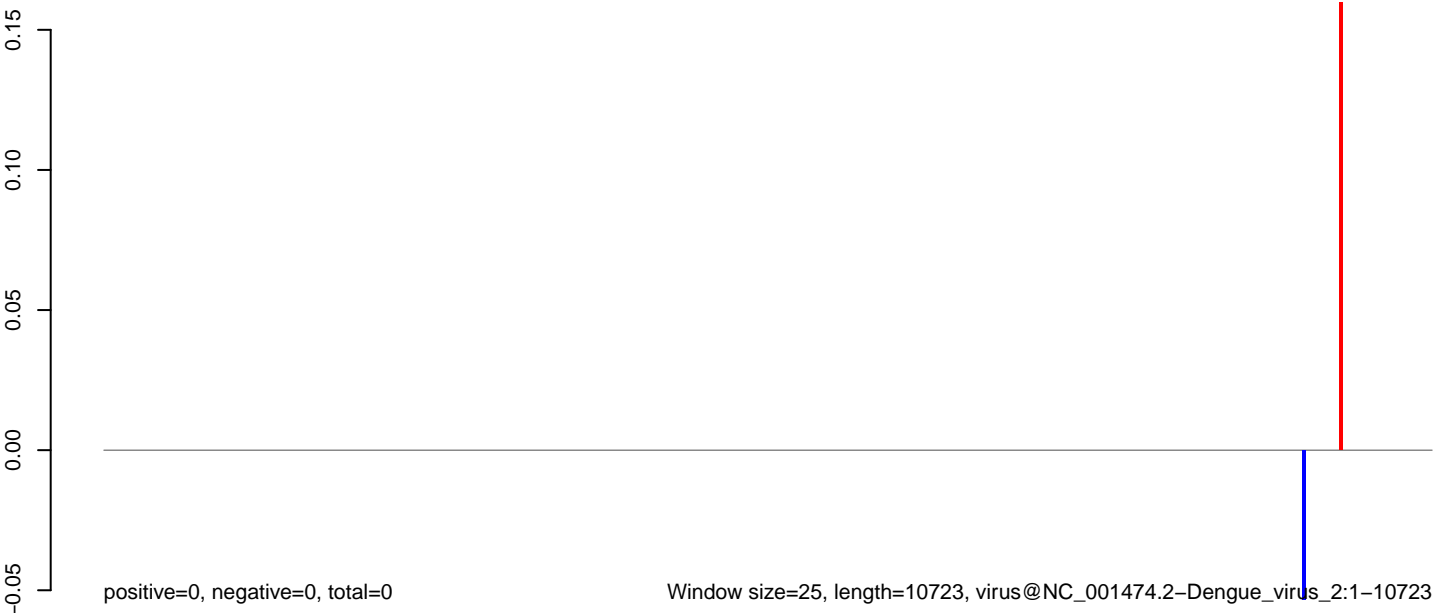
AeAlbo_C636_cells_rep_3.18_23.rep



AeAlbo_C636_cells_rep_3.24_35.rep



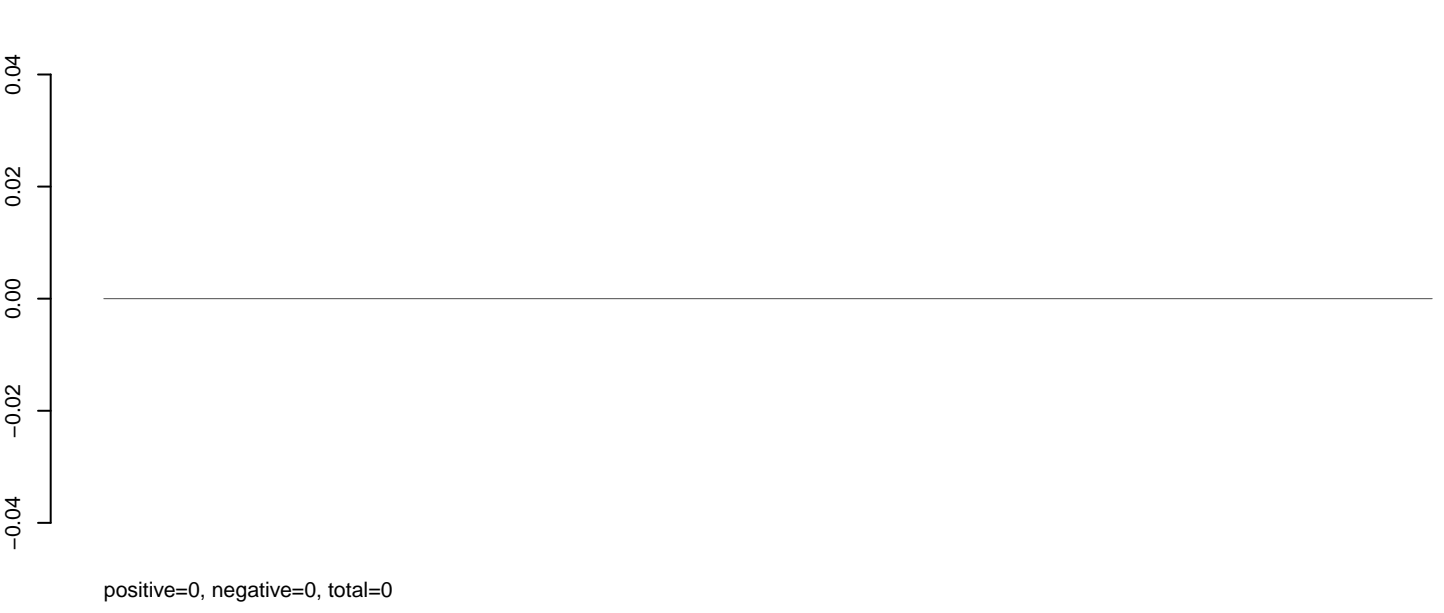
AeAlbo_C636_cells_rep_3.rep



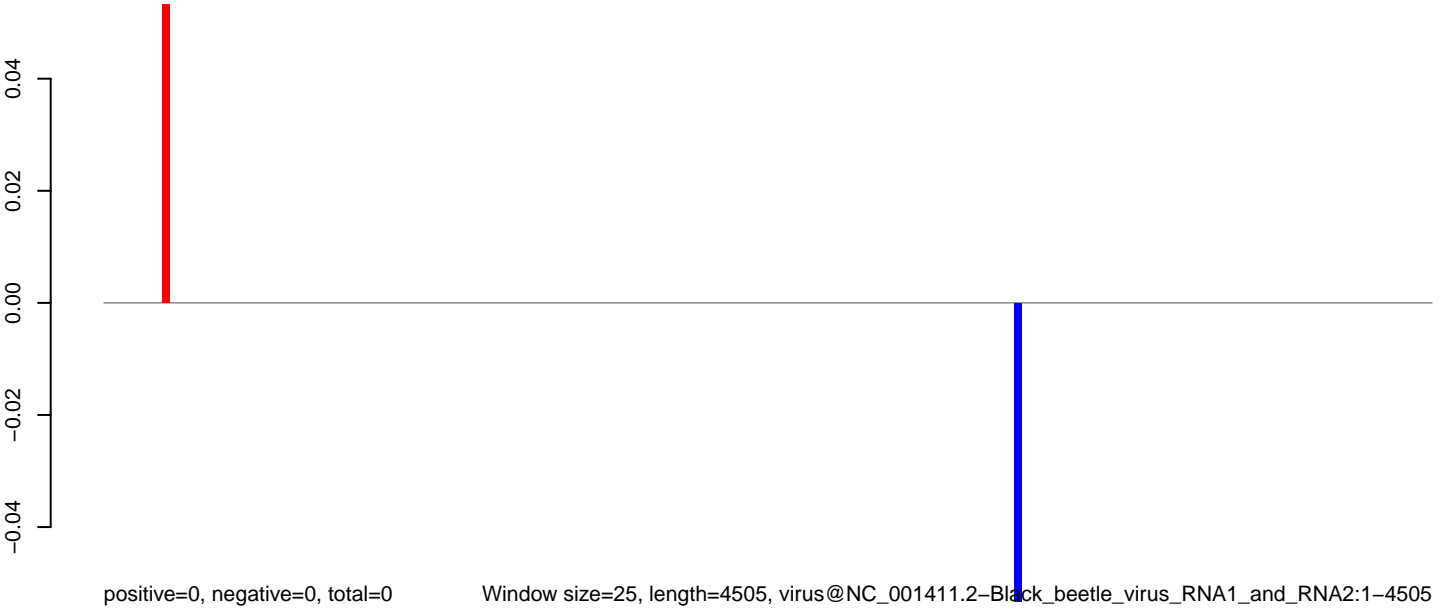
AeAlbo_C636_cells_rep_3.18_23.rep



AeAlbo_C636_cells_rep_3.24_35.rep



AeAlbo_C636_cells_rep_3.rep



Window size=25, length=4505, virus@NC_001411.2-Black_beetle_virus_RNA1_and_RNA2:1-4505

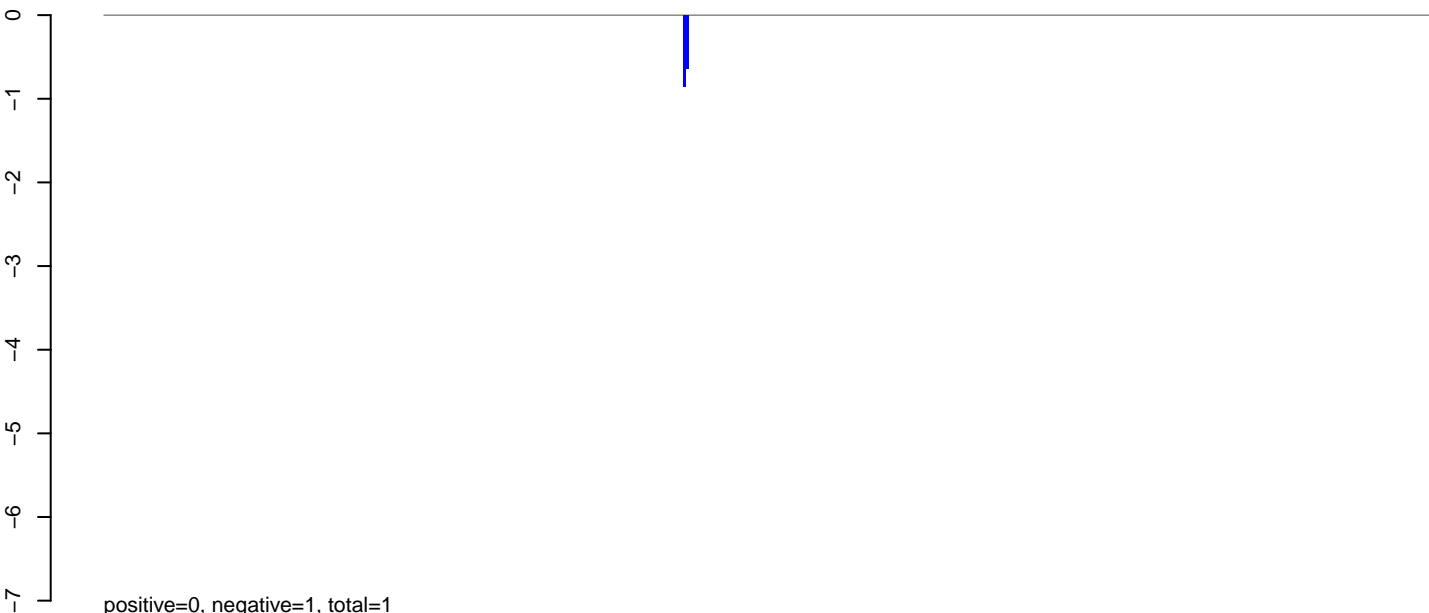
0 1000 2000 3000 4000

AeAlbo_C636_cells_rep_3.18_23.rep



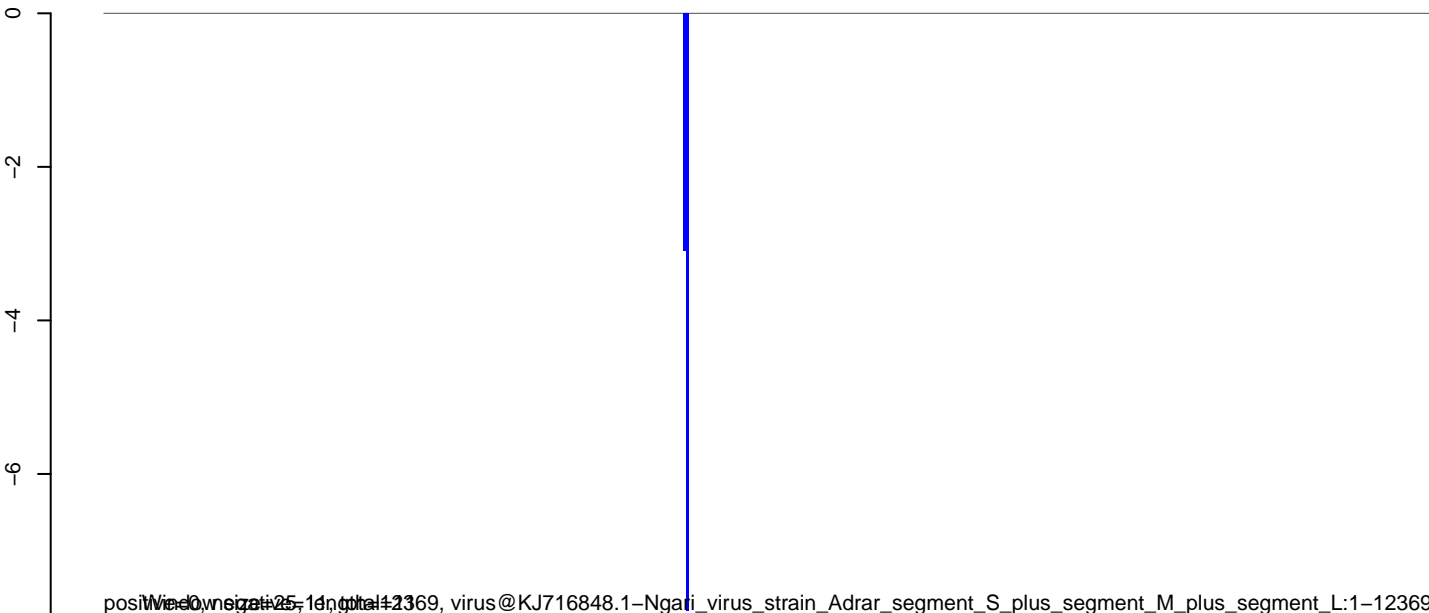
positive=0, negative=9, total=9

AeAlbo_C636_cells_rep_3.24_35.rep



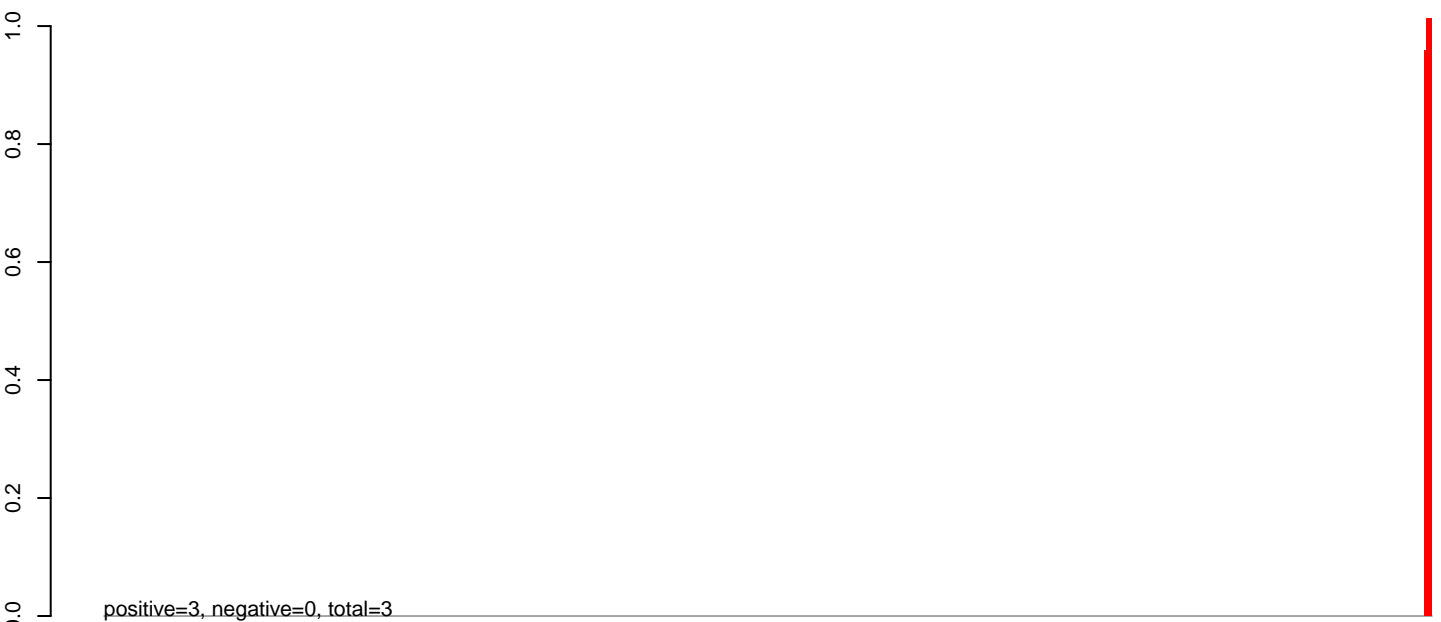
positive=0, negative=1, total=1

AeAlbo_C636_cells_rep_3.rep

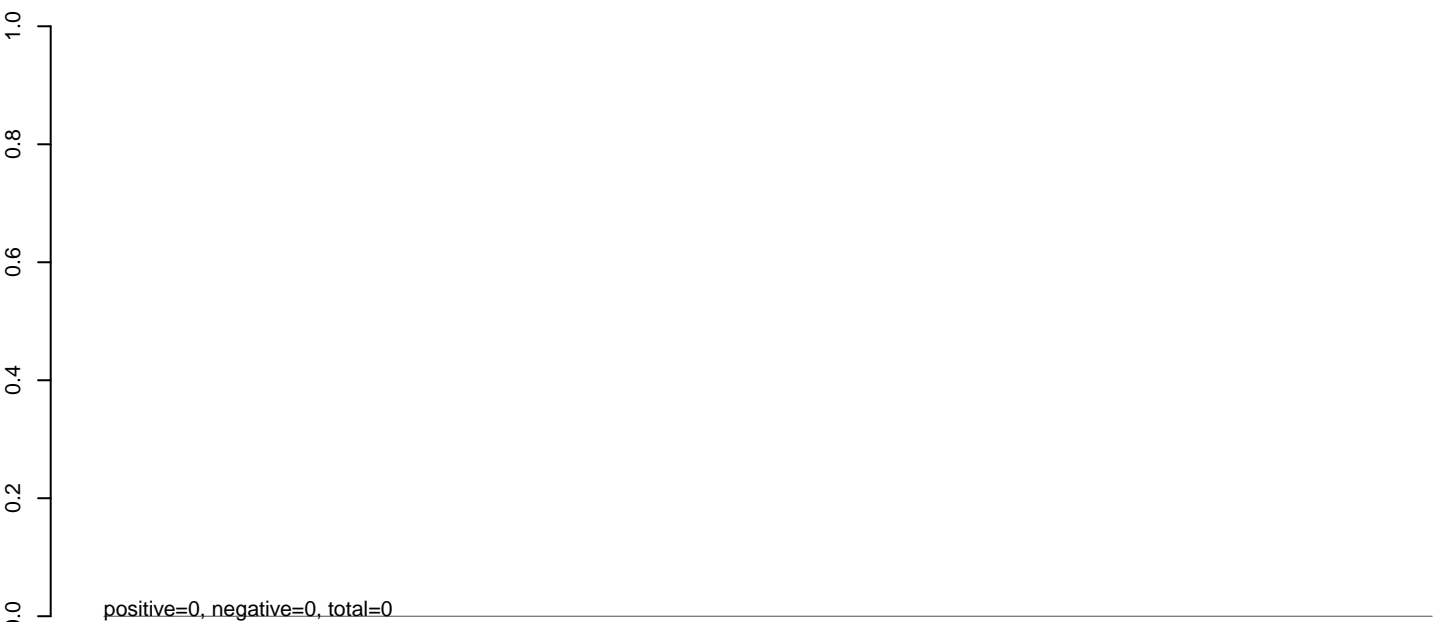


Window size=25, length=2369, virus@KJ716848.1-Ngari_virus_strain_Adrar_segment_S_plus_segment_M_plus_segment_L:1-12369

AeAlbo_C636_cells_rep_3.18_23.rep



AeAlbo_C636_cells_rep_3.24_35.rep



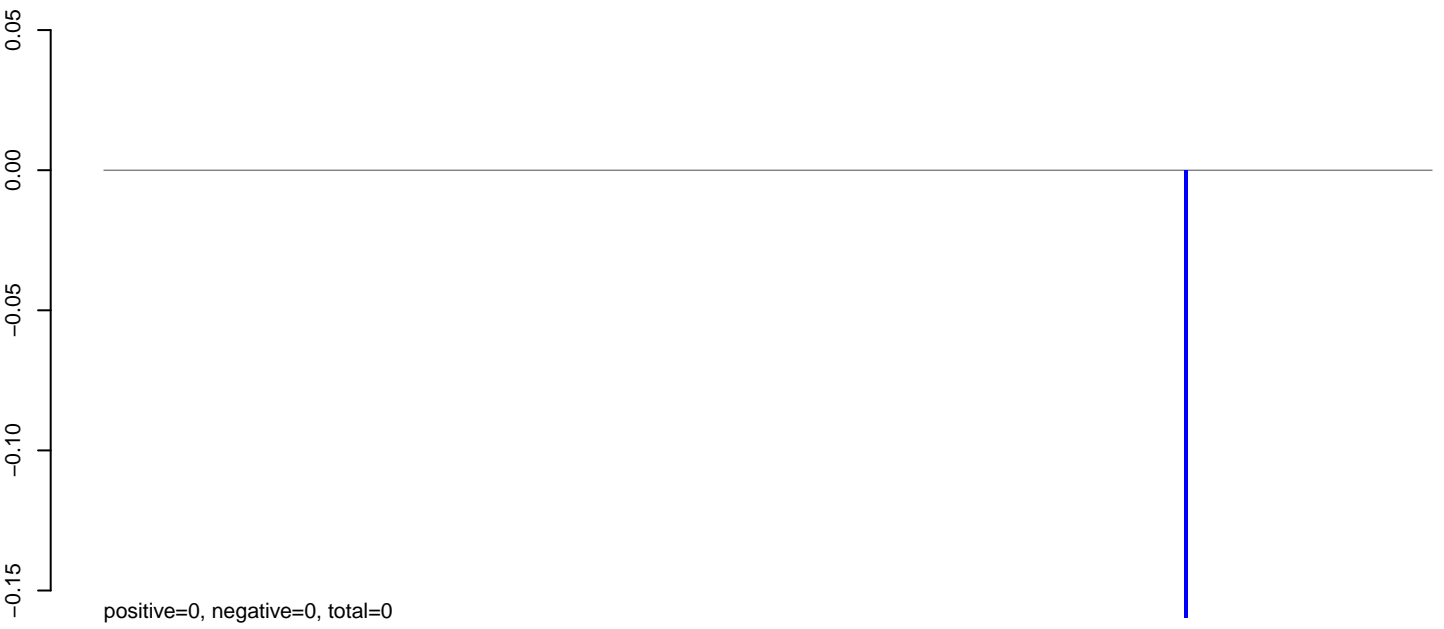
AeAlbo_C636_cells_rep_3.rep



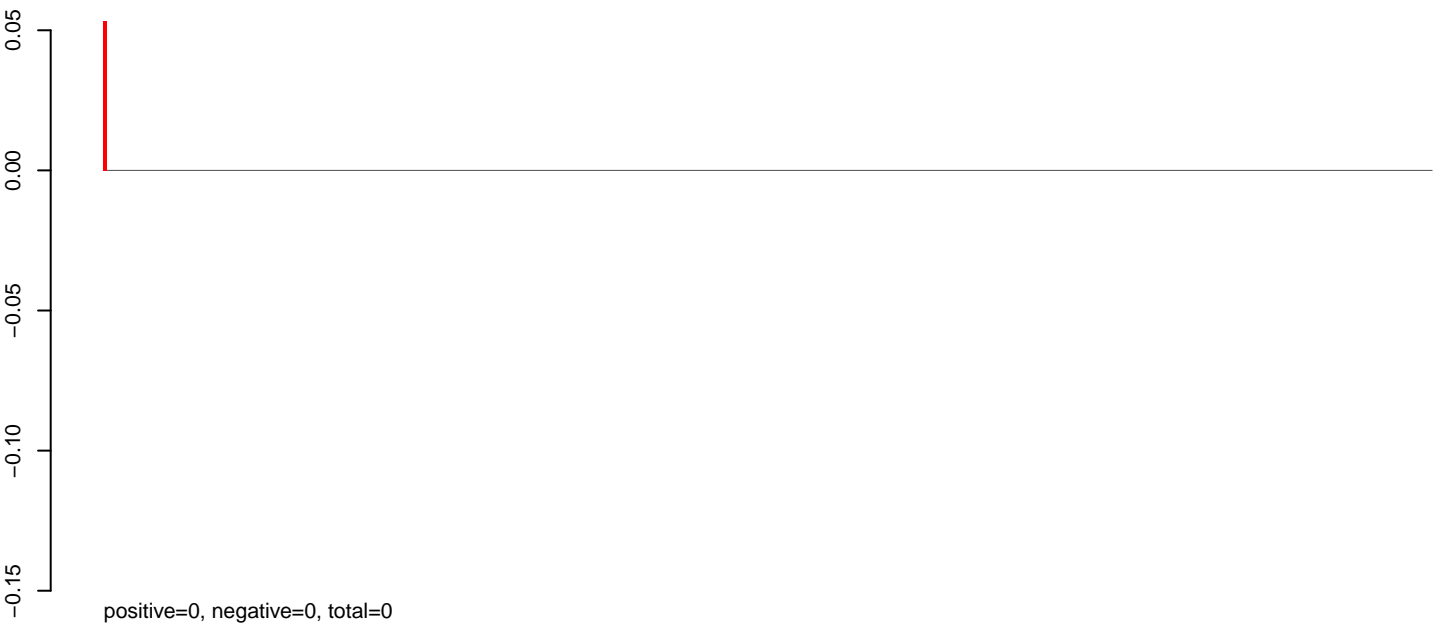
downloaded from SRA on 04/12/2025, visit <https://www.ncbi.nlm.nih.gov/sra> for full access to the original data.

0 2000 4000 6000 8000 10000 12000
HM147991.1-Trocaravirus non structural polyprotein gene partial cds and structural polyprotei:1-12052

AeAlbo_C636_cells_rep_3.18_23.rep



AeAlbo_C636_cells_rep_3.24_35.rep



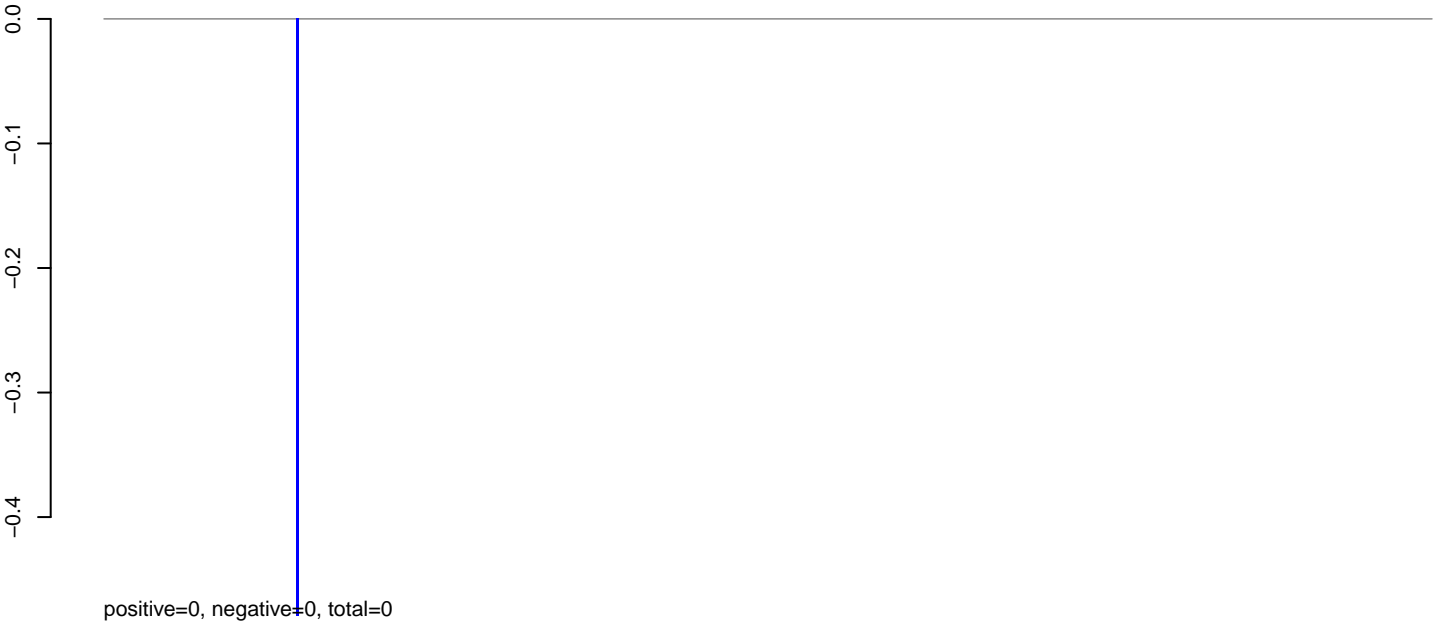
AeAlbo_C636_cells_rep_3.rep



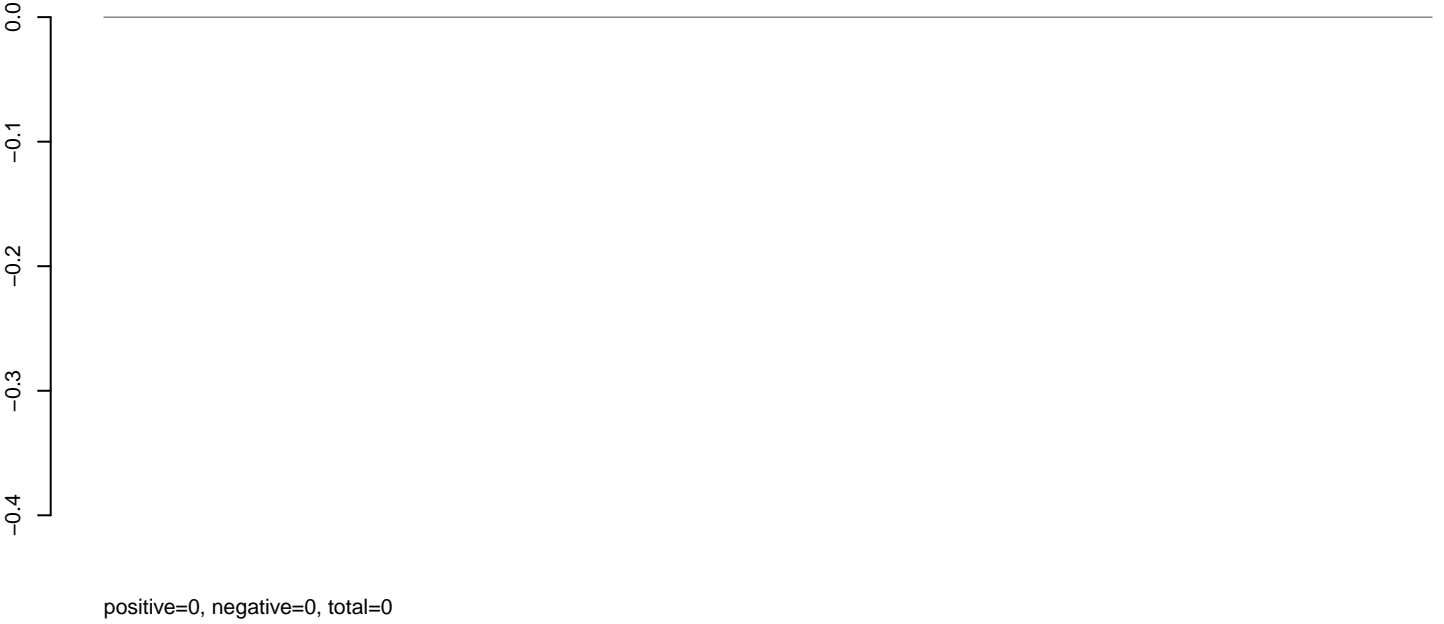
Window size=25, length=10837, virus@FJ502995.1-Culex_flavivirus_strain_HOU24518:1-10837

0 2000 4000 6000 8000 10000

AeAlbo_C636_cells_rep_3.18_23.rep



AeAlbo_C636_cells_rep_3.24_35.rep



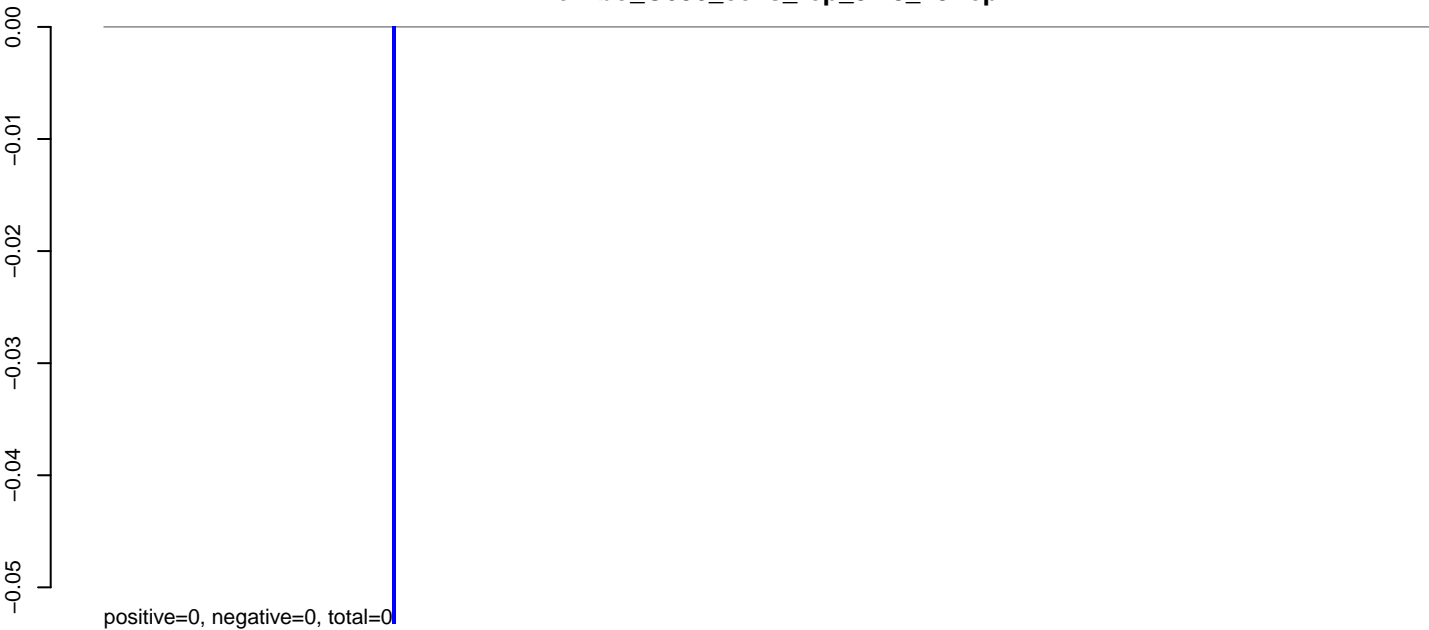
AeAlbo_C636_cells_rep_3.rep



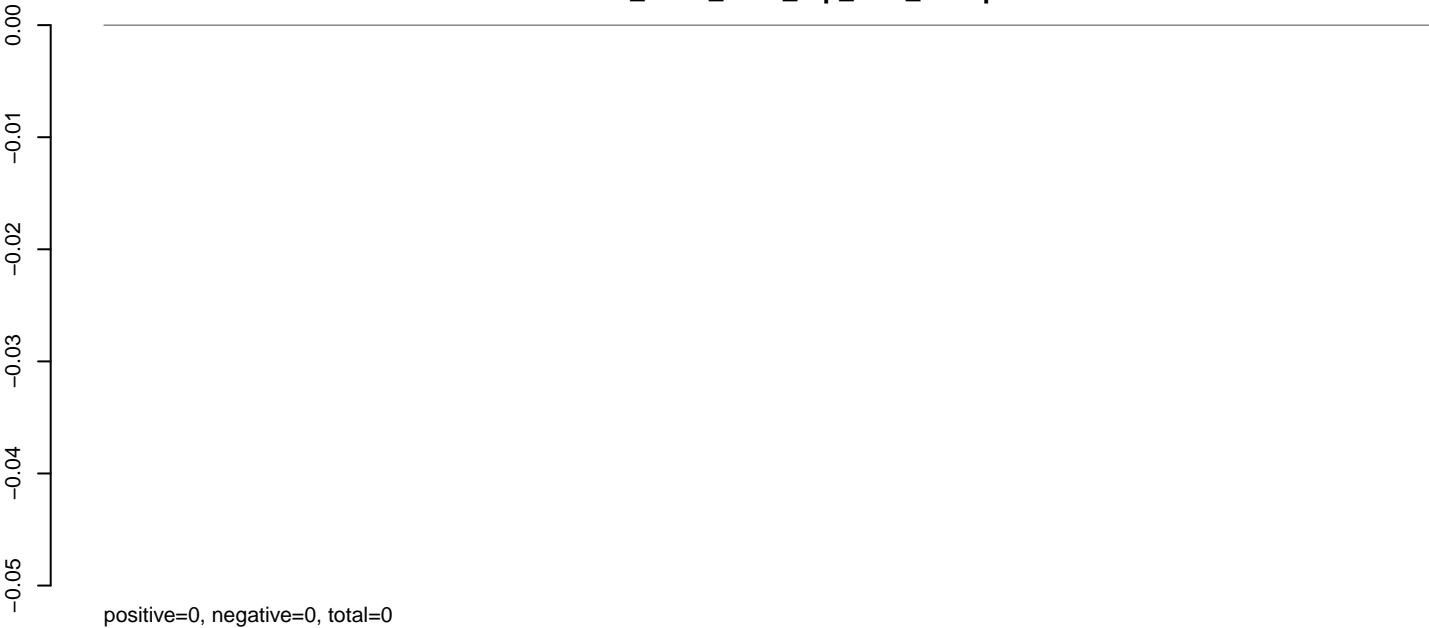
positive=0, negative=0, total=0, virus@NC_038259.1-Badu_virus_isolate_TS6347_segment_S_plus_segment_M_plus_segment_L:1-12247

0 2000 4000 6000 8000 10000 12000

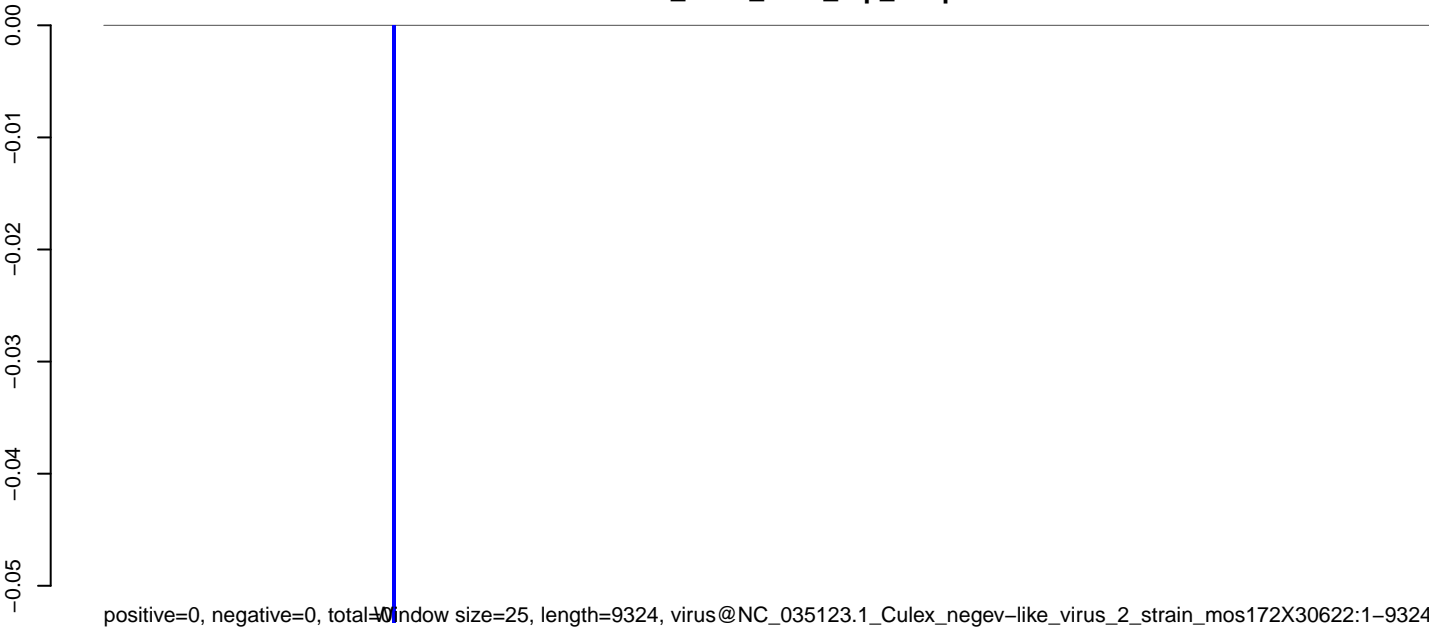
AeAlbo_C636_cells_rep_3.18_23.rep



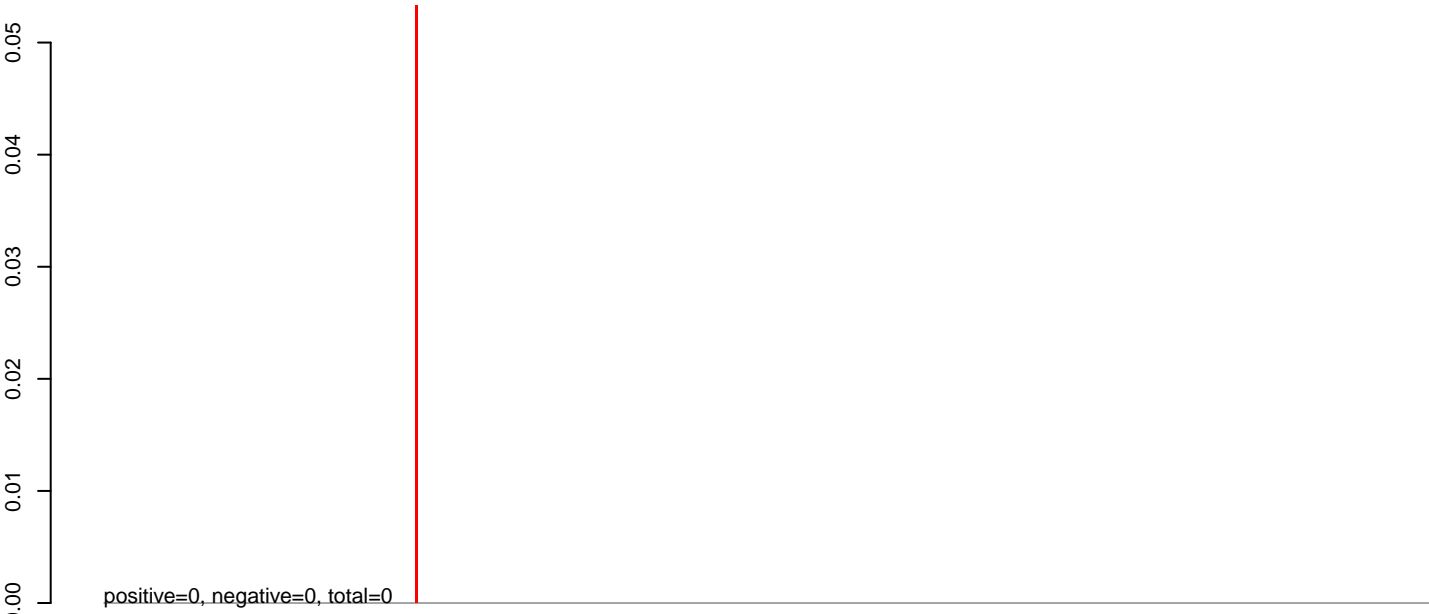
AeAlbo_C636_cells_rep_3.24_35.rep



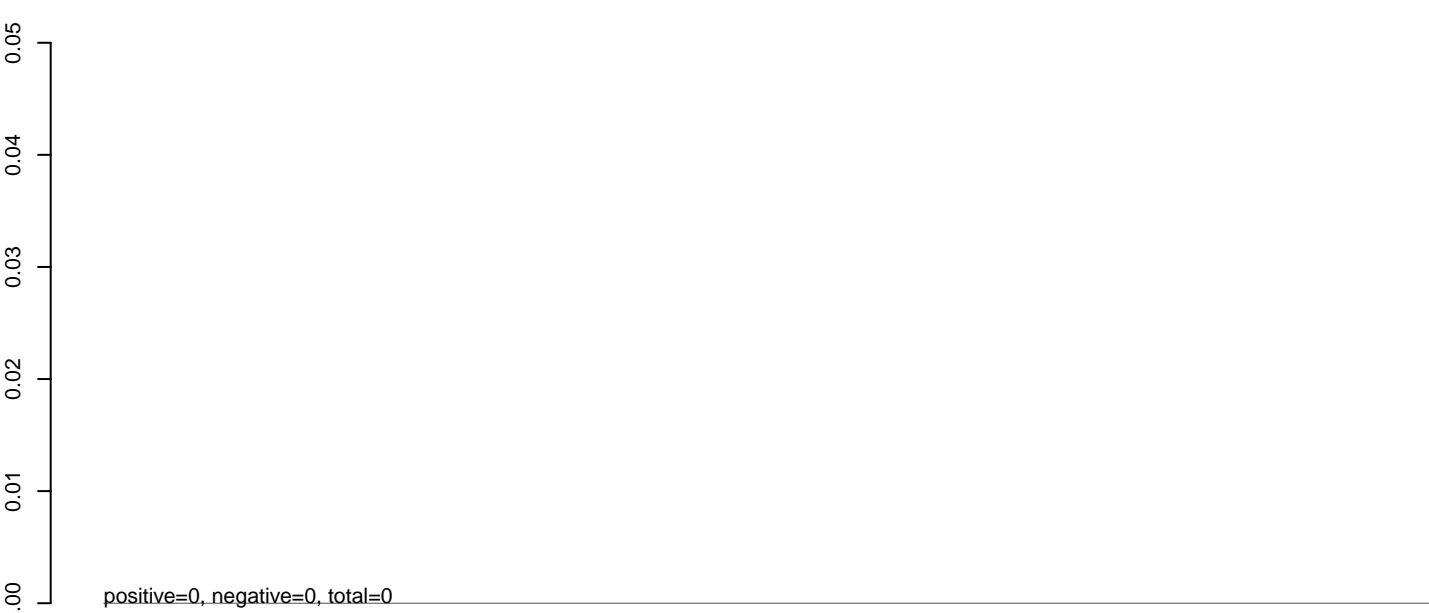
AeAlbo_C636_cells_rep_3.rep



AeAlbo_C636_cells_rep_3.18_23.rep



AeAlbo_C636_cells_rep_3.24_35.rep



AeAlbo_C636_cells_rep_3.rep



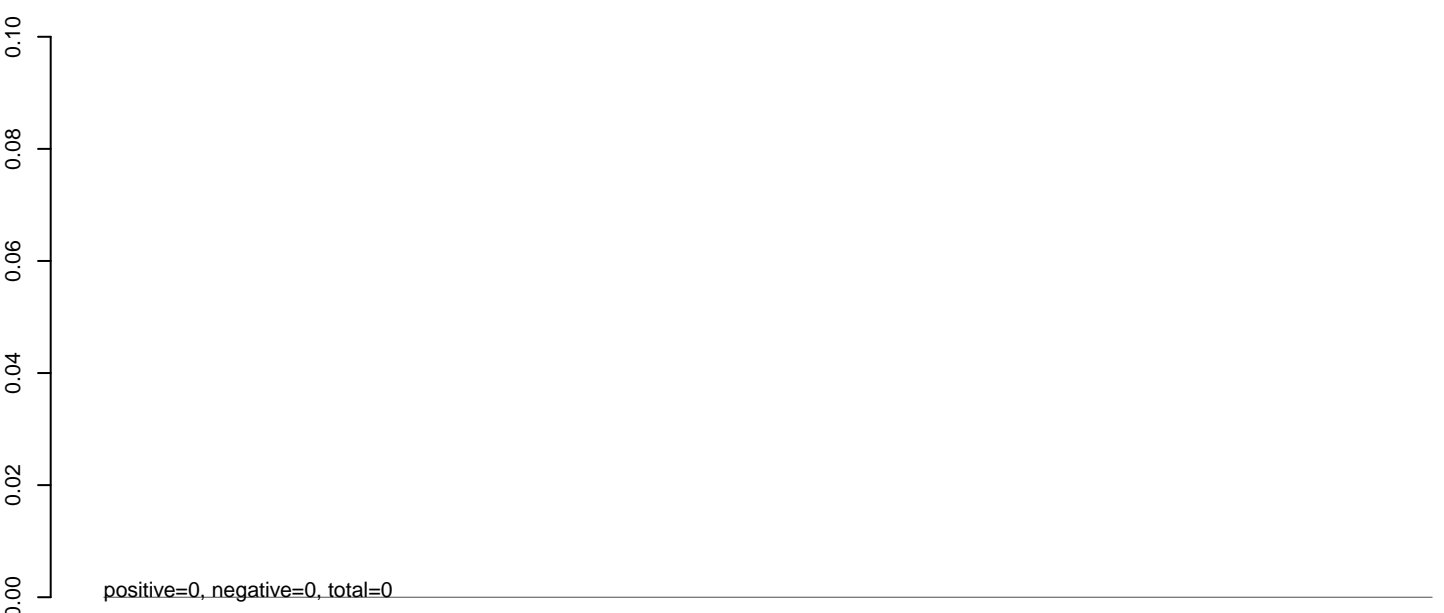
25, length=11728, reference=NC_013445.1-Tai_virus_strain_F47_CI_2004_segment_S_plus_segment_M_plus_segment_L_nucleocapsid :1-11728

0 2000 4000 6000 8000 10000 12000

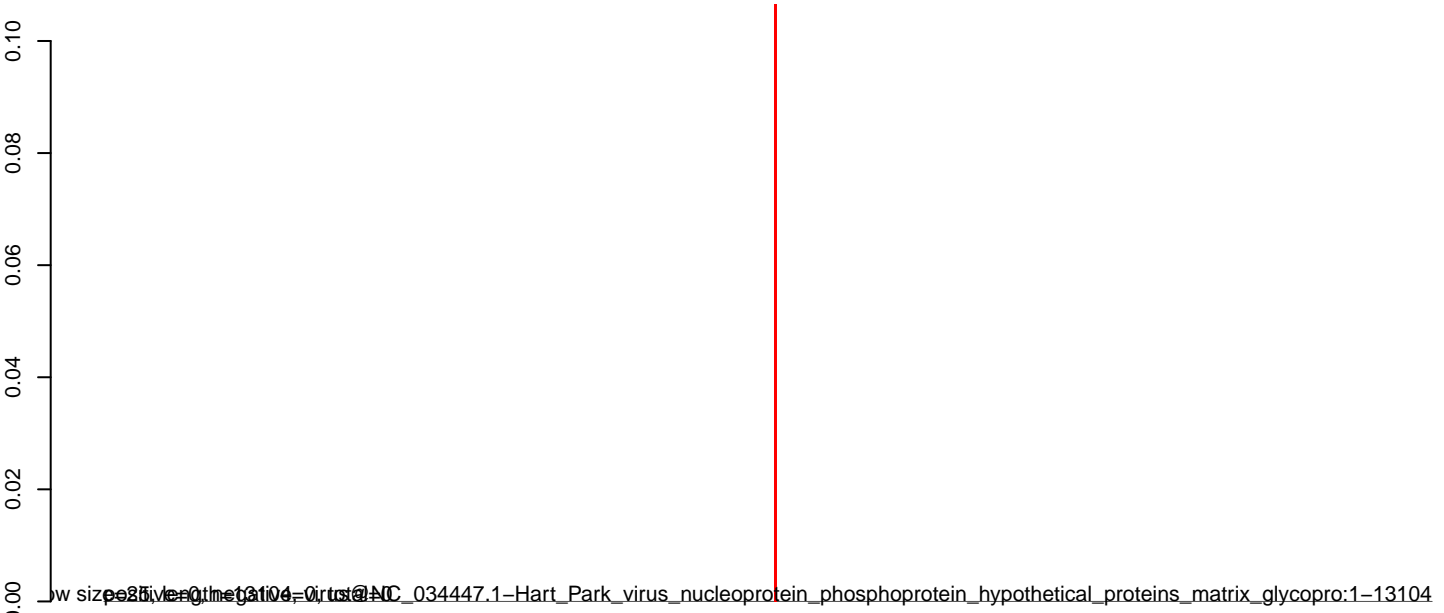
AeAlbo_C636_cells_rep_3.18_23.rep



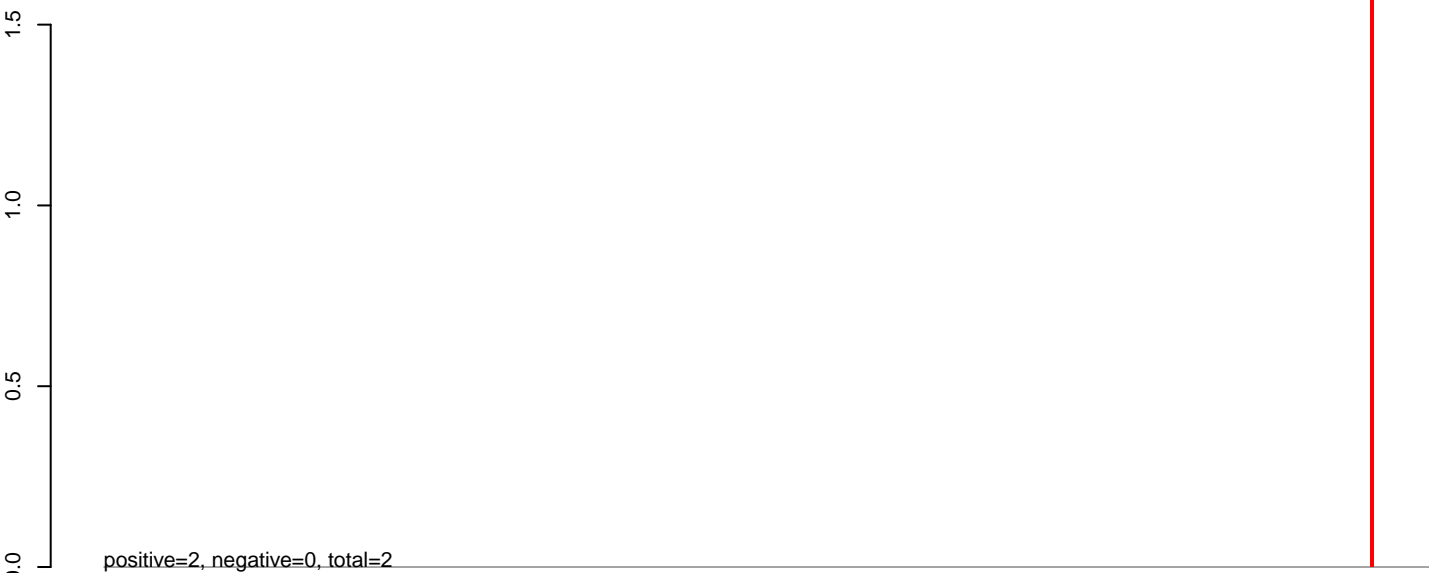
AeAlbo_C636_cells_rep_3.24_35.rep



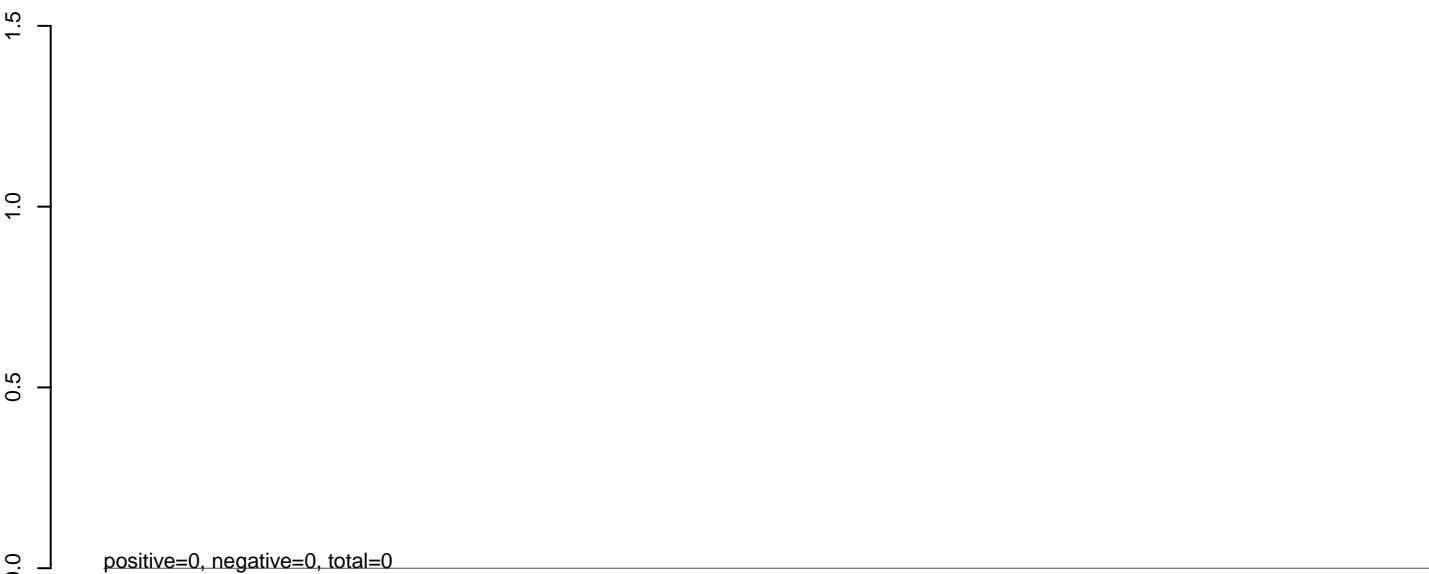
AeAlbo_C636_cells_rep_3.rep



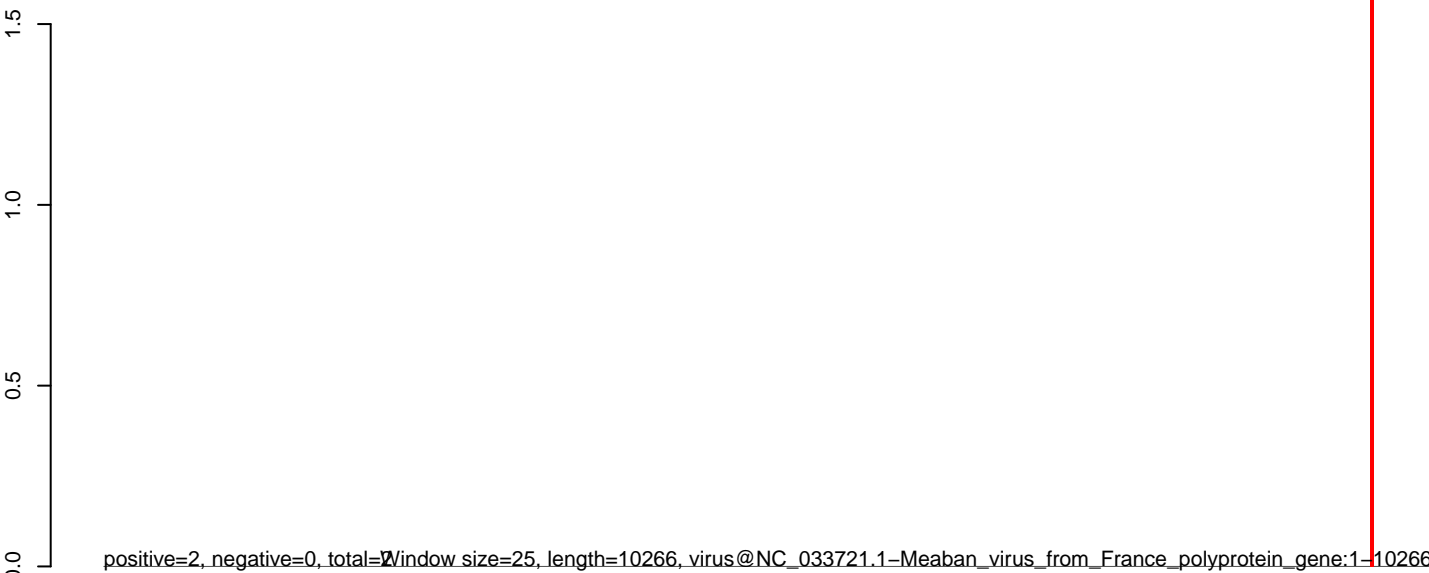
AeAlbo_C636_cells_rep_3.18_23.rep



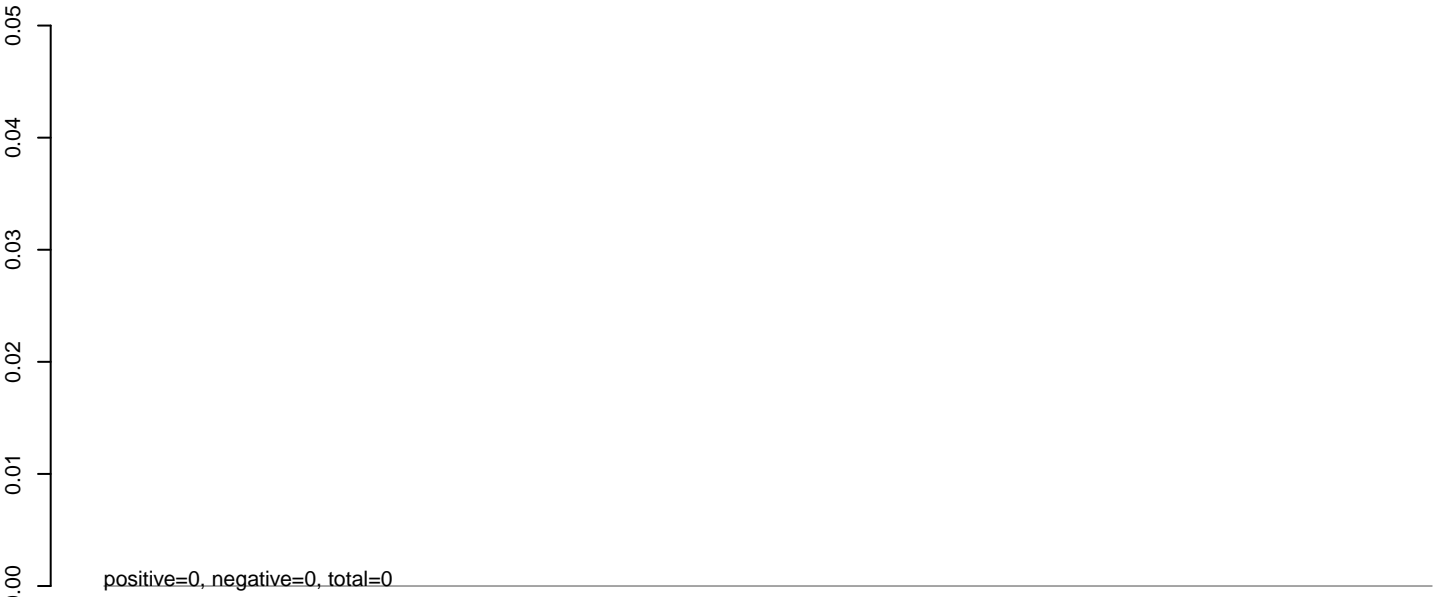
AeAlbo_C636_cells_rep_3.24_35.rep



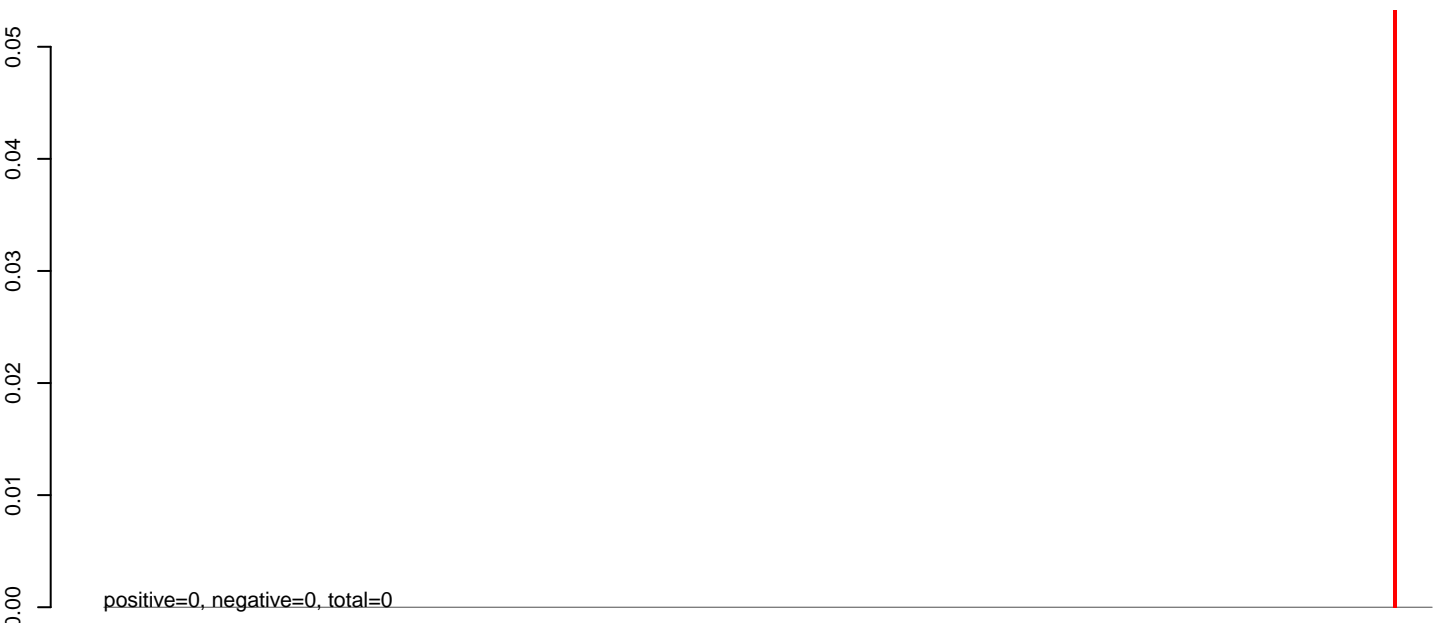
AeAlbo_C636_cells_rep_3.rep



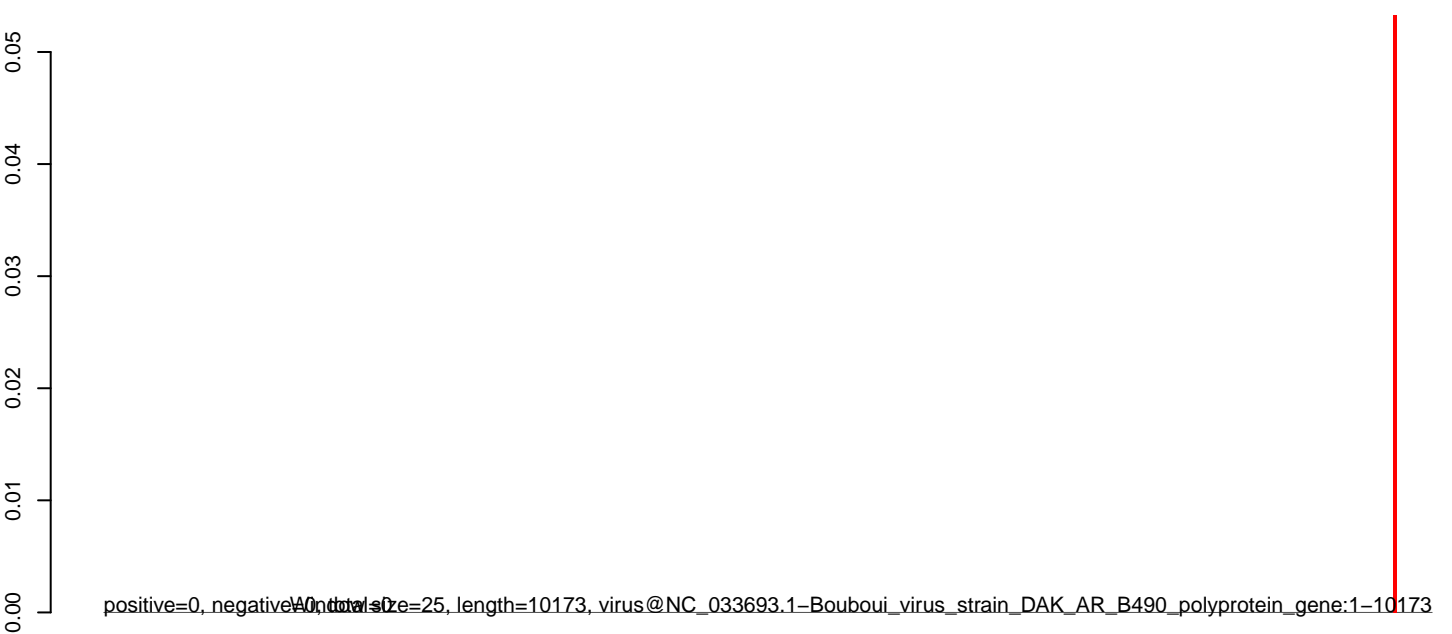
AeAlbo_C636_cells_rep_3.18_23.rep



AeAlbo_C636_cells_rep_3.24_35.rep

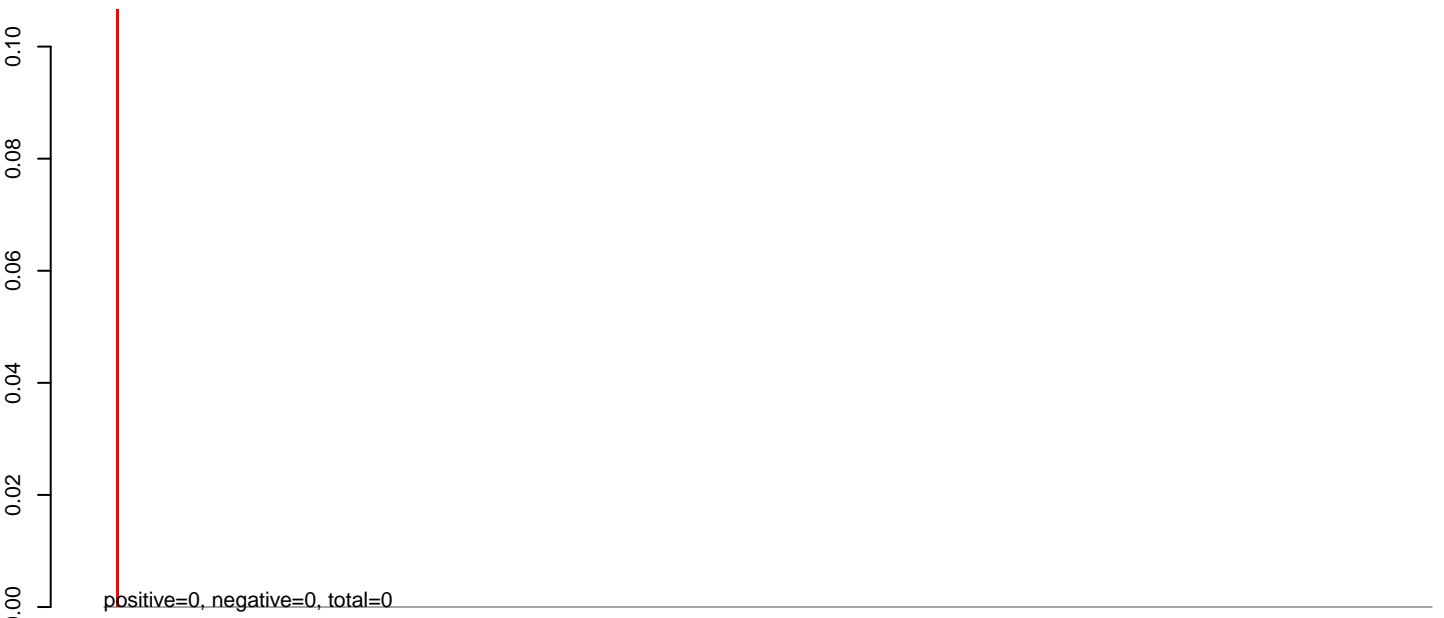


AeAlbo_C636_cells_rep_3.rep

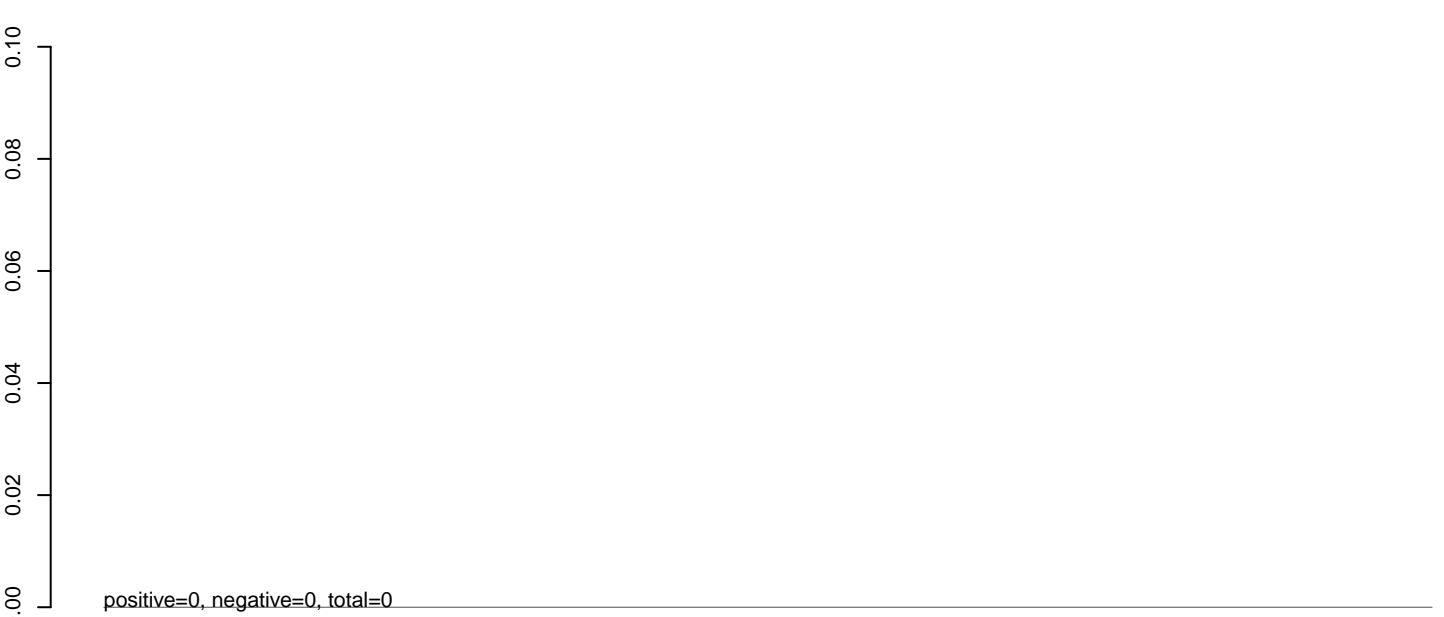


0 2000 4000 6000 8000 10000

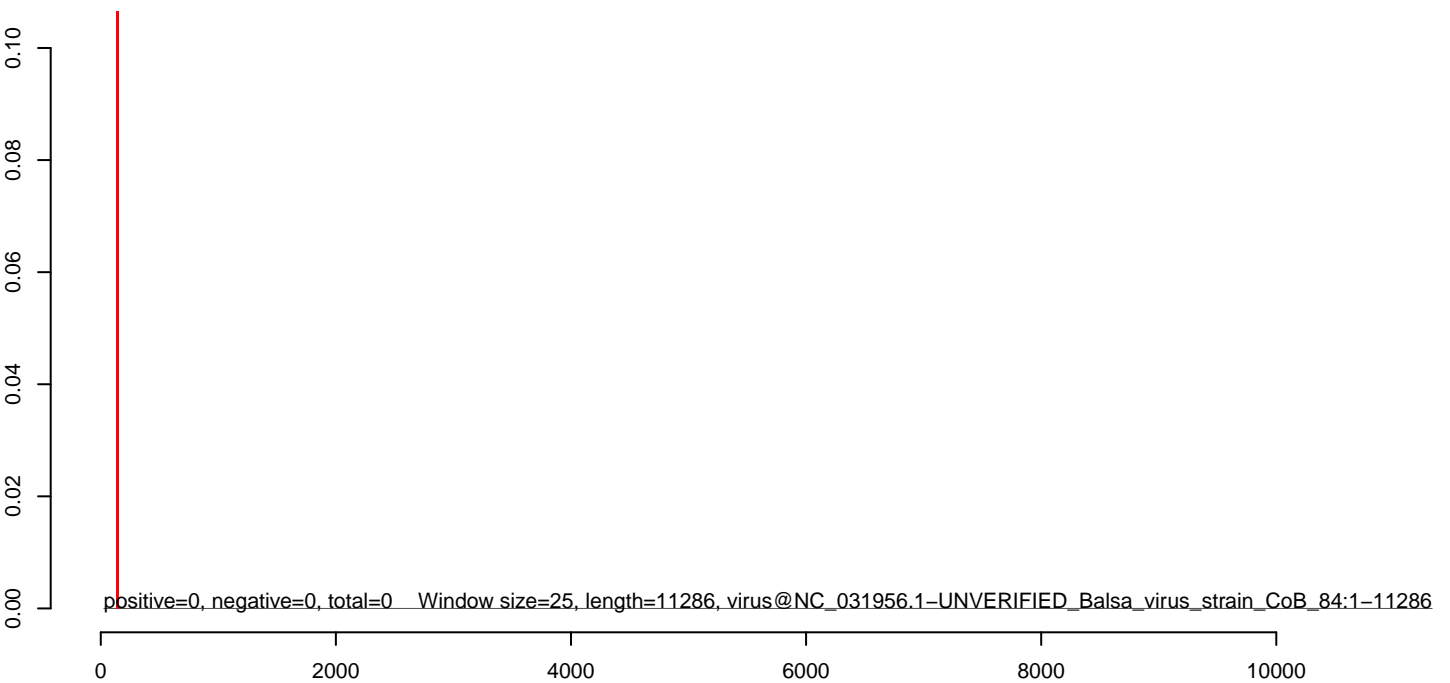
AeAlbo_C636_cells_rep_3.18_23.rep



AeAlbo_C636_cells_rep_3.24_35.rep



AeAlbo_C636_cells_rep_3.rep



AeAlbo_C636_cells_rep_3.18_23.rep

0.00
-0.02
-0.04
-0.06
-0.08
-0.10

positive=0, negative=0, total=0

AeAlbo_C636_cells_rep_3.24_35.rep

0.00
-0.02
-0.04
-0.06
-0.08
-0.10

positive=0, negative=0, total=0

AeAlbo_C636_cells_rep_3.rep

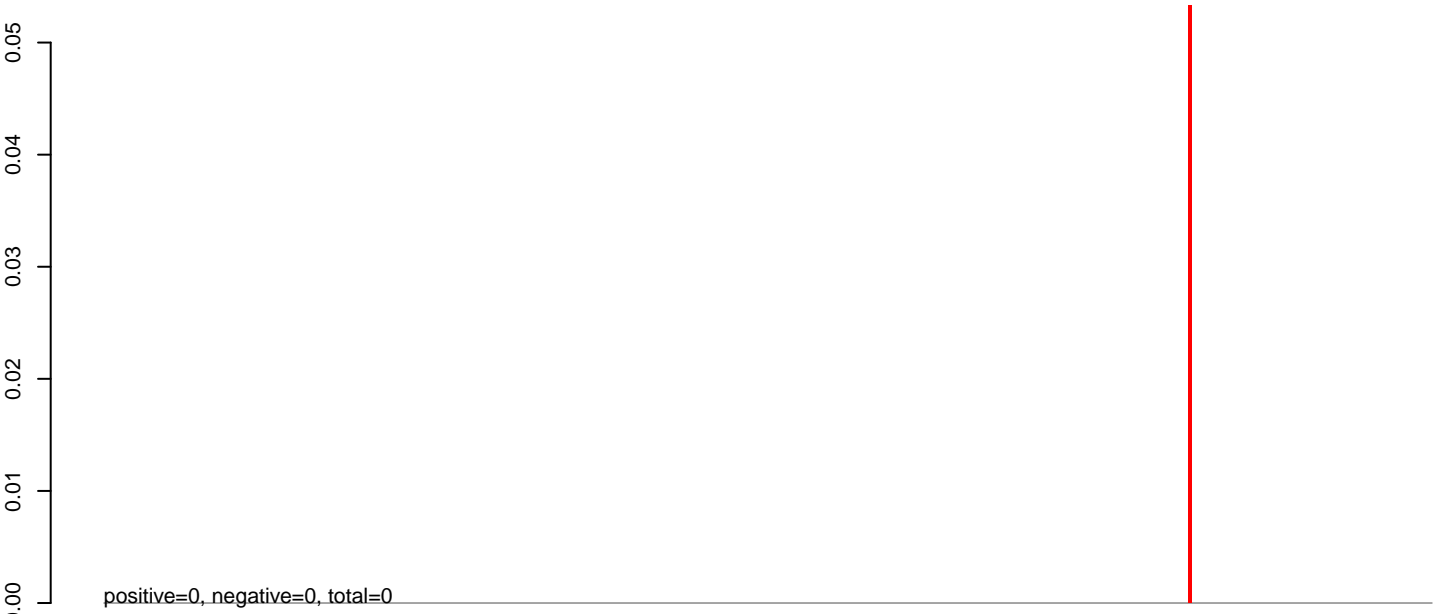
0.00
-0.02
-0.04
-0.06
-0.08
-0.10

positive=0, negative=0, total=0

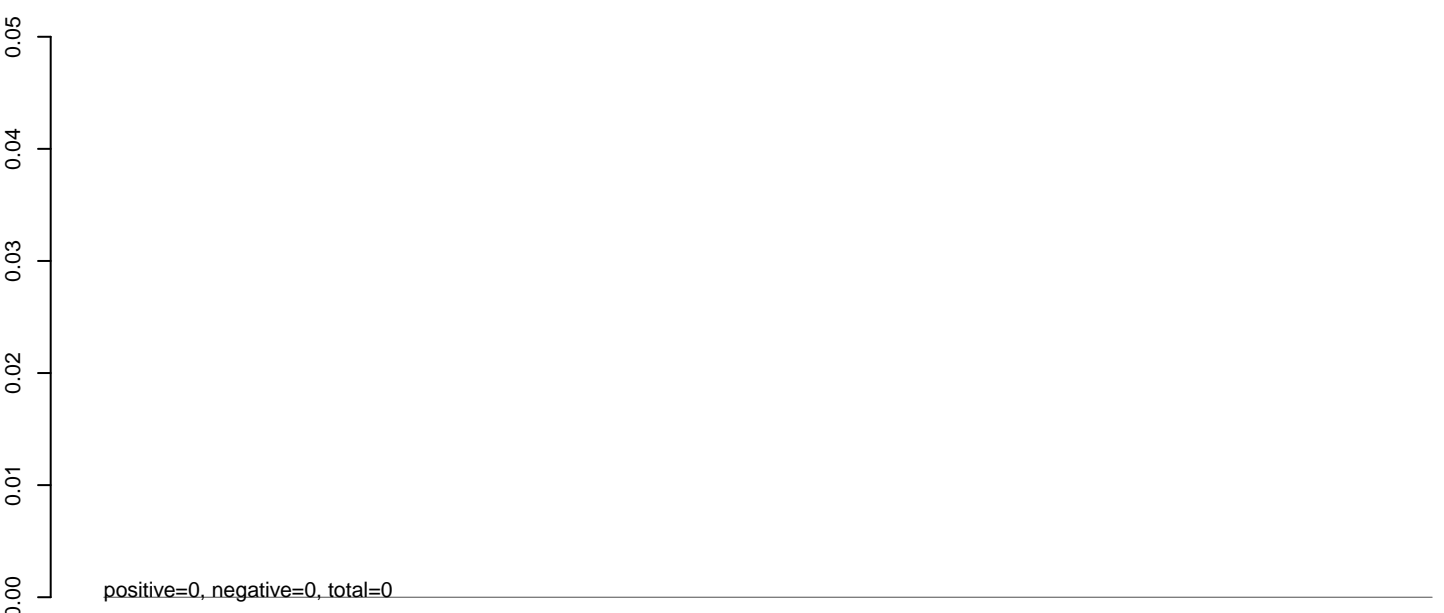
Window size=25, length=10864, virus@NC_030290.1-Culiseta_flavivirus_strain_502-13:1-10864

0 2000 4000 6000 8000 10000

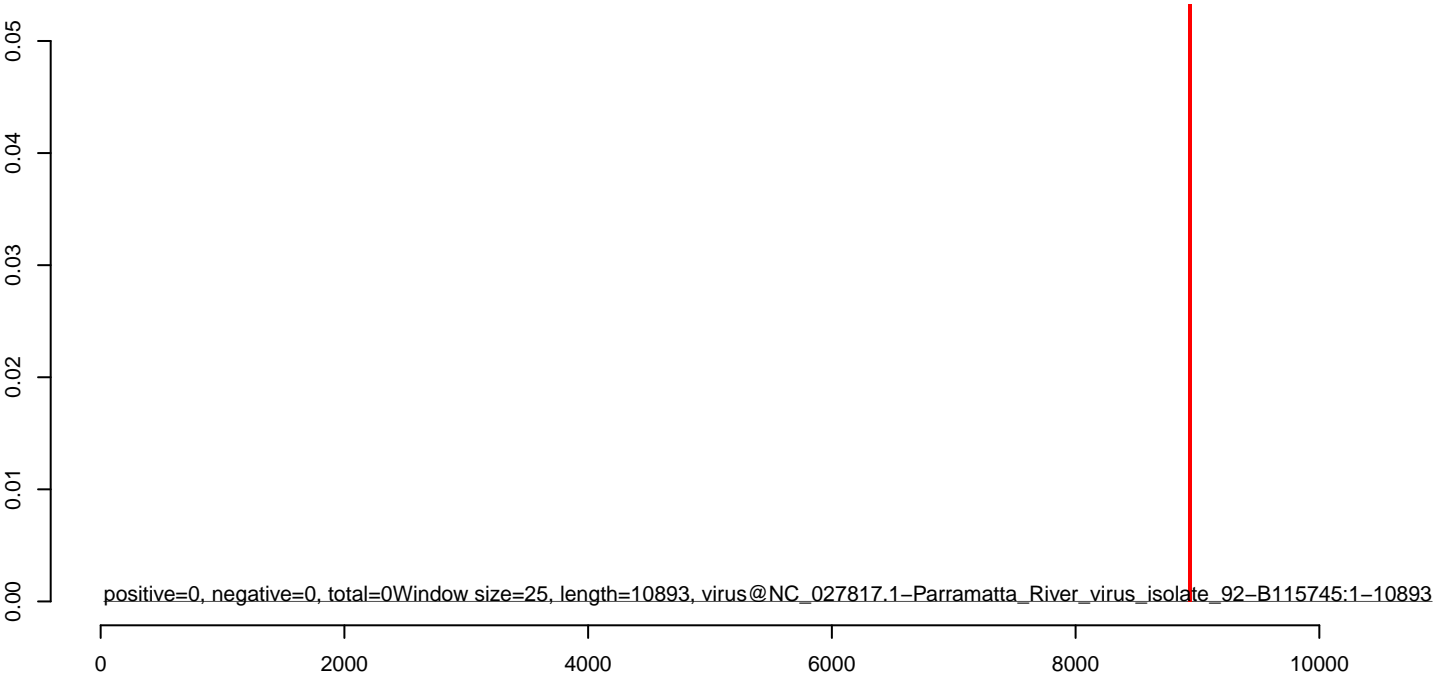
AeAlbo_C636_cells_rep_3.18_23.rep



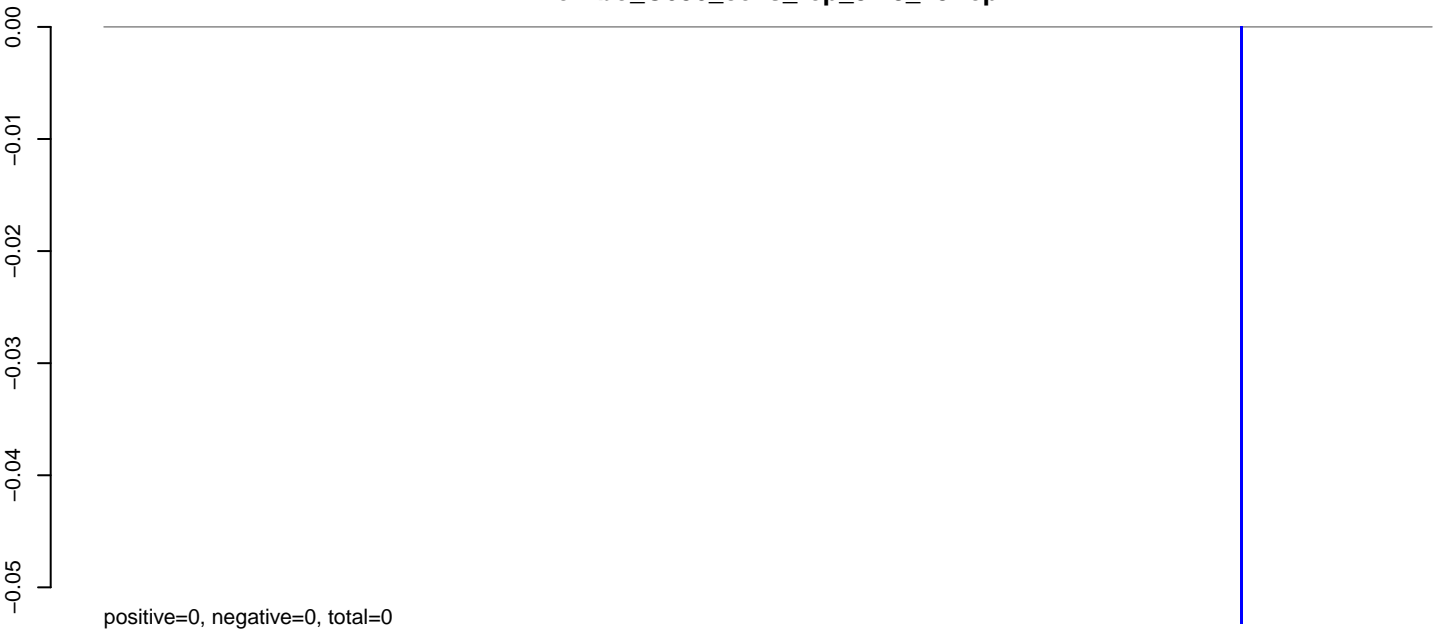
AeAlbo_C636_cells_rep_3.24_35.rep



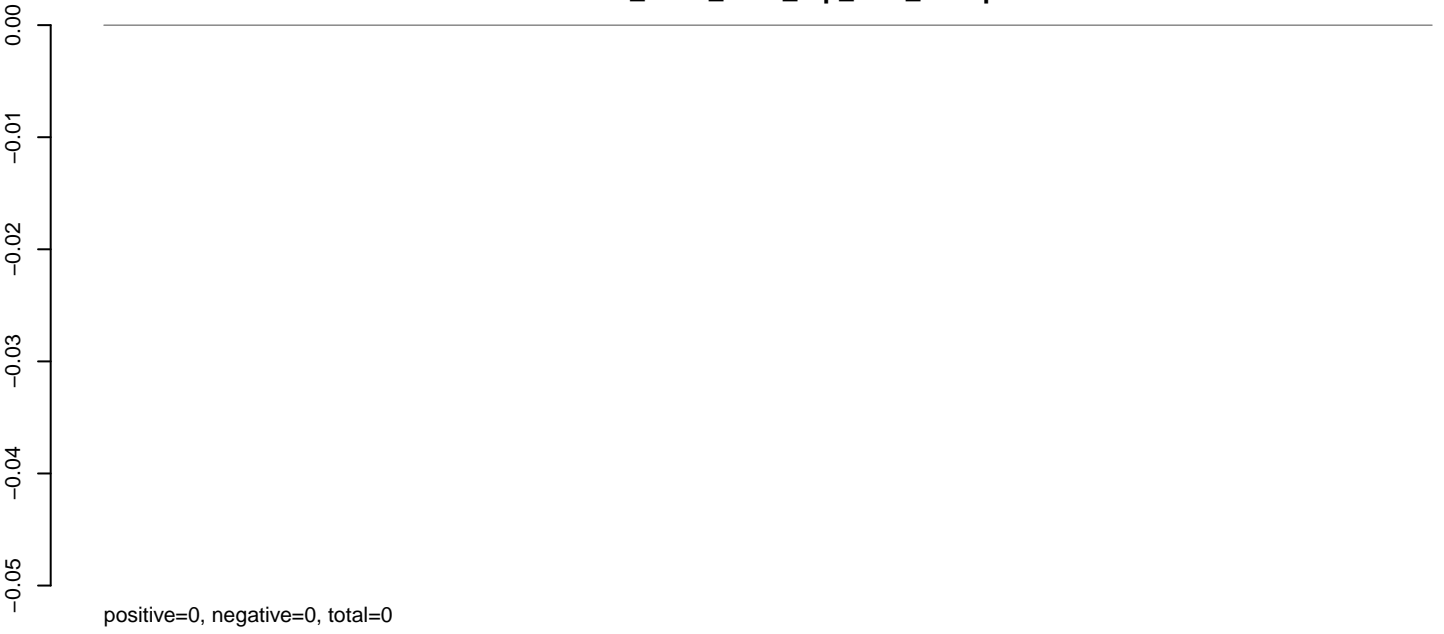
AeAlbo_C636_cells_rep_3.rep



AeAlbo_C636_cells_rep_3.18_23.rep



AeAlbo_C636_cells_rep_3.24_35.rep



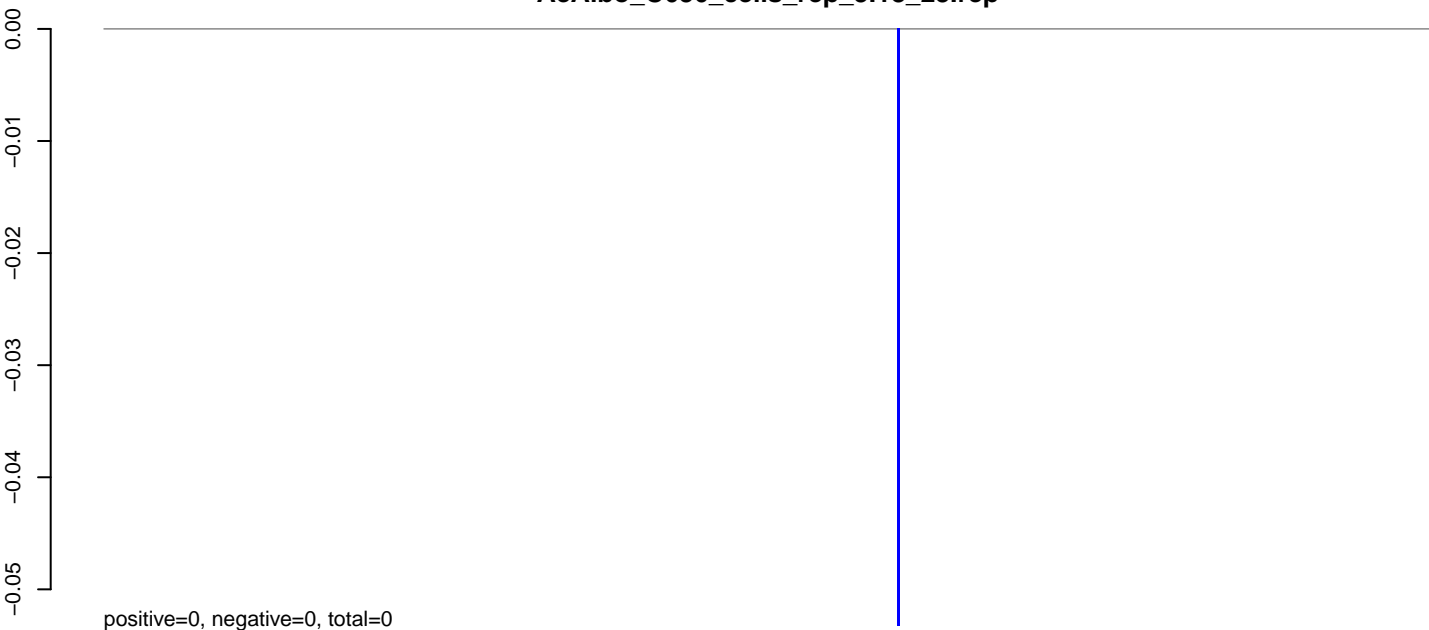
AeAlbo_C636_cells_rep_3.rep



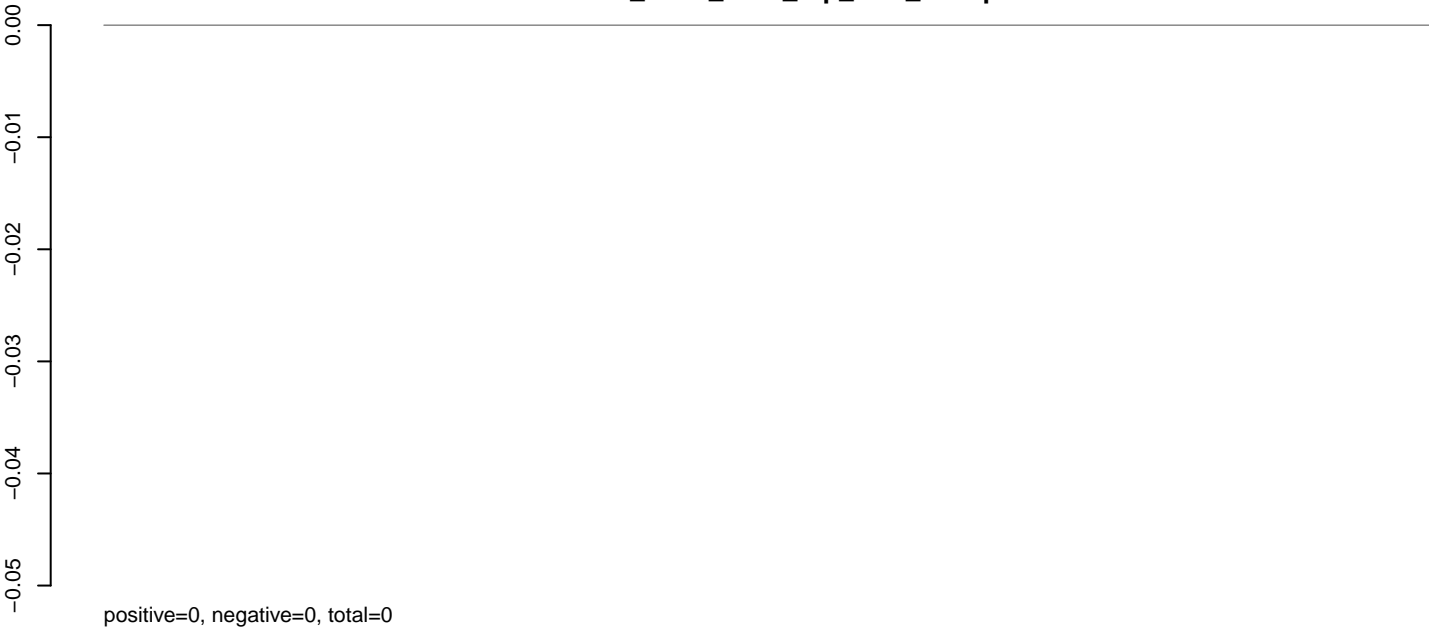
Window size=25, length=15444, virus@NC_025400.1-Malaka1_virus_isolate_SudAr_1169-64:1-15444

0 5000 10000 15000

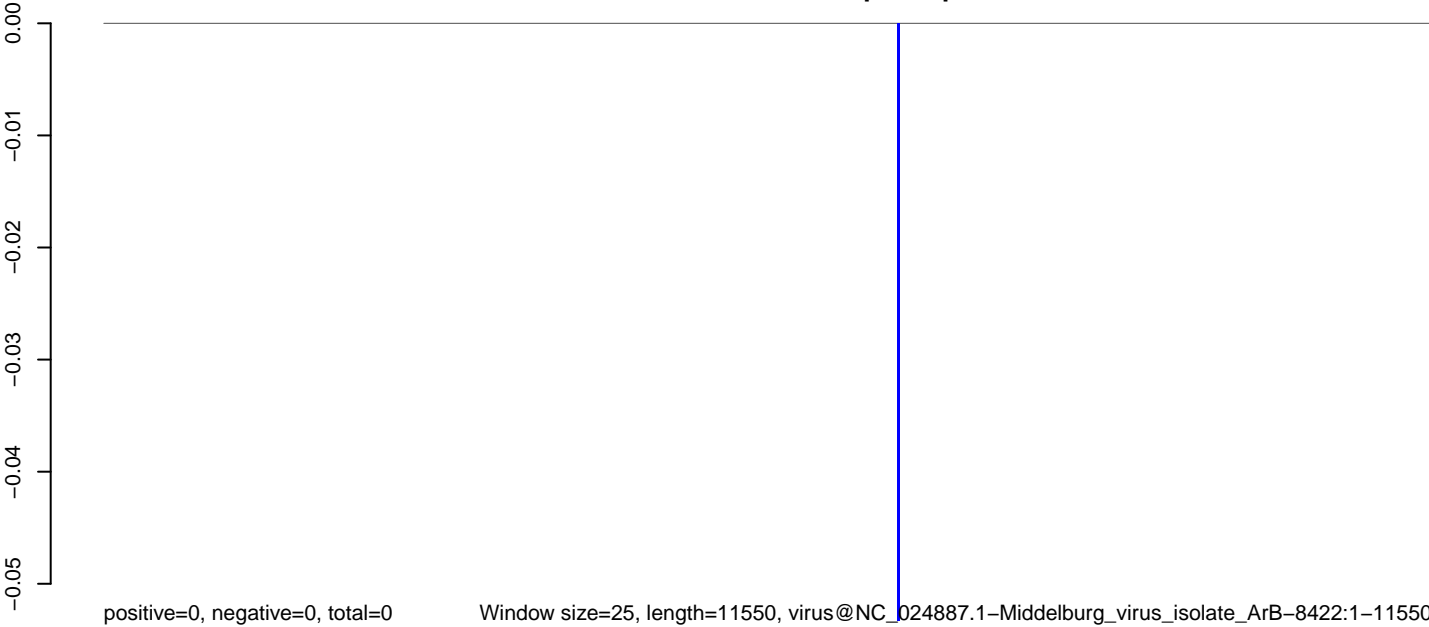
AeAlbo_C636_cells_rep_3.18_23.rep



AeAlbo_C636_cells_rep_3.24_35.rep



AeAlbo_C636_cells_rep_3.rep



0 2000 4000 6000 8000 10000 12000

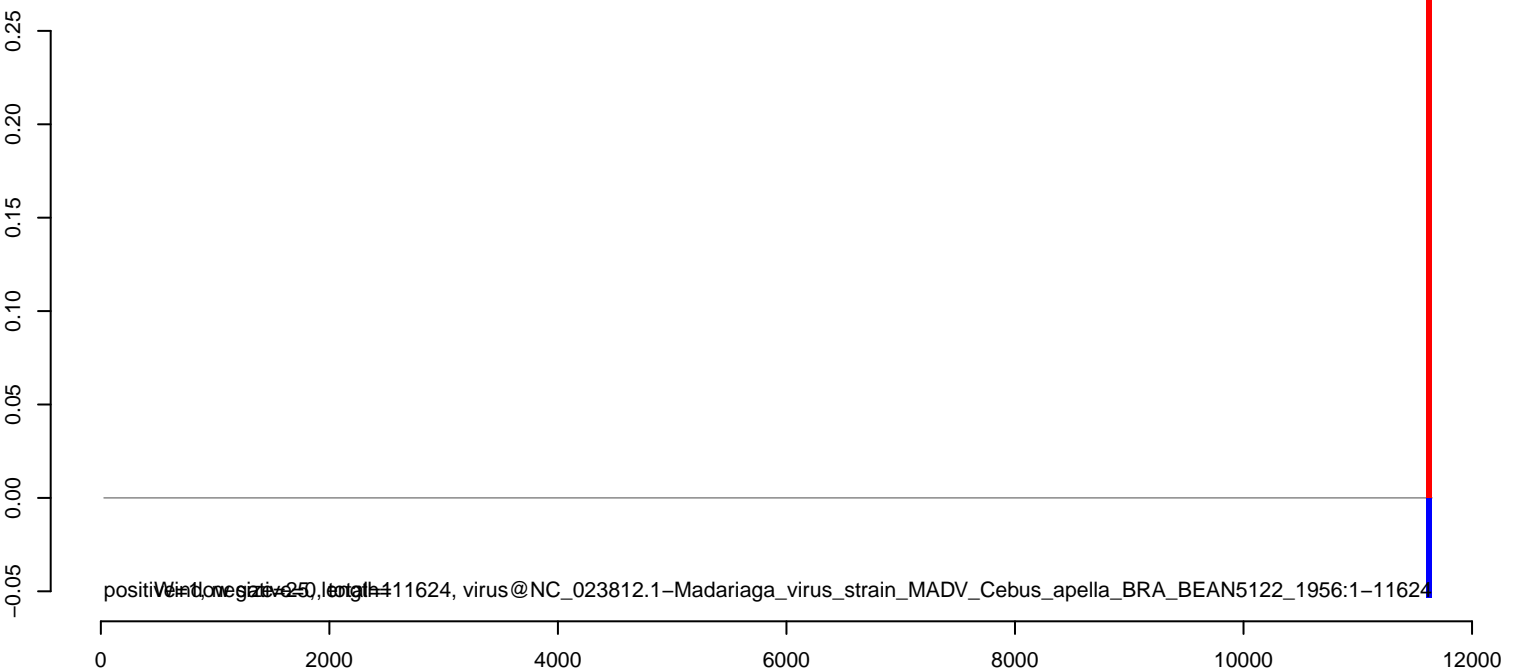
AeAlbo_C636_cells_rep_3.18_23.rep



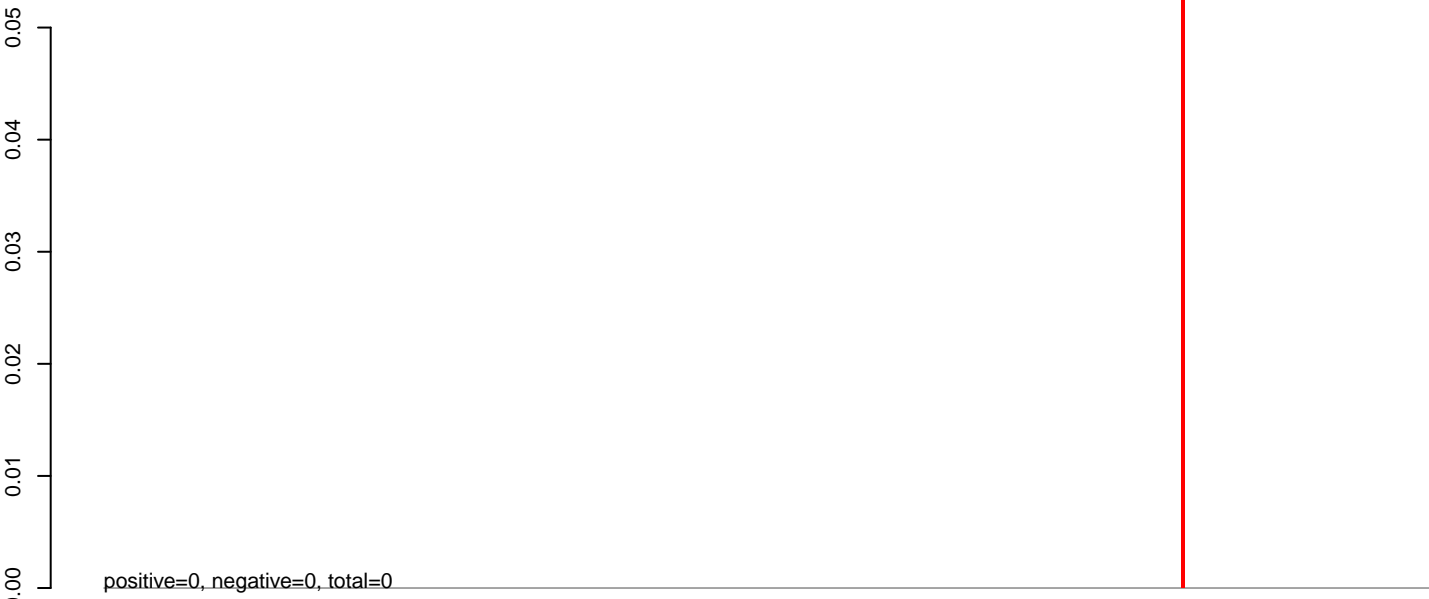
AeAlbo_C636_cells_rep_3.24_35.rep



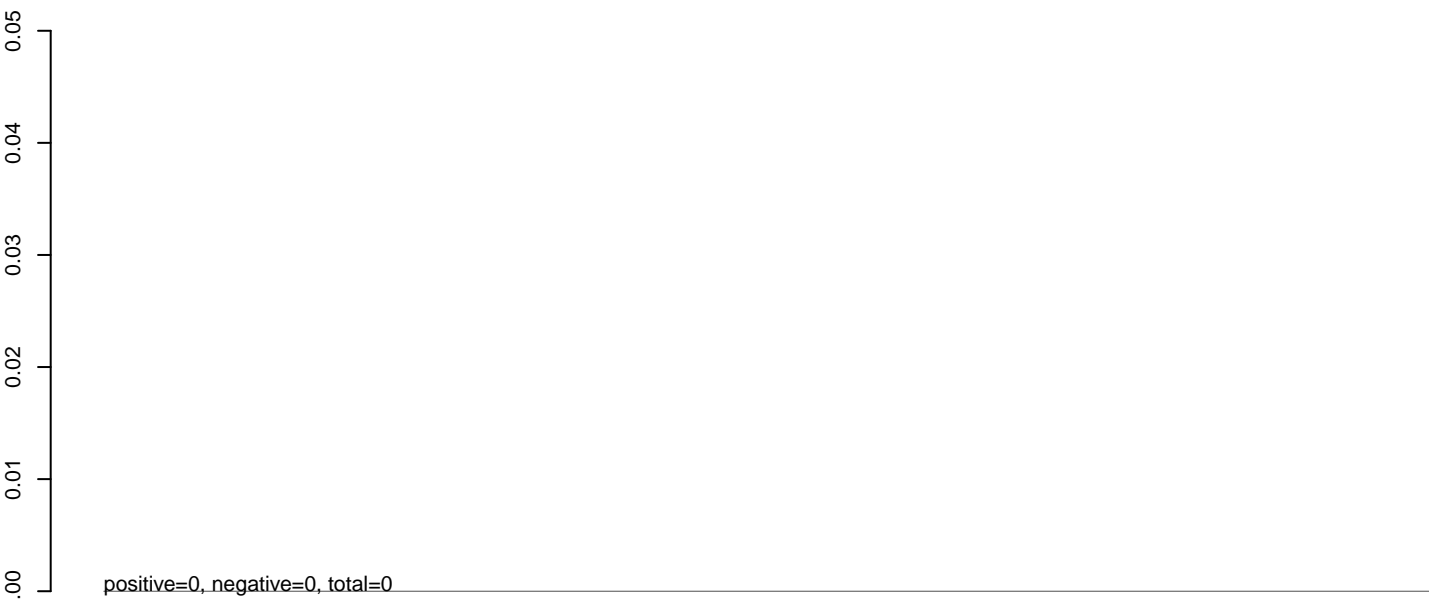
AeAlbo_C636_cells_rep_3.rep



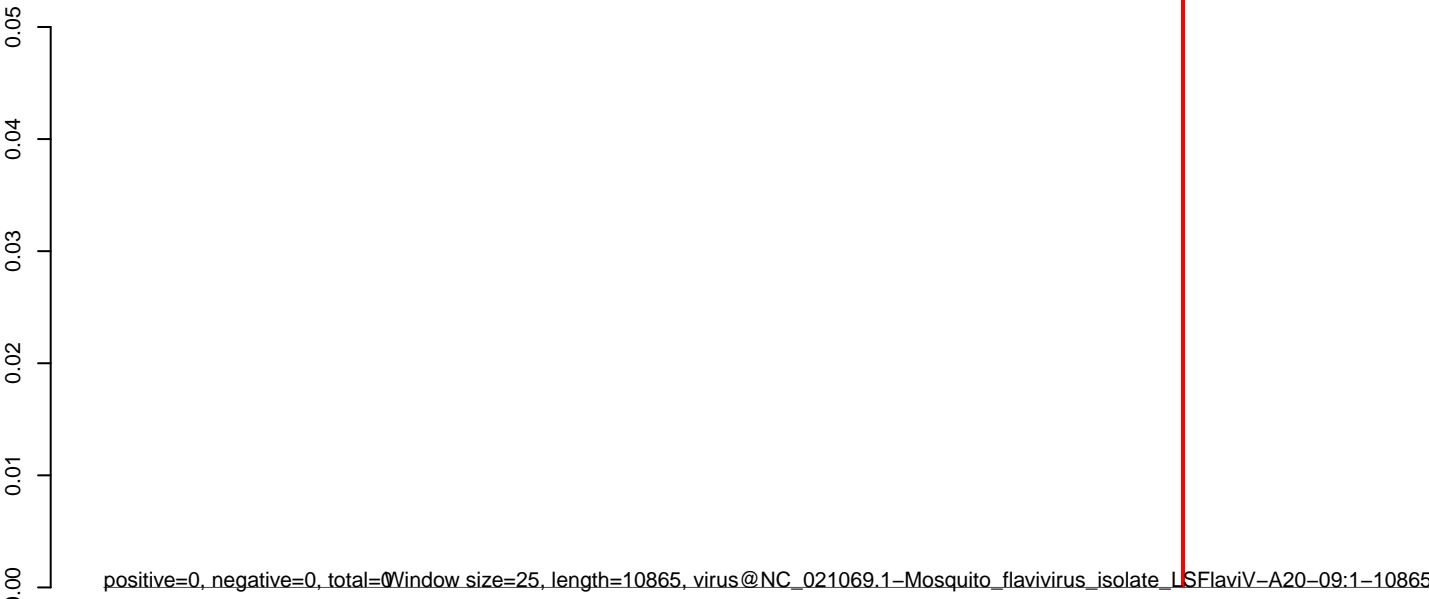
AeAlbo_C636_cells_rep_3.18_23.rep



AeAlbo_C636_cells_rep_3.24_35.rep

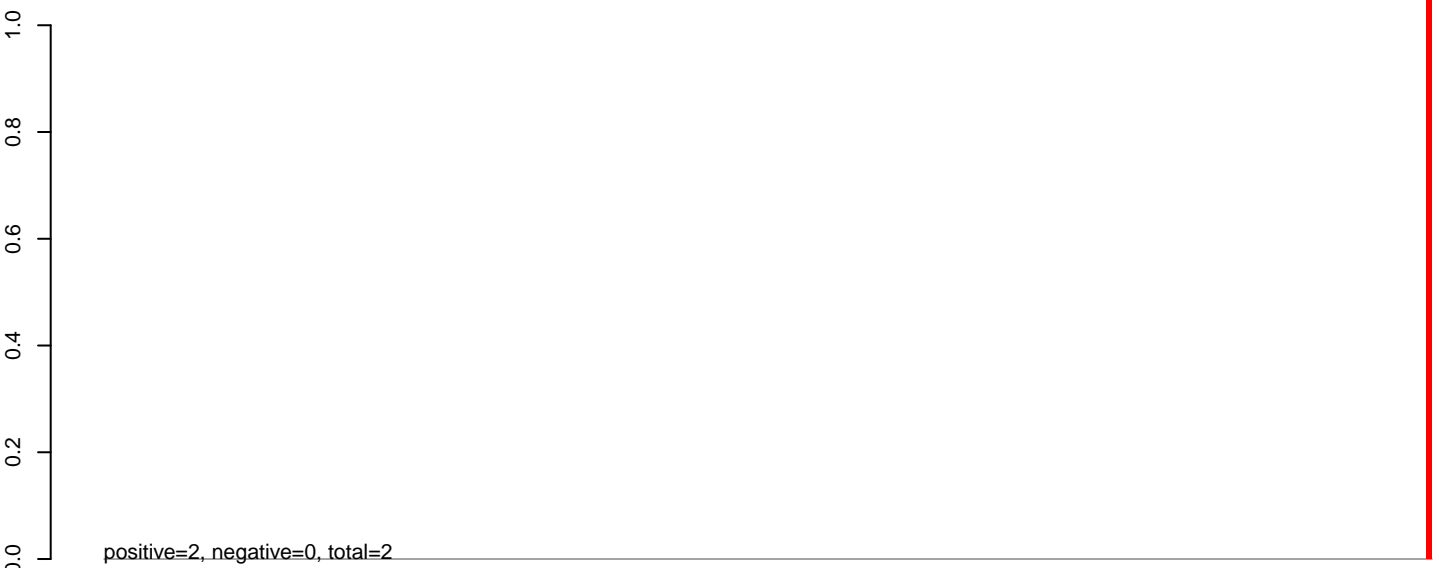


AeAlbo_C636_cells_rep_3.rep

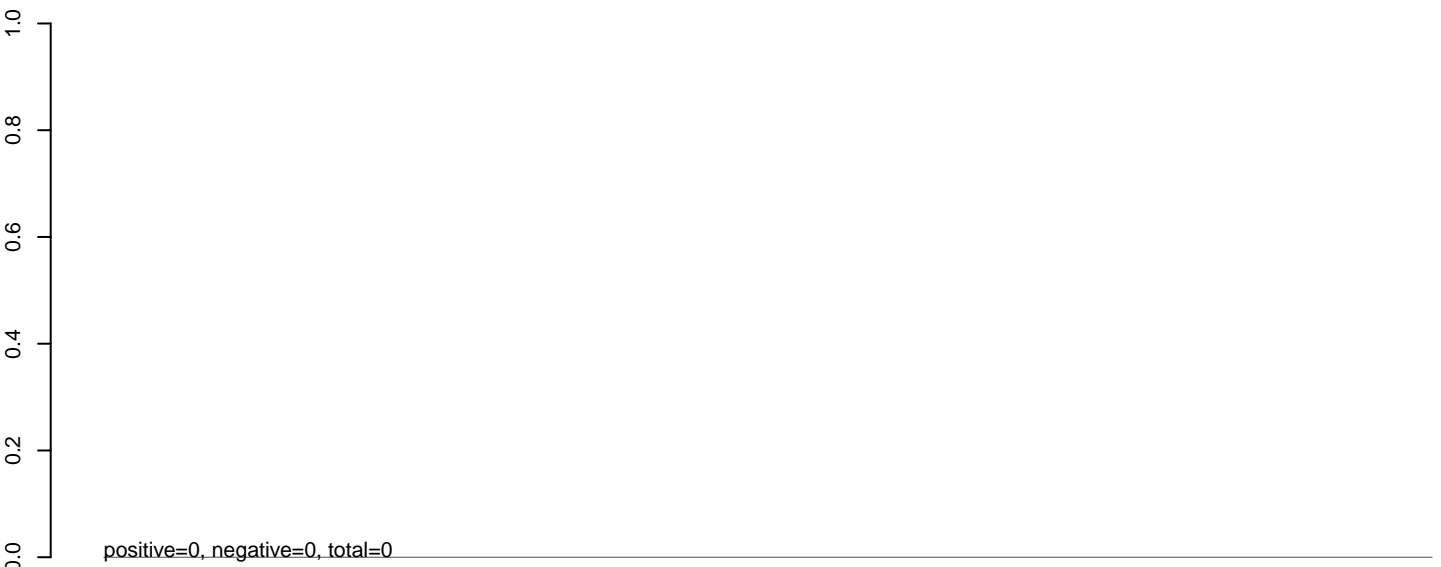


0 2000 4000 6000 8000 10000

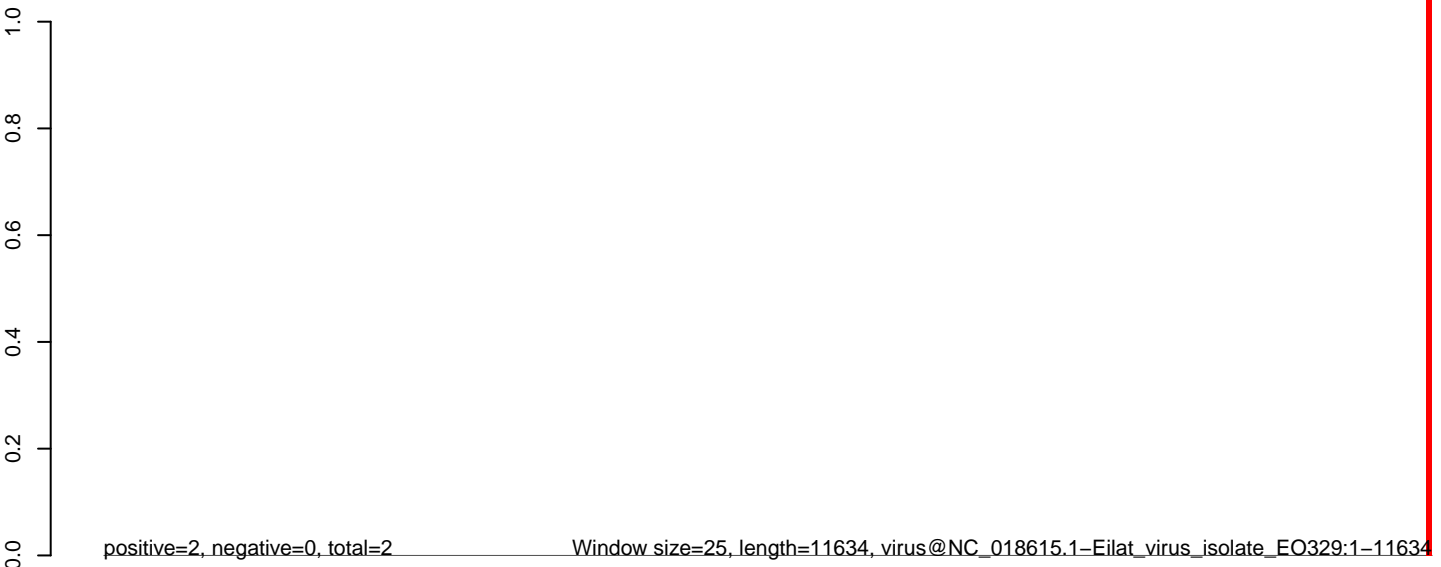
AeAlbo_C636_cells_rep_3.18_23.rep



AeAlbo_C636_cells_rep_3.24_35.rep

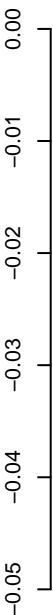


AeAlbo_C636_cells_rep_3.rep



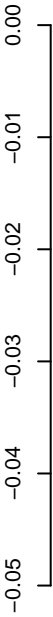
0 2000 4000 6000 8000 10000 12000

AeAlbo_C636_cells_rep_3.18_23.rep



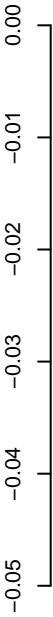
positive=0, negative=0, total=0

AeAlbo_C636_cells_rep_3.24_35.rep



positive=0, negative=0, total=0

AeAlbo_C636_cells_rep_3.rep



positive=0, negative=0, total=0

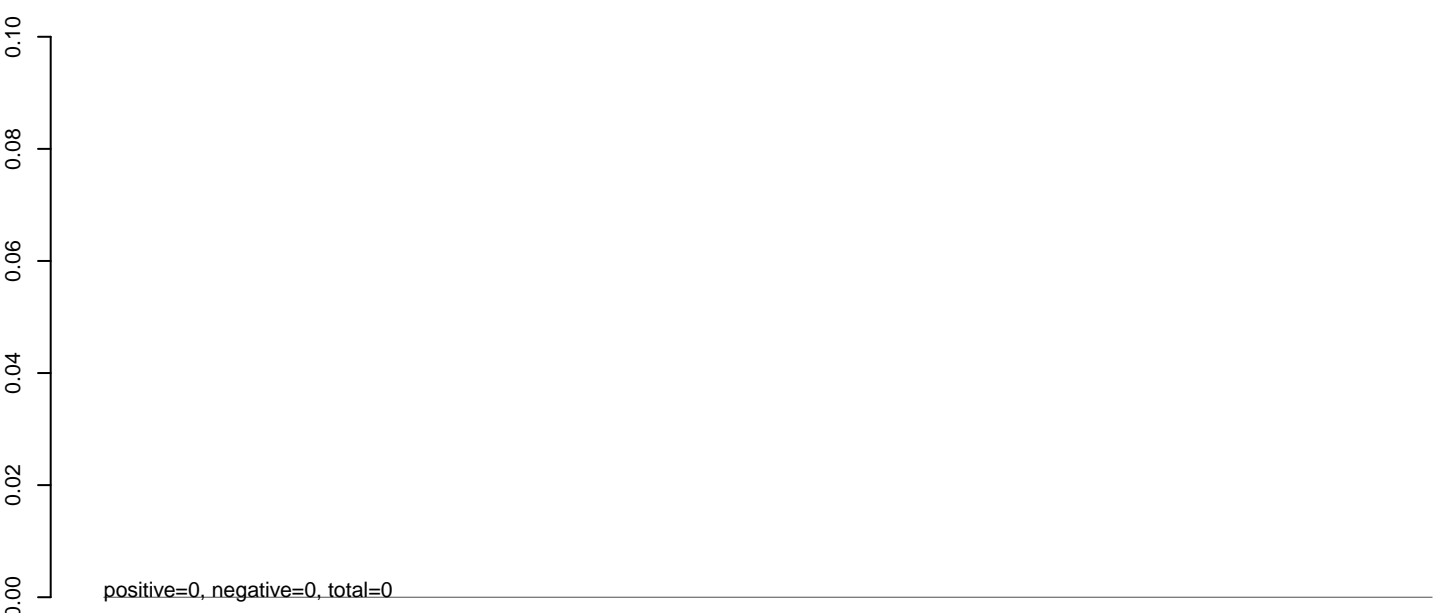
Window size=25, length=10733, virus@NC_017086.1-Chaoyang_virus:1-10733



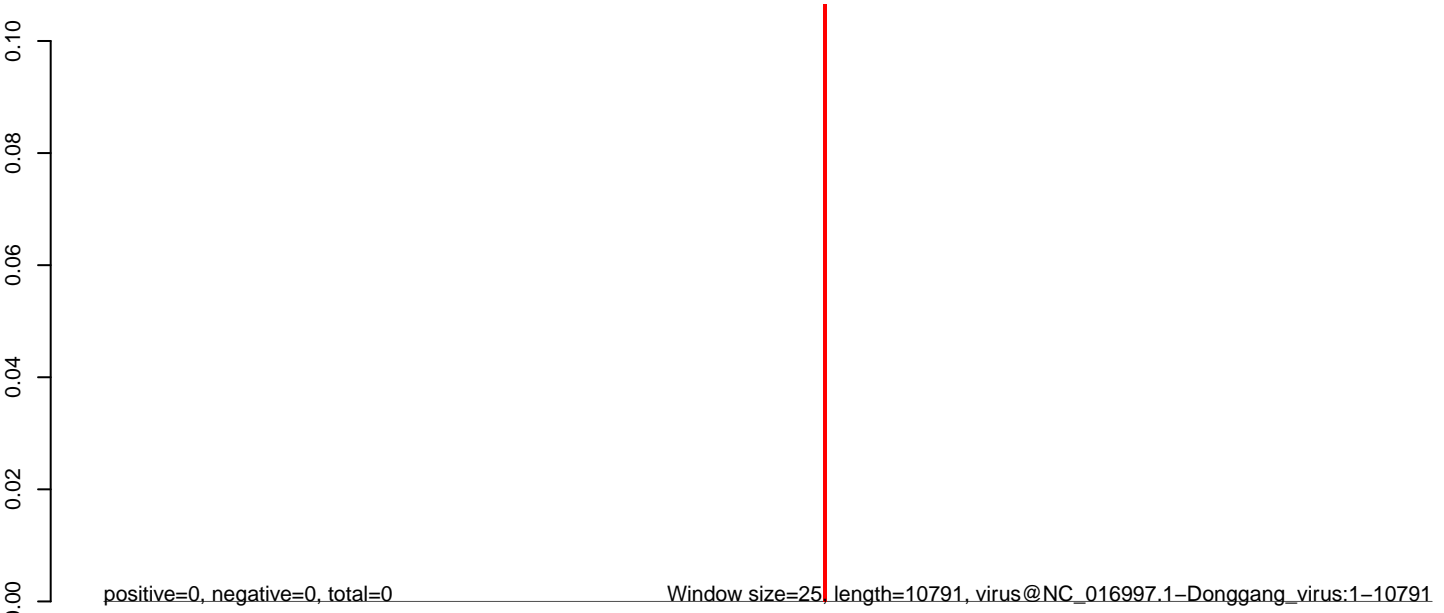
AeAlbo_C636_cells_rep_3.18_23.rep



AeAlbo_C636_cells_rep_3.24_35.rep

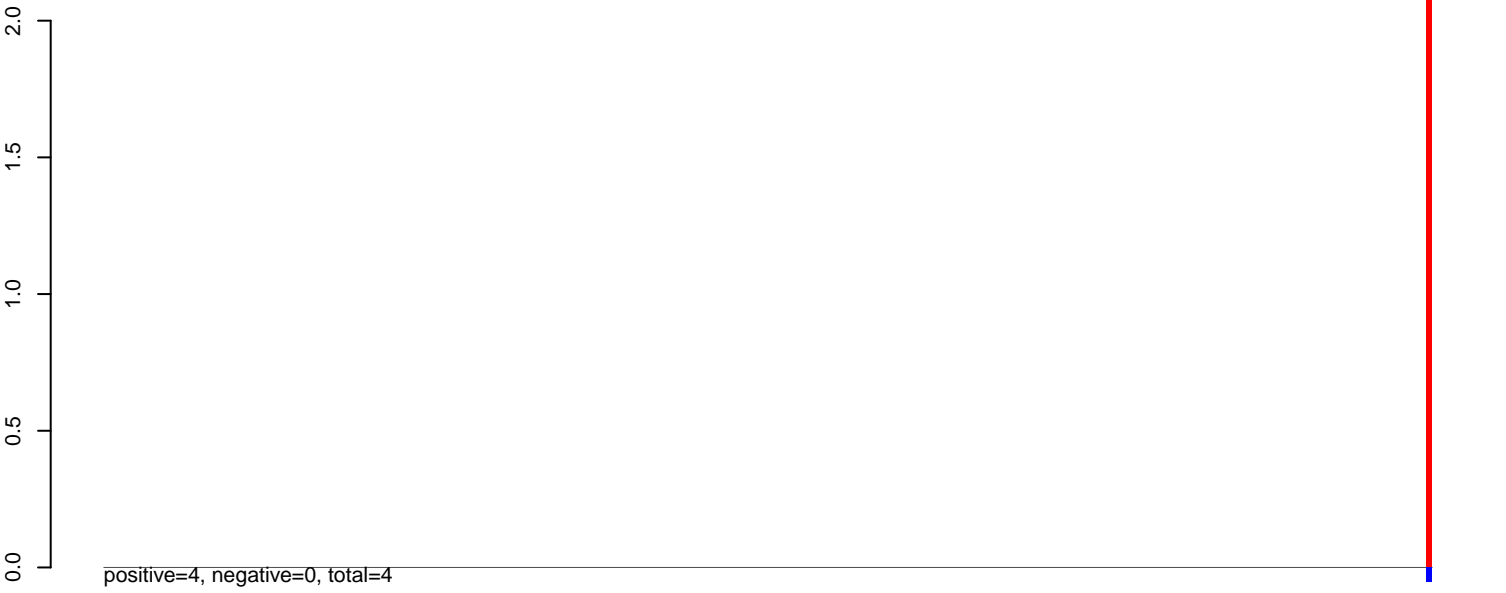


AeAlbo_C636_cells_rep_3.rep

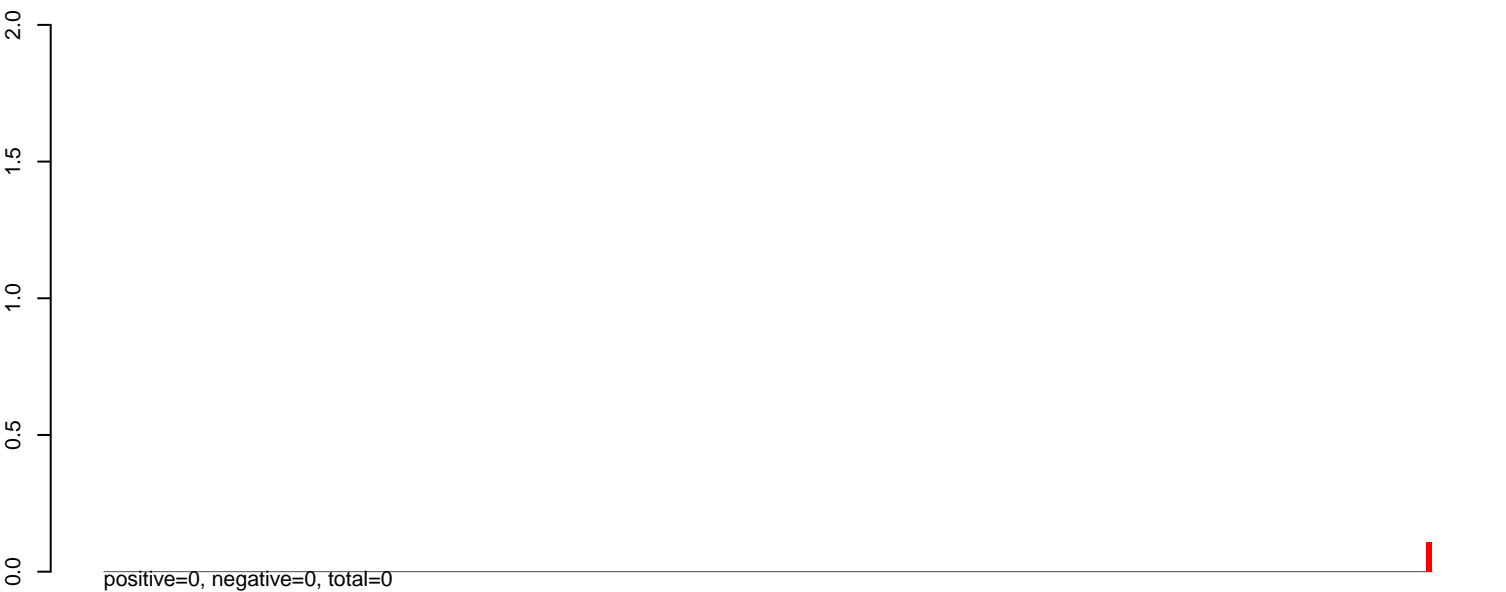


Window size=25, length=10791, virus@NC_016997.1-Donggang_virus:1-10791

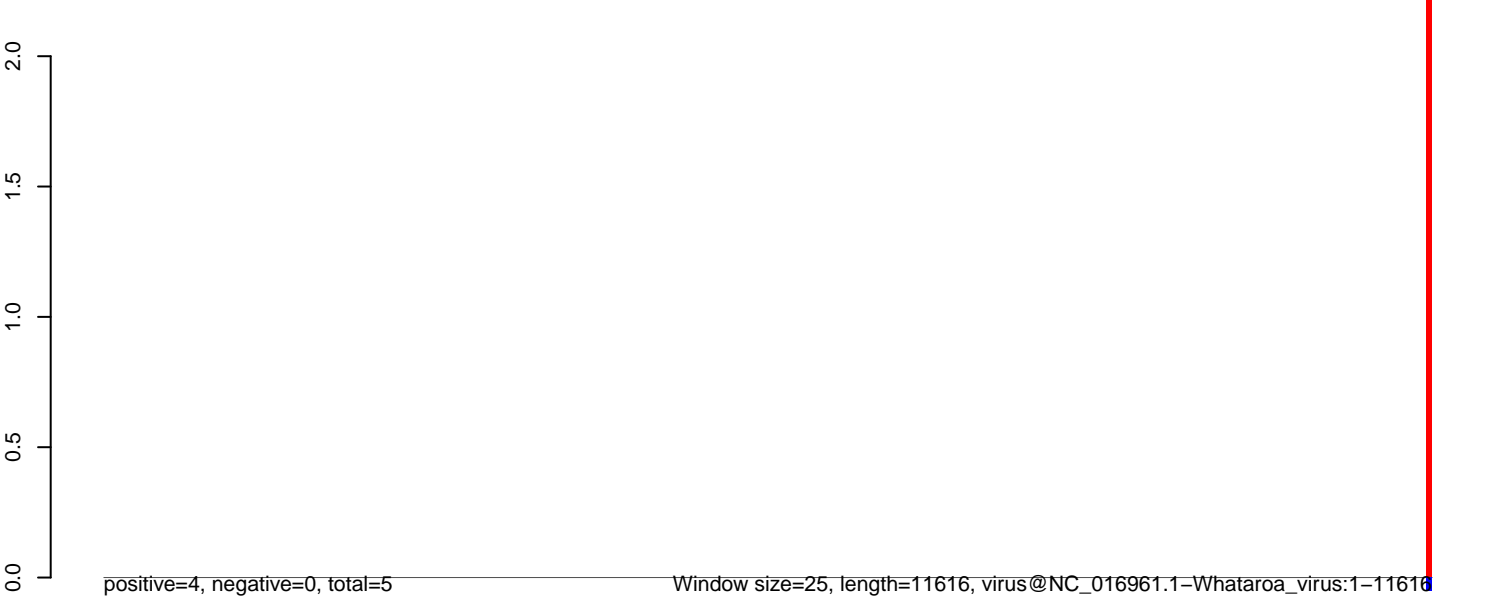
AeAlbo_C636_cells_rep_3.18_23.rep



AeAlbo_C636_cells_rep_3.24_35.rep

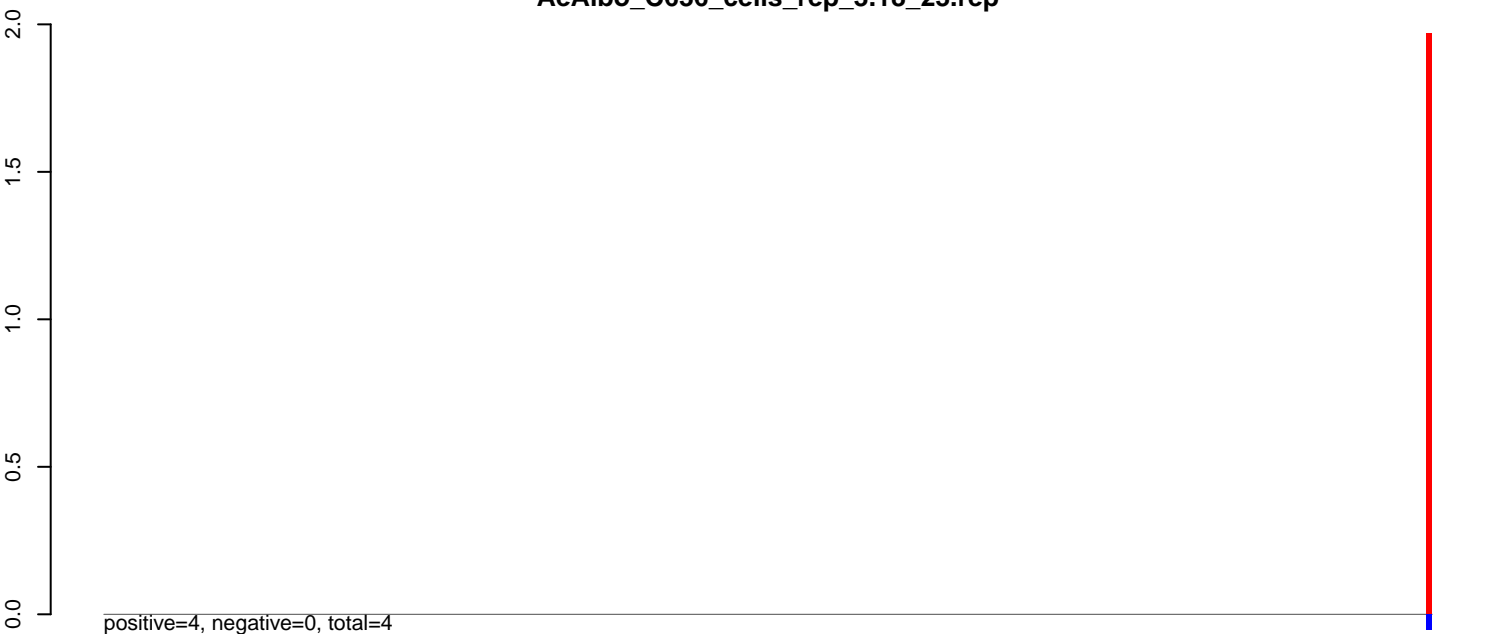


AeAlbo_C636_cells_rep_3.rep

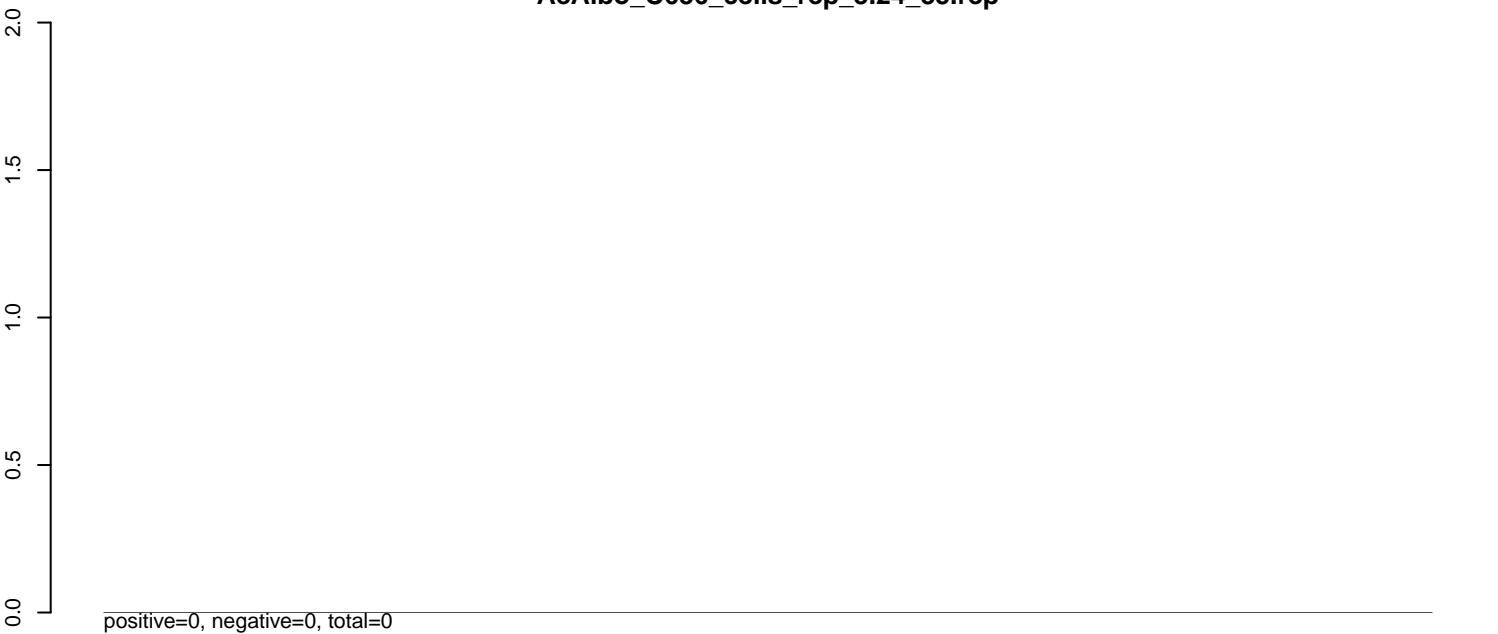


0 2000 4000 6000 8000 10000 12000

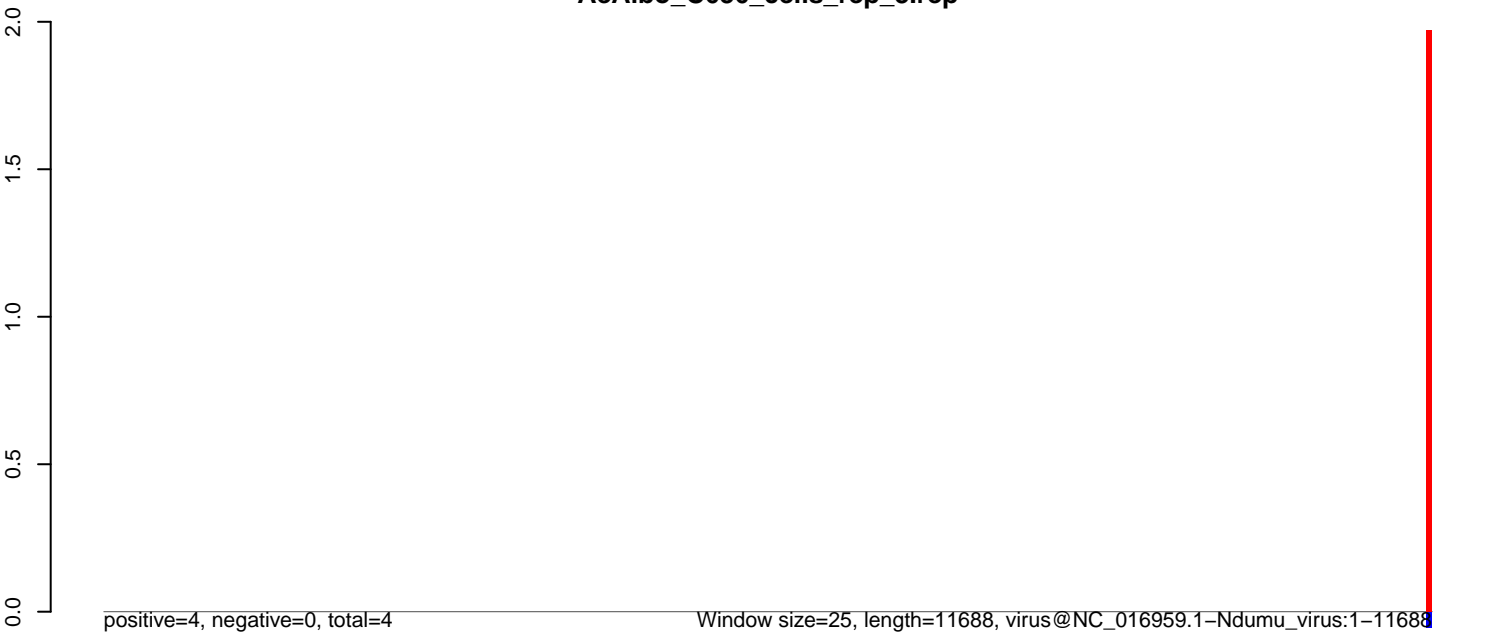
AeAlbo_C636_cells_rep_3.18_23.rep



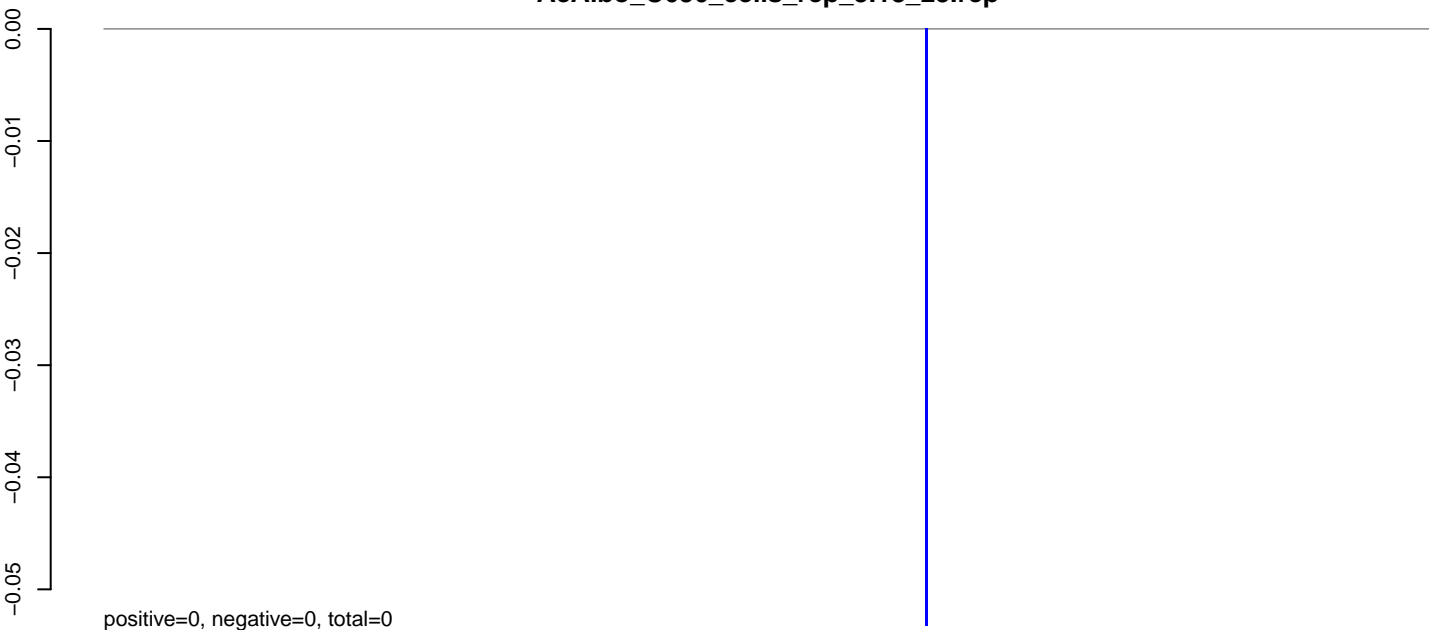
AeAlbo_C636_cells_rep_3.24_35.rep



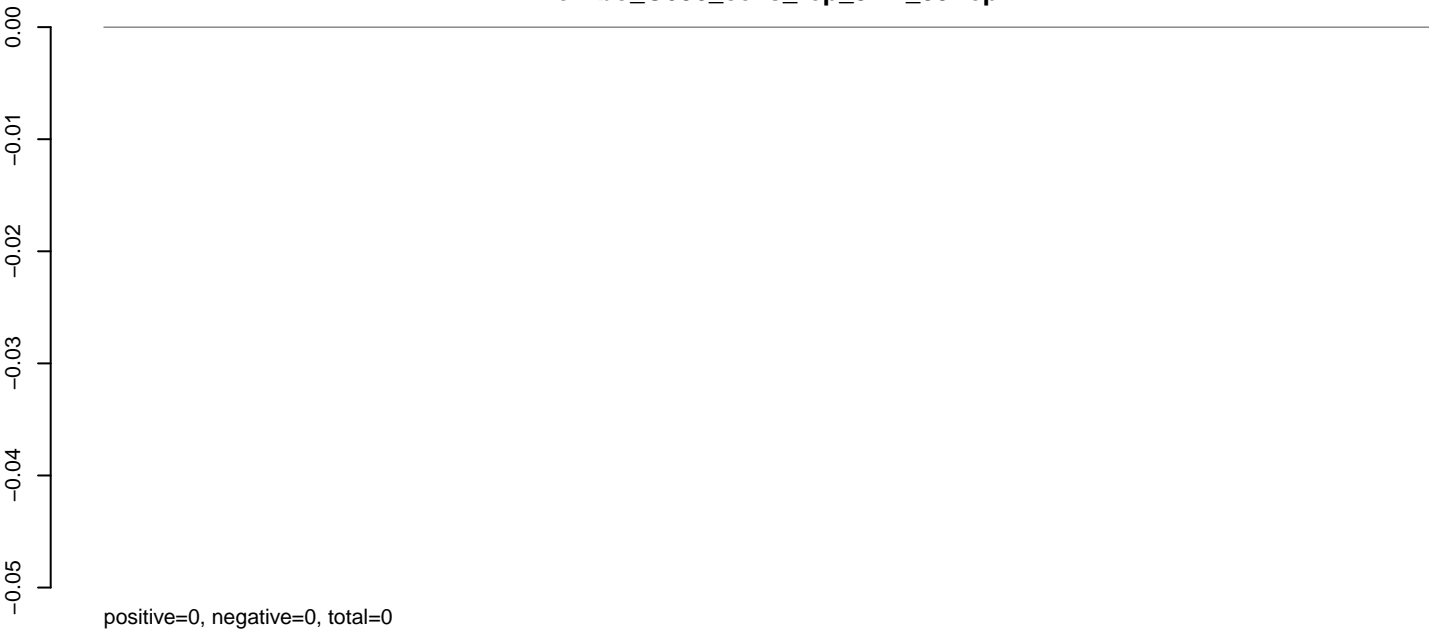
AeAlbo_C636_cells_rep_3.rep



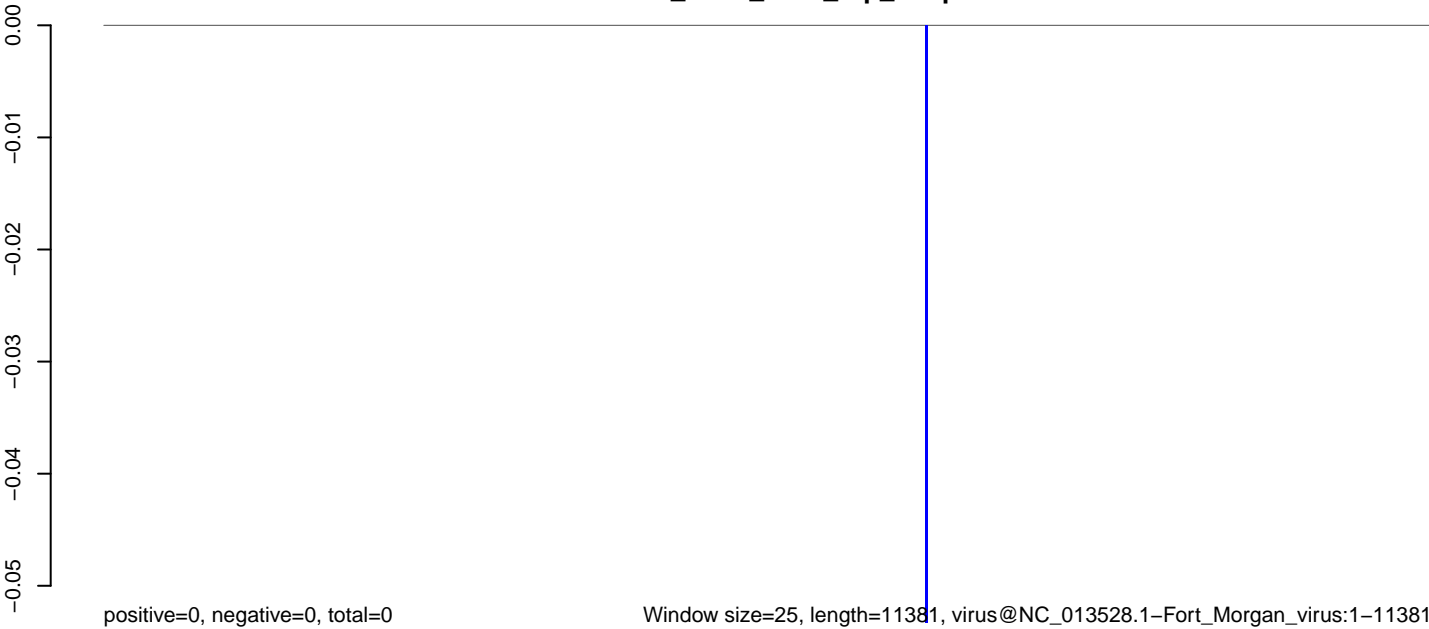
AeAlbo_C636_cells_rep_3.18_23.rep



AeAlbo_C636_cells_rep_3.24_35.rep



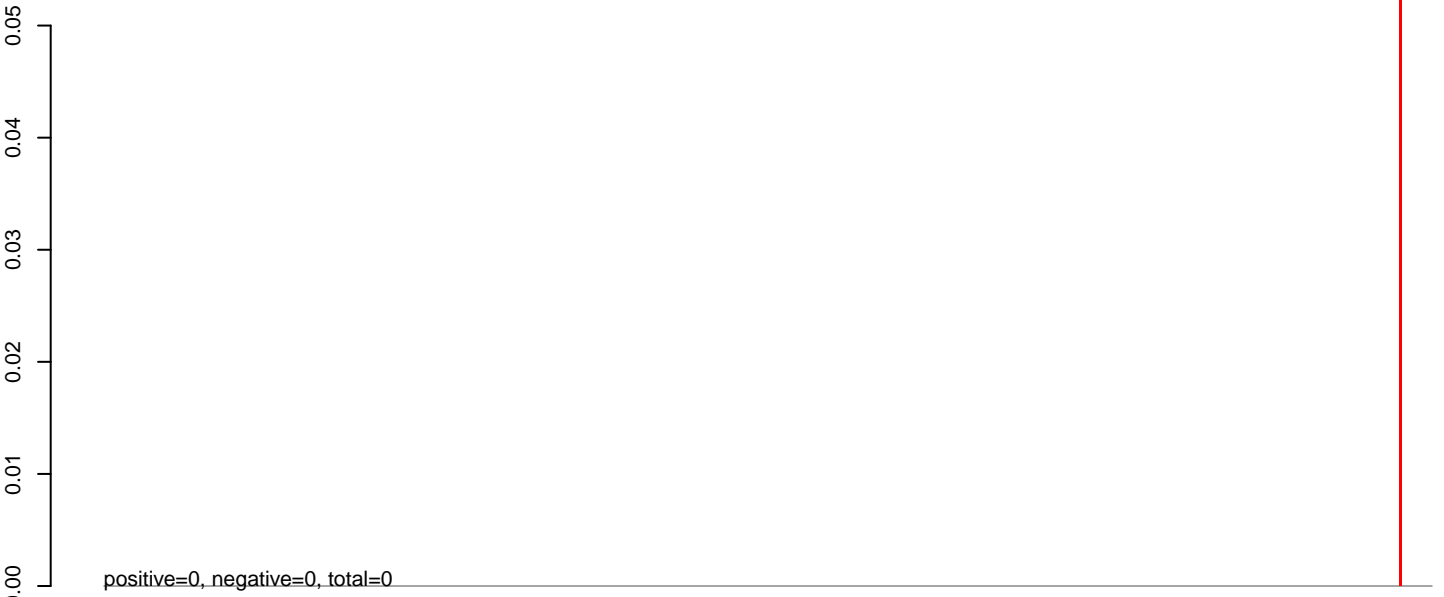
AeAlbo_C636_cells_rep_3.rep



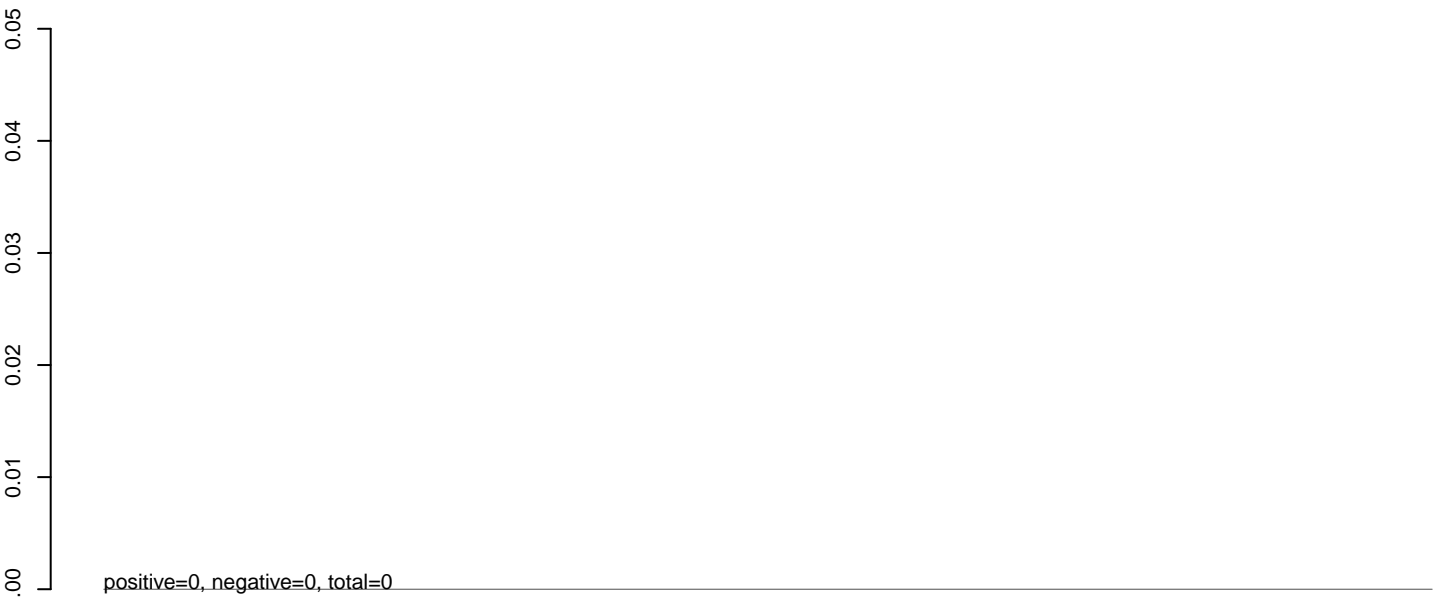
Window size=25, length=11381, virus@NC_013528.1-Fort_Morgan_virus:1-11381

0 2000 4000 6000 8000 10000

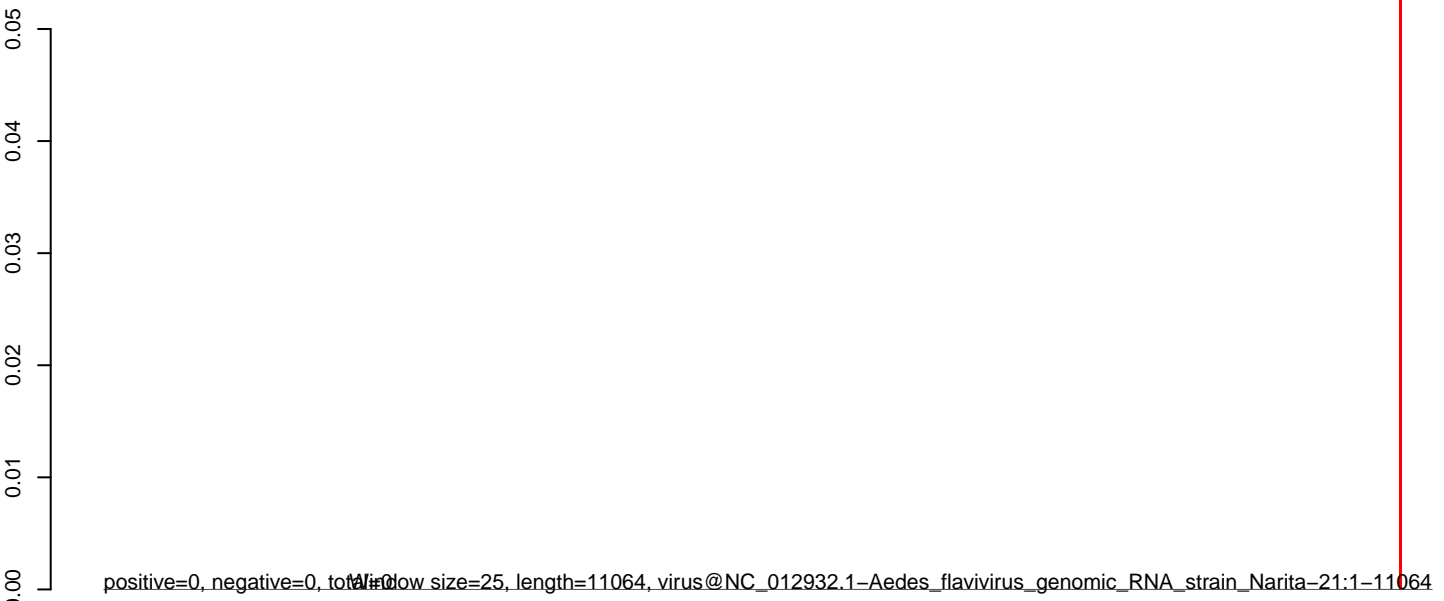
AeAlbo_C636_cells_rep_3.18_23.rep



AeAlbo_C636_cells_rep_3.24_35.rep



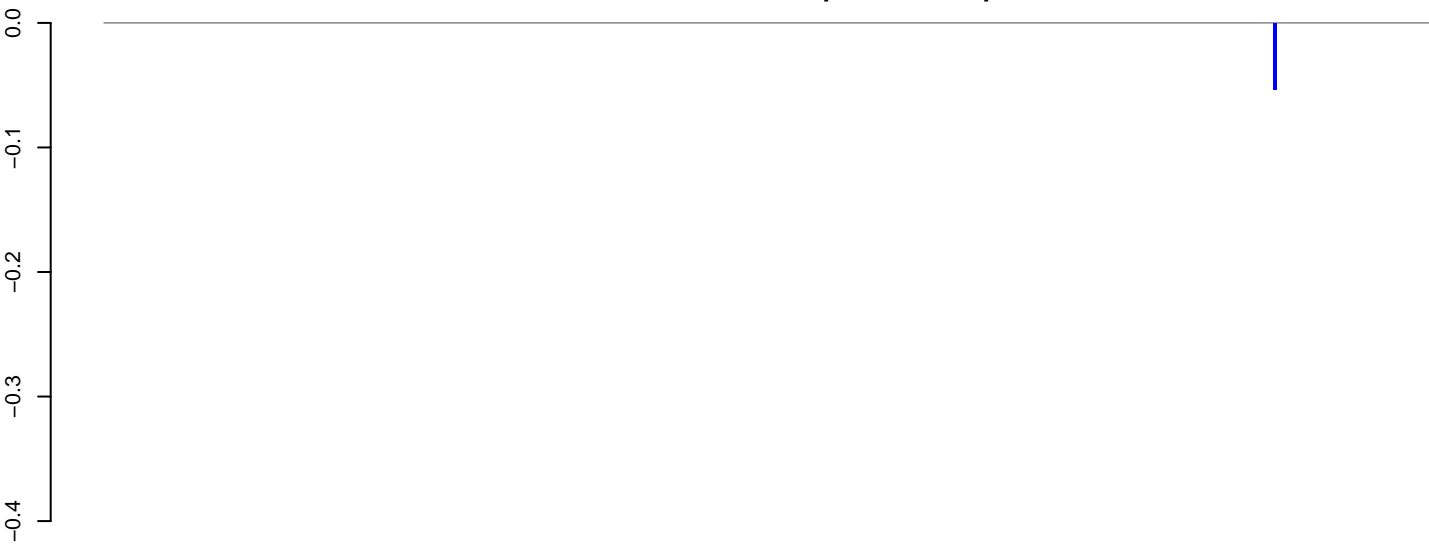
AeAlbo_C636_cells_rep_3.rep



low size=25, length=11064, virus@NC_012932.1-Aedes_flavivirus_genomic_RNA_strain_Narita-21:1-11064

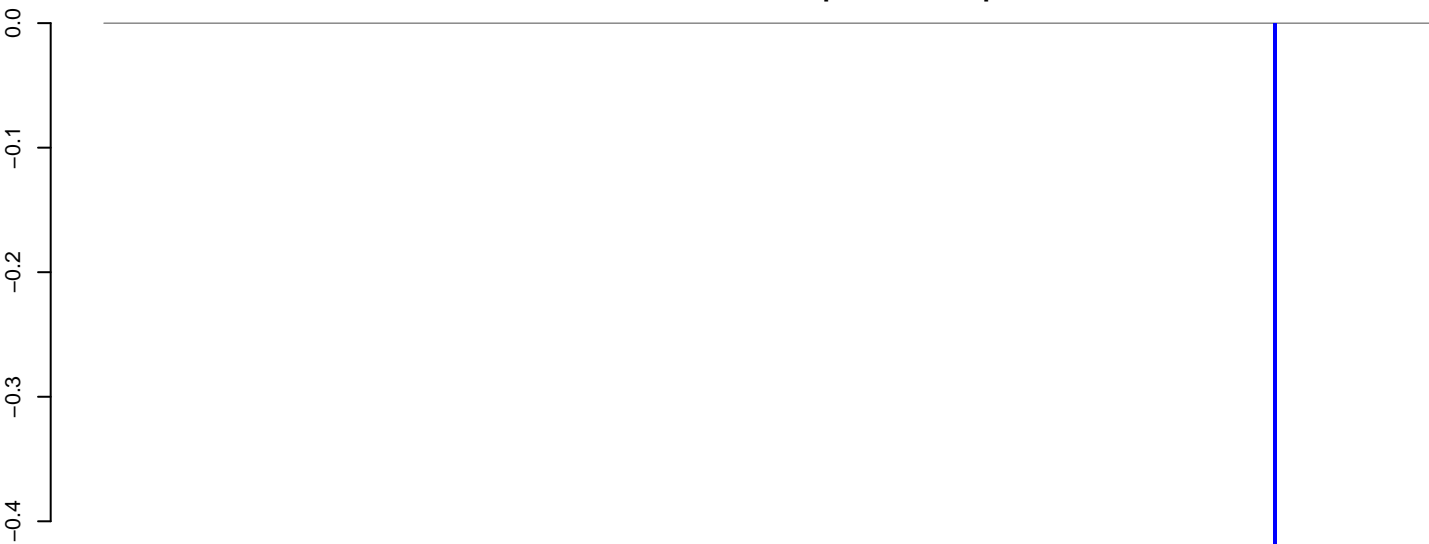
0 2000 4000 6000 8000 10000

AeAlbo_C636_cells_rep_3.18_23.rep



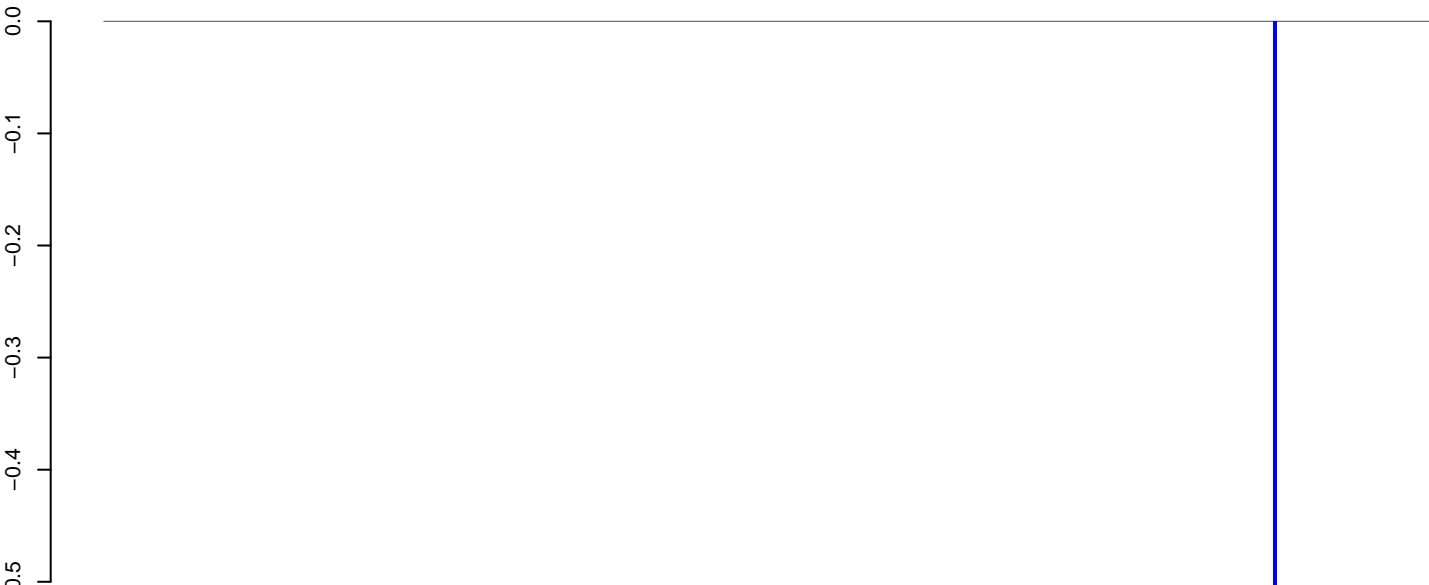
positive=0, negative=0, total=0

AeAlbo_C636_cells_rep_3.24_35.rep



positive=0, negative=0, total=0

AeAlbo_C636_cells_rep_3.rep

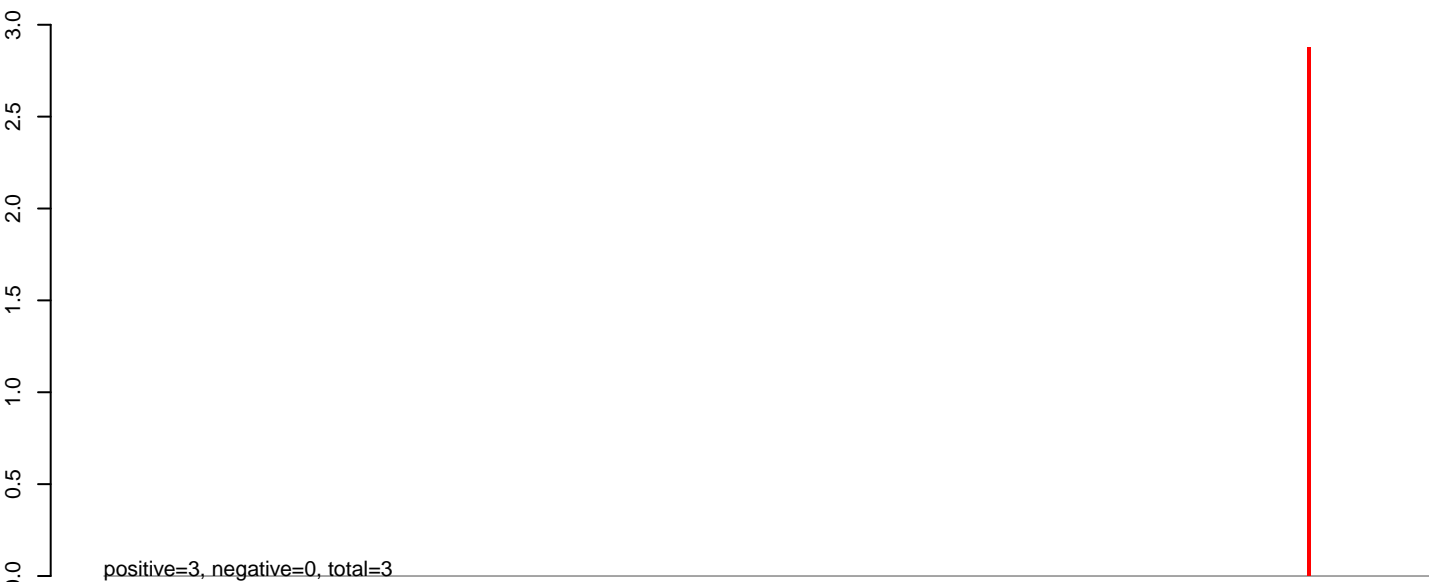


positive=0, negative=1, total=1

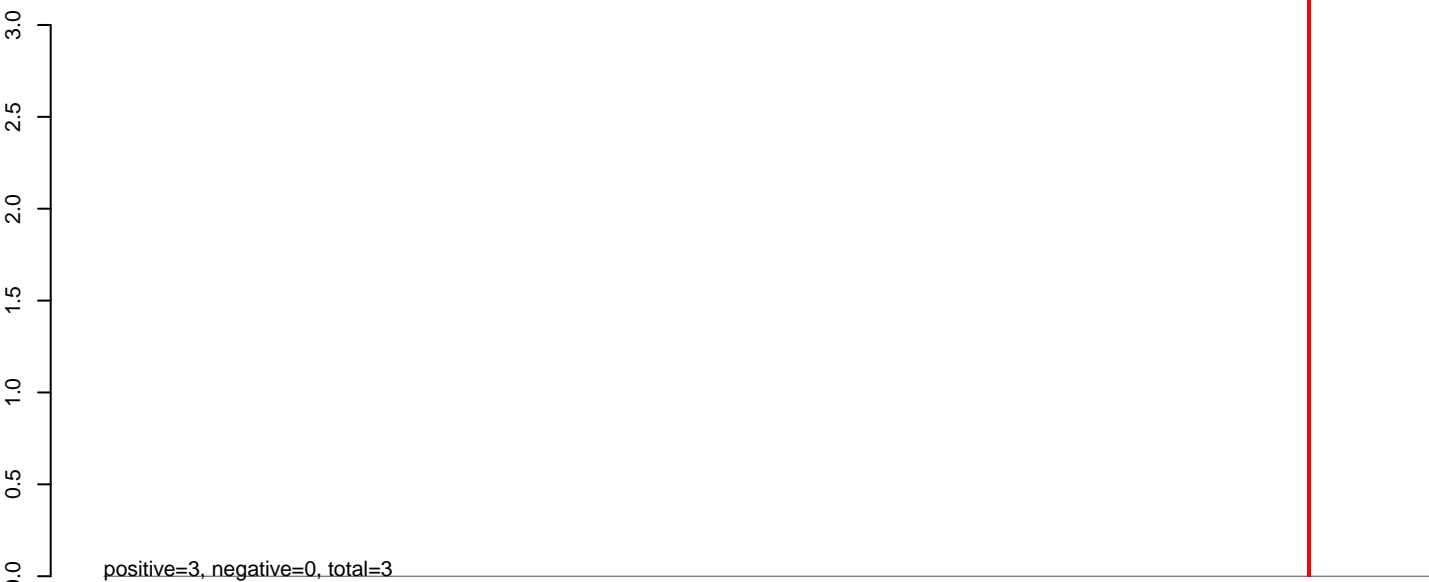
Window size=25, length=10865, virus@NC_012671.1-Quang_Binh_virus:1-10865



AeAlbo_C636_cells_rep_3.18_23.rep



AeAlbo_C636_cells_rep_3.24_35.rep

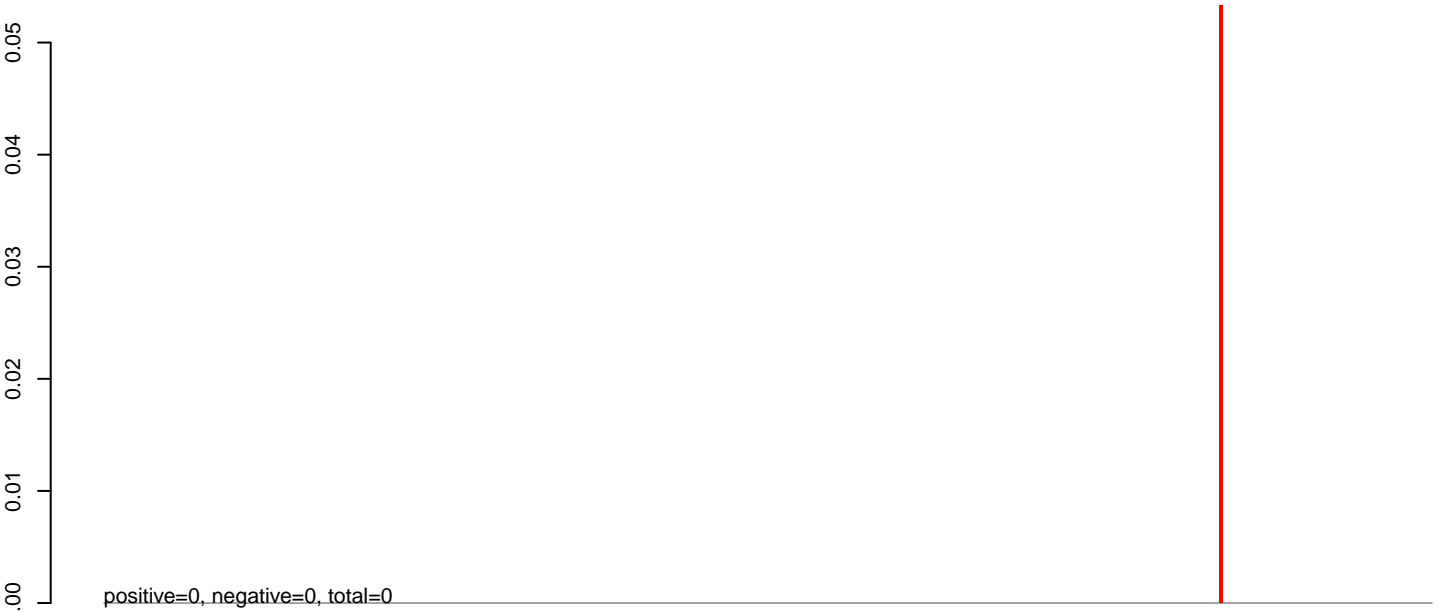


AeAlbo_C636_cells_rep_3.rep

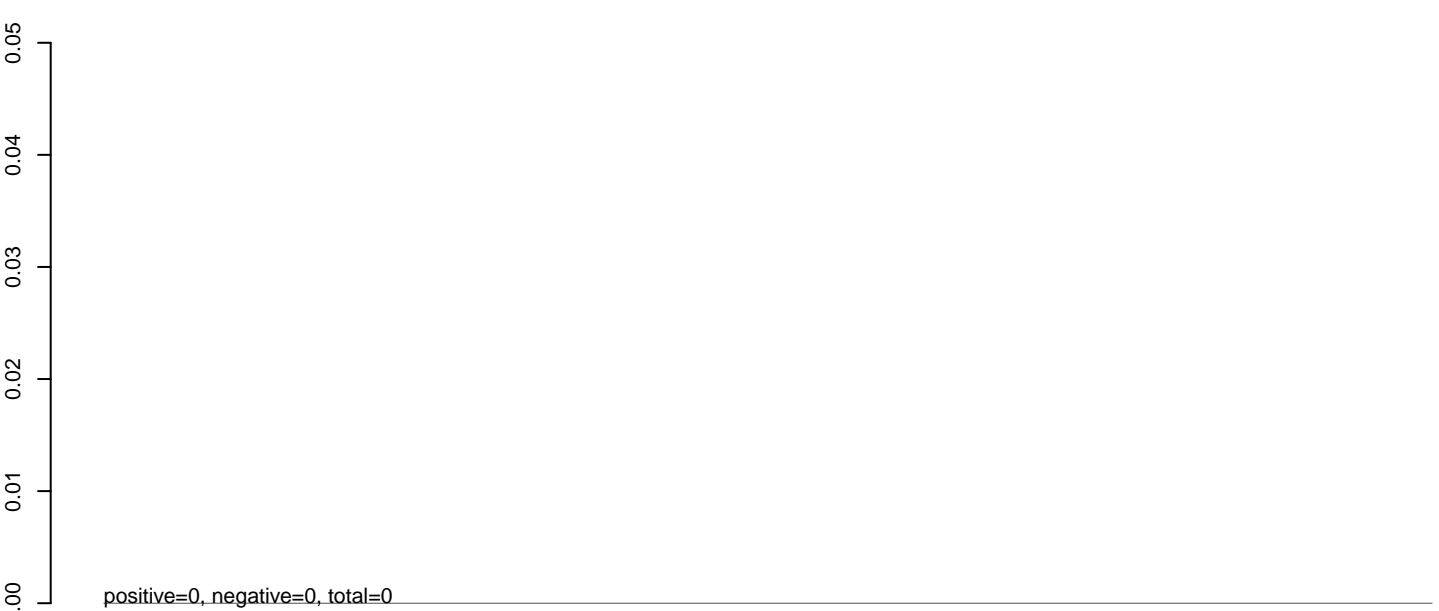


0 2000 4000 6000 8000 10000

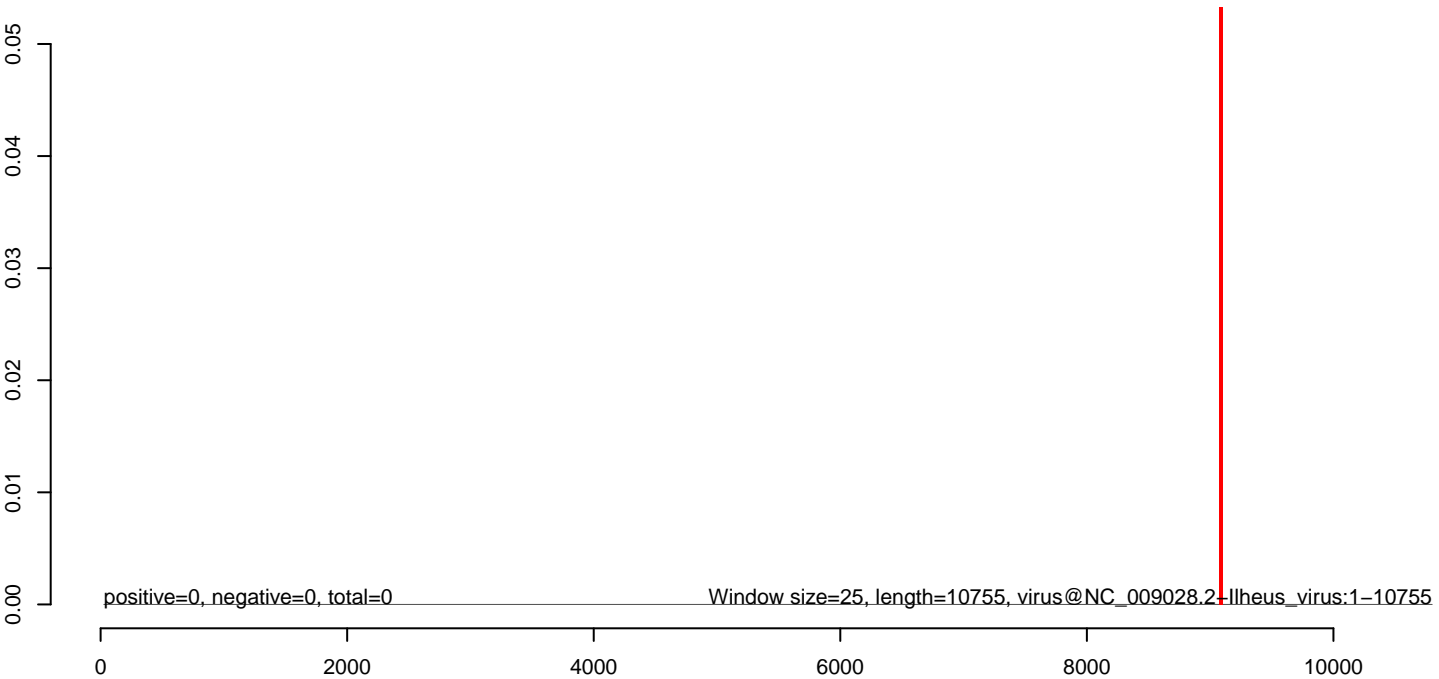
AeAlbo_C636_cells_rep_3.18_23.rep



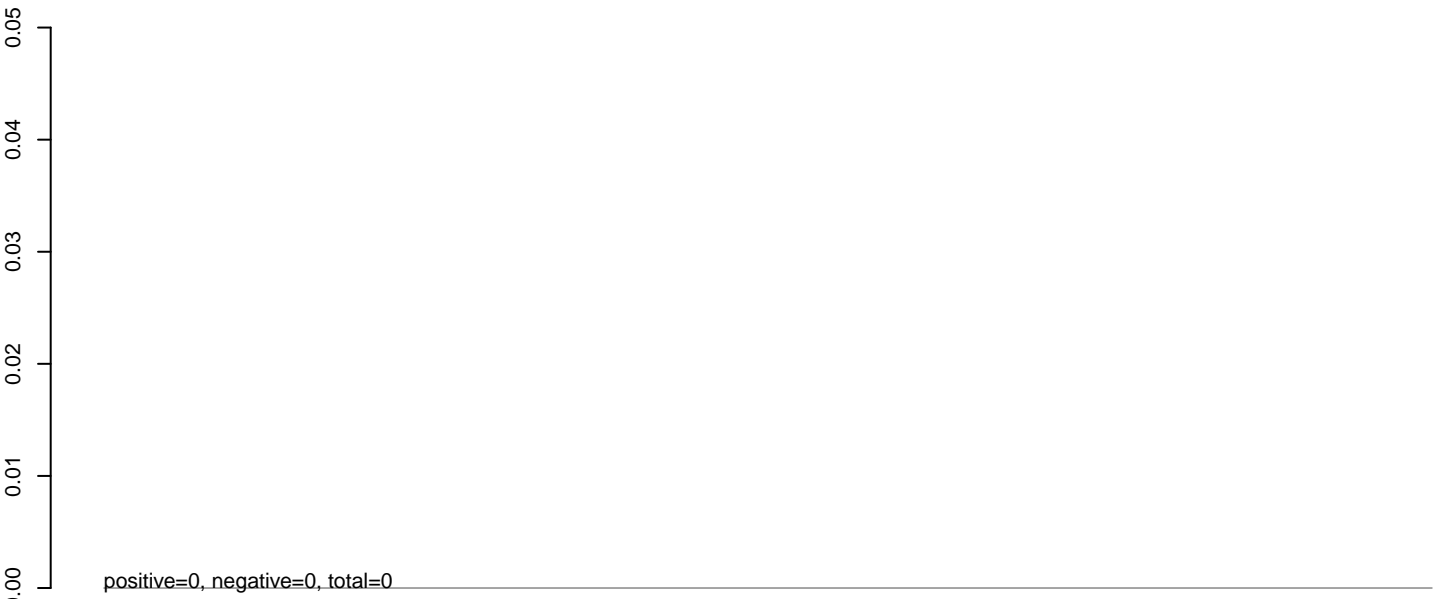
AeAlbo_C636_cells_rep_3.24_35.rep



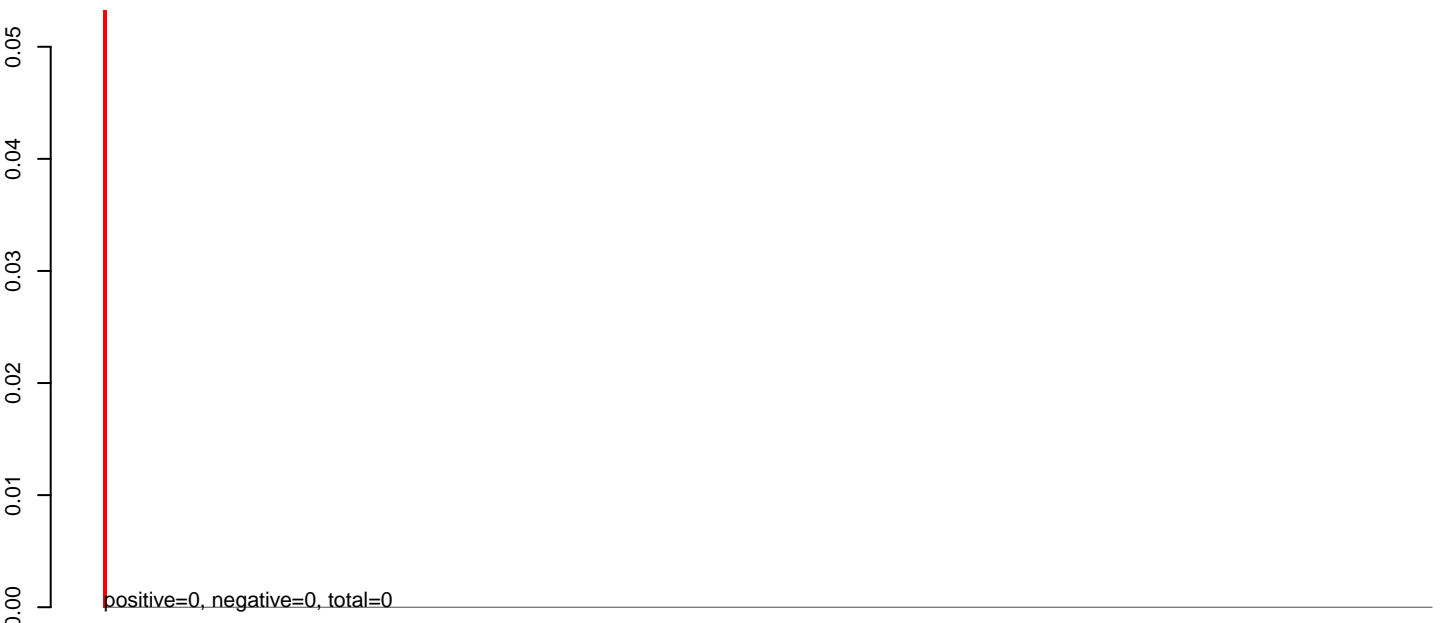
AeAlbo_C636_cells_rep_3.rep



AeAlbo_C636_cells_rep_3.18_23.rep



AeAlbo_C636_cells_rep_3.24_35.rep

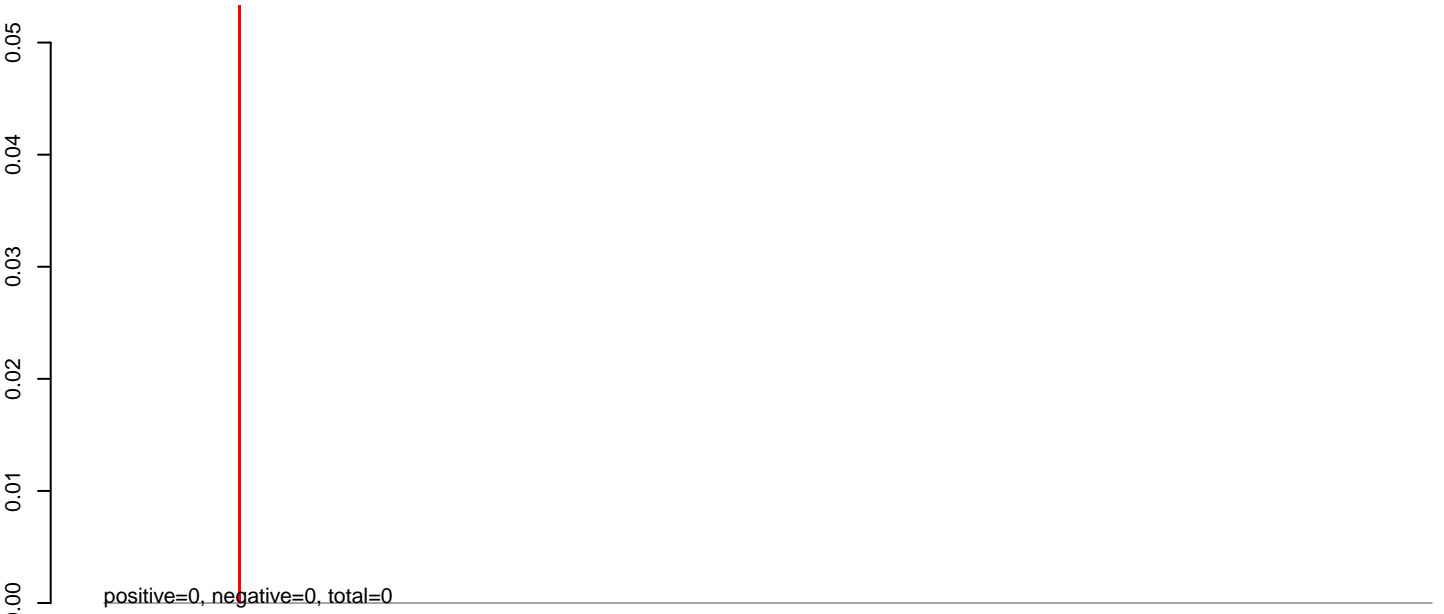


AeAlbo_C636_cells_rep_3.rep

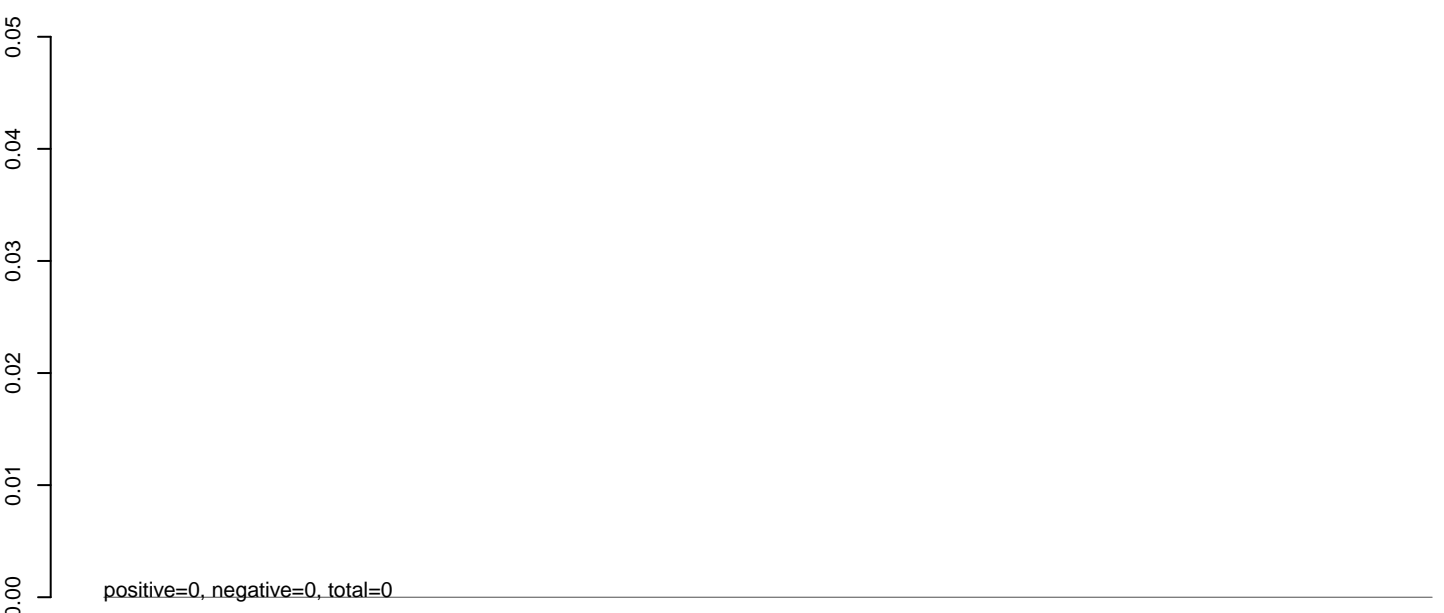


0 2000 4000 6000 8000 10000

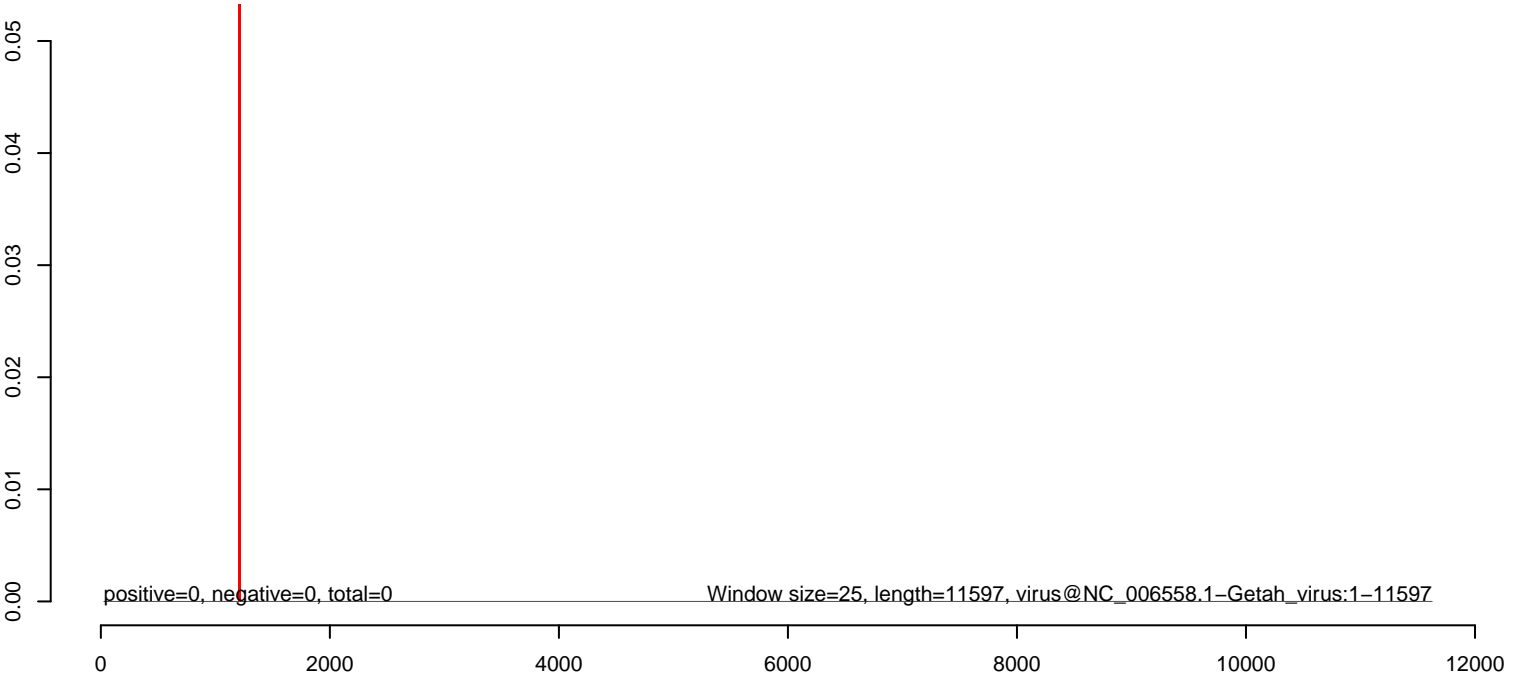
AeAlbo_C636_cells_rep_3.18_23.rep



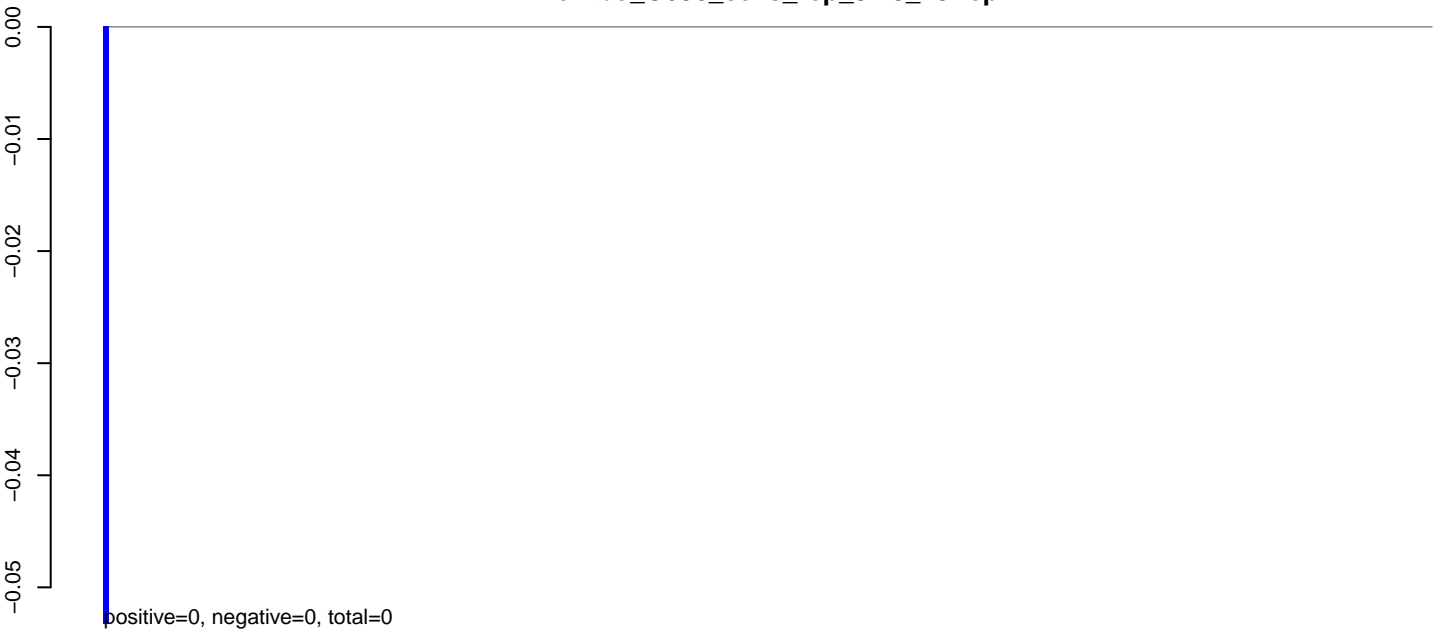
AeAlbo_C636_cells_rep_3.24_35.rep



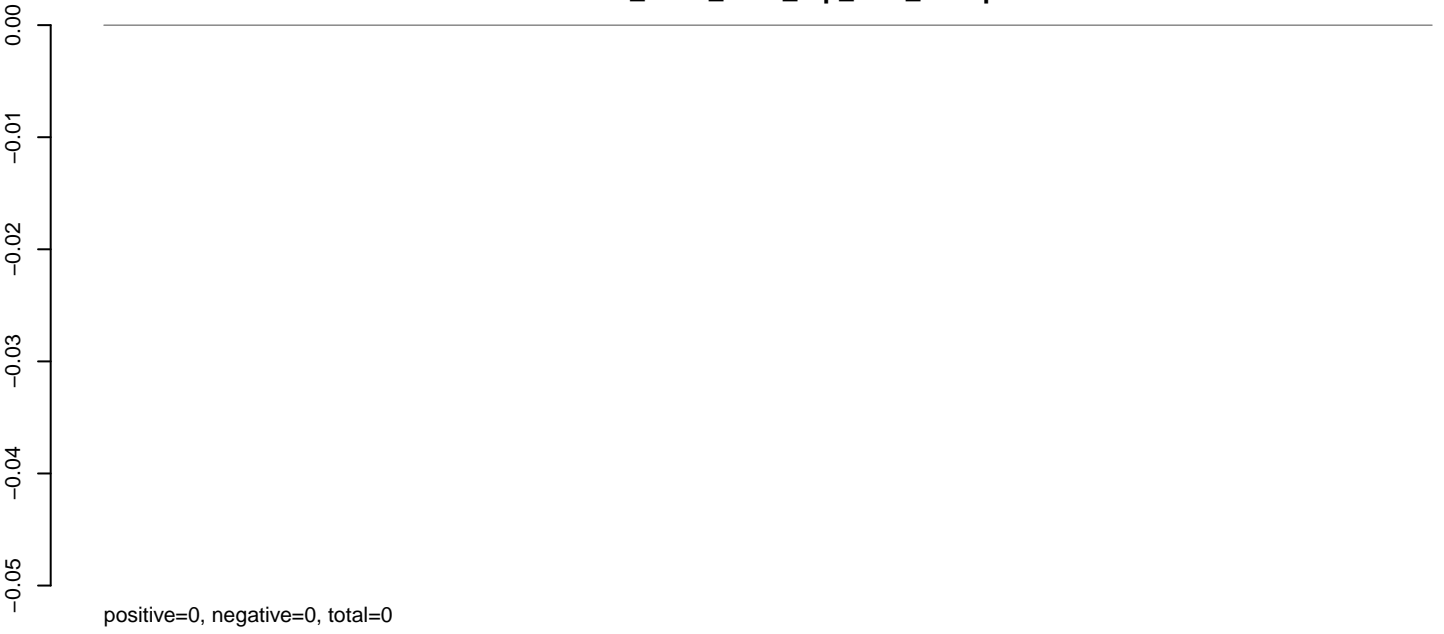
AeAlbo_C636_cells_rep_3.rep



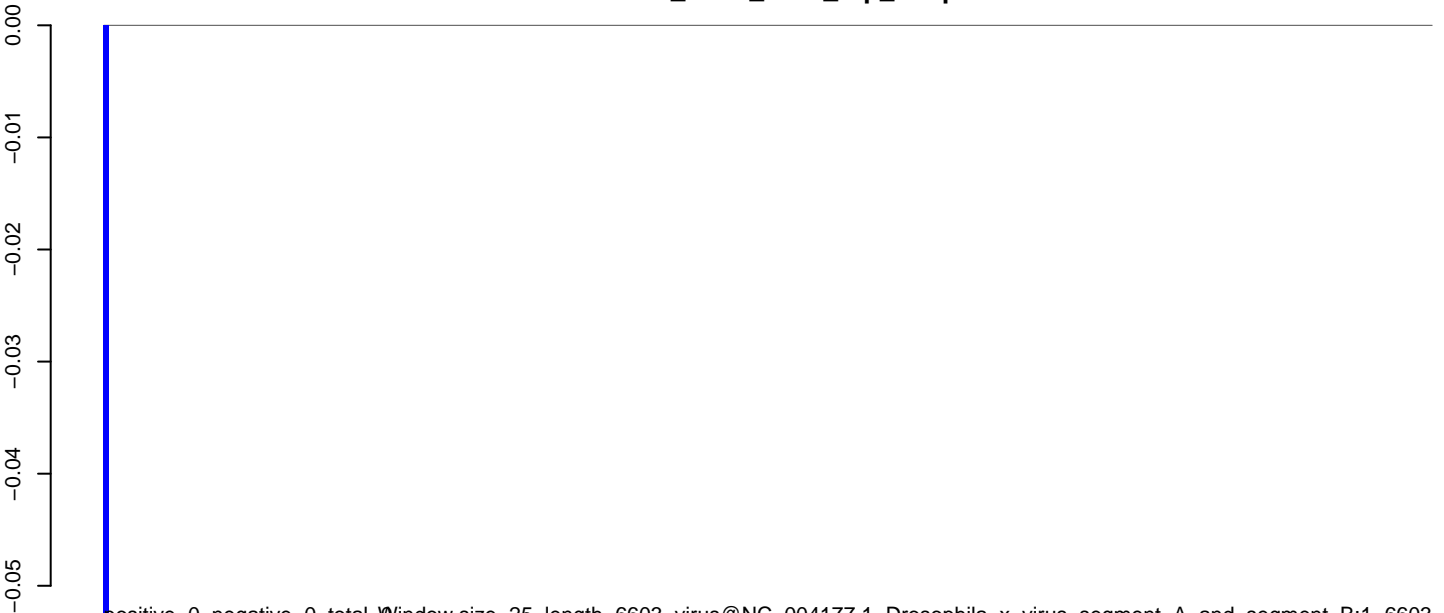
AeAlbo_C636_cells_rep_3.18_23.rep



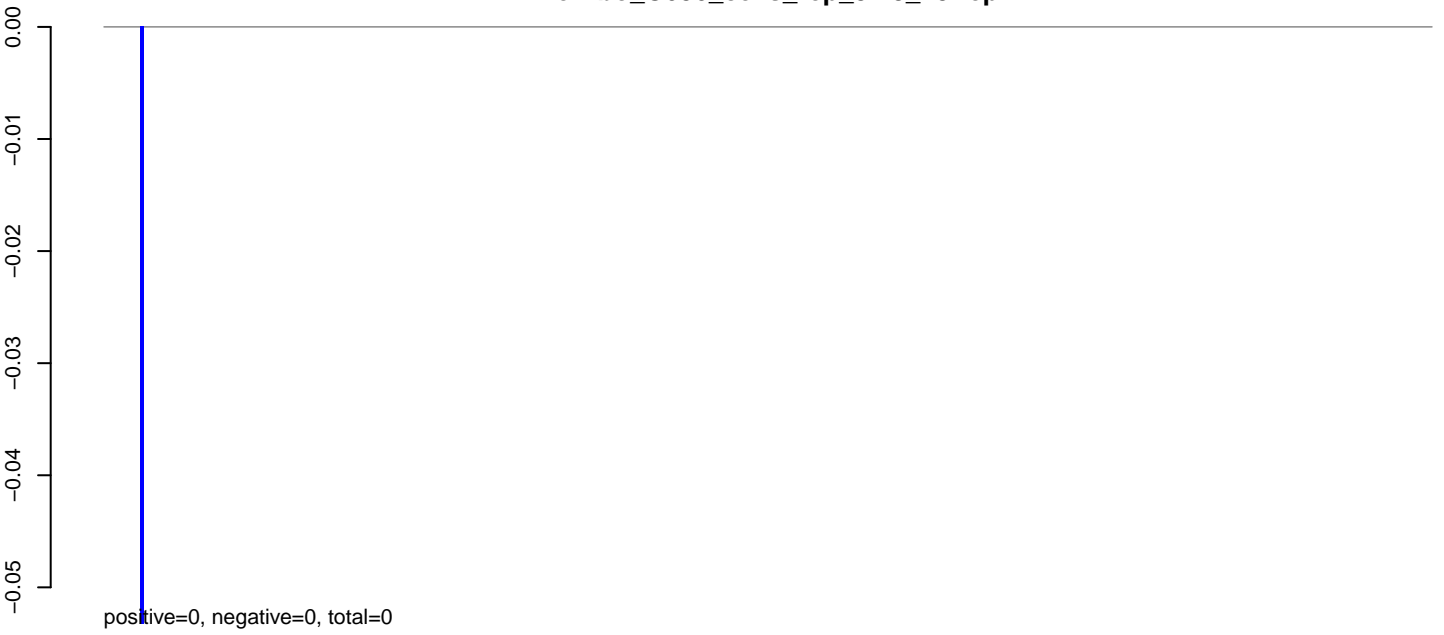
AeAlbo_C636_cells_rep_3.24_35.rep



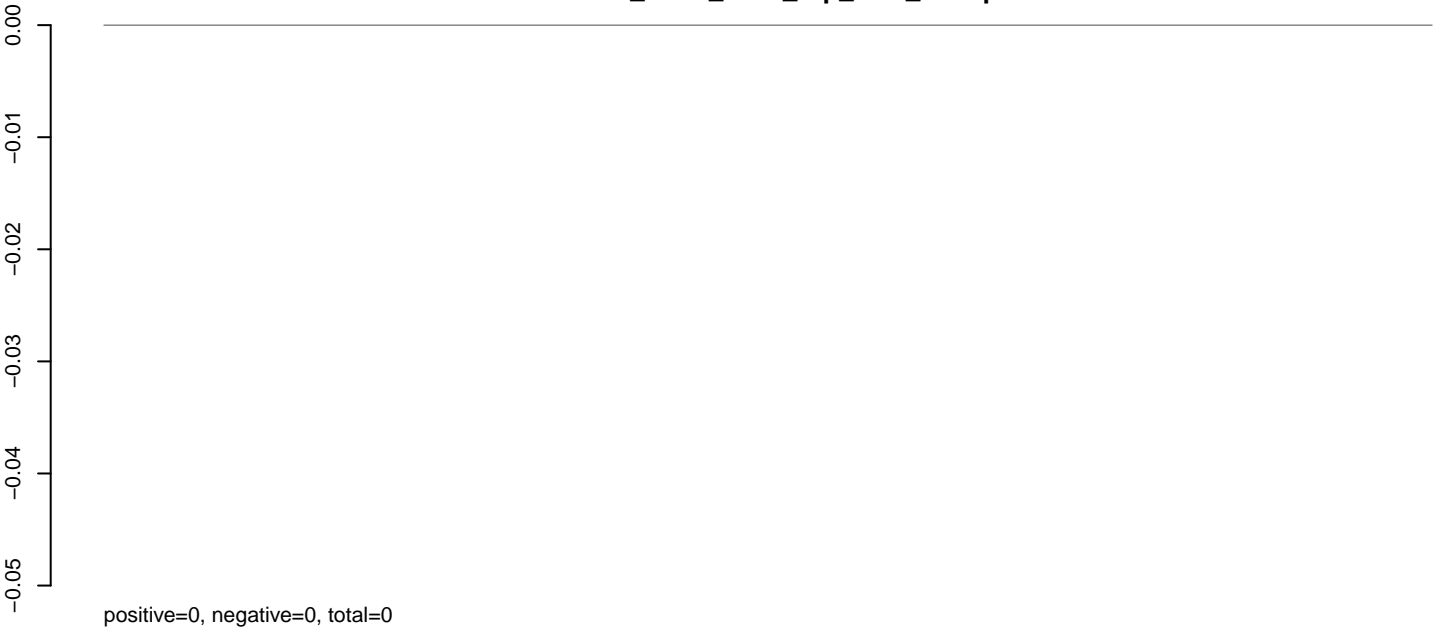
AeAlbo_C636_cells_rep_3.rep



AeAlbo_C636_cells_rep_3.18_23.rep



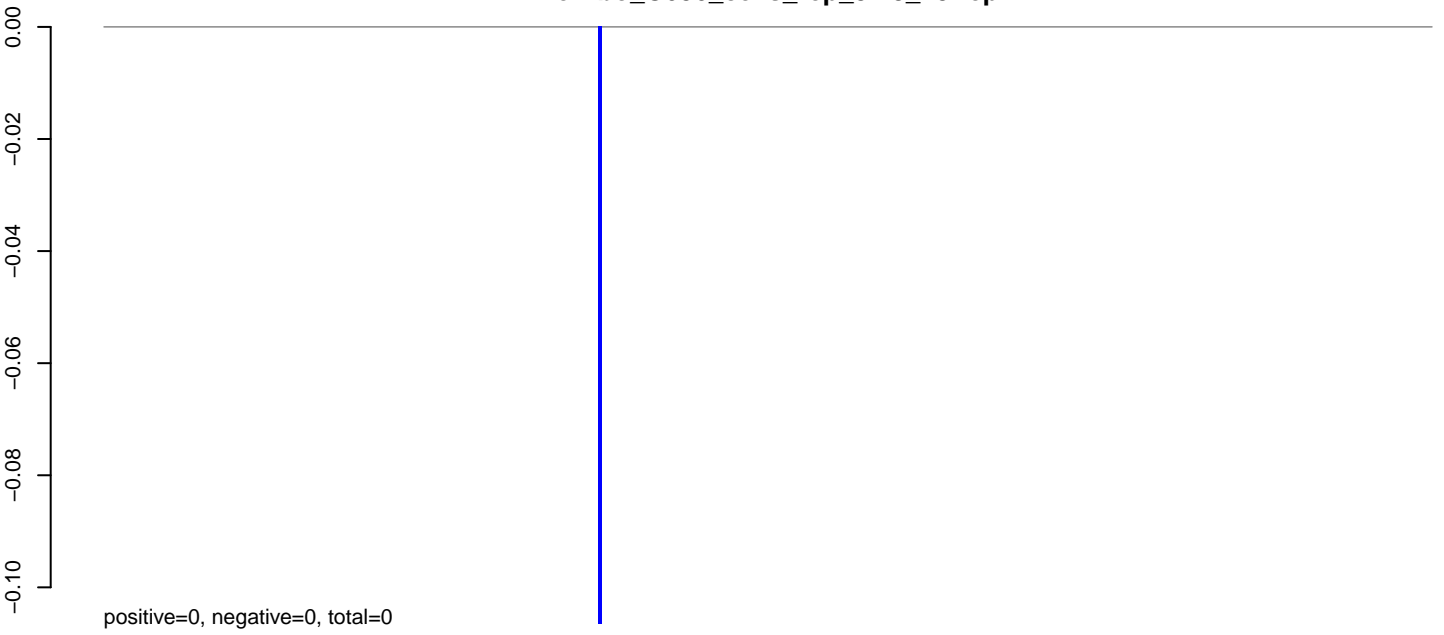
AeAlbo_C636_cells_rep_3.24_35.rep



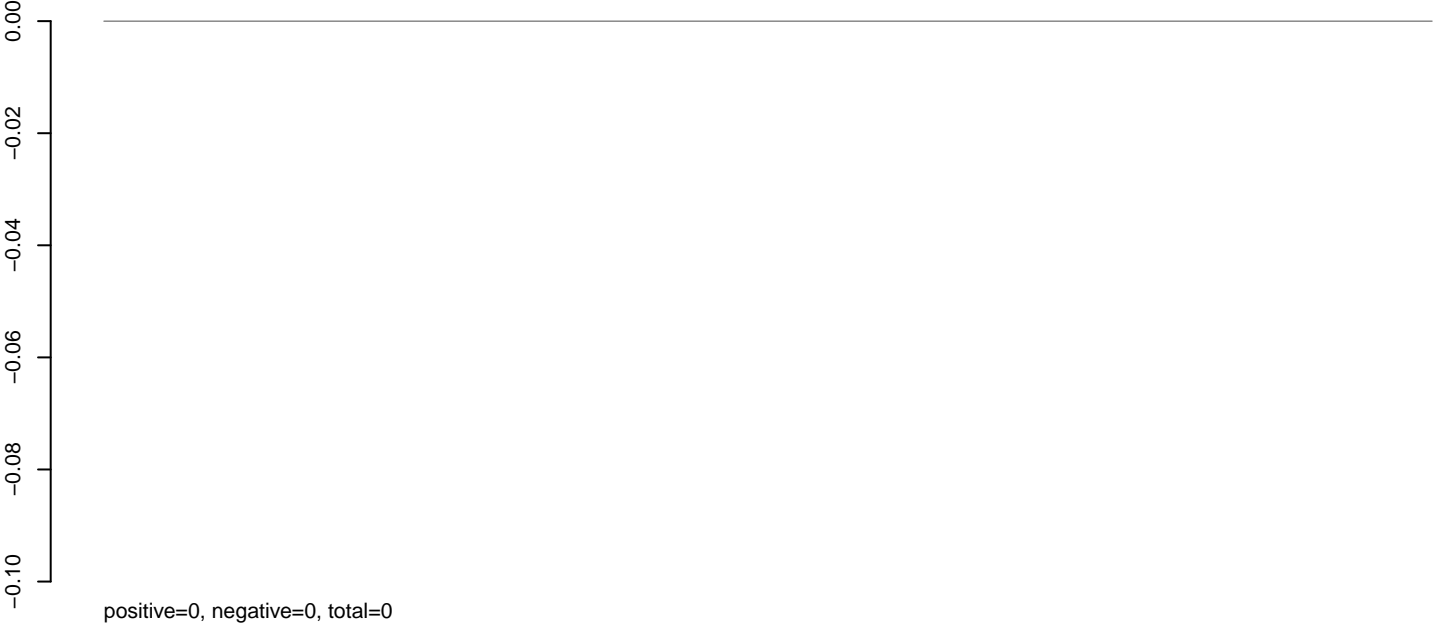
AeAlbo_C636_cells_rep_3.rep



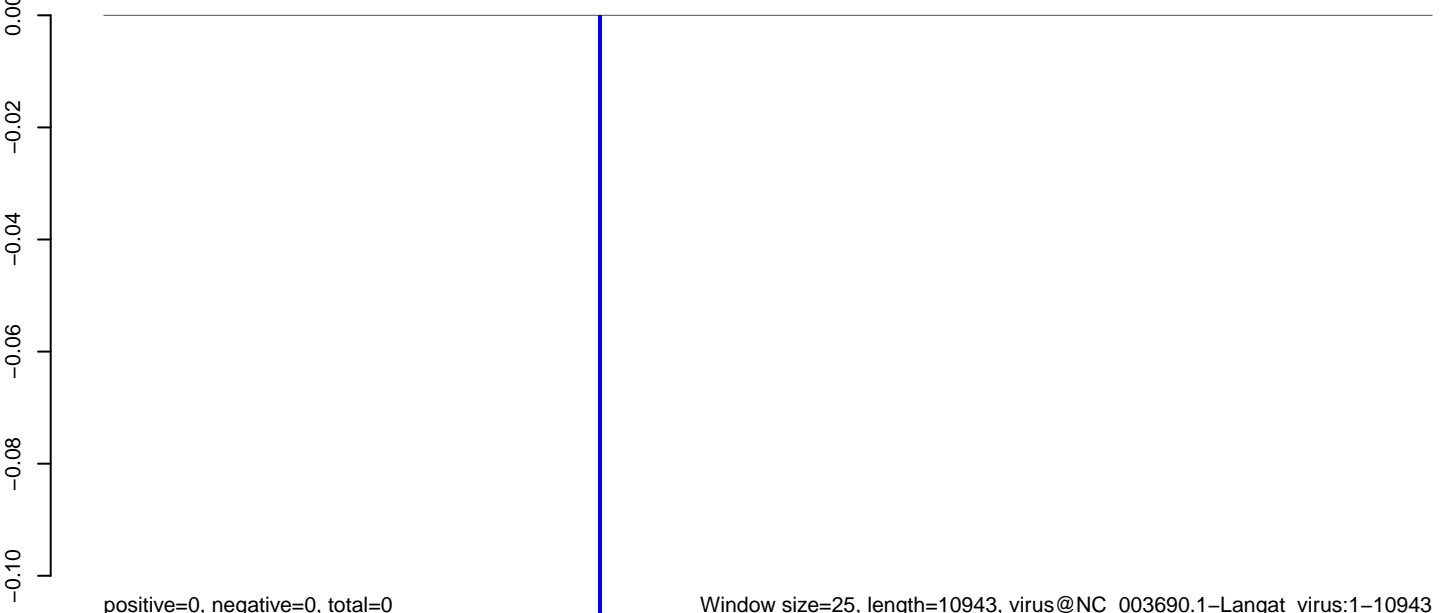
AeAlbo_C636_cells_rep_3.18_23.rep



AeAlbo_C636_cells_rep_3.24_35.rep



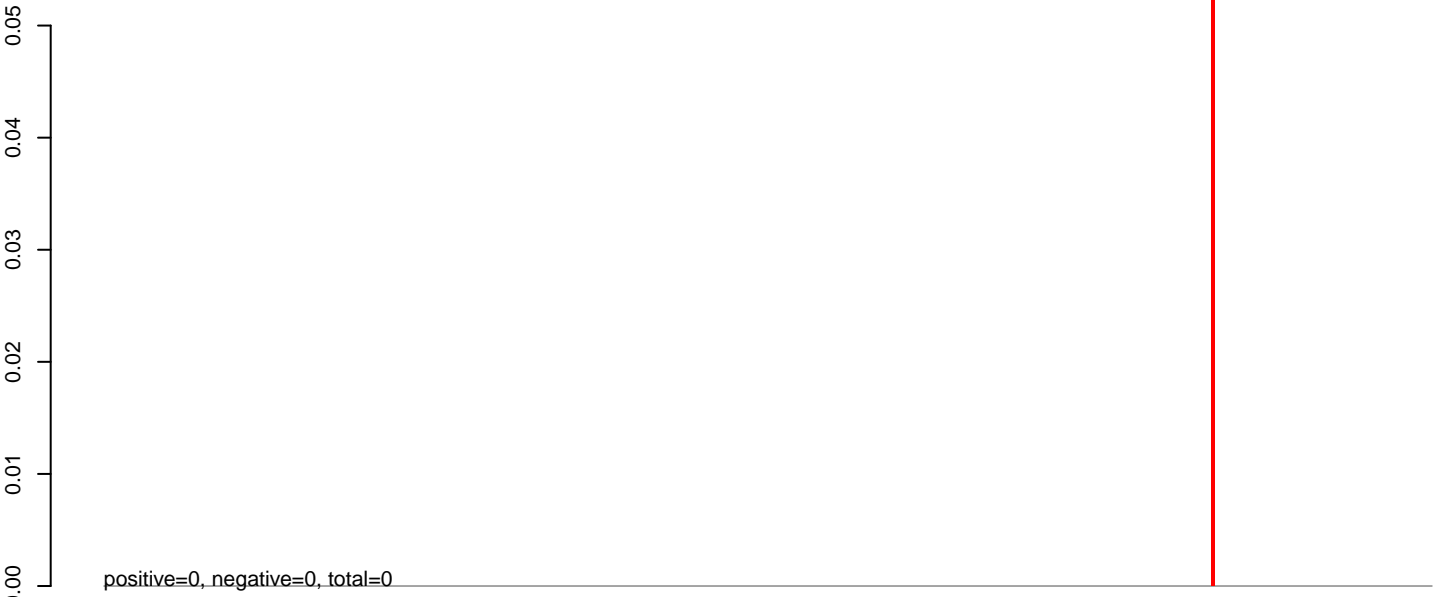
AeAlbo_C636_cells_rep_3.rep



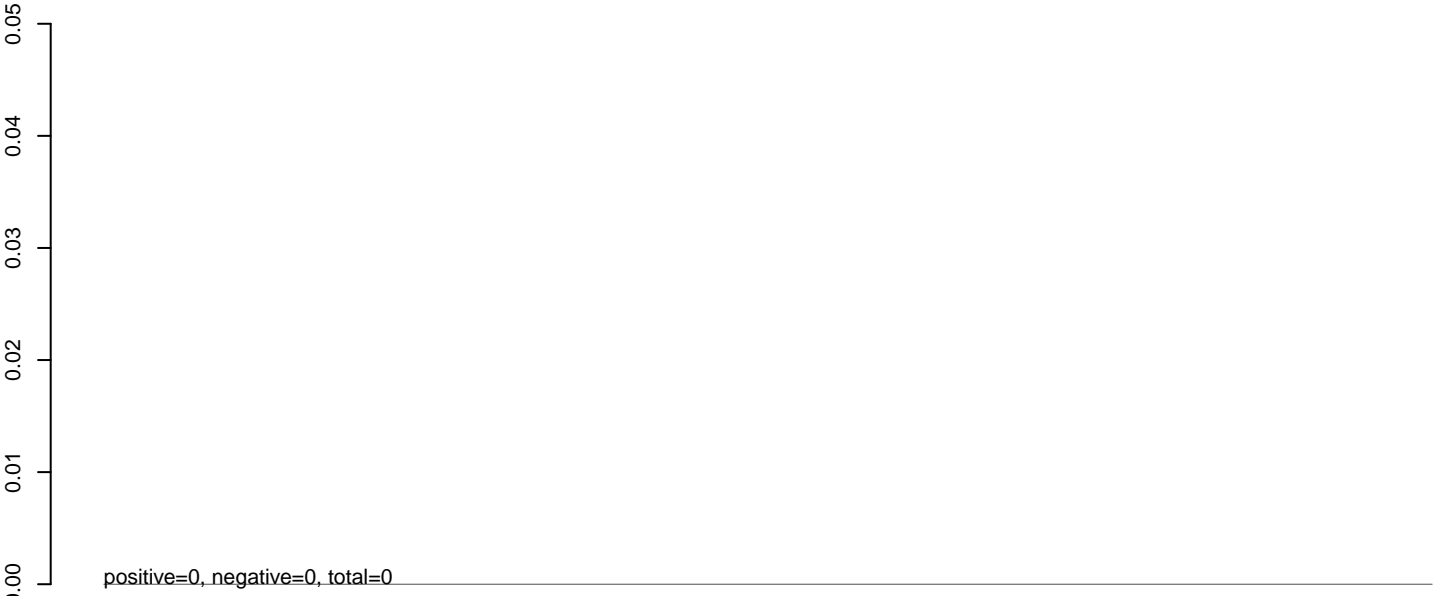
Window size=25, length=10943, virus@NC_003690.1-Langat_virus:1-10943

0 2000 4000 6000 8000 10000

AeAlbo_C636_cells_rep_3.18_23.rep



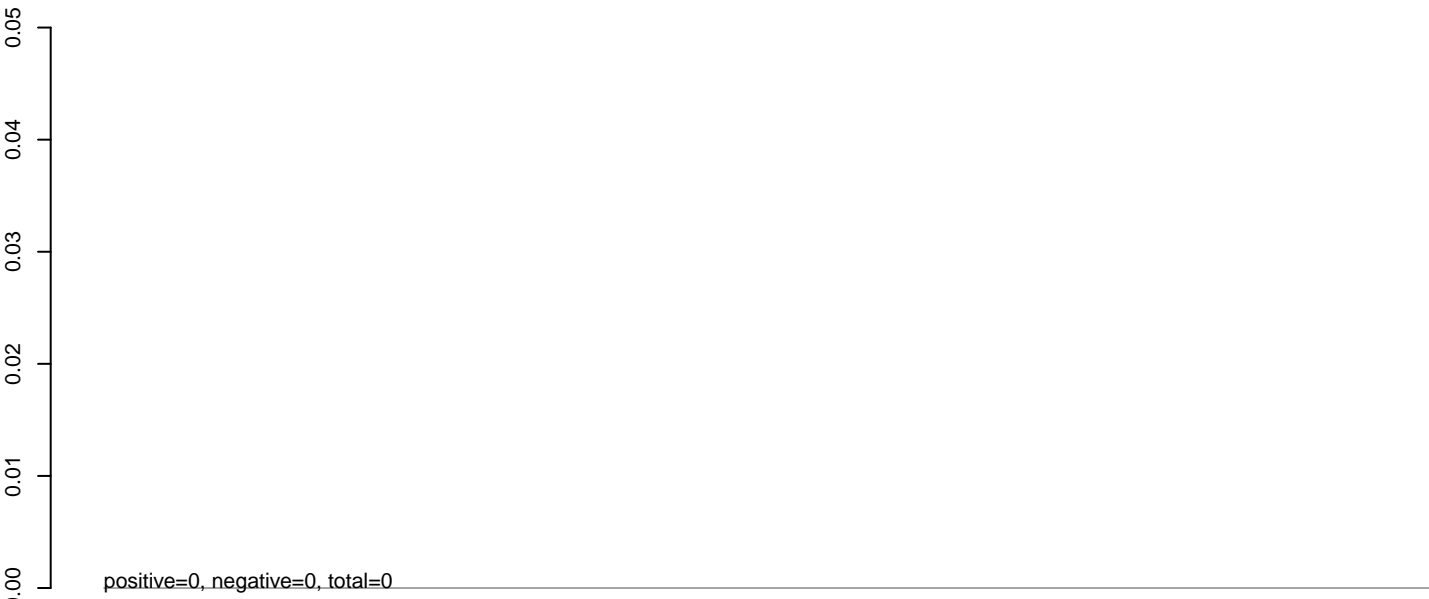
AeAlbo_C636_cells_rep_3.24_35.rep



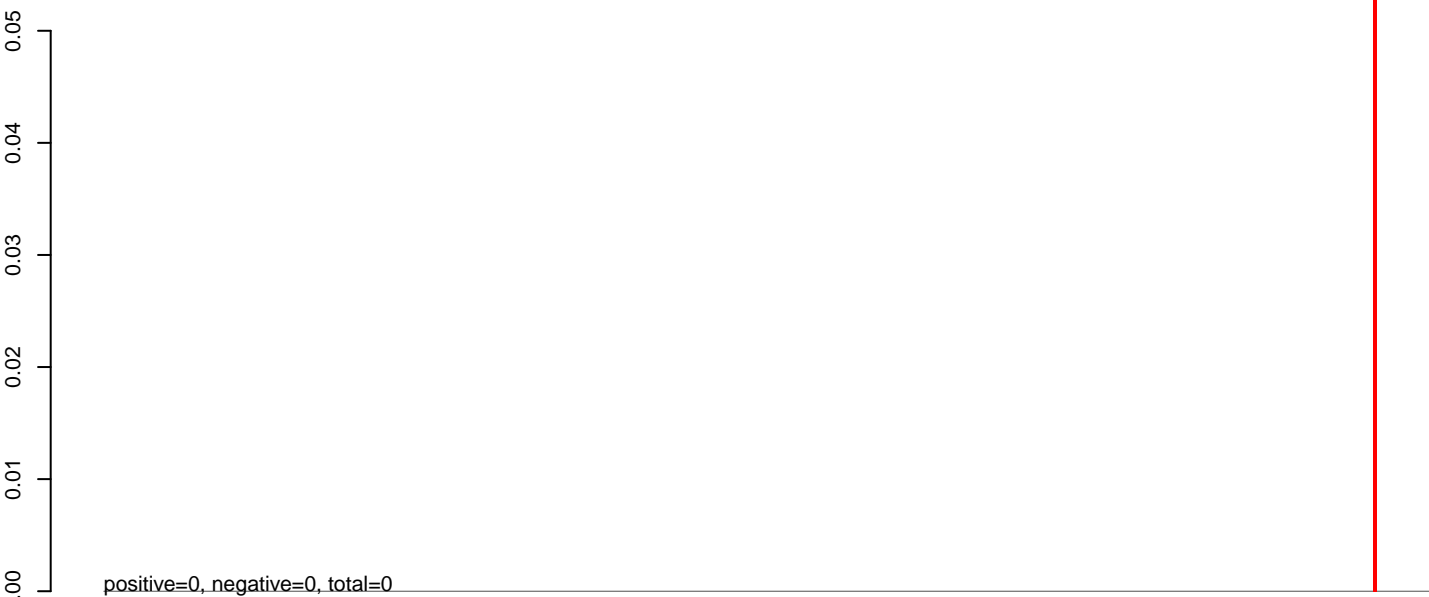
AeAlbo_C636_cells_rep_3.rep



AeAlbo_C636_cells_rep_3.18_23.rep



AeAlbo_C636_cells_rep_3.24_35.rep

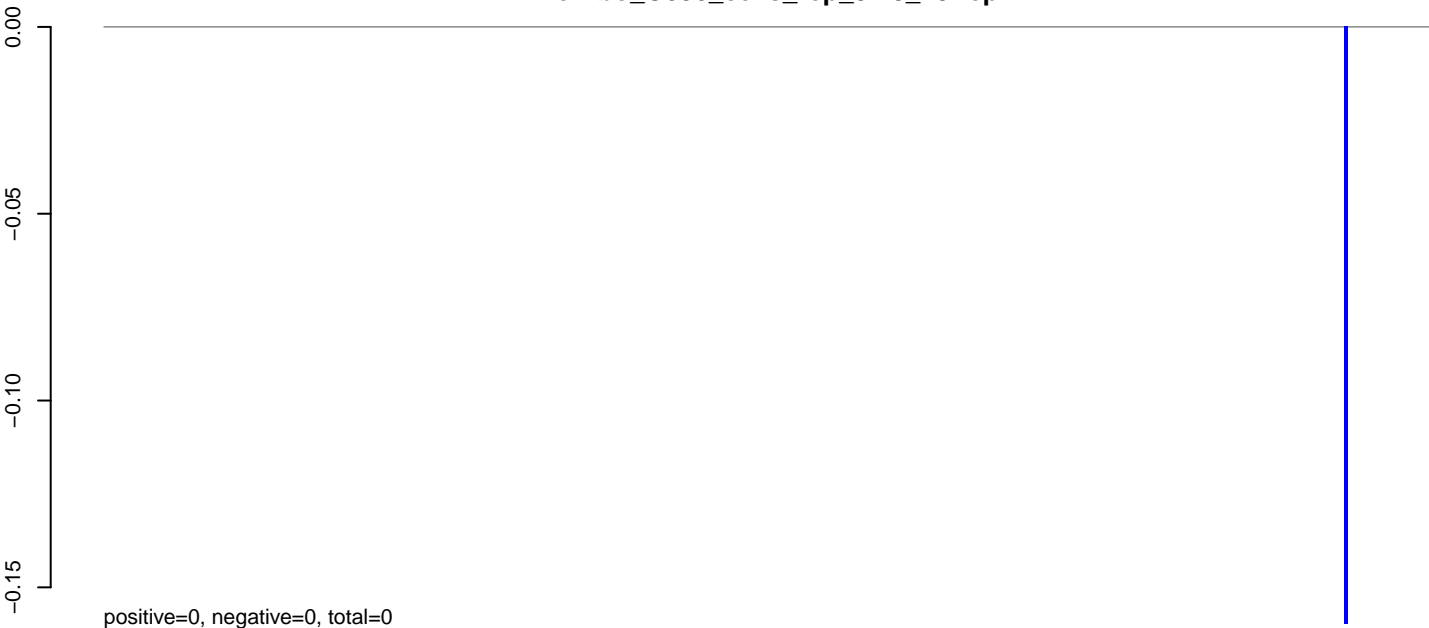


AeAlbo_C636_cells_rep_3.rep

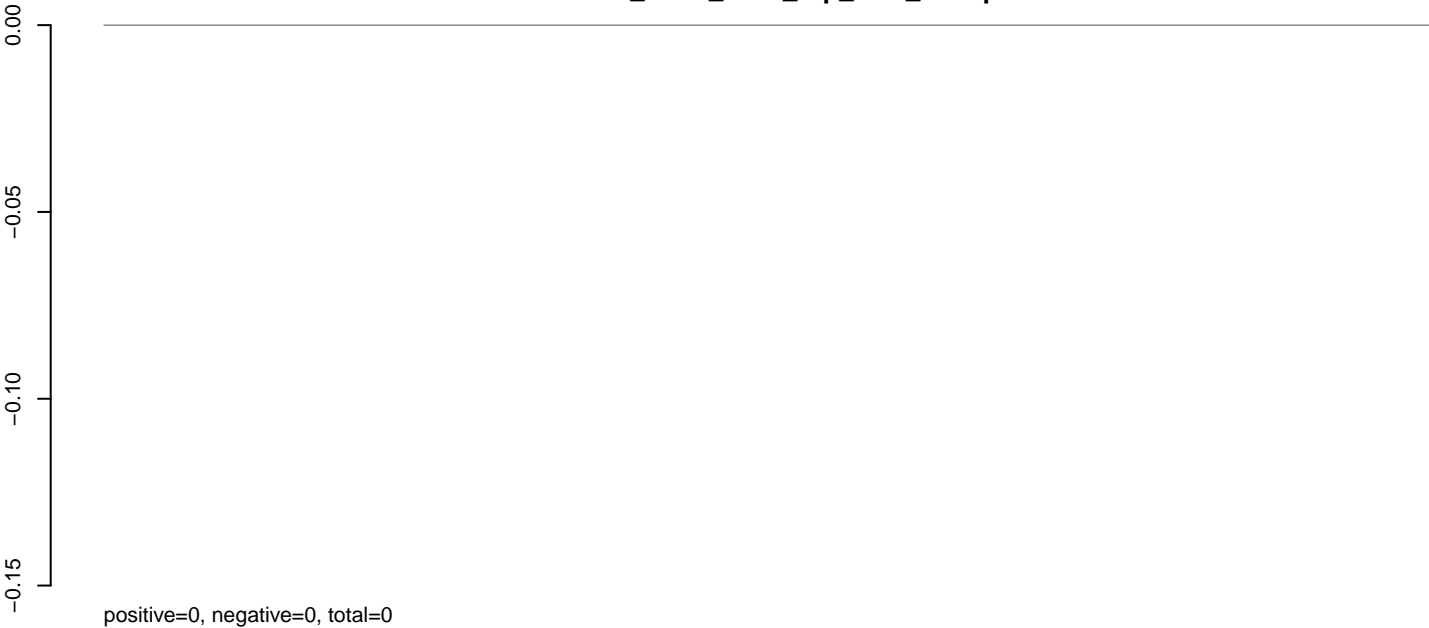


0 2000 4000 6000 8000 10000

AeAlbo_C636_cells_rep_3.18_23.rep



AeAlbo_C636_cells_rep_3.24_35.rep

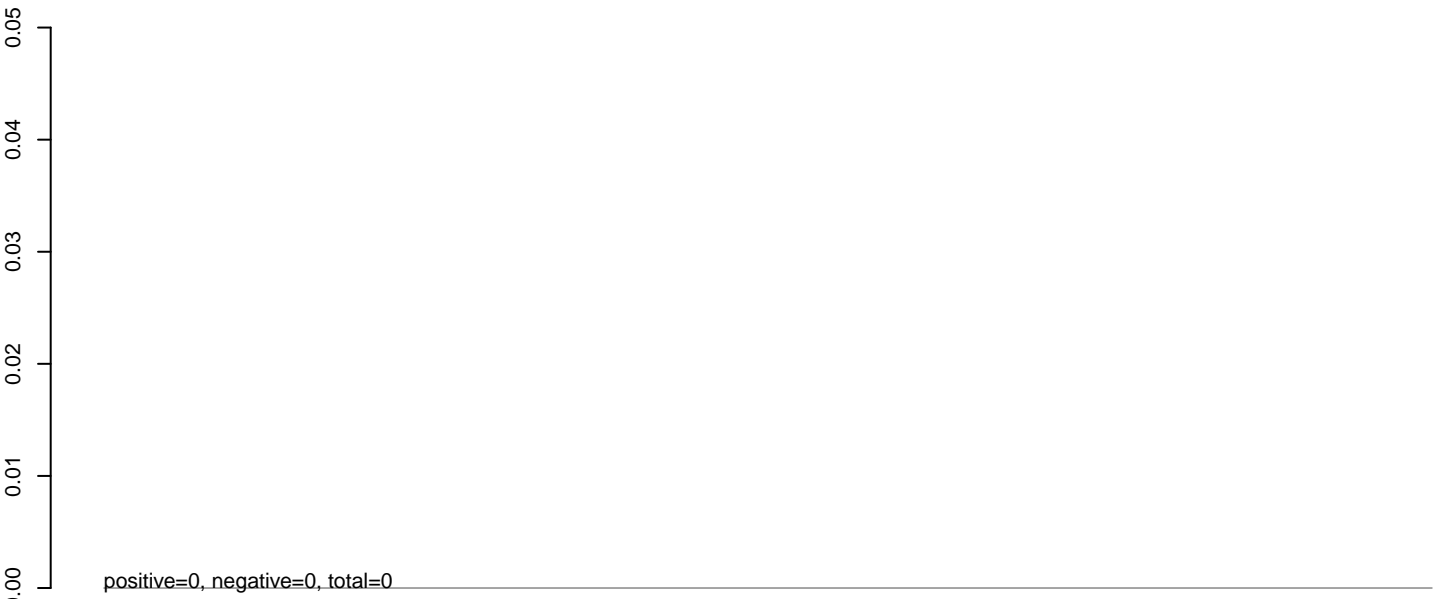


AeAlbo_C636_cells_rep_3.rep

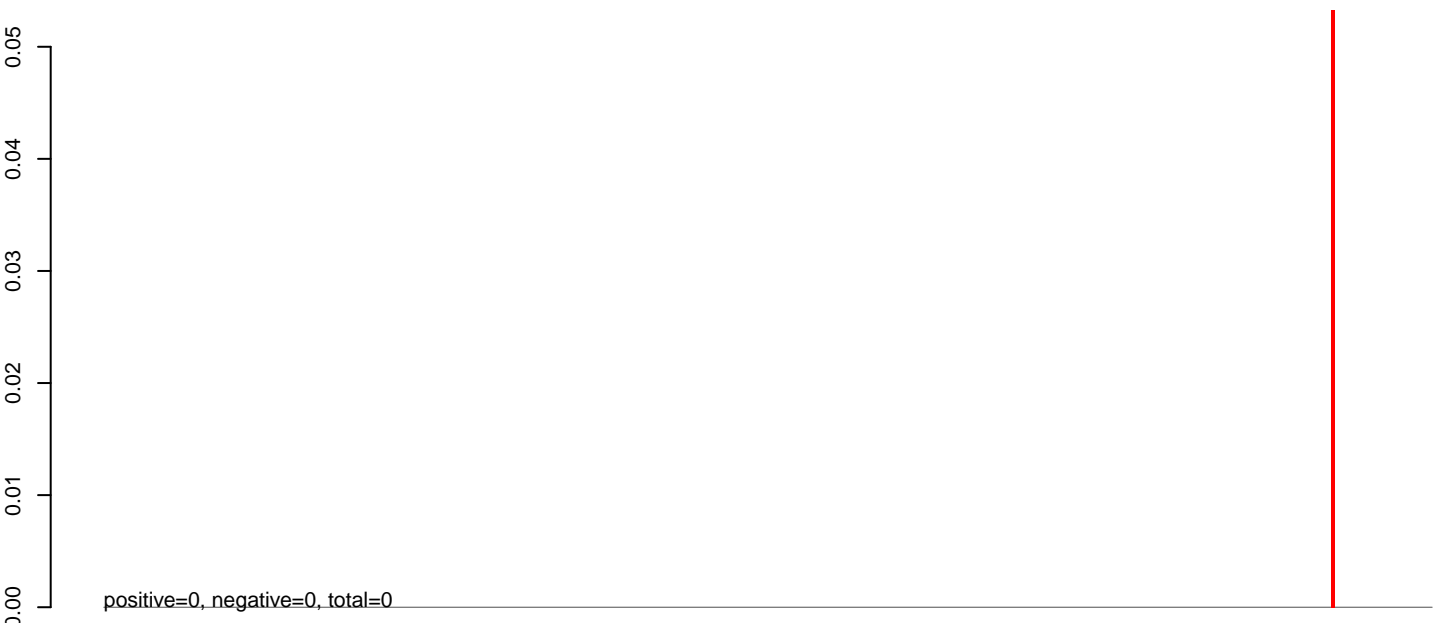


0 2000 4000 6000 8000 10000

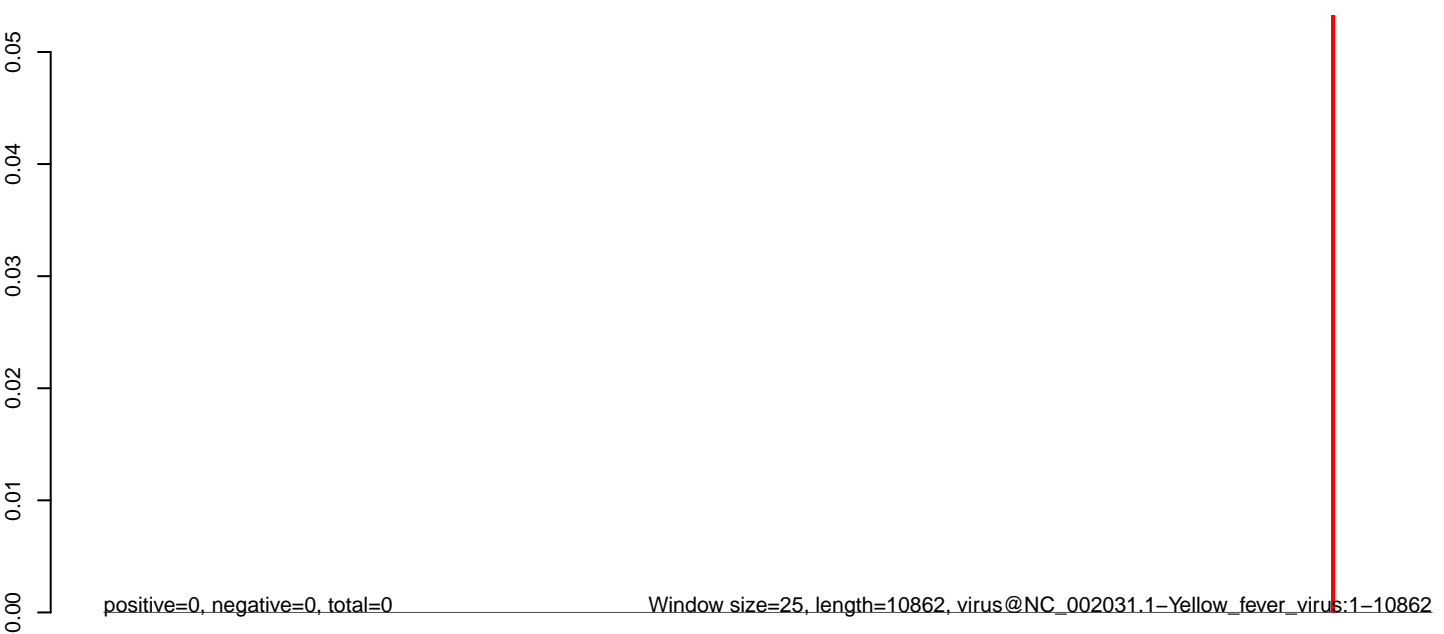
AeAlbo_C636_cells_rep_3.18_23.rep



AeAlbo_C636_cells_rep_3.24_35.rep

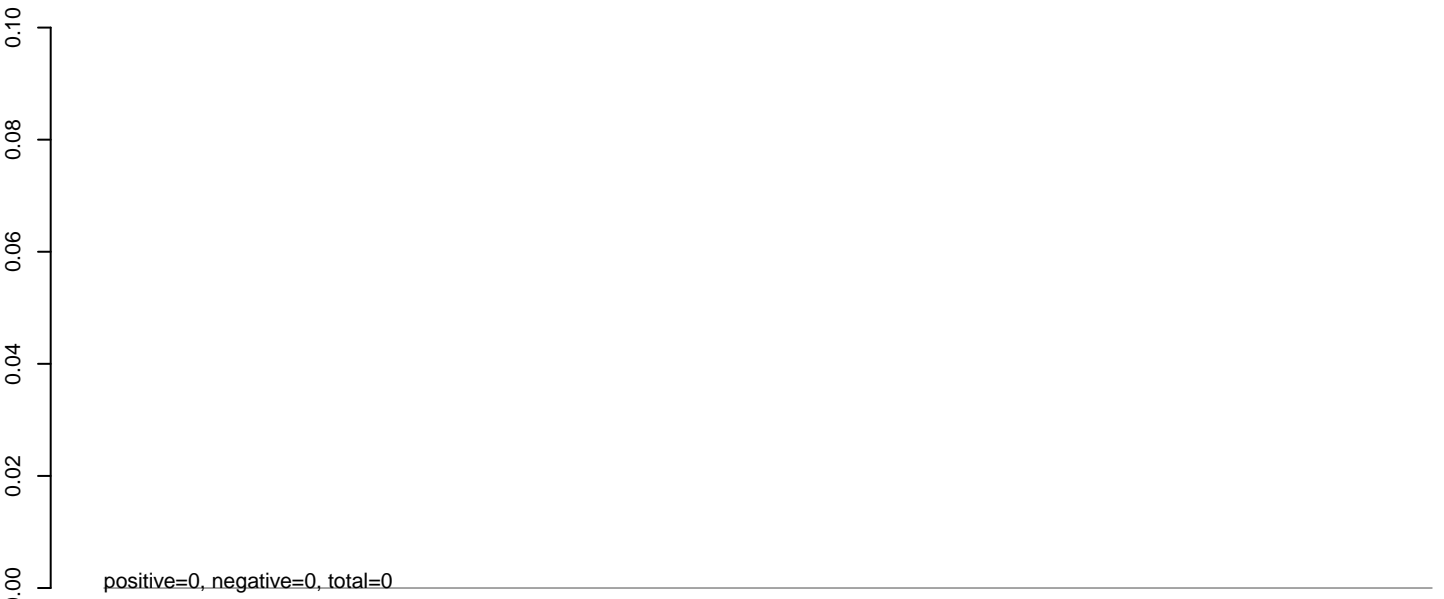


AeAlbo_C636_cells_rep_3.rep

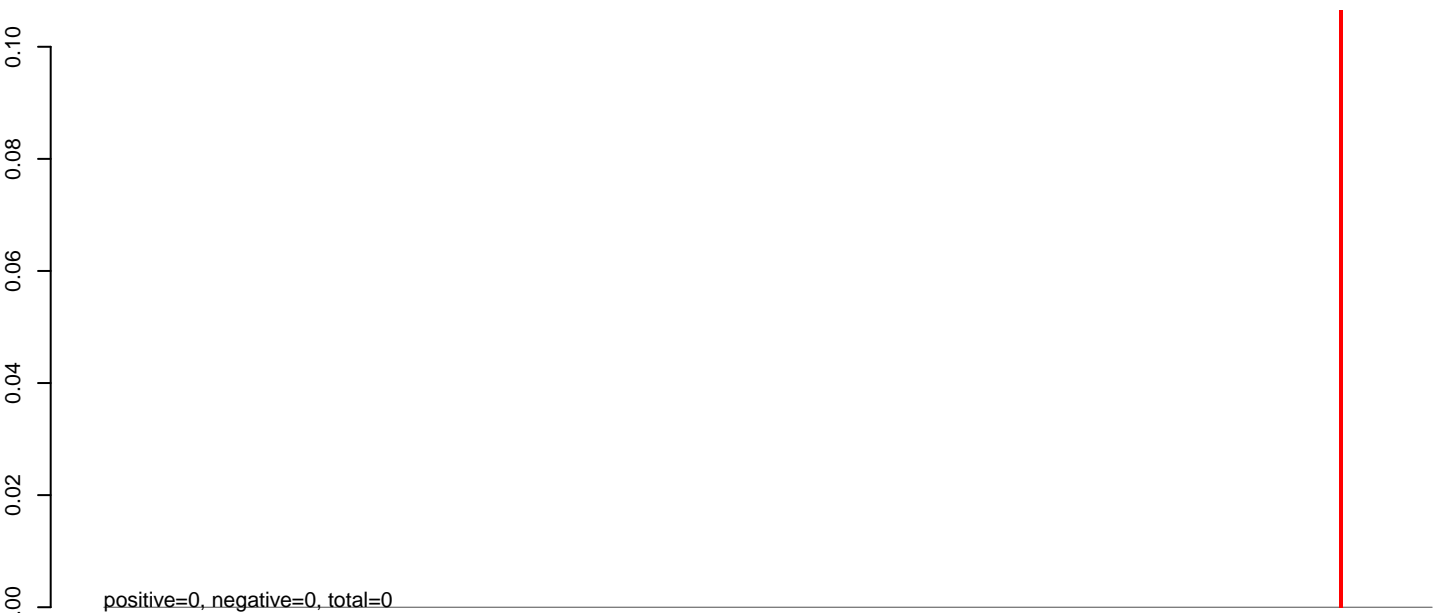


0 2000 4000 6000 8000 10000

AeAlbo_C636_cells_rep_3.18_23.rep



AeAlbo_C636_cells_rep_3.24_35.rep

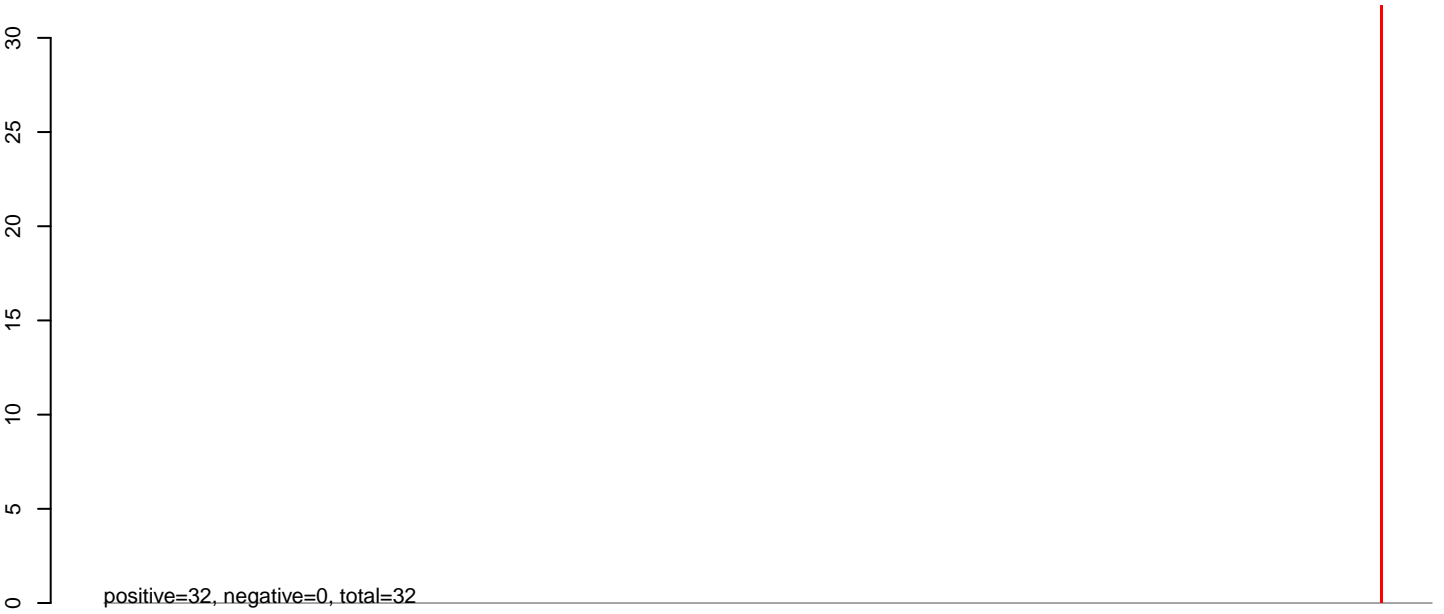


AeAlbo_C636_cells_rep_3.rep

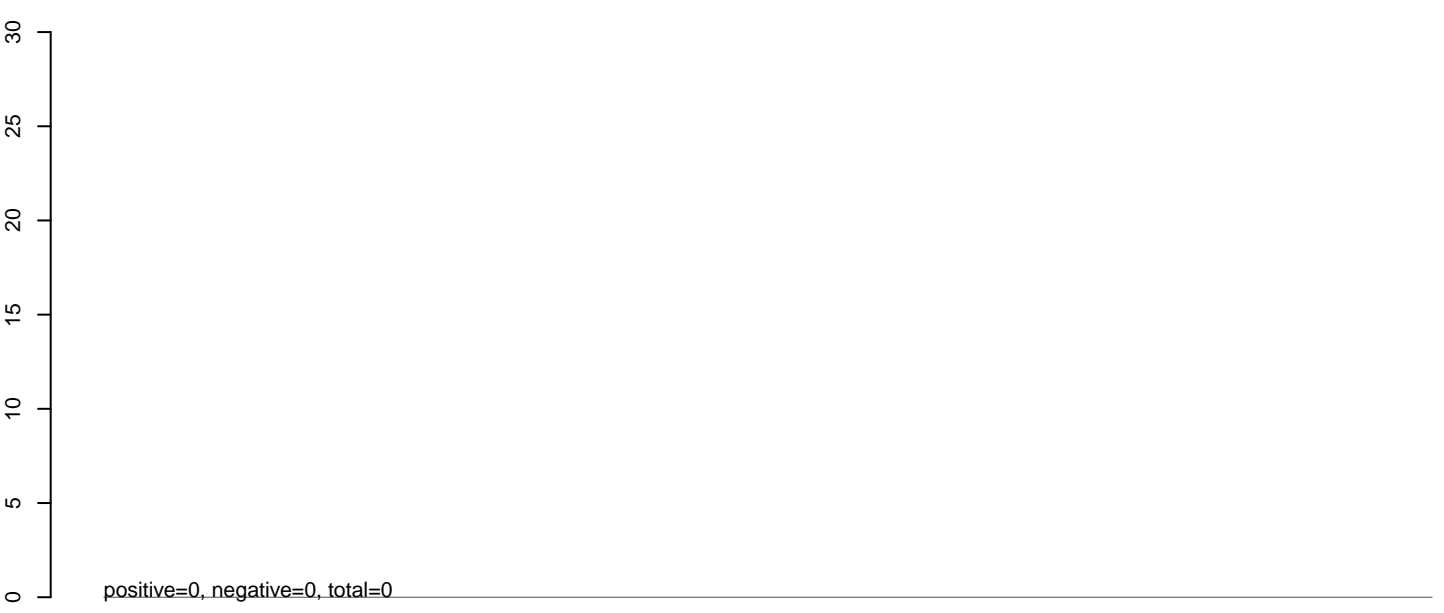


0 2000 4000 6000 8000 10000

AeAlbo_C636_cells_rep_3.18_23.rep



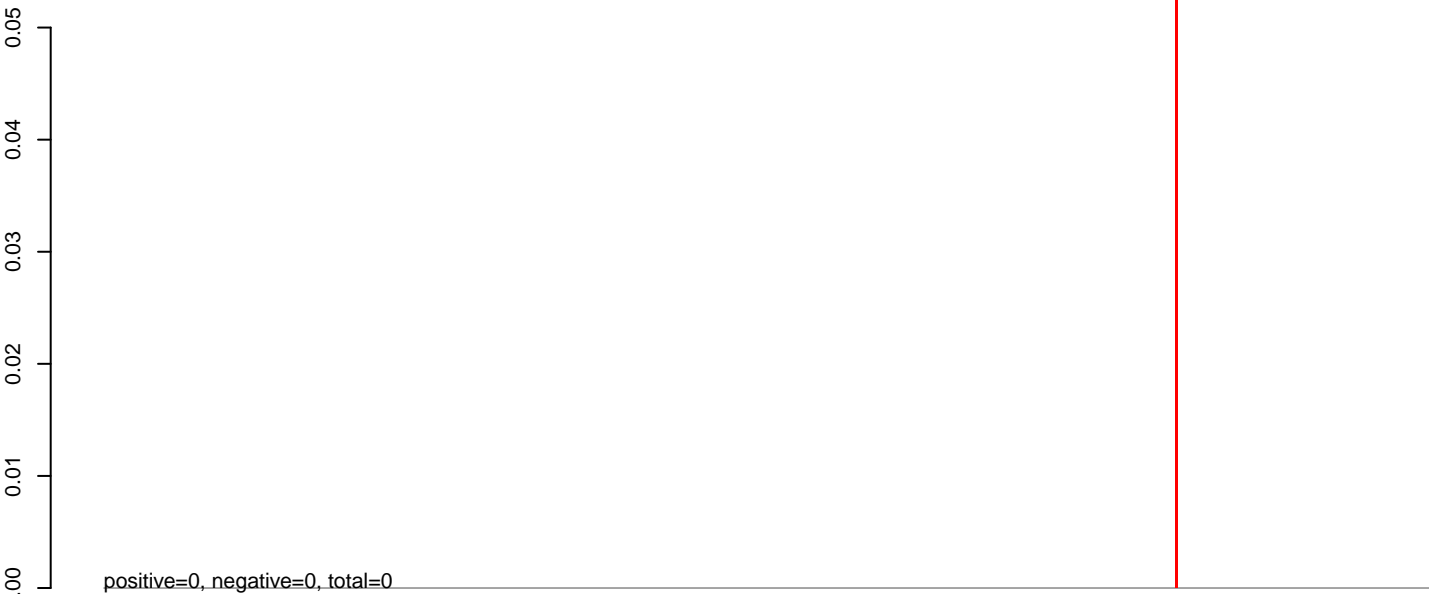
AeAlbo_C636_cells_rep_3.24_35.rep



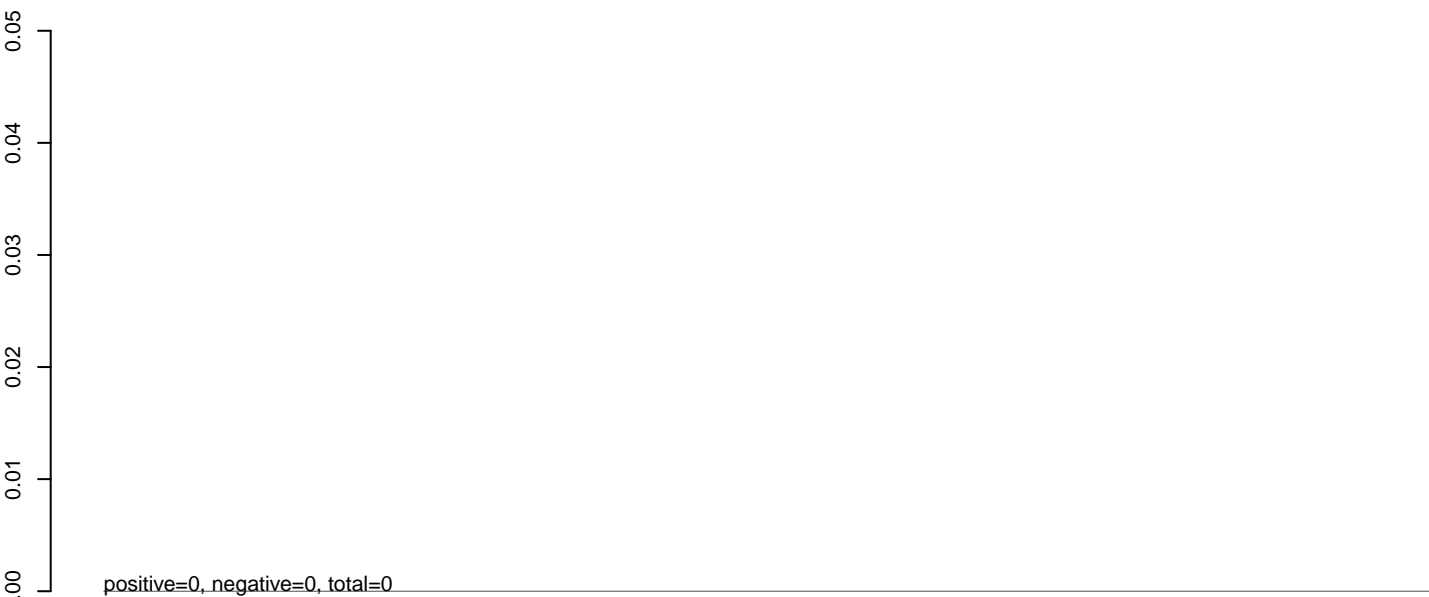
AeAlbo_C636_cells_rep_3.rep



AeAlbo_C636_cells_rep_3.18_23.rep



AeAlbo_C636_cells_rep_3.24_35.rep

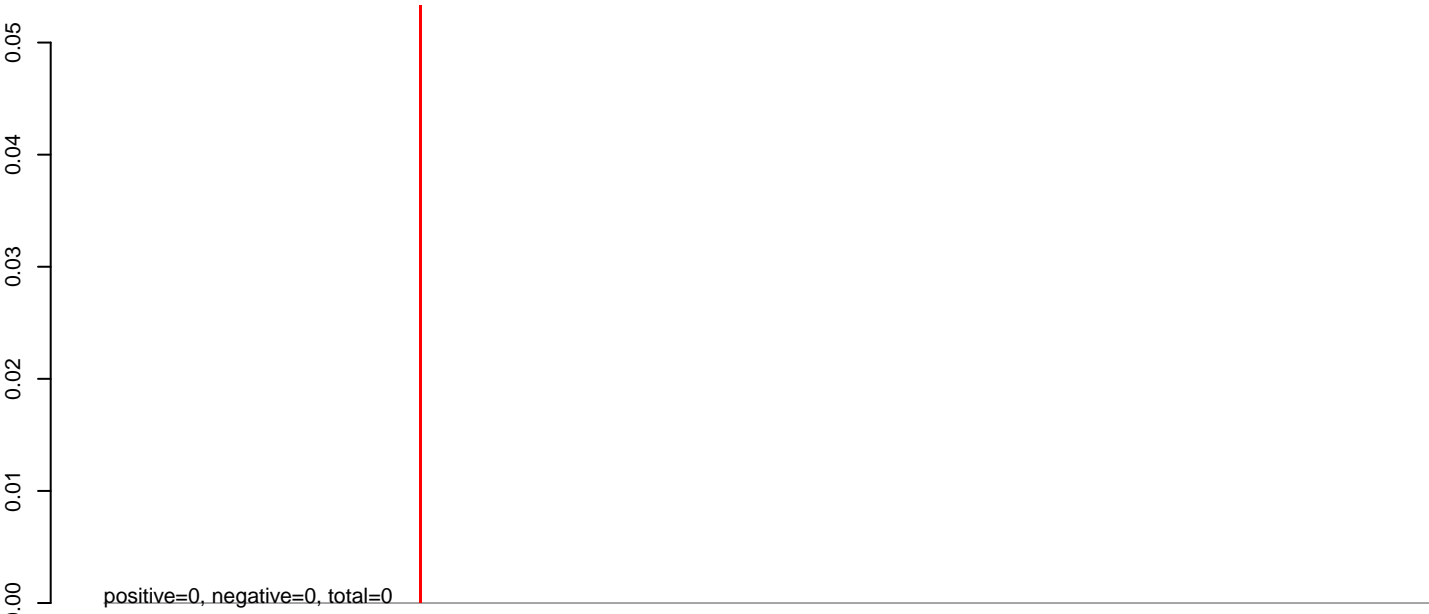


AeAlbo_C636_cells_rep_3.rep

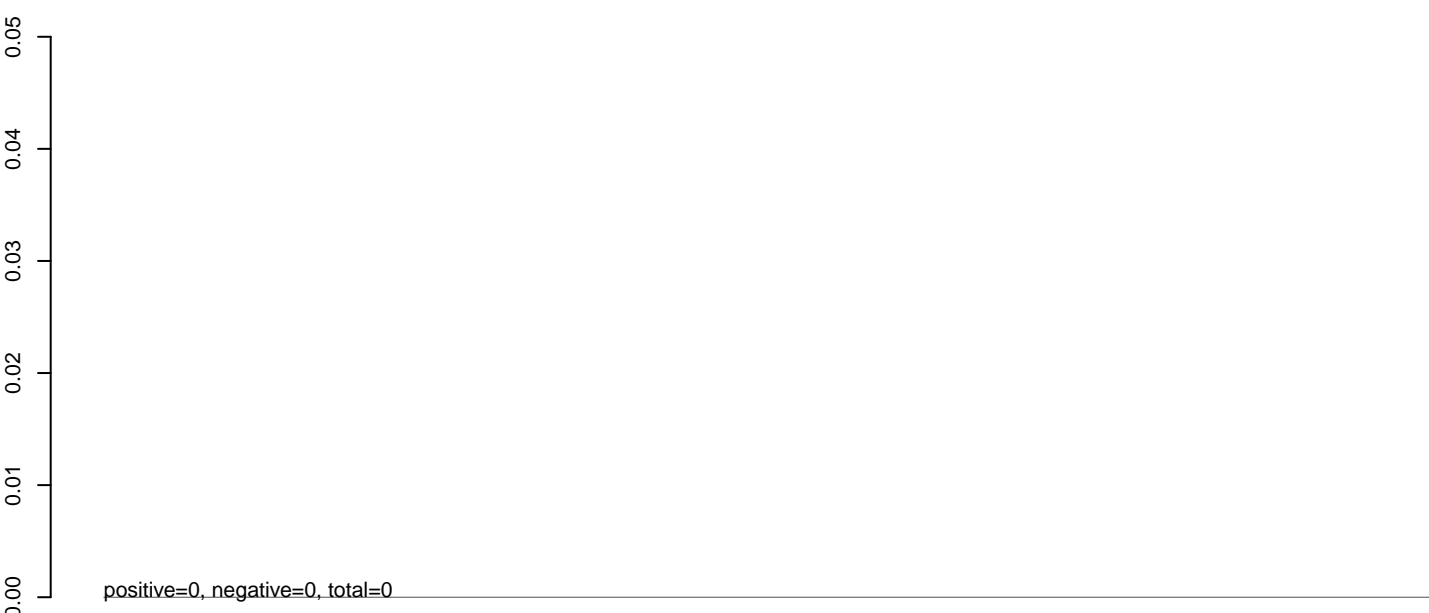


0 2000 4000 6000 8000 10000 12000

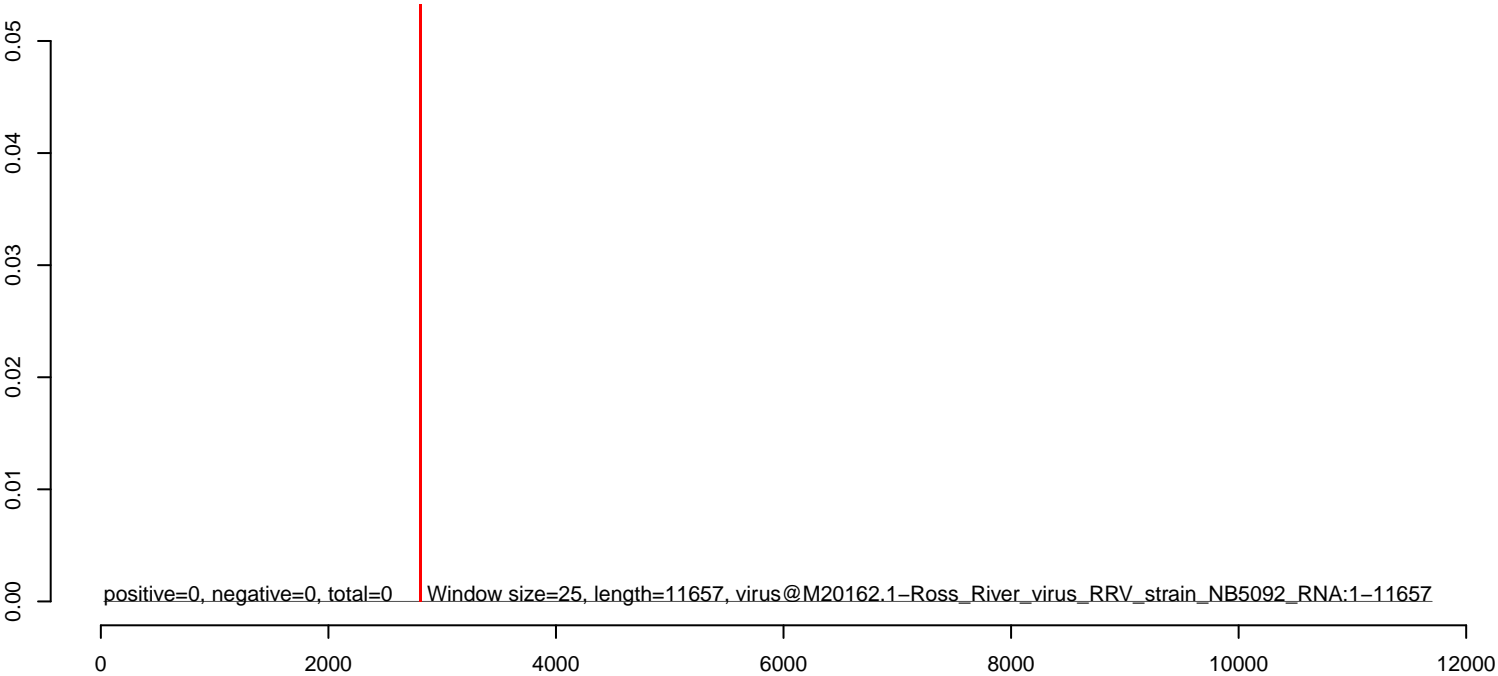
AeAlbo_C636_cells_rep_3.18_23.rep



AeAlbo_C636_cells_rep_3.24_35.rep



AeAlbo_C636_cells_rep_3.rep



AeAlbo_C636_cells_rep_3.18_23.rep

0.00
-0.05
-0.10
-0.15
-0.20

positive=0, negative=0, total=0

AeAlbo_C636_cells_rep_3.24_35.rep

0.00
-0.05
-0.10
-0.15
-0.20

positive=0, negative=0, total=0

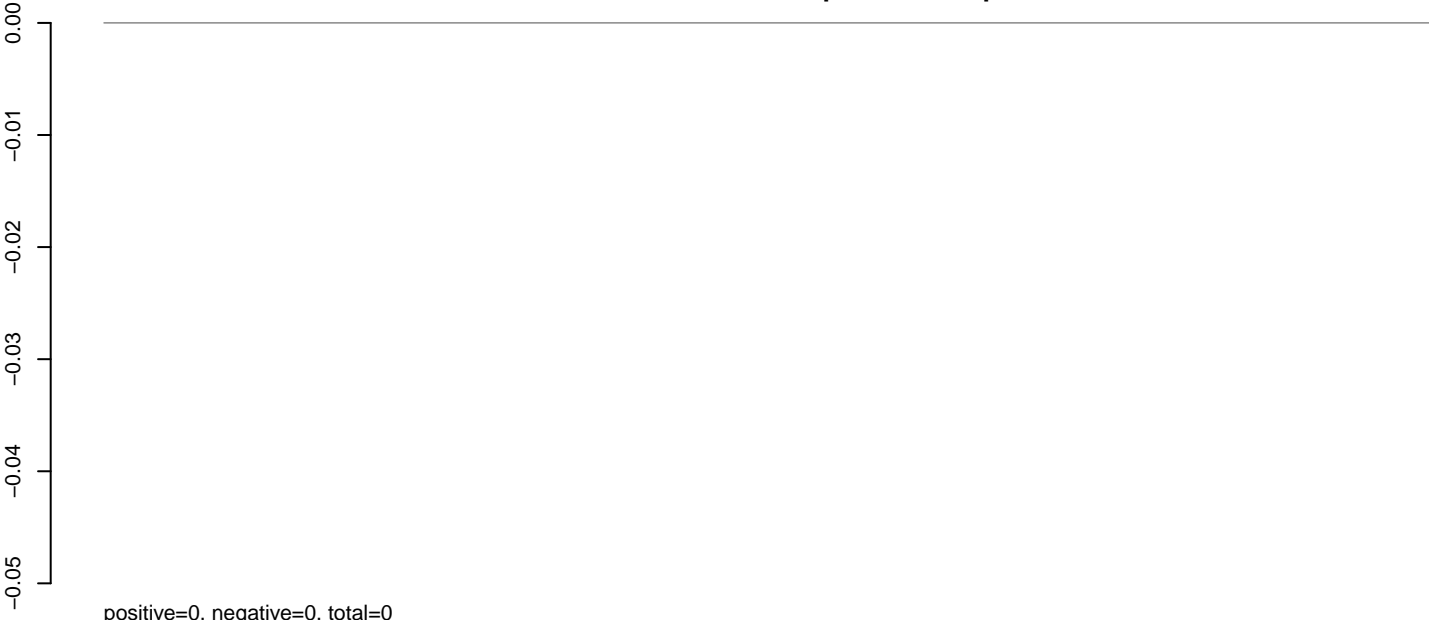
AeAlbo_C636_cells_rep_3.rep

0.00
-0.05
-0.10
-0.15
-0.20

positive=0, negative=0, total=0
Window size=25, length=10749, virus@KX669682.1-Calbertado_virus_isolate_Cal_mos_2_polyprotein_gene:1-10749

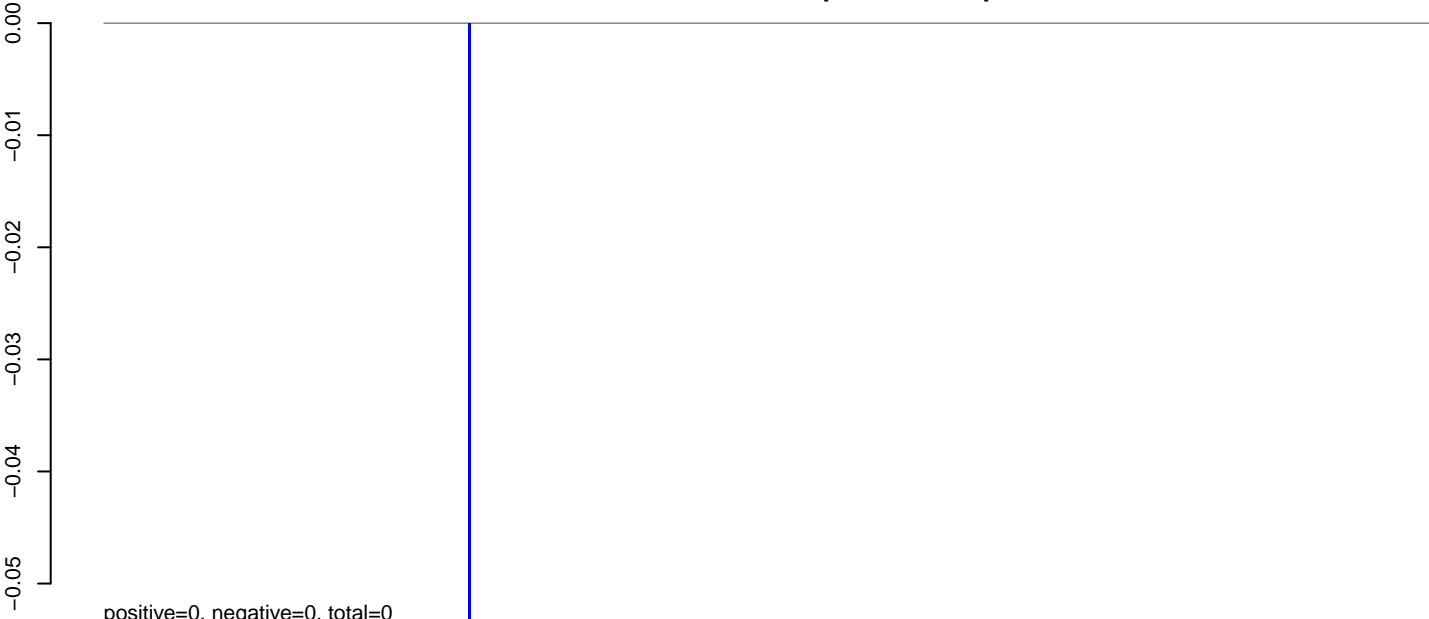
0 2000 4000 6000 8000 10000

AeAlbo_C636_cells_rep_3.18_23.rep



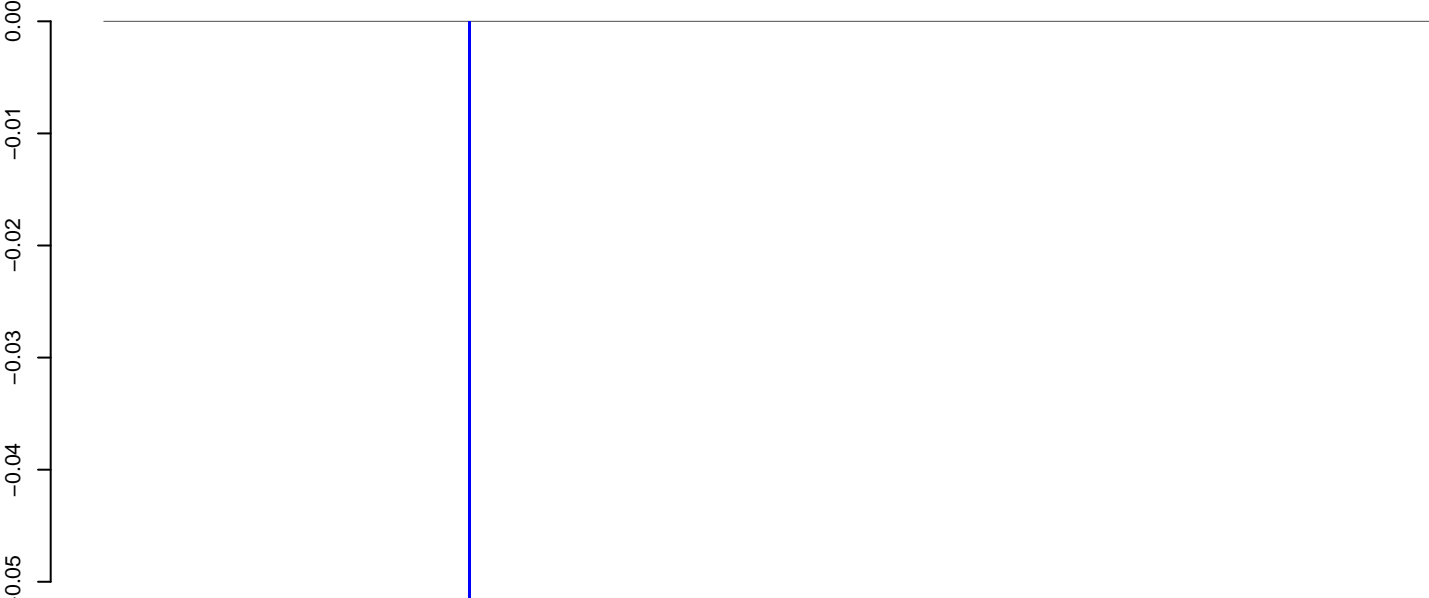
positive=0, negative=0, total=0

AeAlbo_C636_cells_rep_3.24_35.rep



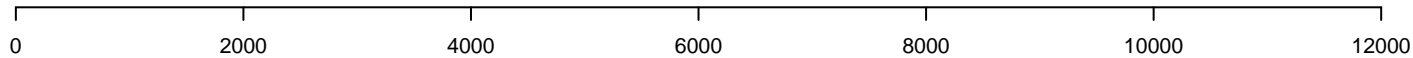
positive=0, negative=0, total=0

AeAlbo_C636_cells_rep_3.rep

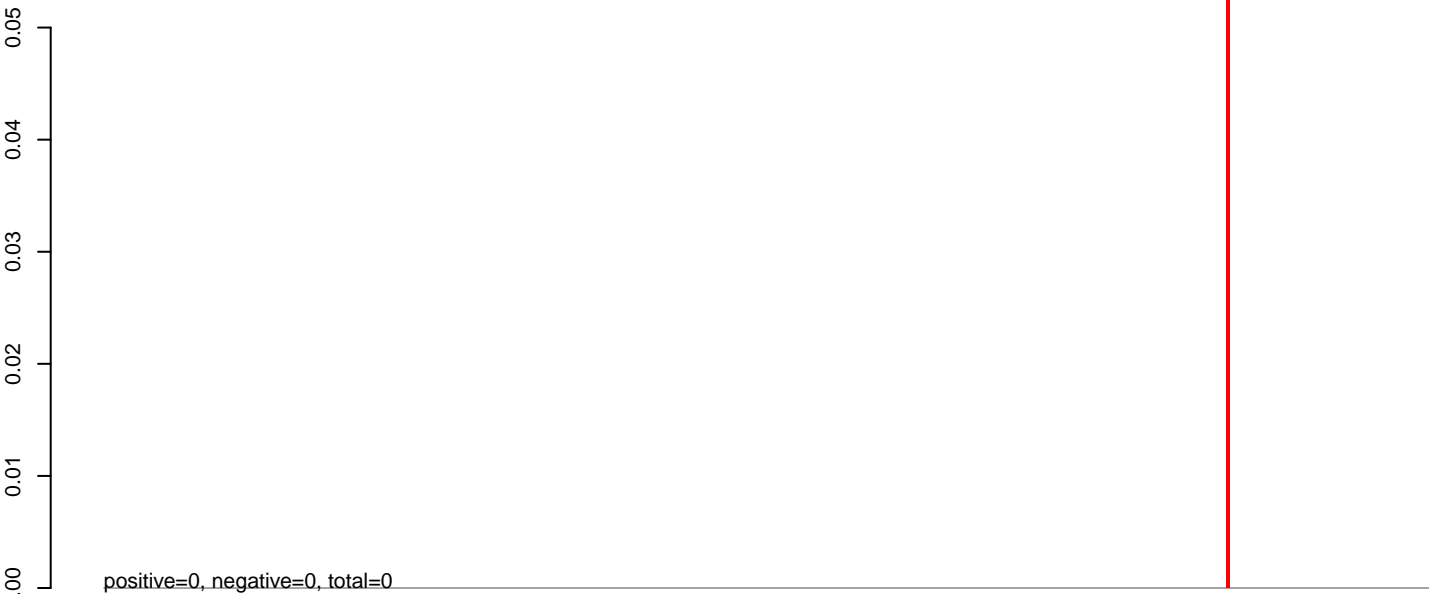


positive=0, negative=0, total=0

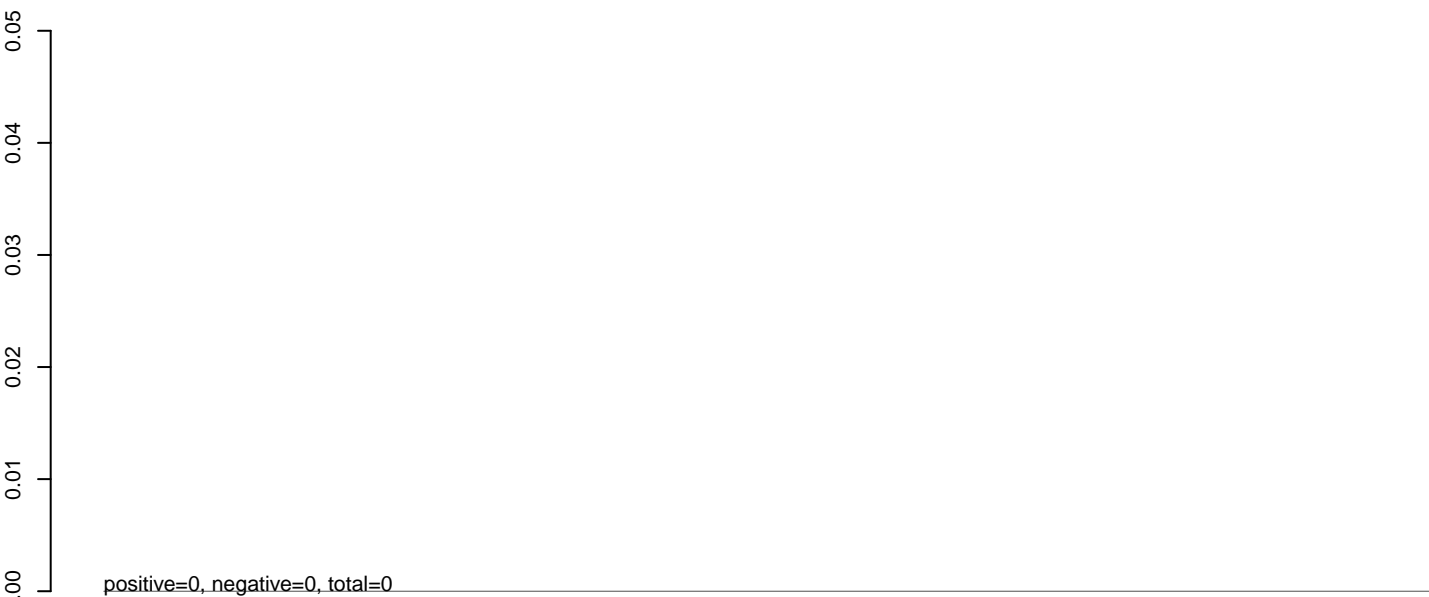
v size=25, length=1652, use @K=0148553.1-Gambie_virus_putative_nucleoprotein_putative_small_transmembrane_protein_putative_g:1-11652



AeAlbo_C636_cells_rep_3.18_23.rep



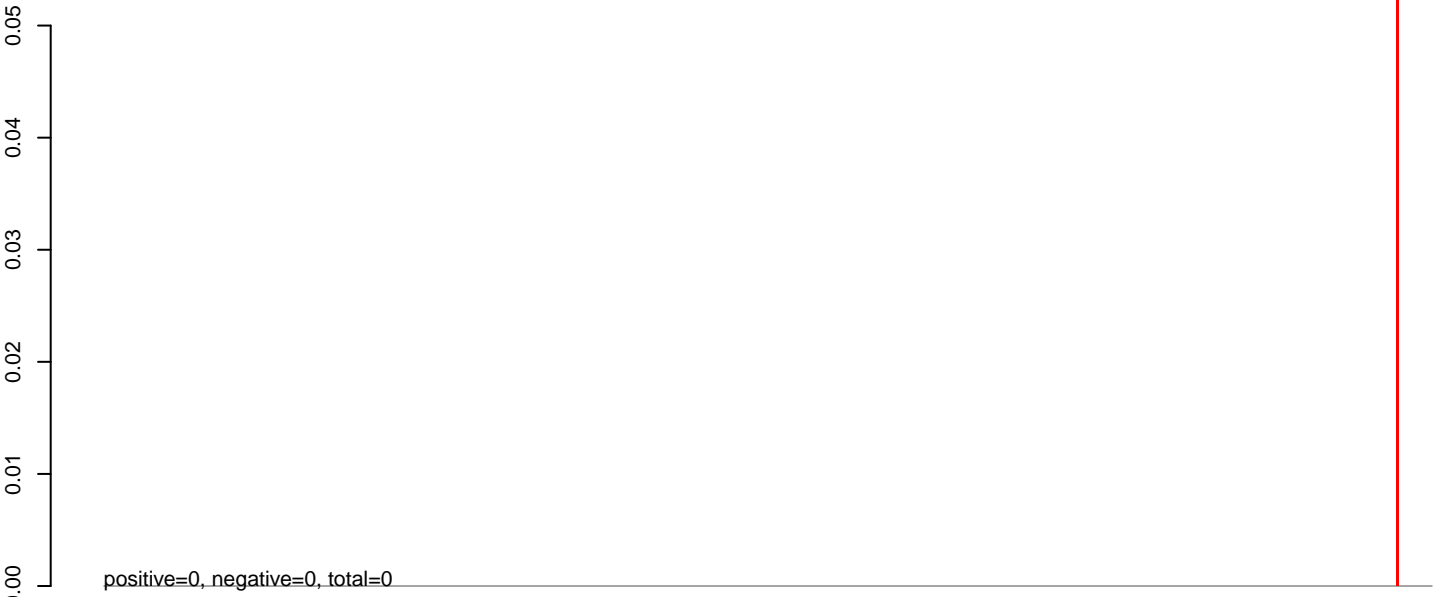
AeAlbo_C636_cells_rep_3.24_35.rep



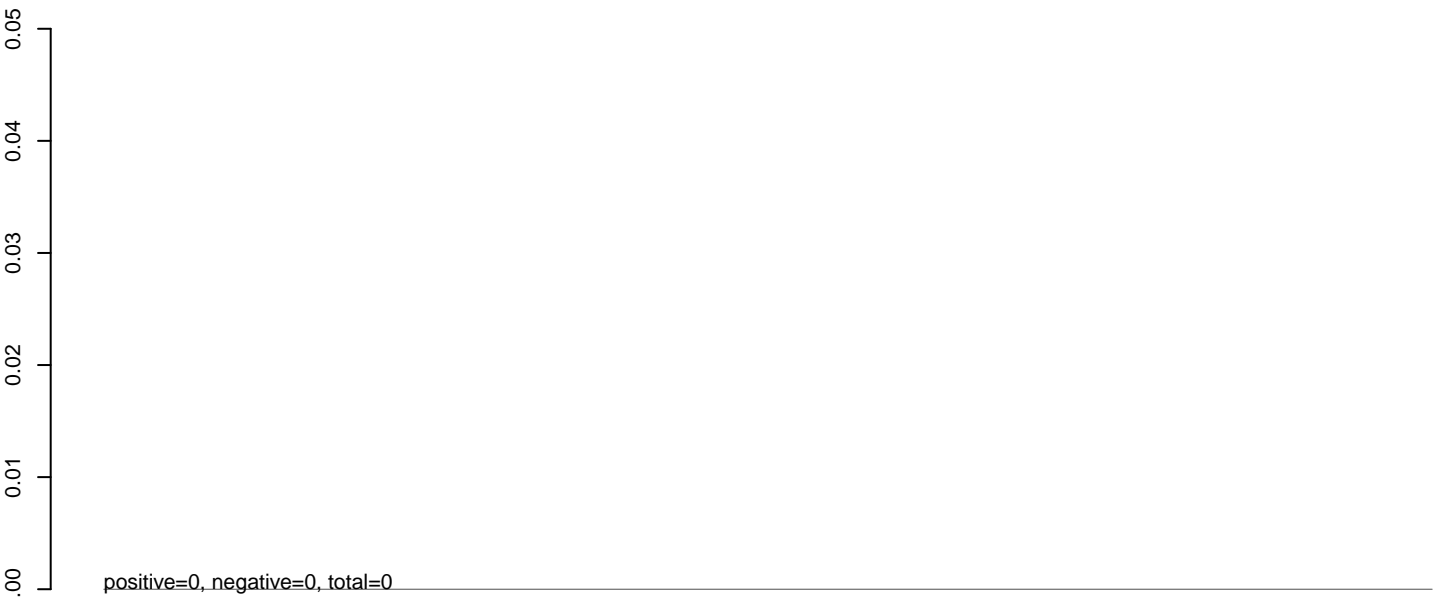
AeAlbo_C636_cells_rep_3.rep



AeAlbo_C636_cells_rep_3.18_23.rep



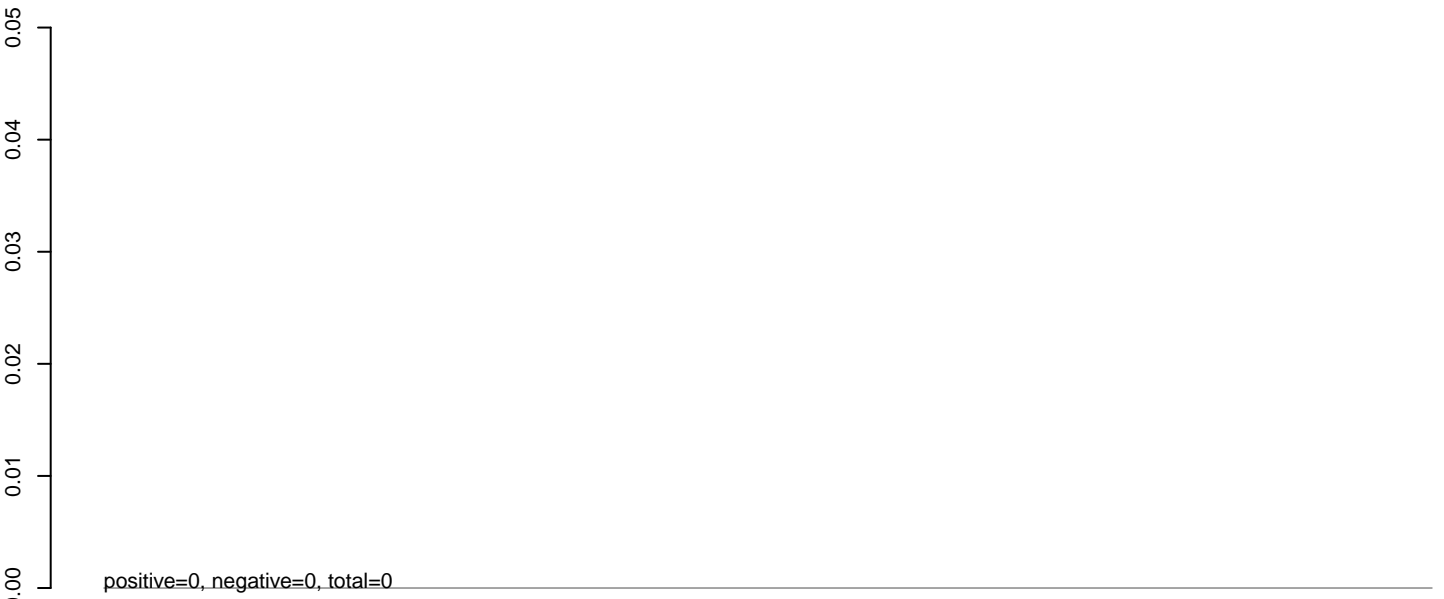
AeAlbo_C636_cells_rep_3.24_35.rep



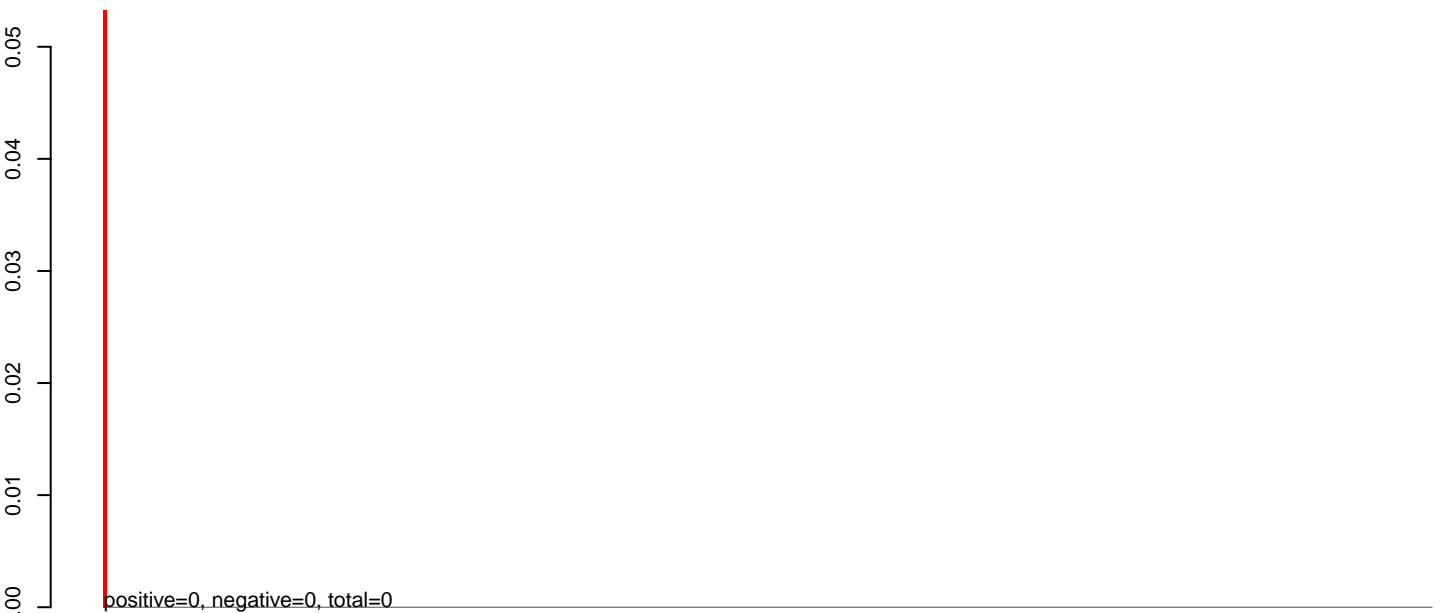
AeAlbo_C636_cells_rep_3.rep



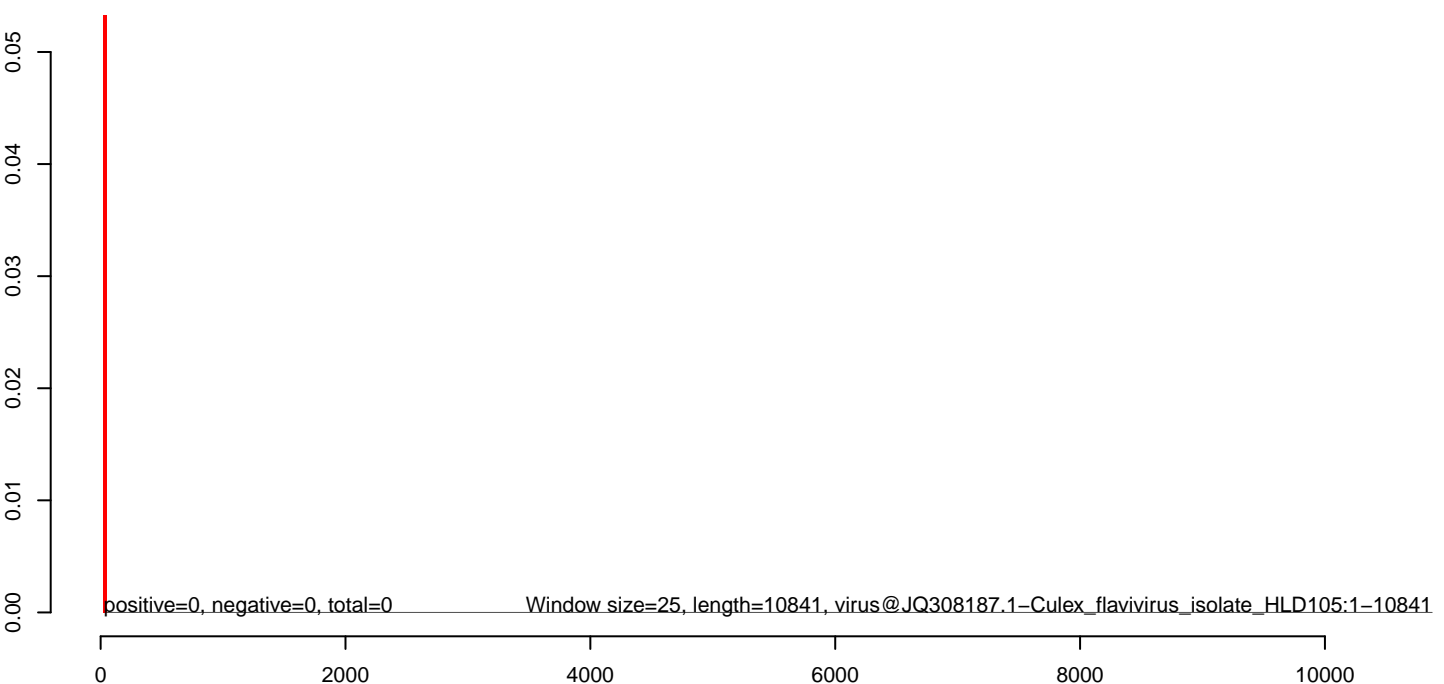
AeAlbo_C636_cells_rep_3.18_23.rep



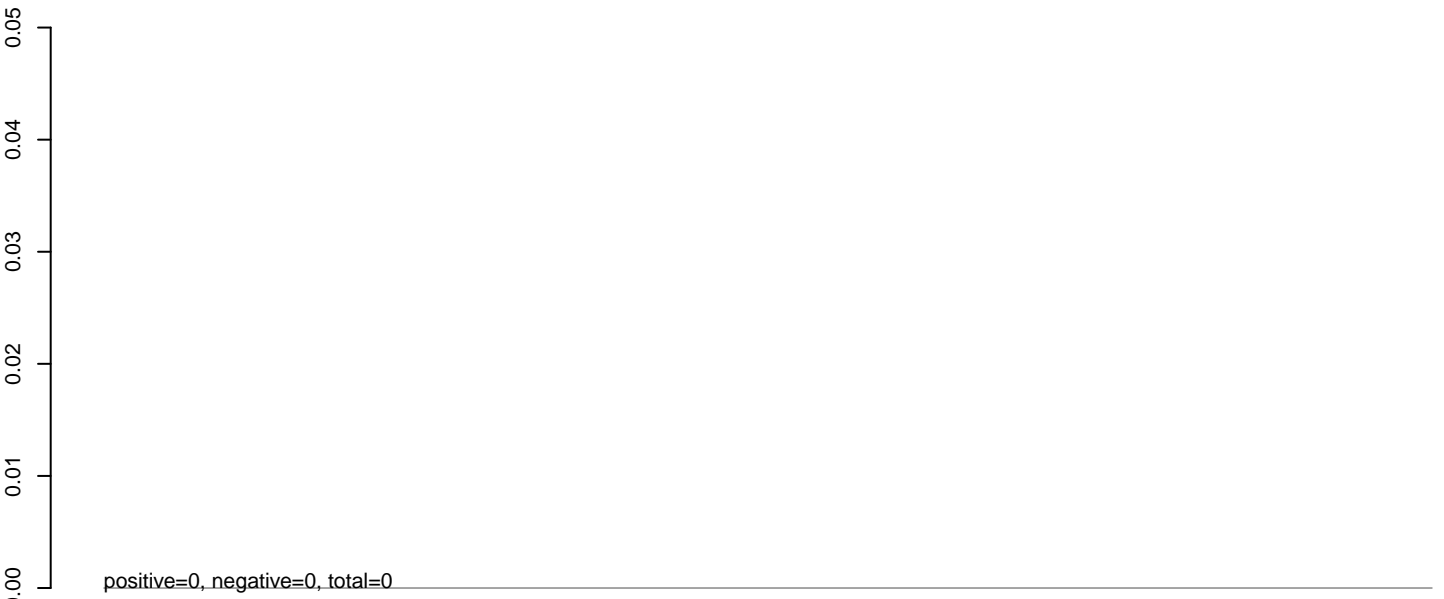
AeAlbo_C636_cells_rep_3.24_35.rep



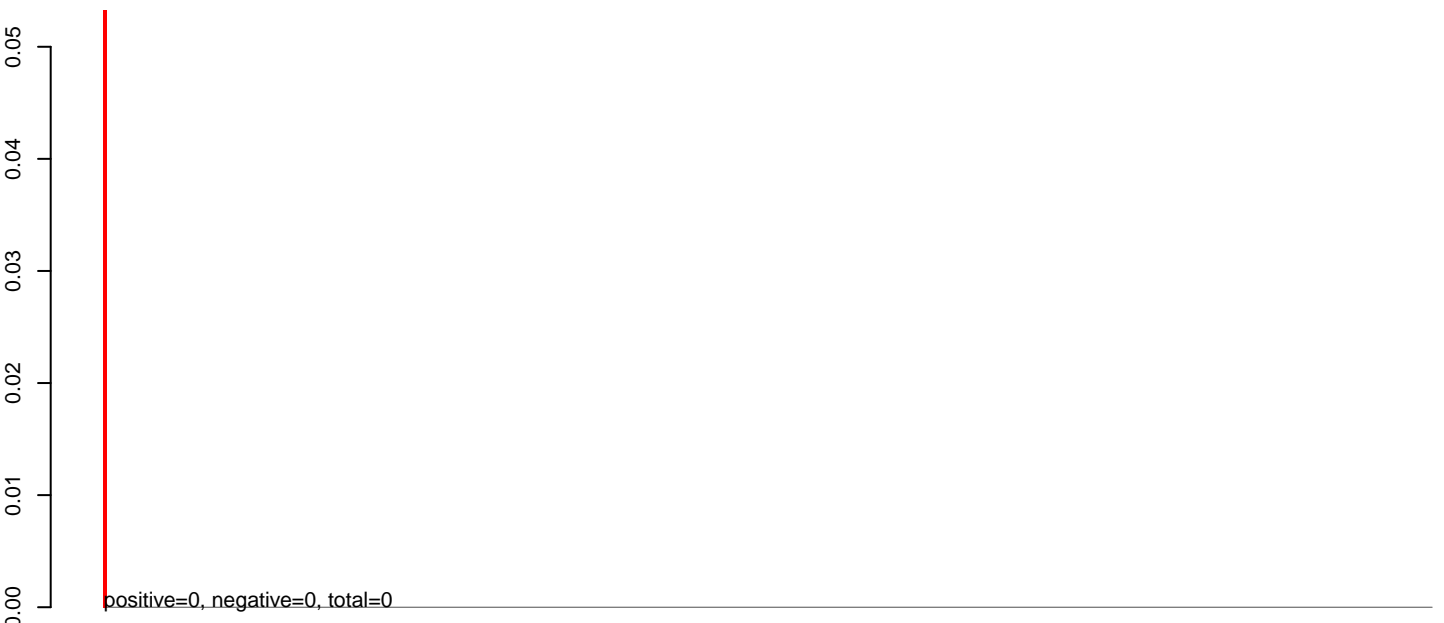
AeAlbo_C636_cells_rep_3.rep



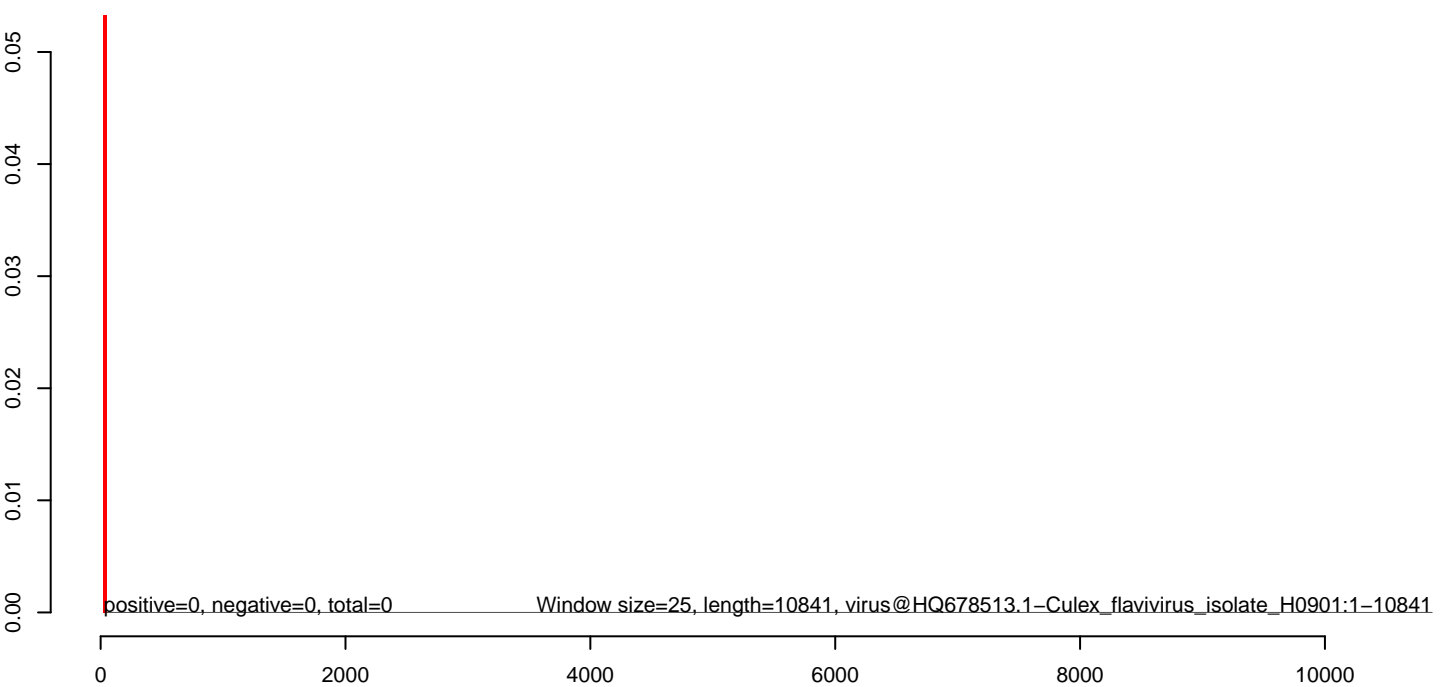
AeAlbo_C636_cells_rep_3.18_23.rep



AeAlbo_C636_cells_rep_3.24_35.rep



AeAlbo_C636_cells_rep_3.rep



AeAlbo_C636_cells_rep_3.18_23.rep

0.00
-0.01
-0.02
-0.03
-0.04
-0.05

positive=0, negative=0, total=0

AeAlbo_C636_cells_rep_3.24_35.rep

0.00
-0.01
-0.02
-0.03
-0.04
-0.05

positive=0, negative=0, total=0

AeAlbo_C636_cells_rep_3.rep

0.00
-0.01
-0.02
-0.03
-0.04
-0.05

positive=0, negative=0, total=0, window size=25, length=10774, virus@HM055369.1-Kyasanur_forest_disease_virus_strain_KFD_P_9605:1-10774

0 2000 4000 6000 8000 10000

AeAlbo_C636_cells_rep_3.18_23.rep

0.00
-0.01
-0.02
-0.03
-0.04
-0.05

positive=0, negative=0, total=0

AeAlbo_C636_cells_rep_3.24_35.rep

0.00
-0.01
-0.02
-0.03
-0.04
-0.05

positive=0, negative=0, total=0

AeAlbo_C636_cells_rep_3.rep

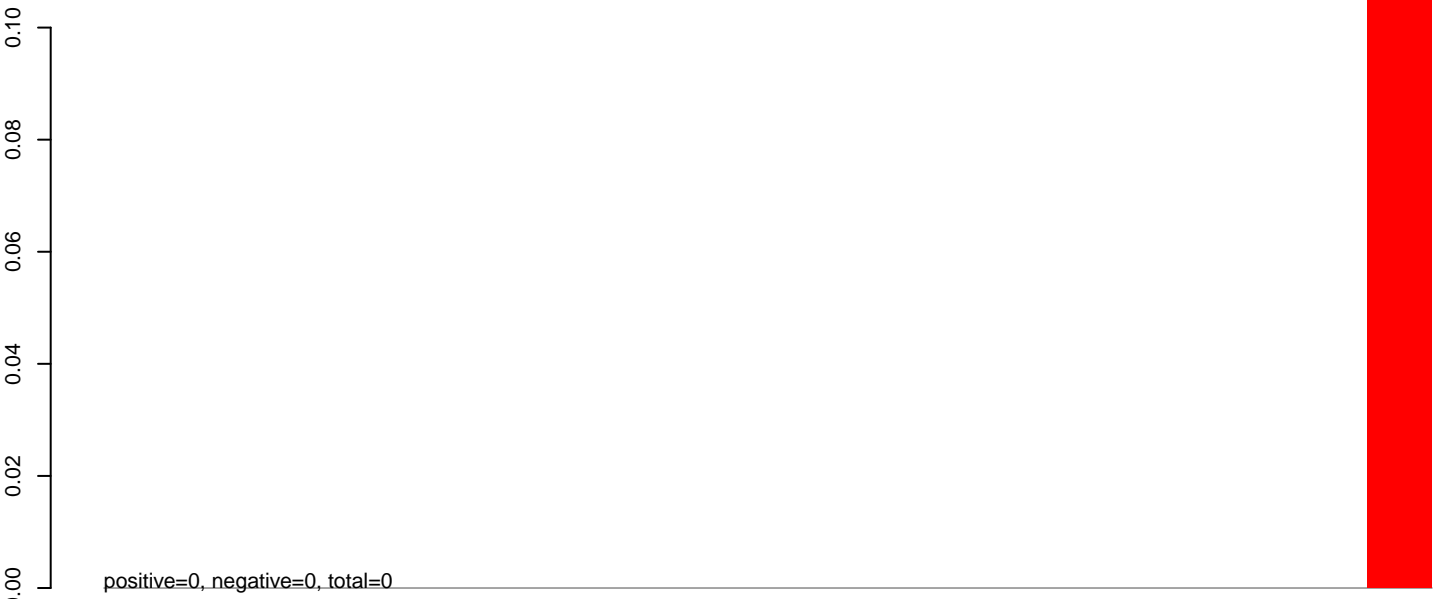
0.00
-0.01
-0.02
-0.03
-0.04
-0.05

positive=0, negative=0, total=0

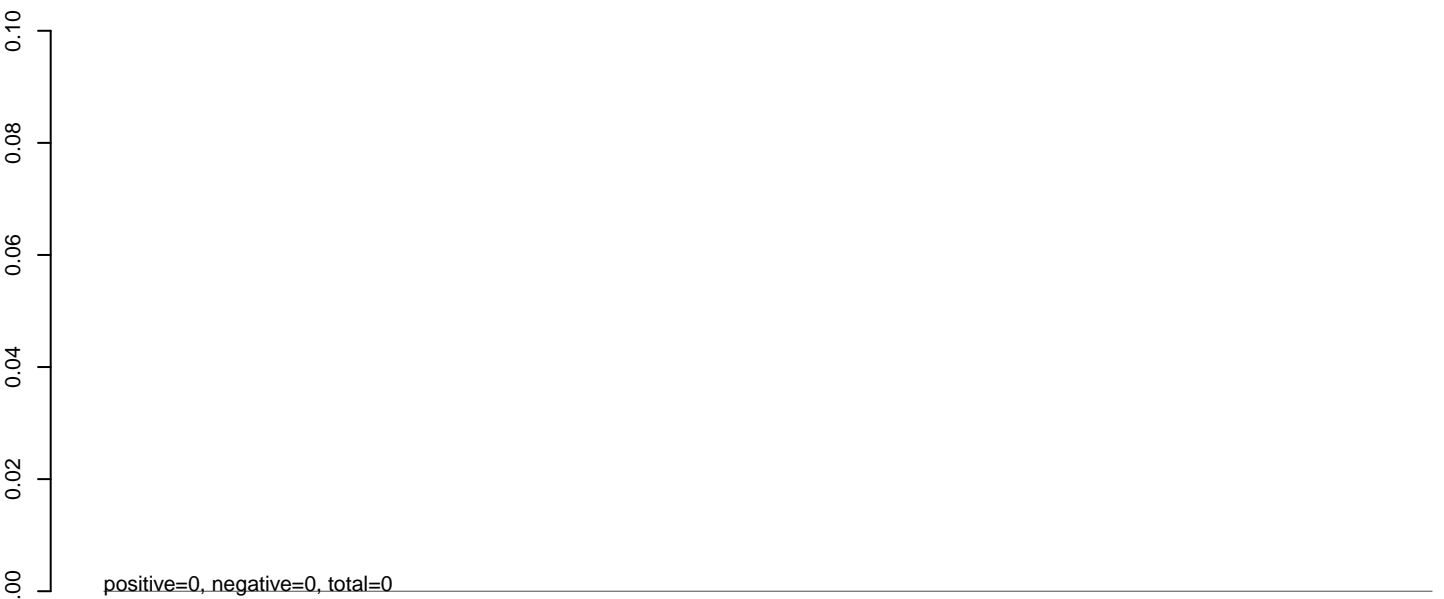
Window size=25, length=10837, virus@EU879060.1-Culex_flavivirus_strain_CxFV-Mex07:1-10837

0 2000 4000 6000 8000 10000

AeAlbo_C636_cells_rep_3.18_23.rep



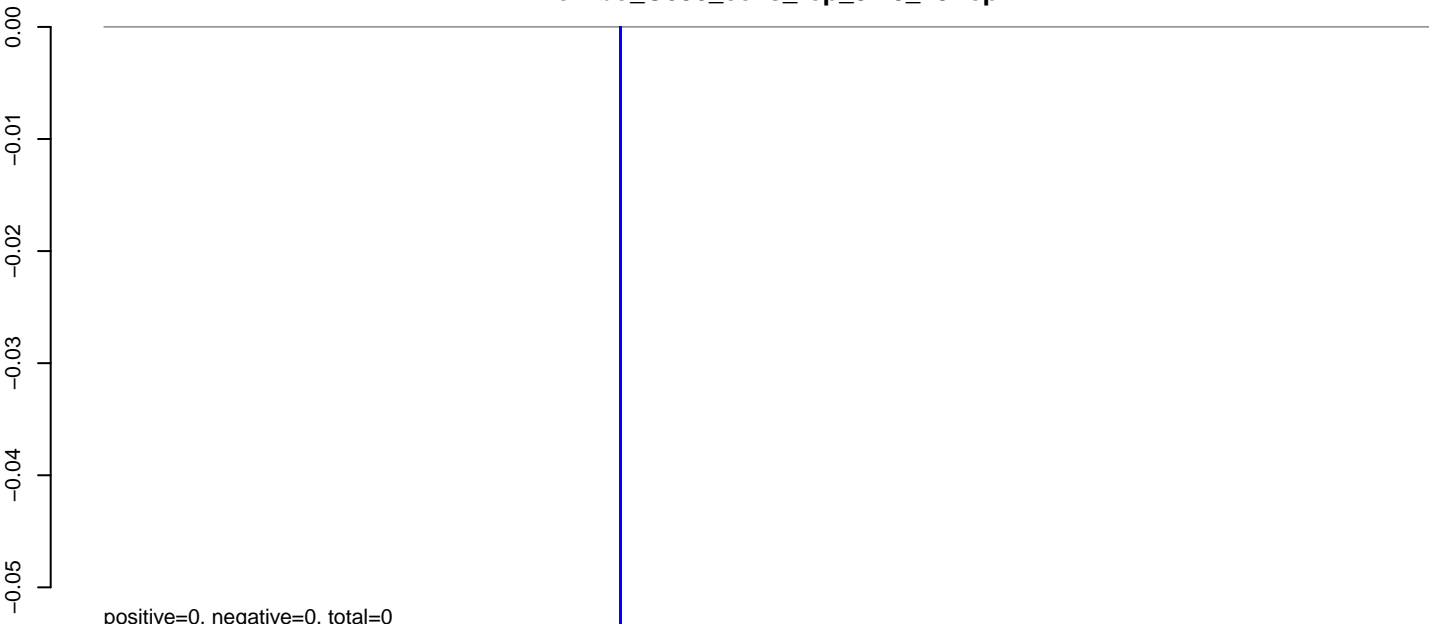
AeAlbo_C636_cells_rep_3.24_35.rep



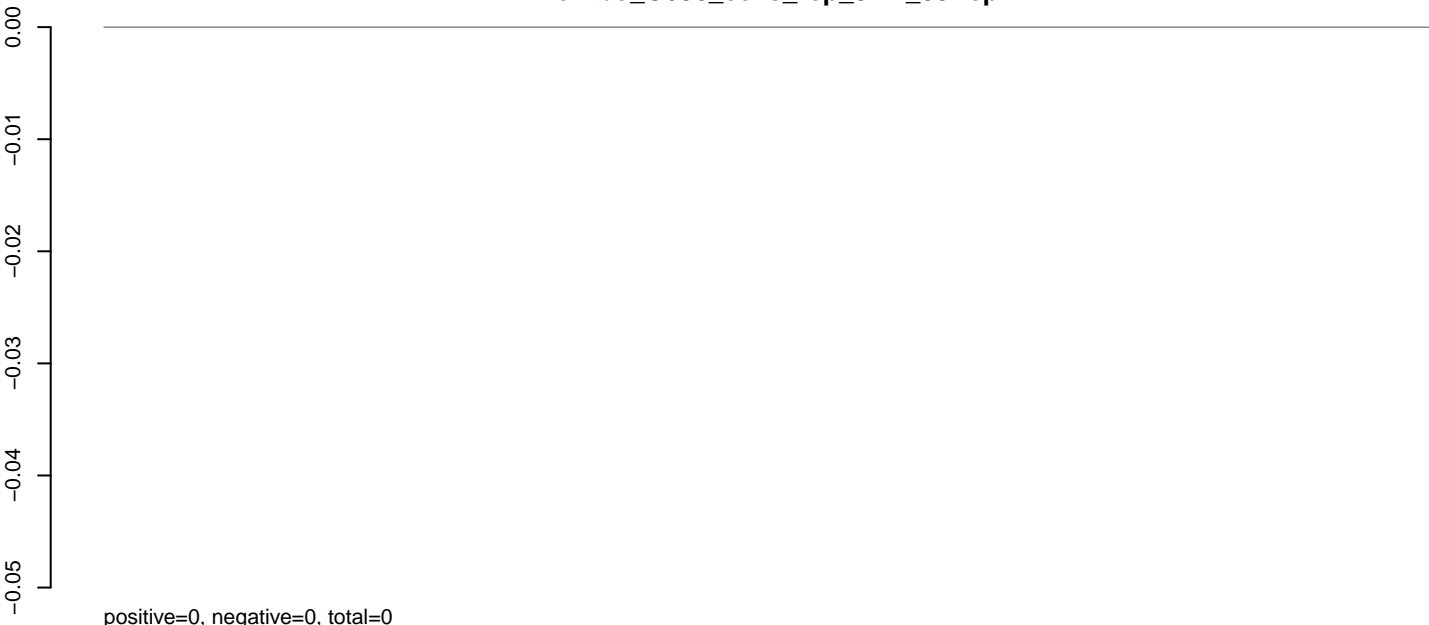
AeAlbo_C636_cells_rep_3.rep



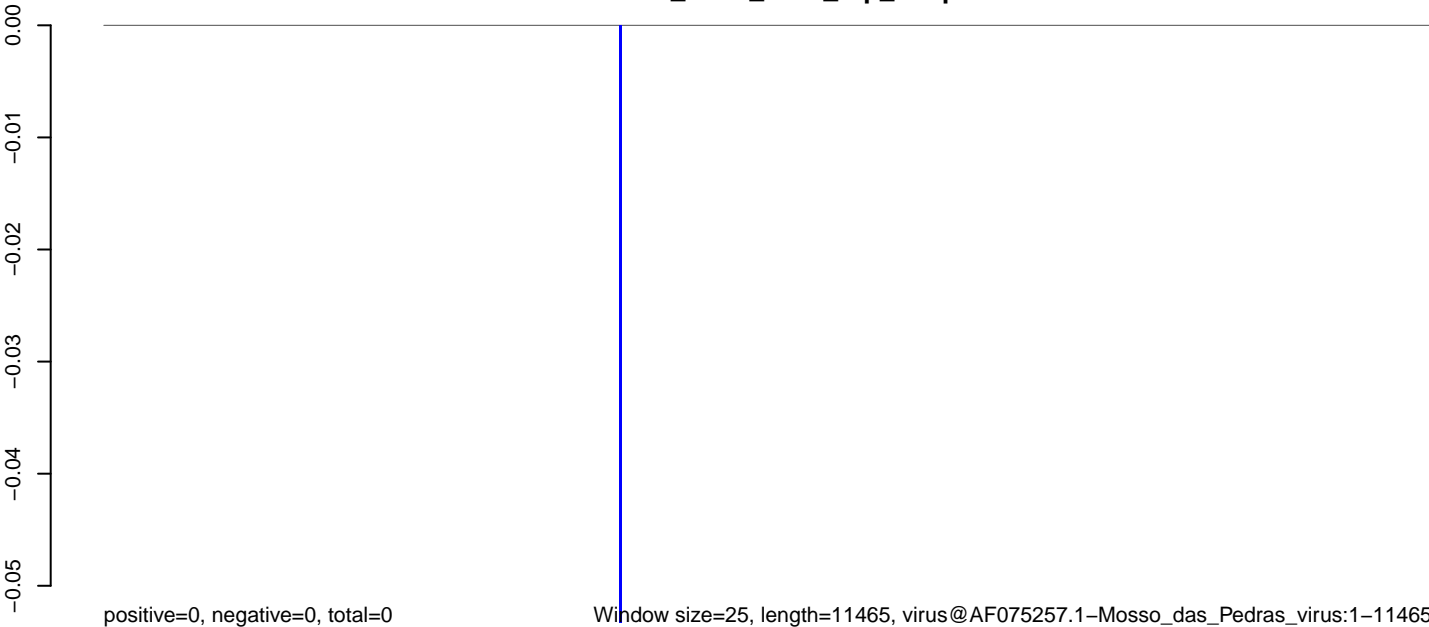
AeAlbo_C636_cells_rep_3.18_23.rep



AeAlbo_C636_cells_rep_3.24_35.rep

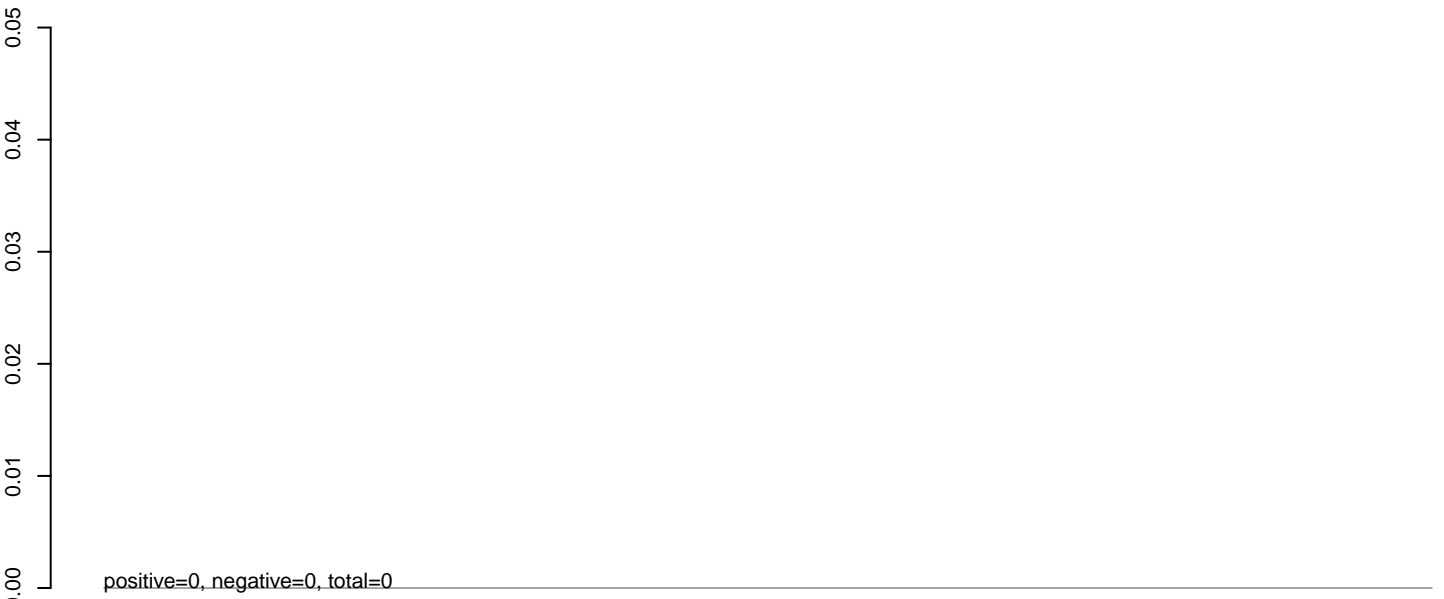


AeAlbo_C636_cells_rep_3.rep

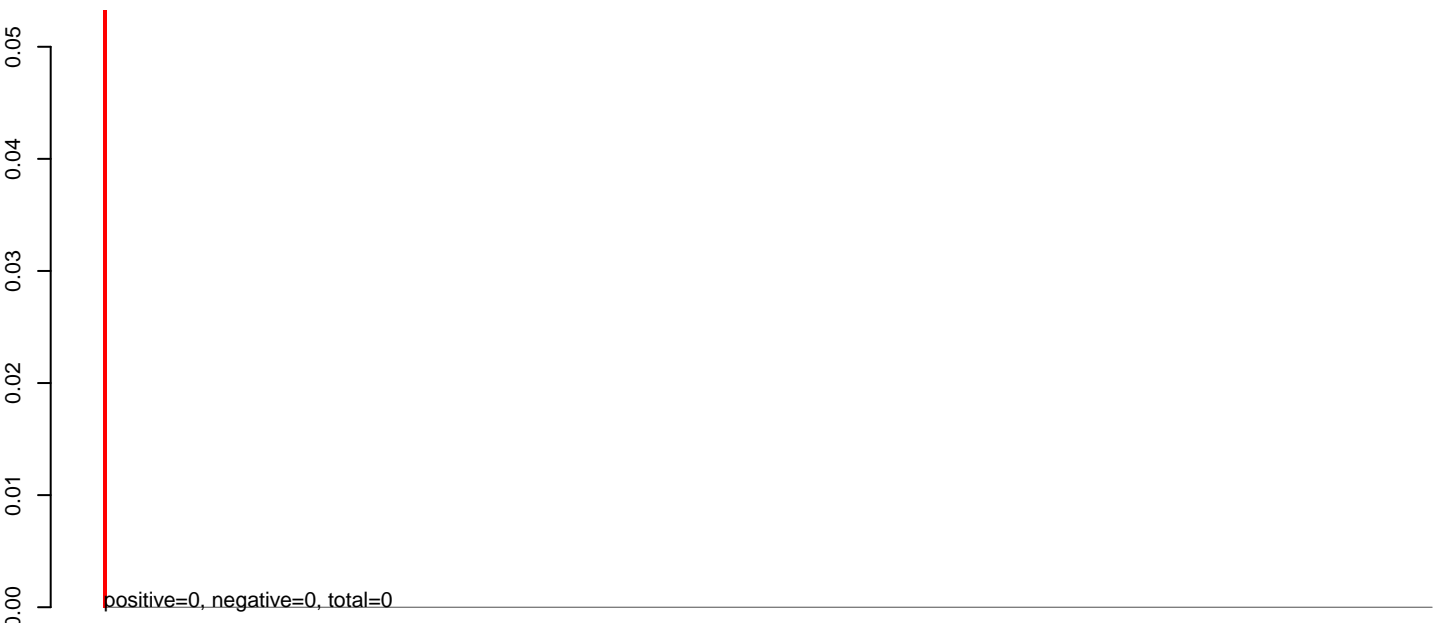


0 2000 4000 6000 8000 10000

AeAlbo_C636_cells_rep_3.18_23.rep



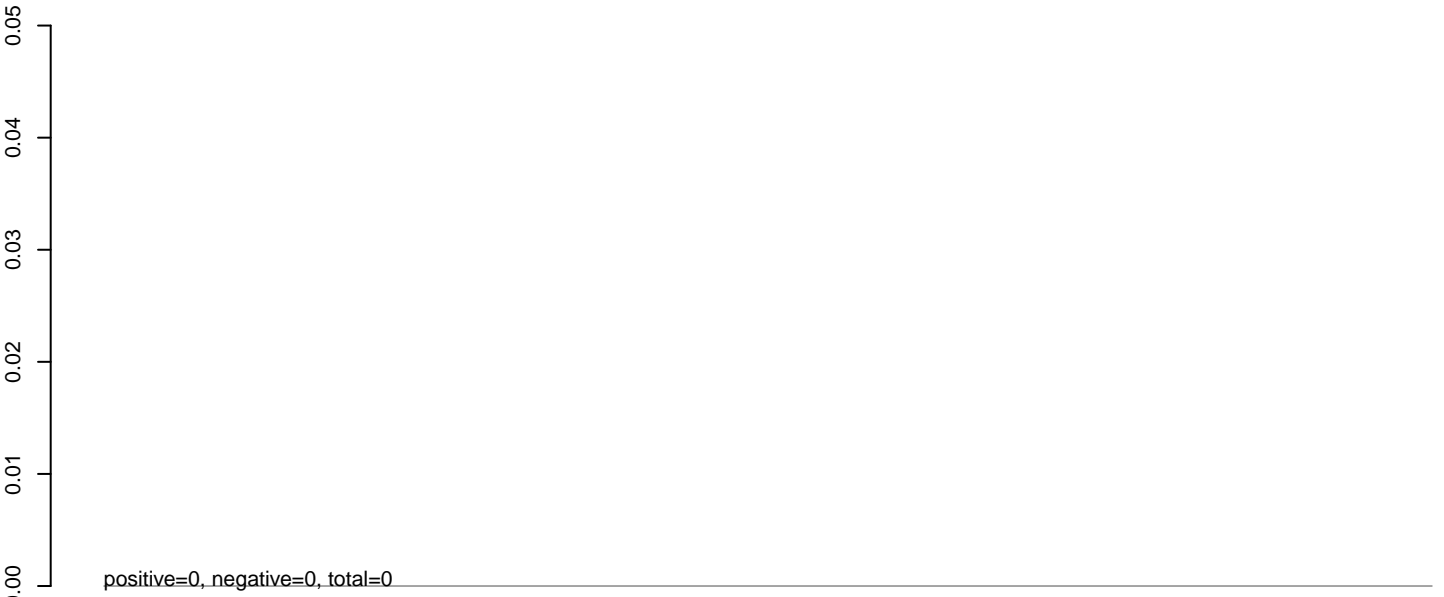
AeAlbo_C636_cells_rep_3.24_35.rep



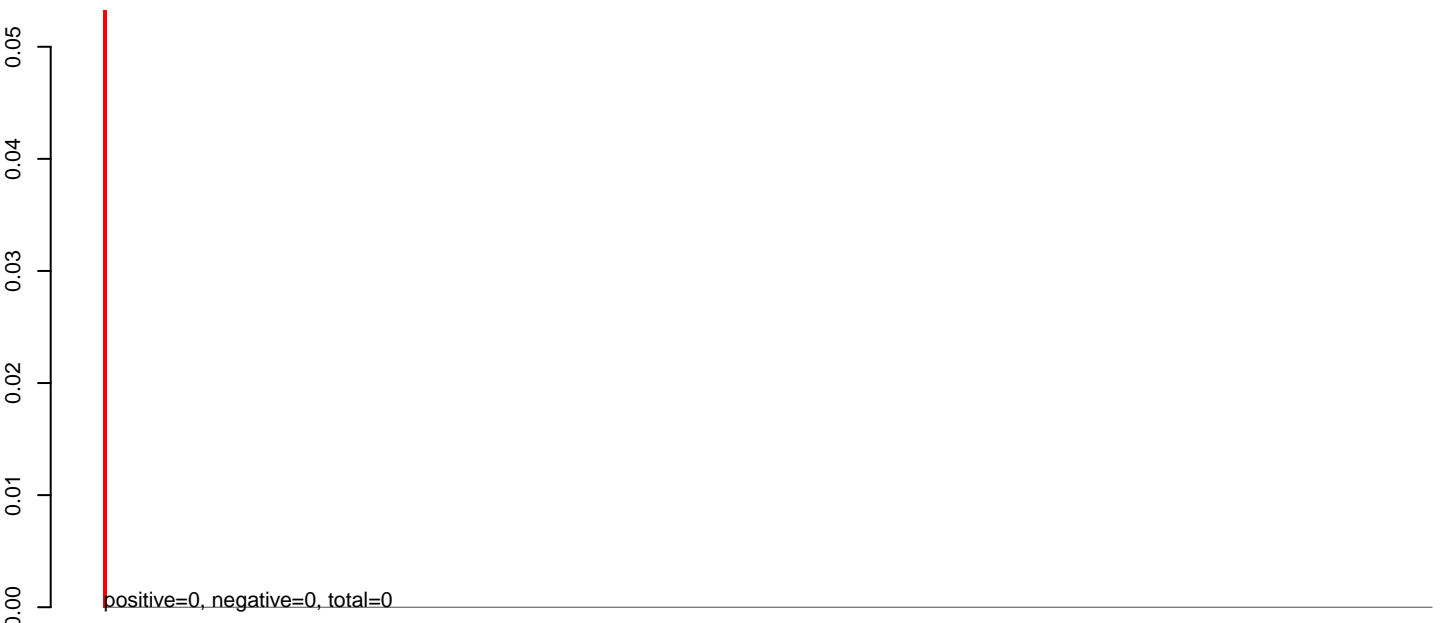
AeAlbo_C636_cells_rep_3.rep



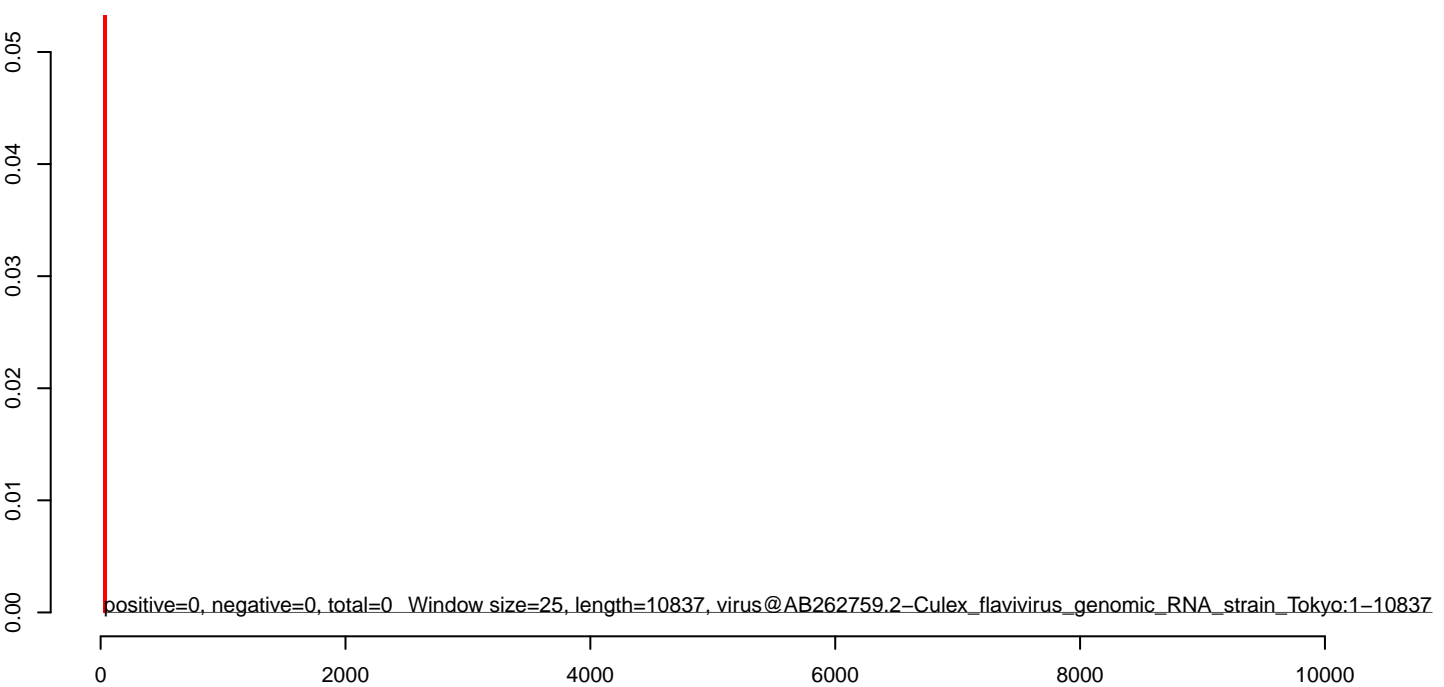
AeAlbo_C636_cells_rep_3.18_23.rep



AeAlbo_C636_cells_rep_3.24_35.rep



AeAlbo_C636_cells_rep_3.rep



AeAlbo_C636_cells_rep_3.18_23.rep



AeAlbo_C636_cells_rep_3.24_35.rep



AeAlbo_C636_cells_rep_3.rep



0 5000 10000 15000 20000

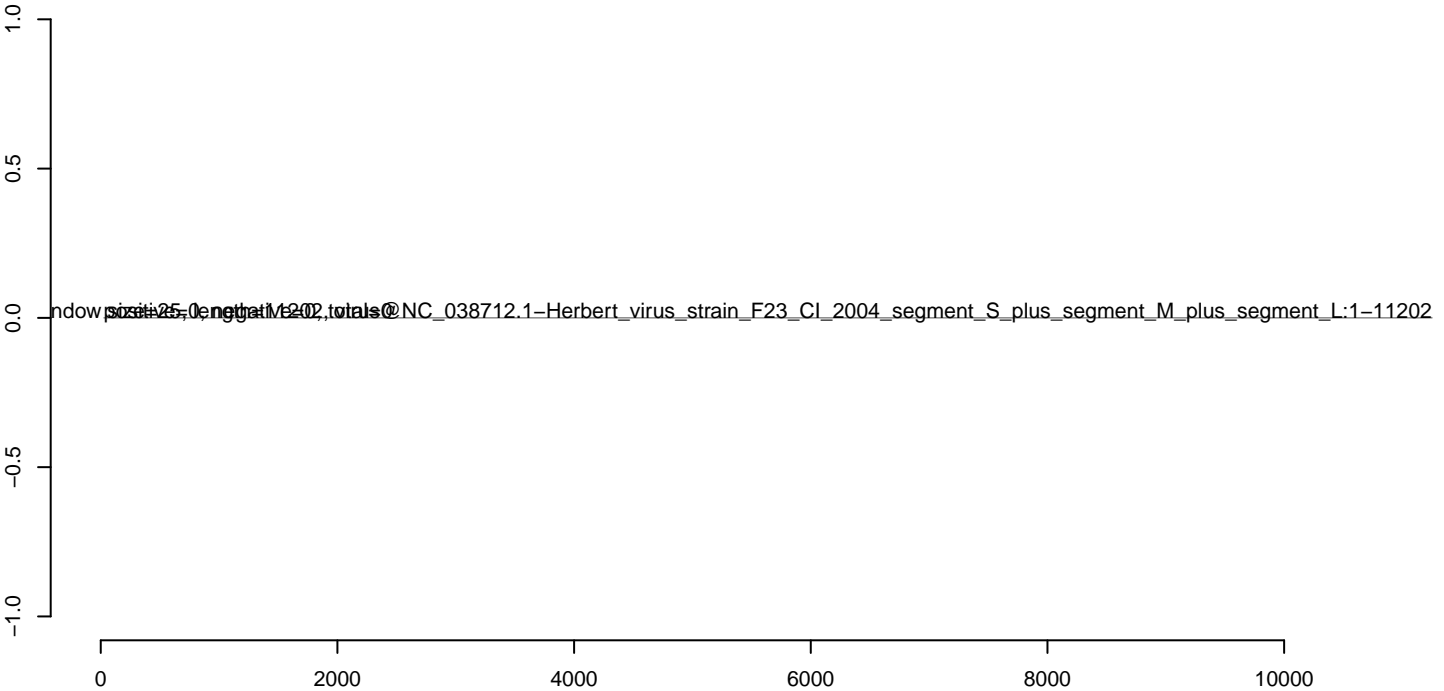
AeAlbo_C636_cells_rep_3.18_23.rep



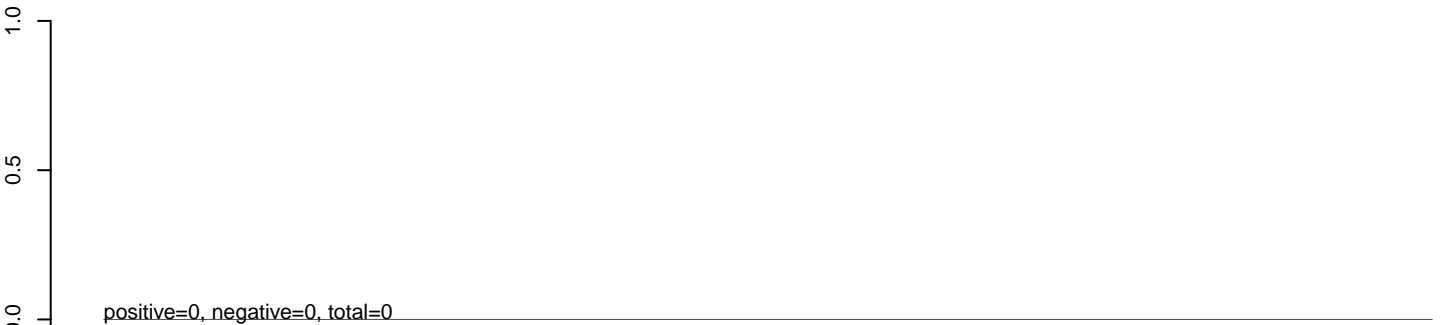
AeAlbo_C636_cells_rep_3.24_35.rep



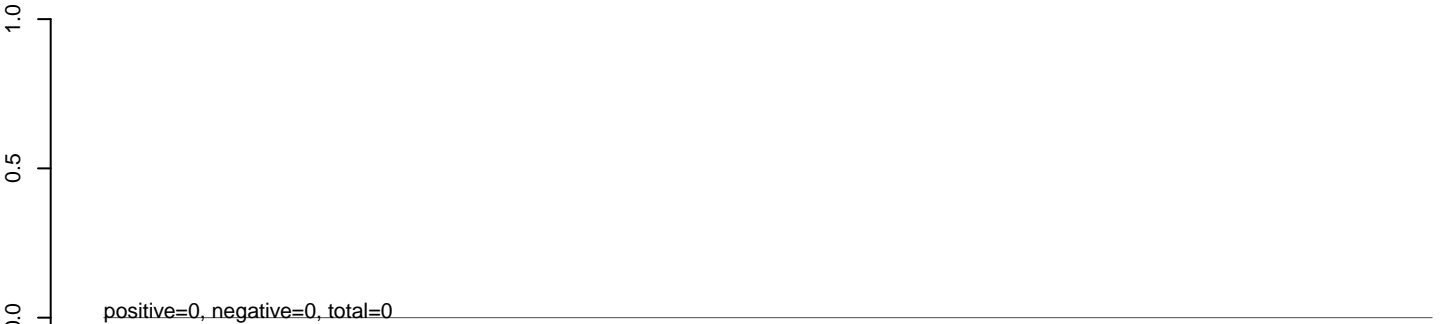
AeAlbo_C636_cells_rep_3.rep



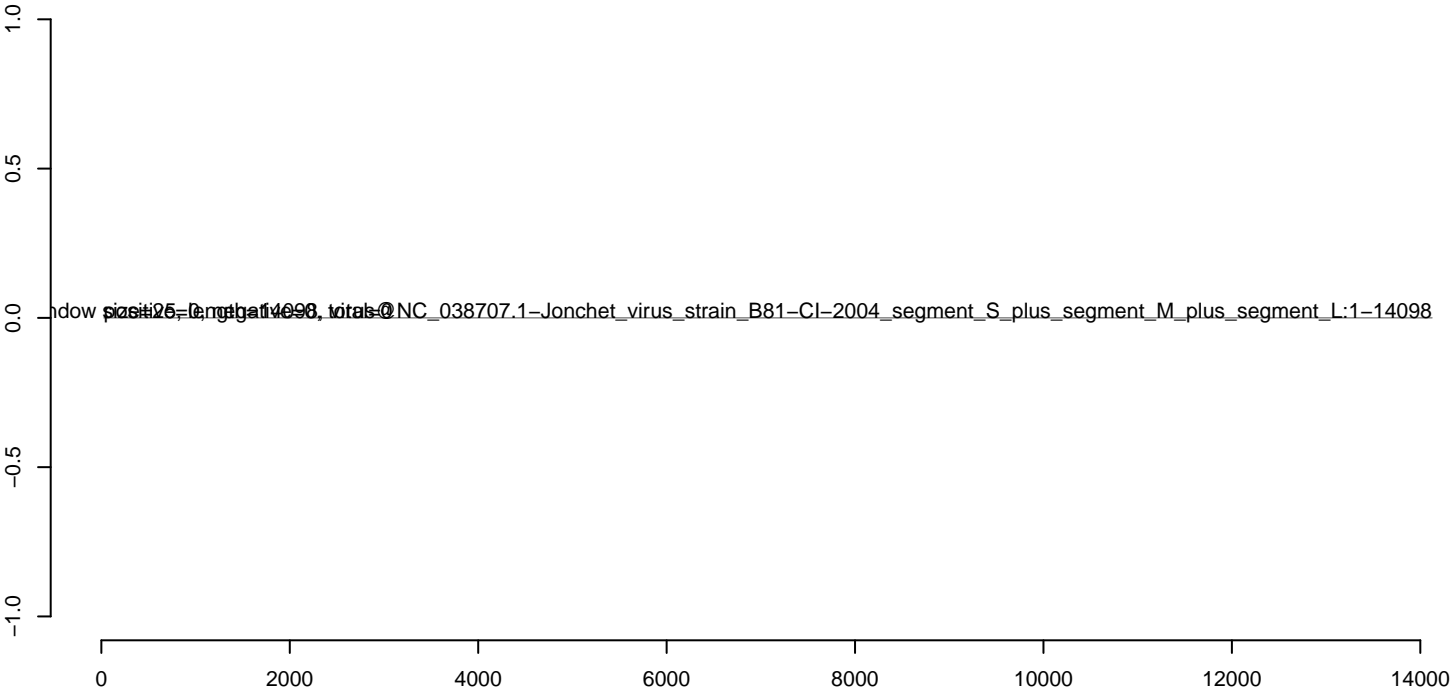
AeAlbo_C636_cells_rep_3.18_23.rep



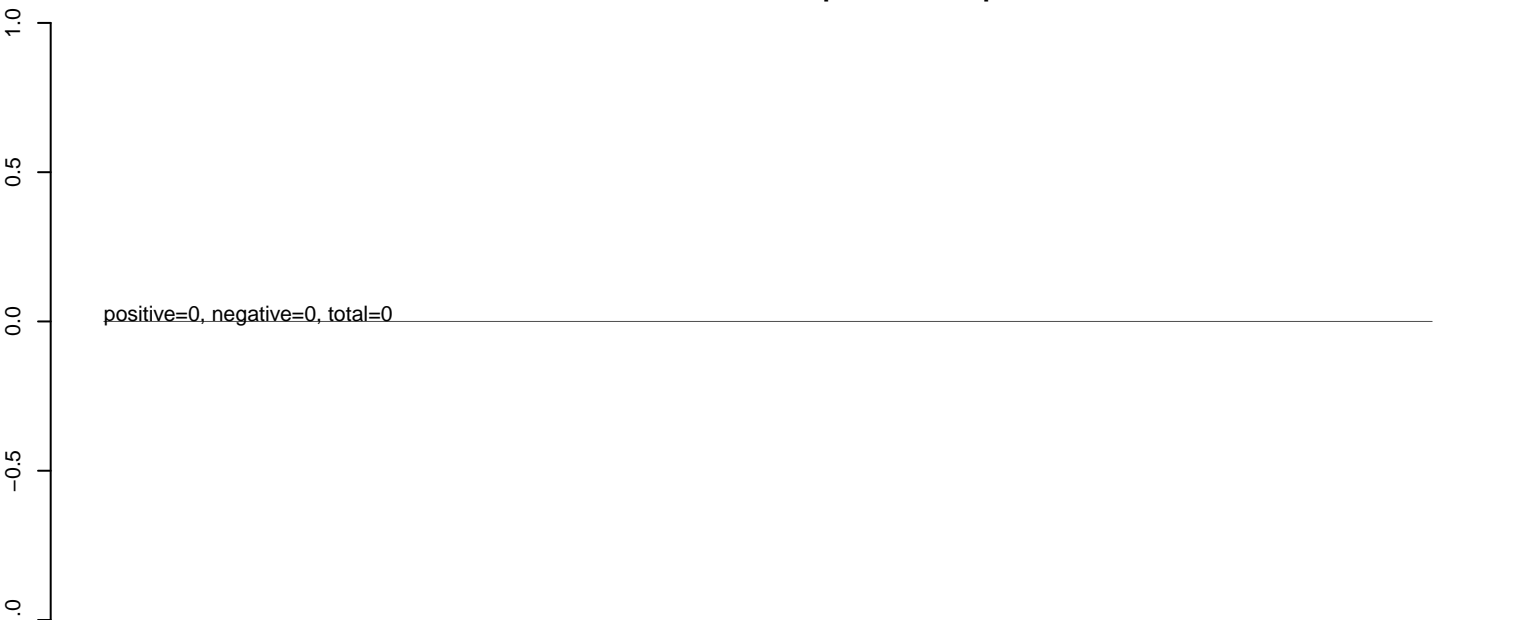
AeAlbo_C636_cells_rep_3.24_35.rep



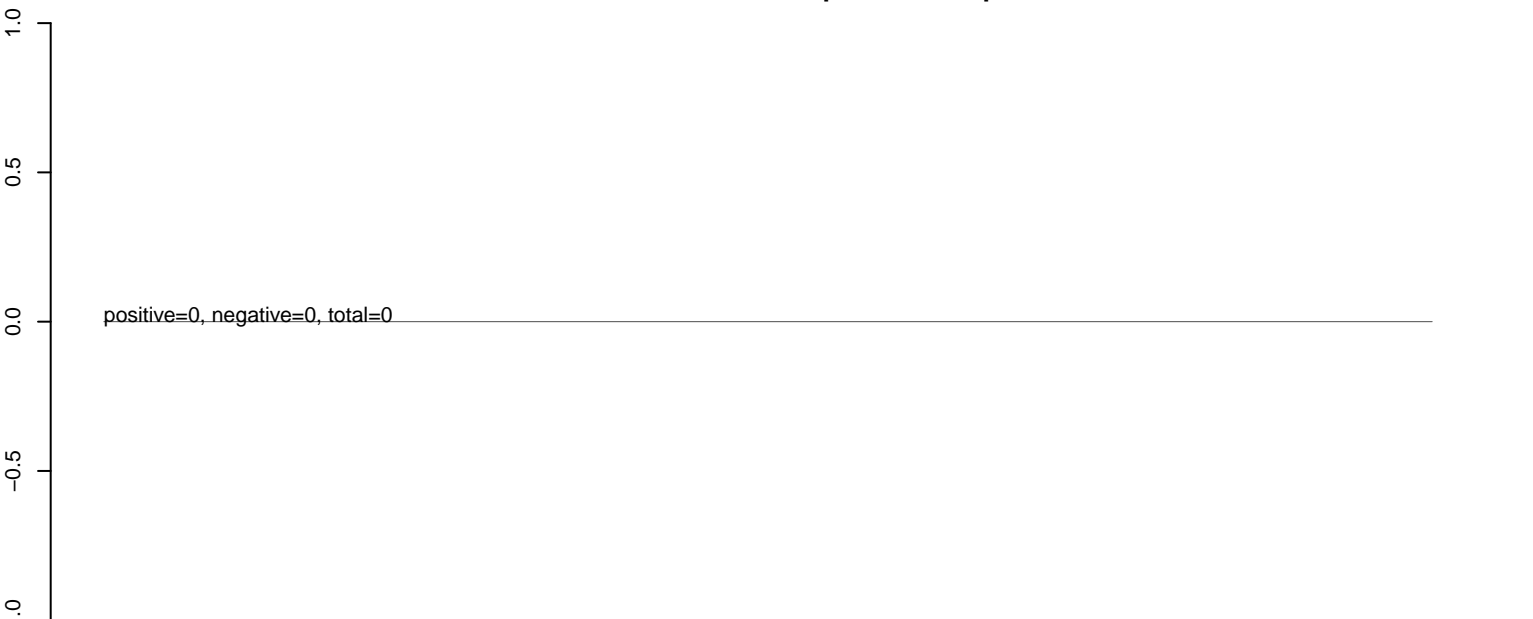
AeAlbo_C636_cells_rep_3.rep



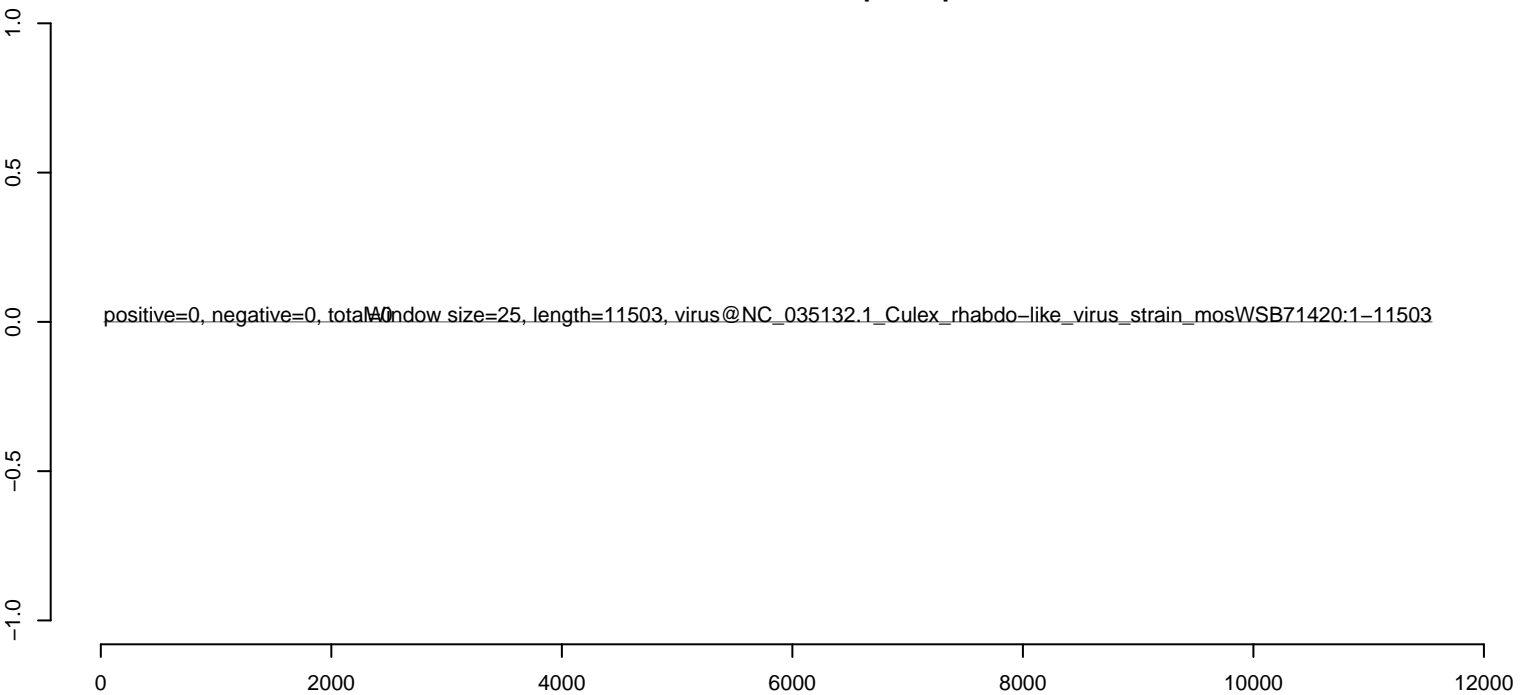
AeAlbo_C636_cells_rep_3.18_23.rep



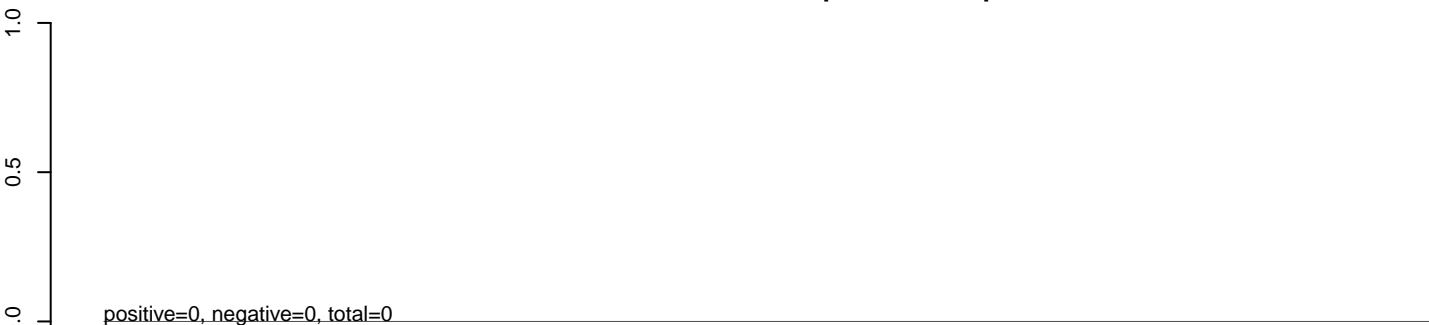
AeAlbo_C636_cells_rep_3.24_35.rep



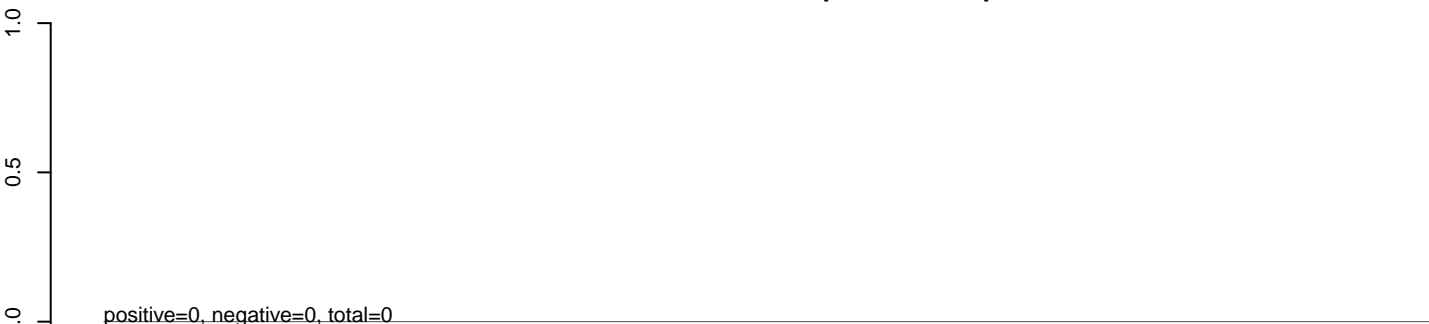
AeAlbo_C636_cells_rep_3.rep



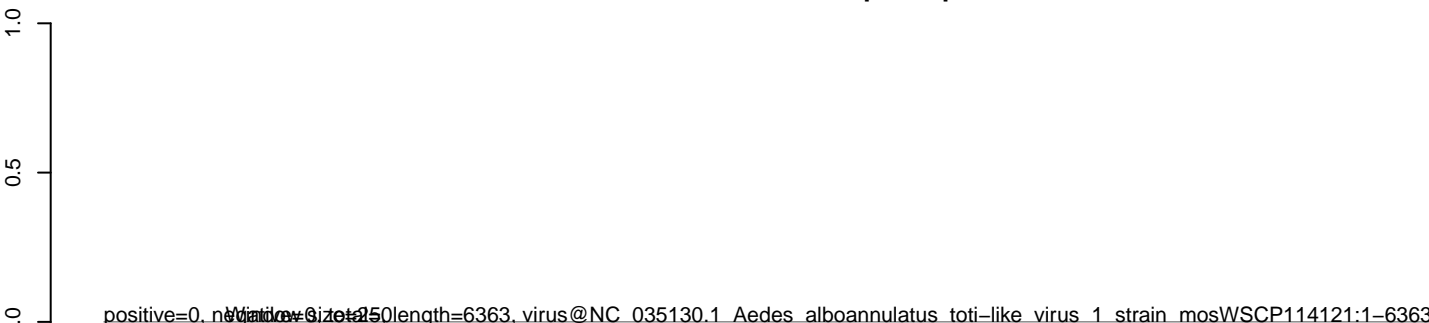
AeAlbo_C636_cells_rep_3.18_23.rep



AeAlbo_C636_cells_rep_3.24_35.rep



AeAlbo_C636_cells_rep_3.rep



0 1000 2000 3000 4000 5000 6000

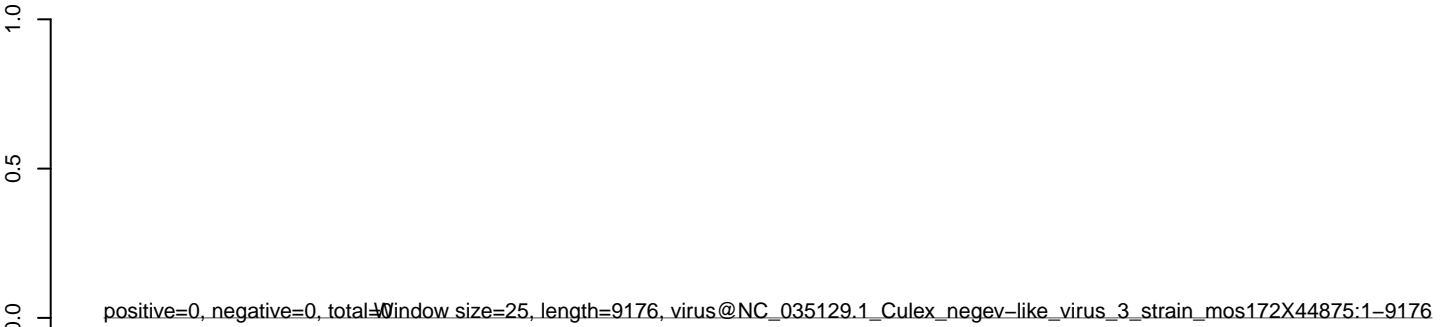
AeAlbo_C636_cells_rep_3.18_23.rep



AeAlbo_C636_cells_rep_3.24_35.rep



AeAlbo_C636_cells_rep_3.rep



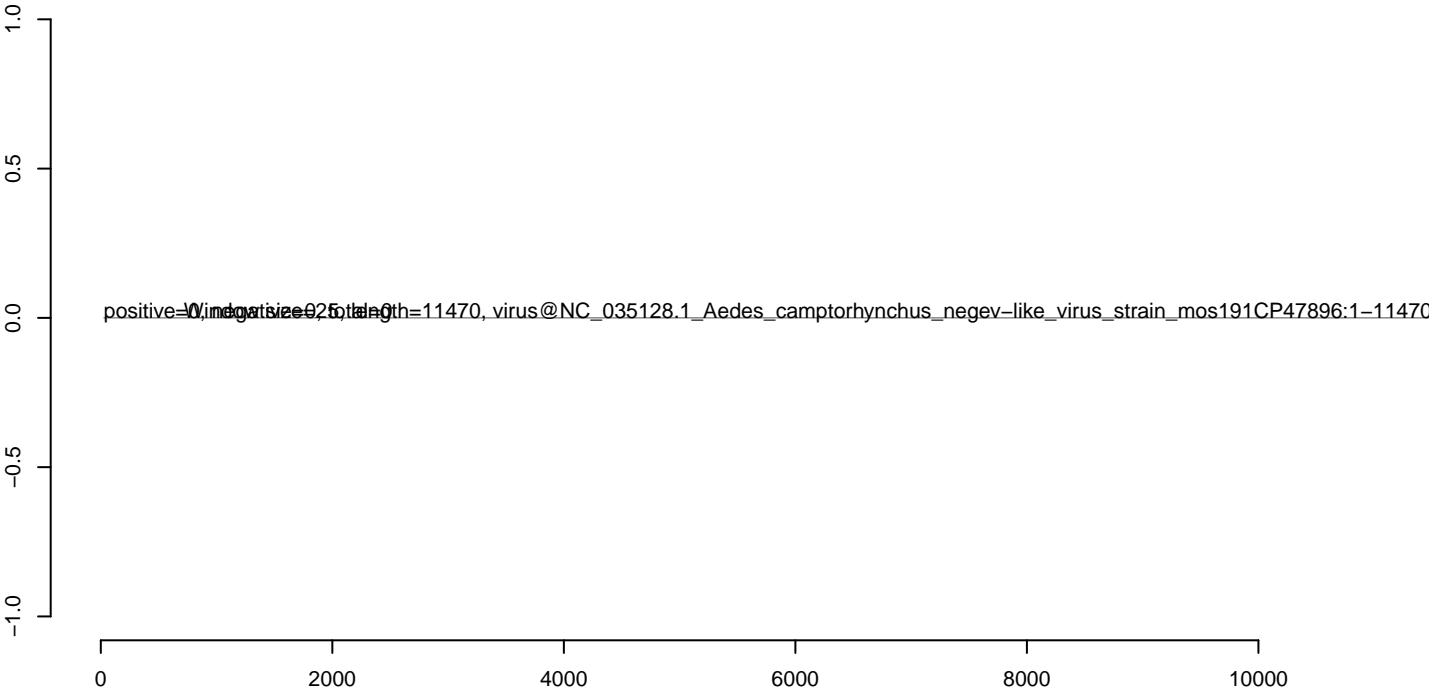
AeAlbo_C636_cells_rep_3.18_23.rep



AeAlbo_C636_cells_rep_3.24_35.rep



AeAlbo_C636_cells_rep_3.rep



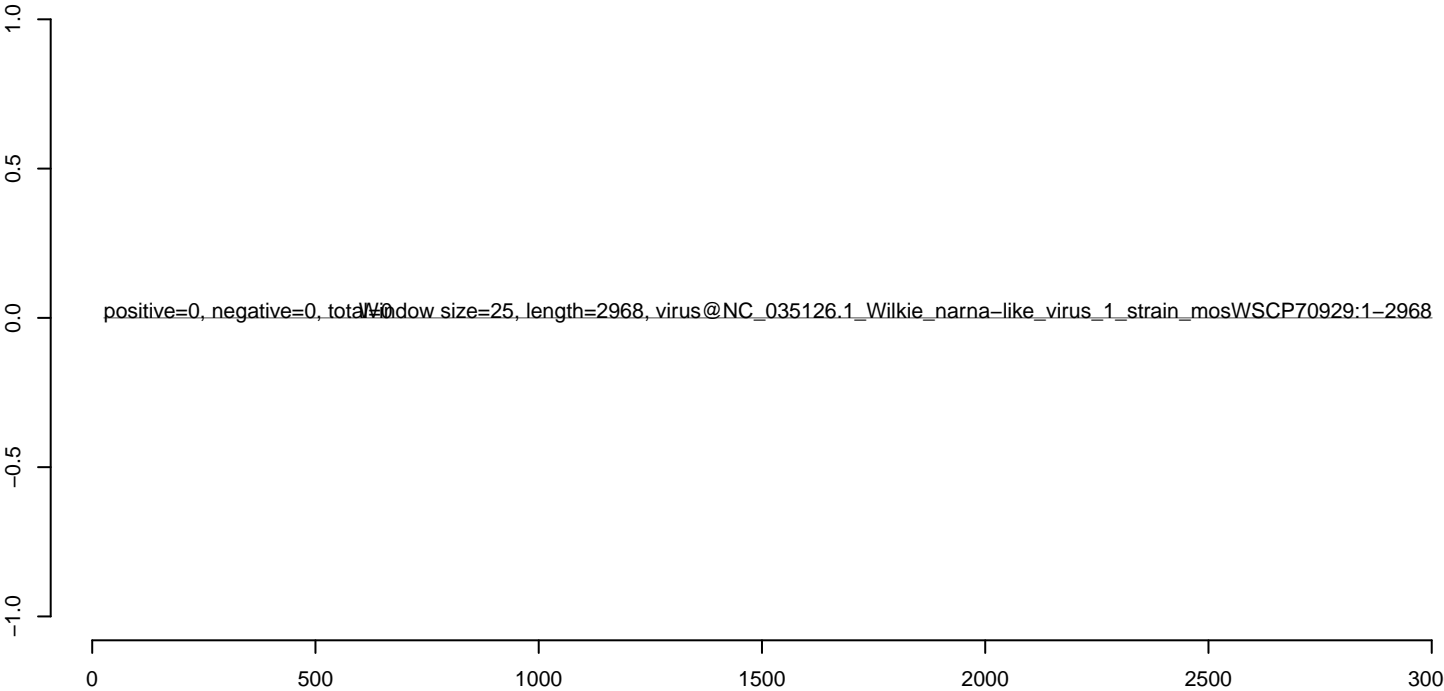
AeAlbo_C636_cells_rep_3.18_23.rep



AeAlbo_C636_cells_rep_3.24_35.rep



AeAlbo_C636_cells_rep_3.rep



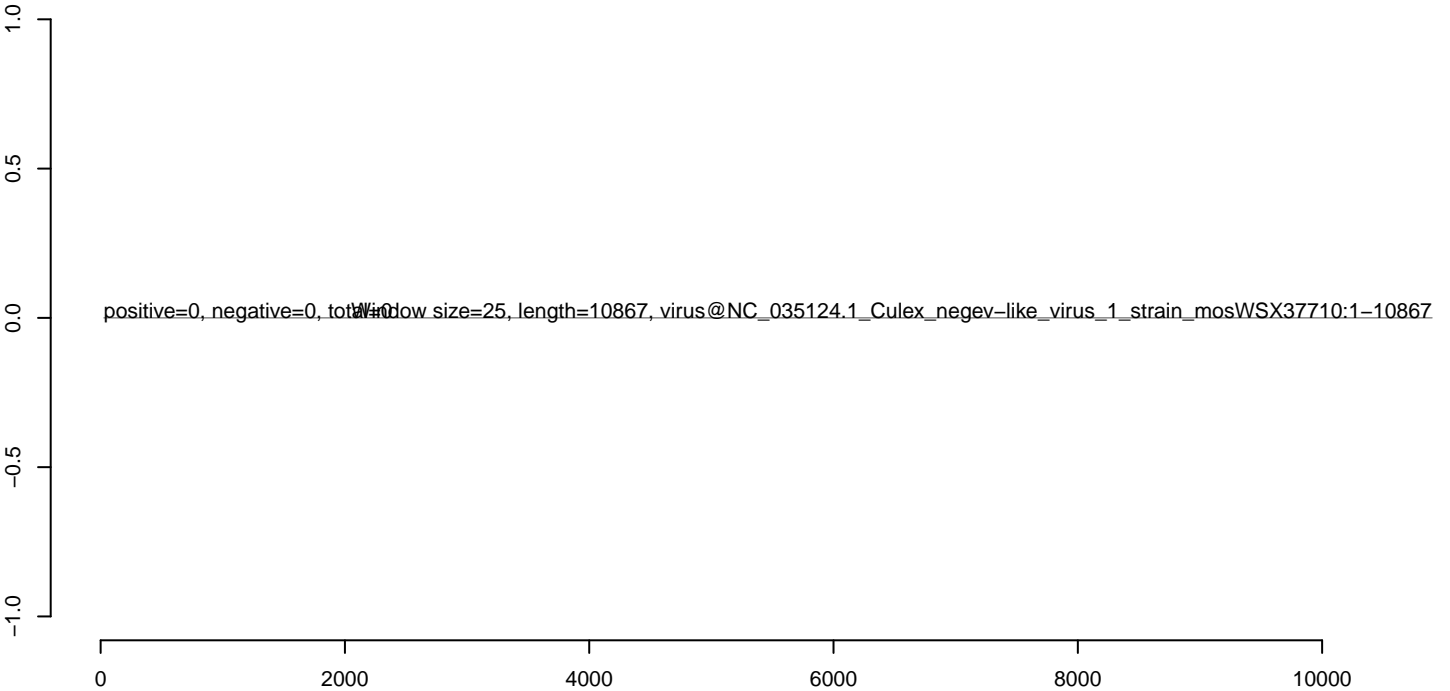
AeAlbo_C636_cells_rep_3.18_23.rep



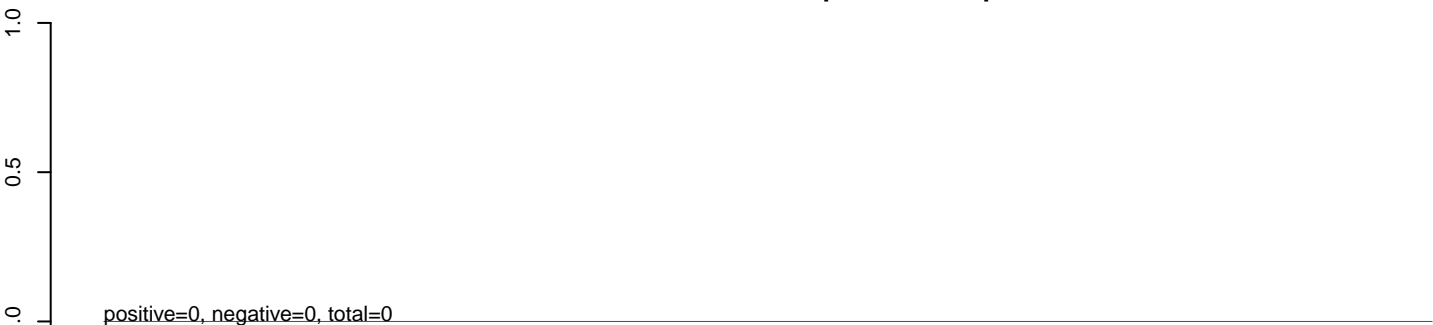
AeAlbo_C636_cells_rep_3.24_35.rep



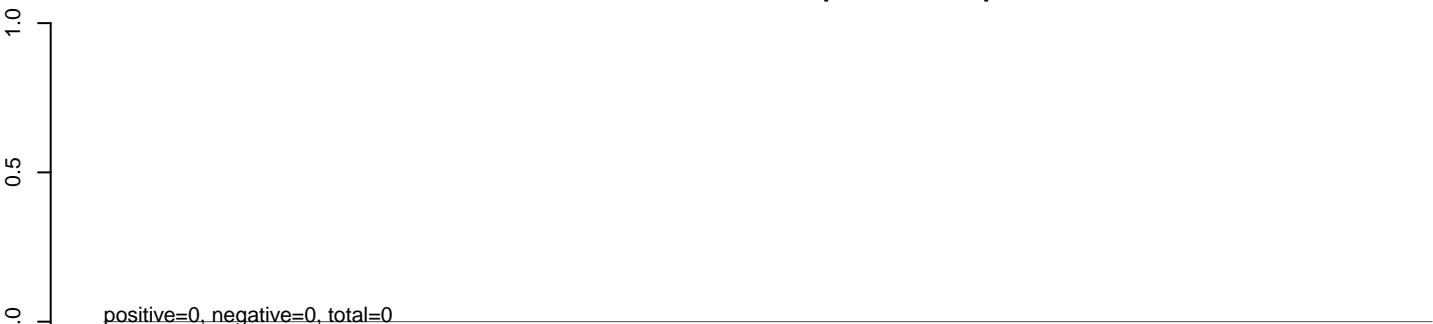
AeAlbo_C636_cells_rep_3.rep



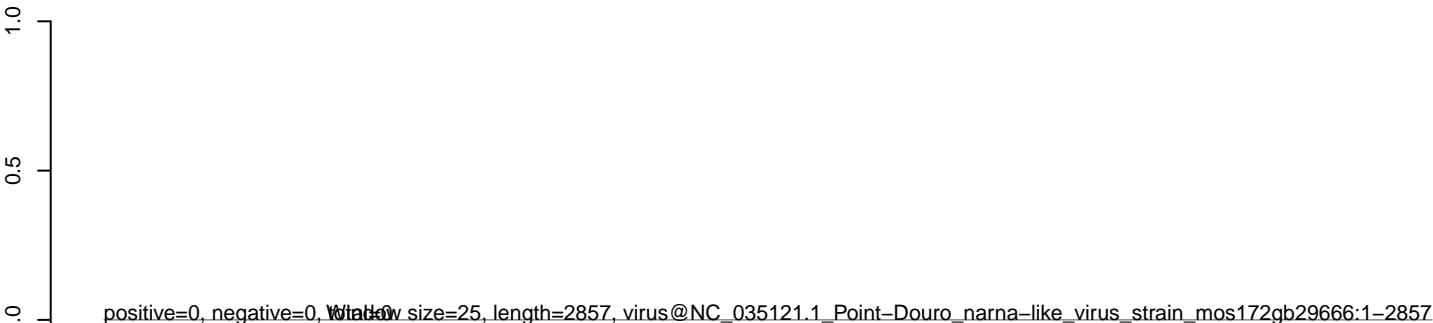
AeAlbo_C636_cells_rep_3.18_23.rep



AeAlbo_C636_cells_rep_3.24_35.rep



AeAlbo_C636_cells_rep_3.rep



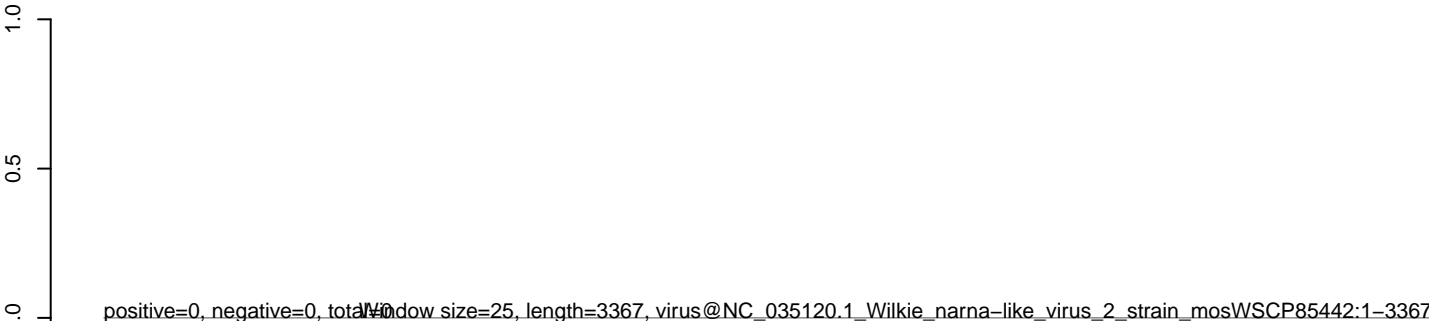
AeAlbo_C636_cells_rep_3.18_23.rep



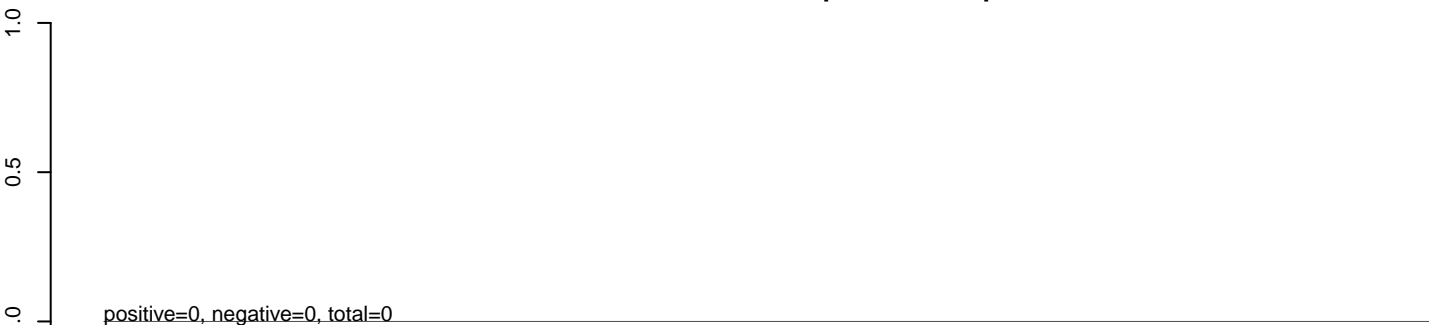
AeAlbo_C636_cells_rep_3.24_35.rep



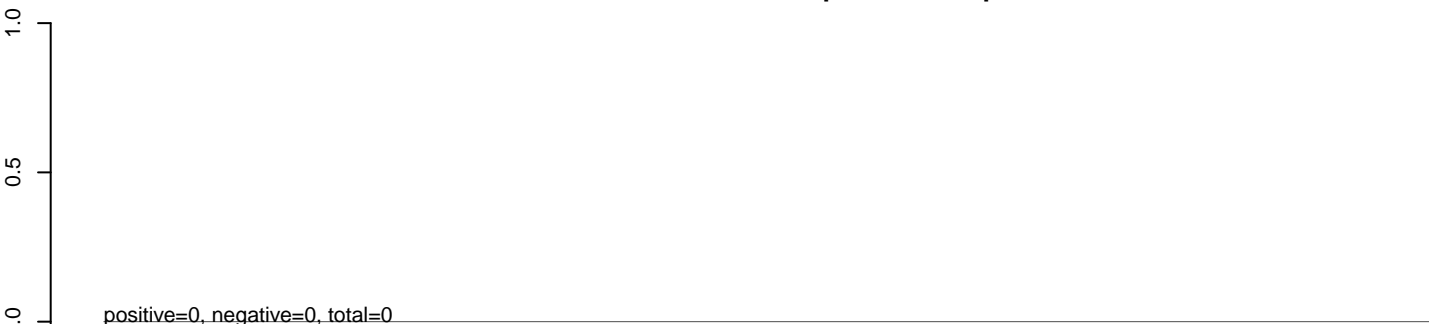
AeAlbo_C636_cells_rep_3.rep



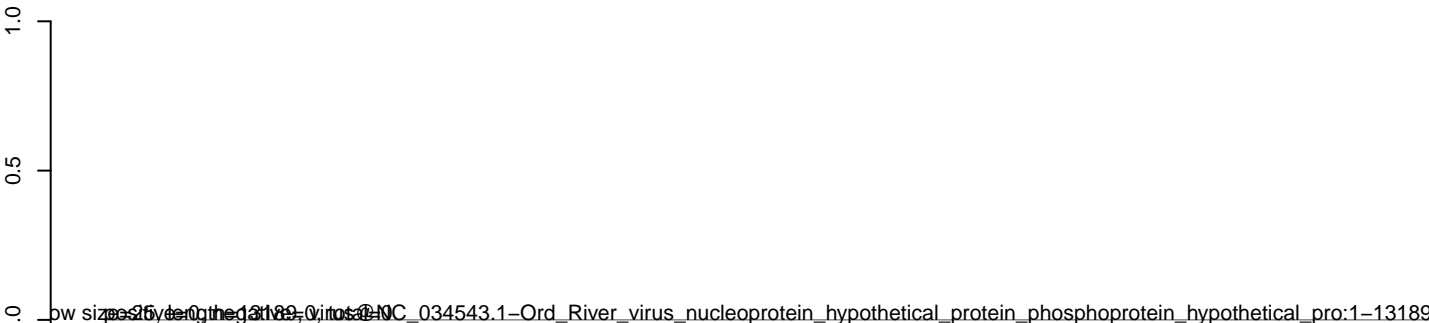
AeAlbo_C636_cells_rep_3.18_23.rep



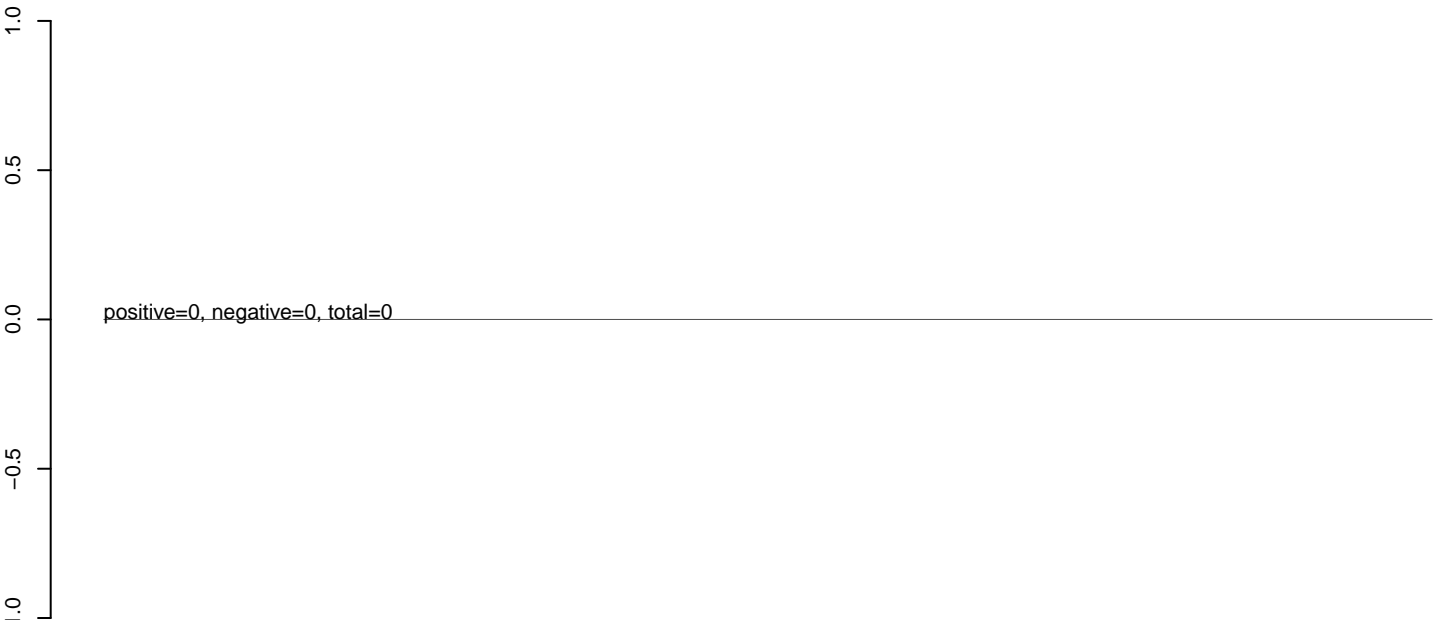
AeAlbo_C636_cells_rep_3.24_35.rep



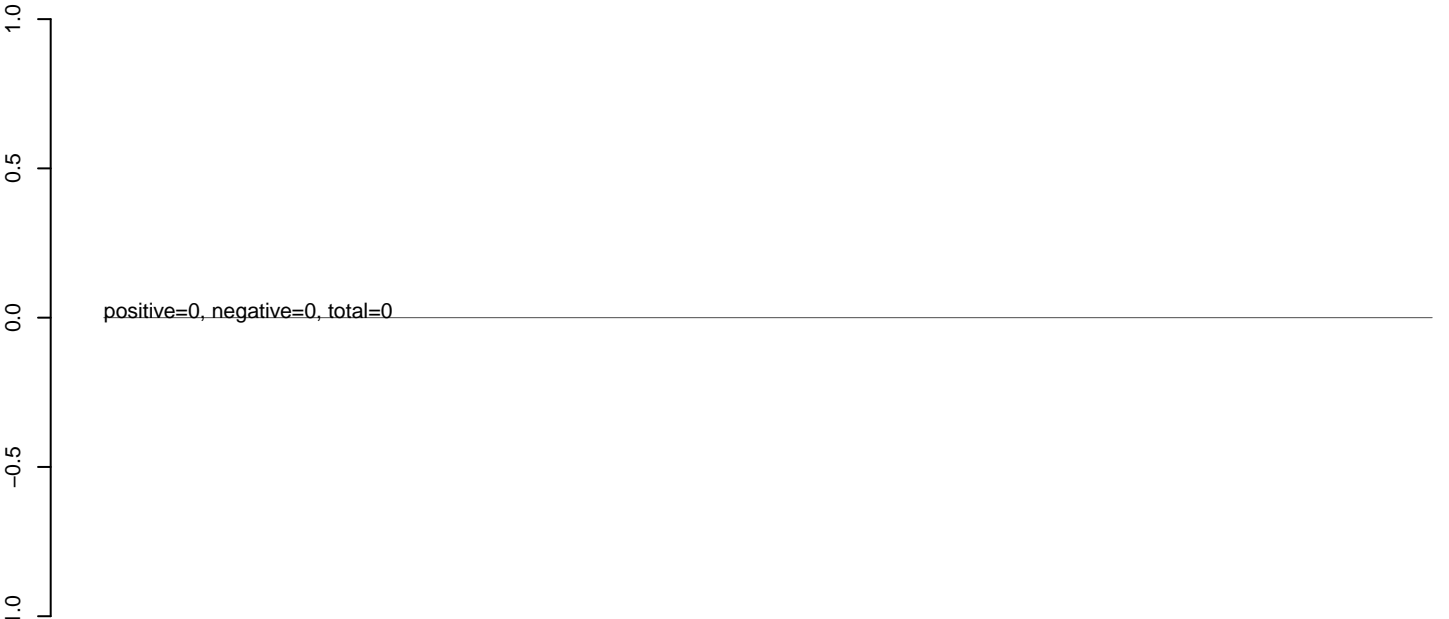
AeAlbo_C636_cells_rep_3.rep



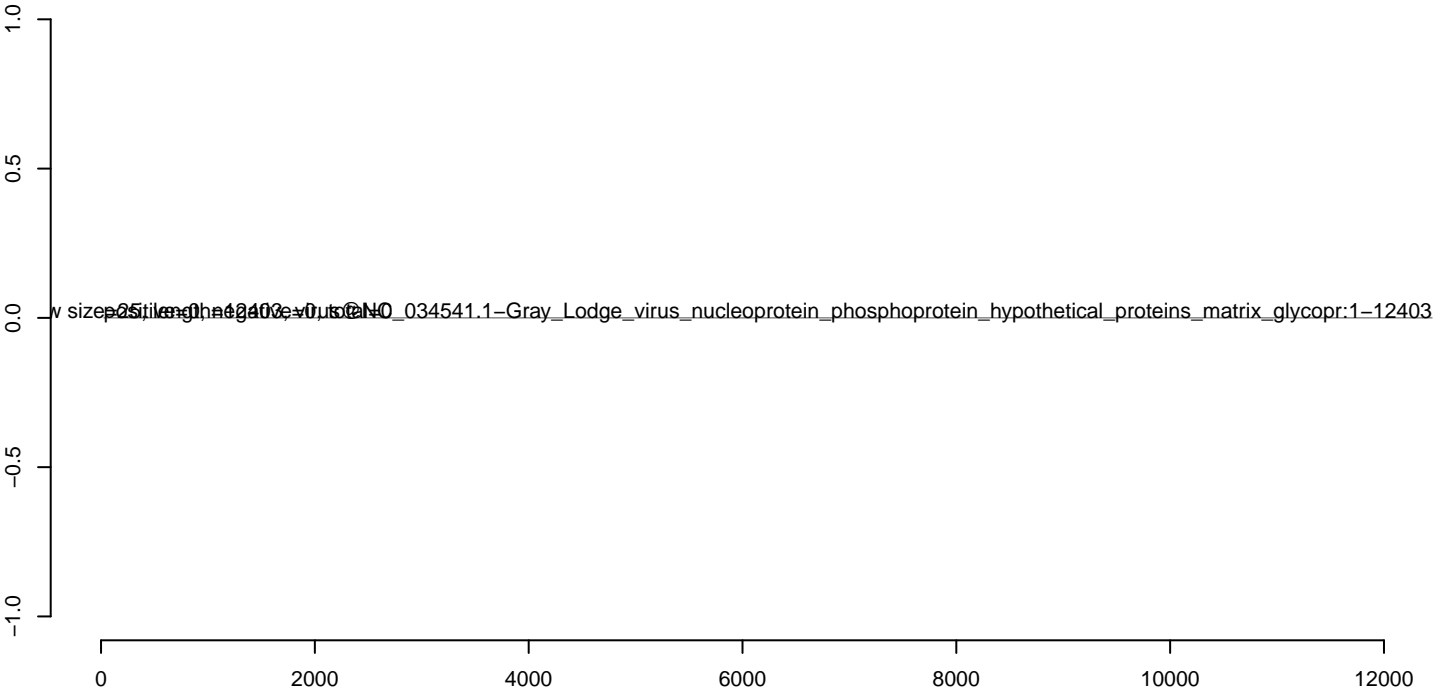
AeAlbo_C636_cells_rep_3.18_23.rep



AeAlbo_C636_cells_rep_3.24_35.rep



AeAlbo_C636_cells_rep_3.rep



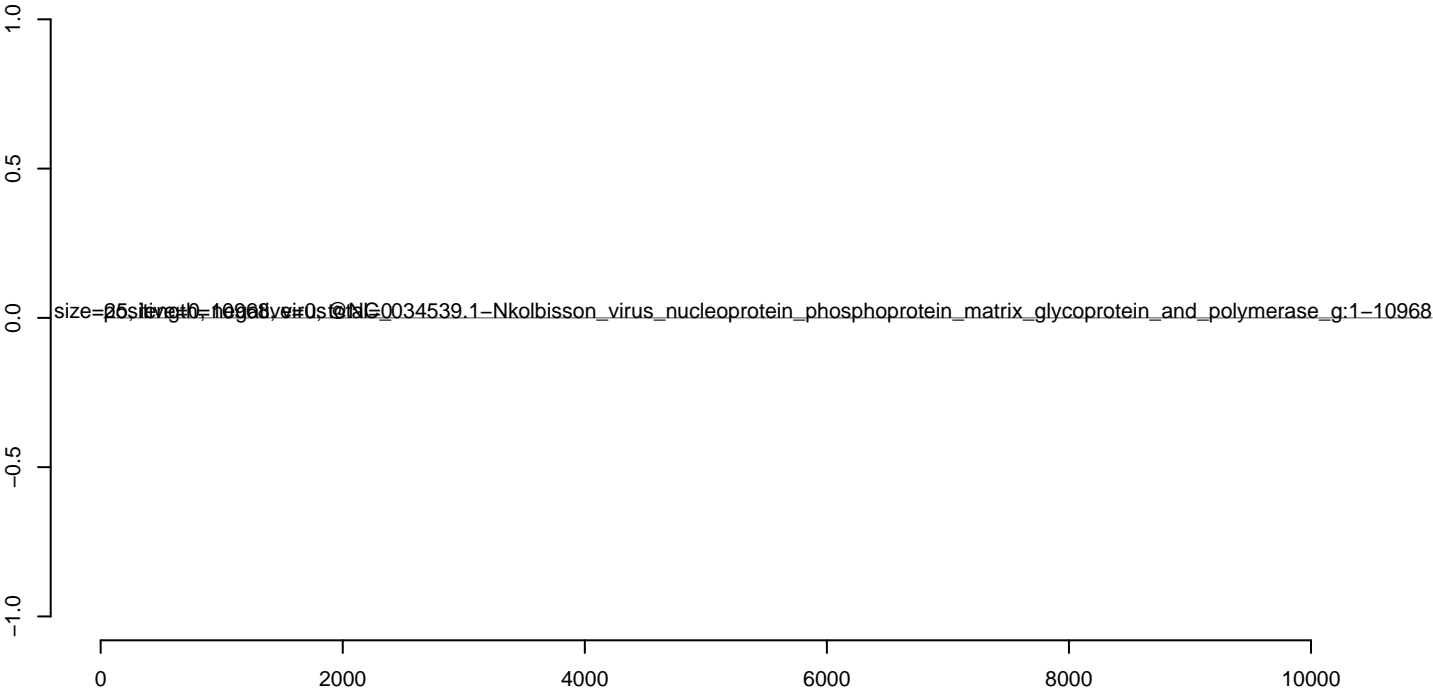
AeAlbo_C636_cells_rep_3.18_23.rep



AeAlbo_C636_cells_rep_3.24_35.rep



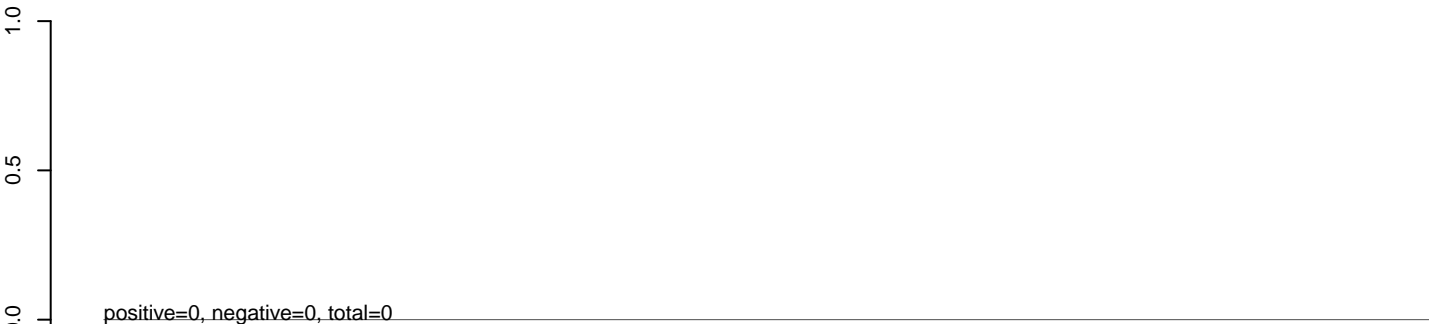
AeAlbo_C636_cells_rep_3.rep



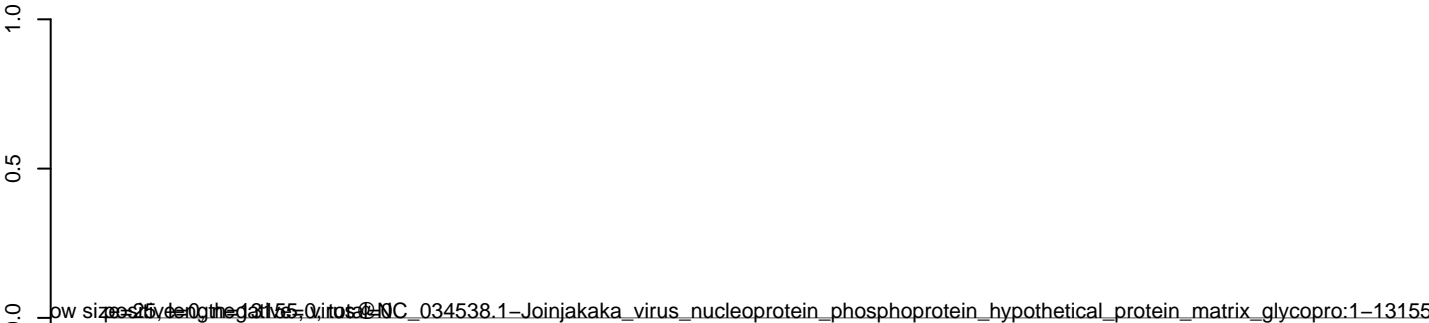
AeAlbo_C636_cells_rep_3.18_23.rep



AeAlbo_C636_cells_rep_3.24_35.rep



AeAlbo_C636_cells_rep_3.rep



0 2000 4000 6000 8000 10000 12000

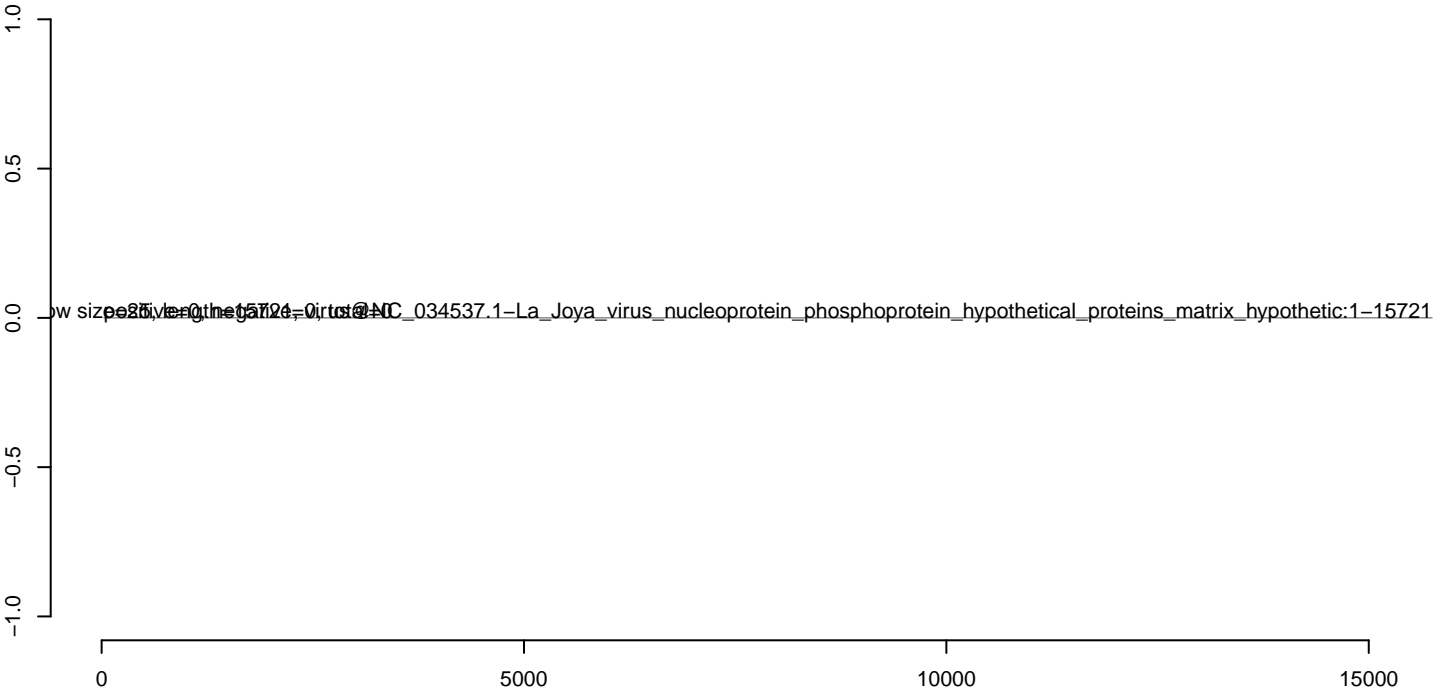
AeAlbo_C636_cells_rep_3.18_23.rep



AeAlbo_C636_cells_rep_3.24_35.rep



AeAlbo_C636_cells_rep_3.rep



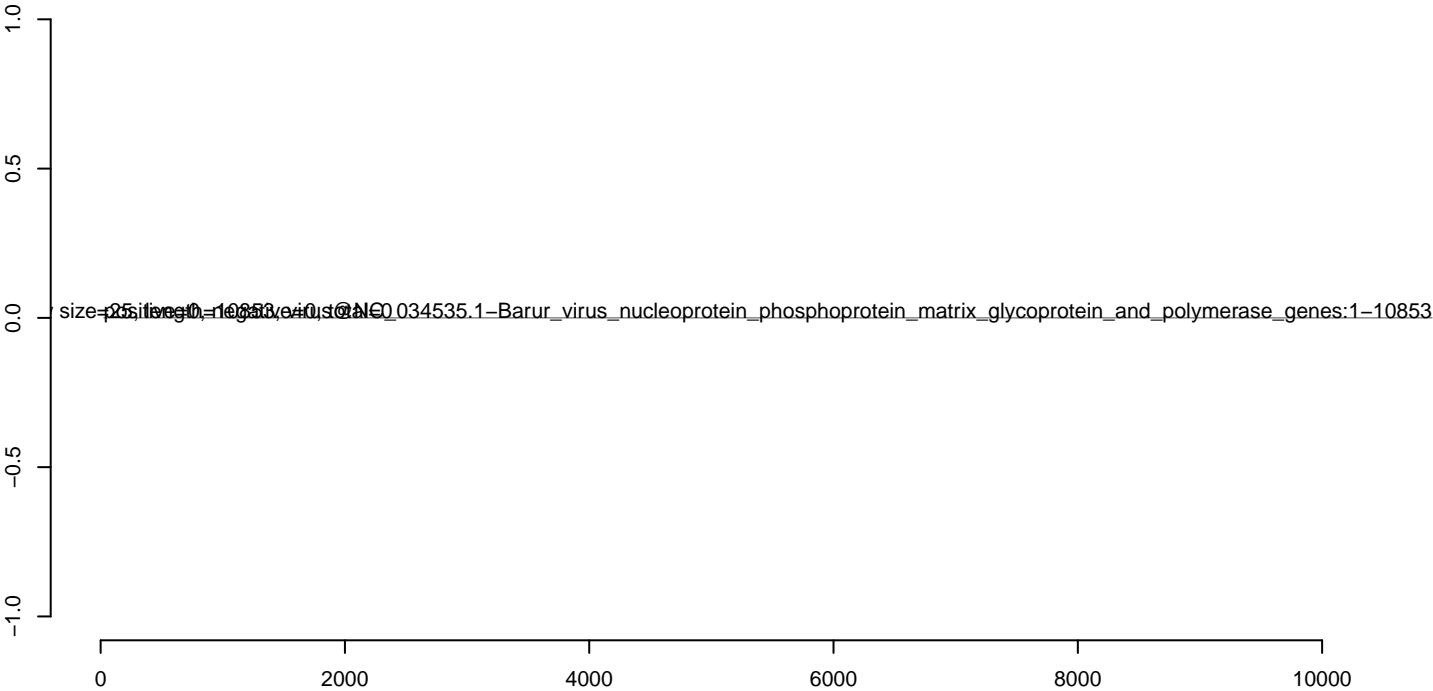
AeAlbo_C636_cells_rep_3.18_23.rep



AeAlbo_C636_cells_rep_3.24_35.rep



AeAlbo_C636_cells_rep_3.rep



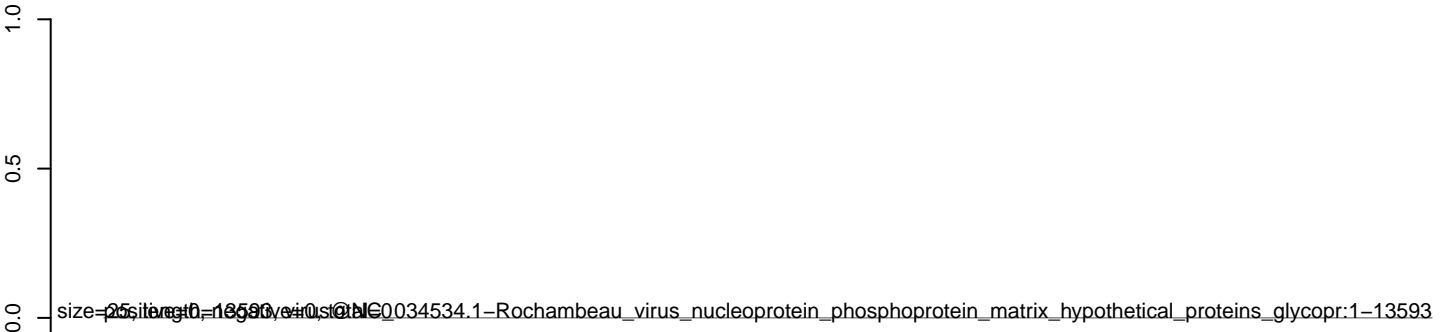
AeAlbo_C636_cells_rep_3.18_23.rep



AeAlbo_C636_cells_rep_3.24_35.rep

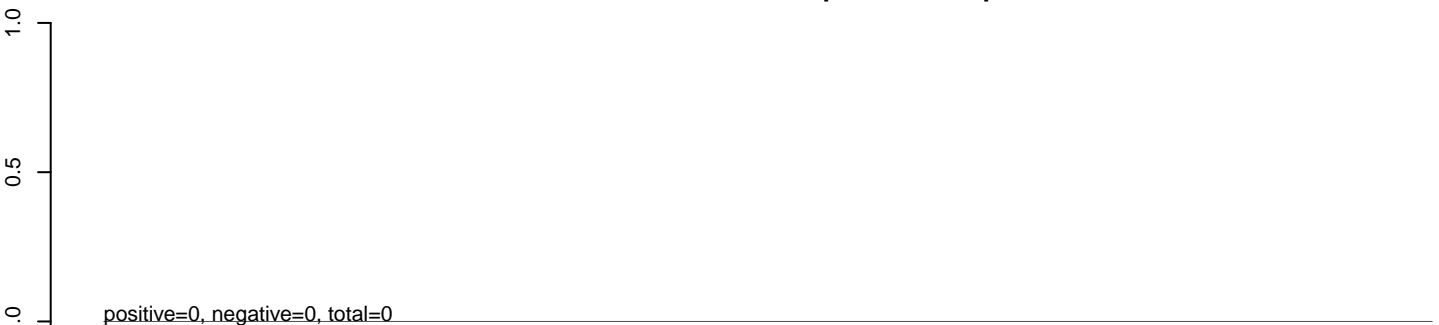


AeAlbo_C636_cells_rep_3.rep

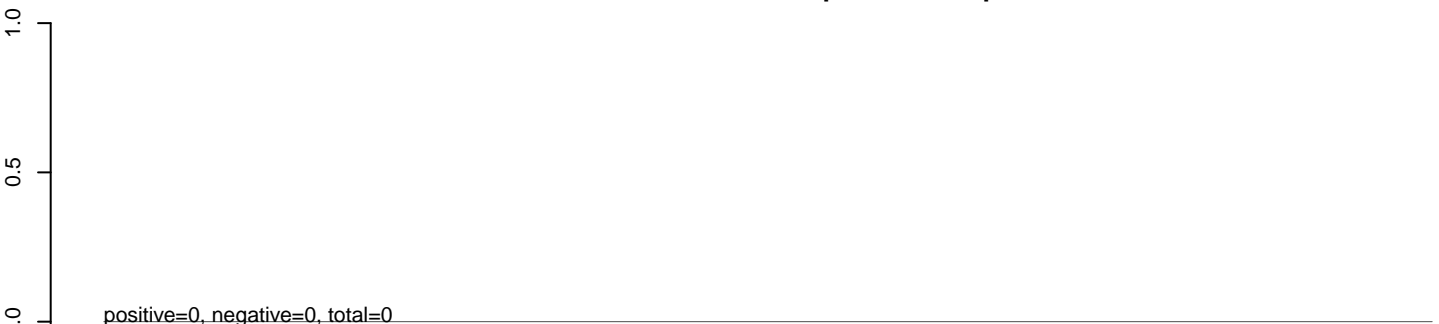


0 2000 4000 6000 8000 10000 12000 14000

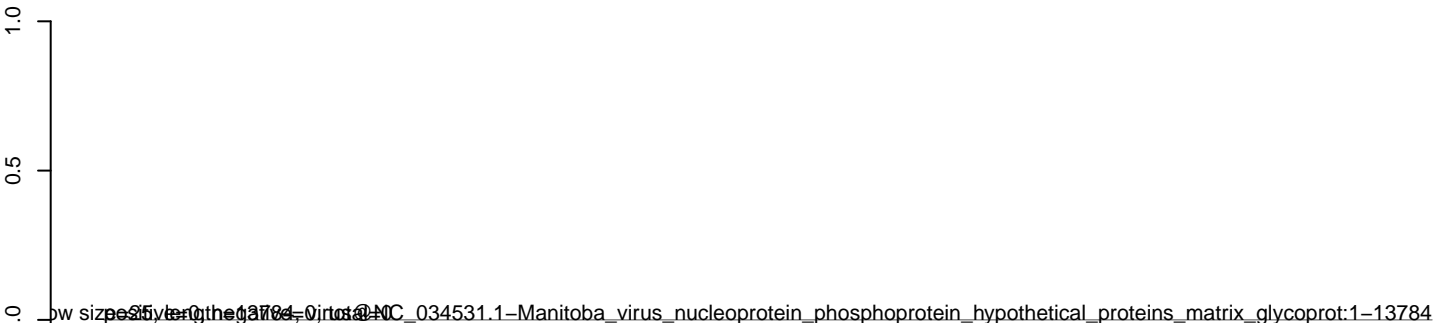
AeAlbo_C636_cells_rep_3.18_23.rep



AeAlbo_C636_cells_rep_3.24_35.rep



AeAlbo_C636_cells_rep_3.rep



0 2000 4000 6000 8000 10000 12000 14000

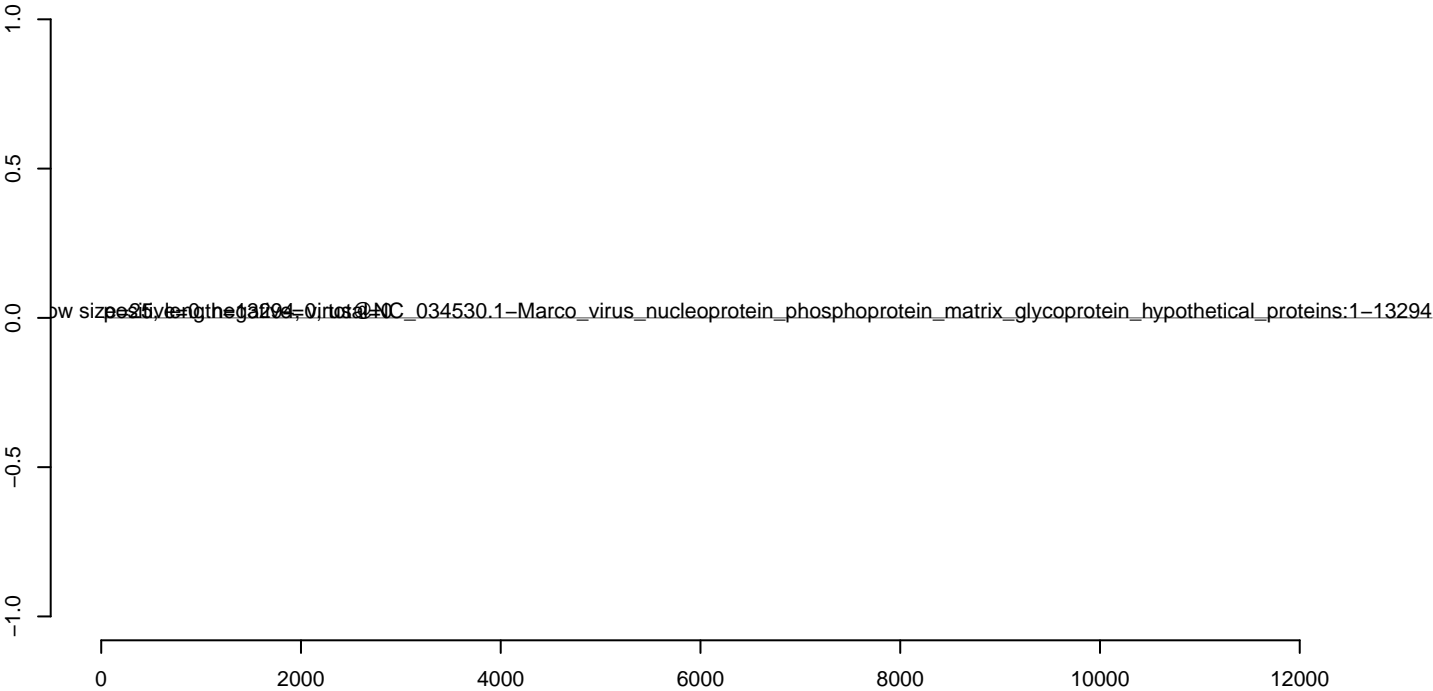
AeAlbo_C636_cells_rep_3.18_23.rep



AeAlbo_C636_cells_rep_3.24_35.rep



AeAlbo_C636_cells_rep_3.rep



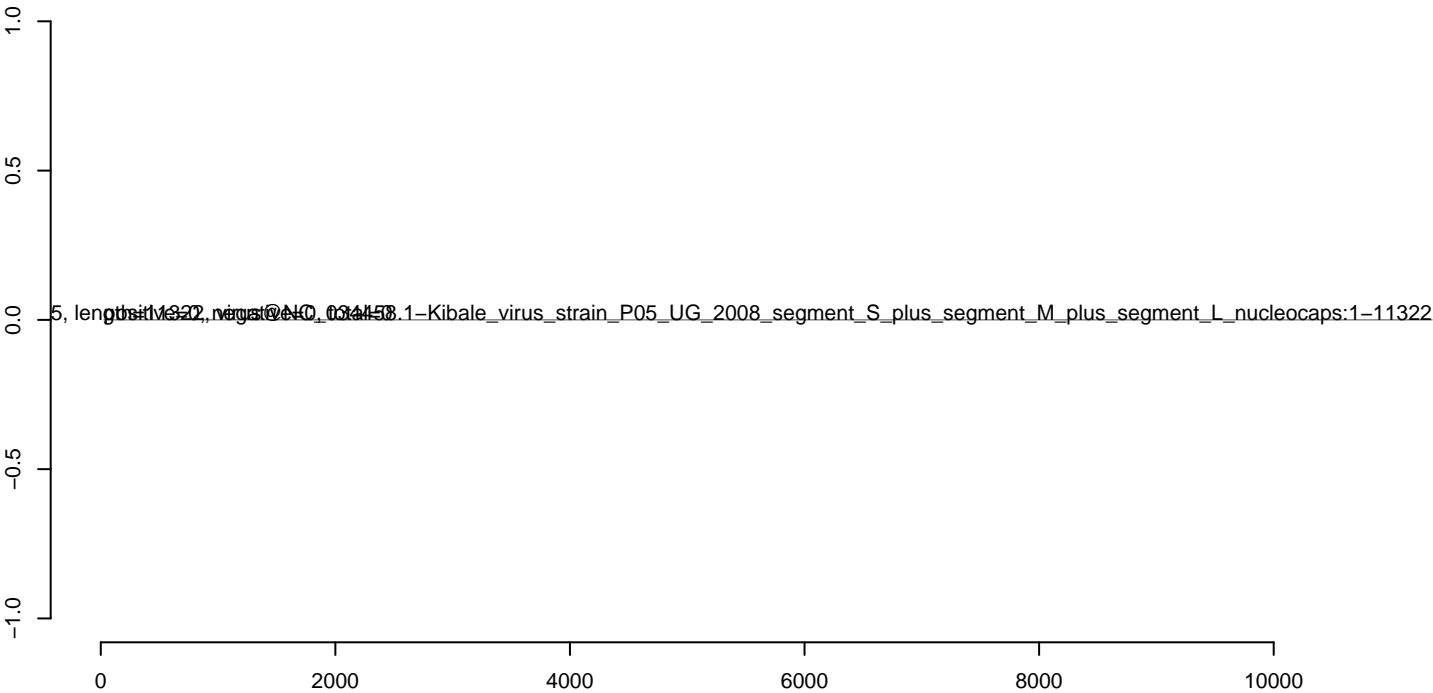
AeAlbo_C636_cells_rep_3.18_23.rep



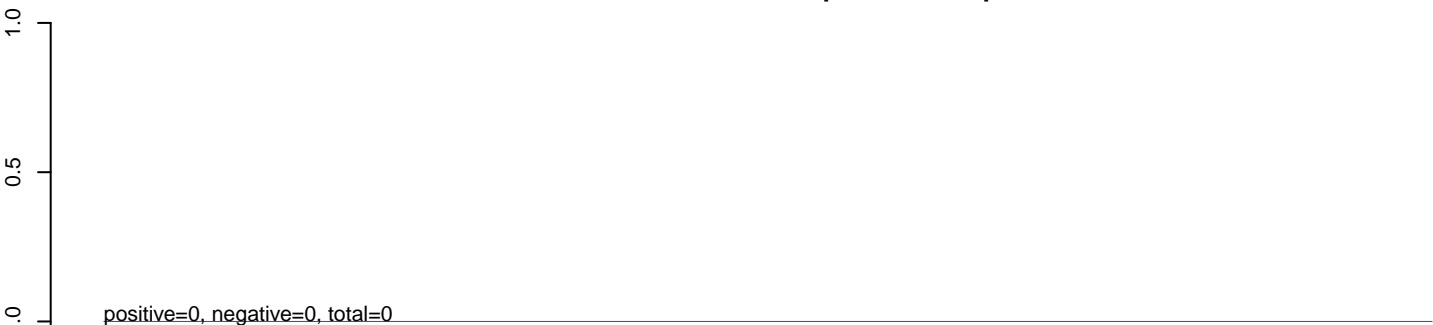
AeAlbo_C636_cells_rep_3.24_35.rep



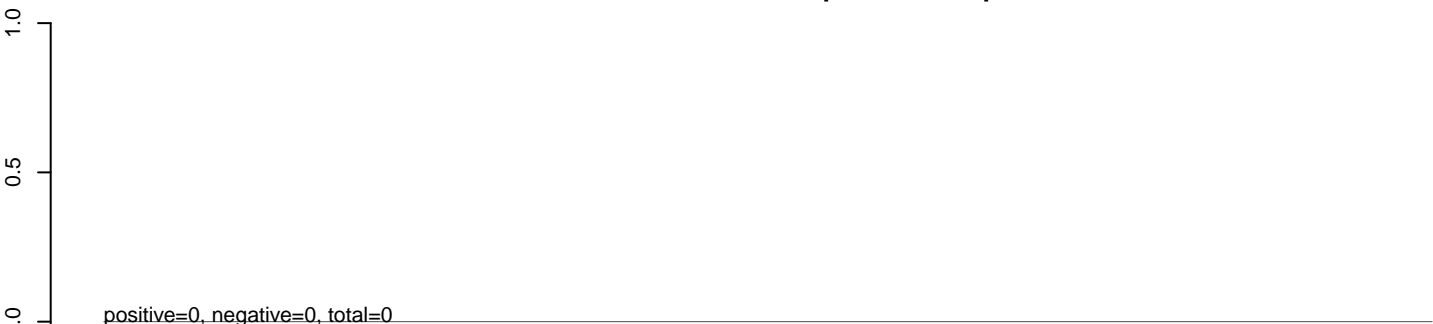
AeAlbo_C636_cells_rep_3.rep



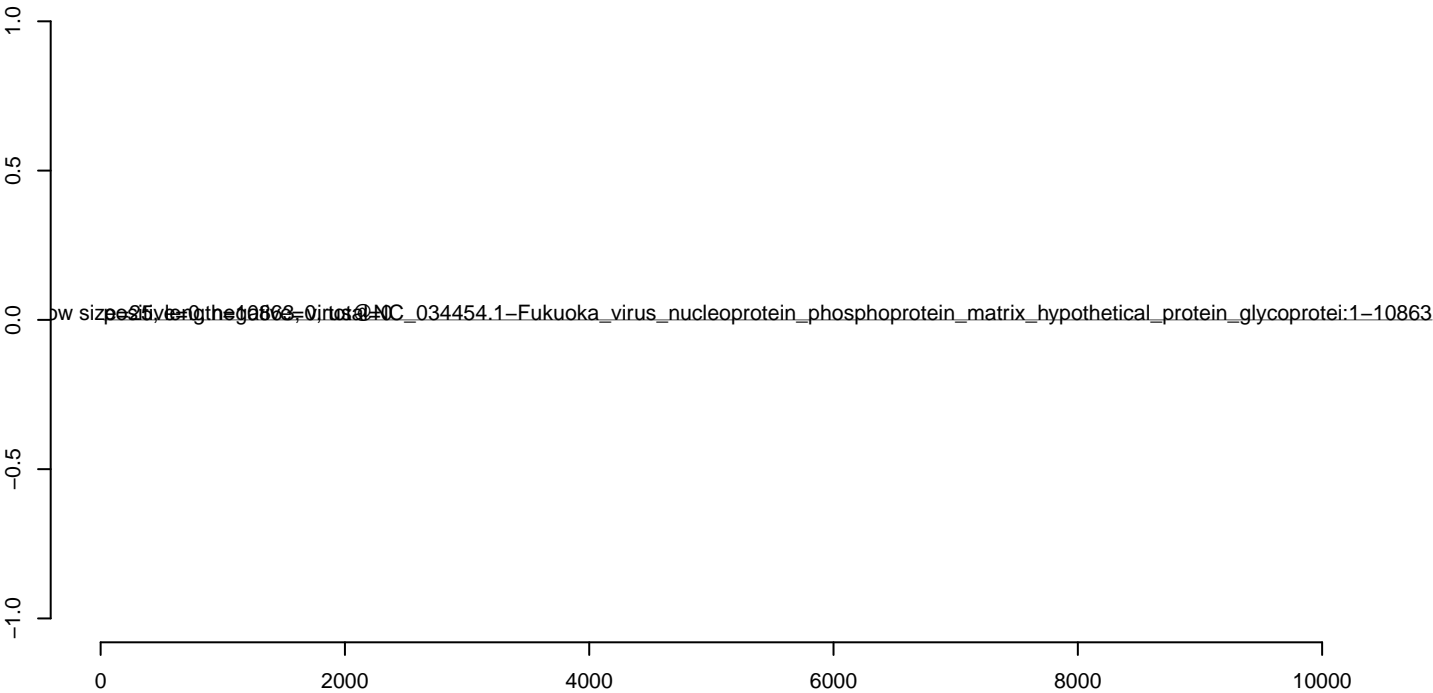
AeAlbo_C636_cells_rep_3.18_23.rep



AeAlbo_C636_cells_rep_3.24_35.rep



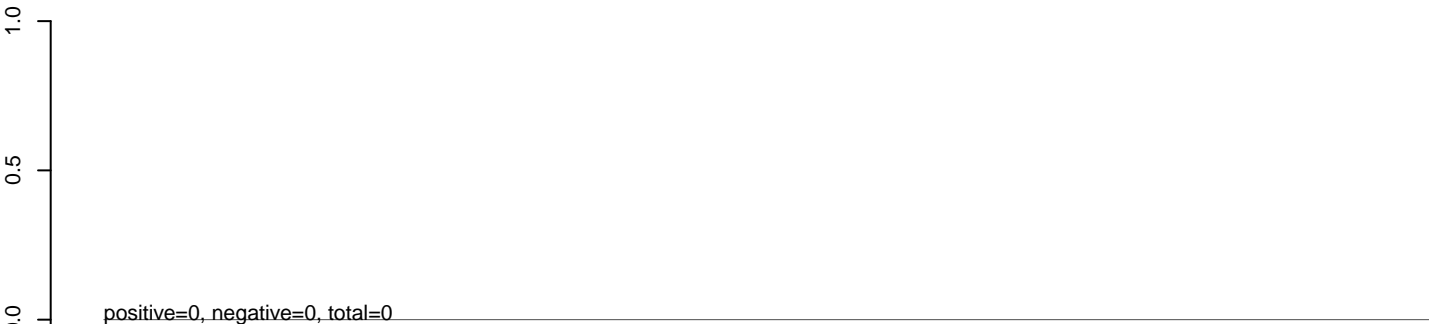
AeAlbo_C636_cells_rep_3.rep



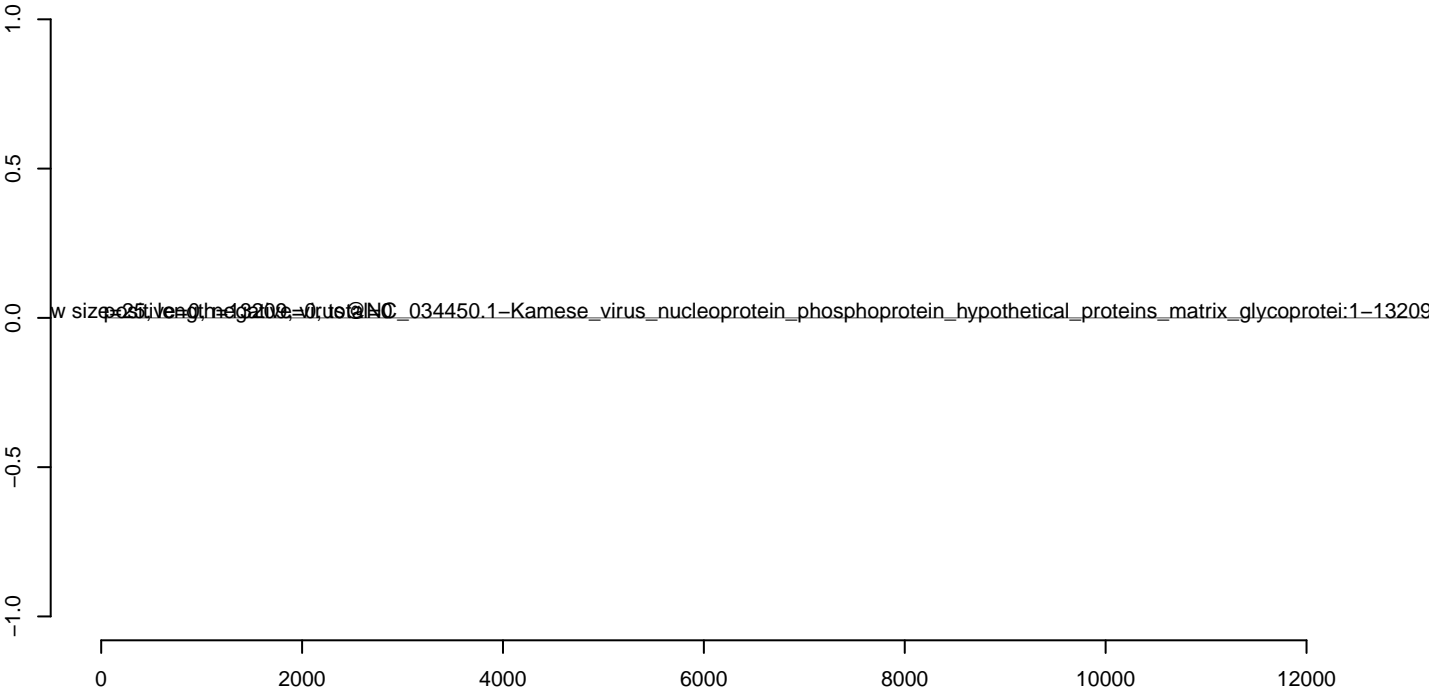
AeAlbo_C636_cells_rep_3.18_23.rep



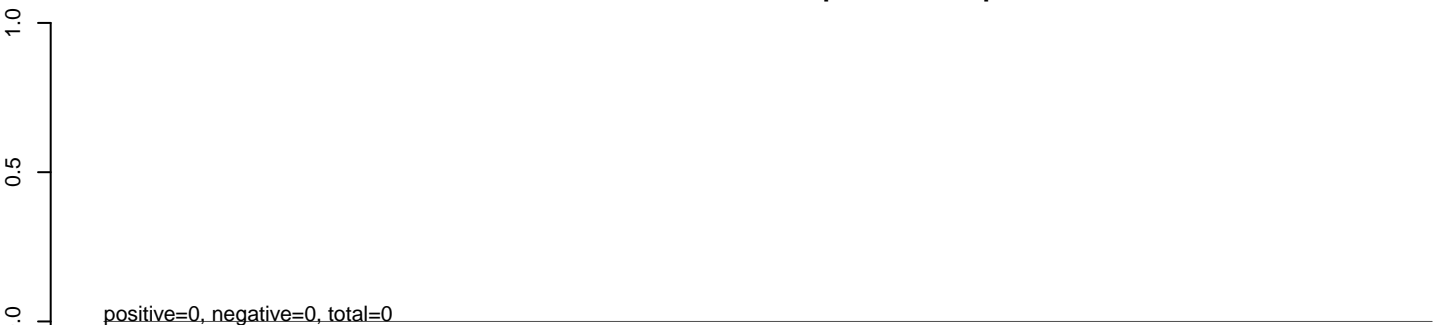
AeAlbo_C636_cells_rep_3.24_35.rep



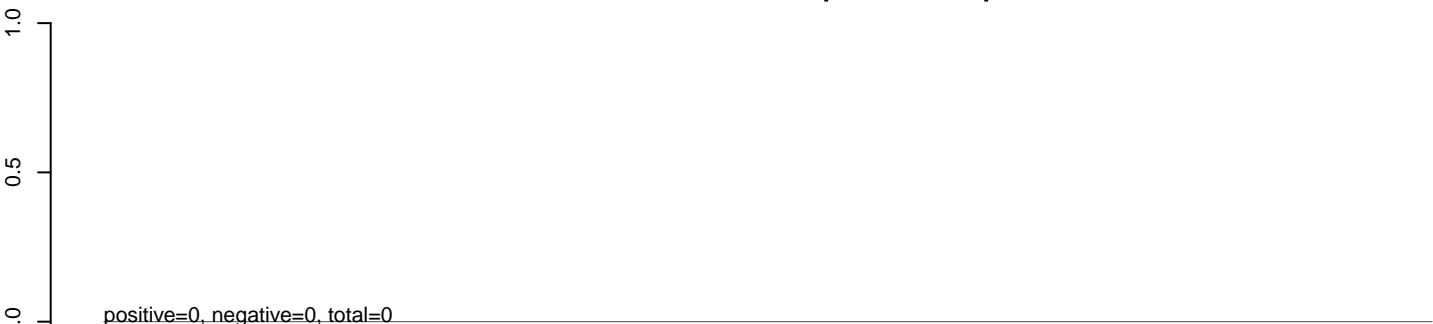
AeAlbo_C636_cells_rep_3.rep



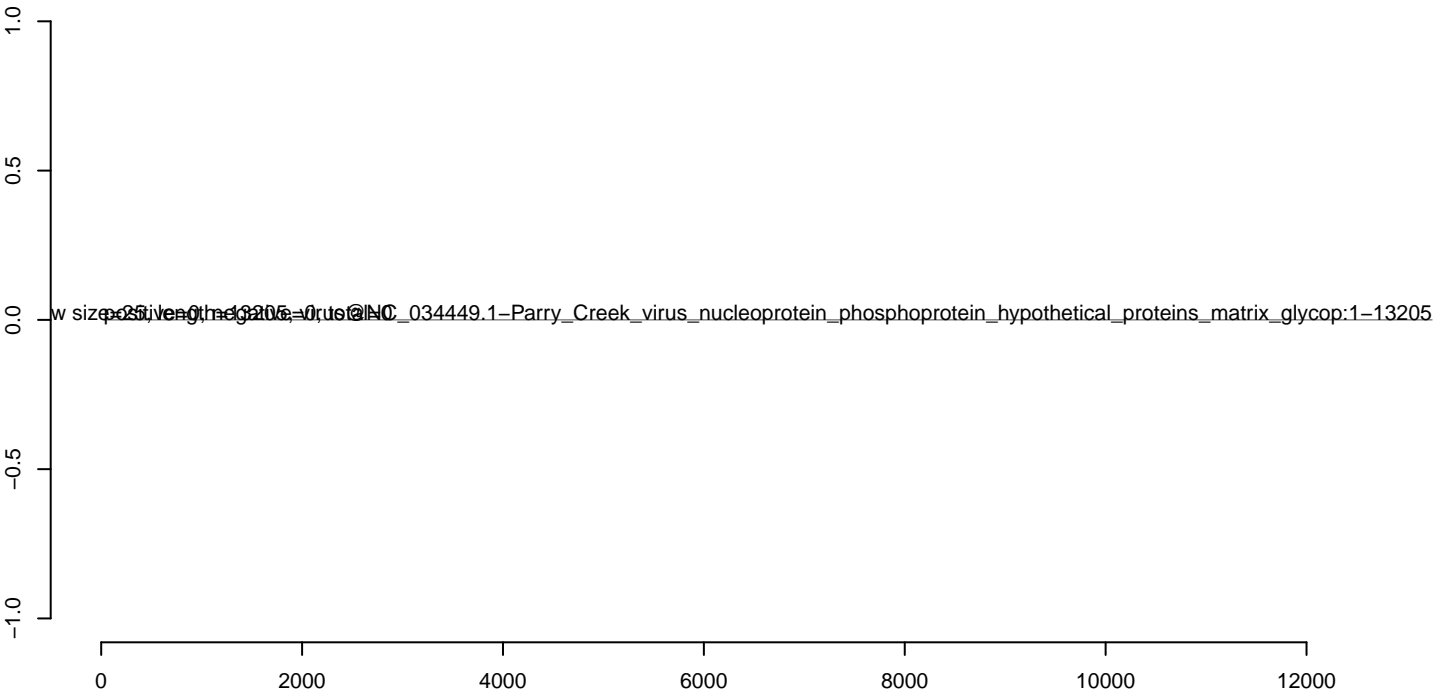
AeAlbo_C636_cells_rep_3.18_23.rep



AeAlbo_C636_cells_rep_3.24_35.rep



AeAlbo_C636_cells_rep_3.rep



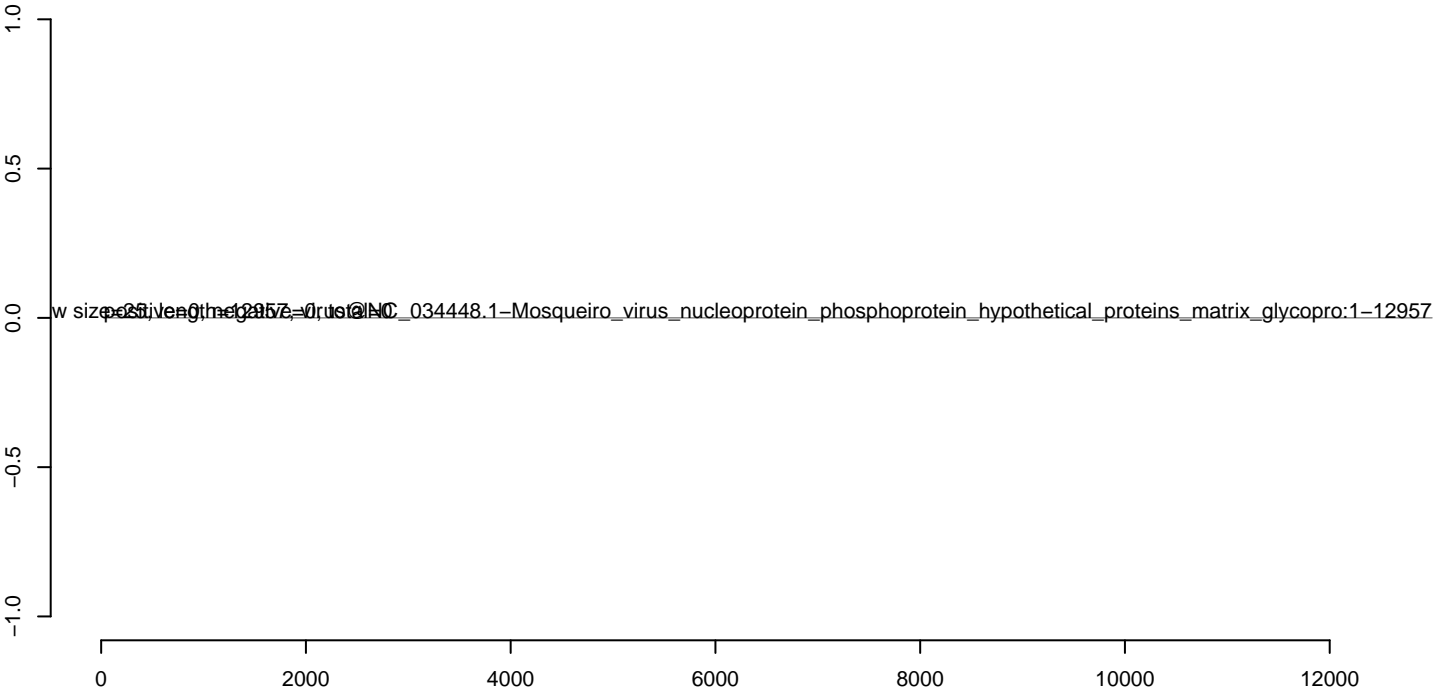
AeAlbo_C636_cells_rep_3.18_23.rep



AeAlbo_C636_cells_rep_3.24_35.rep



AeAlbo_C636_cells_rep_3.rep



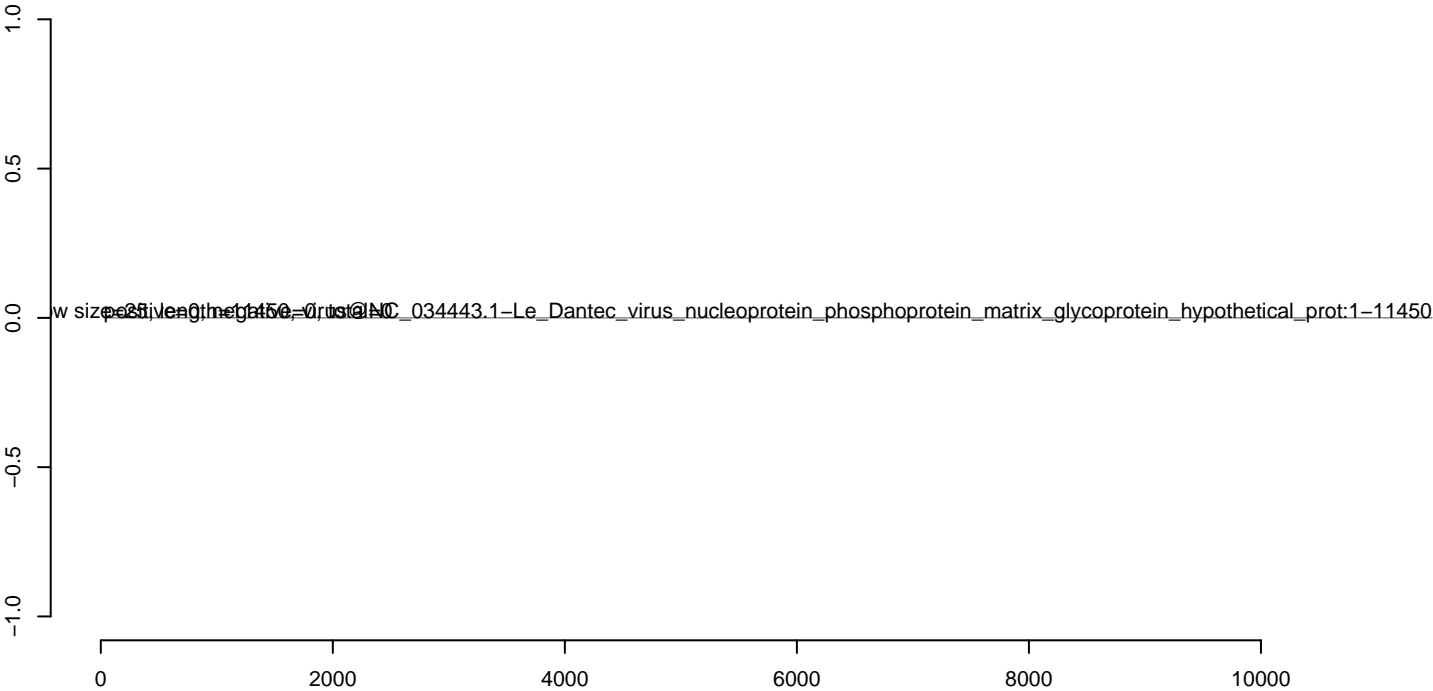
AeAlbo_C636_cells_rep_3.18_23.rep



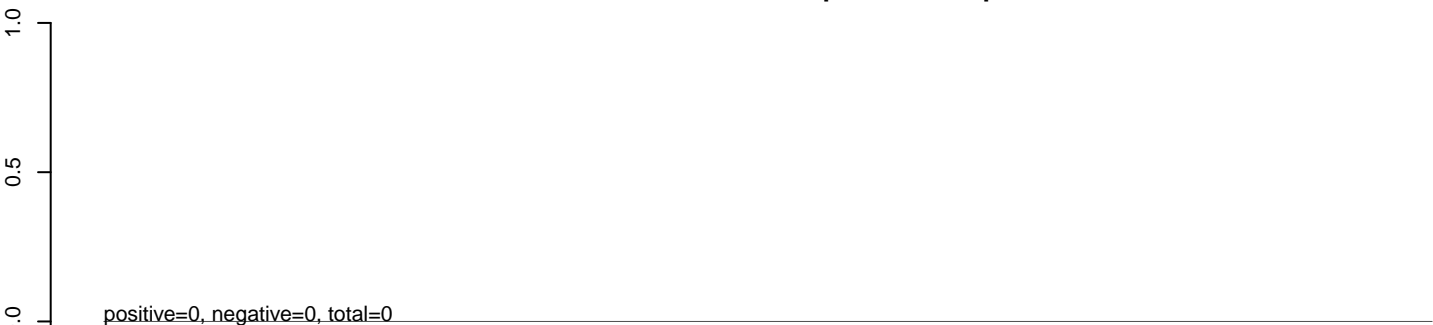
AeAlbo_C636_cells_rep_3.24_35.rep



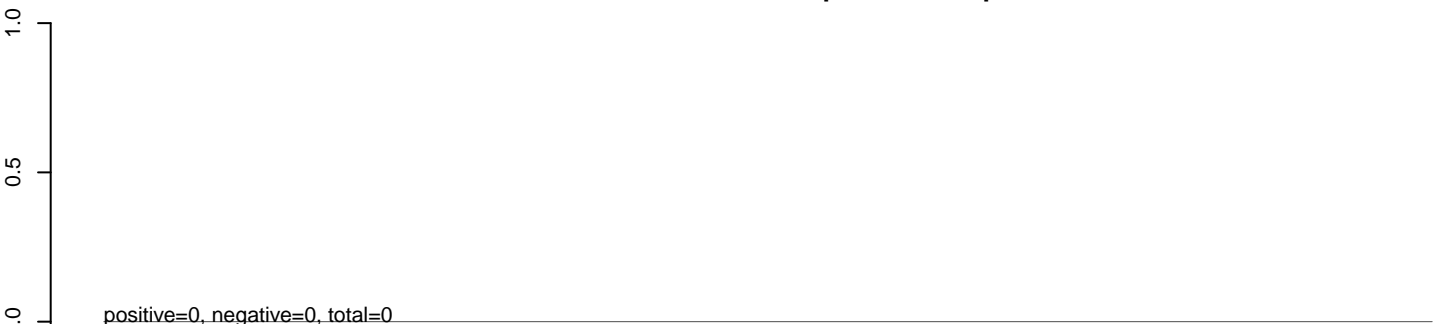
AeAlbo_C636_cells_rep_3.rep



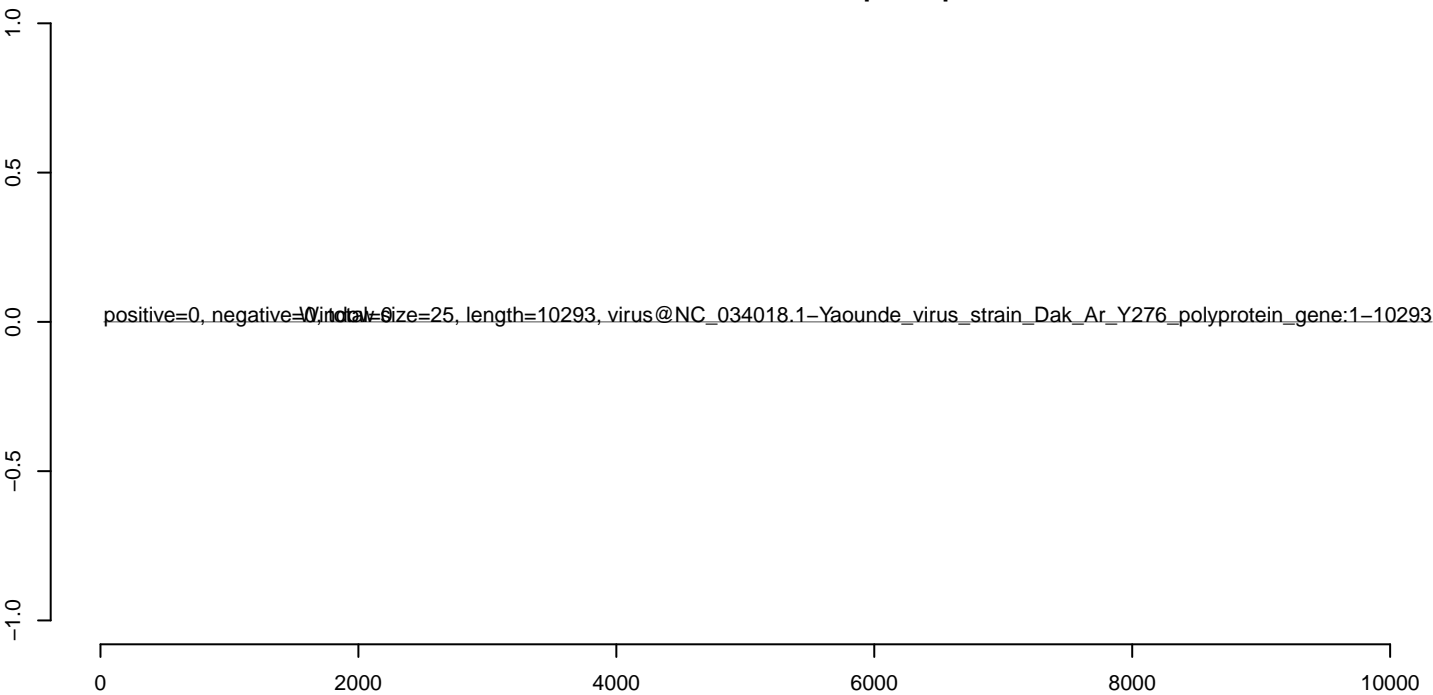
AeAlbo_C636_cells_rep_3.18_23.rep



AeAlbo_C636_cells_rep_3.24_35.rep



AeAlbo_C636_cells_rep_3.rep



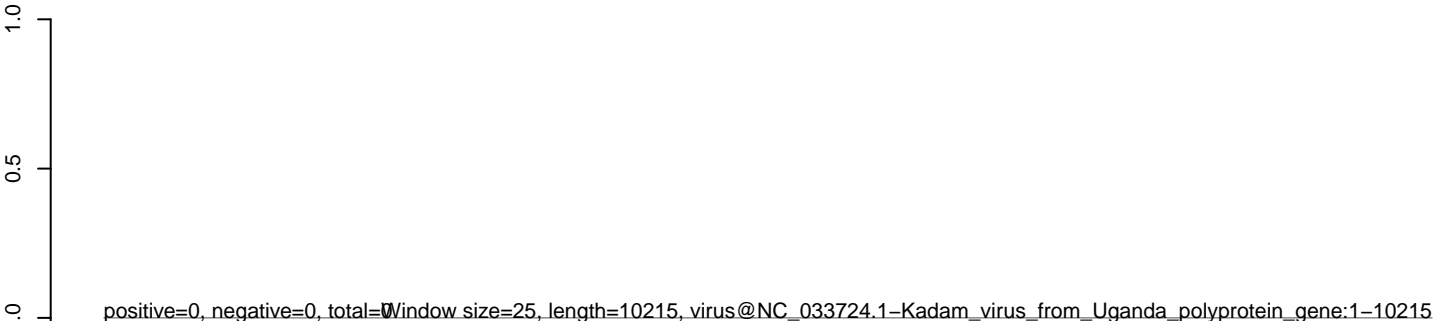
AeAlbo_C636_cells_rep_3.18_23.rep



AeAlbo_C636_cells_rep_3.24_35.rep



AeAlbo_C636_cells_rep_3.rep



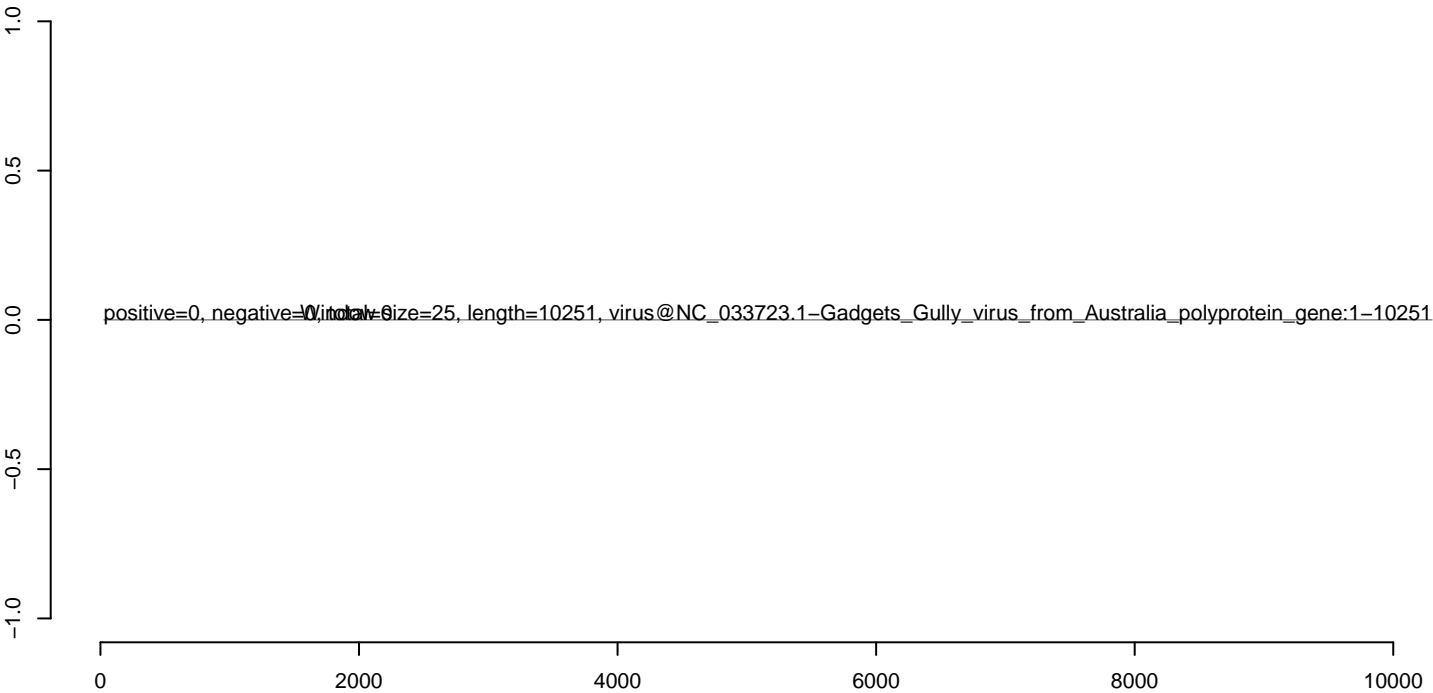
AeAlbo_C636_cells_rep_3.18_23.rep



AeAlbo_C636_cells_rep_3.24_35.rep



AeAlbo_C636_cells_rep_3.rep



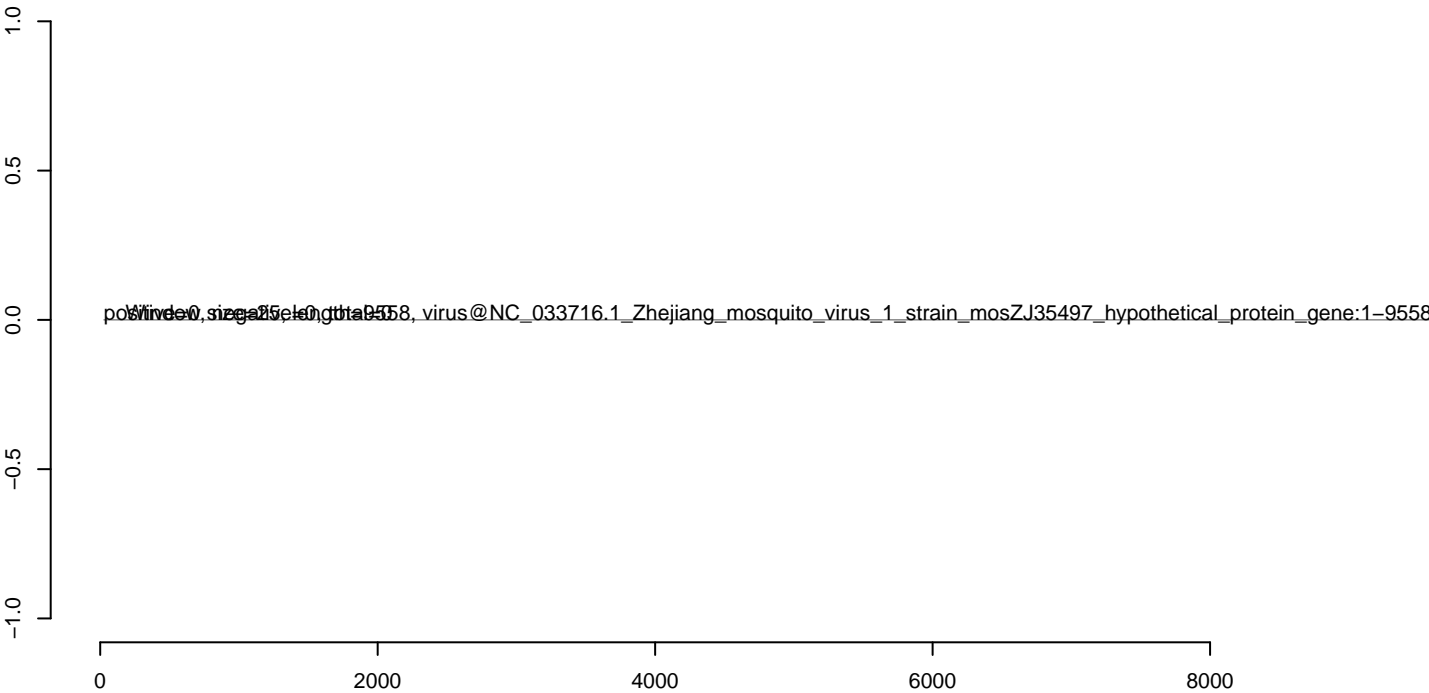
AeAlbo_C636_cells_rep_3.18_23.rep



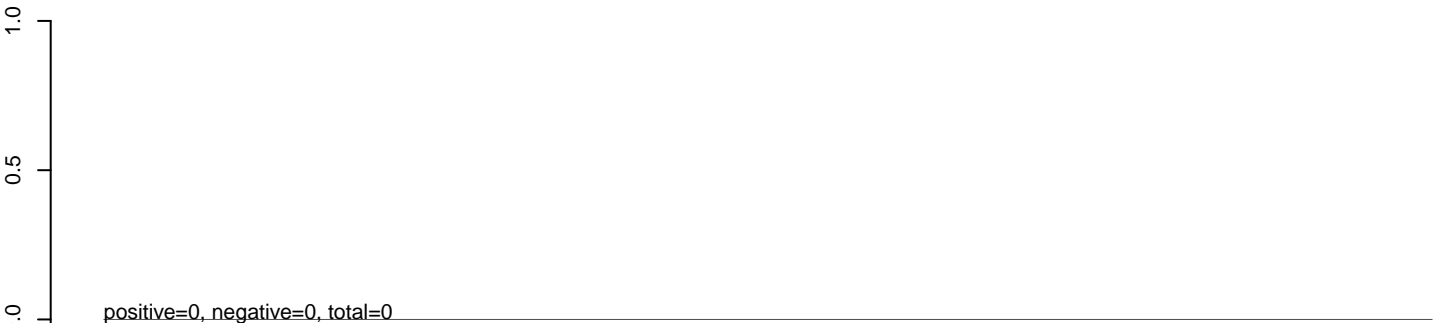
AeAlbo_C636_cells_rep_3.24_35.rep



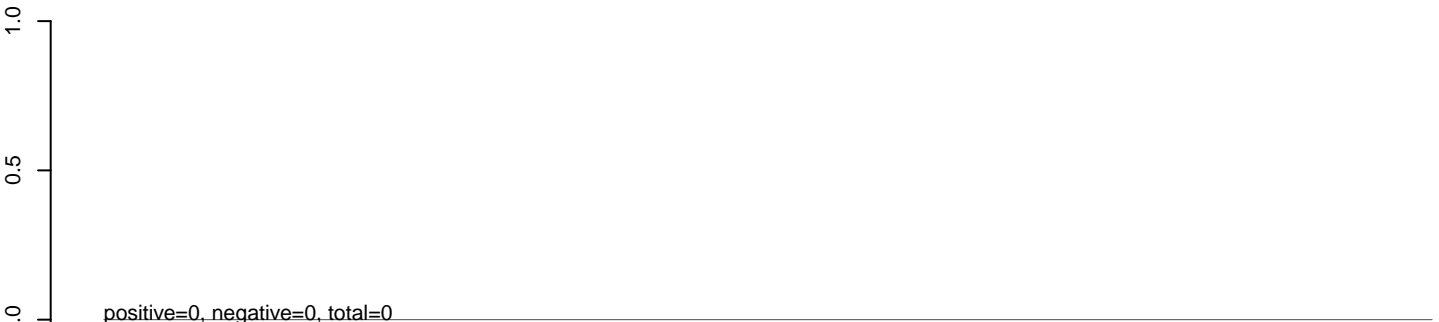
AeAlbo_C636_cells_rep_3.rep



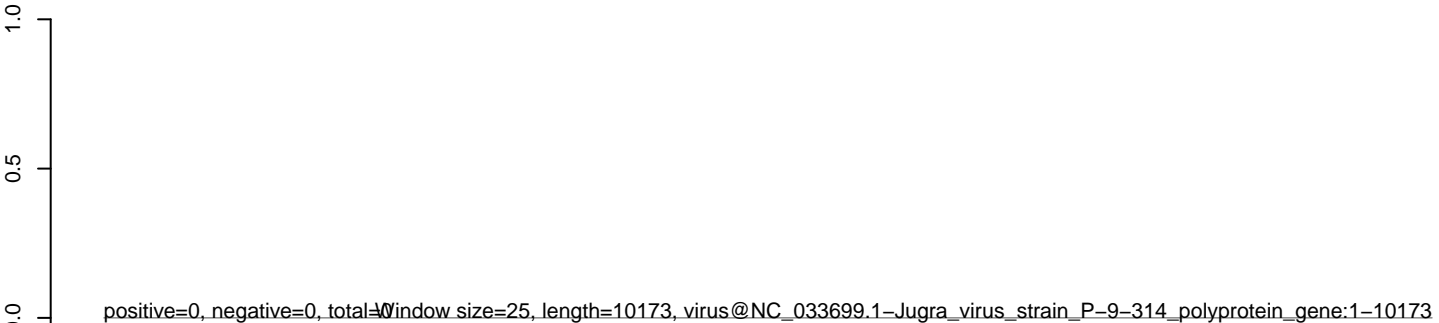
AeAlbo_C636_cells_rep_3.18_23.rep



AeAlbo_C636_cells_rep_3.24_35.rep



AeAlbo_C636_cells_rep_3.rep



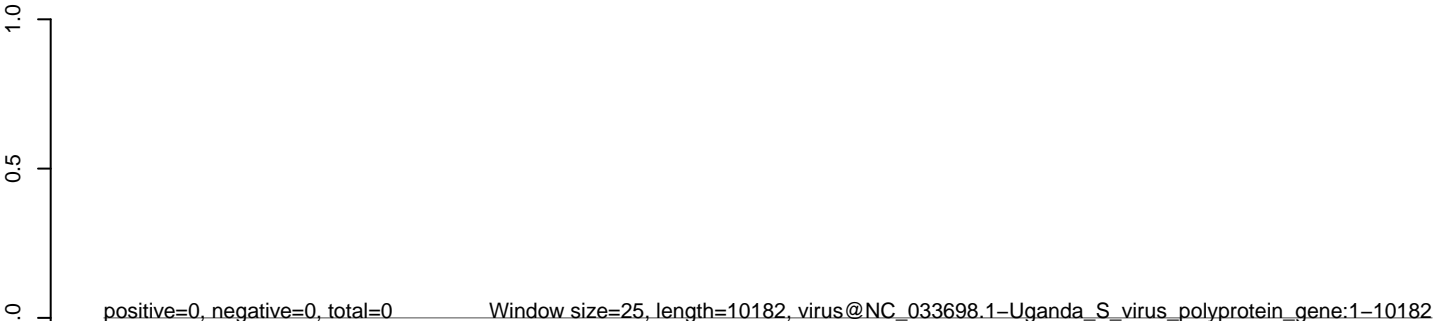
AeAlbo_C636_cells_rep_3.18_23.rep



AeAlbo_C636_cells_rep_3.24_35.rep

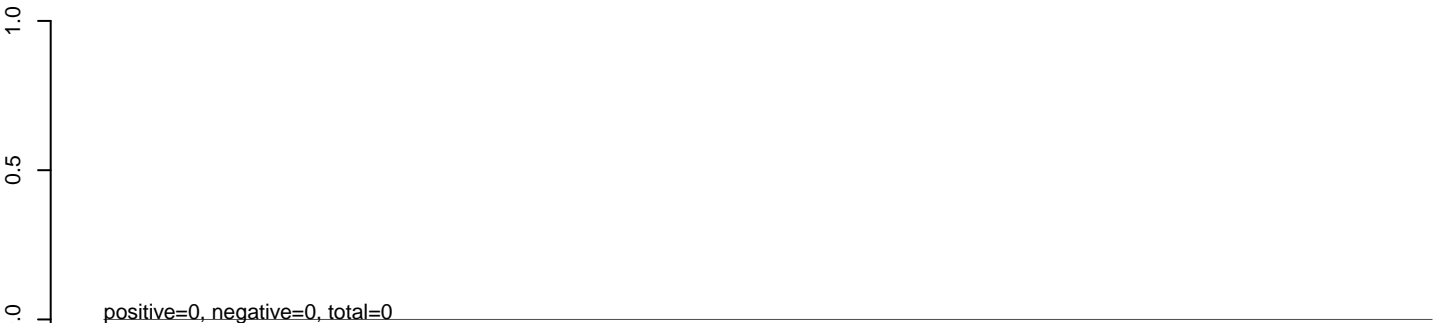


AeAlbo_C636_cells_rep_3.rep

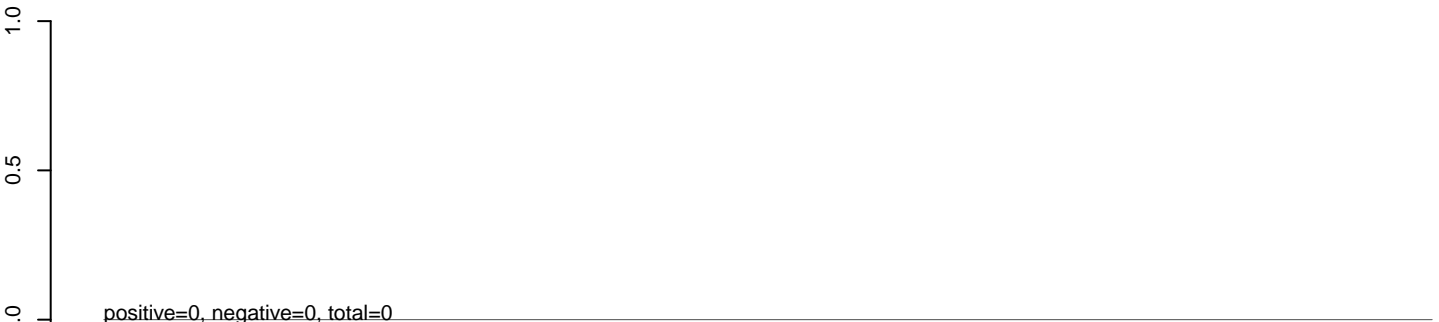


0 2000 4000 6000 8000 10000

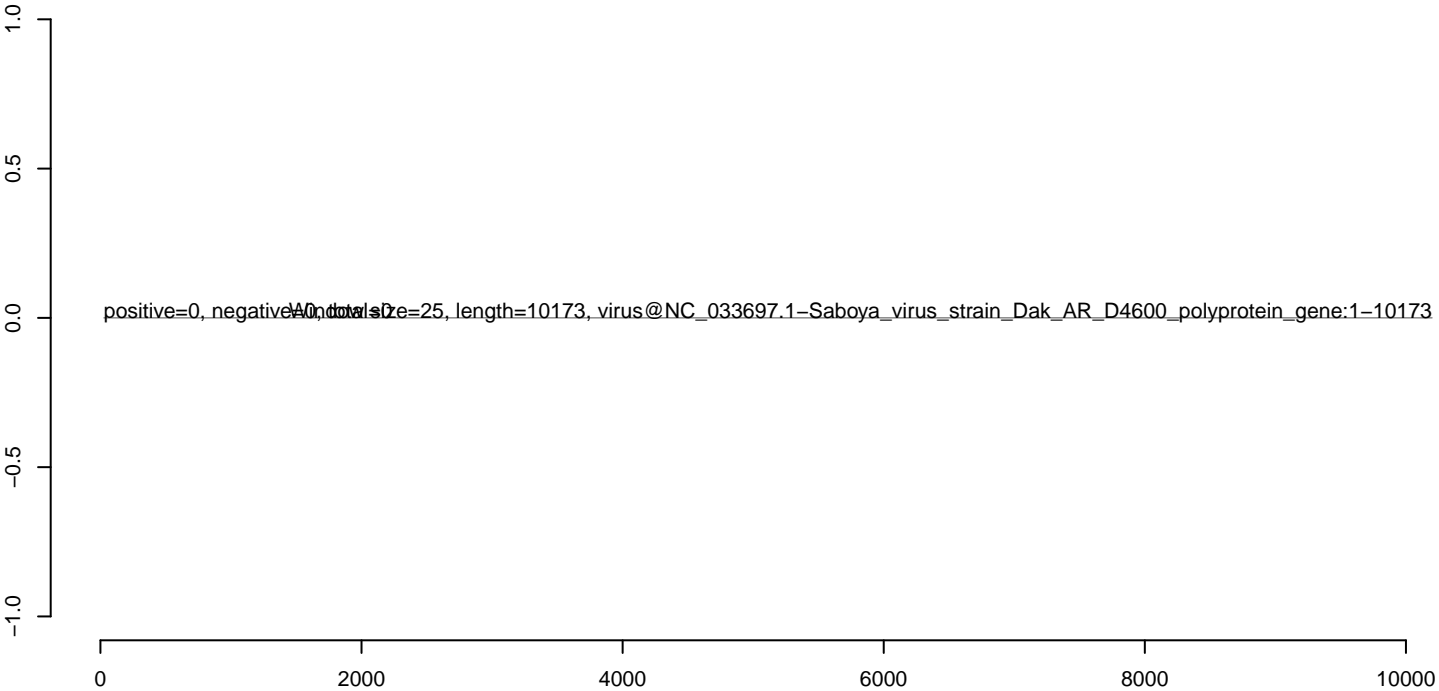
AeAlbo_C636_cells_rep_3.18_23.rep



AeAlbo_C636_cells_rep_3.24_35.rep



AeAlbo_C636_cells_rep_3.rep



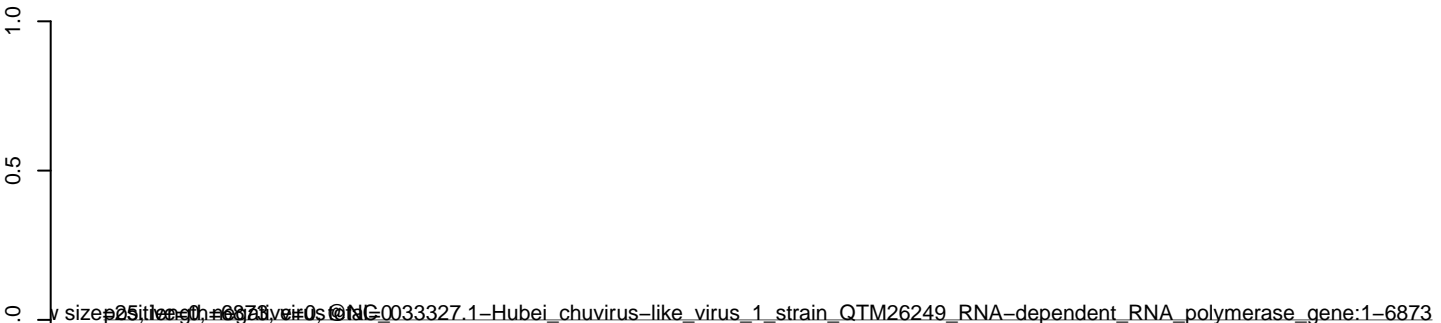
AeAlbo_C636_cells_rep_3.18_23.rep



AeAlbo_C636_cells_rep_3.24_35.rep



AeAlbo_C636_cells_rep_3.rep



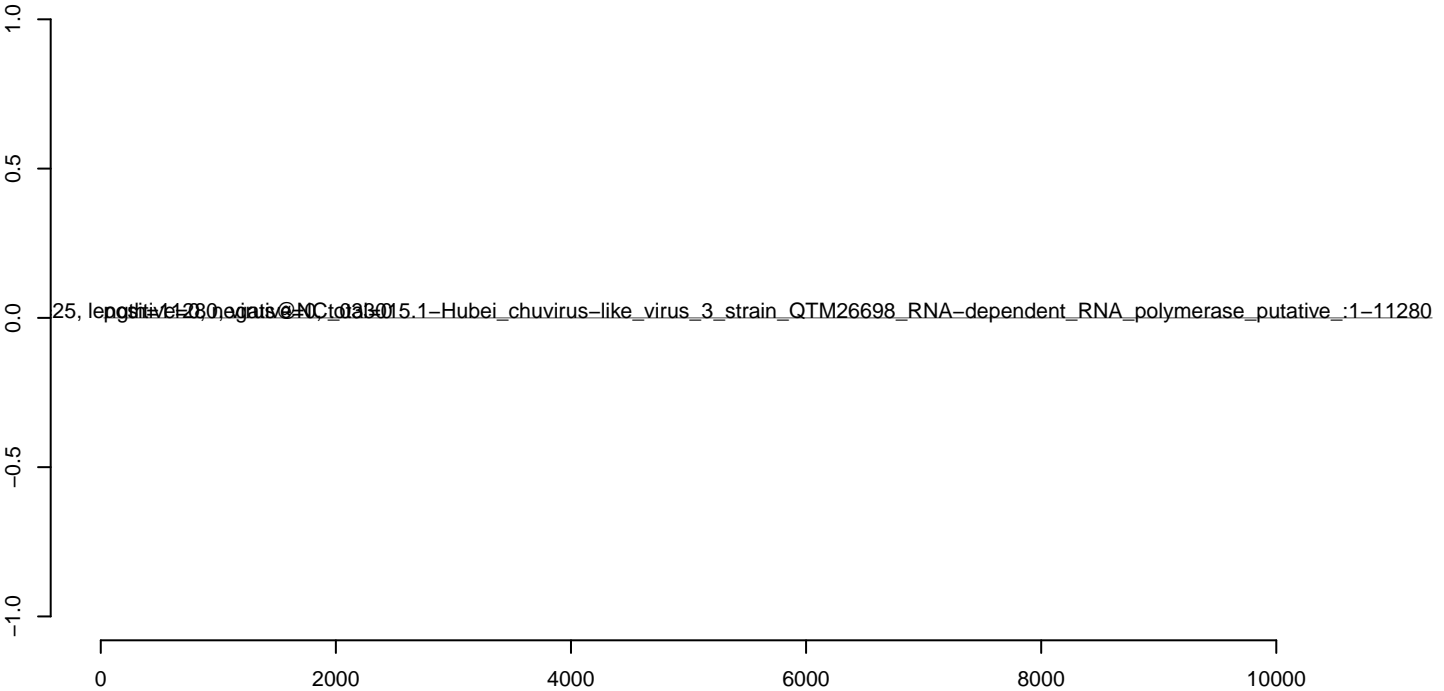
AeAlbo_C636_cells_rep_3.18_23.rep



AeAlbo_C636_cells_rep_3.24_35.rep



AeAlbo_C636_cells_rep_3.rep



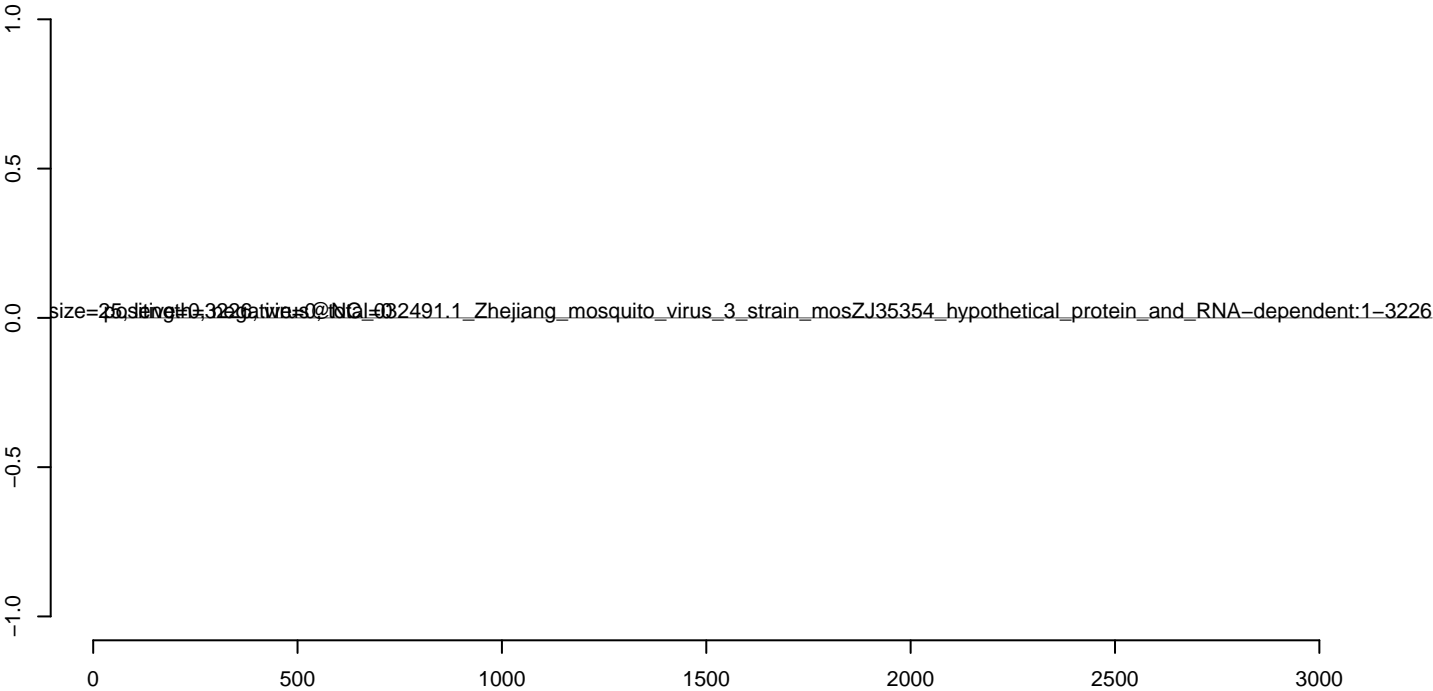
AeAlbo_C636_cells_rep_3.18_23.rep



AeAlbo_C636_cells_rep_3.24_35.rep



AeAlbo_C636_cells_rep_3.rep



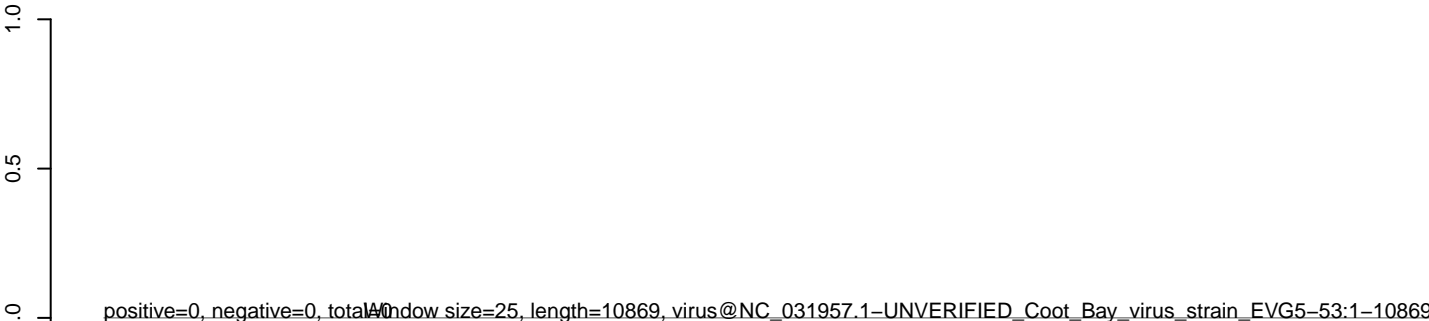
AeAlbo_C636_cells_rep_3.18_23.rep



AeAlbo_C636_cells_rep_3.24_35.rep

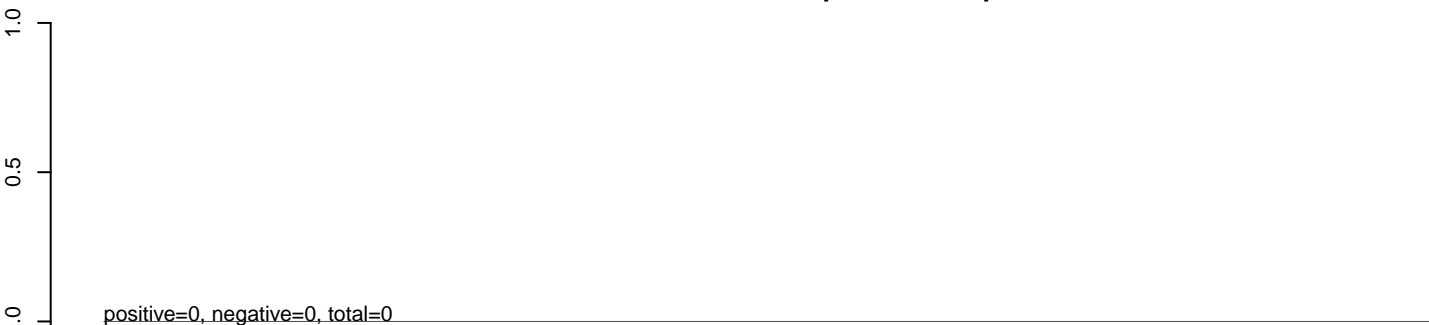


AeAlbo_C636_cells_rep_3.rep

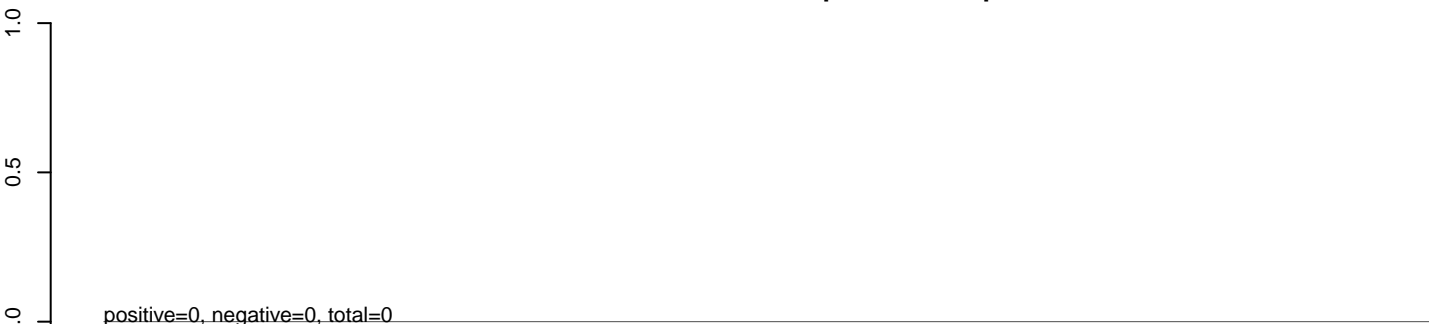


0 2000 4000 6000 8000 10000

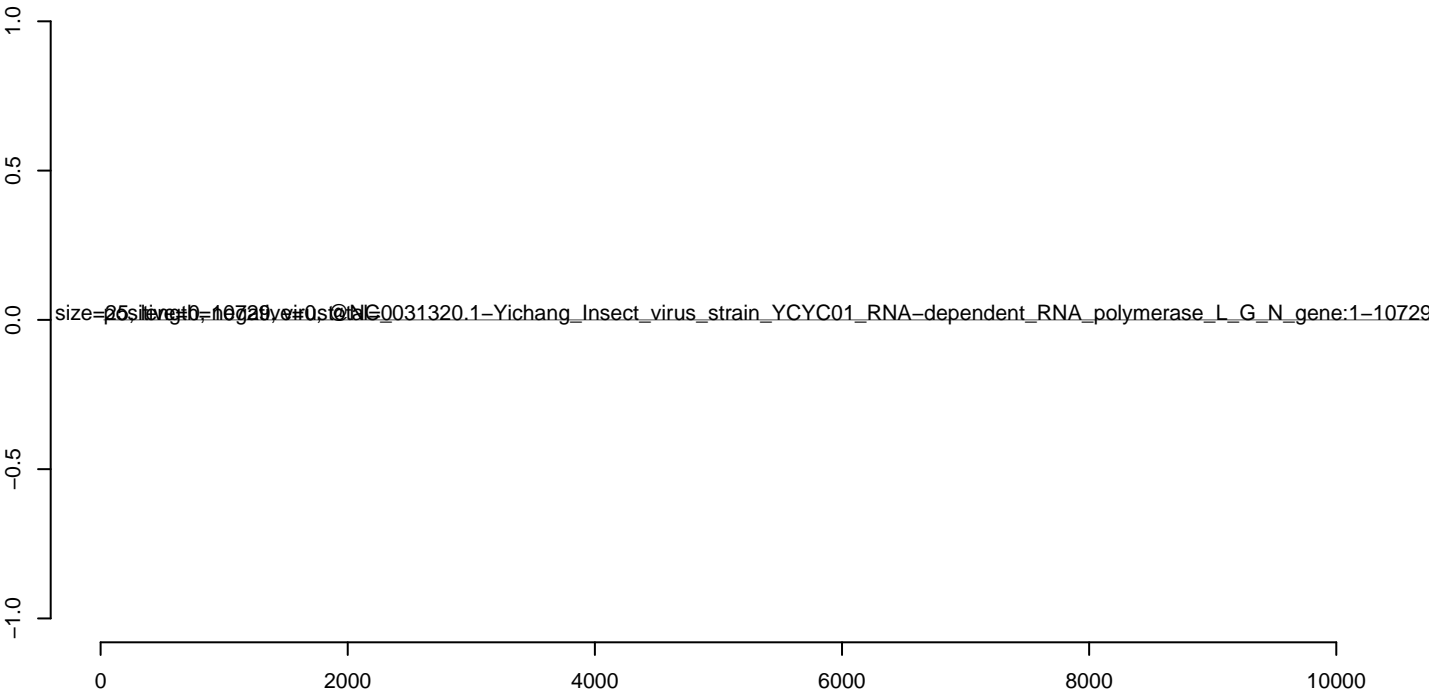
AeAlbo_C636_cells_rep_3.18_23.rep



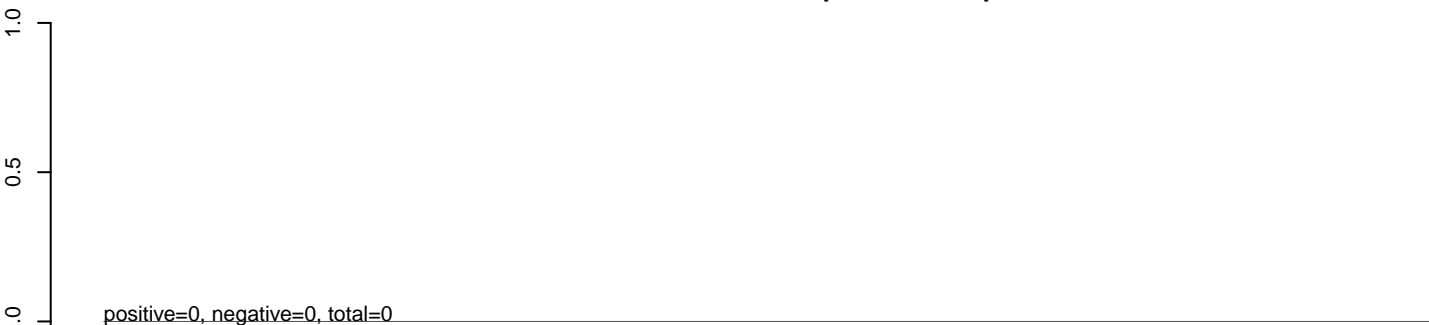
AeAlbo_C636_cells_rep_3.24_35.rep



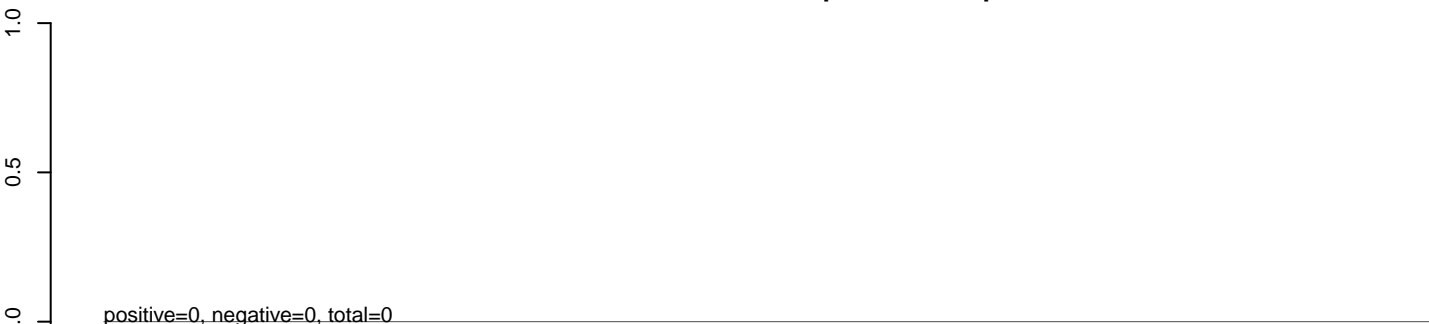
AeAlbo_C636_cells_rep_3.rep



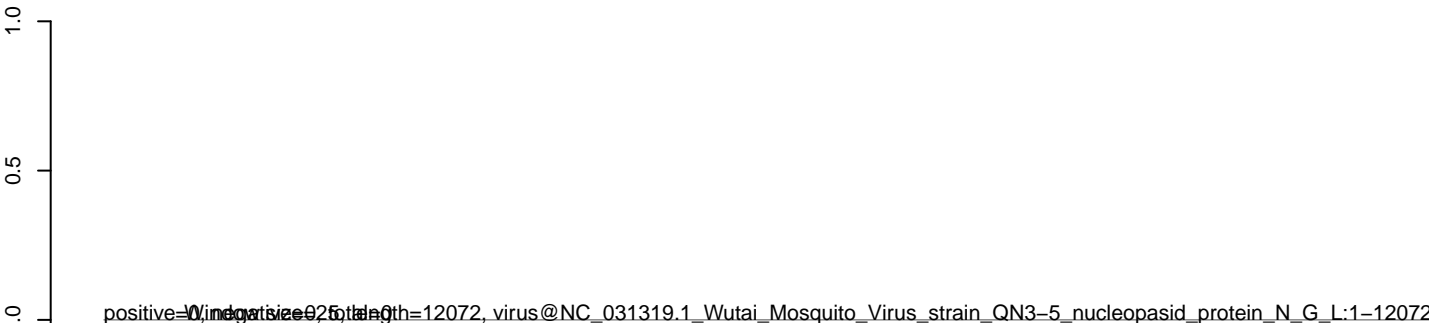
AeAlbo_C636_cells_rep_3.18_23.rep



AeAlbo_C636_cells_rep_3.24_35.rep



AeAlbo_C636_cells_rep_3.rep



0 2000 4000 6000 8000 10000 12000

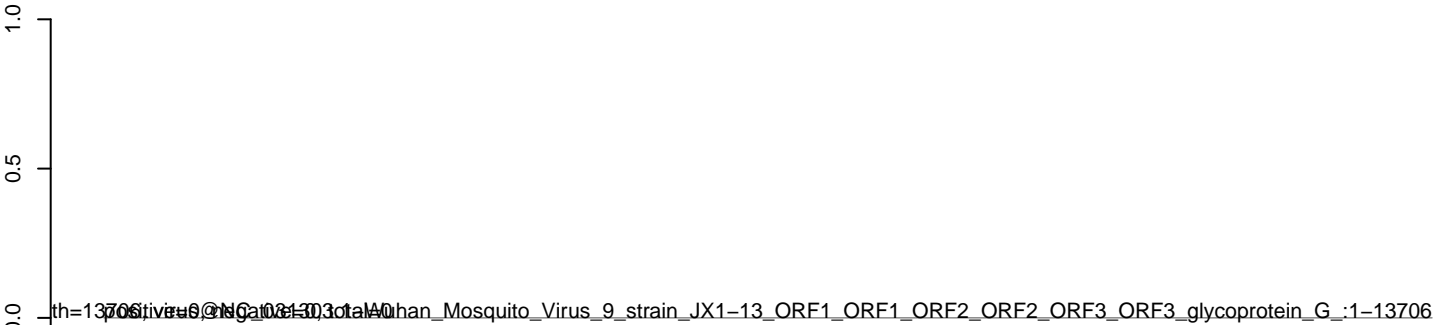
AeAlbo_C636_cells_rep_3.18_23.rep



AeAlbo_C636_cells_rep_3.24_35.rep



AeAlbo_C636_cells_rep_3.rep



0 2000 4000 6000 8000 10000 12000 14000

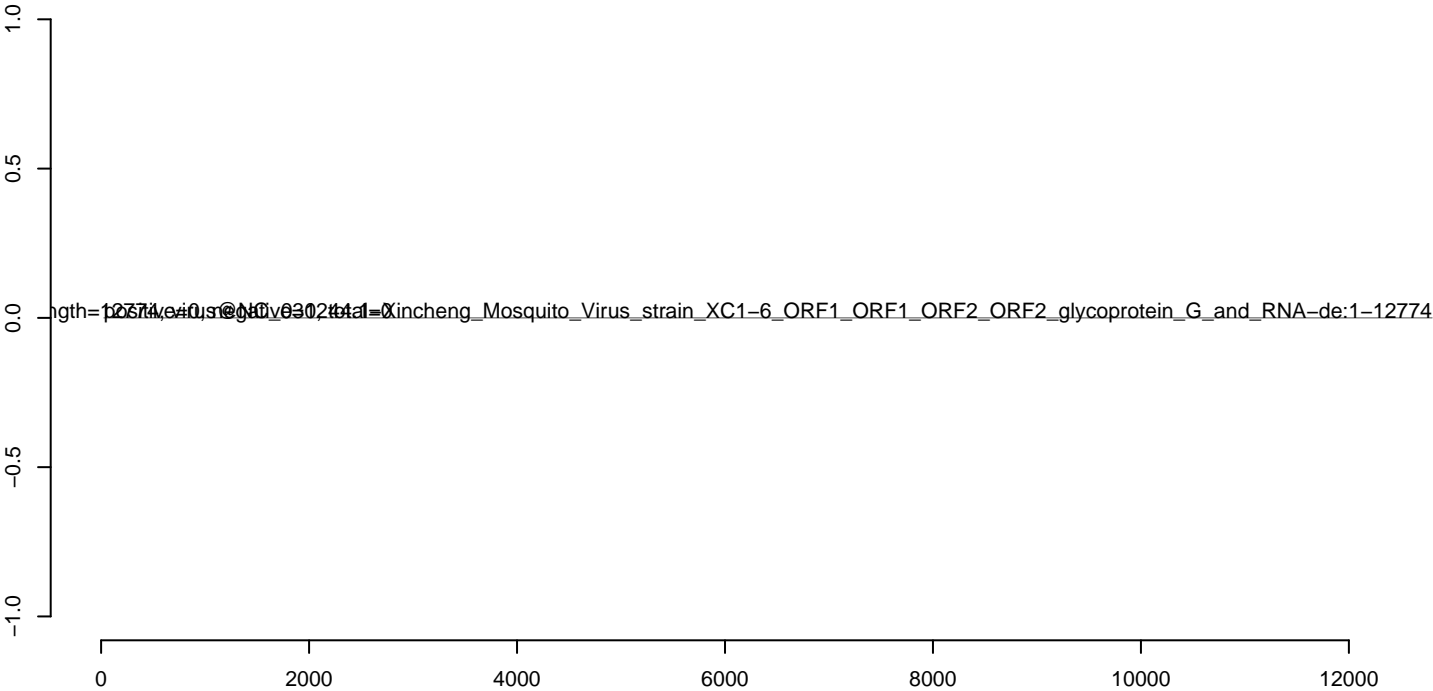
AeAlbo_C636_cells_rep_3.18_23.rep



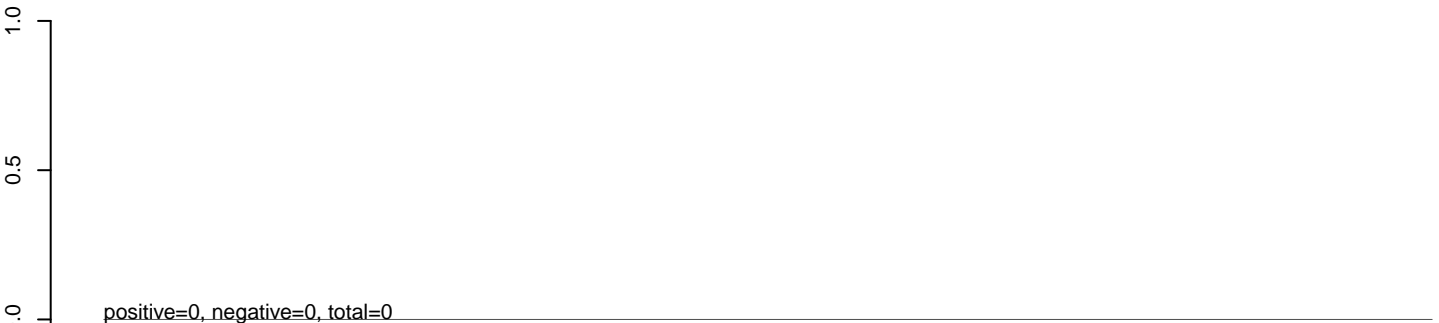
AeAlbo_C636_cells_rep_3.24_35.rep



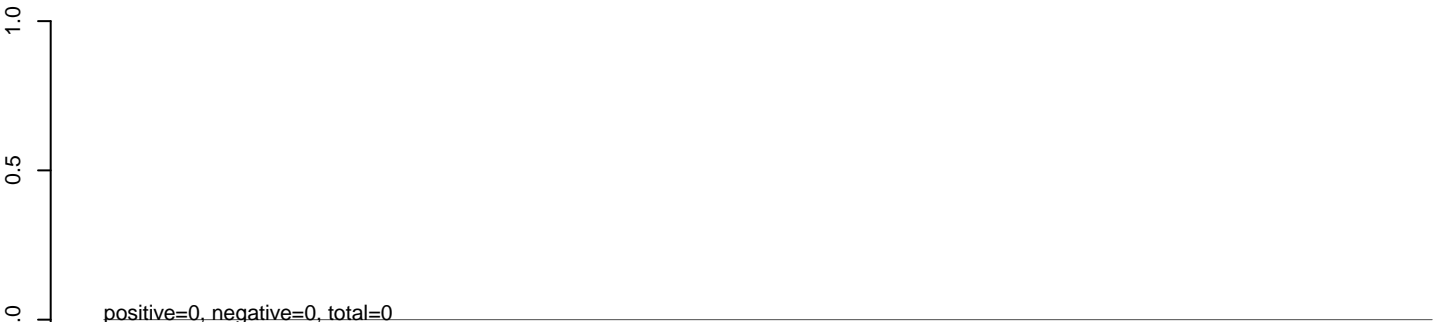
AeAlbo_C636_cells_rep_3.rep



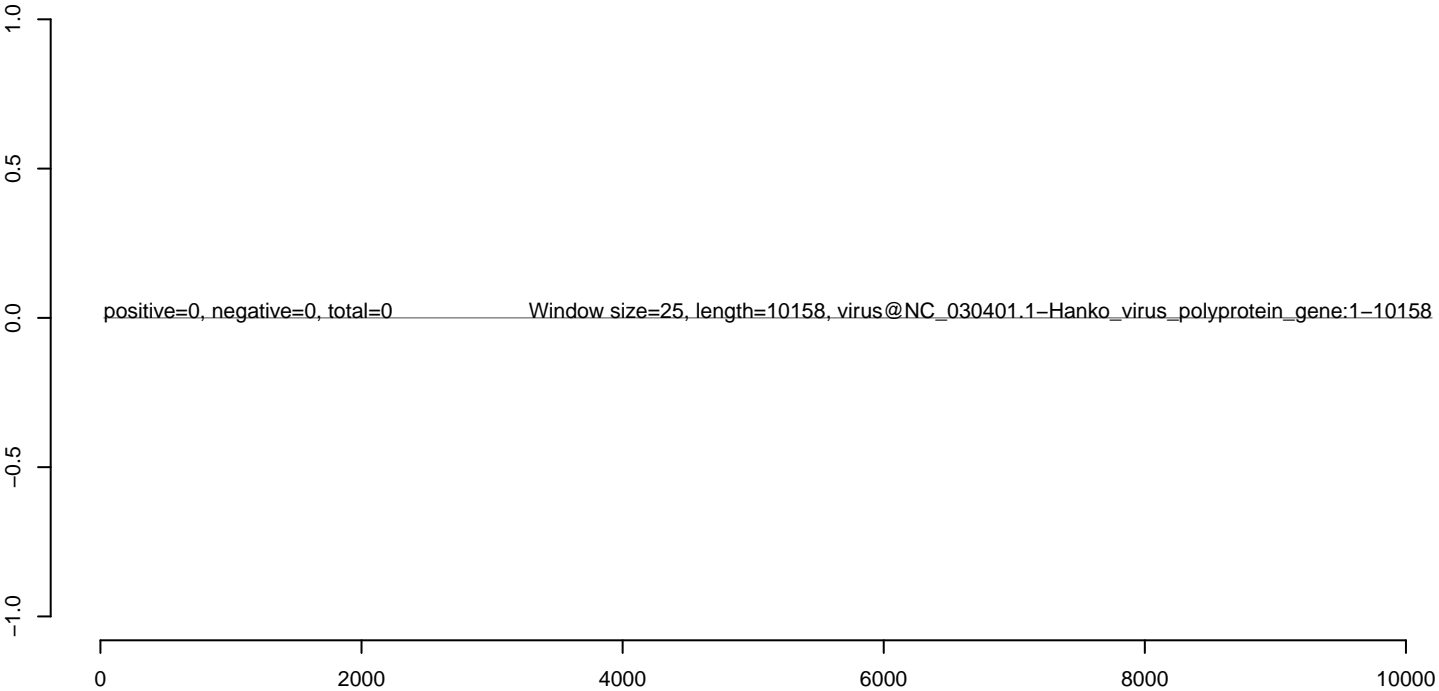
AeAlbo_C636_cells_rep_3.18_23.rep



AeAlbo_C636_cells_rep_3.24_35.rep



AeAlbo_C636_cells_rep_3.rep



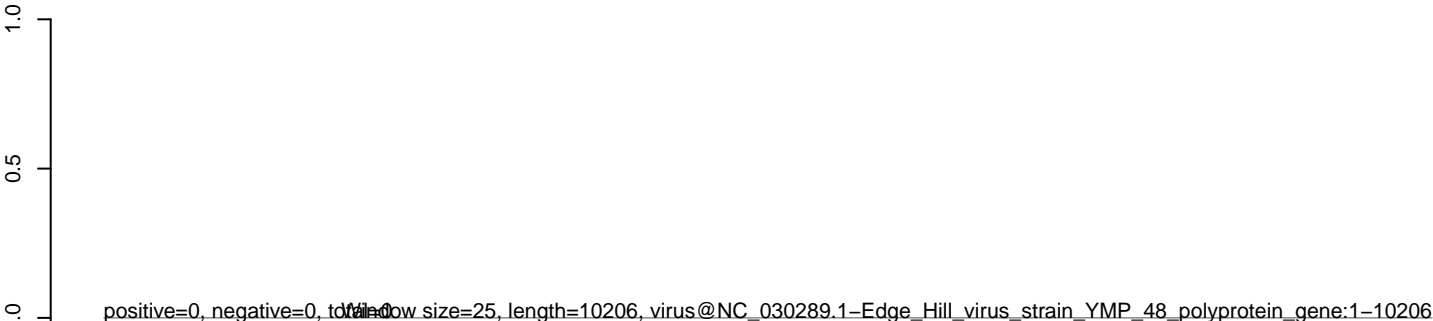
AeAlbo_C636_cells_rep_3.18_23.rep



AeAlbo_C636_cells_rep_3.24_35.rep



AeAlbo_C636_cells_rep_3.rep



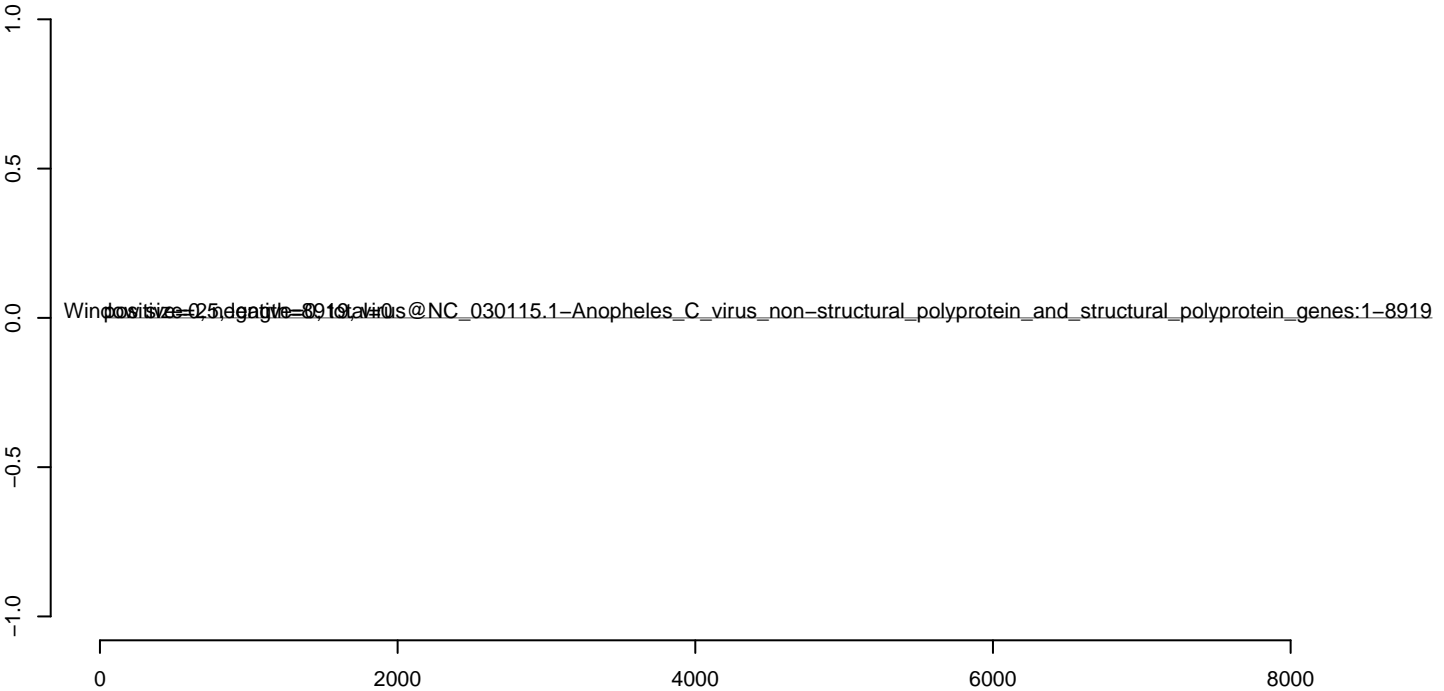
AeAlbo_C636_cells_rep_3.18_23.rep



AeAlbo_C636_cells_rep_3.24_35.rep



AeAlbo_C636_cells_rep_3.rep



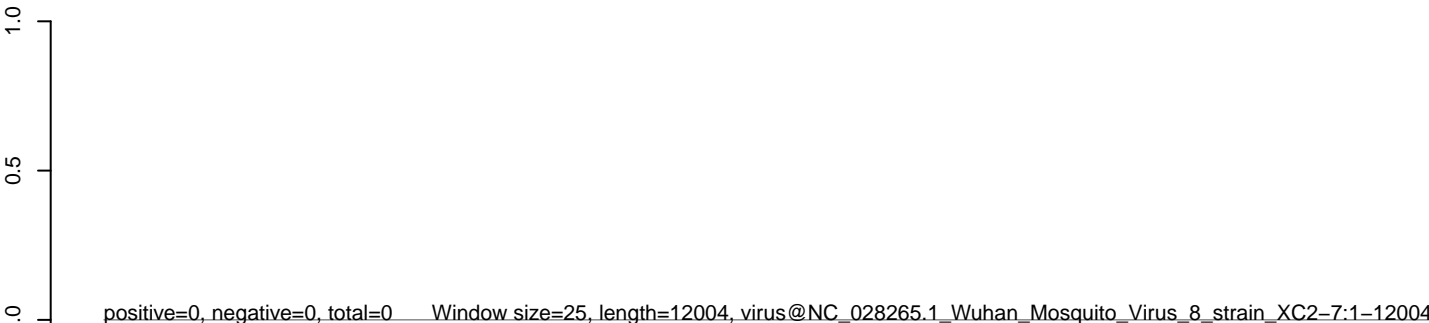
AeAlbo_C636_cells_rep_3.18_23.rep



AeAlbo_C636_cells_rep_3.24_35.rep



AeAlbo_C636_cells_rep_3.rep



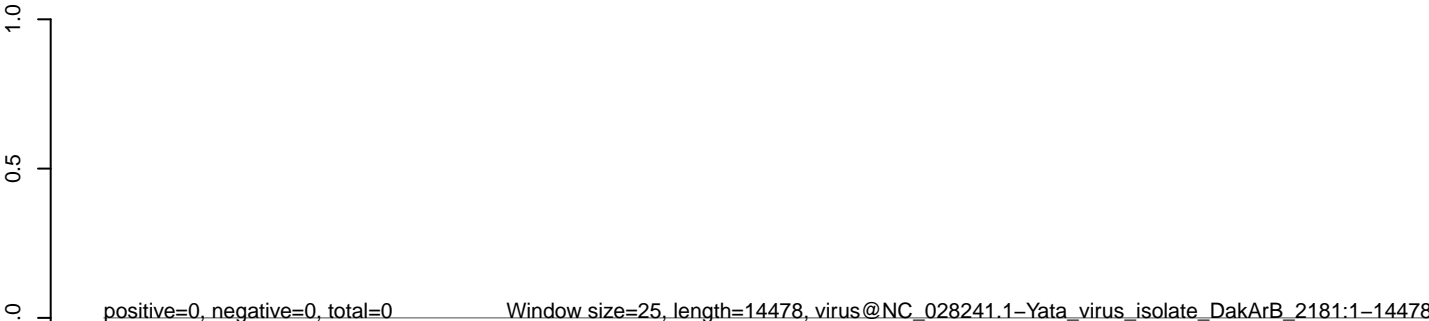
AeAlbo_C636_cells_rep_3.18_23.rep



AeAlbo_C636_cells_rep_3.24_35.rep



AeAlbo_C636_cells_rep_3.rep



AeAlbo_C636_cells_rep_3.18_23.rep



AeAlbo_C636_cells_rep_3.24_35.rep



AeAlbo_C636_cells_rep_3.rep



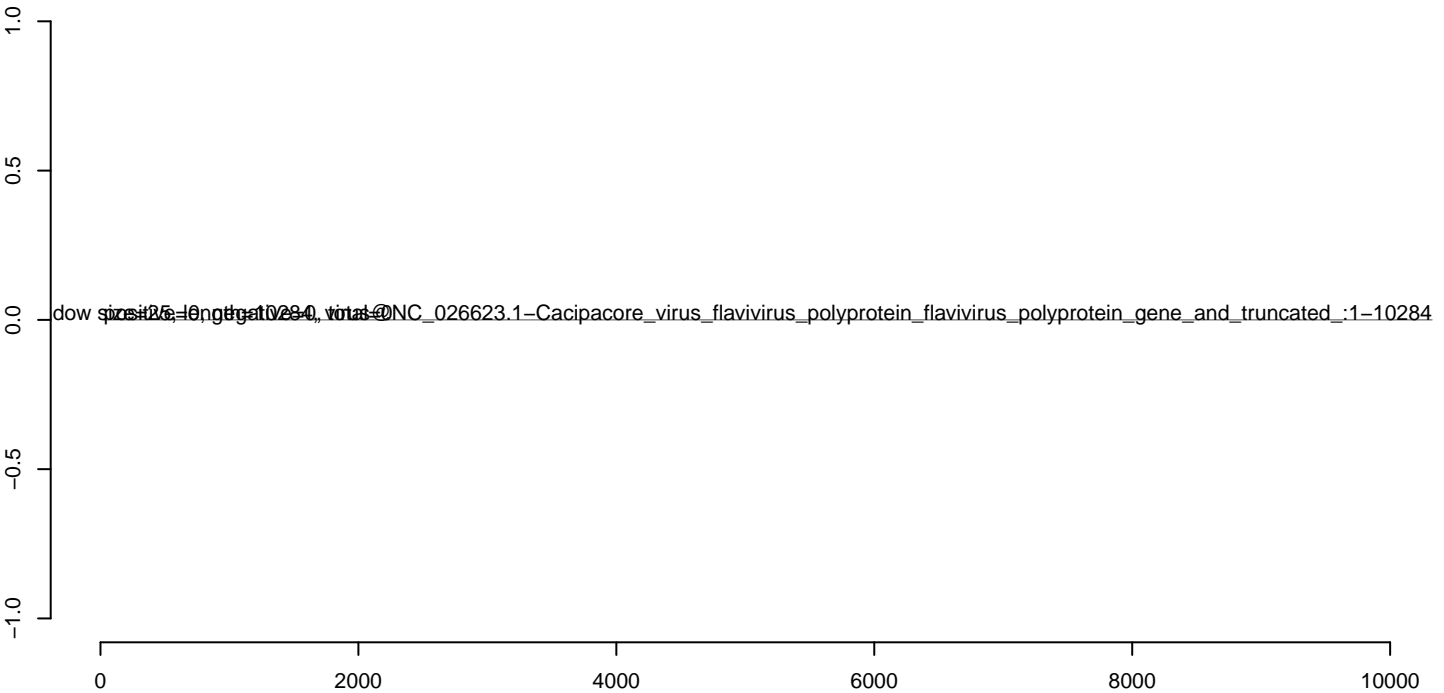
AeAlbo_C636_cells_rep_3.18_23.rep



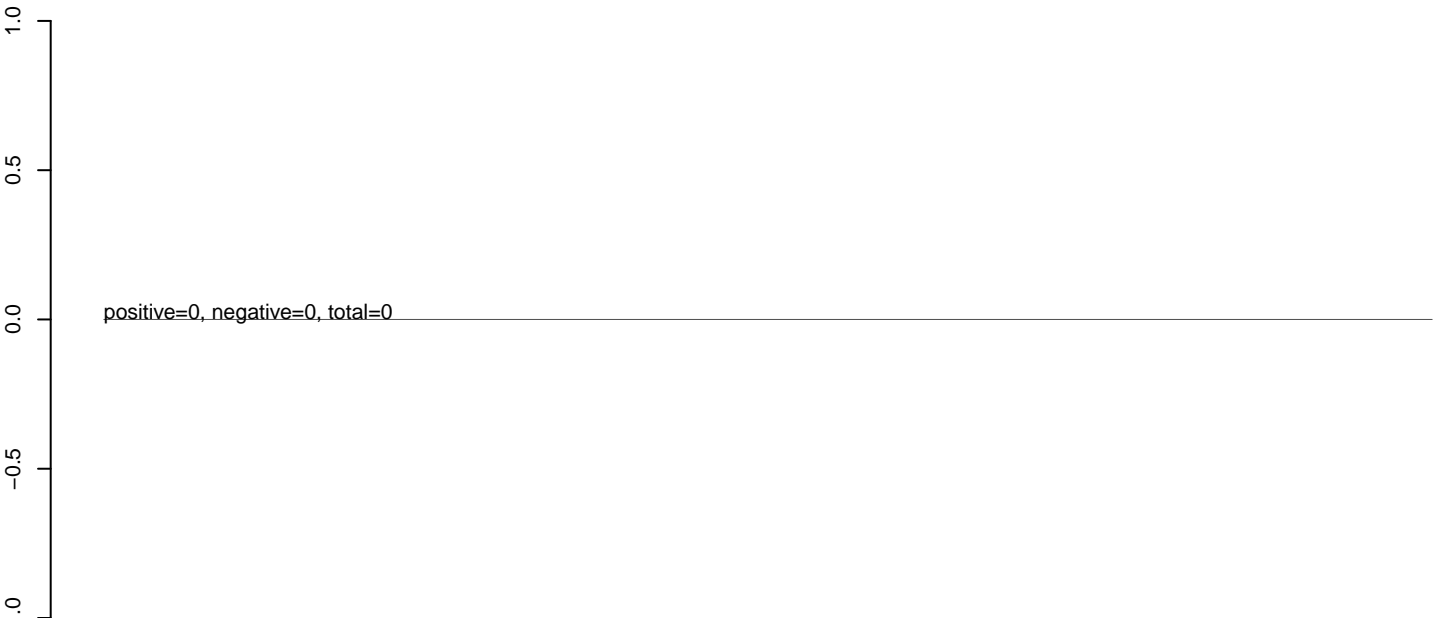
AeAlbo_C636_cells_rep_3.24_35.rep



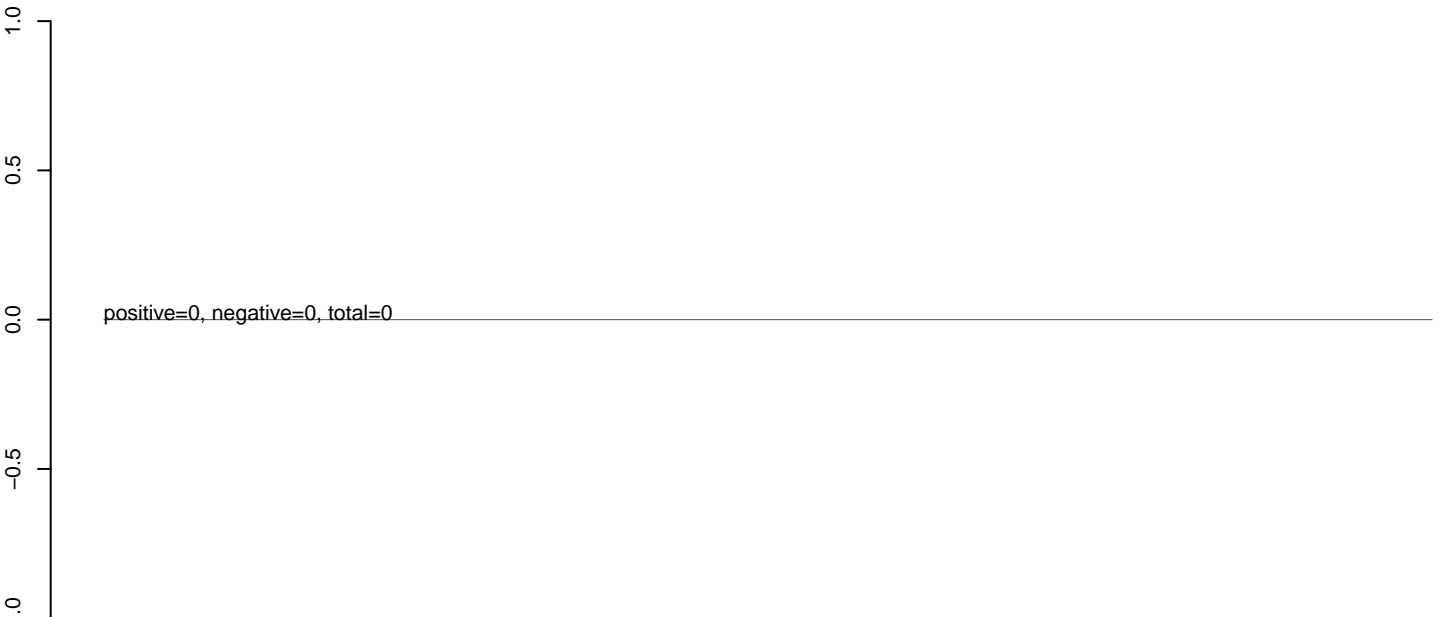
AeAlbo_C636_cells_rep_3.rep



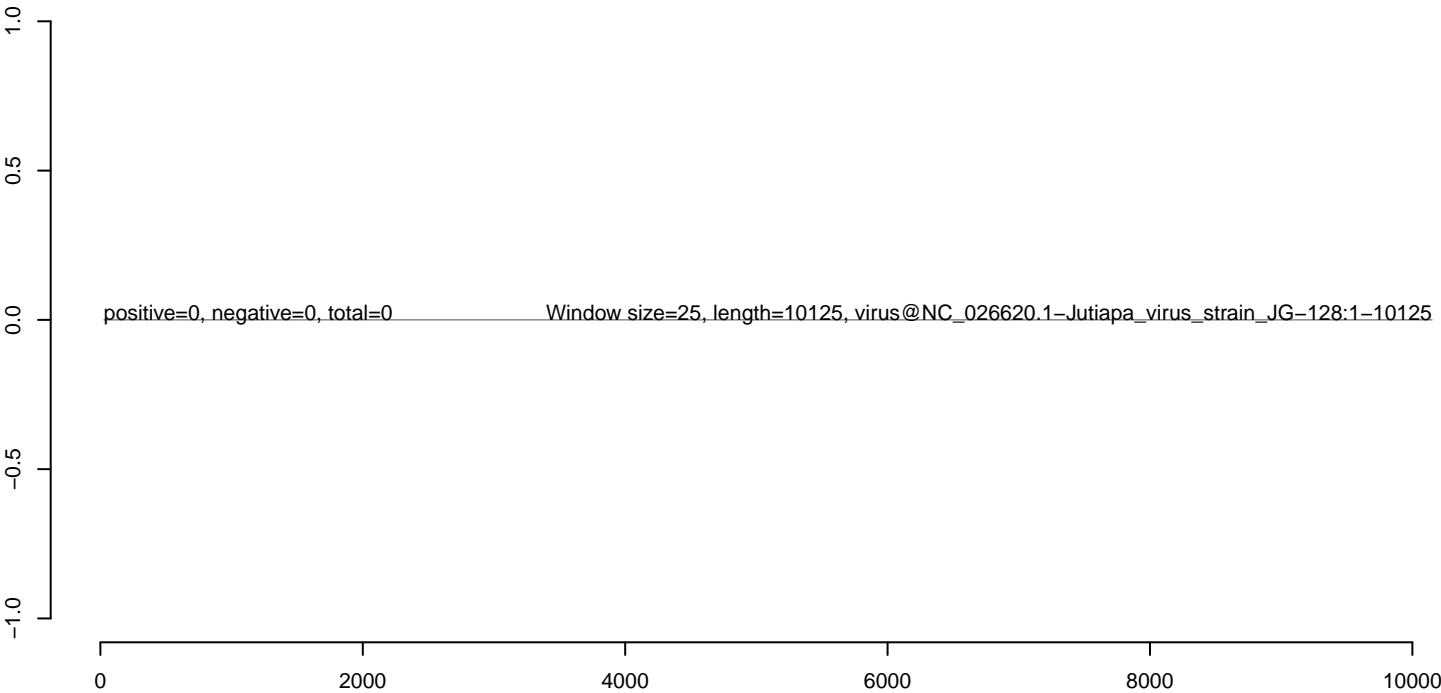
AeAlbo_C636_cells_rep_3.18_23.rep



AeAlbo_C636_cells_rep_3.24_35.rep



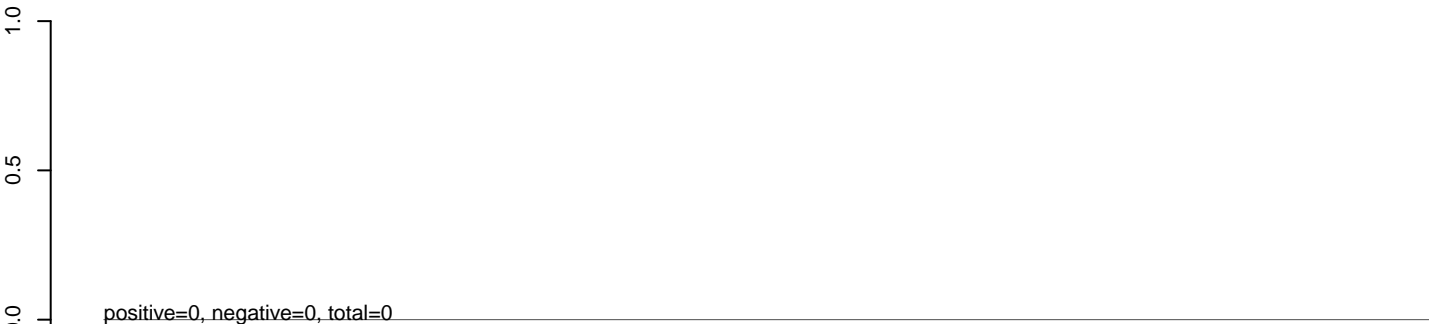
AeAlbo_C636_cells_rep_3.rep



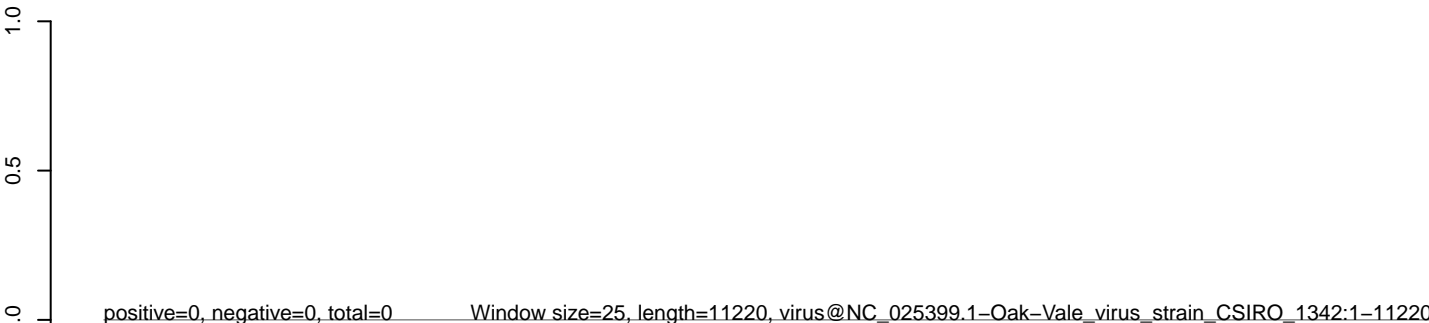
AeAlbo_C636_cells_rep_3.18_23.rep



AeAlbo_C636_cells_rep_3.24_35.rep



AeAlbo_C636_cells_rep_3.rep



0 2000 4000 6000 8000 10000

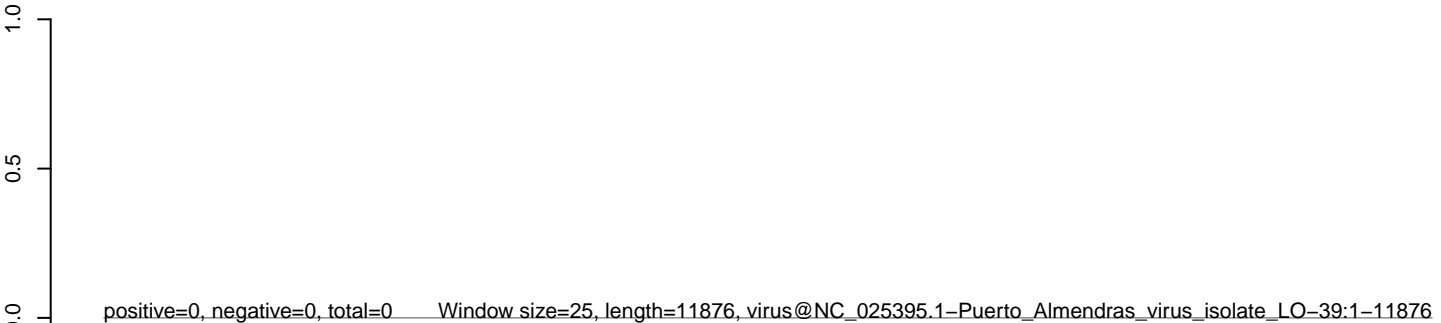
AeAlbo_C636_cells_rep_3.18_23.rep



AeAlbo_C636_cells_rep_3.24_35.rep



AeAlbo_C636_cells_rep_3.rep



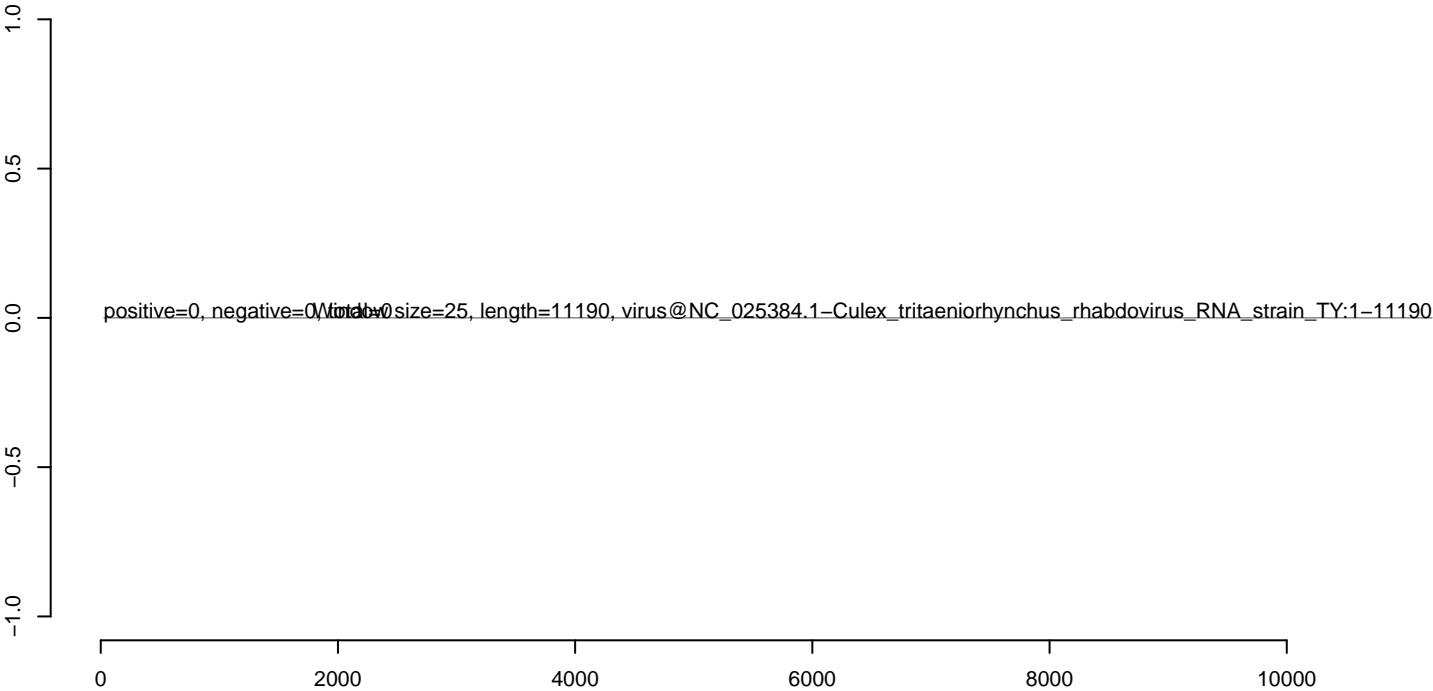
AeAlbo_C636_cells_rep_3.18_23.rep



AeAlbo_C636_cells_rep_3.24_35.rep



AeAlbo_C636_cells_rep_3.rep



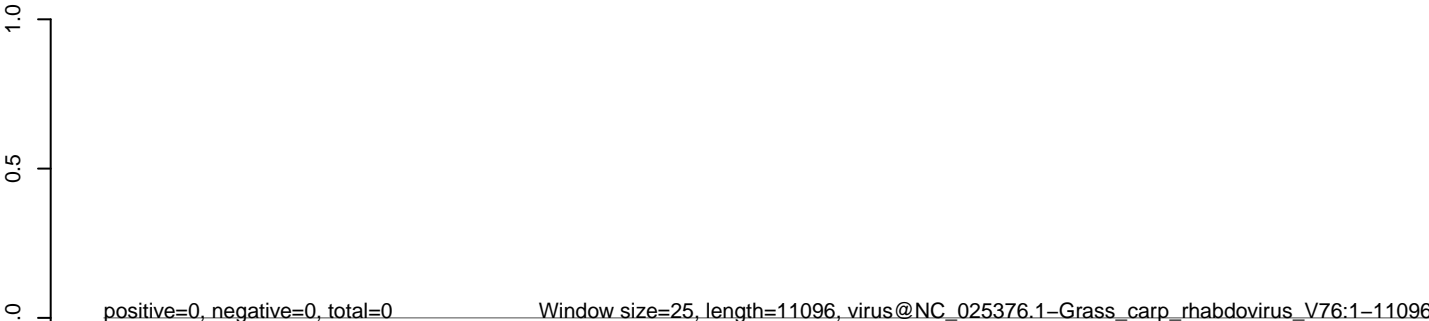
AeAlbo_C636_cells_rep_3.18_23.rep



AeAlbo_C636_cells_rep_3.24_35.rep



AeAlbo_C636_cells_rep_3.rep



0 2000 4000 6000 8000 10000

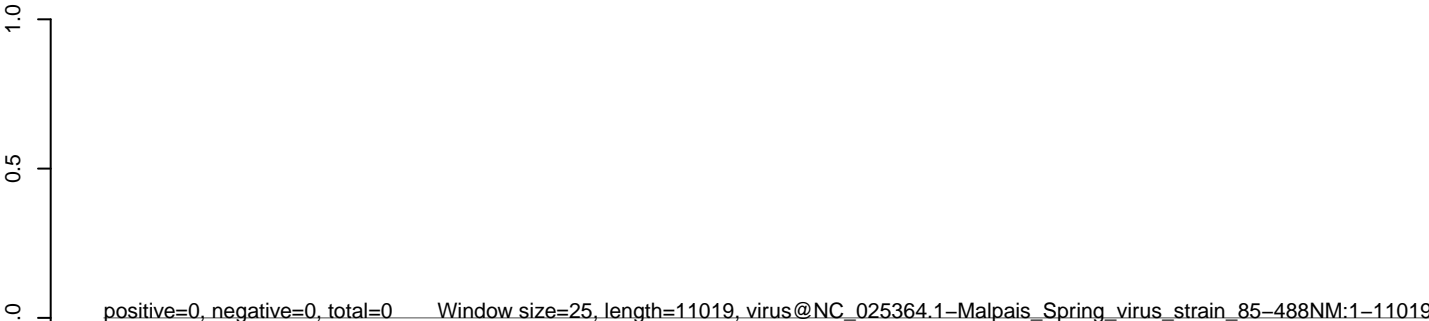
AeAlbo_C636_cells_rep_3.18_23.rep



AeAlbo_C636_cells_rep_3.24_35.rep



AeAlbo_C636_cells_rep_3.rep



0 2000 4000 6000 8000 10000

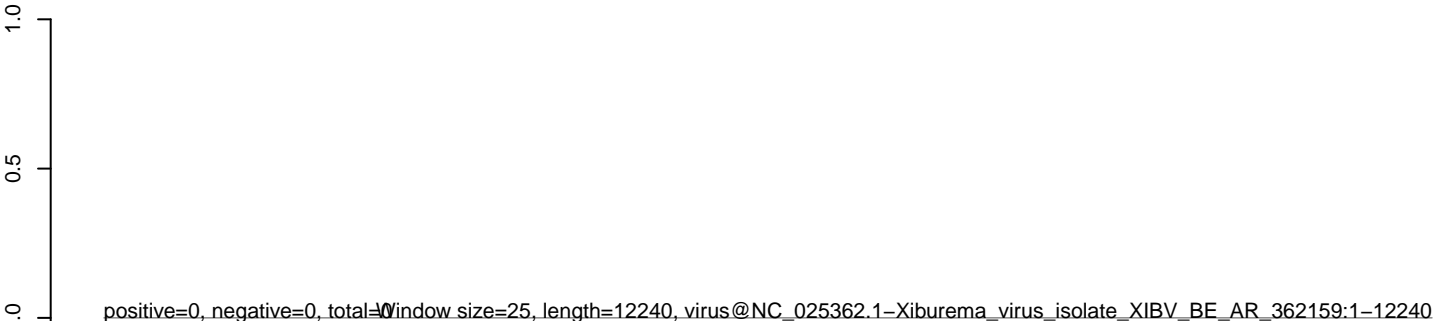
AeAlbo_C636_cells_rep_3.18_23.rep



AeAlbo_C636_cells_rep_3.24_35.rep



AeAlbo_C636_cells_rep_3.rep



0 2000 4000 6000 8000 10000 12000

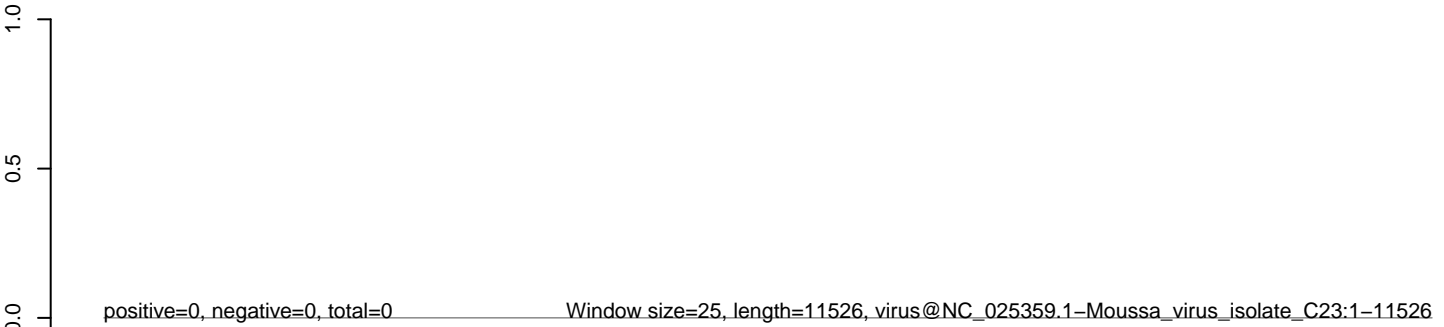
AeAlbo_C636_cells_rep_3.18_23.rep



AeAlbo_C636_cells_rep_3.24_35.rep



AeAlbo_C636_cells_rep_3.rep



0 2000 4000 6000 8000 10000 12000

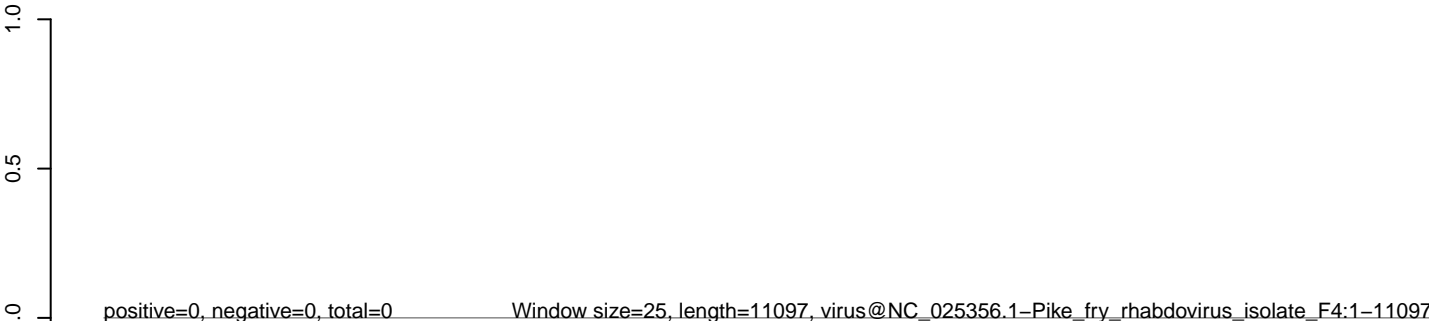
AeAlbo_C636_cells_rep_3.18_23.rep



AeAlbo_C636_cells_rep_3.24_35.rep



AeAlbo_C636_cells_rep_3.rep



0 2000 4000 6000 8000 10000

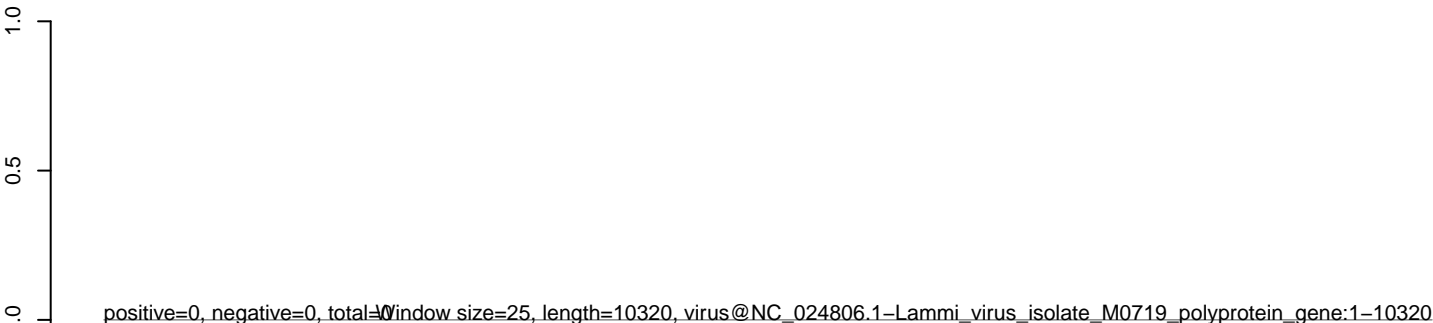
AeAlbo_C636_cells_rep_3.18_23.rep



AeAlbo_C636_cells_rep_3.24_35.rep



AeAlbo_C636_cells_rep_3.rep



0 2000 4000 6000 8000 10000

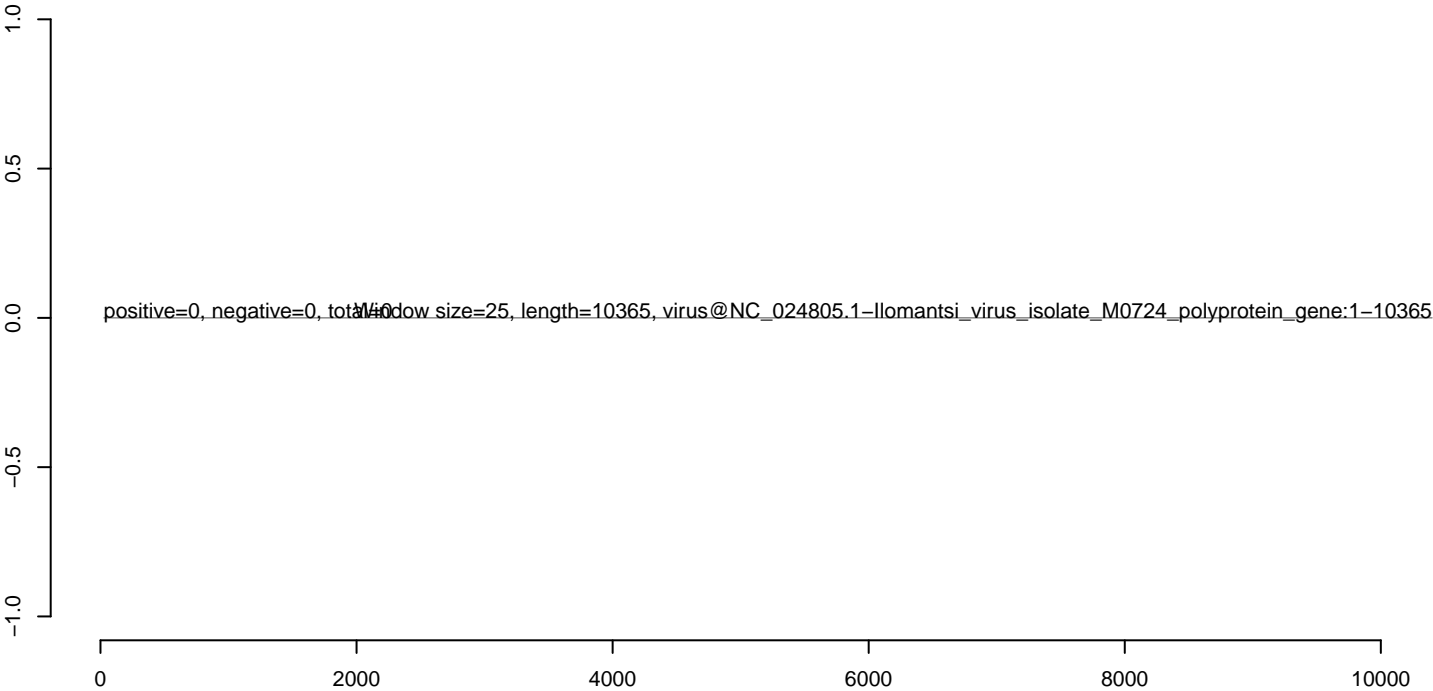
AeAlbo_C636_cells_rep_3.18_23.rep



AeAlbo_C636_cells_rep_3.24_35.rep



AeAlbo_C636_cells_rep_3.rep



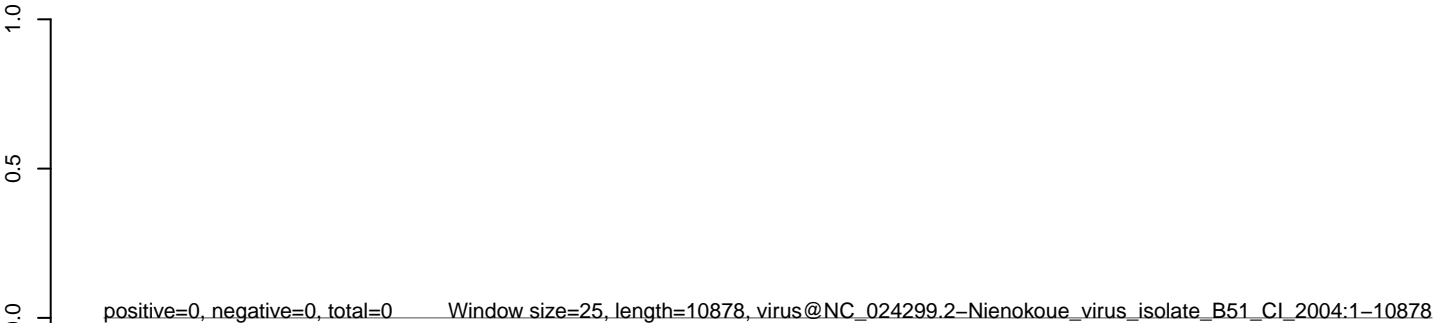
AeAlbo_C636_cells_rep_3.18_23.rep



AeAlbo_C636_cells_rep_3.24_35.rep



AeAlbo_C636_cells_rep_3.rep



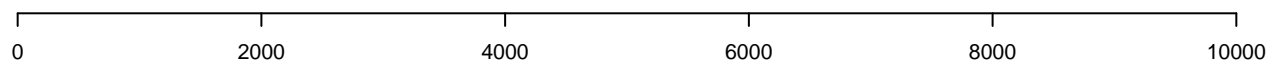
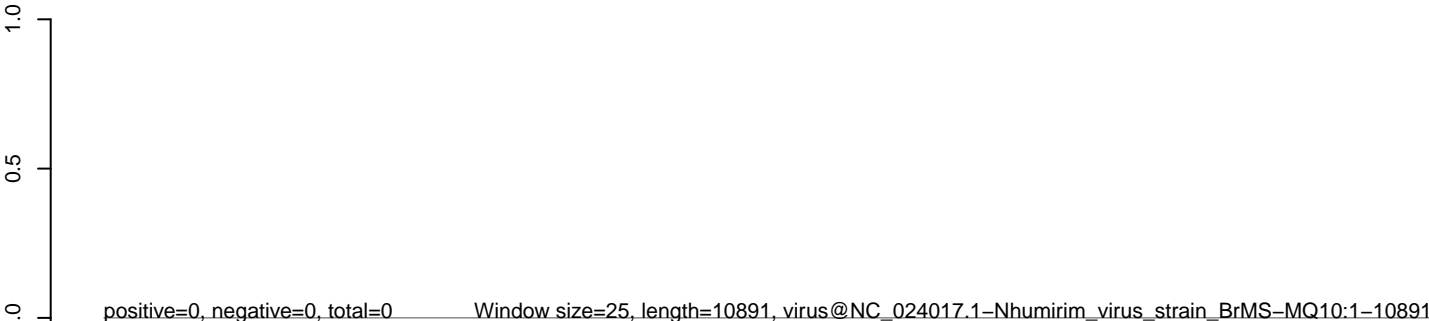
AeAlbo_C636_cells_rep_3.18_23.rep



AeAlbo_C636_cells_rep_3.24_35.rep



AeAlbo_C636_cells_rep_3.rep



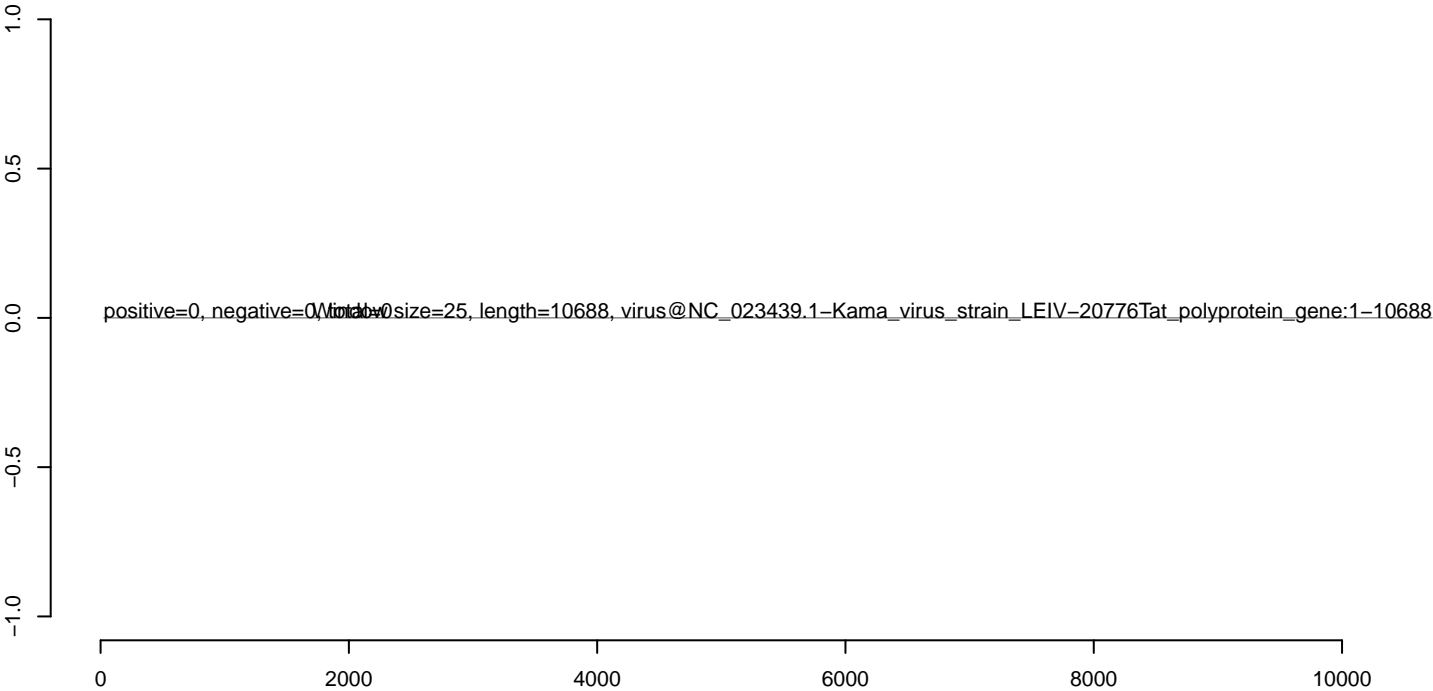
AeAlbo_C636_cells_rep_3.18_23.rep



AeAlbo_C636_cells_rep_3.24_35.rep



AeAlbo_C636_cells_rep_3.rep



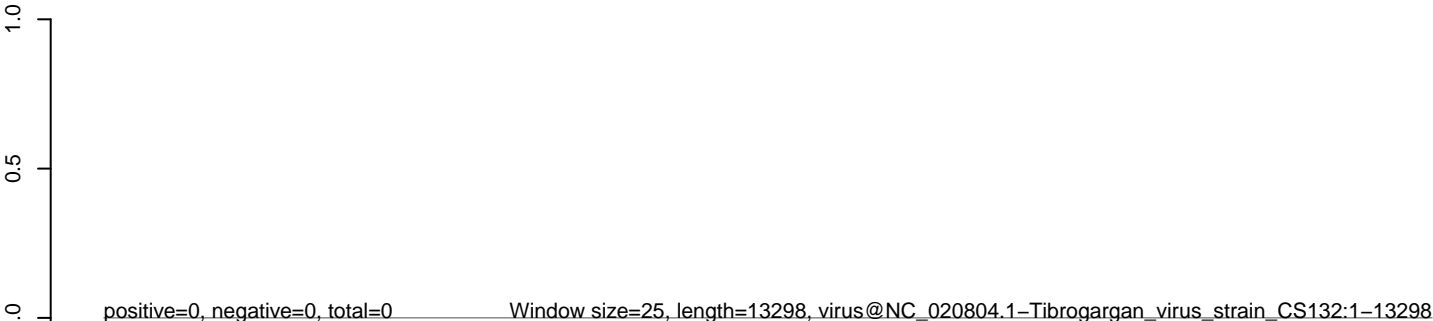
AeAlbo_C636_cells_rep_3.18_23.rep



AeAlbo_C636_cells_rep_3.24_35.rep



AeAlbo_C636_cells_rep_3.rep



0 2000 4000 6000 8000 10000 12000

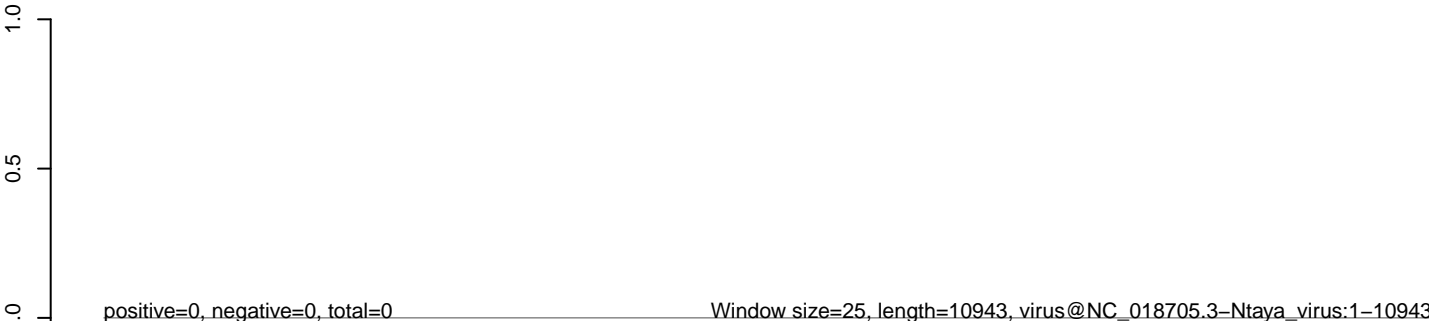
AeAlbo_C636_cells_rep_3.18_23.rep



AeAlbo_C636_cells_rep_3.24_35.rep



AeAlbo_C636_cells_rep_3.rep



0 2000 4000 6000 8000 10000

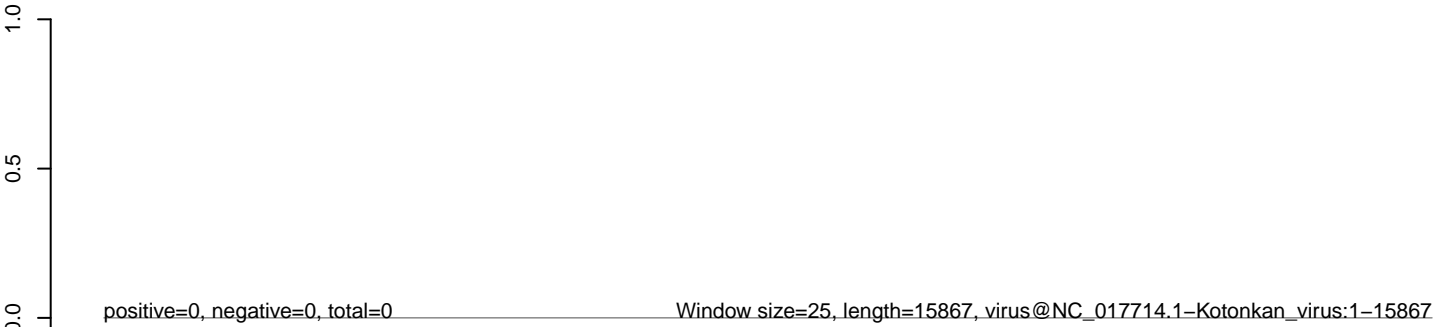
AeAlbo_C636_cells_rep_3.18_23.rep



AeAlbo_C636_cells_rep_3.24_35.rep



AeAlbo_C636_cells_rep_3.rep



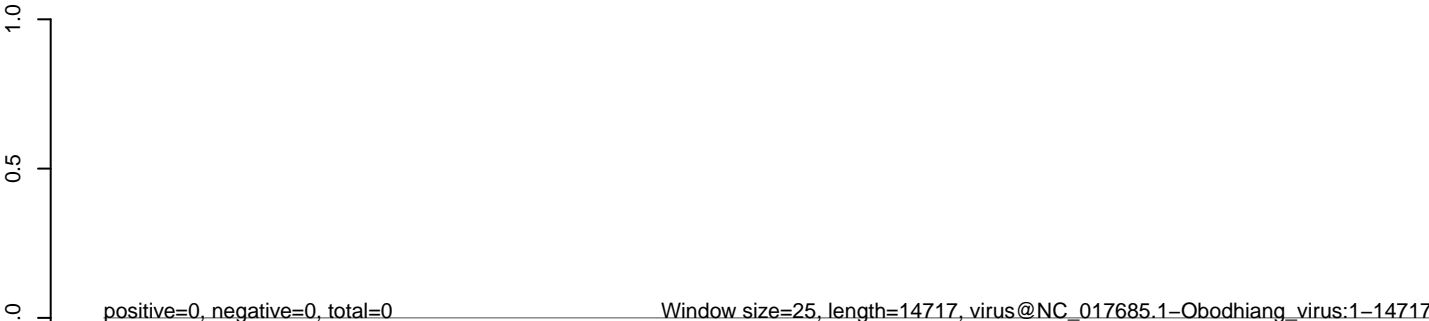
AeAlbo_C636_cells_rep_3.18_23.rep



AeAlbo_C636_cells_rep_3.24_35.rep



AeAlbo_C636_cells_rep_3.rep



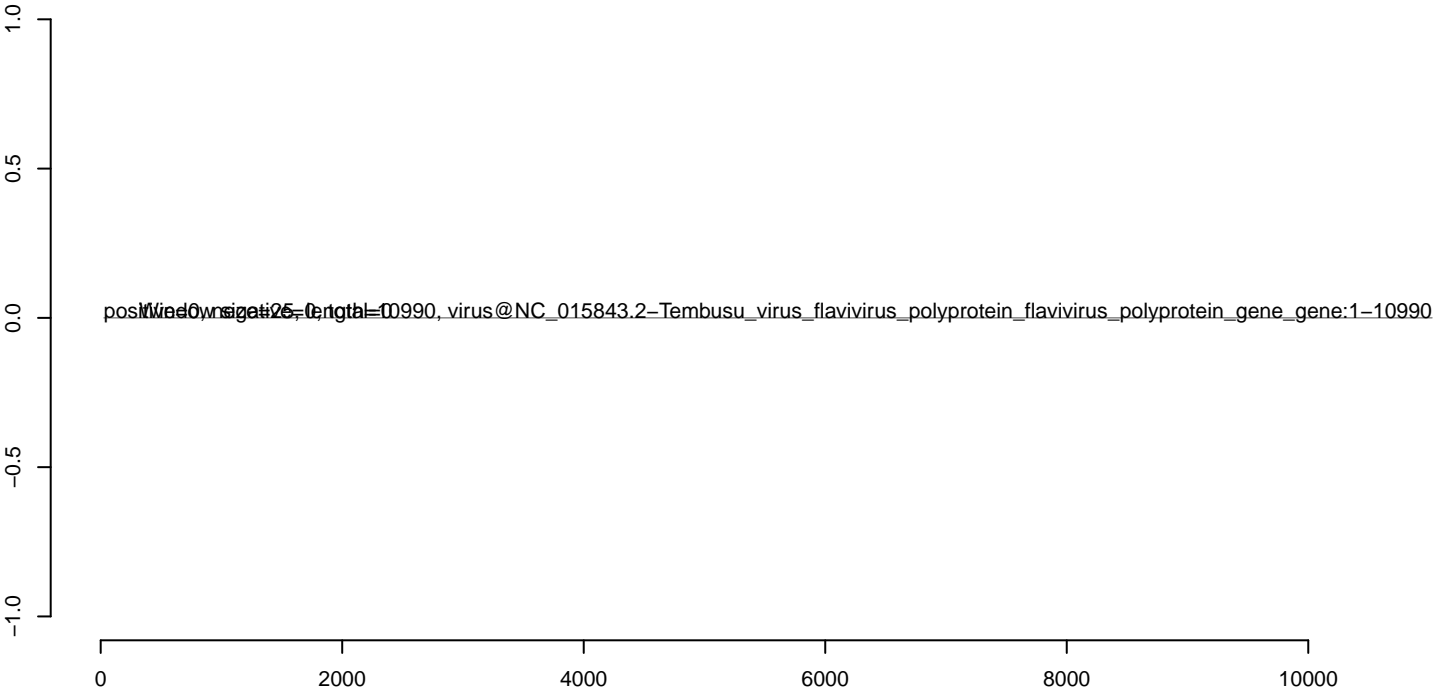
AeAlbo_C636_cells_rep_3.18_23.rep



AeAlbo_C636_cells_rep_3.24_35.rep



AeAlbo_C636_cells_rep_3.rep



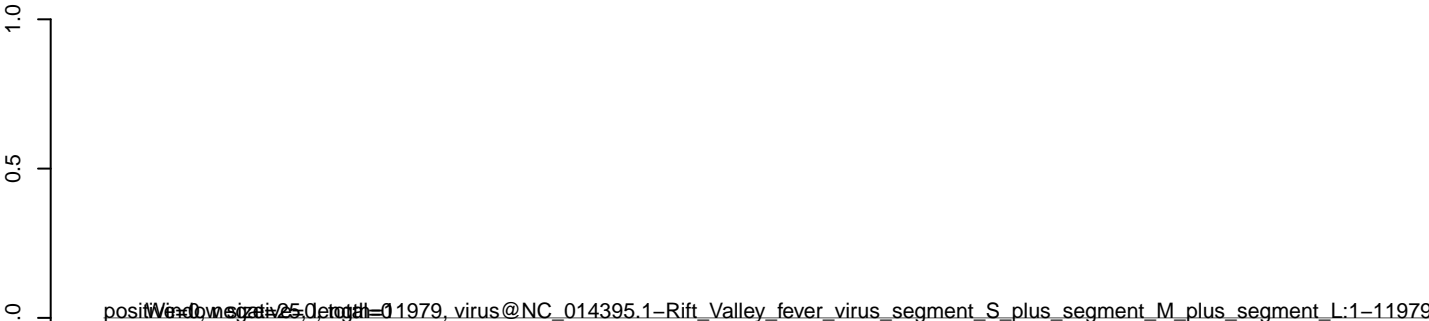
AeAlbo_C636_cells_rep_3.18_23.rep



AeAlbo_C636_cells_rep_3.24_35.rep



AeAlbo_C636_cells_rep_3.rep



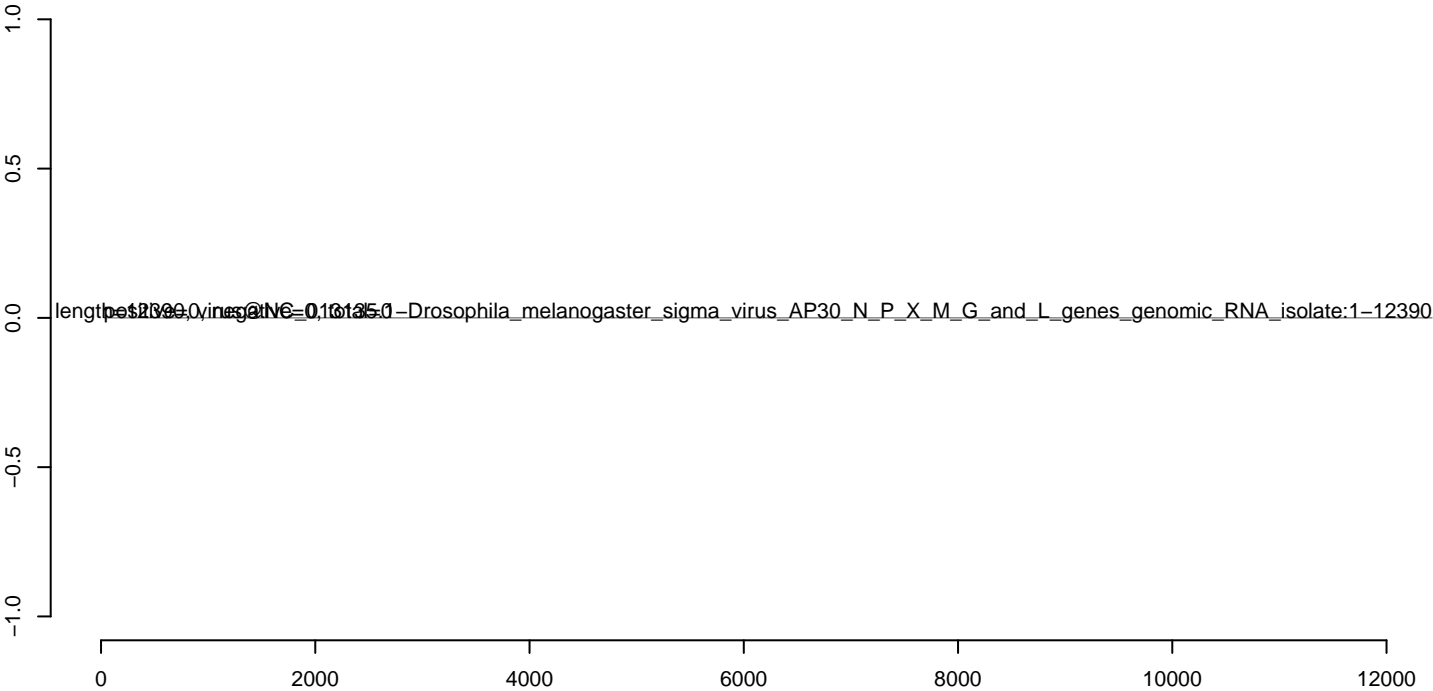
AeAlbo_C636_cells_rep_3.18_23.rep



AeAlbo_C636_cells_rep_3.24_35.rep



AeAlbo_C636_cells_rep_3.rep



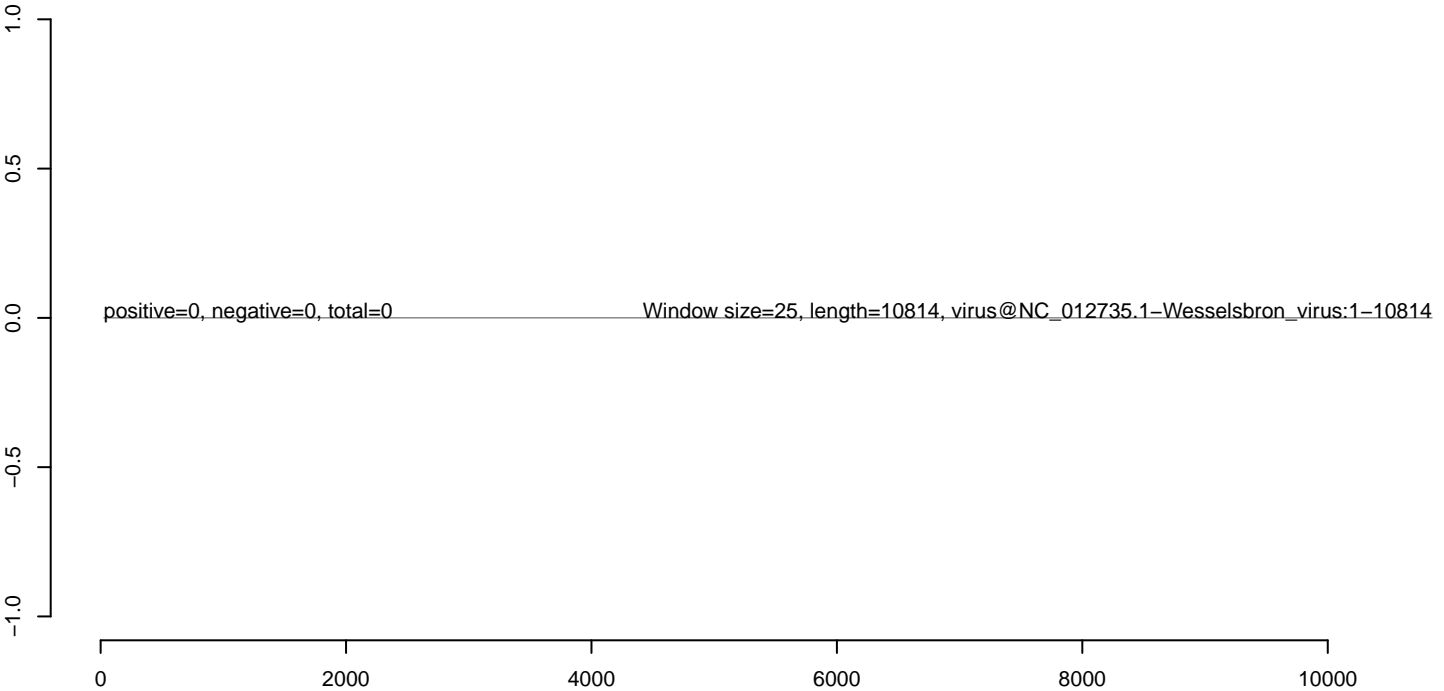
AeAlbo_C636_cells_rep_3.18_23.rep



AeAlbo_C636_cells_rep_3.24_35.rep



AeAlbo_C636_cells_rep_3.rep



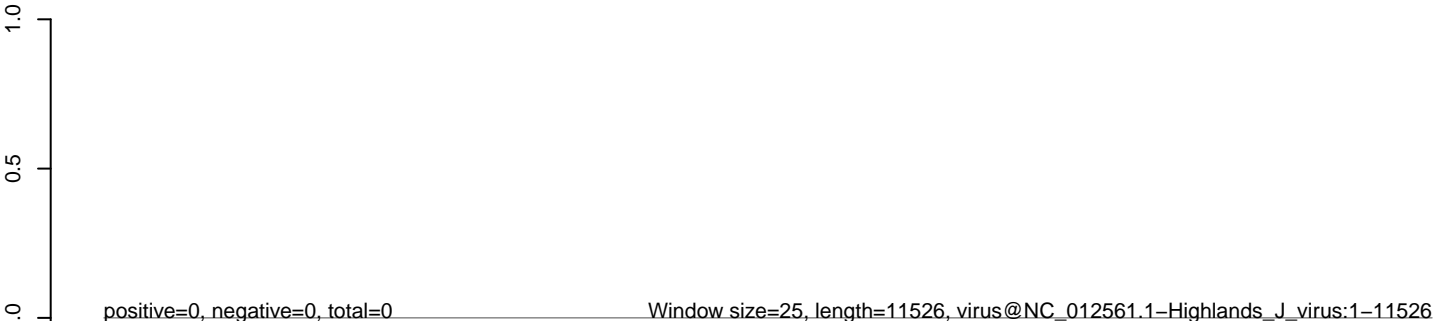
AeAlbo_C636_cells_rep_3.18_23.rep



AeAlbo_C636_cells_rep_3.24_35.rep



AeAlbo_C636_cells_rep_3.rep



0 2000 4000 6000 8000 10000 12000

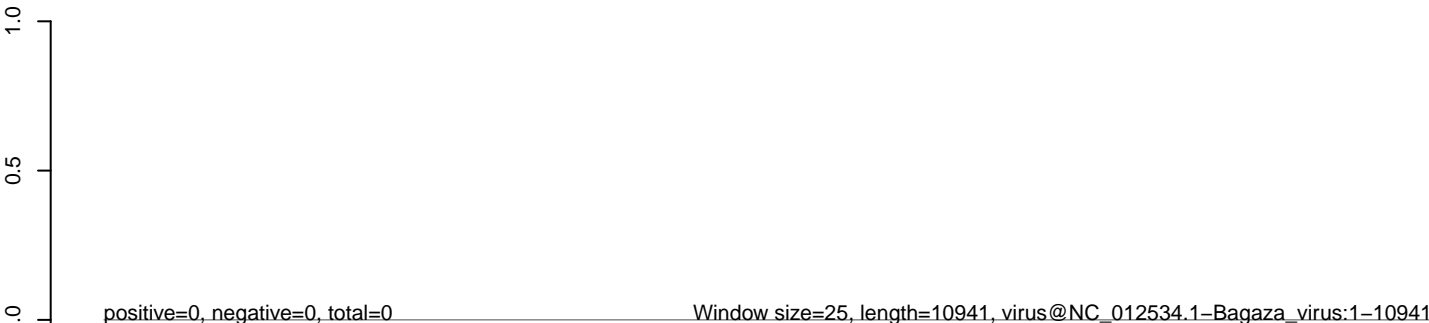
AeAlbo_C636_cells_rep_3.18_23.rep



AeAlbo_C636_cells_rep_3.24_35.rep



AeAlbo_C636_cells_rep_3.rep



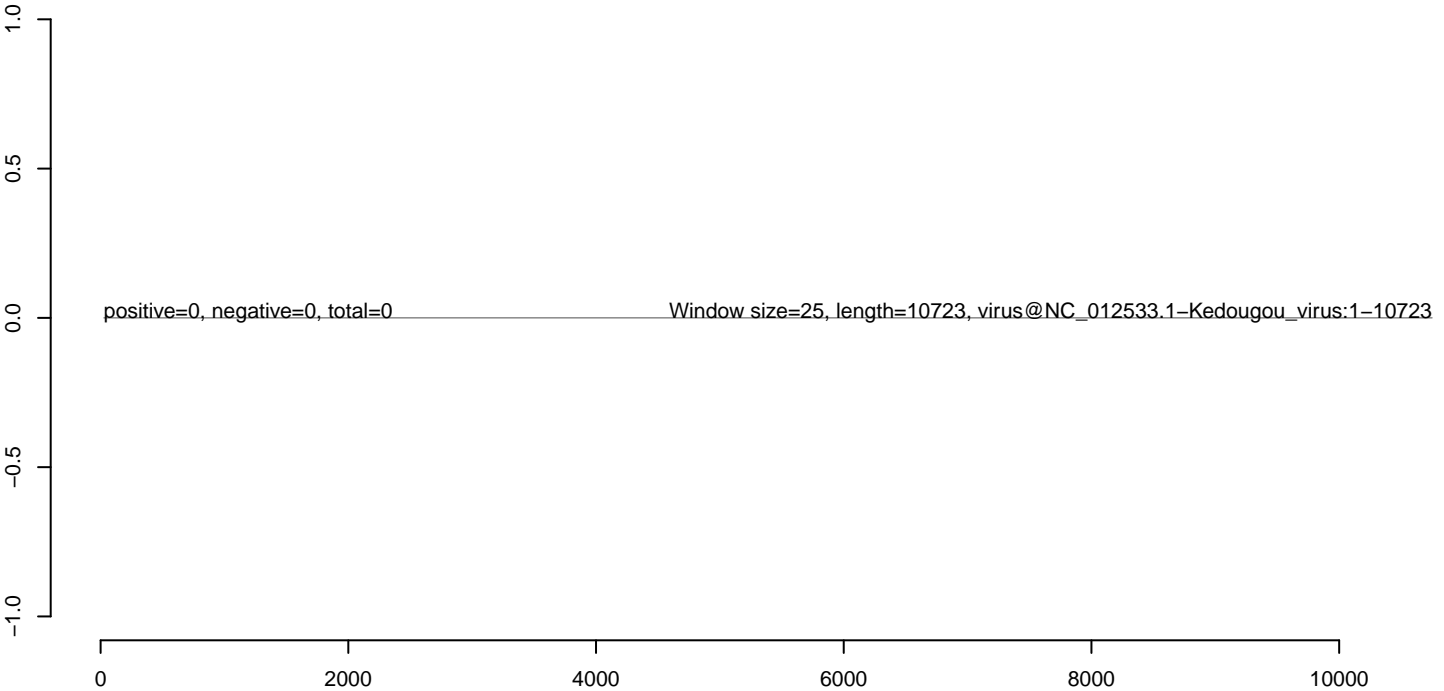
AeAlbo_C636_cells_rep_3.18_23.rep



AeAlbo_C636_cells_rep_3.24_35.rep



AeAlbo_C636_cells_rep_3.rep



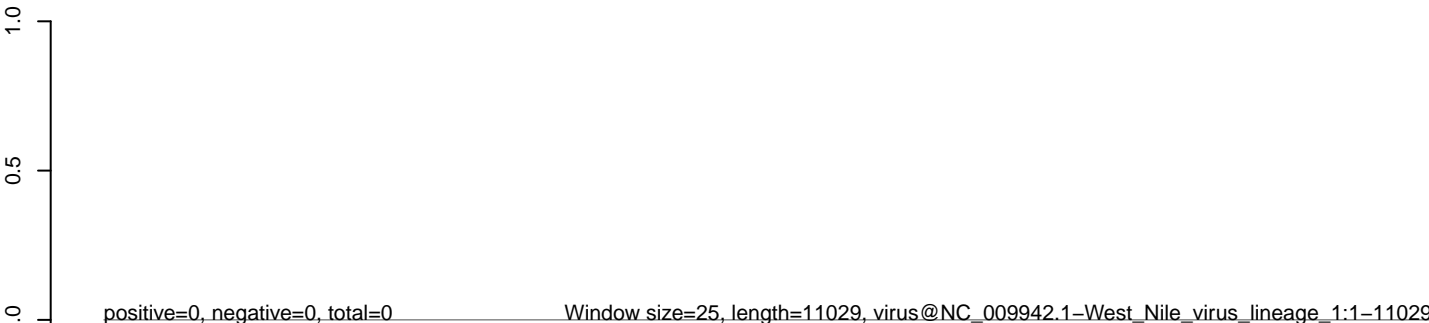
AeAlbo_C636_cells_rep_3.18_23.rep



AeAlbo_C636_cells_rep_3.24_35.rep



AeAlbo_C636_cells_rep_3.rep



0 2000 4000 6000 8000 10000

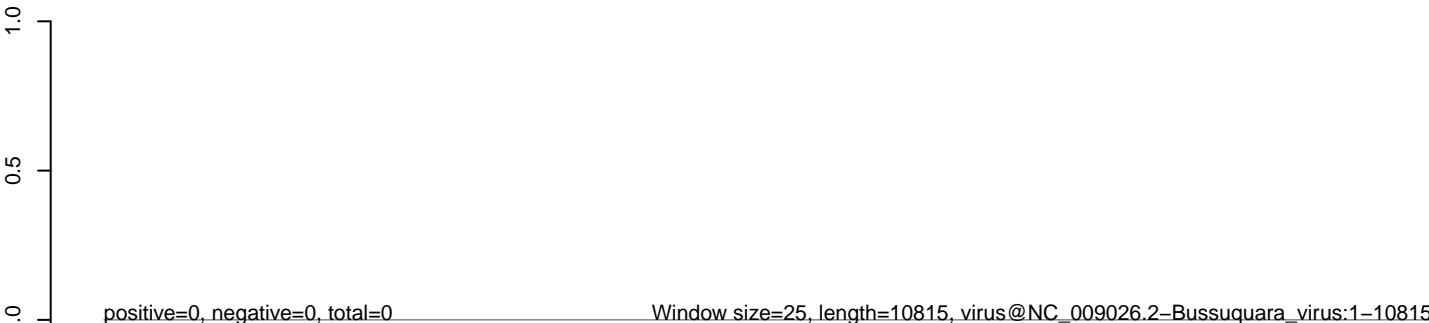
AeAlbo_C636_cells_rep_3.18_23.rep



AeAlbo_C636_cells_rep_3.24_35.rep



AeAlbo_C636_cells_rep_3.rep



0 2000 4000 6000 8000 10000

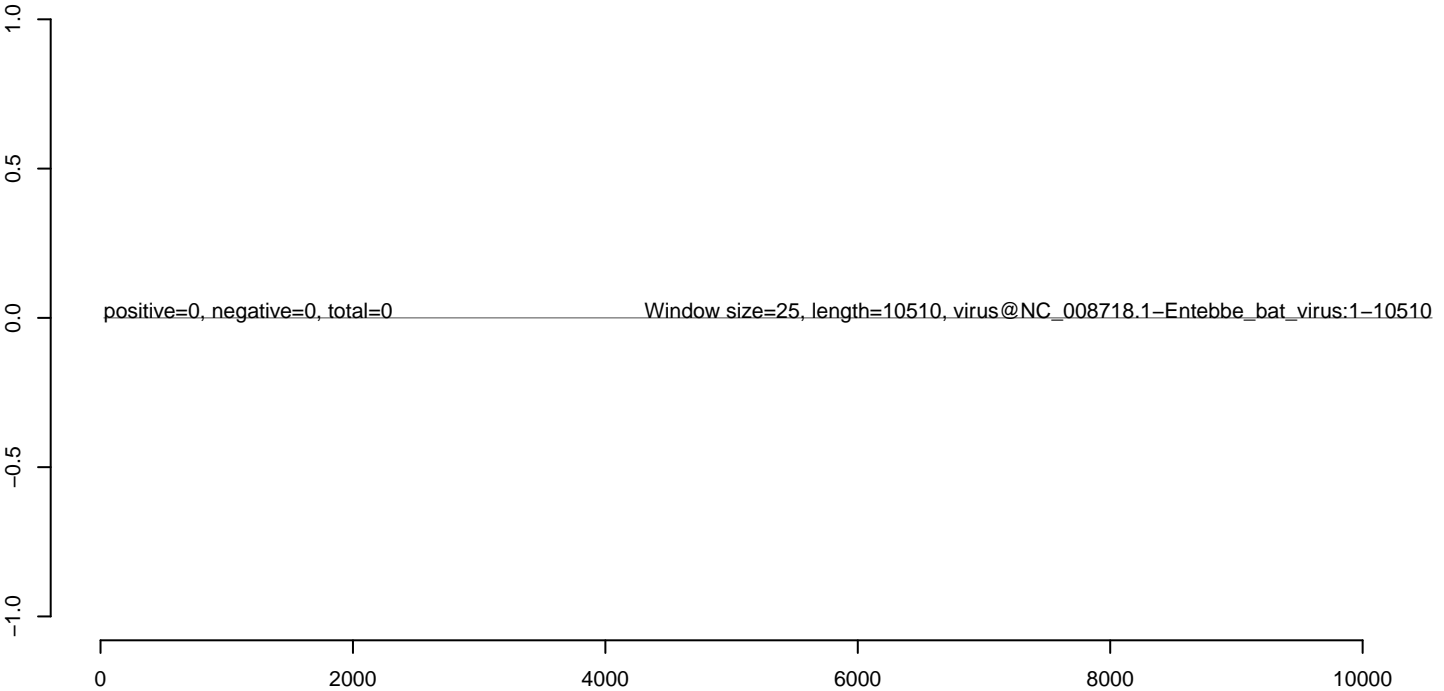
AeAlbo_C636_cells_rep_3.18_23.rep



AeAlbo_C636_cells_rep_3.24_35.rep



AeAlbo_C636_cells_rep_3.rep



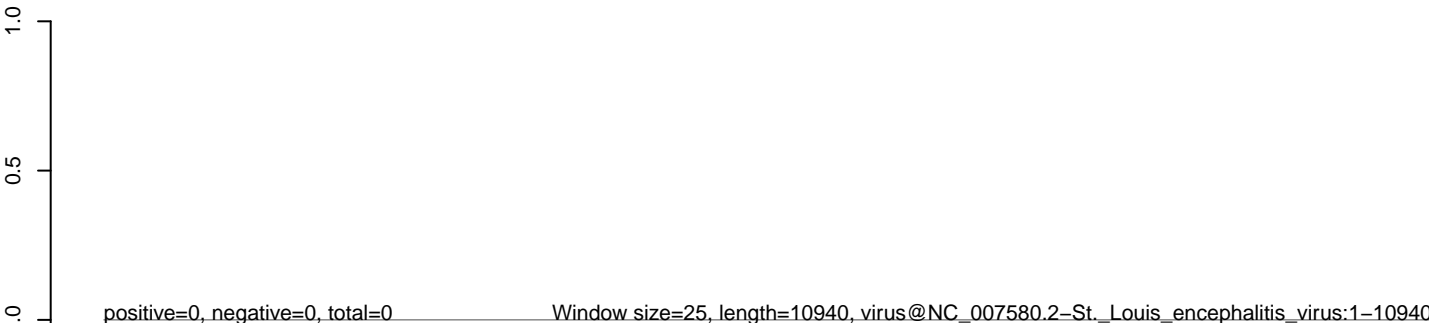
AeAlbo_C636_cells_rep_3.18_23.rep



AeAlbo_C636_cells_rep_3.24_35.rep



AeAlbo_C636_cells_rep_3.rep



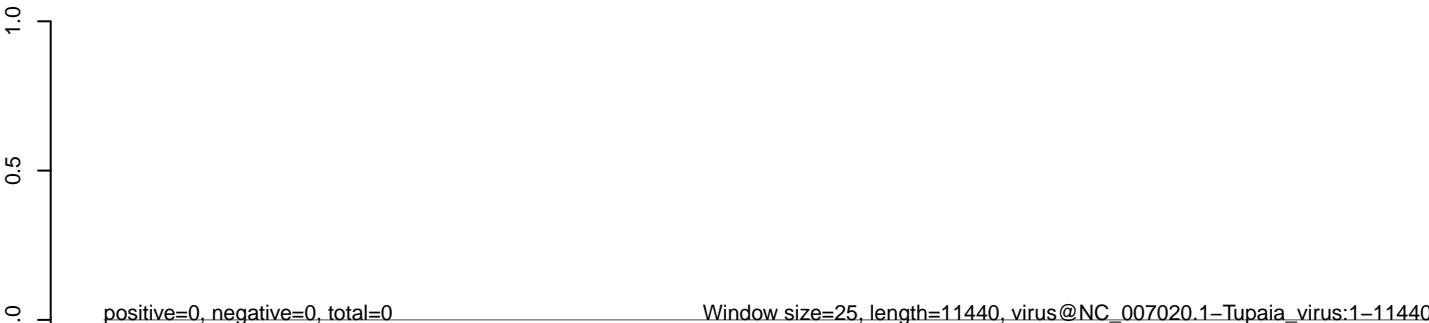
AeAlbo_C636_cells_rep_3.18_23.rep



AeAlbo_C636_cells_rep_3.24_35.rep



AeAlbo_C636_cells_rep_3.rep



0 2000 4000 6000 8000 10000

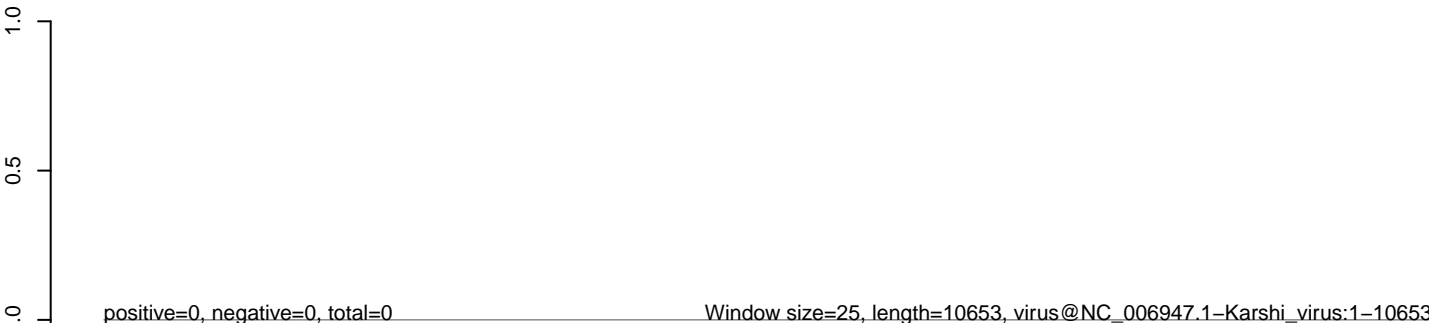
AeAlbo_C636_cells_rep_3.18_23.rep



AeAlbo_C636_cells_rep_3.24_35.rep



AeAlbo_C636_cells_rep_3.rep



0 2000 4000 6000 8000 10000

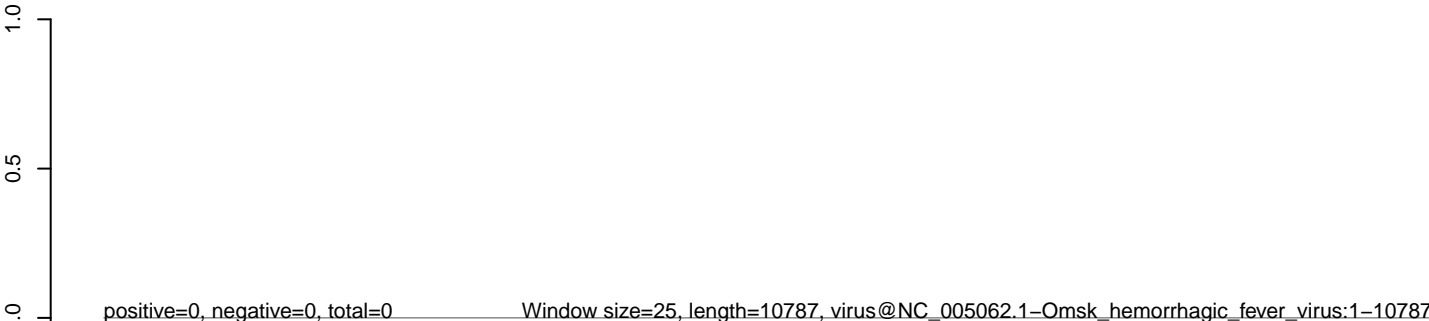
AeAlbo_C636_cells_rep_3.18_23.rep



AeAlbo_C636_cells_rep_3.24_35.rep



AeAlbo_C636_cells_rep_3.rep



0 2000 4000 6000 8000 10000

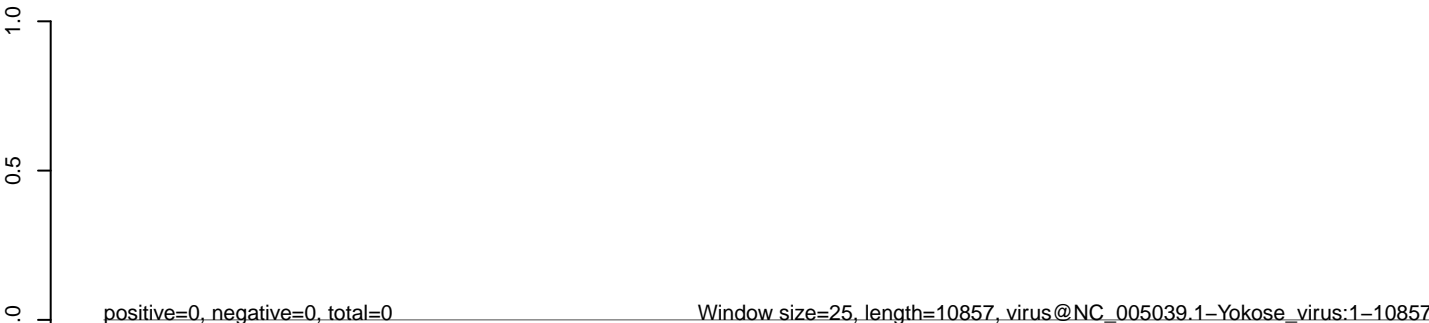
AeAlbo_C636_cells_rep_3.18_23.rep



AeAlbo_C636_cells_rep_3.24_35.rep



AeAlbo_C636_cells_rep_3.rep



0 2000 4000 6000 8000 10000

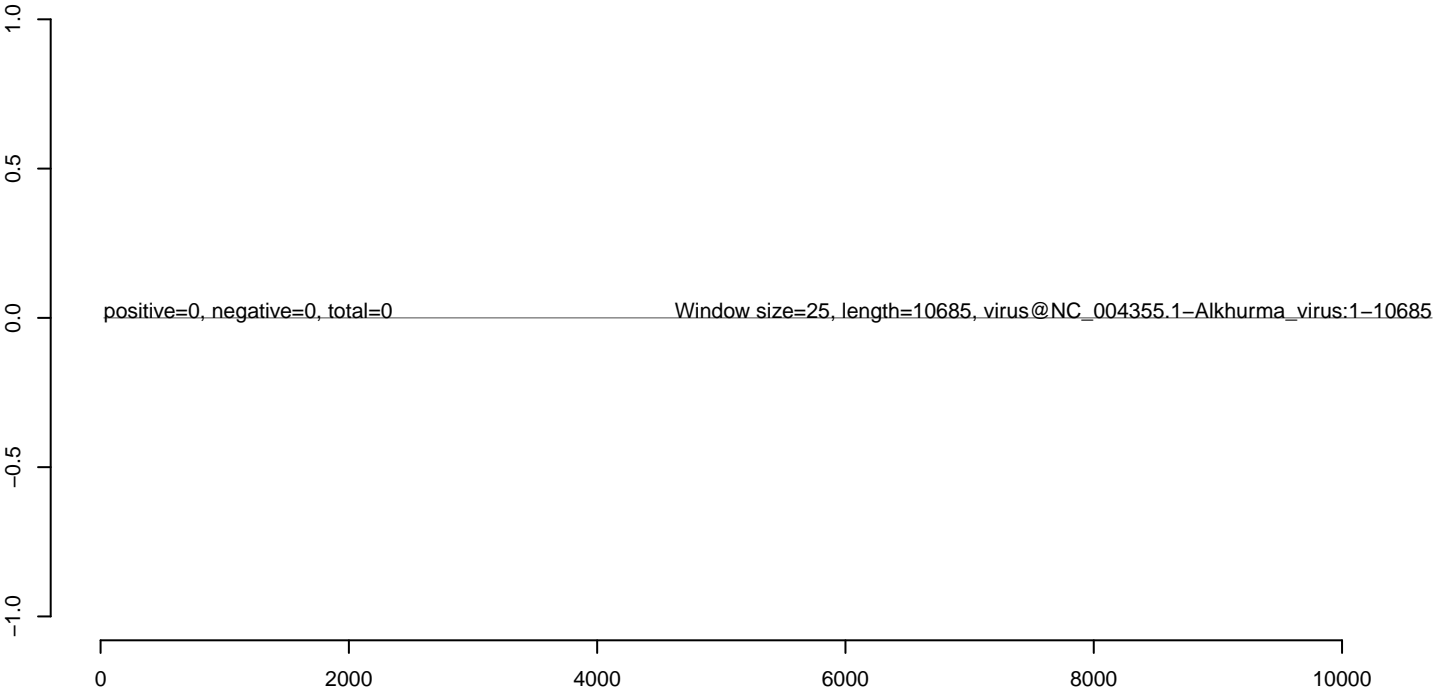
AeAlbo_C636_cells_rep_3.18_23.rep



AeAlbo_C636_cells_rep_3.24_35.rep



AeAlbo_C636_cells_rep_3.rep



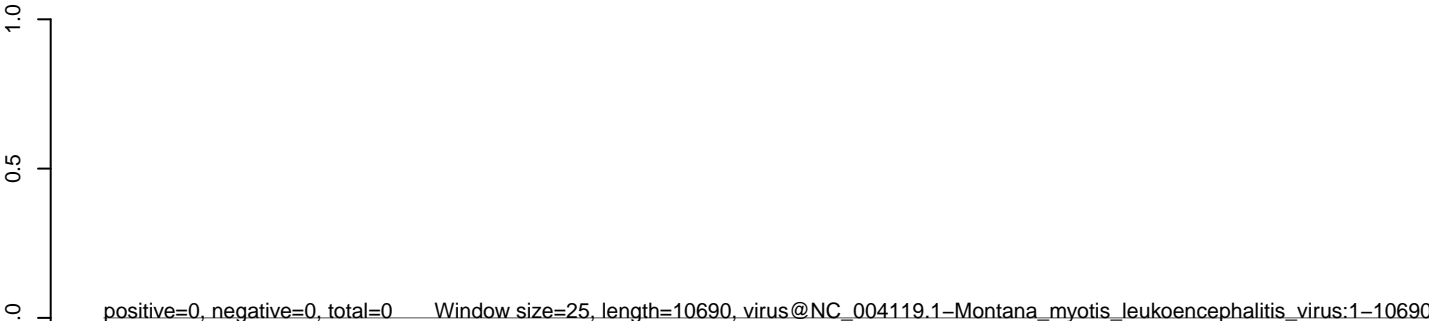
AeAlbo_C636_cells_rep_3.18_23.rep



AeAlbo_C636_cells_rep_3.24_35.rep



AeAlbo_C636_cells_rep_3.rep



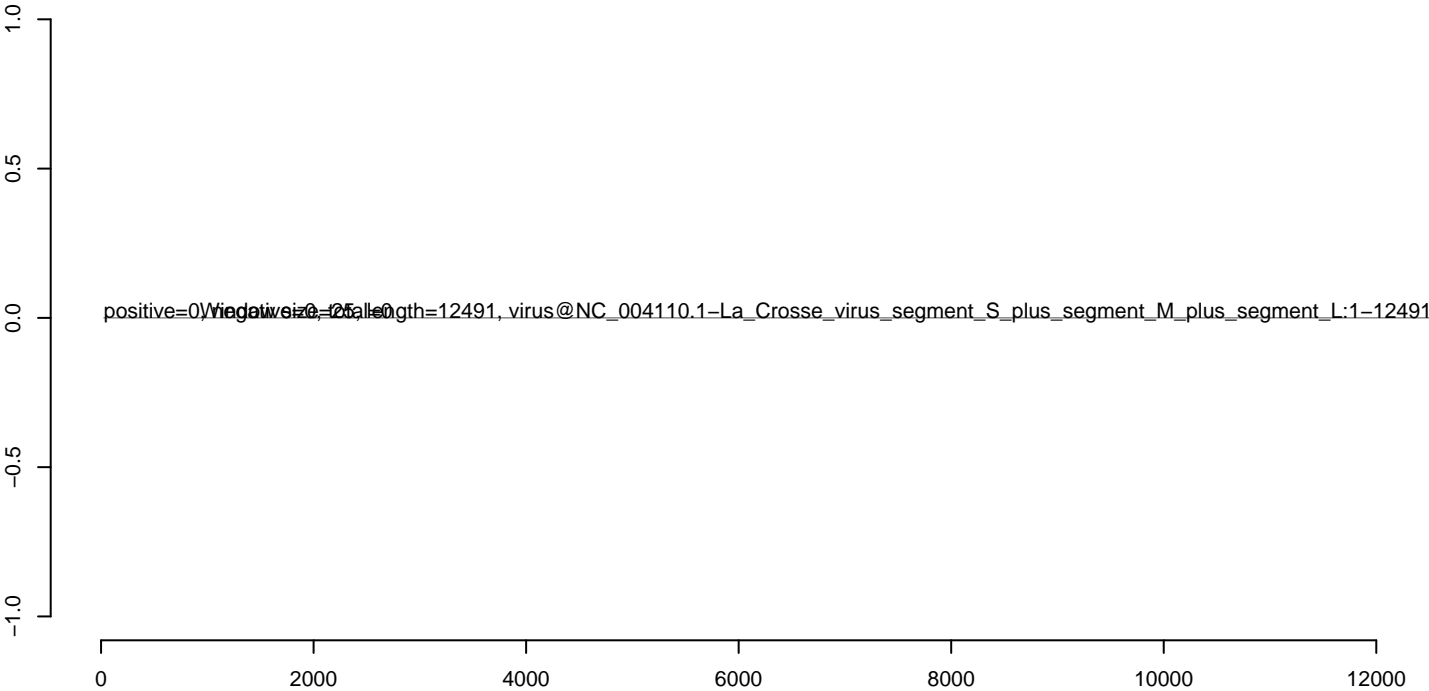
AeAlbo_C636_cells_rep_3.18_23.rep



AeAlbo_C636_cells_rep_3.24_35.rep



AeAlbo_C636_cells_rep_3.rep



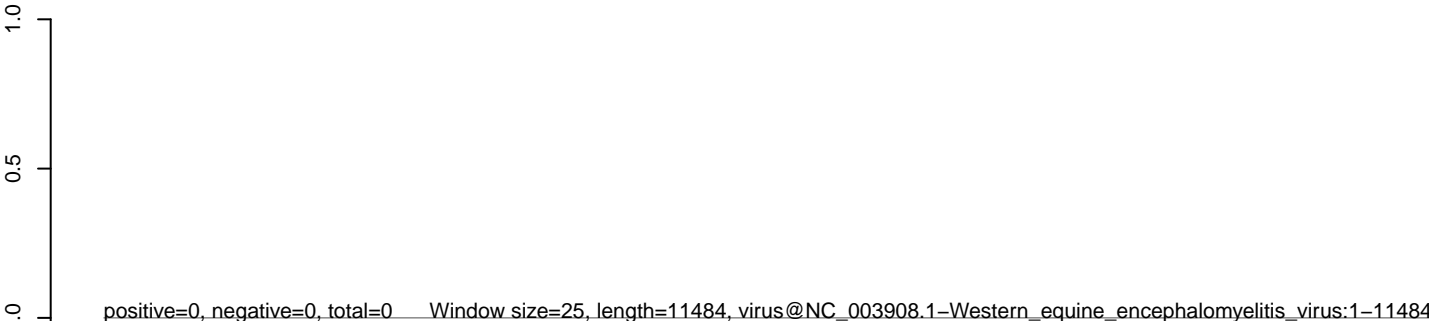
AeAlbo_C636_cells_rep_3.18_23.rep



AeAlbo_C636_cells_rep_3.24_35.rep



AeAlbo_C636_cells_rep_3.rep



0 2000 4000 6000 8000 10000

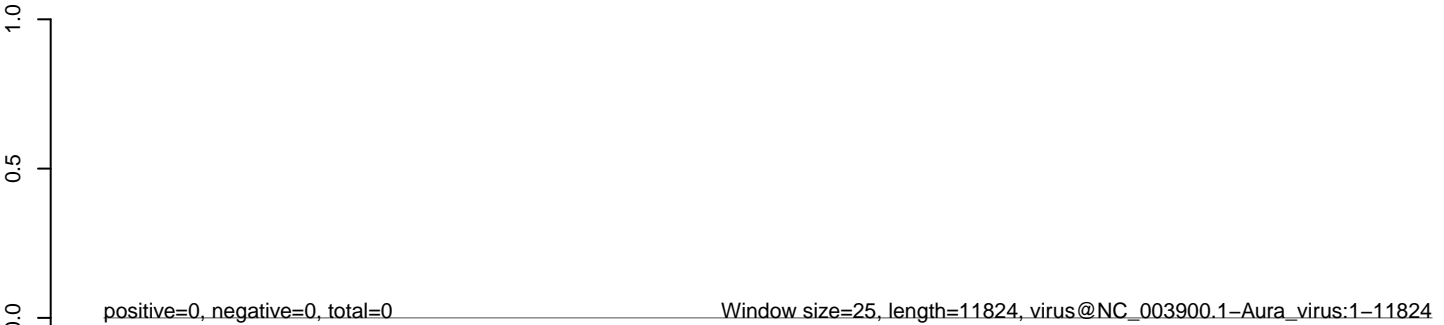
AeAlbo_C636_cells_rep_3.18_23.rep



AeAlbo_C636_cells_rep_3.24_35.rep



AeAlbo_C636_cells_rep_3.rep



0 2000 4000 6000 8000 10000 12000

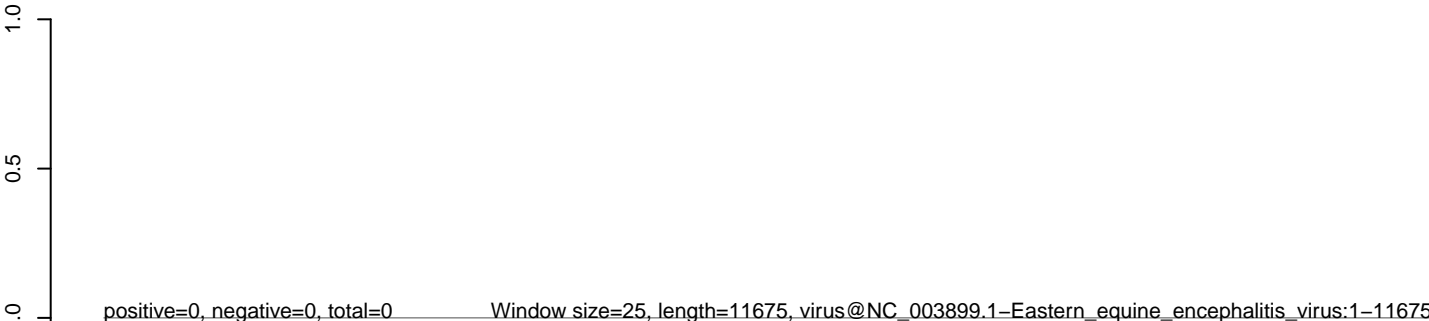
AeAlbo_C636_cells_rep_3.18_23.rep



AeAlbo_C636_cells_rep_3.24_35.rep



AeAlbo_C636_cells_rep_3.rep



0 2000 4000 6000 8000 10000 12000

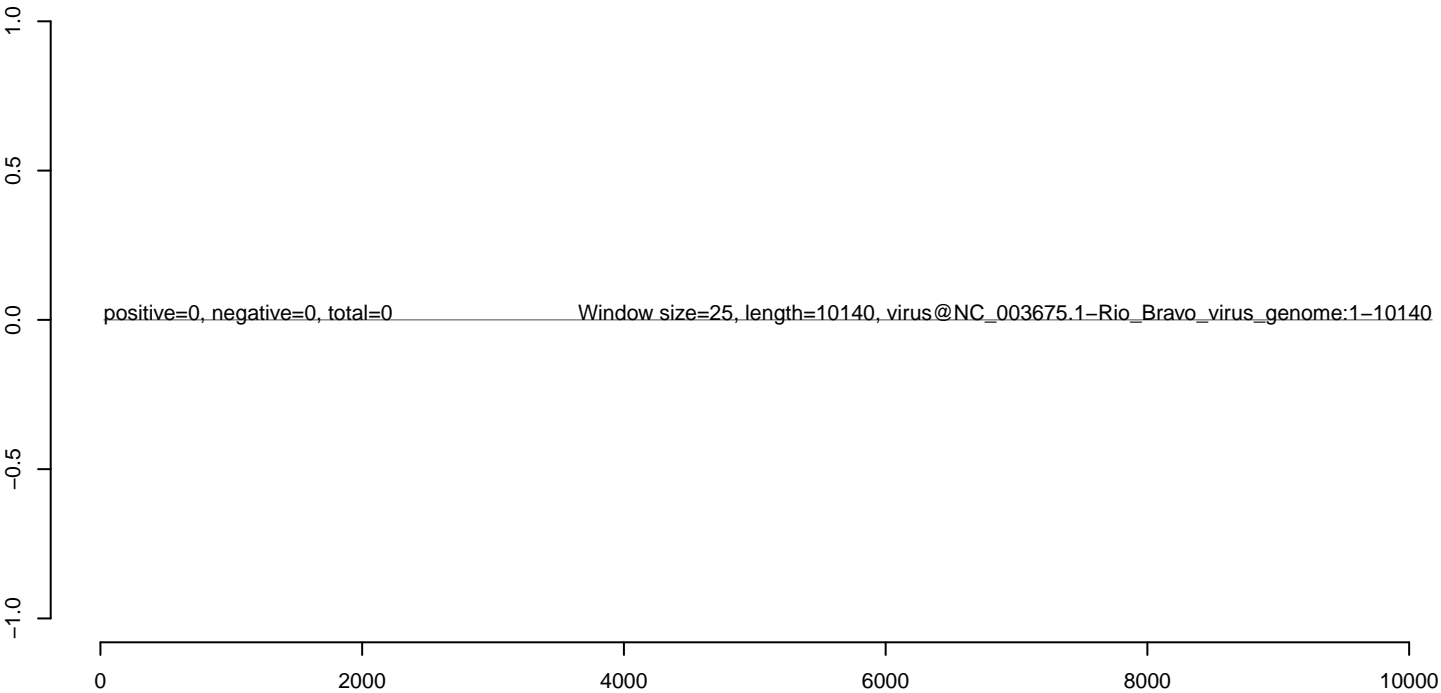
AeAlbo_C636_cells_rep_3.18_23.rep



AeAlbo_C636_cells_rep_3.24_35.rep



AeAlbo_C636_cells_rep_3.rep



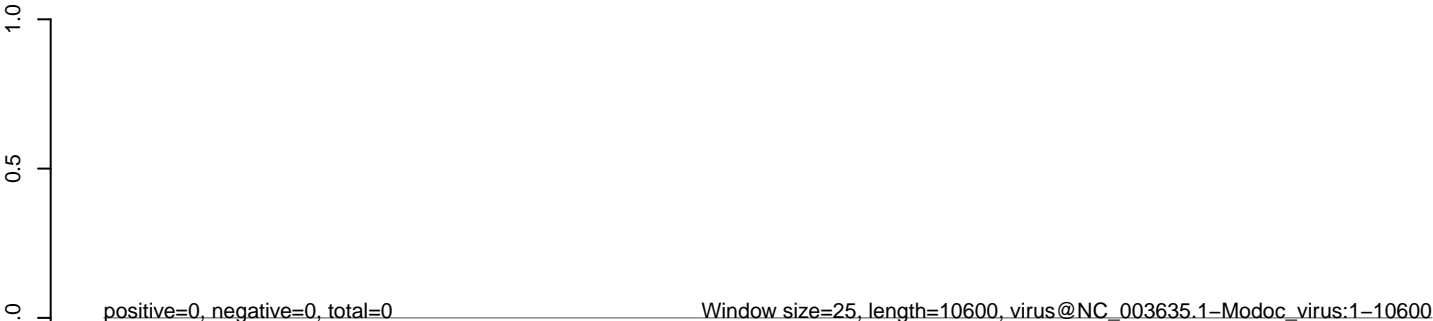
AeAlbo_C636_cells_rep_3.18_23.rep



AeAlbo_C636_cells_rep_3.24_35.rep



AeAlbo_C636_cells_rep_3.rep



0 2000 4000 6000 8000 10000

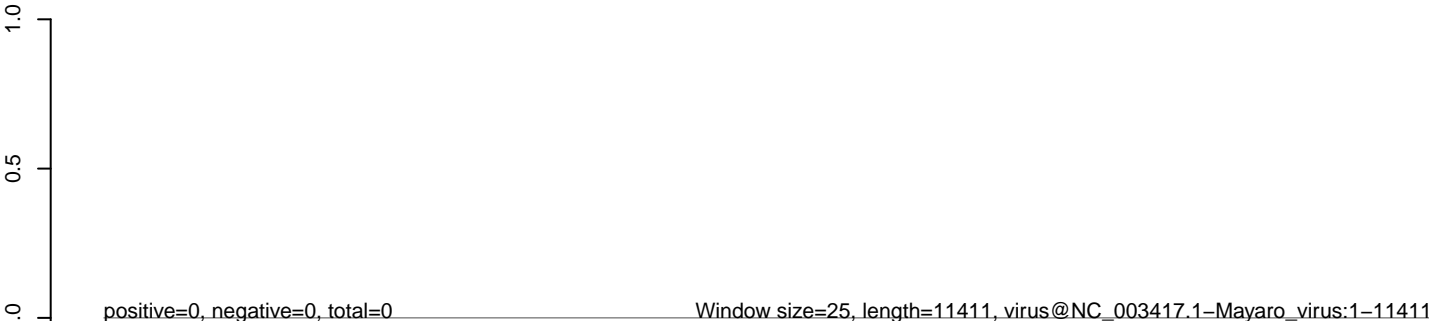
AeAlbo_C636_cells_rep_3.18_23.rep



AeAlbo_C636_cells_rep_3.24_35.rep



AeAlbo_C636_cells_rep_3.rep



0 2000 4000 6000 8000 10000

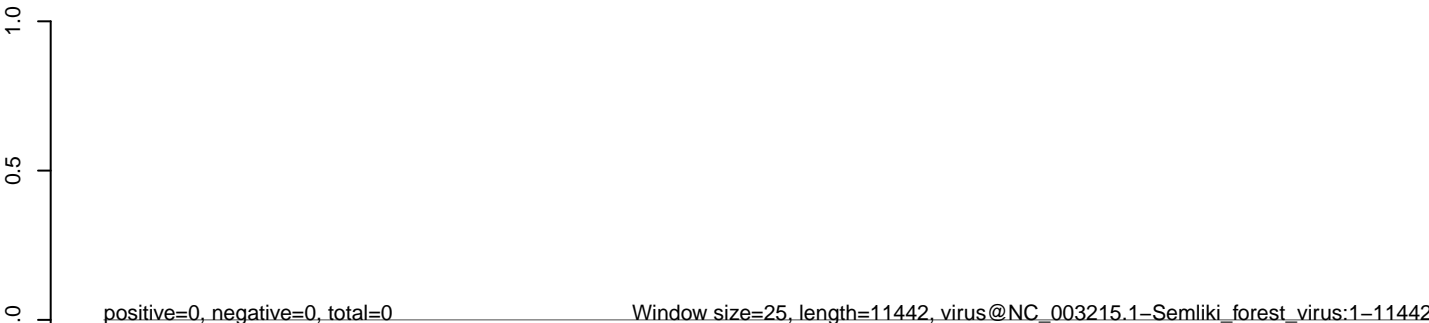
AeAlbo_C636_cells_rep_3.18_23.rep



AeAlbo_C636_cells_rep_3.24_35.rep



AeAlbo_C636_cells_rep_3.rep



0 2000 4000 6000 8000 10000

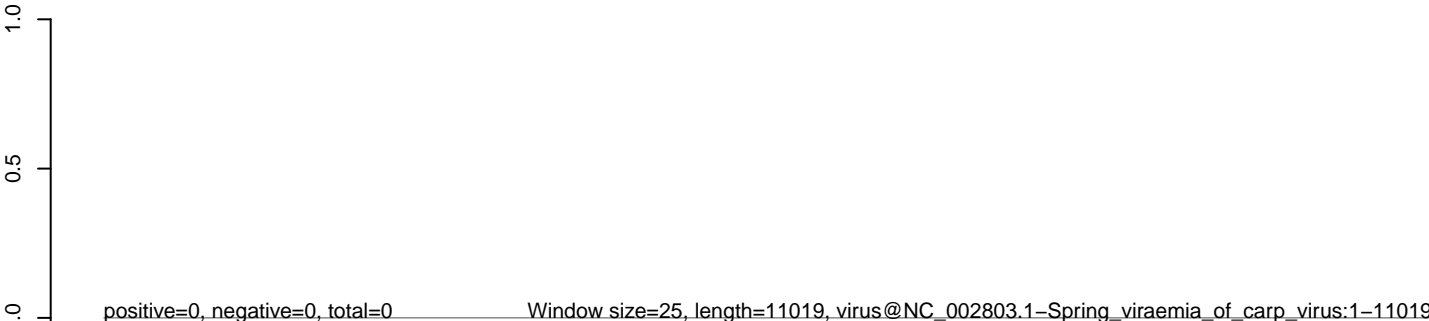
AeAlbo_C636_cells_rep_3.18_23.rep



AeAlbo_C636_cells_rep_3.24_35.rep



AeAlbo_C636_cells_rep_3.rep



0 2000 4000 6000 8000 10000

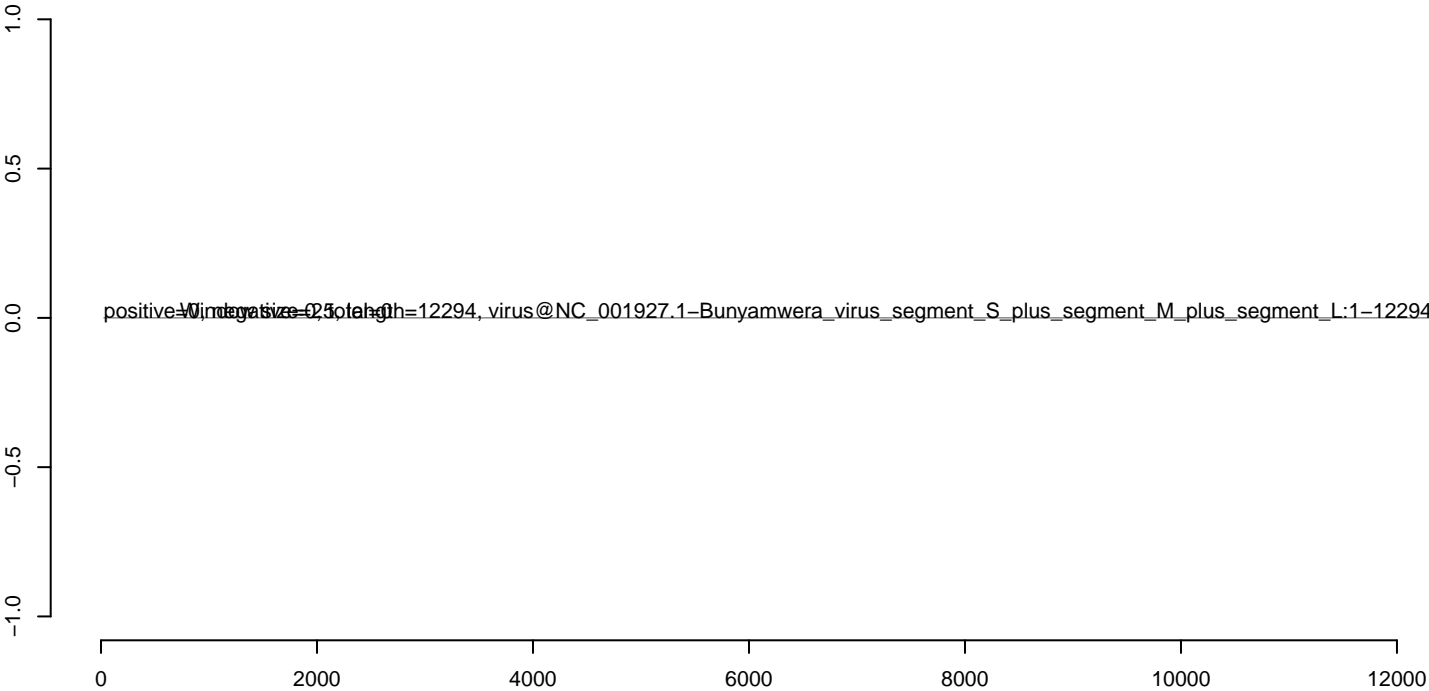
AeAlbo_C636_cells_rep_3.18_23.rep



AeAlbo_C636_cells_rep_3.24_35.rep



AeAlbo_C636_cells_rep_3.rep



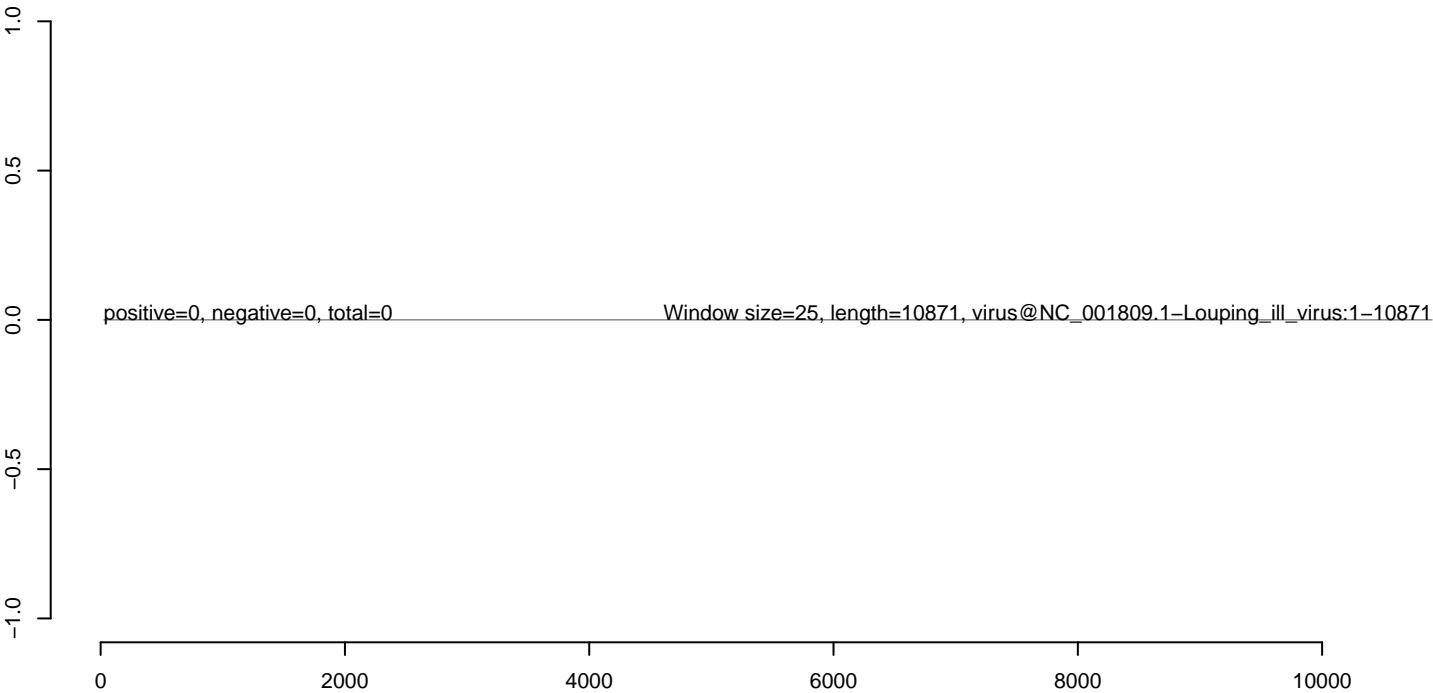
AeAlbo_C636_cells_rep_3.18_23.rep



AeAlbo_C636_cells_rep_3.24_35.rep



AeAlbo_C636_cells_rep_3.rep



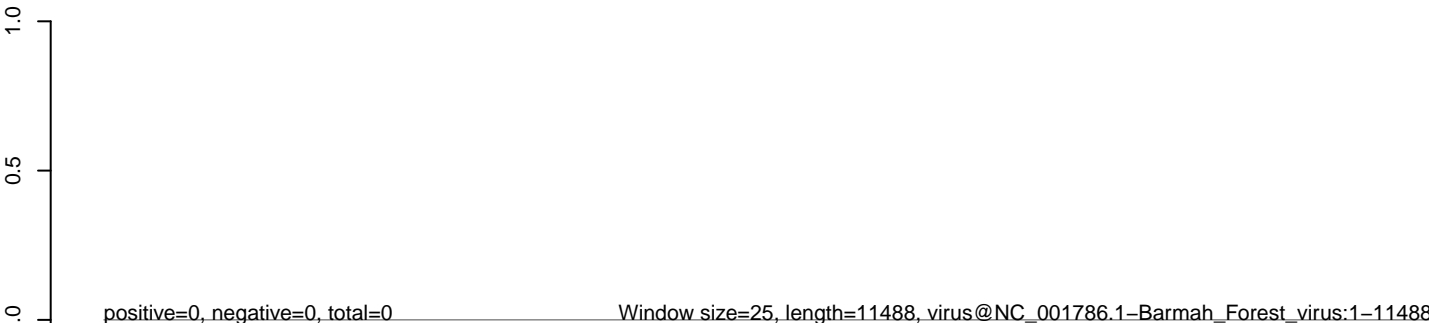
AeAlbo_C636_cells_rep_3.18_23.rep



AeAlbo_C636_cells_rep_3.24_35.rep



AeAlbo_C636_cells_rep_3.rep



0 2000 4000 6000 8000 10000

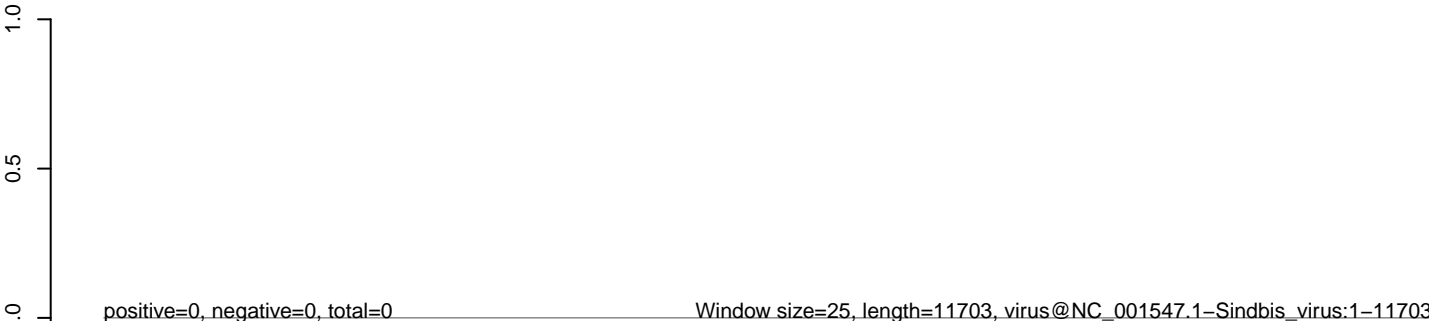
AeAlbo_C636_cells_rep_3.18_23.rep



AeAlbo_C636_cells_rep_3.24_35.rep



AeAlbo_C636_cells_rep_3.rep



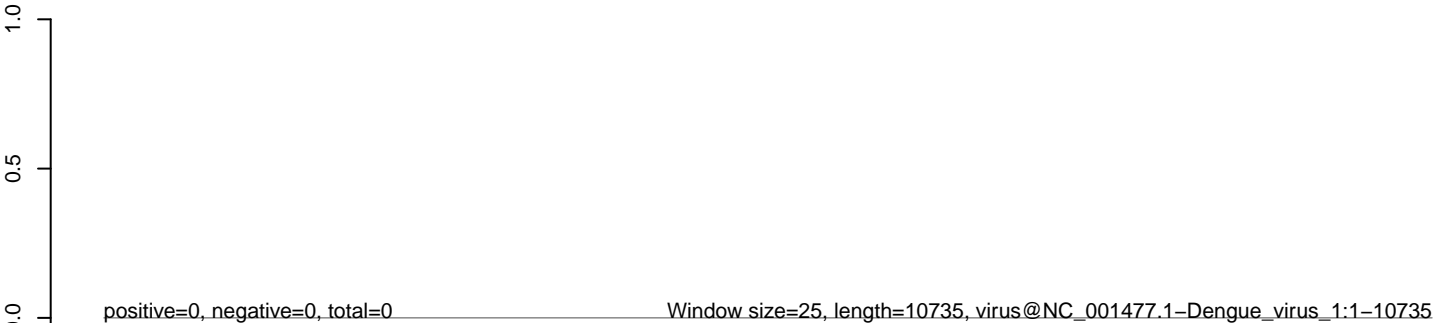
AeAlbo_C636_cells_rep_3.18_23.rep



AeAlbo_C636_cells_rep_3.24_35.rep



AeAlbo_C636_cells_rep_3.rep



0 2000 4000 6000 8000 10000

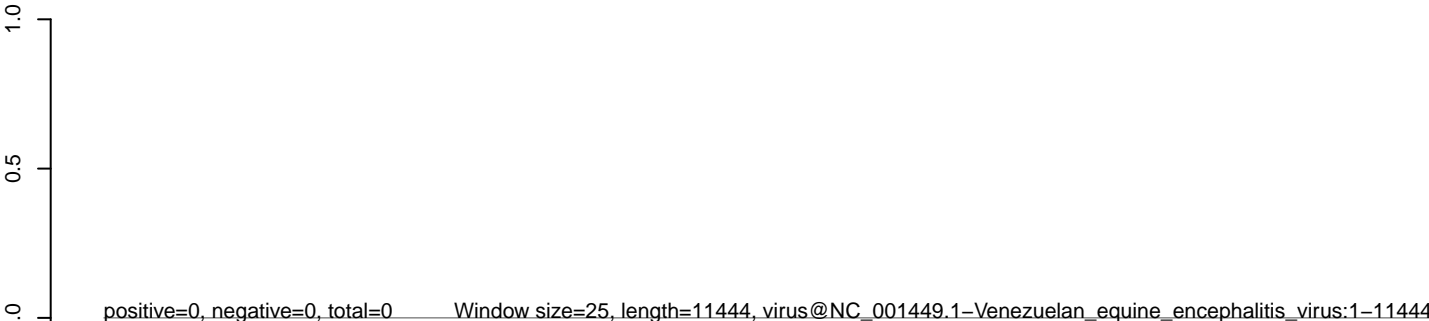
AeAlbo_C636_cells_rep_3.18_23.rep



AeAlbo_C636_cells_rep_3.24_35.rep



AeAlbo_C636_cells_rep_3.rep



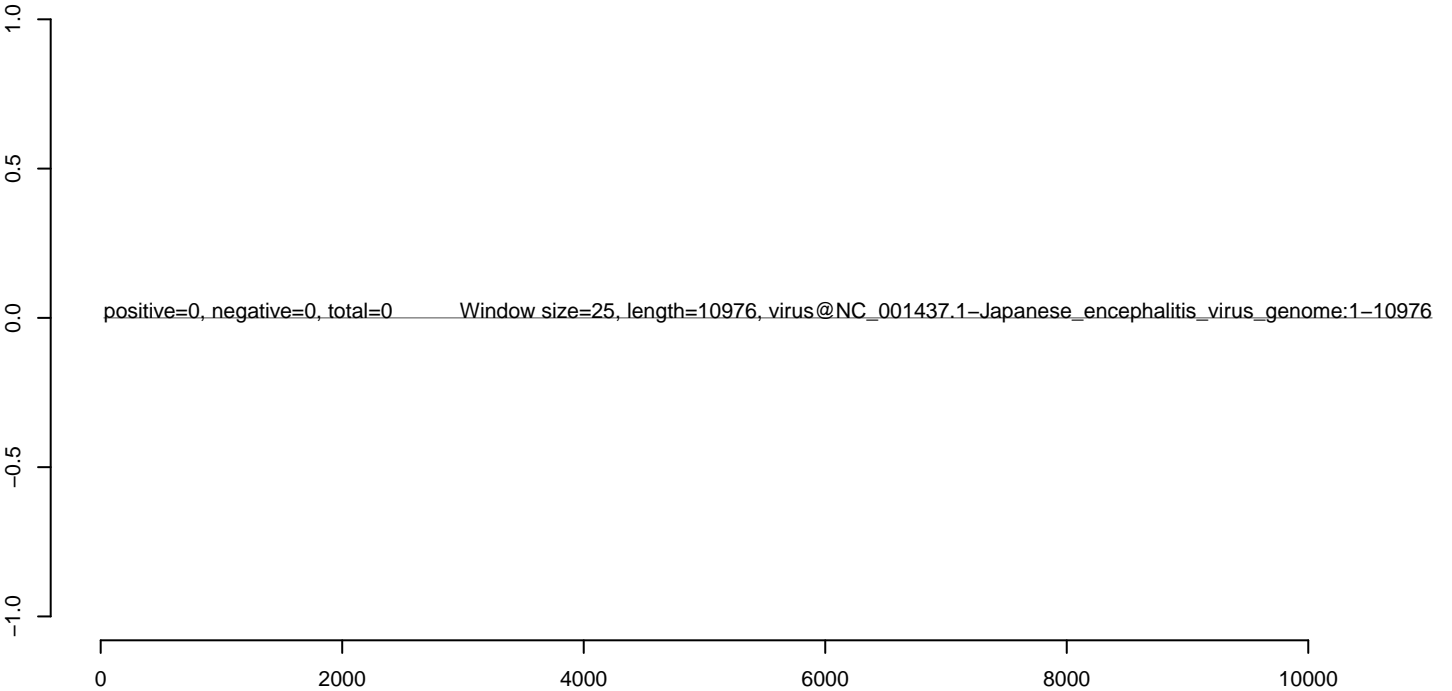
AeAlbo_C636_cells_rep_3.18_23.rep



AeAlbo_C636_cells_rep_3.24_35.rep



AeAlbo_C636_cells_rep_3.rep



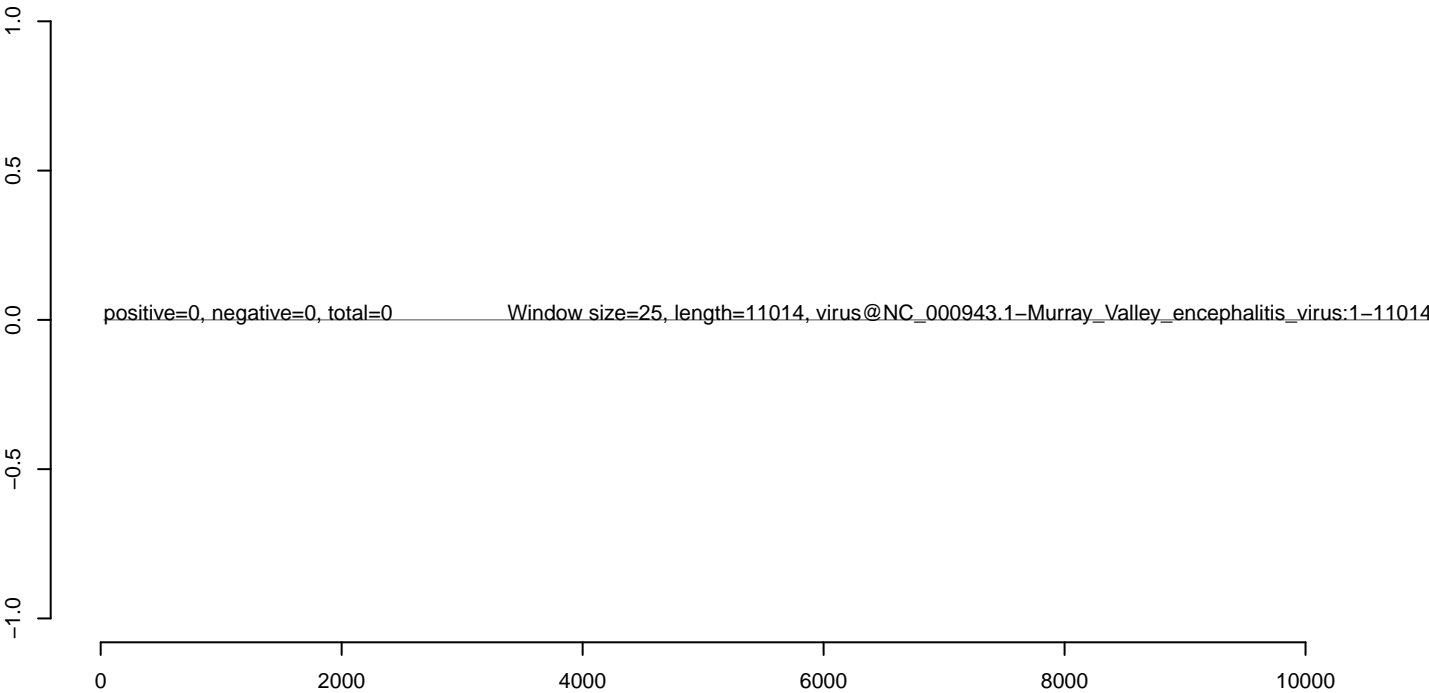
AeAlbo_C636_cells_rep_3.18_23.rep



AeAlbo_C636_cells_rep_3.24_35.rep



AeAlbo_C636_cells_rep_3.rep



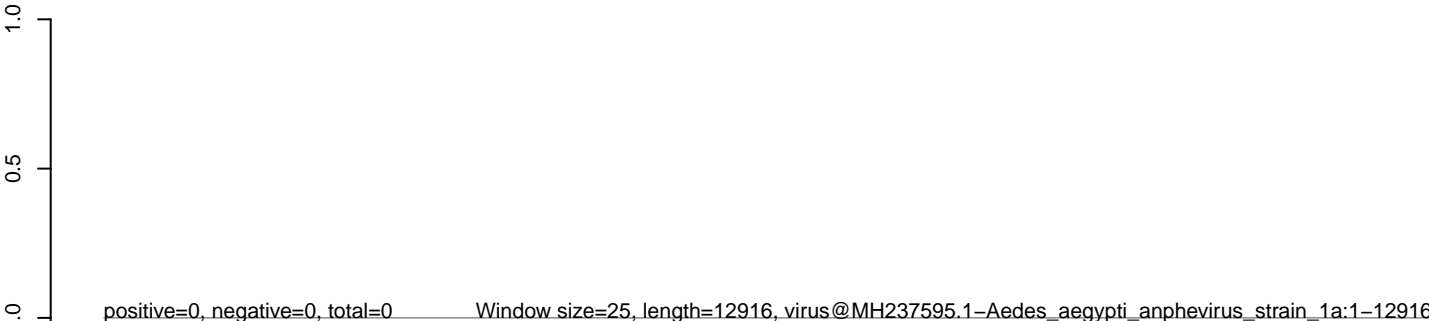
AeAlbo_C636_cells_rep_3.18_23.rep



AeAlbo_C636_cells_rep_3.24_35.rep



AeAlbo_C636_cells_rep_3.rep



0 2000 4000 6000 8000 10000 12000

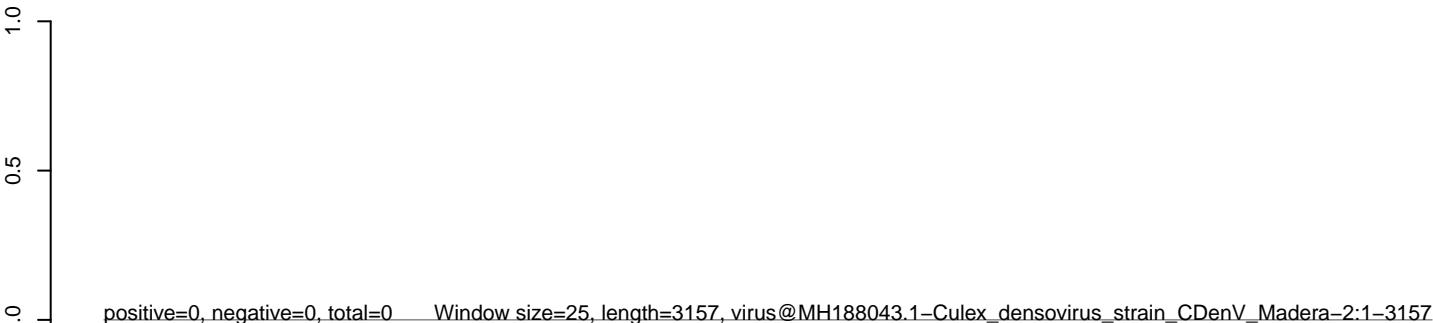
AeAlbo_C636_cells_rep_3.18_23.rep



AeAlbo_C636_cells_rep_3.24_35.rep



AeAlbo_C636_cells_rep_3.rep



0 500 1000 1500 2000 2500 3000

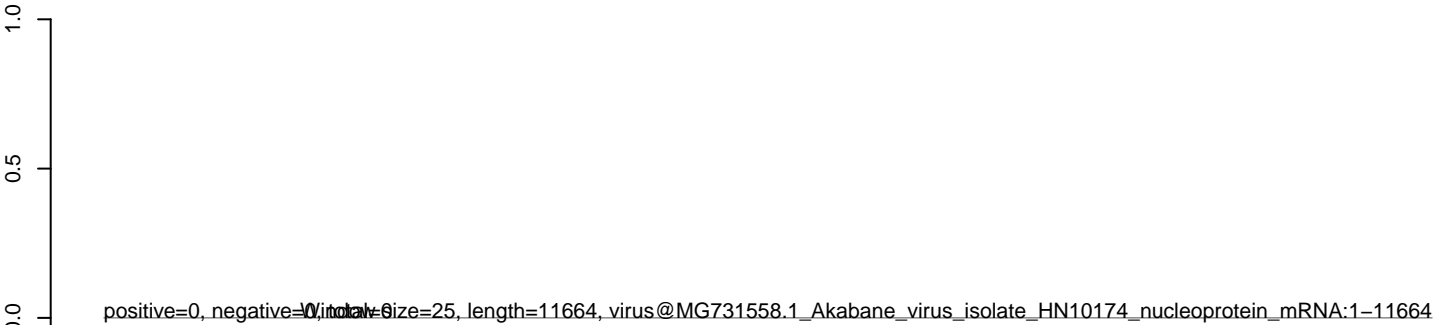
AeAlbo_C636_cells_rep_3.18_23.rep



AeAlbo_C636_cells_rep_3.24_35.rep



AeAlbo_C636_cells_rep_3.rep



0 2000 4000 6000 8000 10000 12000

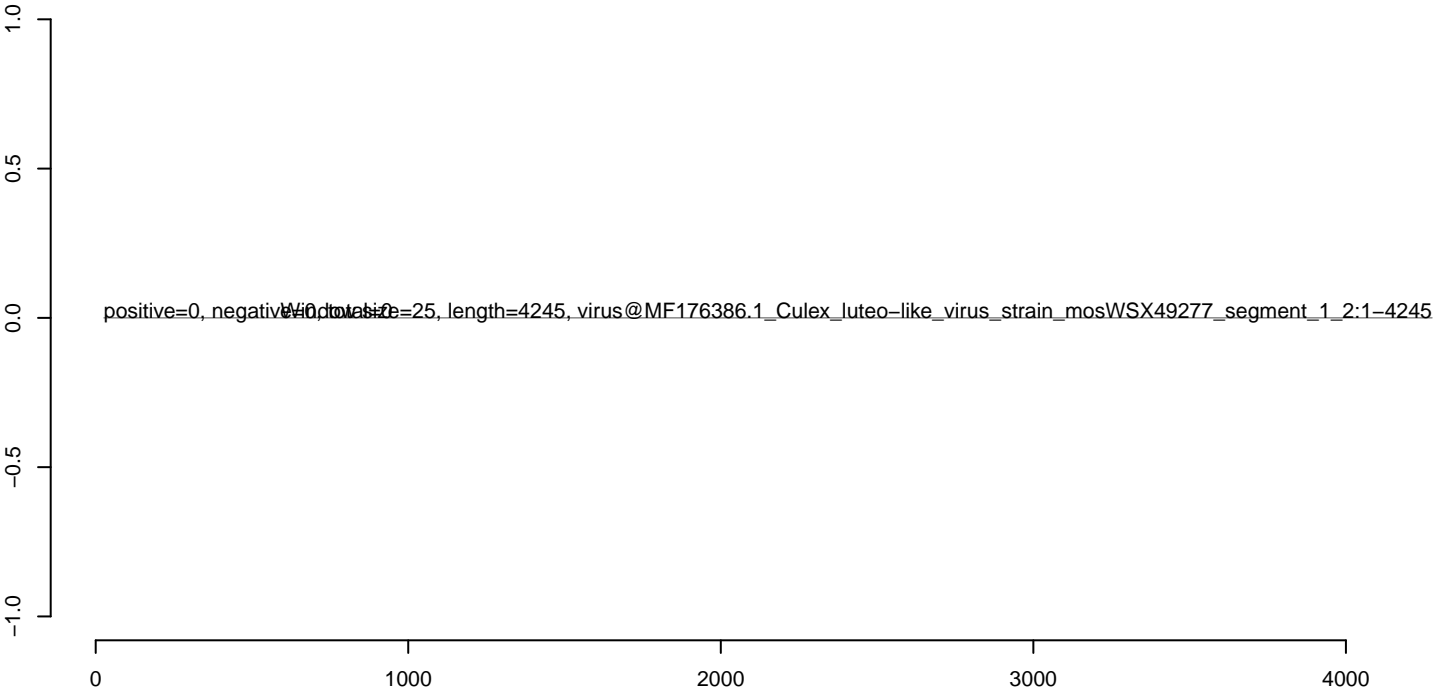
AeAlbo_C636_cells_rep_3.18_23.rep



AeAlbo_C636_cells_rep_3.24_35.rep



AeAlbo_C636_cells_rep_3.rep



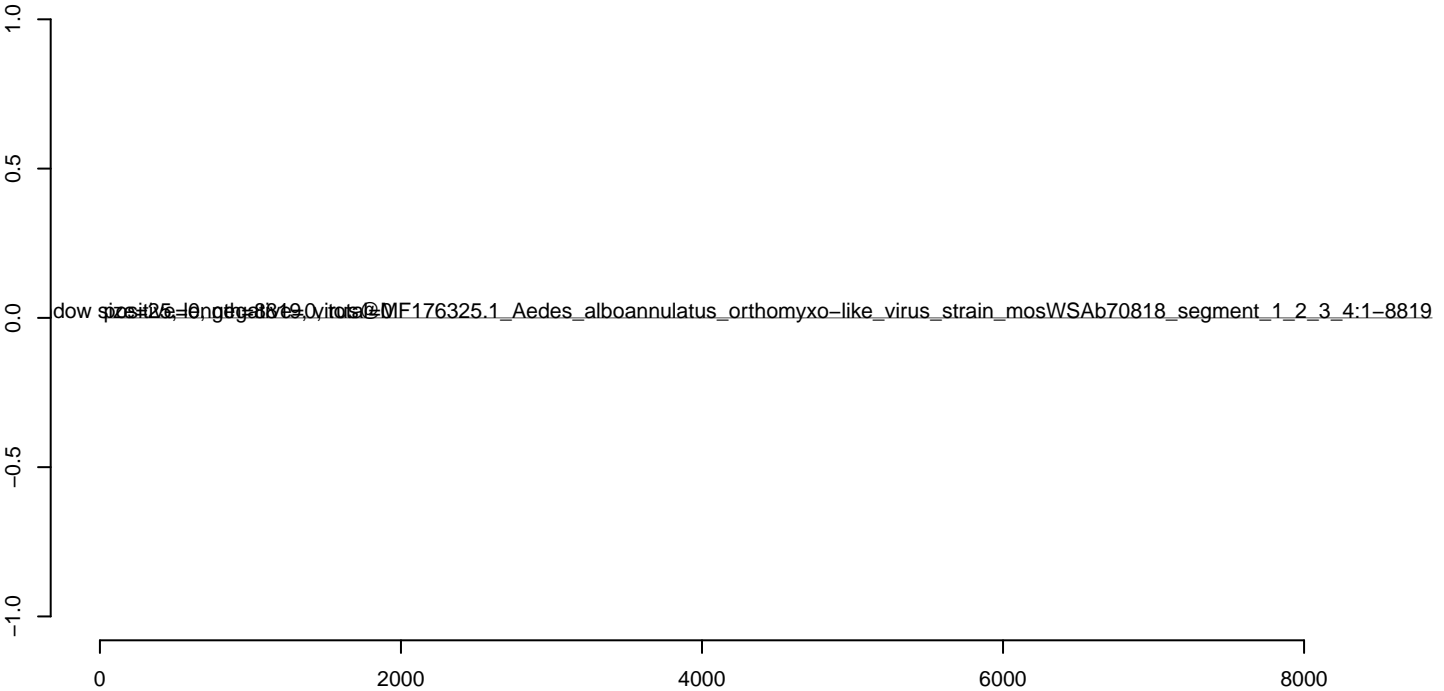
AeAlbo_C636_cells_rep_3.18_23.rep



AeAlbo_C636_cells_rep_3.24_35.rep



AeAlbo_C636_cells_rep_3.rep



AeAlbo_C636_cells_rep_3.18_23.rep



AeAlbo_C636_cells_rep_3.24_35.rep



AeAlbo_C636_cells_rep_3.rep



AeAlbo_C636_cells_rep_3.18_23.rep



AeAlbo_C636_cells_rep_3.24_35.rep



AeAlbo_C636_cells_rep_3.rep



AeAlbo_C636_cells_rep_3.18_23.rep



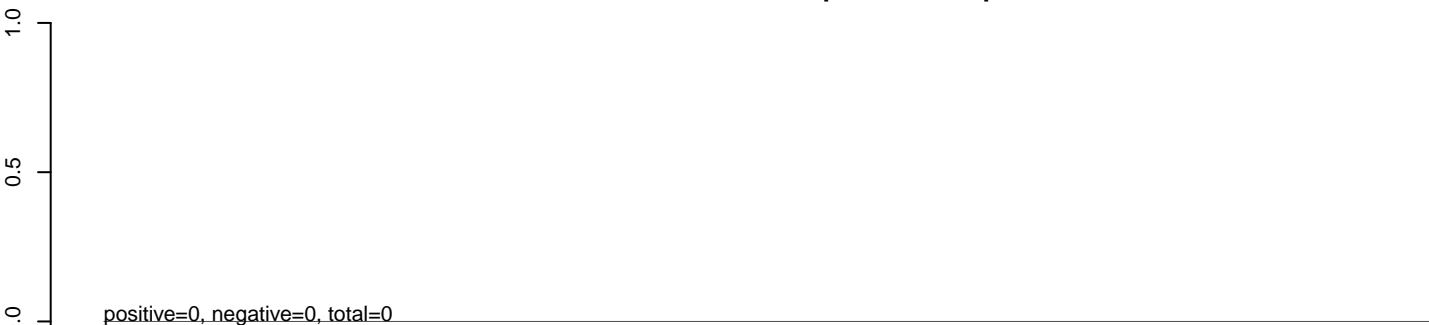
AeAlbo_C636_cells_rep_3.24_35.rep



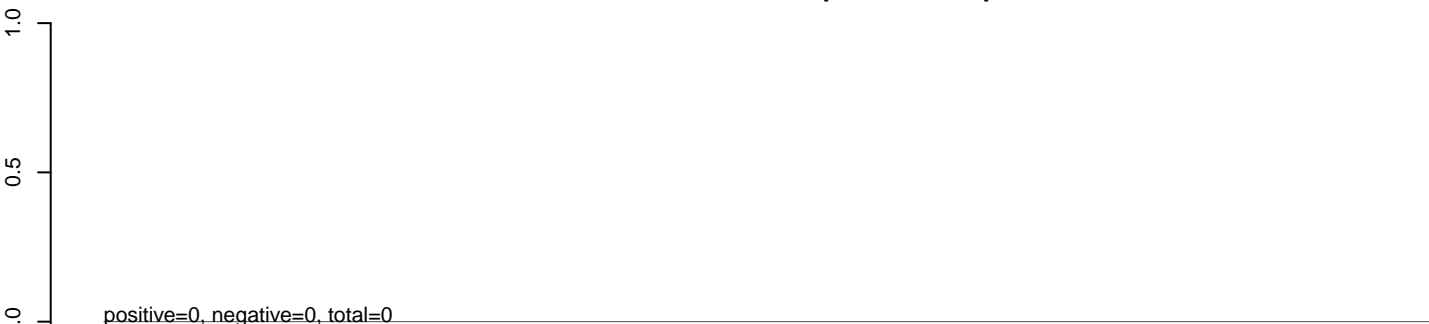
AeAlbo_C636_cells_rep_3.rep



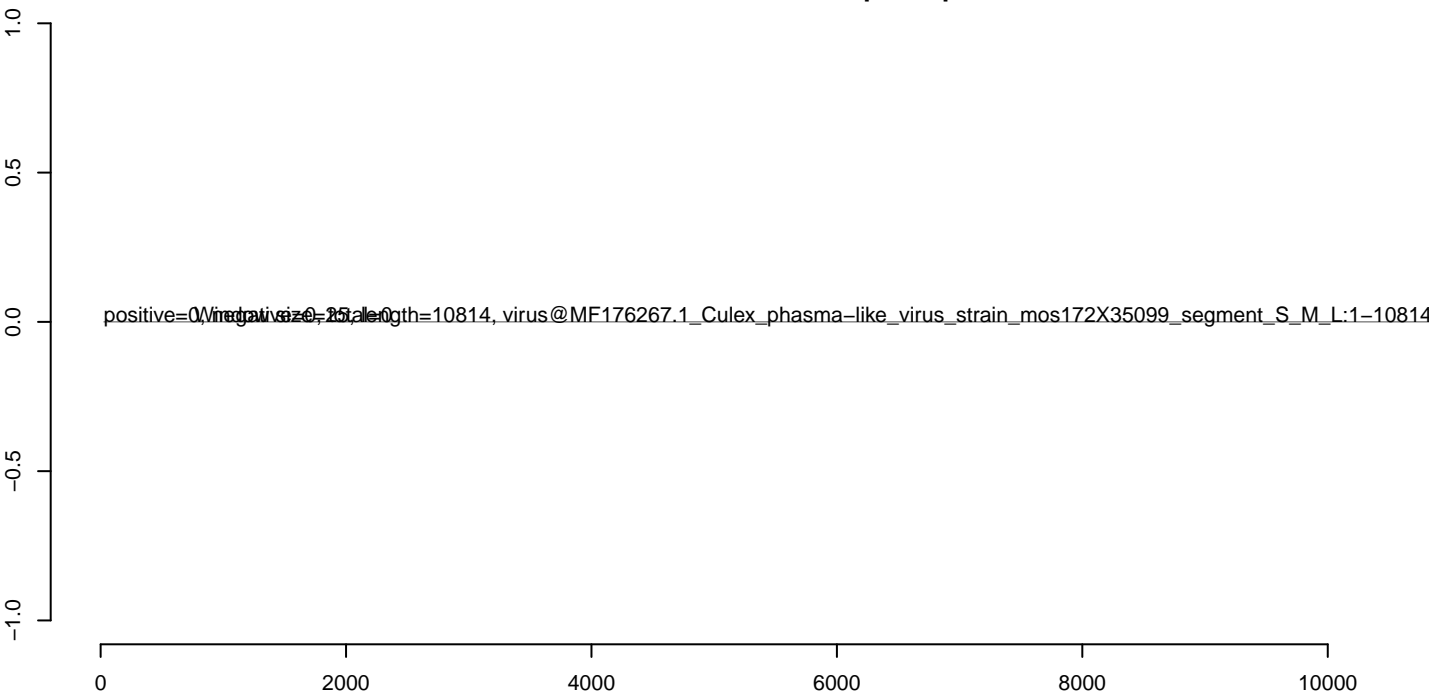
AeAlbo_C636_cells_rep_3.18_23.rep



AeAlbo_C636_cells_rep_3.24_35.rep



AeAlbo_C636_cells_rep_3.rep



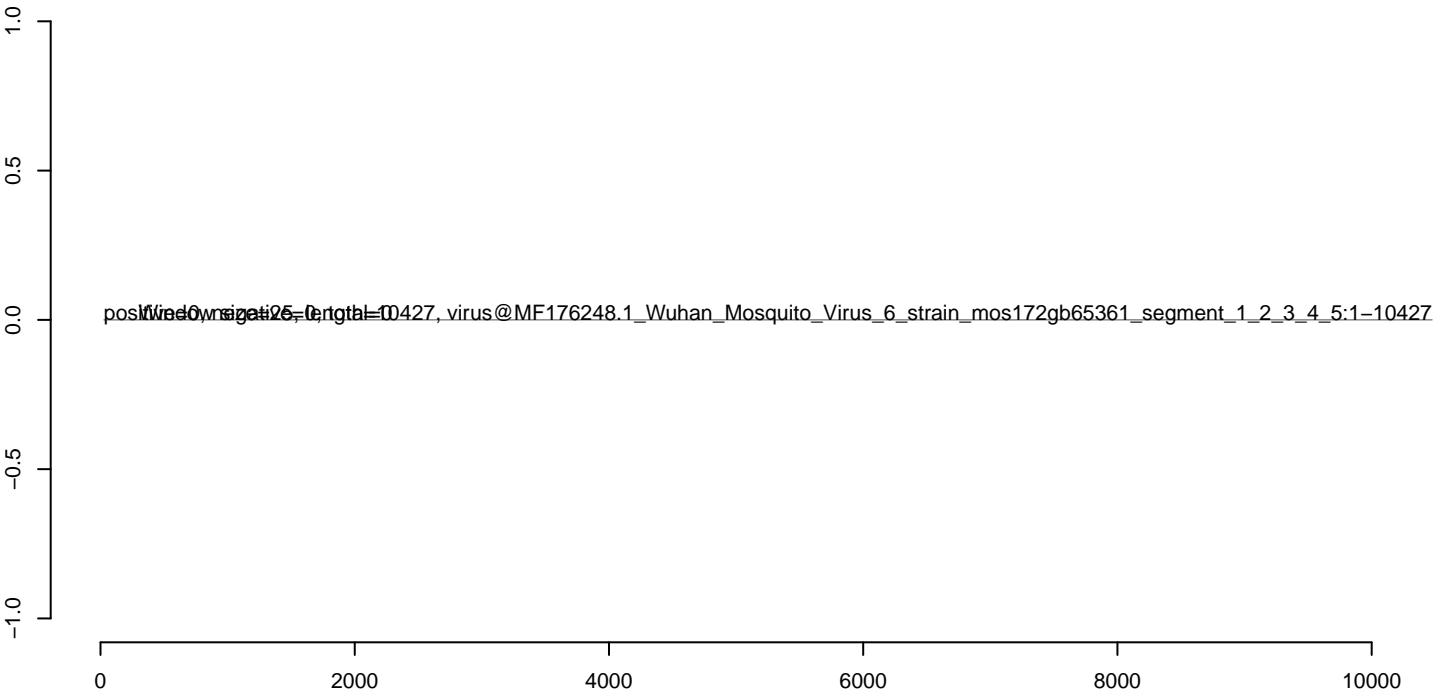
AeAlbo_C636_cells_rep_3.18_23.rep



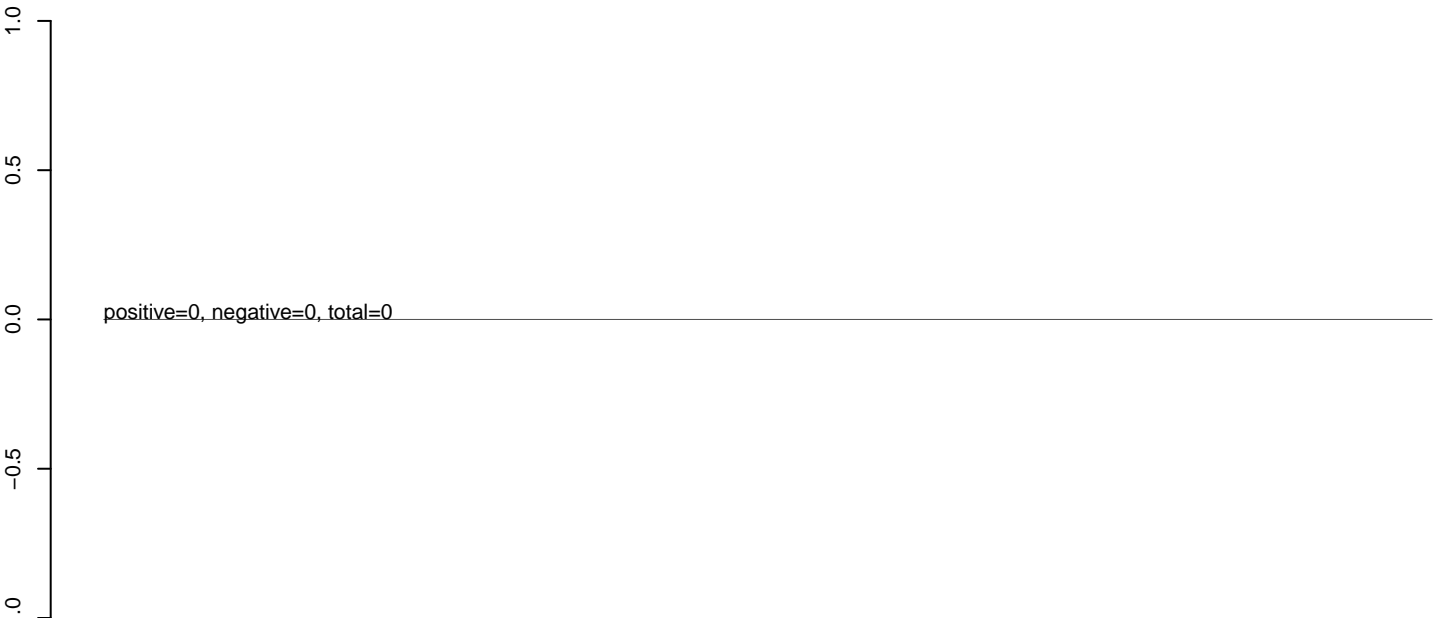
AeAlbo_C636_cells_rep_3.24_35.rep



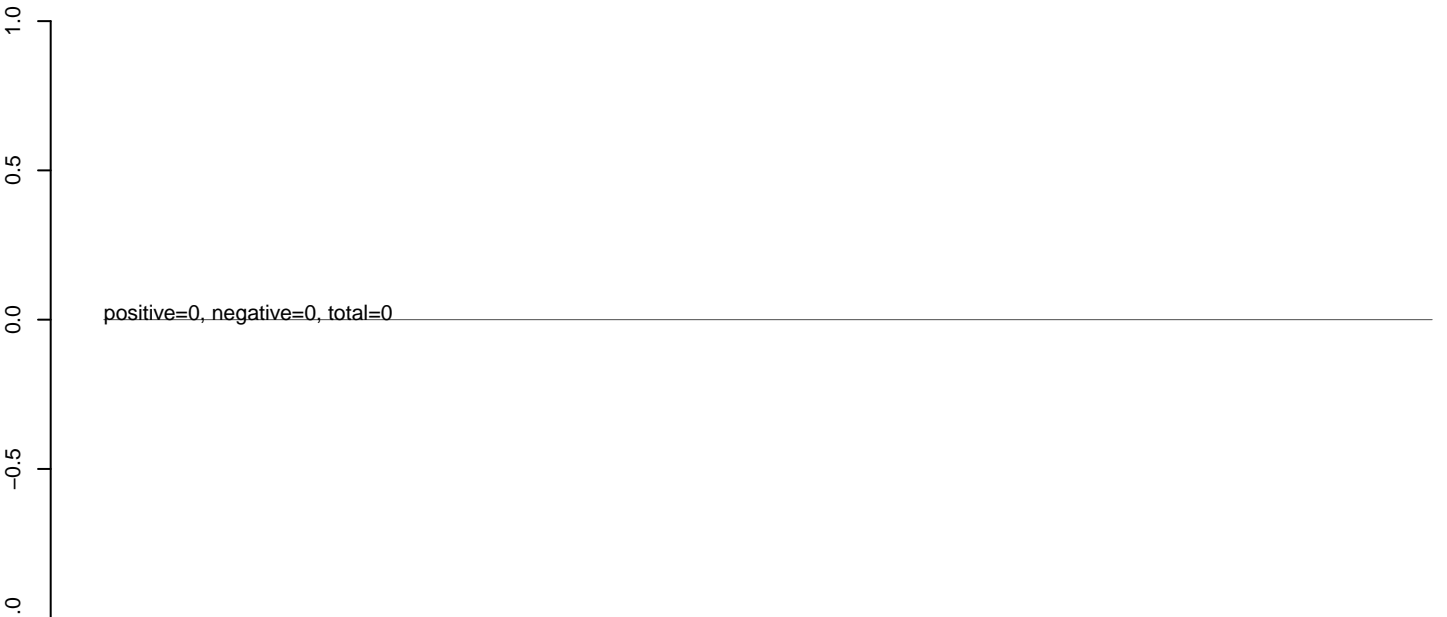
AeAlbo_C636_cells_rep_3.rep



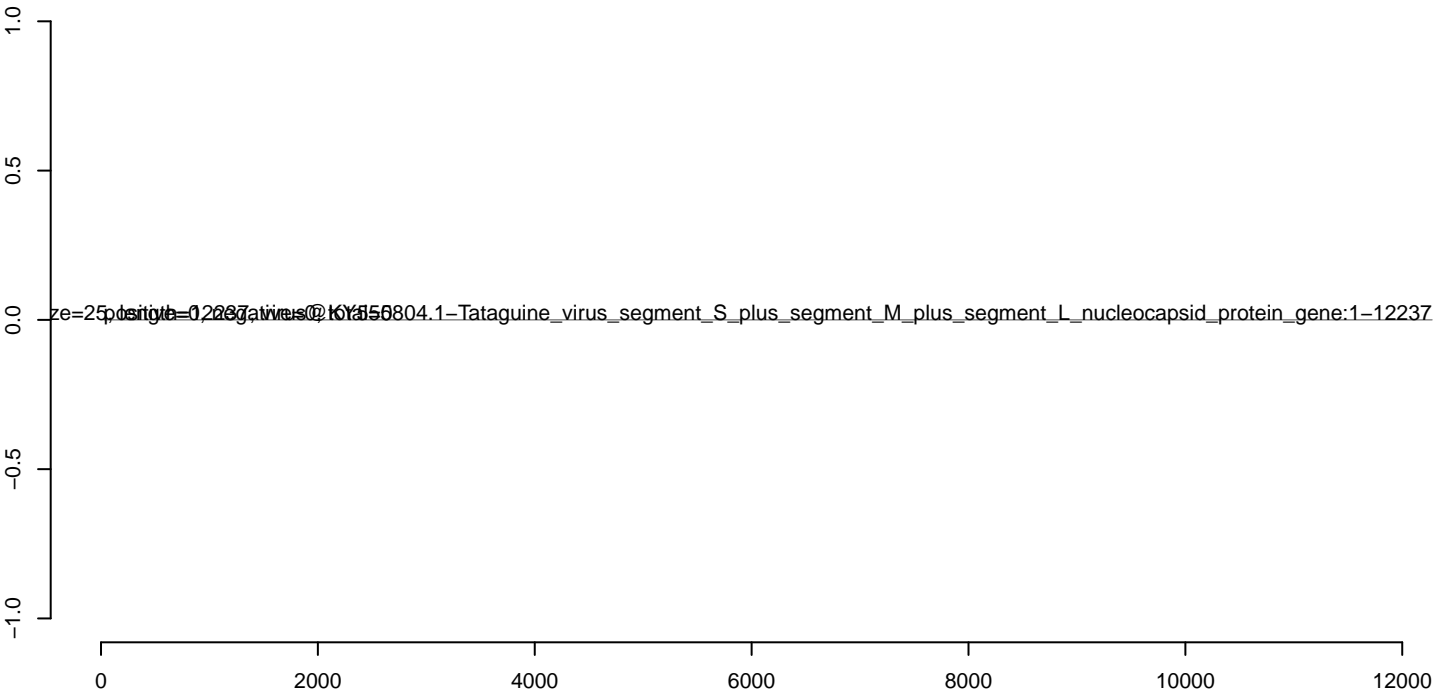
AeAlbo_C636_cells_rep_3.18_23.rep



AeAlbo_C636_cells_rep_3.24_35.rep



AeAlbo_C636_cells_rep_3.rep



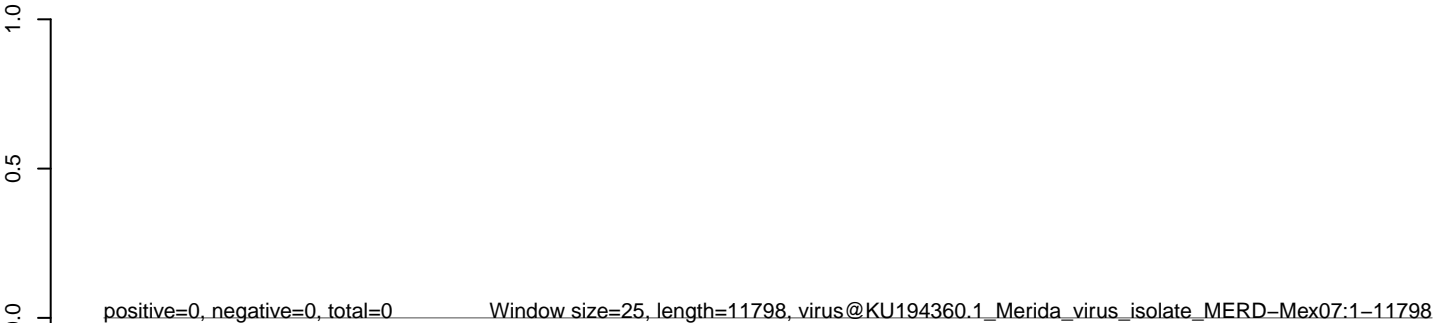
AeAlbo_C636_cells_rep_3.18_23.rep



AeAlbo_C636_cells_rep_3.24_35.rep



AeAlbo_C636_cells_rep_3.rep



0 2000 4000 6000 8000 10000 12000

AeAlbo_C636_cells_rep_3.18_23.rep



AeAlbo_C636_cells_rep_3.24_35.rep



AeAlbo_C636_cells_rep_3.rep



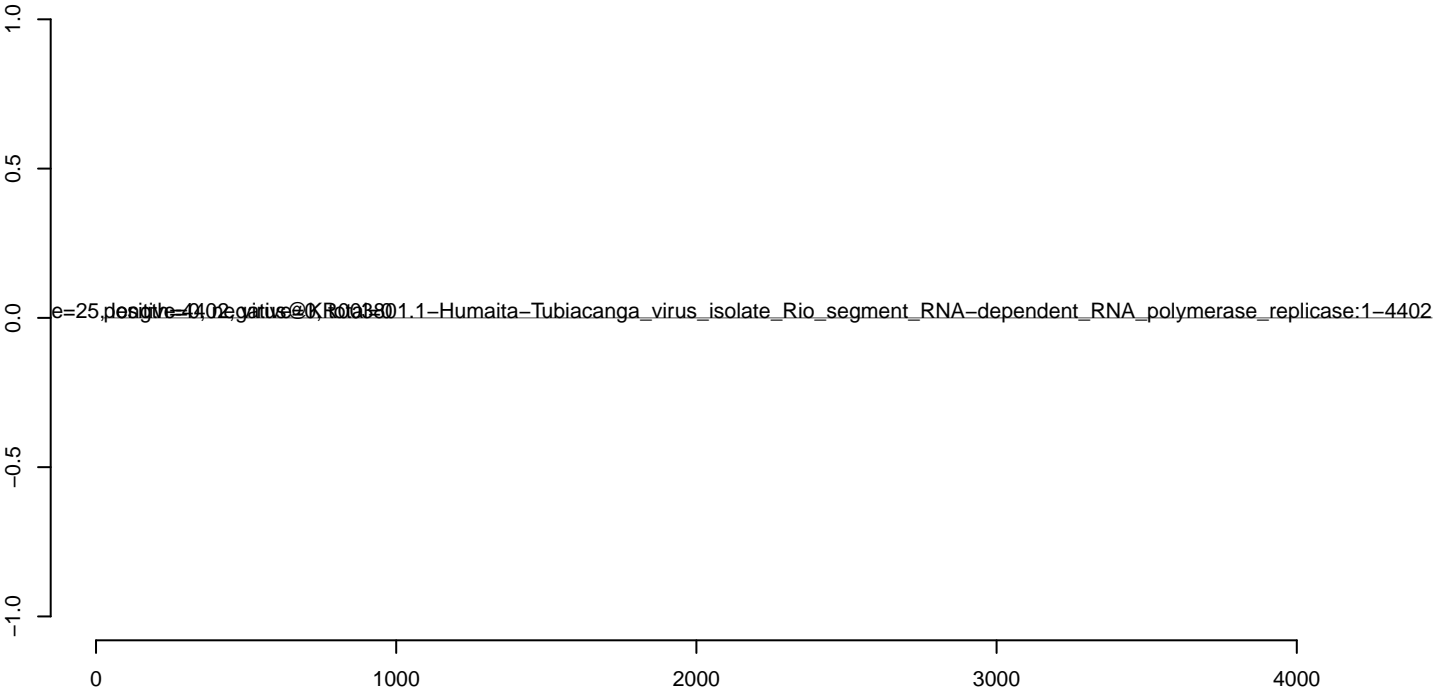
AeAlbo_C636_cells_rep_3.18_23.rep



AeAlbo_C636_cells_rep_3.24_35.rep



AeAlbo_C636_cells_rep_3.rep



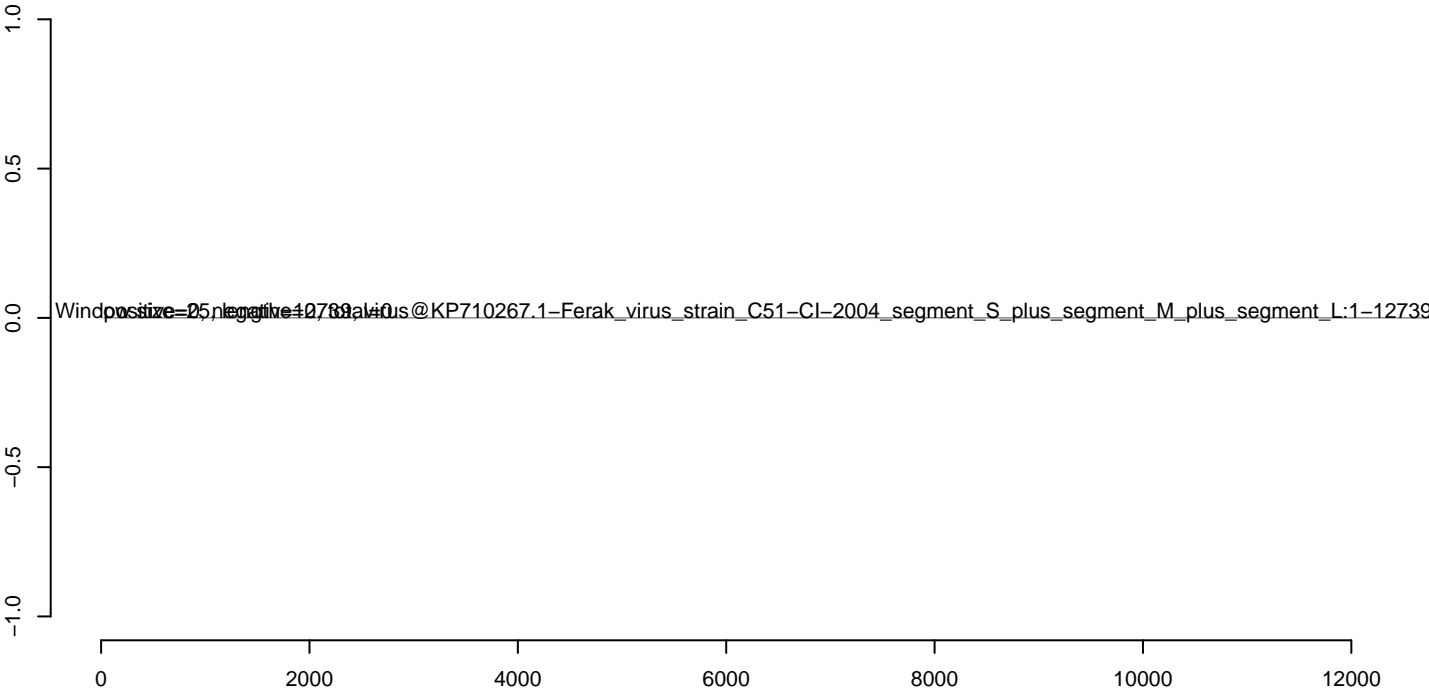
AeAlbo_C636_cells_rep_3.18_23.rep



AeAlbo_C636_cells_rep_3.24_35.rep



AeAlbo_C636_cells_rep_3.rep



AeAlbo_C636_cells_rep_3.18_23.rep



AeAlbo_C636_cells_rep_3.24_35.rep



AeAlbo_C636_cells_rep_3.rep



0 2000 4000 6000 8000 10000

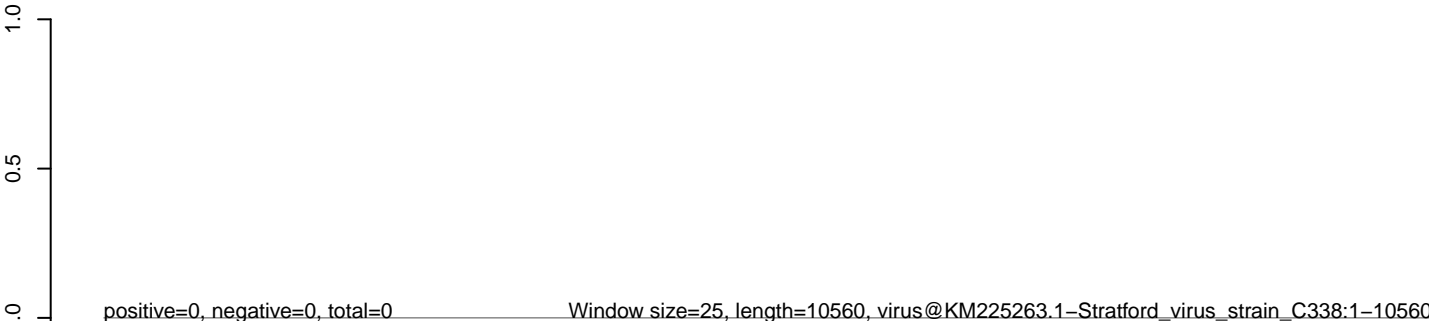
AeAlbo_C636_cells_rep_3.18_23.rep



AeAlbo_C636_cells_rep_3.24_35.rep



AeAlbo_C636_cells_rep_3.rep



0 2000 4000 6000 8000 10000

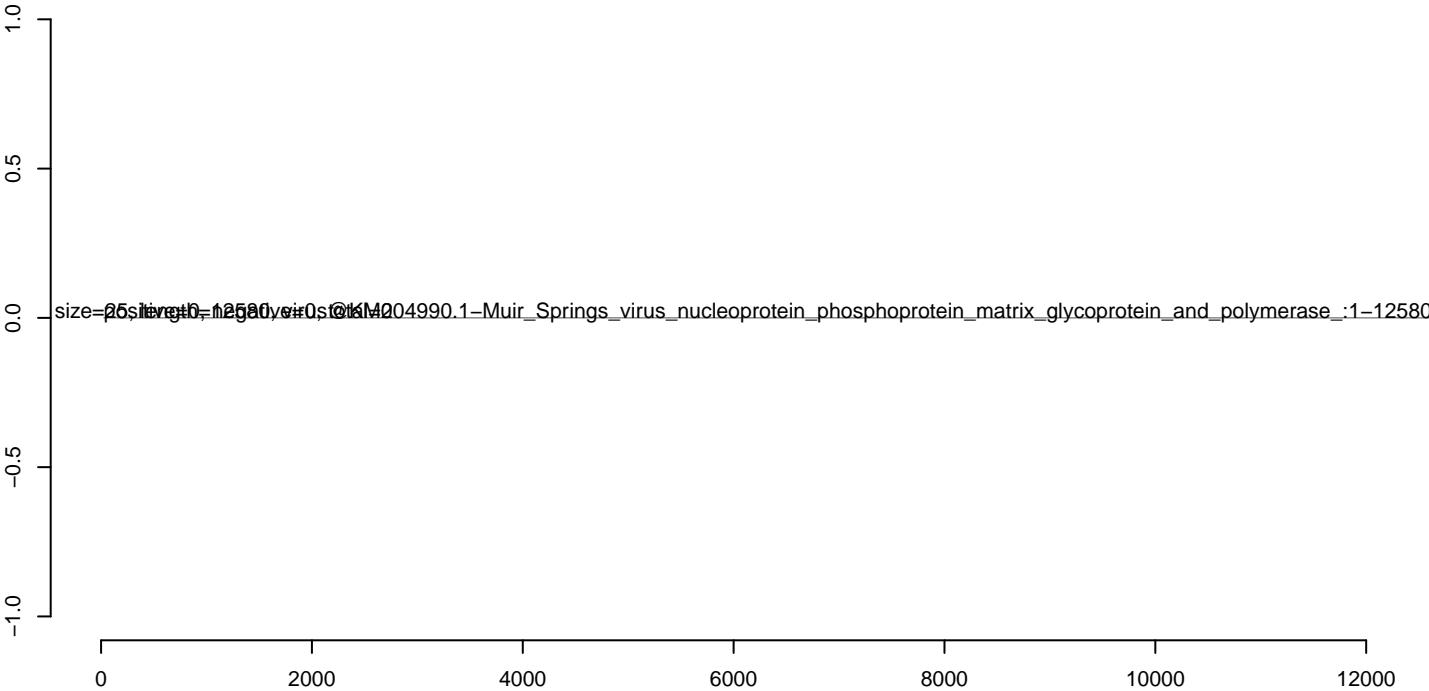
AeAlbo_C636_cells_rep_3.18_23.rep



AeAlbo_C636_cells_rep_3.24_35.rep



AeAlbo_C636_cells_rep_3.rep



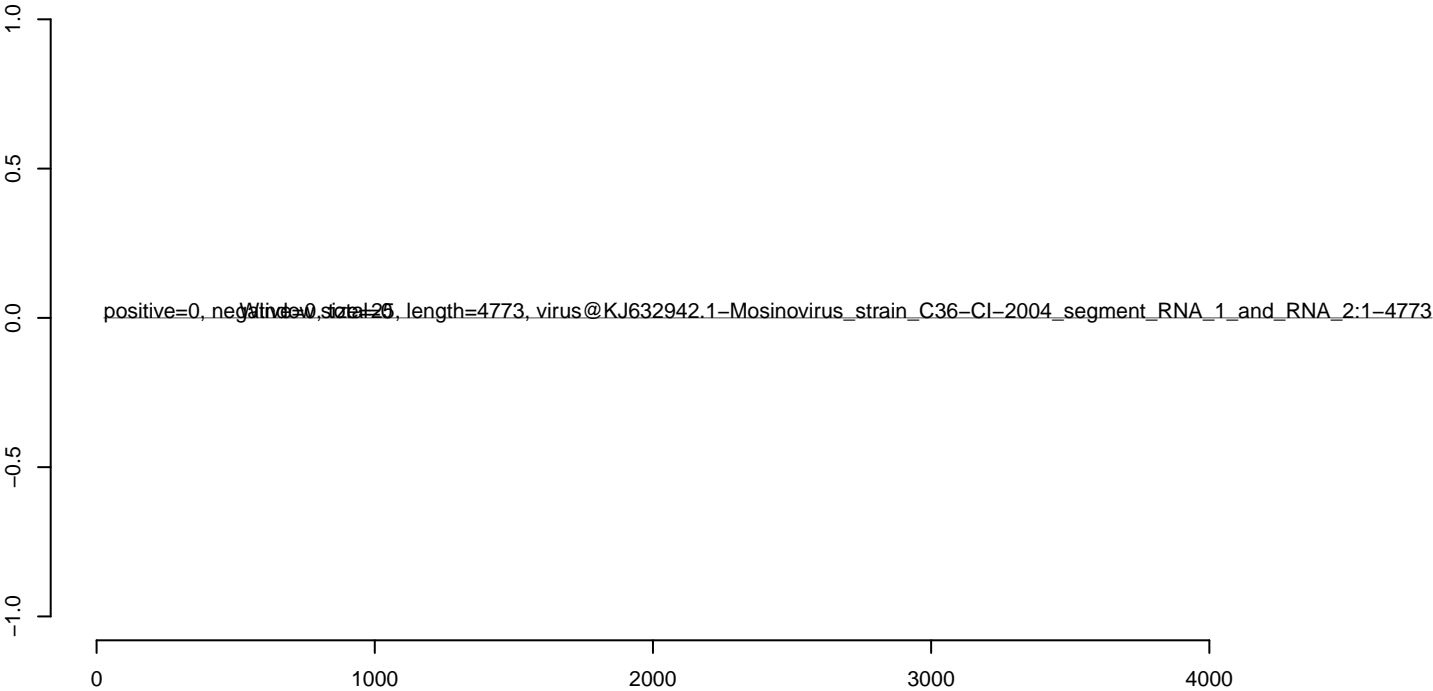
AeAlbo_C636_cells_rep_3.18_23.rep



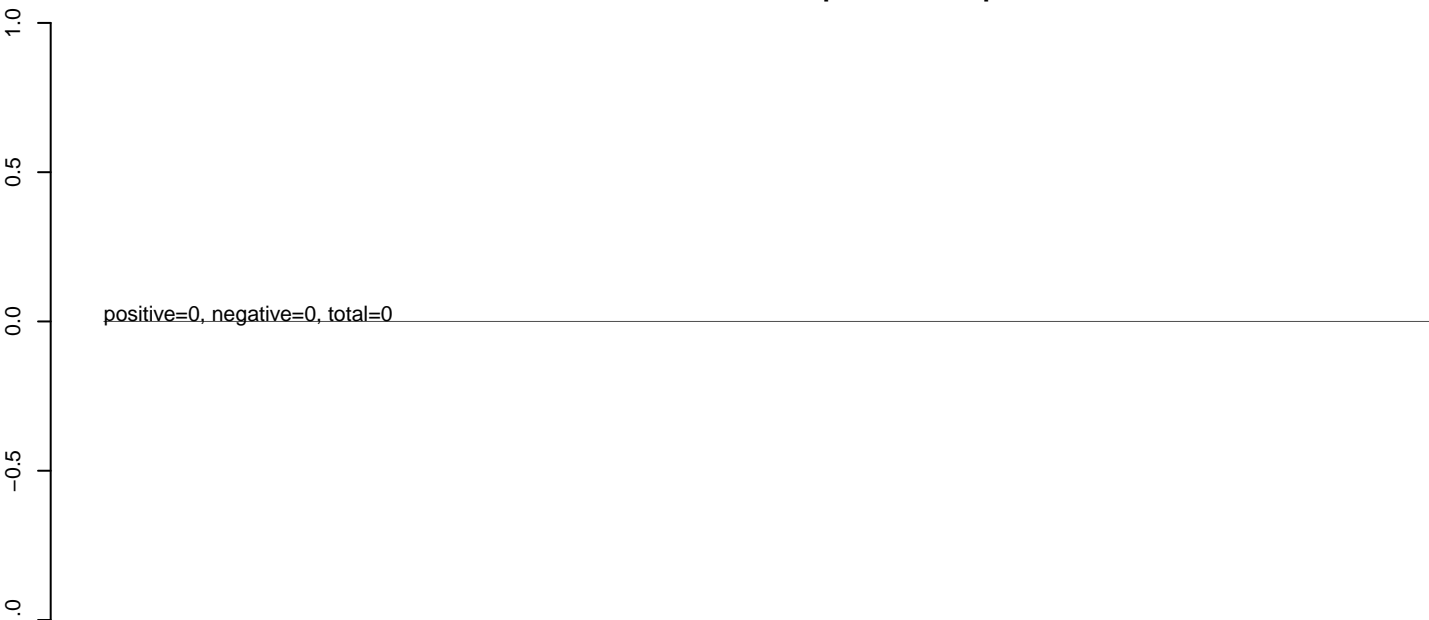
AeAlbo_C636_cells_rep_3.24_35.rep



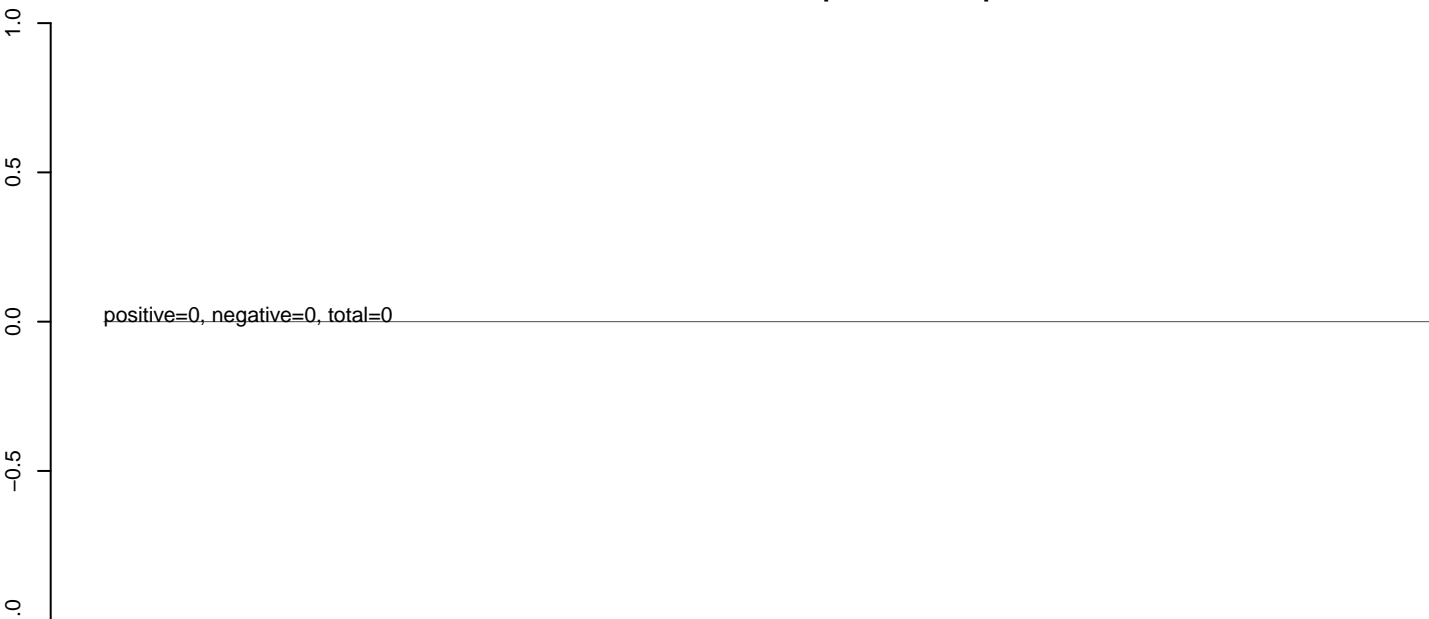
AeAlbo_C636_cells_rep_3.rep



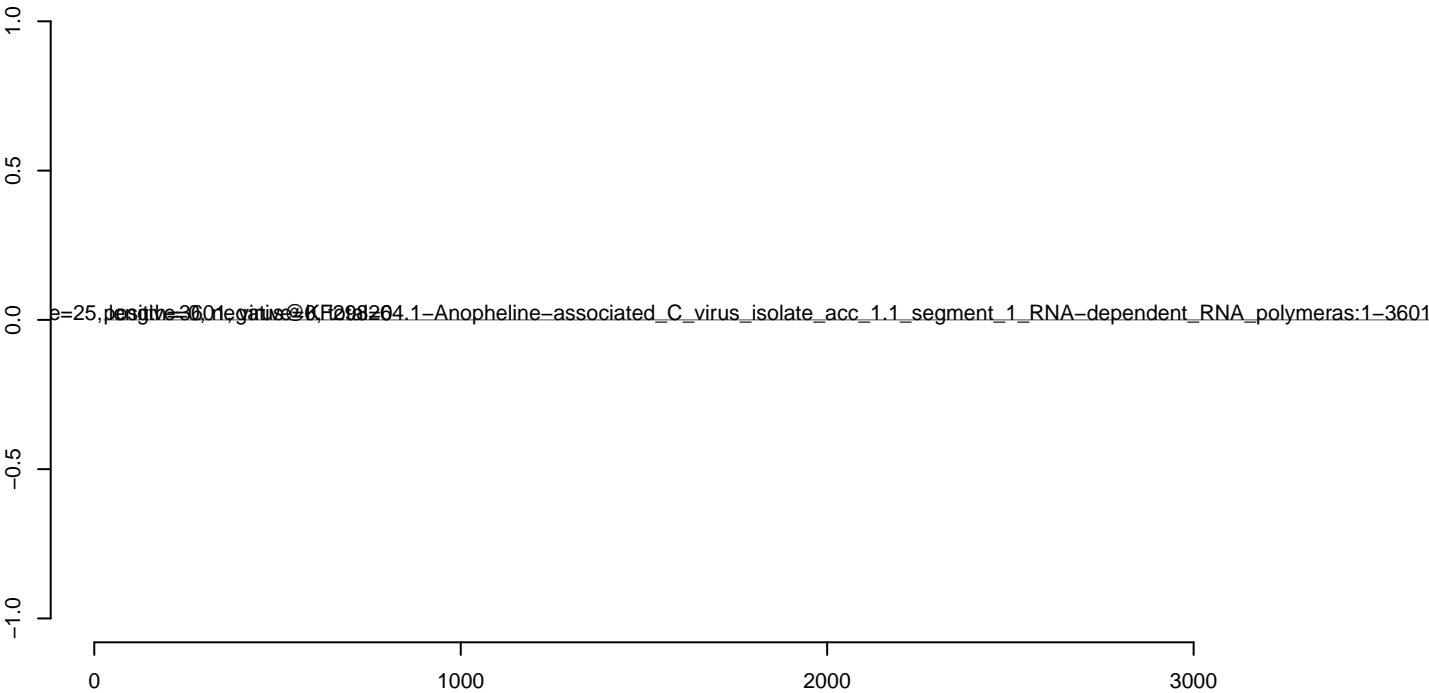
AeAlbo_C636_cells_rep_3.18_23.rep



AeAlbo_C636_cells_rep_3.24_35.rep



AeAlbo_C636_cells_rep_3.rep



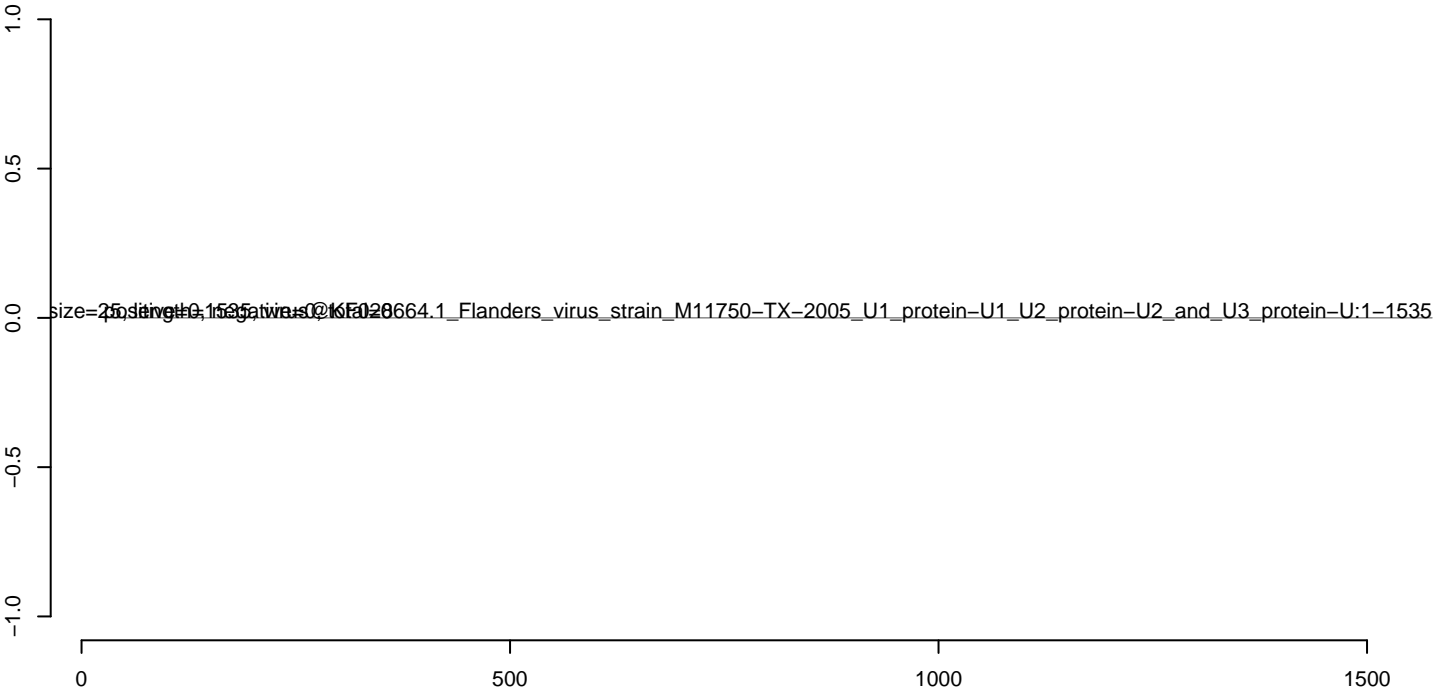
AeAlbo_C636_cells_rep_3.18_23.rep



AeAlbo_C636_cells_rep_3.24_35.rep



AeAlbo_C636_cells_rep_3.rep



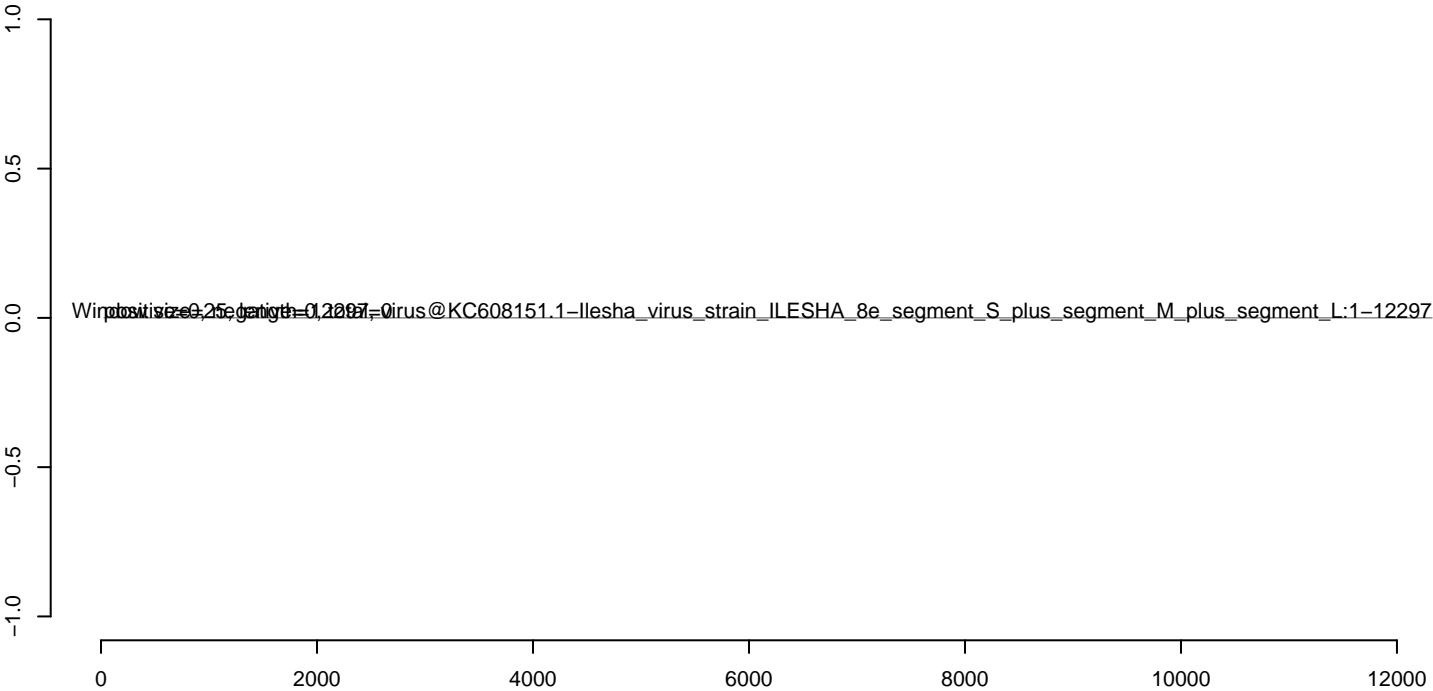
AeAlbo_C636_cells_rep_3.18_23.rep



AeAlbo_C636_cells_rep_3.24_35.rep



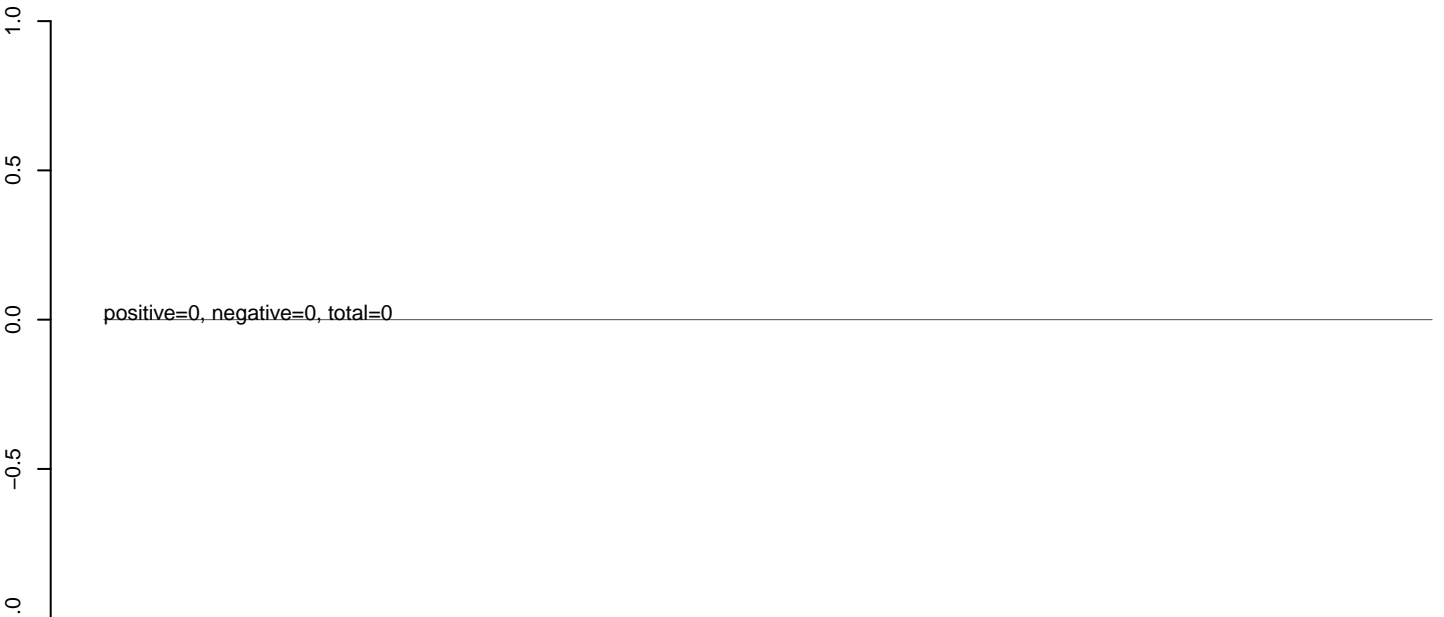
AeAlbo_C636_cells_rep_3.rep



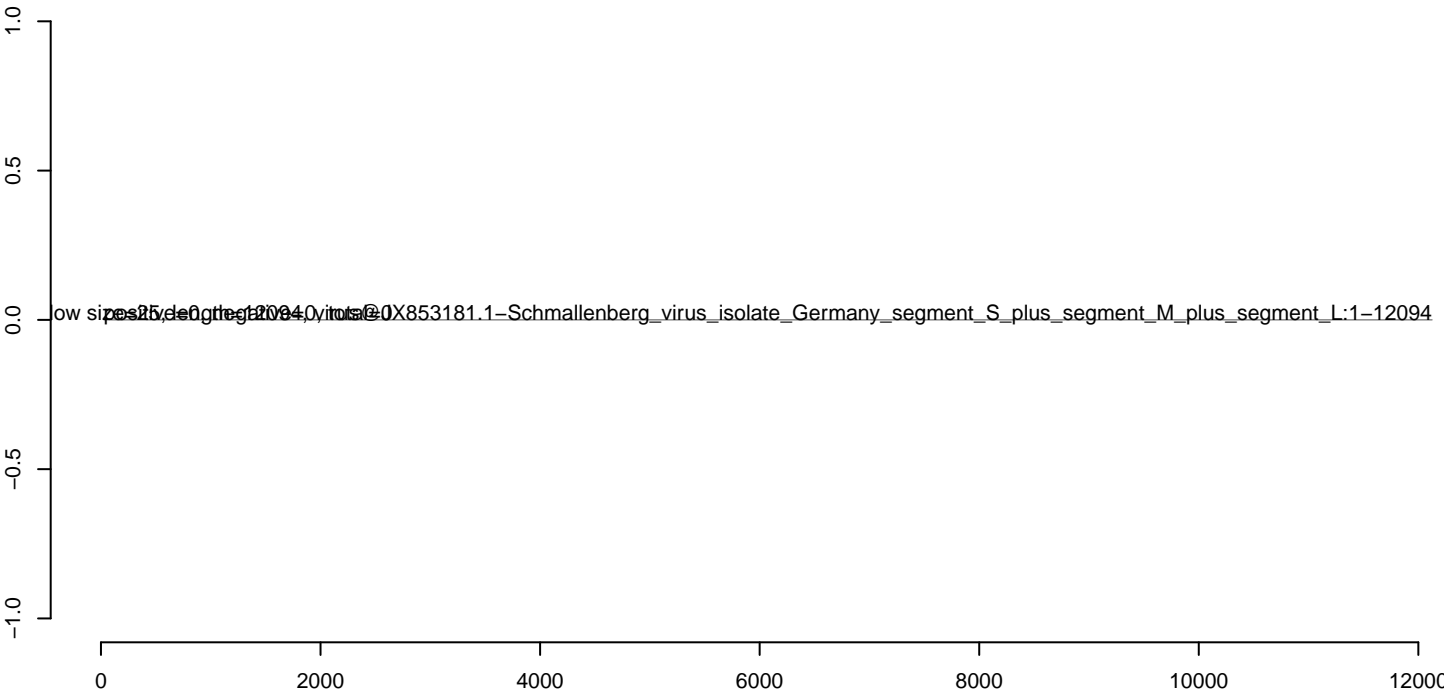
AeAlbo_C636_cells_rep_3.18_23.rep



AeAlbo_C636_cells_rep_3.24_35.rep



AeAlbo_C636_cells_rep_3.rep



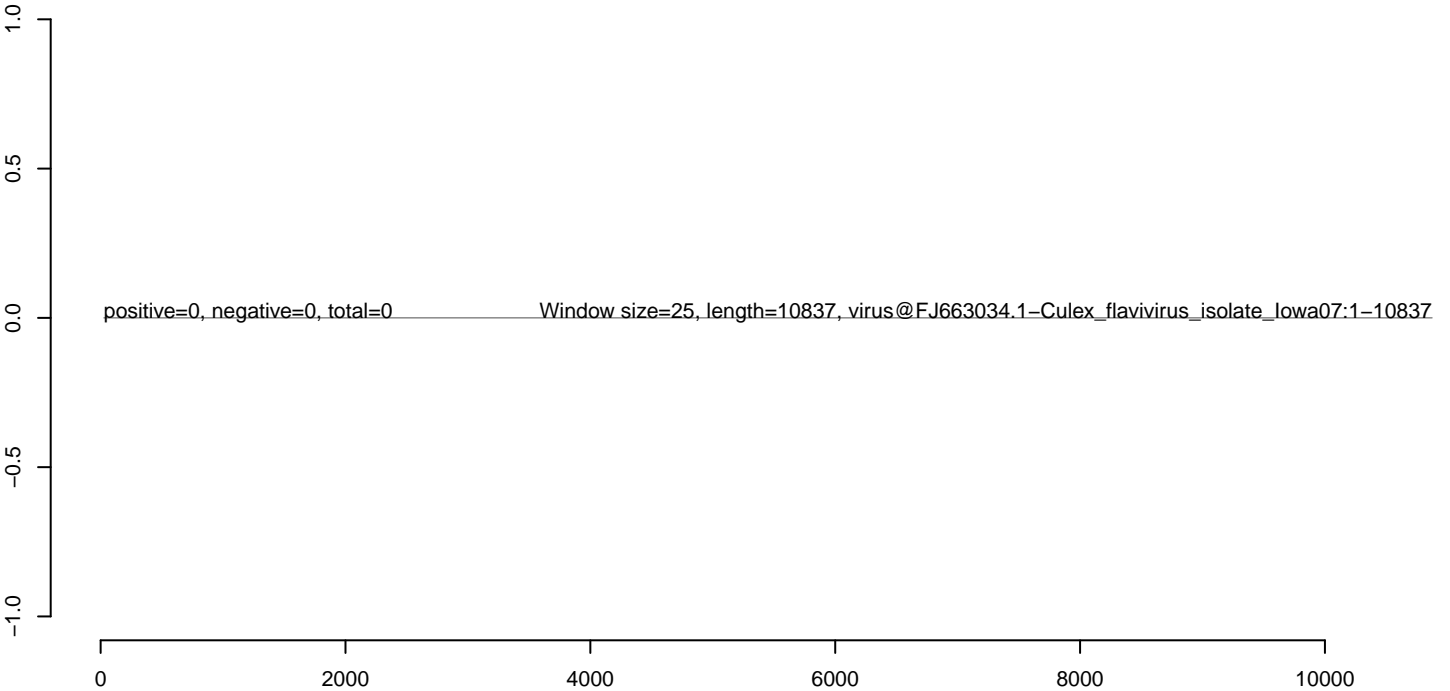
AeAlbo_C636_cells_rep_3.18_23.rep



AeAlbo_C636_cells_rep_3.24_35.rep



AeAlbo_C636_cells_rep_3.rep



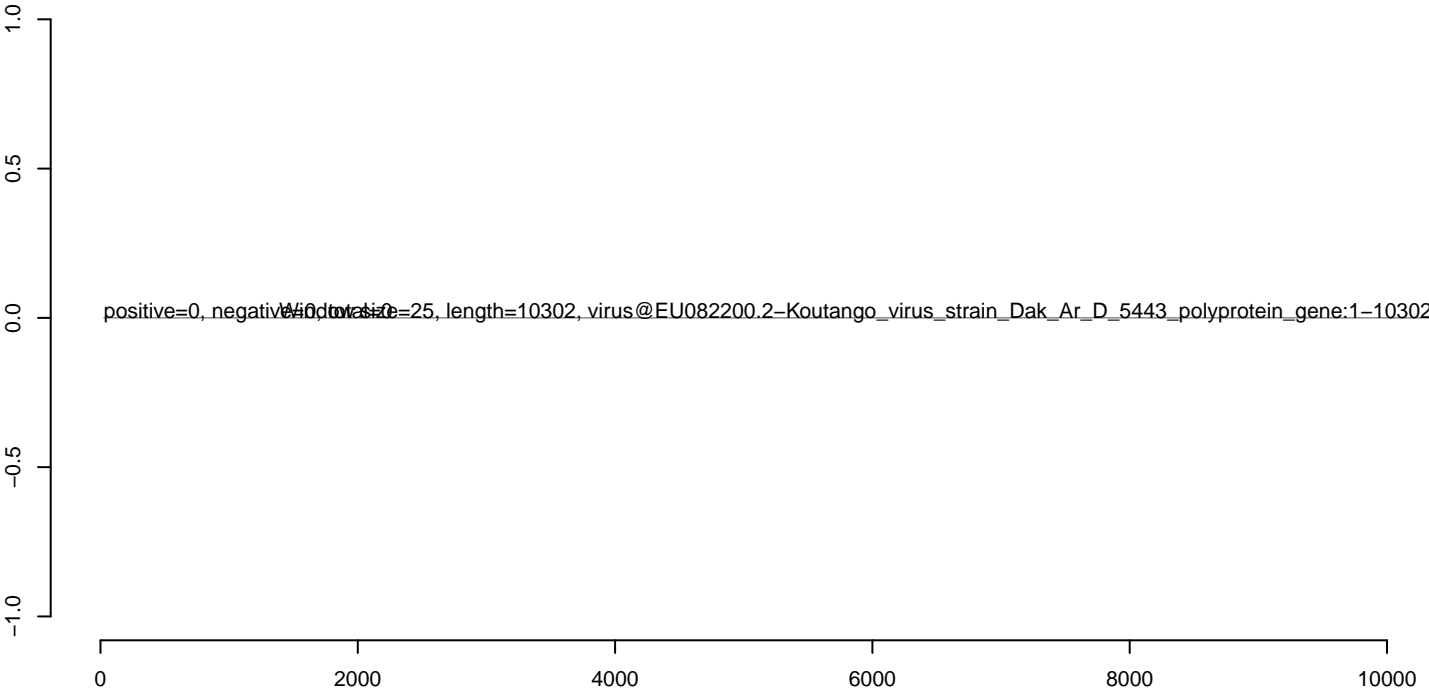
AeAlbo_C636_cells_rep_3.18_23.rep



AeAlbo_C636_cells_rep_3.24_35.rep



AeAlbo_C636_cells_rep_3.rep



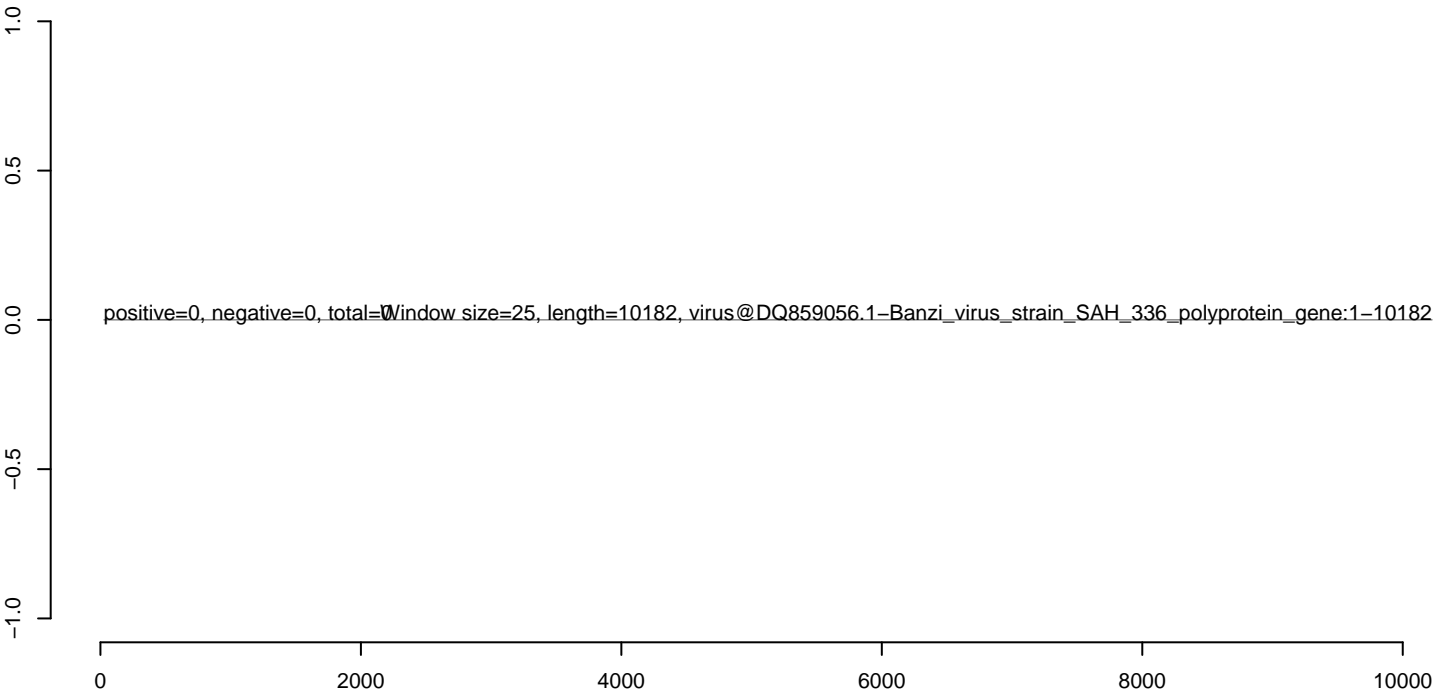
AeAlbo_C636_cells_rep_3.18_23.rep



AeAlbo_C636_cells_rep_3.24_35.rep



AeAlbo_C636_cells_rep_3.rep



AeAlbo_C636_cells_rep_3.18_23.rep



AeAlbo_C636_cells_rep_3.24_35.rep



AeAlbo_C636_cells_rep_3.rep



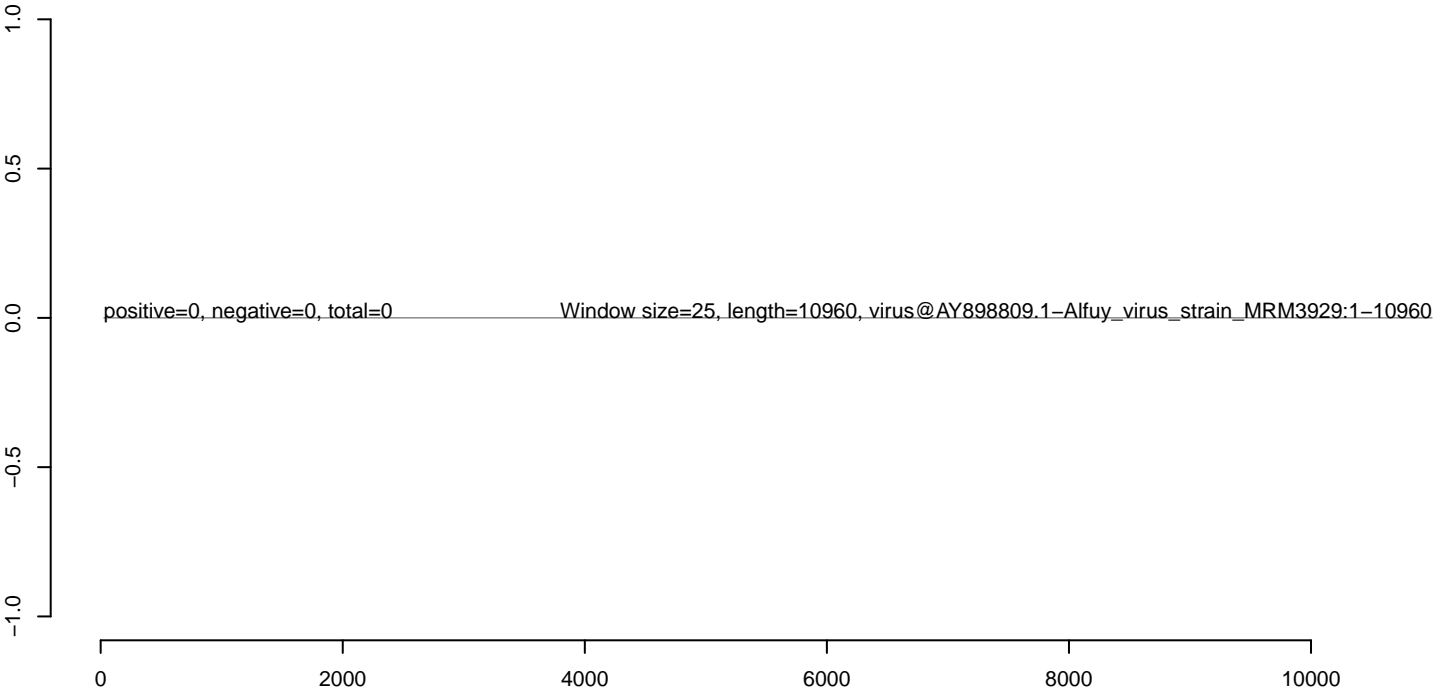
AeAlbo_C636_cells_rep_3.18_23.rep



AeAlbo_C636_cells_rep_3.24_35.rep



AeAlbo_C636_cells_rep_3.rep



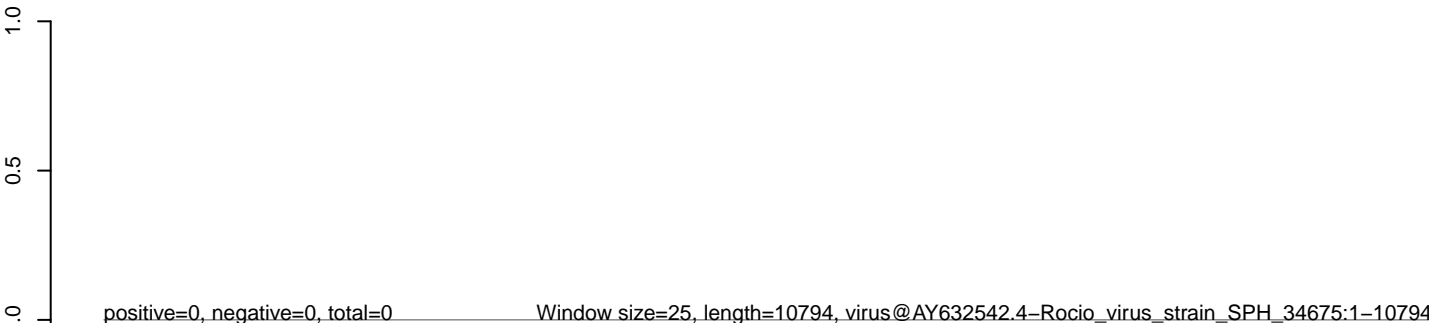
AeAlbo_C636_cells_rep_3.18_23.rep



AeAlbo_C636_cells_rep_3.24_35.rep



AeAlbo_C636_cells_rep_3.rep



0 2000 4000 6000 8000 10000

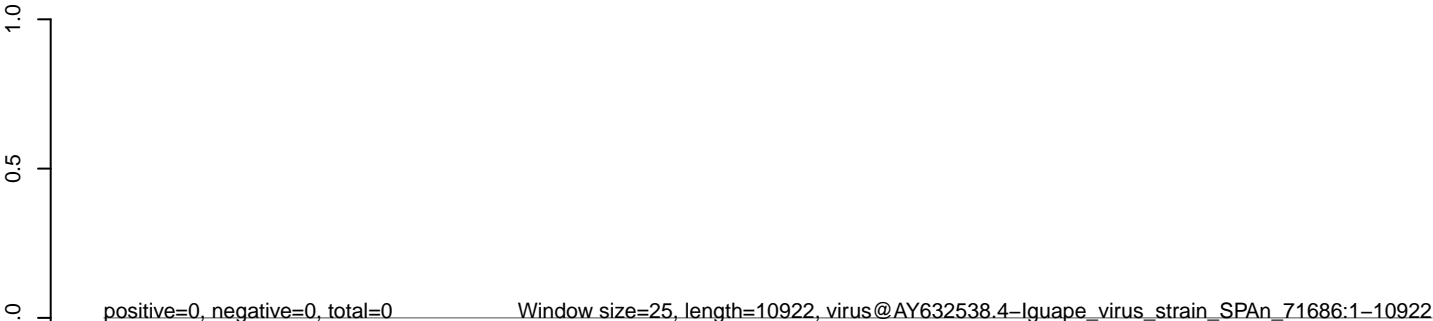
AeAlbo_C636_cells_rep_3.18_23.rep



AeAlbo_C636_cells_rep_3.24_35.rep

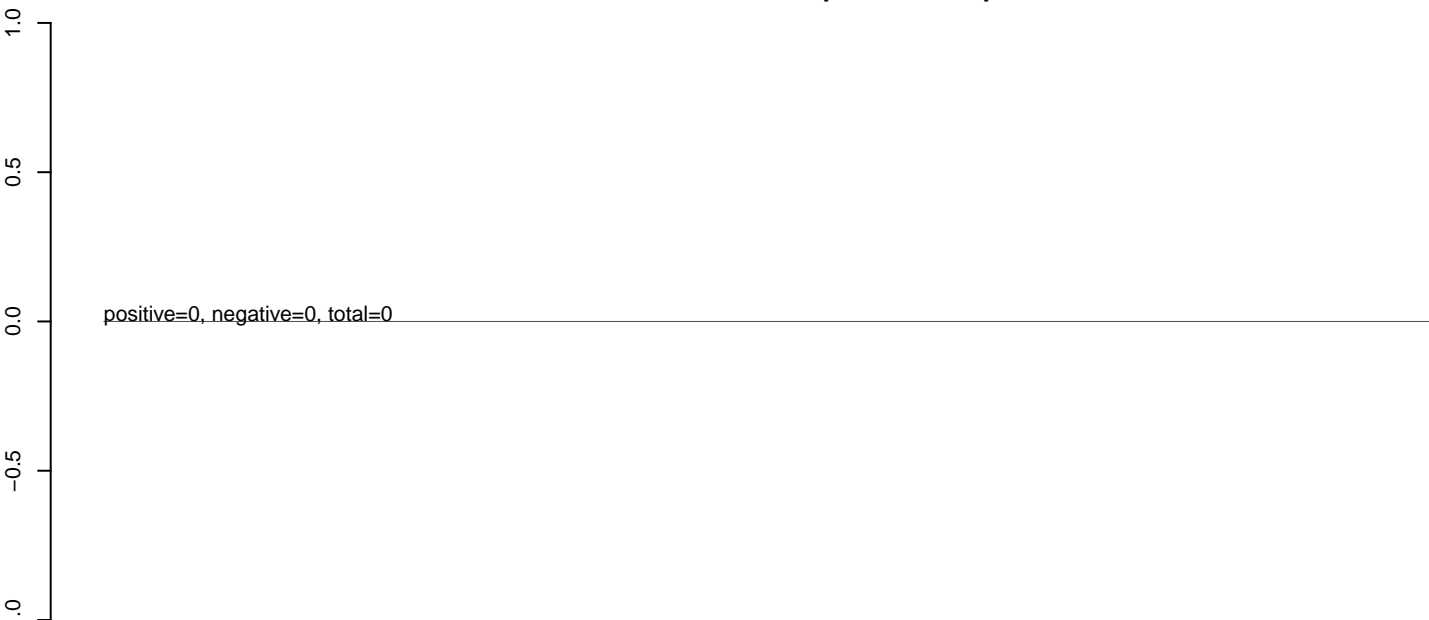


AeAlbo_C636_cells_rep_3.rep

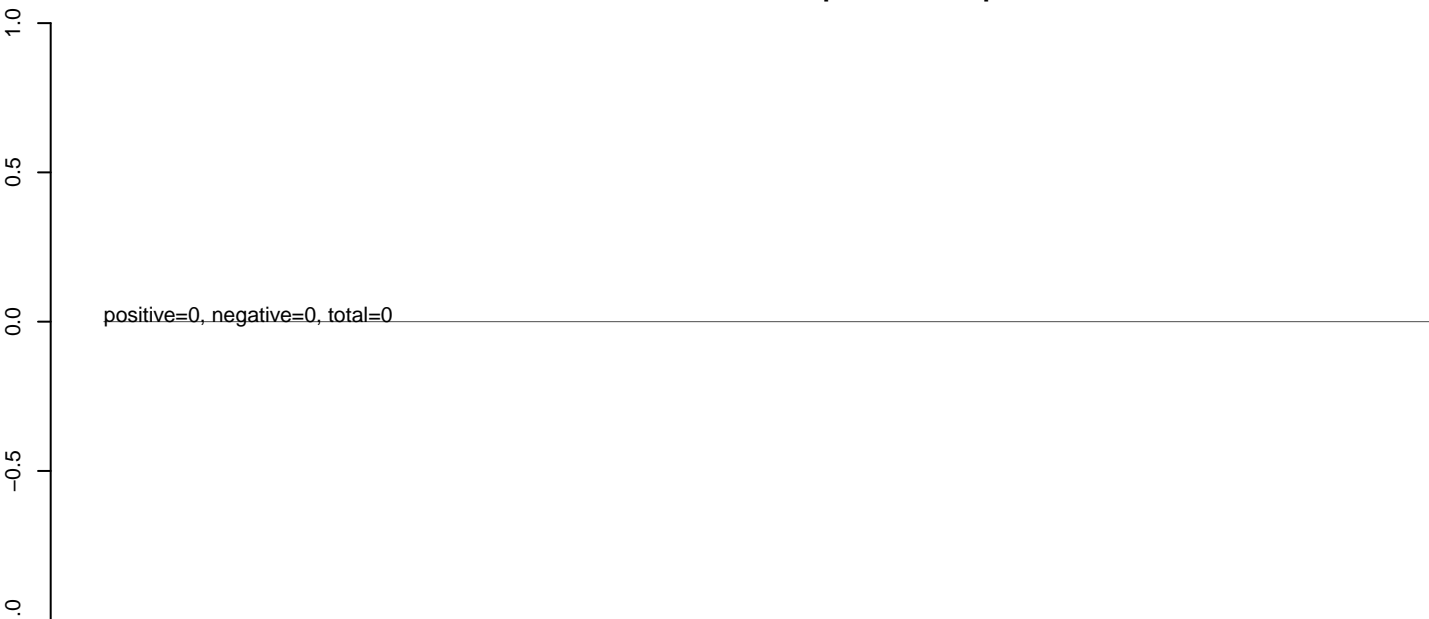


0 2000 4000 6000 8000 10000

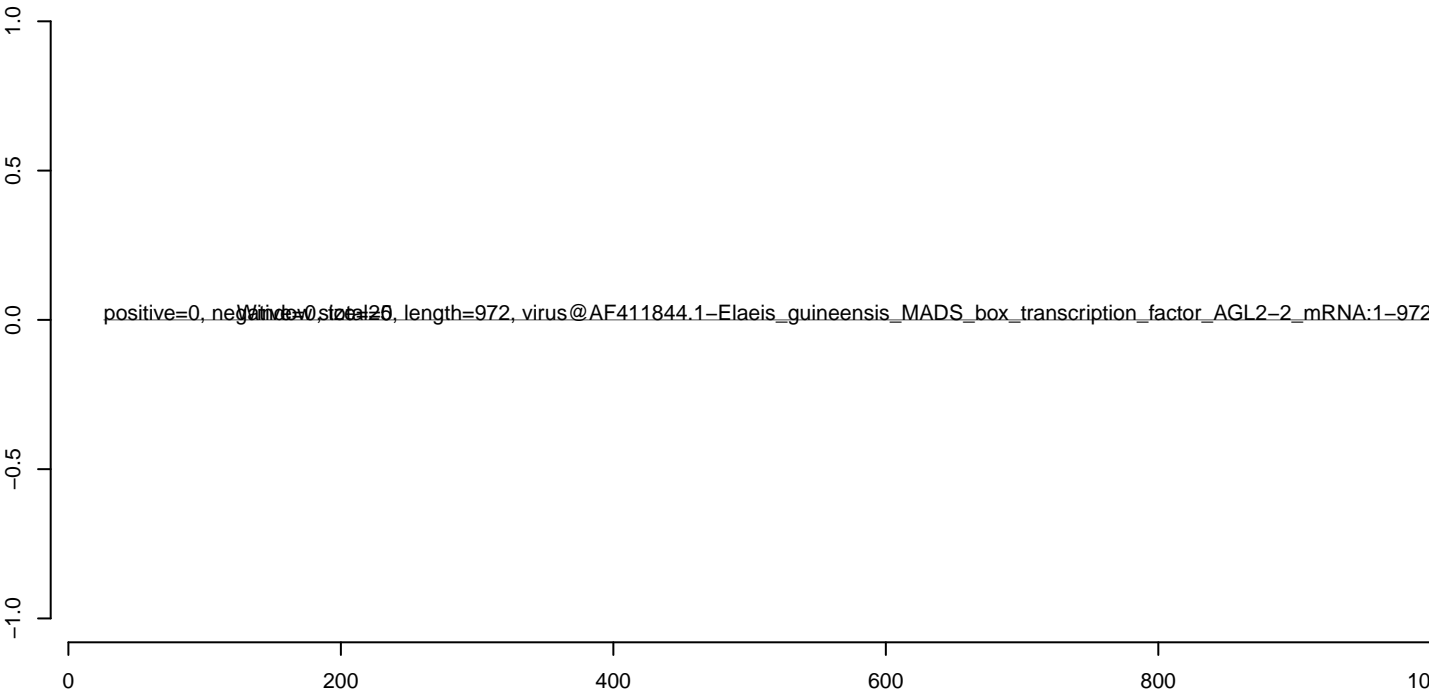
AeAlbo_C636_cells_rep_3.18_23.rep



AeAlbo_C636_cells_rep_3.24_35.rep



AeAlbo_C636_cells_rep_3.rep



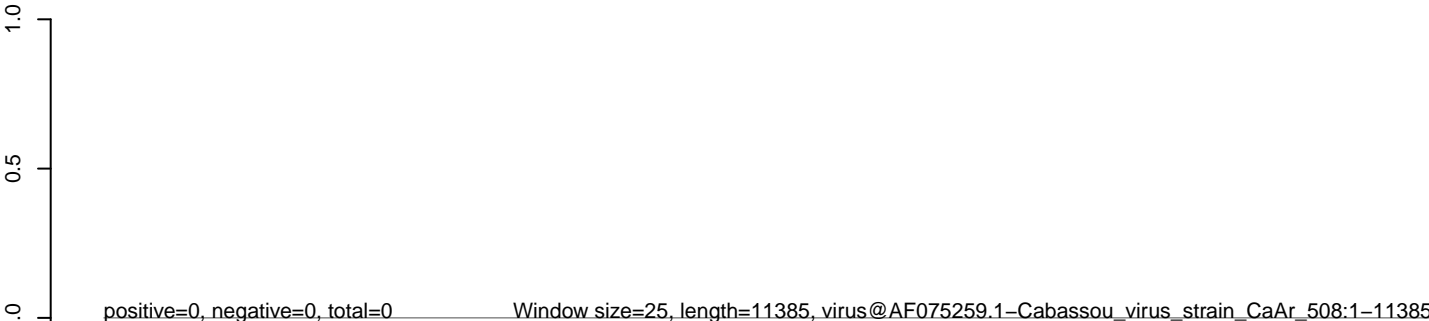
AeAlbo_C636_cells_rep_3.18_23.rep



AeAlbo_C636_cells_rep_3.24_35.rep



AeAlbo_C636_cells_rep_3.rep

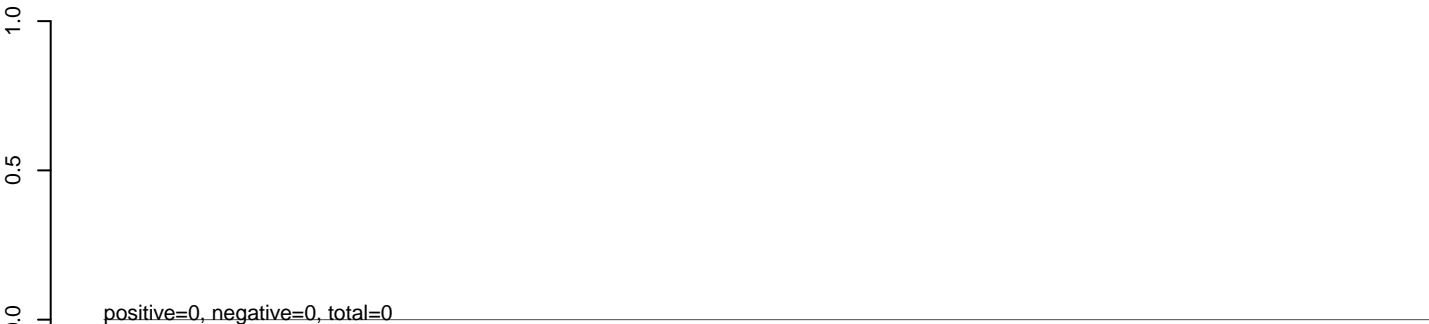


0 2000 4000 6000 8000 10000

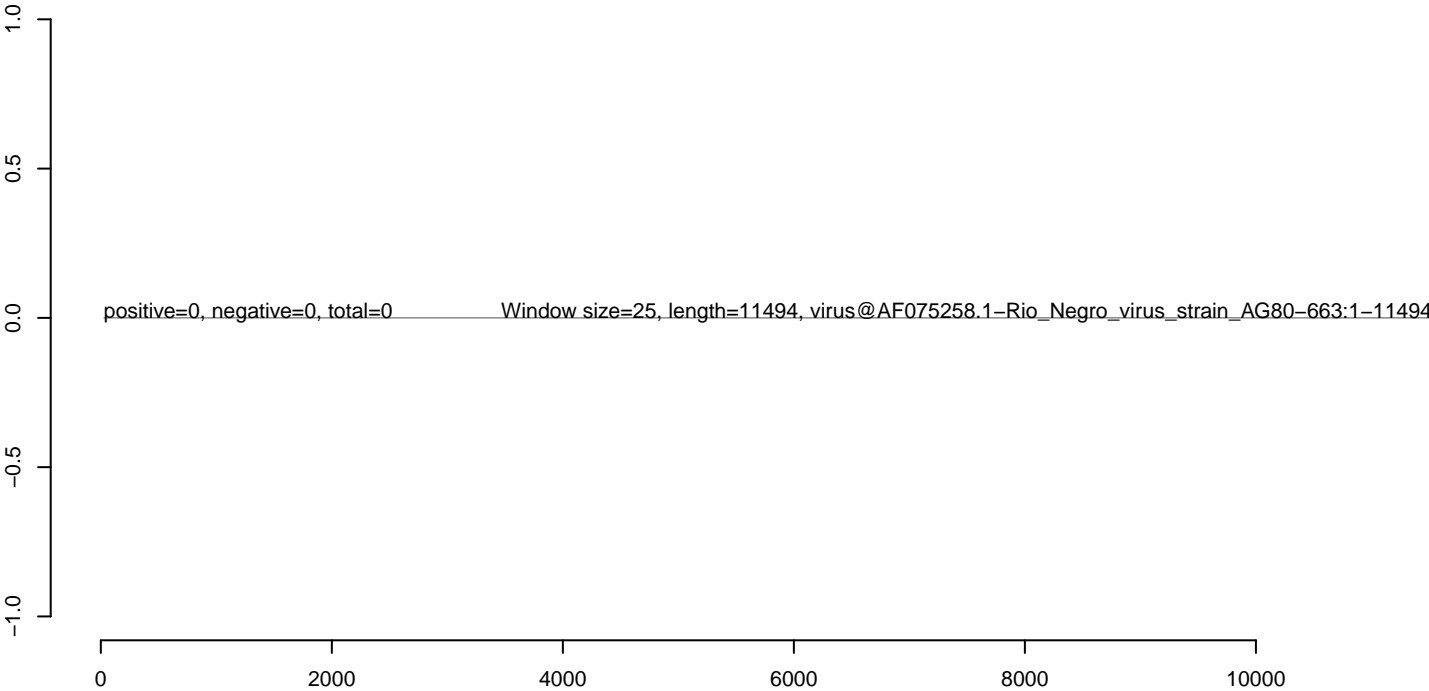
AeAlbo_C636_cells_rep_3.18_23.rep



AeAlbo_C636_cells_rep_3.24_35.rep



AeAlbo_C636_cells_rep_3.rep



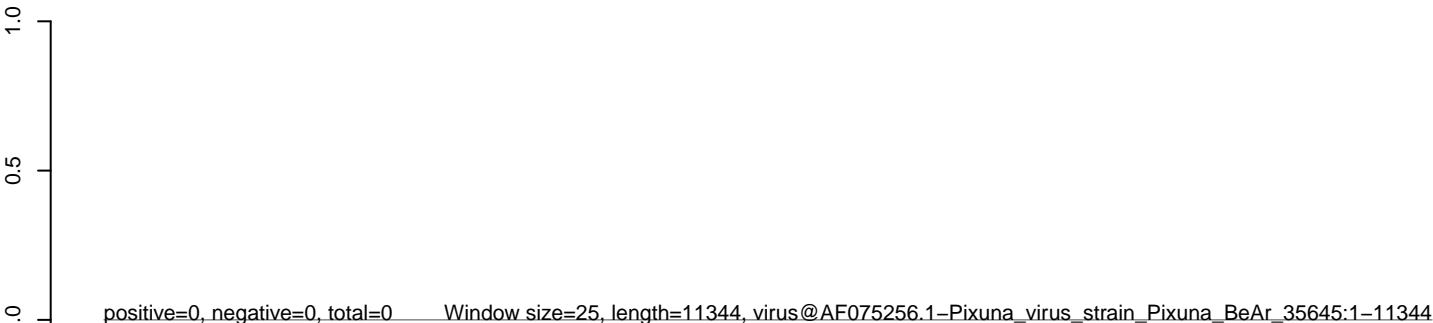
AeAlbo_C636_cells_rep_3.18_23.rep



AeAlbo_C636_cells_rep_3.24_35.rep



AeAlbo_C636_cells_rep_3.rep



0 2000 4000 6000 8000 10000

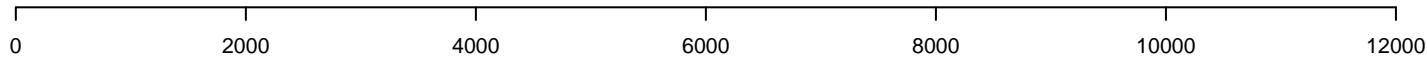
AeAlbo_C636_cells_rep_3.18_23.rep



AeAlbo_C636_cells_rep_3.24_35.rep



AeAlbo_C636_cells_rep_3.rep



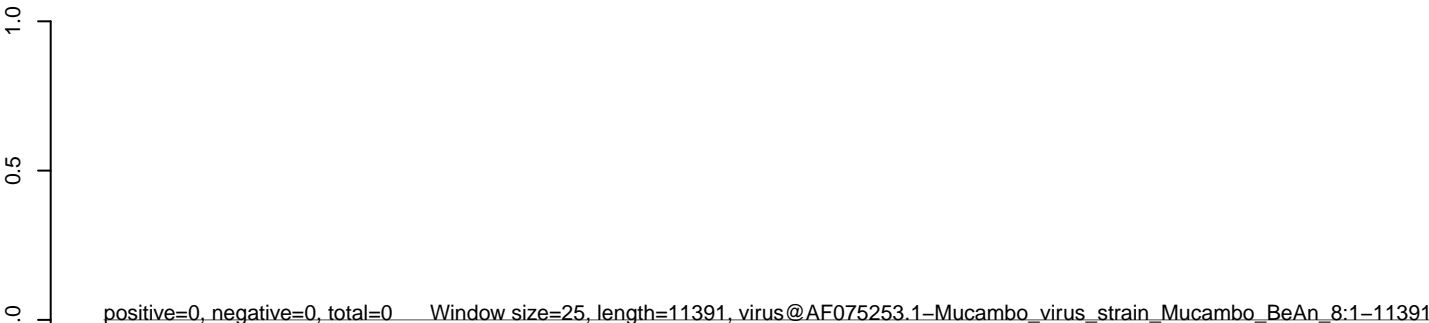
AeAlbo_C636_cells_rep_3.18_23.rep



AeAlbo_C636_cells_rep_3.24_35.rep



AeAlbo_C636_cells_rep_3.rep



0 2000 4000 6000 8000 10000